

49
36

ГИДРО-МЕТЕОРОЛОГИЧЕСКИЙ КОМИТЕТ С.С.С.Р. и Р.С.Ф.С.Р.
ГЛАВНАЯ ГЕОФИЗИЧЕСКАЯ ОБСЕРВАТОРИЯ

КЛИМАТ

883

Союза Советских Социалистических Республик

Часть II

ДАВЛЕНИЕ ВОЗДУХА И ВЕТЕР В С.С.С.Р.

Выпуск 1

Давление воздуха в С.С.С.Р. по месячным средним

А. А. КАМИНСКИЙ

HYDROMETEOROLOGISCHES KOMITÉE der U.S.S.R. und R.S.F.S.R.
GEOPHYSIKALISCHES ZENTRAL-OBSERVATORIUM

KLIMA

der Union der Sozialistischen Sowjet-Republiken

Teil II

LUFTDRUCK UND WIND IN DER U.S.S.R.

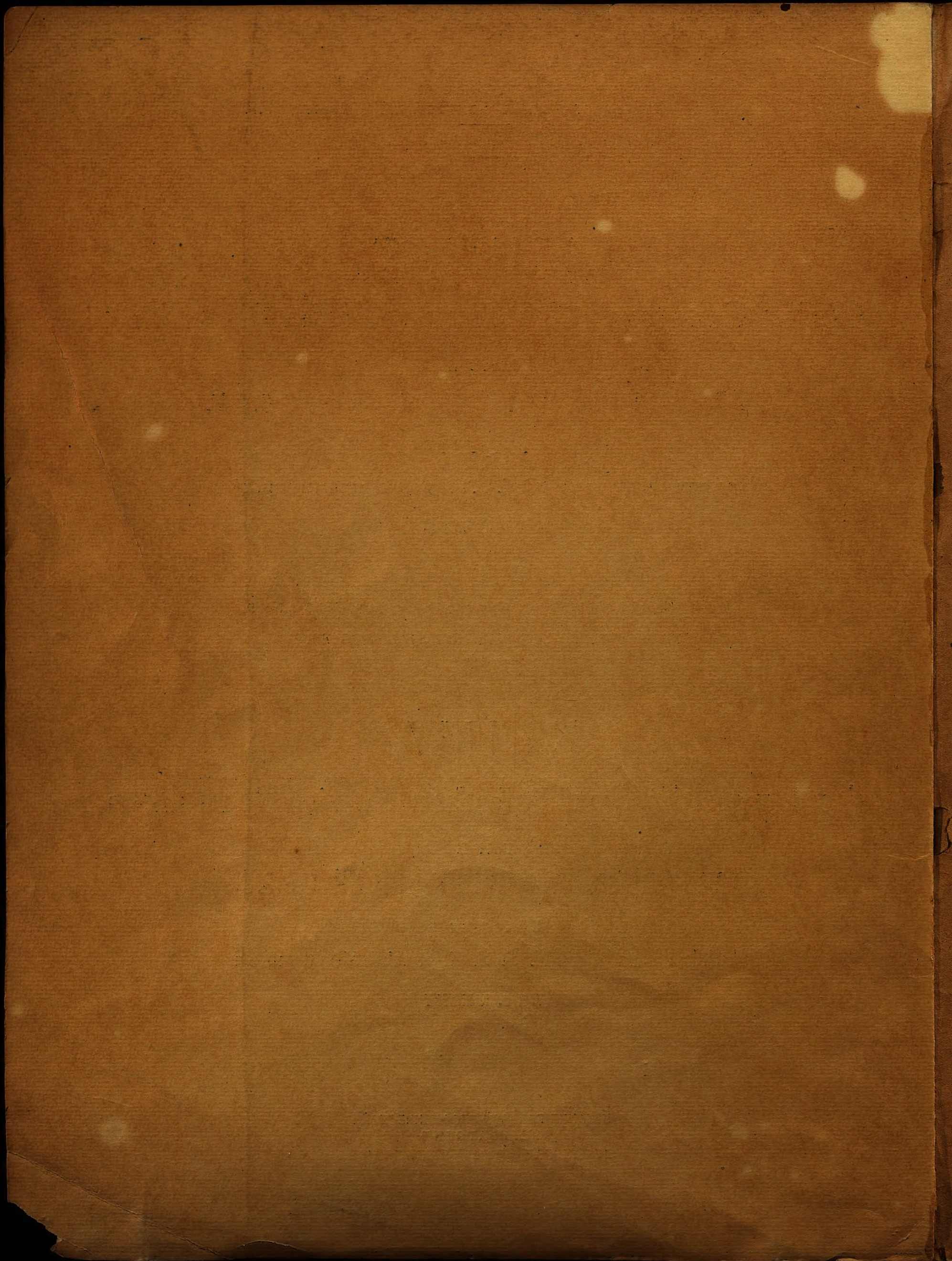
Lieferung 1

Luftdruck in der U. S. S. R. nach Monatsmitteln

VON A. KAMINSKY

ИЗДАНИЕ ГЛАВНОЙ ГЕОФИЗИЧЕСКОЙ
ОБСЕРВАТОРИИ
ЛЕНИНГРАД 1932 Leningrad

49
36



ГИДРО-МЕТЕОРОЛОГИЧЕСКИЙ КОМИТЕТ С.С.С.Р. и Р.С.Ф.С.Р.

ГЛАВНАЯ ГЕОФИЗИЧЕСКАЯ ОБСЕРВАТОРИЯ

КЛИМАТ

Союза Советских Социалистических Республик

Часть II

ДАВЛЕНИЕ ВОЗДУХА И ВЕТЕР В С.С.С.Р.

Выпуск 1

Давление воздуха в С.С.С.Р. по месячным средним

А. А. КАМИНСКИЙ

HYDROMETEOROLOGISCHES KOMITÉE der U.S.S.R. und R.S.F.S.R.

GEOPHYSIKALISCHES ZENTRAL-OBSERVATORIUM

KLIMA

der Union der Sozialistischen Sowjet-Republiken

Teil II

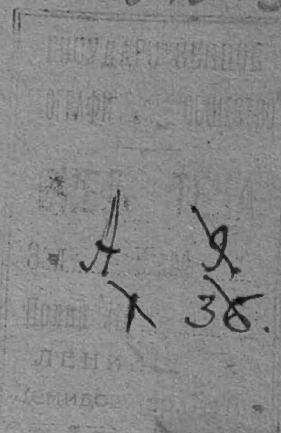
LUFTDRUCK UND WIND IN DER U.S.S.R.

Lieferung 1

Luftdruck in der U. S. S. R. nach Monatsmitteln

VON A. KAMINSKY

ИЗДАНИЕ ГЛАВНОЙ ГЕОФИЗИЧЕСКОЙ
ОБСЕРВАТОРИИ
ЛЕНИНГРАД 1932 Leningrad



Напечатано по распоряжению Гидро-Метеорологического Комитета СССР

Ответственный редактор *В. С. Львов.*

Технический редактор *И. С. Бойданов.*

Ленинградский Горлит № 55960. Изд. ГГО № 707. Тип. Главной Геоф. Обсерв. Ленинград „26“. 23 лин., д. 2.
Тир. 1000. 22 л. Сд. в наб. 10/1 1932 г. к печ. 11/1х 1932 г. Ф. 72х105, 500 б. л. 11.000 тип. зн. Зак. № 81.

КЛИМАТ

Союза Советских Социалистических Республик

Часть II. Выпуск 1

Давление воздуха в С.С.С.Р. по месячным средним

А. А. Каминский

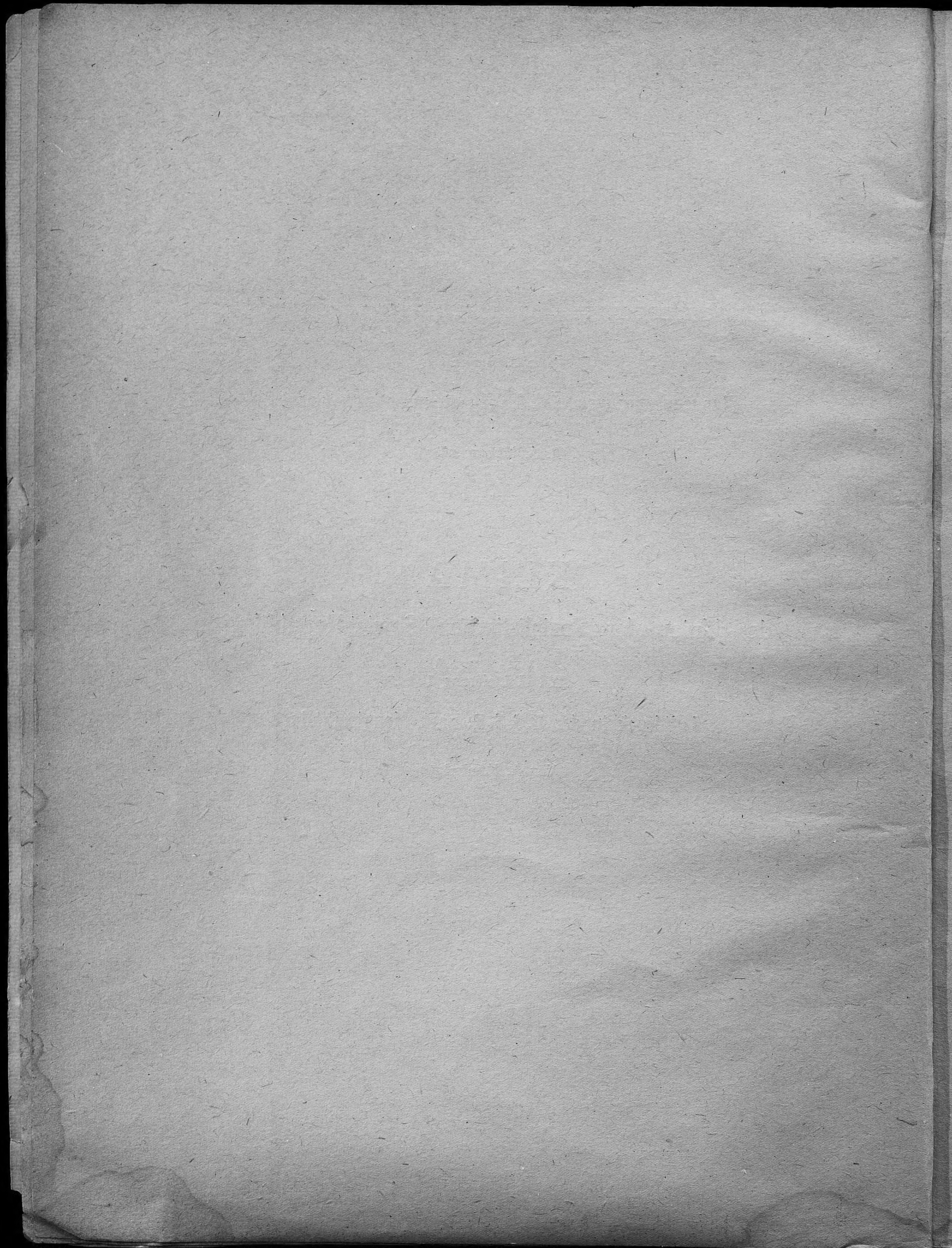
KLIMA

der Union der Sozialistischen Sowjet-Republiken

Teil II. Lieferung 1

Luftdruck in der U. S. S. R. nach Monatsmitteln

Von A. Kaminsky



ОГЛАВЛЕНИЕ

Предисловие	IX
Введение	1
I. Объем и характеристика разработанного материала	7
II. Увязка результатов наблюдений над давлением воздуха сети СССР с данными для соседних государств	13
III. Истинные суточные средние давления воздуха	20
IV. Средняя изменчивость месячных и годовых средних давлений воздуха в СССР	27
V. Приведение коротких рядов наблюдений над давлением воздуха к периоду 1881—1910 г.г.	34
VI. Приведение давления воздуха к уровню моря	51
VII. Определение абсолютных высот барометров	60
A. Определение высот барометров в приморских пунктах	60
B. Определение высот барометров по связи с реперами нивелировок большой точности в Европейской части СССР	61
C. Определение высот барометров по связи с реперами нивелировок Военно-Топографического Управления в Азиатской части СССР	64
D. Нивелировки железных дорог	68
E. Определение абсолютных высот барометров по связи с большими озерами и реками	76
F. Нивелировка б. Отдела Земельных Улучшений от Ялты до метеорологической станции на Ай-Петри	79
VIII. Построение средних изобар	79
IX. Изобары на уровне моря	86
X. Годовой ход давления воздуха	104
Заключение	118

ПРИЛОЖЕНИЕ

Таблица А. Среднее давление воздуха на территории СССР за 1881—1910 г.г.	2*
B. Среднее давление воздуха на высоте 500 м над уровнем моря в Азиатской части СССР к югу от 60° сев. широты	22*
C. Среднее давление воздуха на высоте 1.000 м над уровнем моря в районе Кавказа	23*
D. Среднее давление воздуха на высоте 1.500 м над уровнем моря в районе Кавказа	24*
E. Годовые колебания давления воздуха на уровне моря по месячным средним. 1881—1910 г.г.	25*
F. Наибольшие и наименьшие месячные и годовые средние величины давления воздуха на уровне моря. 1881—1910 г.г.	34*
G. Средняя изменчивость месячных и годовых средних давлений воздуха по наблюдениям за 1881—1910 г.г.	38*
Алфавитный указатель станций	39*

INHALT

Vorwort	IX
Einleitung	1
I. Umfang und Charakteristik des bearbeiteten Materials	7
II. Der Anschluss der Beobachtungsergebnisse des Luftdrucks des Netzes der USSR an die Werte der Nachbarstaaten	13
III. Wahre Tagesmittel des Luftdrucks	20
IV. Mittlere Veränderlichkeit der Monats- und Jahresmittel des Luftdrucks in der USSR	27
V. Reduktion kurzer Reihen der Luftdruckbeobachtungen auf die 30-jährige Periode 1881—1910	34
VI. Reduktion des Luftdrucks auf das Meeresniveau	51
VII. Bestimmung der Seehöhen der Barometer	60
A. Höhenbestimmung der Barometer an Küstenpunkten	60
B. Höhenbestimmungen der Barometer durch Anschluss an Präzisionsnivellements im Europäischen Teil der USSR	61
C. Bestimmung der Höhen der Barometer auf Grund des Anschlusses an die Nivellements der Militär-Topographischen Verwaltung im Asiatischen Teil der USSR	64
D. Nivellements der Eisenbahnen	68
E. Bestimmung der Seehöhen der Barometer mittelst Verbindungs-nivellements bis zu grossen Seen und Flüssen	76
F. Nivellement der Sektion für Landmelioration von Jalta bis zur meteorologischen Station auf dem Ai-Petri	79
VIII. Konstruktion der mittleren Isobaren	79
IX. Isobaren im Meeresniveau	86
X. Jahresgang des Luftdrucks	104
Schlussbetrachtung	118

BEILAGE

Tabelle A. Luftdruckmittel in der USSR für die Periode 1881—1910	2*
B. Luftdruckmittel in 500 m Seehöhe für den Asiatischen Teil der USSR südlich vom 60. Parallelkreise	22*
C. Luftdruckmittel in 1.000 m Seehöhe im Rayon des Kaukasus	23*
D. Luftdruckmittel in 1.500 m Seehöhe im Rayon des Kaukasus	24*
E. Jahresschwankung des Luftdrucks im Meeresniveau nach Monatsmitteln. 1881—1910	25*
F. Die höchsten und die niedrigsten Monats- und Jahresmittel des Luftdrucks im Meeresniveau. 1881—1910	34*
G. Mittlere Veränderlichkeit der Monats- und Jahresmittel des Luftdrucks nach Beobachtungen von 1881—1910	38*
Alphabetisches Verzeichnis der Stationen	41*

ИСПРАВЛЕНИЯ

Стр.		Напечатано						Должно быть					
6	30 строка снизу	гипсометрическая						гипсометрическая					
40	6-ая строка снизу	$V_b = 0.00215 d$						$V_d = 0.00215 d$					
105	6-ая строка кверху	(1A)						(1B)					
105	8-ая строка кверху	(1B)						(1A)					
6*	Таблица А. № 147. Пинск, абсолютная высота	*144 m						149.3 m					
10*	Таблица А. № 284. Камышин, широта	50° 25'						50° 5'					
10*	Таблица А. № 299. Скадовск, долгота	32° 36'						32° 55'					
12* и 13*	Таблица А. № 378. Еленовка, среднее давление на высоте станции	I	II	III	IV	V	VI	I	II	III	IV	V	VI
		703.1	703.2	702.6	703.1	705.2	705.1	603.1	603.2	602.6	603.1	605.2	605.1
		VII	VIII	IX	X	XI	XII	VII	VIII	IX	X	XI	XII
		705.1	706.1	707.0	708.0	706.0	704.6	605.1	606.1	607.0	608.0	606.0	604.6
		Год . . . 704.9						Год . . . 604.9					
12* и 13*	Таблица А. 379. Ново-Баязет, среднее давление на высоте станции	I	II	III	IV	V	VI	I	II	III	IV	V	VI
		700.8	701.0	700.6	701.3	703.2	703.2	600.8	601.0	600.6	601.3	603.2	603.2
		VII	VIII	IX	X	XI	XII	VII	VIII	IX	X	XI	XII
		703.3	704.3	705.1	706.0	703.9	702.4	603.3	604.3	605.1	605.1	603.9	602.4
		Год . . . 702.9						Год . . . 602.9					
14*	Таблица А. № 461. Зима, широта	53° 33'						53° 53'					
18*	Таблица А. № 612	Кристианетад						Кристианстад					
20*	Таблица А. № 655. Филиппополь, широта	42° 0'						42° 9'					

После того как таблицы Приложения были отпечатаны, были изменены названия некоторых городов. Ниже приводятся переименованные города с указанием новых их названий, причем дан и номер, каким каждая данная станция обозначена в таблице А.

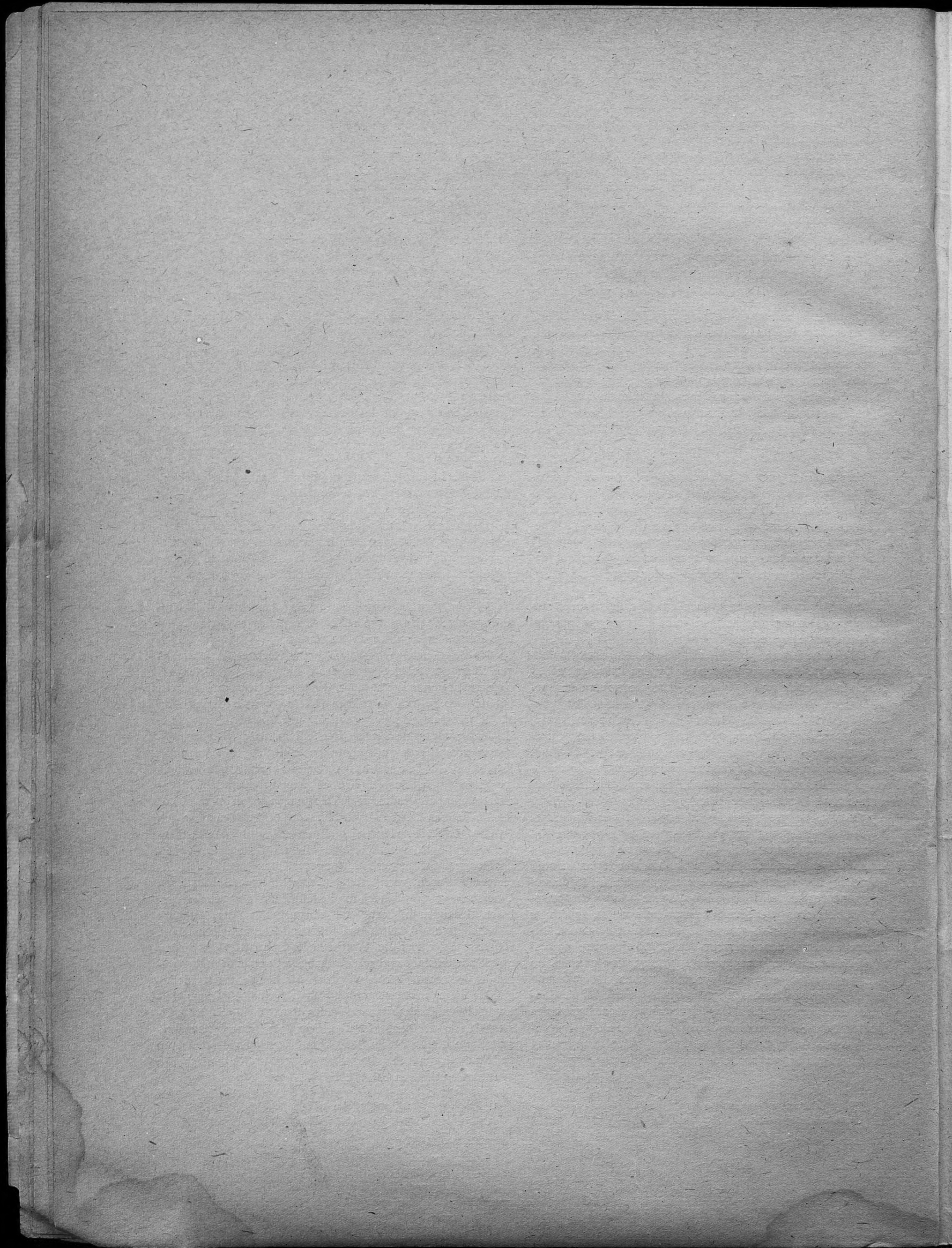
№	Прежние названия	Новые названия
2	Александровск	Полярное
5	Имандра	Хибины
25	Ревель	Таллин
49	Усть-Сысольск	Сыктывкар
53	Либава	Лепая
54	Виндава	Виндспелс
64	Двинск	Даугавпелс
81	Тверь	Калинин
91	Романов-Борисоглебск	Тутаев
143	Ковно	Каунас
205	Николаевское (в Саратовском районе)	Октябрьский Городок
211	Николаевск	Пугачев
248	Дзержинск (Елисаветград)	Зиновьевск
279	Каменская	Каменск Шахтинский
333	Владикавказ	Орджоникидзе
435	Киренск	Киренск Сибирский
443	Братский Острог	Братск
457	Кольчугинское	Ленинск Кузнецкий
458	Кузнецк	Кузнецк Сибирский
462	Усолъе	Усолъе Сибирское
478	Петровский Завод	Петровск Забайкальский
570	Ленинск Туркменский (Аму-Дарья)	Новый Чарджуй
579	Маргелан	Фергана

BERICHTIGUNGEN

Seite		Gedruckt						Soll sein					
32	17-te Zeile von unten	reell						real					
63	4-te Zeile von oben	Beziehungspunkte						Stützpunkte					
105	6-te Zeile von oben	(IA)						(IB)					
105	8-te Zeile von oben	(IB)						(IA)					
6*	Tabelle A. № 147. Pinsk, Seehöhe . .	*144 m						149.3 m					
10*	Tabelle A. № 284. Kamyschin, Breite .	50° 25'						50° 5'					
10*	Tabelle A. № 299. Skadowsk, Länge .	32° 36'						32° 55'					
		I	II	III	IV	V	VI	I	II	III	IV	V	VI
12* u. 13*	Tabelle A. № 378. Elenowka, mittlerer Luftdruck auf die Seehöhe der Sta- tion bezogen	703.1	703.2	702.6	703.1	705.2	705.1	603.1	603.2	602.6	603.1	605.2	605.1
		VII	VIII	IX	X	XI	XII	VII	VIII	IX	X	XI	XII
		705.1	706.1	707.0	708.0	706.0	704.6	605.1	606.1	607.0	608.0	606.0	604.6
		Jahr 704.9						Jahr 604.9					
		I	II	III	IV	V	VI	I	II	III	IV	V	VI
12* u. 13*	Tabelle A. № 379. Nowo-Bajaset, mitt- lerer Luftdruck auf die Seehöhe der Station bezogen	700.8	701.0	700.6	701.3	703.2	703.2	600.8	601.0	600.6	601.3	603.2	603.2
		VII	VIII	IX	X	XI	XII	VII	VIII	IX	X	XI	XII
		703.3	704.3	705.1	706.0	703.9	702.4	603.3	604.3	605.1	605.1	603.9	602.4
		Jahr 702.9						Jahr 602.9					
14*	Tabelle A. № 461. Sima, Breite . . .	53° 33'						53° 53'					
20*	Tabelle A. № 655. Philippopol, Breite .	42° 0'						42° 9'					

Nachdem die Tabellen der Beilage abgedruckt waren, sind einige Städte umbenannt worden. Unten gebe ich ein Verzeichnis der umbenannten Städte und ihre neuen Benennungen, wobei auch die №№ angegeben sind, unter denen in Tabelle A die Stationen aufgeführt werden.

№	Früherer Name	Neue Benennung
2	Alexandrowsk	Polarnoe
5	Imandra	Chibiny
25	Reval	Tallin
49	Ust-Ssyssolsk	Ssyktywkar
53	Libau	Lepaja
54	Windau	Windspels
64	Dwinsk	Daugawpels
81	Twer	Kalinin
91	Römanow-Borissoglebsk	Tutaew
143	Kowno	Kaunas
205	Nikolaewskoe (Distrikt Ssarátow)	Oktjabrskij Gorodok
211	Nikolaewsk	Pugatschew
248	Dsershinsk (Elissawetgrad)	Sinowjewsk
279	Kamenskaja	Kamensk Schachtinskij
333	Wladikawkas	Ordshonikidse
435	Kirensk	Kirensk Sibirskij
443	Bratskij Ostrog	Bratsk
457	Koltschuginskoe	Leninsk Kusnezskij
458	Kusnezsk	Kusnezsk Sibirskij
462	Ussolje	Ussolje Sibirskoe
478	Petrowskij Sawod	Petrowsk Sabaikalskij
570	Leninsk-Turkmenskij (Amu-Darja)	Nowyj Tschardshui
579	Margelan	Ferghana



ВВЕДЕНИЕ

Средние изобары на уровне моря по месяцам и за год для территории СССР в первом приближении впервые представлены А. Бэканом (A. Buchan)¹⁾ на картах распределения среднего давления для всего земного шара, изданных в 1869 г. Внутри Азиатского материка в пределах России к тому времени не была определена абсолютная высота ни одной станции посредством точной нивелировки. К северу от Якутска (С. шир. 62°) Бэкан не мог воспользоваться наблюдениями ни для одного пункта. С достаточной точностью были определены высоты лишь нескольких приморских пунктов, на что указал впоследствии М. А. Рыкачев²⁾. Очевидно, что изобары для нашей страны Бэкан мог строить, главным образом, лишь на основании предположений, вытекающих из рассмотрения данных для лучше изученных стран. Но полученными в этой первой его работе, касающейся и нашей страны, результатами он не удовлетворился и продолжал в течение многих лет собирать новые материалы для освещения вопроса о распределении давления на земном шаре. Из дальнейших его работ по данному вопросу отмечу как представляющее уже крупный шаг вперед исследование, появившееся в 1889 г. в трудах экспедиции, снаряженной на судне Челленджер («Challenger»)³⁾. К этому труду приложены новые средние месячные и годовые изобары для земного шара через 0.05 дюйма или 1.3 мм, построенные на основании наблюдений за 15 лет (1870—1884). Хотя и ко времени построения этих изобар Бэкан располагал для Азиатской части СССР довольно скудным материалом, не позволявшим выявить детали в распределении давления, однако, имея перед собою картину для всего земного шара, он мог набросать схему, в значительной своей части получившую подтверждение и в отношении территории нашего Союза в работах более позднего времени. Не останавливаясь здесь на сделанных А. Бэканом во втором труде исправлениях по сравнению с первоначальными картами распределения давления воздуха в отношении нашей территории, так как к ним придется вернуться, замечу только, что последняя работа этого исследователя по интересующему нас вопросу появилась в 1900 г.⁴⁾ Характерным является факт, что этот выдающийся ученый

EINLEITUNG

Für das Territorium der USSR wurden mittlere auf das Meeresniveau reduzierte Jahres- und Monatsisobaren in erster Annäherung von A. Buchan¹⁾ auf Karten der Verteilung des mittleren Luftdrucks für die ganze Erde im Jahre 1869 geliefert. Innerhalb Asiens war damals im Bereich Russlands für keine einzige Station die Seehöhe auf Grund genauer Nivellements bekannt. Buchan konnte sich der Beobachtungen keines Punktes nordwärts von Jakutsk bedienen. Bloss die Höhen einiger Punkte am Meeresufer waren mit genügender Genauigkeit bestimmt, worauf Rykatschew²⁾ in der Folge hingewiesen hat. So konnte Buchan die Isobaren für unser Land hauptsächlich auf Grund von Voraussetzungen, welche aus dem Studium anderer, besser erforschter Länder entsprangen, konstruieren. Doch befriedigten ihn die Resultate, die er in seiner ersten Arbeit, welche auch unser Land einschliesst, gewonnen hatte, nicht und er liess nicht nach im Laufe von vielen Jahren neues Material zum Studium der Luftdruckverteilung auf der Erde zu sammeln. Von seinen späteren, diese Frage betreffenden Arbeiten erwähne ich noch die im Zusammenhang mit der Challenger-Expedition ausgeführte Untersuchung³⁾, welche im Jahre 1889 erschien und einen grossen Schritt vorwärts bedeutet. Dieser Arbeit sind neue Monats- und Jahresisobaren über 0.05 Zoll oder 1.3 mm für die ganze Erde beigelegt, welche auf Grund der Beobachtungen für 15 Jahre (1870—1884) konstruiert sind. Obwohl Buchan, als er diese Isobaren zeichnete, für den Asiatischen Teil Russlands über ein recht unzureichendes Material verfügte, welches die Erforschung der Details in der Luftdruckverteilung unmöglich machte, konnte er dennoch — da er ein Bild für die ganze Erde vor sich hatte — ein Schema entwerfen, welches in Betreff des Territoriums unseres Landes in Arbeiten jüngerer Zeit grösstenteils Bestätigung fand. Ich werde mich bei den Ergebnissen der zweiten von mir erwähnten Arbeit von Buchan, die sich auf Luftdruckverteilung auf unserem Territorium beziehen, nicht aufhalten, da ich auf sie noch zurückzukommen beabsichtige. Ich will nur erwähnen, dass die letzte, die uns interessierende Frage betreffende Untersuchung dieses Forschers im Jahre 1900⁴⁾ erschienen ist. Charakteristisch ist die Tatsache, dass dieser hervorragende Gelehrte

¹⁾ A. Buchan. The Mean Pressure of the Atmosphere and the Prevailing Winds over the Globe, for the Months and for the Year. Part II. Transactions of the Royal Society of Edinburgh. Vol. XXV. Part II. 1869, p. 576.

²⁾ M. Rykatschew. La distribution de la pression atmosphérique dans la Russie d'Europe. Repertorium für Meteorologie. T. IV, № 6. 1874.

³⁾ A. Buchan. Report on atmospheric circulation. Report of the scientific results of the voyage of H. M. S. Challenger during the years 1873—76. 1889.

⁴⁾ A. Buchan. The mean atmospheric pressure and temperatur of the British Isles. Journal of the Scottish Met. Soc. Vol. XI. 1900.

¹⁾ A. Buchan. The Mean Pressure of the Atmosphere and the Prevailing Winds over the Globe, for the Months and for the Year. Part II. Transactions of the Royal Society of Edinburgh. Vol. XXV. Part II. 1869, p. 576.

²⁾ M. Rykatschew. La distribution de la pression atmosphérique dans la Russie d'Europe. Repertorium für Meteorologie. T. IV, № 6. 1874.

³⁾ A. Buchan. Report on atmospheric circulation. Report of the scientific results of the voyage of H. M. S. Challenger during the years 1873—76. 1889.

⁴⁾ A. Buchan. The mean atmospheric pressure and temperatur of the British Isles. Journal of the Scottish Met. Soc. Vol. XI. 1900.

в продолжении более чем тридцати лет в своей научной деятельности преимущественное внимание уделял вопросу о распределении среднего давления на земном шаре, факт, свидетельствующий о том, какое исключительно важное значение он ему придавал. Нигде на суше географические условия не представляют столь благоприятного сочетания для выяснения целого ряда особенностей общего характера в режиме давления воздуха, а вместе с тем и разных сторон общей циркуляции атмосферы, как именно на нашей территории, и поэтому понятно, почему каждый раз пополнение нашей наблюдательной сети в той или иной части Азиатской России, а также появление новых надежных материалов для определения абсолютных высот барометров наших станций служило поводом для проверки средних изобар нашей страны. Отмечу главнейшие из таких работ, придерживаясь хронологической последовательности их появления.

В 1874 г. издан замечательный по охвату разных сторон атмосферной циркуляции труд А. И. Воейкова¹⁾, к которому приложены средние изобары земного шара для января и июля. Воспроизводя в общих чертах изобары Бэкана, А. И. Воейков вносит в них ряд изменений в части Сибири и Центральной Азии, основываясь на данных о температурном режиме, ветрах и осадках. В этом труде на немногих страницах А. И. Воейков сумел, со свойственной ему исключительной талантливостью, ухватить чрезвычайно разнообразие климатического режима на всех материках и океанах с распределением среднего давления.

Специально для России первые карты средних изобар были даны М. А. Рыкачевым²⁾ и Э. В. Штеллингом³⁾.

Благодаря проведенной Г. И. Вильдом реорганизации метеорологической сети в России мы располагаем для нашей страны однородными наблюдениями над давлением воздуха, начиная с 1870 г. С 1868 г. стали определяться на наших станциях инспектировавшими их специалистами Главной Геофизической Обсерватории поправки барометров и М. А. Рыкачев мог уже воспользоваться при построении средних месячных и годовых изобар Европейской России для ряда станций данными о давлении воздуха, отнесенными к нормальному барометру названной Обсерватории. Что же касается абсолютных высот барометров, то ко времени появления труда М. А. Рыкачева они были достаточно точно определены лишь для немногих приморских пунктов, внутри же Европейской России лишь для нескольких станций определение высот опиралось на триангуляцию, причем погрешности этих определений заключались в пределах до 10 м. Для остальных станций высоты барометров были найдены М. А. Рыкачевым по годовым изобарам.

Необходимо отметить, что М. А. Рыкачевым показания барометров были приведены к нормальной тяжести, т. е. к силе тяжести под широтой в 45° на уровне моря.

¹⁾ А. Вожеккоф. Die atmosphärische Circulation. Verbreitung des Luftdruckes, der Winde und der Regen auf der Oberfläche der Erde. Ergänzungsband VIII zu Petermann's Mittheilungen. 1874.

²⁾ М. Рыкачев. L. c.

³⁾ Е. Штелинг. Über die Seehöhen der meteorologischen Stationen in Sibirien auf Grundlage neuer Isobaren. Repertorium für Meteorologie. T. VI, № 11. 1879.

им Verlauf seiner mehr als dreissigjährigen wissenschaftlichen Tätigkeit seine grösste Aufmerksamkeit der Frage über die Verteilung des mittleren Luftdrucks auf der Erde zuwandte, — eine Tatsache, welche beweist, wie grosses Gewicht er auf diese Frage legte. Nirgends auf dem Kontinent findet man für die Erforschung einer ganzen Reihe von Eigentümlichkeiten allgemeinen Charakters im Regime des Luftdrucks und zugleich verschiedenartiger Folgeerscheinungen der allgemeinen Zirkulation der Atmosphäre so günstige Kombination von geographischen Faktoren, wie auf unserem Territorium. Daher ist es verständlich, dass die Ergänzung unseres Beobachtungsnetzes in diesem oder jenem Teil des Asiatischen Russlands, sowie das Erscheinen von mehr oder weniger wichtigem neuem zuverlässigem Material für die Bestimmung der Seehöhen der Barometer unserer Stationen jedesmal die Kontrolle der mittleren Isobaren unseres Landes veranlasste. Ich erwähne in chronologischer Reihenfolge die wichtigsten bezüglichen Arbeiten.

Im Jahre 1874 erschien eine Arbeit A. Wojeikofs¹⁾, welche dadurch von hervorragender Bedeutung war, dass sie verschiedene Seiten der atmosphärischen Zirkulation umfasste. Dieser Arbeit sind die mittleren Isobaren der ganzen Erde für Januar und Juli beigelegt. Beim Umzeichnen der Isobaren Buchans in allgemeinen Zügen führt Wojeikof in einem Teil Sibiriens und im zentralen Asien einige Abweichungen von den Originalkarten ein, indem er sich auf Daten über das Temperaturregime, die Winde und die Niederschläge stützt. In dieser Arbeit gelang es Wojeikof, dank seinem hervorragenden Forschersinn, die überaus grosse Verschiedenheit des klimatologischen Regimes mit der Verteilung des mittleren Luftdrucks in allen Ländern und auf allen Ozeanen in Einklang zu bringen.

Die ersten speziell für Russland gezeichneten Isobaren wurden von М. Rykatschew²⁾ und E. Stelling³⁾ geliefert.

Dank der von A. Wild ausgeführten Reorganisation des meteorologischen Netzes in Russland verfügen wir vom Jahre 1870 ab über homogene Beobachtungen über den Luftdruck. Vom Jahre 1868 an werden auf unseren Stationen Korrekturen der Barometer von Spezialisten des Physikalischen Zentral-Observatoriums, gelegentlich der Inspektionsreisen, bestimmt und М. Rykatschew konnte sich schon bei der Konstruktion der mittleren Monats- und Jahresisobaren des Europäischen Russlands für eine Reihe von Stationen solcher Daten über den Luftdruck bedienen, die auf das Normalbarometer des genannten Observatoriums reduziert waren. Was die Seehöhen der Barometer anbetrifft, so waren sie, als die Arbeit Rykatschews erschien, nur für einige Punkte am Meeresufer genügend genau bestimmt; innerhalb des Europäischen Russlands aber stützte sich die Bestimmung der Höhen auf Triangulationen, wobei die Ungenauigkeiten bis 10 m erreichten. Die Höhen der Barometer für die übrigen Stationen bestimmte Rykatschew nach den Jahresisobaren.

Es ist zu bemerken, dass Rykatschew die Angaben der Barometer auf die Normalschwere reduzierte, d. h. auf die Schwere auf dem Breitengrade 45° im Meeresniveau.

¹⁾ А. Вожеккоф. Die atmosphärische Circulation. Verbreitung des Luftdruckes, der Winde und der Regen auf der Oberfläche der Erde. Ergänzungsband VIII zu Petermann's Mittheilungen. 1874.

²⁾ М. Рыкачев. L. c.

³⁾ Е. Штелинг. Über die Seehöhen der meteorologischen Stationen in Sibirien auf Grundlage neuer Isobaren. Repertorium für Meteorologie. T. VI, № 11. 1879.

По инициативе Г. И. Вильда в 1874—1876 г.г. на средства Русского Географического Общества была произведена нивелировка от крайнего восточного пункта Оренбургской триангуляции (в станице Звериноголовской), высота которого была определена, до озера Байкала, а в 1878 г. была сделана увязка барометров четырех станций (Омск, Томск, Каинск, Иркутск) с реперами этой нивелировки. Это дало возможность Э. В. Штеллингу построить для южной части Азиатской России годовые и месячные изобары, опирающиеся до известной степени на измеренные высоты внутри страны. Не имея данных о высотах к северу от линии Омск—Томск—Иркутск, Э. В. Штеллинг, при проведении изобар, сделал допущение, что в Якутске среднее годовое давление на уровне моря такое же, как и в Иркутске, учитывая весьма низкие зимние температуры Якутска.

Зависимость распределения среднего давления от температурного режима на столько очевидна, что Г. И. Вильд решил воспользоваться вычерченными им изаномалами температуры, опиравшимися для северной части Азии в общих чертах не на предположения, а на наблюдения, для получения общего представления о распределении среднего давления на территории всей нашей страны¹⁾. Соотношение полученных им для разных частей Азиатской России числовых величин не подтвердилось накопленными впоследствии на севере Азии наблюдениями, но труд его представляет выдающийся интерес по той причине, что в нем впервые нашла яркое отражение мысль, что не только на морях, но и на материках распределение среднего давления воздуха зависит не исключительно от распределения температуры и находится также под влиянием динамических причин: северный максимум давления в январе и северный минимум в июле на картах Г. И. Вильда, как зависящие от аномалии в распределении температуры, не сливаются с южными максимумом и минимумом, происхождение которых не исключительно термическое.

Вполне точные наблюдения полярных экспедиций 1882—1884 г.г. дали в первом приближении, с погрешностью, не превышающей ± 1.0 мм, среднее годовое давление на побережье Ледовитого океана. Это было весьма большим достижением, которым не преминул воспользоваться Ханн²⁾ при черчении средних изобар года, января и июля для земного шара, помещенных в «Atlas der Meteorologie».

В некоторых районах нашей страны до середины восьмидесятых годов прошлого столетия сеть метеорологических станций значительно пополнялась, с другой же стороны, начиная со середины семидесятых годов, Европейская Россия постепенно покрывалась сетью точных нивелировок, с которыми, где только оказывалось возможным, увязывались барометры станций. Таким образом, накапливался надежный материал для изучения распределения среднего давления воздуха и открывалась возможность чертить средние изобары по данным, отнесенным к одному и тому же периоду, хотя и не очень продолжительному. Частичная

Auf Wild's Veranlassung wurde in den Jahren 1874—1876 auf Kosten der Russischen Geographischen Gesellschaft ein Nivellement vom äussersten östlichen Punkt der Orenburger Triangulation (im Kosakendorfe Swerinogolowskaja), dessen Höhe bestimmt war, bis zum Baikalsee ausgeführt; im Jahre 1878 wurden die Nullpunkte der Barometer von vier Stationen—Omsk, Tomsk, Kansk und Irkutsk—an die Höhenmarken dieses Nivellements angeschlossen. Dies ermöglichte E. Stelling Jahres- und Monatsisobaren für den südlichen Teil des Asiatischen Russlands, die sich auf bis zu gewissem Grade sichere Seehöhen innerhalb des Landes stützten, zu konstruieren. Da E. Stelling über keine Daten in Betreff der Höhen im Norden von der Linie Omsk—Tomsk—Irkutsk verfügte, machte er beim Zeichnen der Isobaren die Annahme, dass der mittlere Jahresluftdruck im Meeresniveau in Jakutsk gleich dem in Irkutsk sei, wobei er die überaus niedrigen Wintertemperaturen in Jakutsk in Betracht zog.

Die Abhängigkeit der Verteilung des mittleren Luftdrucks vom Temperaturregime ist so ausgesprochen, dass Wild beschloss, sich der von ihm gezeichneten Temperaturisanomalen, welche sich für den nördlichen Teil Asiens im allgemeinen auf Beobachtungen stützten, zu bedienen, um eine allgemeine Vorstellung über die Verteilung des mittleren Luftdrucks auf dem Territorium unseres ganzen Landes¹⁾ zu erhalten. Die Verteilung der von ihm für verschiedene Teile des Asiatischen Russlands erhaltenen Werte wurde zwar von den späterhin im Norden Asiens ausgeführten Beobachtungen nicht bestätigt, doch ist seine Arbeit von hervorragendem Interesse, weil in ihr zum ersten Mal ein Hinweis auf den Gedanken sich findet, dass die Verteilung des mittleren Luftdrucks sowohl auf den Meeren, als auch auf den Kontinenten nicht ausschliesslich von der Temperaturverteilung abhängt, sondern auch unter dem Einfluss dynamischer Ursachen steht: das nördliche Maximum des Luftdrucks im Januar und das nördliche Minimum im Juli, die ausschliesslich von Anomalien in der Temperaturverteilung abhängen, sind auf den Karten Wilds entsprechend vom südlichen Maximum und südlichen Minimum, deren Ursprung nicht lediglich thermisch ist, abgesondert.

Vollkommen genaue Beobachtungen der Polar-Expedition von 1882—1884 ergaben in erster Aproximation, mit einem Fehler, welcher ± 1.0 mm nicht überstieg, den mittleren Jahresluftdruck am Ufer des Eismeeres. Das war eine sehr grosse Errungenschaft und Hann²⁾ bediente sich ihrer beim Zeichnen der mittleren Jahres-, Januar- und Julisobaren für die ganze Erde, welche im Atlas der Meteorologie veröffentlicht sind.

Bis zur Mitte der achtziger Jahre des vorigen Jahrhunderts verdichtete sich das Netz der meteorologischen Stationen in einigen unserer Rayons bedeutend; andererseits, angefangen von der Mitte der siebziger Jahre, bedeckte sich das Europäische Russland allmählich mit einem Netz genauer Nivellierungen, mit welchen die Barometer der Stationen, wo es nun möglich war, verbunden wurden. Auf diese Weise sammelte sich ein zuverlässiges Material für das Studium der Verteilung des mittleren Luftdrucks an und es wurde die Möglichkeit erschlossen mittlere Isobaren auf Grund von auf eine bestimmte, wenn auch keine lange Periode reduzierten Daten zu zeichnen.

¹⁾ H. Wild. Über die Beziehungen zwischen Isobaren und Isanomalien der Temperatur. Mélanges Physiques et Chimiques tirés du Bull. de l'Académie des Sciences de St. Pétersbourg. T. XI, 1881.

²⁾ J. Hann. Atlas der Meteorologie. Berghaus' Physikalischer Atlas. Abt. III. 1887.

¹⁾ H. Wild. Über die Beziehungen zwischen Isobaren und Isanomalien der Temperatur. Mélanges Physiques et Chimiques tirés du Bull. de l'Académie des Sciences de St. Pétersbourg. T. XI, 1881.

²⁾ J. Hann. Atlas der Meteorologie. Berghaus' Physikalischer Atlas. Abt. III. 1887.

разработка этого материала была предпринята М. А. Рыкачевым и Б. И. Срезневским.

М. А. Рыкачев ¹⁾ напечатал средние месячные и годовые изобары года и четырех сезонов для района Каспийского моря, вычерченные на основании данных 21 станции за периоды от 3 до 39 лет. Приведения к одному периоду им не было сделано.

Б. И. Срезневским ²⁾ построены средние изобары года для Европейской России на основании данных за пятилетие 1881—1885 г.г., главным образом, с целью определения по ним высот барометров тех станций, которые не были связаны с реперами точных нивелировок.

В восьмидесятые годы прошлого столетия в связи с быстрым развитием нашей железнодорожной сети и производством капитальных работ по улучшению внутренних водных путей нивелирная сеть не только покрыла большую часть Европейской России, но и захватила некоторые районы Азиатской части. Однако, железнодорожные нивелировки по отдельным линиям, как и нивелировки речных изысканий, не увязывались между собой и, вообще говоря, не привязывались к точным нивелировкам Главного Штаба, что до крайности затрудняло использование их результатов для определения абсолютных высот метеорологических станций. Огромный труд по увязке всех наиболее точных нивелировок в нашей стране предпринял известный географ-геодезист А. А. Тилло, напечатавший сводки результатов нивелировок железных дорог и речных изысканий. Этот труд дал возможность значительно пополнить сеть пунктов, для которых определение высот барометров опирается на нивелировки удовлетворительной точности. Отмеченные достижения в области гипсометрии ставили не только перед климатологами, но и перед физикогеографами вообще, заманчивую задачу— проверить, в какой мере изобары для нашей страны, опиравшиеся на небольшое число станций с достаточно точно определенными абсолютными высотами, отвечали действительному распределению среднего атмосферного давления. За разрешение этой важной задачи взялся тот же А. А. Тилло, так много поработавший по уточнению знаний о рельефе России. В обширной монографии о давлении воздуха на пространстве России А. А. Тилло ³⁾ дает результаты разработки барометрических наблюдений не только для нашей страны, но и для всего Азиатского материка за 50 лет, с 1836 по 1885 г. На картах приложенного к монографии прекрасно изданного атласа средние годовые и месячные изобары для Европейской России прочерчены через миллиметр, но для Азии только годовые изобары даны через миллиметр, месячные же только через 5 мм. Средние месячные и годовые величины давления приведены к 50-летнему периоду, хотя, едва ли такому приведению можно придавать реальное значение. Дело в том, что нет никакой возможности точно установить поправки барометров на наших станциях за время до шестидесятых годов, тем более, что число опорных станций за период 1836—1885 г.г. на всей территории

М. Rykatschew und B. Sresnewsky unternahmen eine teilweise Bearbeitung dieses Materials.

М. Rykatschew ¹⁾ veröffentlichte mittlere Monats- und Jahresisobaren für den Rayon des Kaspischen Meeres, welche auf Grund von Daten von 21 Stationen für Perioden von 3 bis 39 Jahren gezeichnet sind. Eine Reduktion auf eine einheitliche Periode wurde von ihm nicht ausgeführt.

B. Sresnewsky ²⁾ konstruierte mittlere Jahresisobaren für das Europäische Russland auf Grund von Daten von fünf Jahren (1881—1885), zwecks Bestimmung der Barometerhöhen derjenigen Stationen, welche mit den Höhenmarken genauer Nivellierungen nicht verbunden waren.

In den achziger Jahren des vorigen Jahrhunderts bedeckte das Nivellementsnetz infolge der schnellen Entwicklung unseres Eisenbahnnetzes und der Ausführung kapitaler Arbeiten zur Vervollkommenheit unserer Wasserwege nicht nur einen grossen Teil des Europäischen Russlands, sondern es erstreckte sich auch auf einige Rayons des Asiatischen Teils. Die Nivellements der Eisenbahnen auf einzelnen Linien, sowie die Nivellements bei den Flussuntersuchungen hatten jedoch keinen Anschluss aneinander und an die genauen Nivellements des General-Stabs, was die Benutzung der Resultate für die Bestimmung der Seehöhen der meteorologischen Stationen im höchsten Grade erschwerte. Der bekannte Geograph-Geodät A. Tillo, welcher die Resultate der Nivellements unserer Eisenbahnen und Flussuntersuchungen zusammenfasste, unternahm die mühsame Arbeit, die genauesten Nivellements in unserem Lande in Einklang zu bringen. Diese Arbeit ermöglichte es, das Netz derjenigen Punkte bedeutend auszufüllen, für welche sich die Bestimmung der Höhen der Barometer auf Nivellements von genügender Genauigkeit stützt. Unsere Errungenschaften auf dem Gebiet der Hypsometrie stellten nicht nur der Klimatologie, sondern auch der physischen Geographie überhaupt die verlockende Aufgabe, zu prüfen, in welchem Masse die Isobaren für unser Land, welche auf einer geringen Anzahl von Stationen mit genügend genau bestimmten Seehöhen basierten, der tatsächlichen Verteilung des mittleren Luftdrucks entsprachen. Wiederum machte sich A. Tillo, der sich um die Vervollkommenheit unserer Kenntnisse über das Relief Russlands so sehr verdient gemacht hatte, an die Lösung dieser wichtigen Aufgabe. A. Tillo giebt in einer umfangreichen Arbeit über den Luftdruck in Russland ³⁾ die Resultate der Bearbeitung von Beobachtungen nicht nur für unser Land, sondern auch für den ganzen asiatischen Kontinent für 50 Jahre (1836—1885). Auf den Karten des der Arbeit beigelegten, schön ausgeführten Atlases sind mittlere Jahres- und Monatsisobaren für das Europäische Russland über einen Millimeter gezeichnet, für Asien jedoch sind nur die Jahresisobaren über ein Millimeter gegeben, die Monatsisobaren aber über 5 Millimeter. Die mittleren Monats- und Jahreswerte des Luftdrucks sind auf eine 50-jährige Periode reduziert, obwohl man einer solchen Reduktion kaum eine reale Bedeutung beimessen kann. Es giebt nämlich keine Möglichkeit die Korrekturen der Barometer

¹⁾ М. Рыкачев. Die Verteilung der Winde und des Luftdrucks im Kaspischen Meere. Repertorium für Meteorologie. XI, № 2. 1887.

²⁾ В. Срезневский. Die mittlere Verteilung des Luftdrucks im Europäischen Russland von 1881—1885. Repertorium für Meteorologie. T. XI, № 1. 1887.

³⁾ А. Тилло. Распределение атмосферного давления на пространстве Российской Империи и Азиатского материка на основании наблюдений с 1836—1885. Записки Русского Географического Общества по общей географии. Т. XXI. 1890.

¹⁾ М. Рыкачев. Die Verteilung der Winde und des Luftdrucks im Kaspischen Meere. Repertorium für Meteorologie, XI, № 2. 1887.

²⁾ В. Срезневский. Die mittlere Verteilung des Luftdrucks im Europäischen Russland von 1881—1885. Repertorium für Meteorologie. T. XI, № 1. 1887.

³⁾ А. Тилло. Répartition géographique de la pression atmosphérique sur le territoire de l'Empire de Russie et sur le continent asiatique d'après les observations depuis 1836 jusqu'à 1885. «Sapisski» der Russ. Geographischen Gesellschaft. T. XXI. 1890.

б. России, как видно из сводки А. А. Тилло, в которую вошли наблюдения всего 163 станций, не превышало 11, причем барометры большинства этих станций до 1870 г. никем не проверялись и время от времени портились. Как бы то ни было, труд А. А. Тилло, как плод весьма тщательной разработки наблюдений гораздо более значительного числа станций, чем в работах прежних исследователей, опирающийся на точные определения высот барометров во многих пунктах не только Европейской, но и Азиатской части страны, явился крупным шагом вперед в деле изучения колебаний и распределения давления воздуха в особенности в Азии. В виду обнаружившегося весьма значительного расхождения результатов двух нивелировок (около 20 м), соединивших Байкал с Балтийским морем, А. А. Тилло в отношении Азии ограничился выяснением зависимости распределения давления от температурного режима, от очертаний берегов материка и от размеров материка, не задаваясь вопросом о существовании других факторов, влияние которых на распределение давления можно было предполагать по аналогии, в особенности, с данными для океанов, а также на основании теоретических исследований. Труд А. А. Тилло, осветив ряд существенных вопросов, подводил к проблеме, которая должна была привлечь к себе внимание метеорологов.

Руководя обработкой наблюдений метеорологических станций 2-го разряда для Летописей Главной Геофизической Обсерватории, Р. Р. Бергман и я не могли не заинтересоваться этой проблемой, не решать ее для себя, подвергая проверке и критике наблюдения над давлением воздуха за отдельные годы. Независимо друг от друга, мы пытались подойти к ее решению, идя разными путями: Р. Р. Бергман приступил к составлению сводки средних месячных величин давления по 1895 г. с начала наблюдений, используя свой весьма большой опыт по оценке качества наблюдений и свою широкую осведомленность относительно развития нашей сети и ее работы, я же занялся собиранием и увязкой данных нивелировок, не вошедших в сводки С. Д. Рылке и А. А. Тилло, и заботился о включении барометров метеорологических станций в нивелирную сеть. Когда и тот и другой труд перестали носить характер лишь вспомогательных работ, и чисто научные задачи, стоявшие перед нами, вполне определились, мы объединились для совместного продолжения исследования.

Первым результатом этого исследования явились карты распределения среднего атмосферного давления по месяцам и за год в Климатологическом Атласе Главной Физической Обсерватории с пояснениями к ним в приложенной к Атласу брошюре¹⁾. Разработка данных о давлении воздуха за 1871—1895 г. г. для Европейской России была произ-

ау unseren Stationen vor den sechziger Jahren zu bestimmen, umso mehr, als die Zahl der Bezugs-Stationen für die Periode 1836—1885 auf dem ganzen Territorium Russlands, wie aus den Sammeltabellen A. Tillo's, die die Beobachtungen im ganzen von nur 163 Stationen umfassen, zu ersehen ist, 11 Stationen nicht übersteigt. Es sei noch erwähnt, dass die Barometer der Mehrzahl dieser Stationen bis zum Jahre 1870 von Niemand kontrolliert wurden und von Zeit zu Zeit verderben. Wie dem auch sei, bedeutete die Arbeit A. Tillo's, weil sie sich auf eine sehr genaue Bearbeitung einer bedeutend grösseren Anzahl von Stationen, als die Arbeiten früherer Forscher, sowie auf genaue Höhenbestimmungen der Barometer auf vielen Punkten nicht nur des Europäischen, sondern auch des Asiatischen Teils unseres Landes stützte, einen wesentlichen Fortschritt im Studium der Schwankungen und der Verteilung des Luftdrucks, besonders auf dem Asiatischen Festlande. Da sich ein sehr bedeutendes Auseinandergehen (gegen 20 m) in den Resultaten zweier Nivellements, welche den Baikalsee mit dem Baltischen Meere verbanden, offenbarte, beschränkte sich A. Tillo in Bezug auf Asien auf eine Aufklärung der Abhängigkeit der Luftdruckverteilung von dem Temperaturregime, von den Uferumrissen und dem Umfang des Kontinents, ohne die Frage über das Vorhandensein anderer Faktoren zu behandeln, deren Einfluss auf die Luftdruckverteilung nach der Analogie, besonders mit den Ergebnissen für die Ozeane, und auf Grund theoretischer Untersuchungen vorausgesetzt werden könnte. Die Arbeit Tillo's führte, indem sie eine Reihe wesentlicher Fragen beleuchtet hatte, zum Problem, welches die Aufmerksamkeit der Meteorologen auf sich ziehen musste.

Dieses Problem erweckte bei R. Bergmann und bei mir, während wir uns mit der Bearbeitung der Beobachtungen der meteorologischen Stationen zweiter Ordnung für die Annalen des Geophysikalischen Zentral-Observatoriums befassten, ein grosses Interesse und wir versuchten dieses Problem anfangs bloss für uns selbst aufzuklären, indem wir die Beobachtungen über den Luftdruck für einzelne Jahre einer Durchsicht und Kritik unterwarfen. Unabhängig von einander, bemühten wir uns auf verschiedenen Wegen der Lösung dieses Problems näher zu treten. R. Bergmann begann mit der Zusammenstellung der Monatswerte des Luftdrucks bis 1895 incl., vom Beginn der Beobachtungen, wobei ihm seine überaus grosse Erfahrung bei der Beurteilung der Qualität der Beobachtungen und seine ausgiebige Kenntnis in Betreff der Entwicklung und der Arbeit unseres Netzes zu Gute kam. Ich sammelte die Daten der Nivellements, welche in den Zusammenstellungen von S. Rylke und A. Tillo nicht vorhanden waren, mit der Absicht sie in Einklang zu bringen, und sorgte dafür, dass die Barometer der meteorologischen Stationen in das Nivellementsnetz eingeschlossen würden. Als diese und jene Arbeit aufhörten den Charakter von Hilfsarbeiten zu tragen und die rein wissenschaftlichen Aufgaben, welche vor uns standen, ganz in den Vordergrund traten, beschlossen wir die Untersuchung gemeinsam fortzusetzen.

Als erstes Resultat erschienen im Kлиматологическом Атлас des Physikal. Zentral-Observatoriums Karten der Verteilung des mittleren Luftdrucks für Monate und für das Jahr mit Erläuterungen in einer dem Atlas beigelegten Broschüre¹⁾. Die Bearbeitung des Beobachtungsmaterials über den Luftdruck für die Jahre 1871—1895 für das Europäische Russland

¹⁾ Климатологический Атлас Российской Империи, изданный Главной Физической Обсерваторией, и Объяснительная записка к этому атласу. СПб. 1900.

¹⁾ Atlas Climatologique de l'empire de Russie publié par l'Observatoire Physique Central. 1900.

ведена Р. Р. Бергманом, для Азиатской России мною. Разработка гипсометрических данных для целей определения абсолютных высот барометров была исполнена мною и мною же прочерчены изобары. Средние месячные и годовые приведены к периоду 1871—1895 г.г. Ссылки на наши карты встречаются во многих русских и иностранных изданиях, но приписываются эти карты М. А. Рыкачеву, который выхлопотал средства на издание Атласа и был инициатором составления этого коллективного труда, но никакого участия в подготовке изобар не принимал. Годовые изобары для Азиатской России проведены через миллиметр, также как и изобары весенних, летних и осенних месяцев, изобары зимних месяцев вычерчены через 2 мм. Использованы нами наблюдения 393 станций. Для 203 станций взяты данные не меньше, чем за 10 лет. На наших картах за летние месяцы впервые обнаруживается выступ Азорского барометрического максимума, достигающий до Байкала, а также очерченный замкнутыми изобарами максимум давления в апреле и в мае в степном районе Зап. Сибири. Не останавливаясь на других выяснившихся в нашей работе особенностях распределения давления, так как о них придется говорить в дальнейшем, замечу лишь, что при выяснении этих особенностей я опирался на проверенные и достаточно надежные гипсометрические данные.

Атлас не был сопровожден обстоятельным, мотивированным изложением полученных результатов; в приложенной записке можно найти лишь весьма краткое упоминание о главнейших из них. Не было приложено к Атласу и сводки числового материала. Только гипсометрическая часть моей работы в отношении Азиатской России изложена отдельно в особой статье ¹⁾.

В 1917 г. появилась большая монография проф. В. Горчинского о давлении воздуха в Польше и в Европе с приложением карт распределения давления на всем земном шаре ²⁾. Изобары для Польши и для Европы прочерчены проф. Горчинским по данным, приведенным к периоду 1851—1900 г.г., через 0.5 мм; для всего земного шара даны карты в очень мелком масштабе. В этом большом и весьма содержательном труде кроме годового хода и распределения давления рассматриваются суточный ход, а также изменчивость этого элемента как во времени, так и в пространстве. Автором использованы наблюдения 46 станций нашей сети, преимущественно на западе Европейской части СССР.

Поместив карты изобар в Климатологическом Атласе, Р. Р. Бергман и я не считали свой труд законченным. Мы продолжали как собирание материала, так и выяснение ряда вопросов, нуждавшихся в дальнейшем освещении. Однако, работа эта подвигалась медленно, так как мы были вынуждены продолжать ее без участия технических сотрудников. Болезнь и смерть Р. Р. Бергмана, последовавшая в 1913 г., оборвали его участие в совместно с ним начатом исследовании.

wurde von R. Bergmann, für das Asiatische Russland von mir ausgeführt. Die Bearbeitung der hypsometrischen Daten, zwecks Bestimmung der absoluten Höhen der Barometer, wurde von mir geliefert; die Isobaren wurden ebenfalls von mir gezeichnet. Die Monats- und Jahresmittel wurden auf die Periode 1871—1895 reduziert. In vielen russischen und ausländischen Arbeiten beruft man sich auf unsere Karten, doch schreibt man dieselben M. Rykatschew zu, welcher die Mittel für die Ausgabe des Atlas verschafft hat und die Vorbereitung dieser kollektiven Arbeit veranlasste, jedoch bei der Konstruktion der Isobaren gänzlich unbeteiligt war. Die Jahresisobaren für das Asiatische Russland wurden über einen Millimeter gezeichnet, ebenso die Isobaren der Frühjahrs-, Sommer- und Herbstmonate; die Winterisobaren sind über 2 mm gezeichnet. Wir haben die Beobachtungen von 393 Stationen bearbeitet. Für 203 Stationen sind Daten für nicht unter 10 Jahren benutzt. Auf unseren Karten für die Sommermonate kommt zum ersten Mal ein Vorsprung des Azorischen barometrischen Maximums, der sich bis zum Baikalsee erstreckt, zum Vorschein, sowie ein von geschlossenen Isobaren umgebenes Maximum im Steppegebiet des westlichen Sibiriens im April und Mai. Ich halte mich bei anderen Eigentümlichkeiten der Luftdruckverteilung, welche unsere Arbeit ergab, nicht auf, da ich späterhin auf sie zurückkommen werde; ich will nur erwähnen, dass ich mich bei der Feststellung dieser Eigentümlichkeiten auf kontrollierte und genügend zuverlässige hypsometrische Daten stützte.

Der Atlas war von keiner ausführlichen und motivierten Diskussion der erhaltenen Resultate begleitet, nur in den beigegebenen Erklärungen wurden die wesentlichsten von ihnen ganz kurz erwähnt. Auch war keine Zusammenstellung des Zahlenmaterials dem Atlas beigelegt. Nur der hypsometrische Teil meiner Arbeit in Betreff des Asiatischen Russlands ist in einem besonderen Mémoire ¹⁾ dargelegt.

Im Jahre 1917 erschien eine grosse Arbeit von Prof. W. Gorczyński ²⁾ über den Luftdruck in Polen und in Europa, welcher Karten der Luftdruckverteilung auf der ganzen Erde beigegeben sind. Die Isobaren für Polen und für Europa sind von Prof. Gorczyński nach Daten, welche auf die Periode 1851—1900 reduziert waren, über 0.5 mm gezeichnet; für die ganze Erde sind Karten in sehr kleinem Masstabe gegeben. In dieser grossen und sehr inhaltreichen Arbeit wird ausser dem jährlichen Gang und der Verteilung des Luftdrucks noch der tägliche Gang, so wie die Veränderlichkeit in der Zeit und im Raum untersucht. Der Autor bediente sich der Beobachtungen von 46 Stationen unseres Netzes, hauptsächlich im Westen des Europäischen Teils der USSR.

Nachdem wir die Isobarenkarten im Klimatologischen Atlas veröffentlicht hatten, hielten R. Bergmann und ich unsere Aufgabe noch nicht für erledigt. Wir hörten nicht auf Material zu sammeln und eine Reihe von Fragen aufzuklären, welche einer weiteren Beleuchtung bedurften. Diese Arbeit ging jedoch langsam vorwärts, da wir sie ohne Mitwirkung technischer Mitarbeiter fortsetzen mussten. Krankheit und Tod R. Bergmann's, welche im Jahre 1913 erfolgten, unterbrachen sein Mitwirken an der gemeinsam mit ihm begonnenen Untersuchung.

¹⁾ А. Каминский. Определение абсолютных высот барометров метеорологических станций в Азиатской России. Записки Академии Наук. Т. XII, № 2. 1902.

²⁾ W. Gorczyński. O ciśnieniu powietrza w Polsce i w Europie (Pression atmosphérique en Pologne et en Europe). Pamiętnik Fizyograficzny. Warszawa. 1917.

¹⁾ A. Kaminsky. Die Bestimmung der Seehöhen der Barometer auf den meteorologischen Stationen im Asiatischen Russland. (Russisch). Mémoires de l'Académie des Sciences de St.-Petersbourg. 1901.

²⁾ W. Gorczyński. Pression atmosphérique en Pologne et en Europe. Pamiętnik Fizyograficzny (Physyographische Denkschriften). Warszawa. 1917.

С учреждением Климатологического Отдела Главной Геофизической Обсерватории в 1919 г. подготовка монографии о давлении воздуха в СССР включается в число программных работ этого Отдела.

Настоящая монография посвящена изучению годового хода и распределения давления воздуха на территории СССР по месячным и годовым средним, на основании наблюдений за 1881—1910 г.г. Все вошедшие в сводную таблицу и использованные как для изучения годового хода давления, так и для построения изобар, месячные и годовые средние приведены к периоду 1881—1910 г.г. Они приведены также к нормальной тяжести.

Не присоединены данные за пятилетие 1911—1915 г.г., так как за эти годы значительная часть наблюдений не опубликована и, отчасти, не подвергалась первоначальной обработке и проверке, вследствие чего не было возможности получить исправленные окончательными поправками результаты наблюдений и необходимые сведения как о поправках барометров, так и об их абсолютных высотах. Не приняты во внимание также использованные в Климатологическом Атласе наблюдения за 1871—1880 г.г., так как течение всего этого периода действовали далеко не все те станции, которые могли быть взяты как опорные за период 1881—1910 г.г. Должен при этом оговориться, что для многих станций я пользовался наблюдениями и за более поздние годы, до 1920 г., в особенности в таких районах, где до 1910 г. было весьма мало станций, но при этом приведение для всех станций делалось к периоду 1881—1910 г.г. Все, что было сделано до 1919 г. по подготовке монографии, оказалось необходимым заново переработать, так как прибавилось много нового материала и для многих станций были определены новые поправки и новые высоты барометров или же потребовалось выяснить степень достоверности принятых ранее поправок.

В прилагаемом к монографии атласе на картах изобар для уровня моря показано и направление ветра, при чем дается середина квадранта наибольшей повторяемости ветра и повторяемость ветра от этого квадранта. Данные о ветре взяты по наблюдениям за 1891—1915 г.г. или же приведены к этому периоду. Все необходимые пояснения к этим данным будут изложены в особой монографии, которая составит 2-й выпуск II-й части издания «Климат СССР». За период 1881—1910 г.г. для ветра можно было отобрать недостаточно опорных станций. Несовпадение периодов, для которых даются изобары и направление ветра, до некоторой степени затрудняет сопоставление результатов по двум представленным элементам, но все же в основных чертах и на моих картах выявляются разные особенности в распределении ветра, находящиеся в связи с распределением среднего давления.

I

Объем и характеристика разработанного материала

Материалом для настоящего исследования послужили наблюдения над давлением воздуха 670 станций, которые по продолжительности периодов, за которые взяты их данные, распределяются следующим образом.

Bei der Gründung der Klimatologischen Sektion des Physikalischen Zentral-Observatoriums im Jahre 1919 wurde die Vorbereitung der Monographie über den Luftdruck in Russland in die Zahl der Programmarbeiten dieser Sektion eingeschlossen.

Die vorliegende Arbeit ist dem Studium des Jahresganges und der Verteilung des Luftdrucks auf dem Territorium der USSR nach den Monats- und Jahresmitteln auf Grund von Beobachtungen für die Jahre 1881—1910 gewidmet. Alle in der Sammeltable enthaltenen und für den Jahresgang des Luftdrucks, sowie für die Konstruktion der Isobaren verwerteten Monats- und Jahresmittel sind auf die Periode 1881—1910 und auf die Normal-schwere reduziert.

Die Daten für die Jahre 1911—1915 sind nicht eingeschlossen, da ein bedeutender Teil der Beobachtungen für diese Jahre nicht veröffentlicht und teilweise der vorläufigen Bearbeitung und Berichtigung nicht unterzogen worden ist, weshalb es unmöglich war, definitiv korrigierte Beobachtungsergebnisse, sowie die notwendigen Angaben über die Korrekturen und die absoluten Höhen zu erhalten. Auch blieben die im Klimatologischen Atlas verwerteten Beobachtungen für die Jahre 1871—1880 unberücksichtigt, weil nicht alle Stationen, welche als Bezugsstationen für die Periode von 1881 bis 1910 hätten dienen können, im Verlauf dieser ganzen Periode funktioniert haben. Beiläufig muss noch erwähnt werden, dass ich mich für viele Stationen auch der Beobachtungen für spätere Jahre, bis 1920, bedient habe, besonders in solchen Rayons, wo bis zum Jahre 1910 sehr wenig Stationen waren, wobei für alle Stationen die Reduktion auf die Periode 1881—1910 ausgeführt wurde. Alles, was bis 1919 in Betreff der Vorbereitung der Arbeit getan war, musste, da neues Material zusammengebracht war, umgearbeitet werden und für viele Stationen wurden neue Korrekturen und neue Höhen der Barometer bestimmt oder es musste der Grad der Zuverlässigkeit der früher angenommenen Korrekturen aufgeklärt werden.

In dem der Arbeit beigelegten Atlas wird auf den Isobarenkarten für das Meeresniveau auch die Windrichtung angegeben, wobei die Mitte des Quadranten der grössten Windhäufigkeit und die Windhäufigkeit dieses Quadranten angegeben wird. Die Daten für den Wind wurden den Beobachtungen für die Jahre 1891—1915 entnommen, oder aber auf diese Periode reduziert. Alle notwendigen Erklärungen zu diesen Daten werden in einer besonderen Arbeit gegeben werden, welche das zweite Heft des II-ten Teils des Sammelwerkes «Das Klima d. USSR» bildet. Für die Periode von 1881 bis 1910 konnte keine genügende Zahl von Bezugsstationen verwertet werden. Der Umstand, dass die Perioden, für welche die Isobaren und die Windrichtung gegeben werden, nicht übereinstimmen, erschwert die Vergleichung der Resultate dieser zwei dargestellten Elemente; dennoch lassen sich auf meinen Karten verschiedene Eigentümlichkeiten in der Windverteilung, welche mit der Verteilung des mittleren Luftdrucks in ihren Grundzügen im Zusammenhang stehen, feststellen.

I

Umfang und Charakteristik des bearbeiteten Materials

Als Material für die vorliegende Untersuchung dienten die Luftdruckbeobachtungen von 670 Stationen, welche nach der Dauer der Perioden, für welche ihre Daten verwertet wurden, folgende Gruppen bilden.

ТЕРРИТОРИЯ	Число станций с наблюдениями: Anzahl der Stationen mit Beobachtungen von:								TERRITORIUM
	30 лет 30 Jahren	25—29 лет 25—29 Jahren	20—24 лет 20—24 Jahren	15—19 лет 15—19 Jahren	10—14 лет 10—14 Jahren	5—9 лет 5—9 Jahren	Менее 5 лет Weniger als 5 Jahren	Всего станций Gesamtzahl der Stationen	
В Европейской части СССР	13	19	32	50	65	87	15	281	Im Europäischen Teil der USSR.
В районе Кавказа	4	8	6	8	9	15	2	52	Im Rayon des Kaukasus
В Сибири	5	5	10	13	36	46	17	132	In Sibirien
В Средней Азии	1	2	5	7	17	14	9	55	In Mittelasien
В соседних государствах Европы . .	32	21	10	15	22	13	5	118	In benachbarten Staaten Europas
В соседних государствах Азии . . .	2	4	0	1	7	15	3	32	In benachbarten Staaten Asiens
Всего в СССР и за границей	57	59	63	94	156	190	51	670	Gesamtzahl der Stationen in d. USSR und ausserhalb der Union

Кроме наблюдений 670 станций, вошедших в таблицу А приложения, мною были использованы данные полярных экспедиций, а также наблюдения временных и постоянных станций в арктике. Как уже выше указано, в труде А. А. Тилло о давлении воздуха в России были приведены данные для 163 станций, из которых только 16 работали непрерывно в течение двадцатипятилетнего периода 1861—1885 г.г. (из них 5 за пределами СССР), а при построении изобар для Климатологического Атласа Гл. Физической Обсерватории были разработаны наблюдения всего 393 станций, из которых только 52 действовали непрерывно в течение всего периода 1871—1895 г.г. (из них 33 за пределами СССР).

Так как в монографиях о давлении воздуха для разных стран, вообще говоря, не приводятся результаты наблюдений за отдельные годы, то для предлагаемой монографии не только данные сети СССР, но и других сетей, выписывались, за немногими исключениями, из соответствующих ежегодников и отчасти из ежемесячных изданий, в которых публикуются наблюдения.

Привожу перечень источников, из которых извлечены данные наблюдений, обработанные для приложенной к этому труду сводки.

А. Источники по сети Главной Геофизической Обсерватории

1) „Летописи Главной Физической Обсерватории“ для всей России за 1881—1909 гг.

2) Корректированные оттиски и рукописи „Летописей ГФО“ за 1910 и 1911 гг. для всей б. России и за 1914 и 1915 гг. для Европейской России и для Средней Азии.

3) „Летописи Гл. Физической Обсерватории“ для районов Обсерваторий Свердловской (1914 г.), Иркутской (1914 и 1915 гг.), Тифлиской (1914 г.) и Владивостокской (1914 и 1915 гг.).

4) Подготовленные к изданию в „Летописях“ материалы по станциям в районах Свердловской (1912, 1913 и 1915), Иркутской (1912 и 1913) и Владивостокской Обсерваторий (1912 и 1913), а также для многих станций рукописные ежемесячные таблицы наблюдений за некоторые годы.

5) „Метеорологические наблюдения, произведенные на станциях Китайской Восточной и Уссурийской жел. дорог. 1909—1915“. (Харбин).

6) „Научные результаты экспедиции В. И. Роборовского“ (Метеорологические наблюдения в Лякчуне). Труды экспедиции Географического Общества по Центральной Азии (1893—95 гг.) под начальством В. И. Роборовского. 1899. Ч. III.

Ausser den Beobachtungen dieser 670 Stationen, welche in der Tabelle A der Beilage aufgeführt sind, habe ich mich noch der Daten der Polarexpeditionen, sowie der Beobachtungen der zeitweiligen und beständigen arktischen Stationen bedient. Wie bereits erwähnt, waren in der Arbeit A. Tillos Daten über den Luftdruck in Russland für 163 Stationen angeführt, von denen aber nur 16 im Verlauf der fünfundzwanzigjährigen Periode 1861—1885 ununterbrochen funktioniert haben (davon 5 ausserhalb Russlands); bei der Konstruktion der Isobaren für den Klimatologischen Atlas des Physikalischen Zentral-Observatoriums wurden Beobachtungen von nur 393 Stationen bearbeitet, von denen nur 52 im Verlauf der ganzen Periode 1871—1895 ununterbrochen funktioniert haben (darunter 33 ausserhalb Russlands).

Da im allgemeinen in den Untersuchungen über den Luftdruck für verschiedene Länder die Beobachtungsergebnisse für einzelne Jahre nicht angegeben werden, wurden für die vorliegende Arbeit nicht nur die Daten des Netzes der USSR, sondern auch anderer Netze, entsprechenden Jahrbüchern, teilweise auch Monats-Heften, in welchen Beobachtungen veröffentlicht werden, entnommen.

Unten führe ich das Verzeichnis der Quellen an, aus denen wir Beobachtungsergebnisse schöpften, welche für die dieser Arbeit beigegebene Zusammenstellung bearbeitet wurden.

А. Quellennachweis für das Stationsnetz des Geophysikalischen Zentral-Observatoriums

1) „Annalen des Physikalischen Central-Observatoriums“ für das ganze Russland (S. Petersburg). 1881—1894.

„Annales de l'Observatoire Physique Central“ (S. Pétersbourg), 1895—1909.

2) Korrekturbogen und Manuskripte der „Annales de l'Observatoire Physique Central“ von 1910 u. 1911 für das ganze Russland und von 1914 u. 1915 für das Europ. Russland und Turkestan.

3) „Annales de l'Observatoire Physique Central“ für die Stationsnetze der Observatorien von Swerdlowsk (1914), Irkutsk (1914 u. 1915), Tiflis (1914) und Wladiwostok (1914 u. 1915).

4) Das für die Annalen vorbereitete Beobachtungsmaterial von Stationsnetzen der Observatorien Swerdlowsk (1912, 1913 u. 1915), Irkutsk (1912 u. 1913) und Wladiwostok (1912 u. 1913), wie auch handschriftliche Monatstabellen der Beobachtungen von vielen Stationen.

5) Observations météorologiques faites aux stations des chemins de fer Chinois de l'est et d'Oussouri. 1909—1915. Kharbin.

6) Wissenschaftliche Ergebnisse der Expedition von W. J. Roborowsky (Meteorologische Beobachtungen in Ljuktshun). Arbeiten der Expedition der R. Geographischen Gesellschaft nach Zentral-Asien unter Leitung von W. J. Roborowsky. 1899. Th. III.

B. Источники по сетям соседних государств. — B. Quellennachweis für die Stationsnetze in den Nachbarstaaten

7) Observations météorologiques publiées par l'Institut Météorologique Central de la Société des Sciences de Finlande (Kuopio et Helsingfors). 1881—1900.

8) Meteorologisches Jahrbuch für Finland herausgegeben von der Meteorol. Zentralanstalt. 1901—1910.

9) Jahrbuch des Norwegischen Meteorologischen Instituts (Christiania). 1881—1910.

10) Observations météorologiques Suédoises publiées par l'Académie R. des Sciences de Suède (Stockholm). 1881—1910.

11) Preussische Statistik. Ergebnisse der meteorologischen Beobachtungen (Berlin). 1881—1884.

12) Ergebnisse der Meteorologischen Beobachtungen herausgegeben von dem K. Preussischen Meteorologischen Institut (Berlin). 1885—1886.

13) Deutsches Meteorologisches Jahrbuch. Beobachtungssystem des Königreichs Preussen u. benachbarter Staaten (Berlin). 1887—1910.

14) Jahrbücher der Central-Anstalt für Meteorologie u. Erdmagnetismus (Wien). 1881—1903.

15) Jahrbücher der Zentral-Anstalt für Meteorologie u. Geodynamik (Wien). 1904—1910.

16) Jahrbücher der Ungarischen Central-Anstalt für Meteorologie u. Erdmagnetismus (Budapest). 1881—1893.

17) Jahrbücher d. Ungarischen Reichs-Anstalt für Meteorologie u. Erdmagnetismus (Budapest). 1894—1909.

18) Annales de l'Institut Météorologique de Roumanie (Bucarest). 1885—1902.

19) Buletinul Observatiunii lor Meteorologice din România (București). 1903—1909.

20) Resultats des observations météorologiques de Sofia (Sofia). 1891—1898.

21) Annuaire de l'Institut Météorologique de Bulgarie (Sofia). 1899—1908. 1910.

22) Bulletin des observations de l'Observatoire Magnétique, Météorologique et Sismologique de Zi-ka-wei (Changhay). 1881—1910.

23) Annual Meteor. reports of the Meteorological Central Observatory of Japan (Tokio). 1886 1903, 1905—1915.

24) Reports of the meteorological observations in the empire of Japan (Tokio). 1883—1885.

25) Monthly report of the Central Meteorological Observatory of Japan (Tokio). 1904.

26) Report of the meteorological observations of the Meteorological Observatory. 1881—1882.

27) Result of the meteorological observations made in Wonson (Korea). 1904—1906. Tokio.

28) Result of the meteorological observations made in Fusan (Korea). 1904—1905. Tokio.

29) Result of the meteorol. observations made in Chemulpo (Korea). 1905—1906. Tokio.

30) H. E. Hamberg. La pression atmosphérique moyenne en Suède. 1860—1895. Svenska Vetenskaps-Akademiens Handlingar. Bd. 31, № 1, 1898.

31) H. Mohr. Klima-Tabeller for Norge. II. Lufttryk. Videnskabselskabets Skrifter. I. Math.-naturw. Klasse. 1896. № 1. Christiania.

Реорганизовавший метеорологическую сеть в России академик Г. И. Вильд заботился о том, чтобы станции снабжались однотипными приборами. В этом отношении им достигнуты большие успехи. В частности уже в 1881 г. на огромном большинстве станций нашей сети наблюдения над давлением воздуха велись по барометрам хорошей конструкции, вполне обеспечивающим точность определения давления до ± 0.1 мм и точность отсчетов до ± 0.05 мм. Показания барометров нашей сети приводились к нормальному барометру Главной Геофизической Обсерватории, построенному Г. И. Вильдом, вполне обеспечивающему определение давления с точностью до ± 0.01 мм¹⁾.

Барометры до отправки на станции сверялись с барометром ГГО или одной из ее филиальных (краевых) обсерваторий (Свердловской, Иркутской, Тифлисской и Владивостокской, последней с 1913 г.), а затем, время от времени, проверялись специалистами обсерваторий на станциях. Благодаря этому, я имел возможность к наблюдениям над давлением воздуха огромного большинства станций нашей сети применить поправки, определенные с достаточной точностью. Правда, вообще говоря, поправки барометров не оставались постоянными, они менялись в зависимости от причин, о которых говорится ниже, и на установление хода их изменений потребовалось положить чрезвычайно много труда, но произведенная весьма большая работа по выяснению поправок позволяет утверждать, что помещенные в таблицах этого исследования средние величины давления сравнимы между собой. Случавшиеся небольшие изменения поправок главных барометров филиальных обсерваторий удалось установить и учесть как при

Der Akademiker H. Wild, welcher das meteorologische Netz Russlands reorganisiert hat, sorgte dafür, dass die Stationen mit Instrumenten von gleichem Typus ausgerüstet würden. In dieser Hinsicht hat er grosse Erfolge erzielt. Im Speziellen ist zu bemerken, dass schon im Jahre 1881 die Beobachtungen über den Luftdruck auf einer sehr beträchtlichen Anzahl von Stationen unseres Netzes mit Barometern guter Konstruktion gemacht wurden, welche die Genauigkeit der Bestimmung des Luftdrucks bis ± 0.1 mm und die Genauigkeit der Ablesungen bis ± 0.05 mm durchaus garantierten. Die Angaben der Barometer des Netzes des Physikalischen Zentral-Observatoriums wurden auf das von H. Wild konstruierte Normal-Barometer des genannten Observatoriums reduziert, welches die Bestimmung des Luftdrucks mit einer Genauigkeit bis 0.01 mm¹⁾ garantierte.

Die Barometer wurden vor ihrer Absendung auf die Stationen mit dem Barometer des Physikalischen Zentral-Observatoriums oder eines seiner Filial-Observatorien (Swerdlowsk, Irkutsk, Tiflis und Wladiwostok, im letzten seit dem Jahre 1915) verglichen und darauf von Zeit zu Zeit von Spezialisten der Observatorien auf den Stationen verifiziert. Dank diesem Umstand konnten Korrekturen, welche mit genügender Genauigkeit bestimmt waren, an die Beobachtungen über den Luftdruck des grössten Teils unseres Stationennetzes angebracht werden. In der Regel zeichneten sich die Korrekturen der Barometer nicht durch Beständigkeit aus, sie änderten sich in Folge von Ursachen, von welchen ich unten reden werde, und die Aufklärung des Ganges ihrer Änderungen erforderte überaus viel Mühe, doch berechtigt die ausgeführte mühevollen Arbeit zum Schluss, dass die in den Tabellen in dieser Untersuchung angeführten Mittelwerte des Luftdrucks mit einander vergleichbar sind. Unbedeutende Änderungen der Korrekturen der Haupt-Barometer der Filial-

¹⁾ H. Wild. Über Normalbarometer und ihre Vergleichung. Bulletin de l'Académie de Sciences. St. Pétersbourg. T. XXIII. 1876.

H. Wild. Über die Bestimmung des Luftdruckes. Repertorium für Meteorologie. T. III. № 1.

¹⁾ H. Wild. Über Normalbarometer und ihre Vergleichung. Bulletin de l'Académie de Sciences. St. Pétersbourg. T. XXIII. 1876.

H. Wild. Über die Bestimmung des Luftdruckes. Repertorium für Meteorologie. T. III, № 1.

исправлении барометрических наблюдений самих обсерваторий, так и при исправлении показаний тех барометров, поправки которых были определены относительно барометров филиальных обсерваторий. Подробности о принятых мною поправках барометров я предполагаю опубликовать в особом выпуске настоящего издания, где будут напечатаны средние месячные величины давления за отдельные годы. Взяты мною наблюдения по достаточно точным барометрам, поправки которых, зависящие от неполной их исправности, были не особенно значительны и могли быть учтены.

На большинстве станций сети Главной Геофизической Обсерватории в период времени с 1881 г. по 1920 г. для наблюдений служили ртутные барометры в металлических оправах следующих трех типов:

- 1) Чашечный барометр системы Эди (Adie), с широкой систерной, имеющий шкалу с неравными делениями.
- 2) Сифонно-чашечный барометр Вильда-Фуса с диаметром трубки в 12 мм и
- 3) Сифонно-чашечный барометр Вильда-Туреттини с диаметром трубки в 8 мм.

Не останавливаясь здесь на достоинствах этих барометров, так как они получили широкое распространение и, по общему признанию, удовлетворяют тем требованиям, какие предъявляются к наблюдениям метеорологических станций; сделаю лишь ниже несколько замечаний об устойчивости их поправок.

Барометры перечисленных систем вводились на сети Главной Геофизической Обсерватории с начала семидесятых годов прошлого столетия, постепенно вытесняя менее совершенные барометры прежних систем, которые только на немногих станциях сохранились до девяностых годов и лишь в виде исключений до 1910 г.

К таким менее совершенным, но все же точным барометрам прежних систем относятся:

- 1) Сифонные барометры Купфера-Краузе, Купфера-Гиргенсона и Германа в деревянных оправах. Таких барометров было на станциях в 1881 г. — 16, в 1895 г. 8, в 1901 г. — один.
- 2) Барометры Фортена. В 1881 г. барометры этой системы работали на 8 станциях, в 1895 г. на 7, в 1901 г. на 4, в 1910 г. на 3.
- 3) Барометры Паррота сохранились, преимущественно, на станциях в горных районах. В 1881 г. такие барометры наблюдались на 5 станциях, в 1895 г. на 6, в 1901 г. на 5, в 1910 г. на 3.

Большей частью временно, в течение немногих лет отсчитывались на некоторых станциях барометры следующих типов:

Сифонный Шульце (Юрьев), Краевича (8 станций), Брюккера (4 станции на Кавказе), Фальберга (Киев), Брауера (1 ст.), Капеллера (1 ст.), Виноградского (1 ст.), Шпренгера (1 ст.), Штемпеля (1 ст.), Брекса (1 ст.), чашечные с широкой систерной механика Одесского Университета Тимченко (3 ст.), механика Казанского Университета Чепарина (3 ст.), Капеллера (1 ст.), Альбрехта (1 ст.), чашечные системы Alvergnyat (2 ст.) и морской Пасторелли (1 ст.).

В начале этого столетия получили некоторое распространение на юго-западе чашечные барометры Тонелло; такими барометрами временно или в течение всего последнего десятилетия взятого мною периода пользовались 10 станций.

Обсерватории konnten festgestellt und sowohl bei der Verbesserung der Barometerbeobachtungen der Observatorien selbst, als auch der Angaben derjenigen Barometer, deren Korrekturen in Bezug auf die Barometer der Filialobservatorien bestimmt waren, berücksichtigt werden. Ich beabsichtige die Details über die von mir angenommenen Korrekturen der Barometer in einem besonderen Heft des «Klima d. USSR», wo die Monatsmittel des Luftdrucks für einzelne Jahre gedruckt werden sollen, zu veröffentlichen. Ich habe Beobachtungen nur an genügend genauen Barometern benutzt, deren von ihren Mängeln herrührende Korrekturen unbedeutend waren und bestimmt werden konnten.

Auf den meisten Stationen des Netzes des Geophysikalischen Zentral-Observatoriums dienten für die Beobachtungen in der Zeitperiode von 1881 bis 1920 Quecksilberbarometer mit Metallfassungen folgender drei Typen:

- 1) Gefäßbarometer System Adie, mit einer breiten Cisterne, welches eine Skala mit ungleichen Teilungen hat.
- 2) Gefäßheberbarometer von Wild-Fuess mit einem Durchmesser der Röhre von 12 mm und
- 3) Gefäßheberbarometer von Wild-Turettini mit einem Röhrendurchmesser von 8 mm.

Ich werde mich hier bei den Vorzügen dieser Barometer nicht aufhalten, da sie sehr verbreitet sind und bekanntlich den Ansprüchen genügen, die an die Beobachtungen der meteorologischen Stationen gestellt werden; ich werde bloss unten einige Bemerkungen über die Beständigkeit ihrer Korrekturen geben.

Die Barometer der aufgezählten Systeme wurden Anfang der siebziger Jahre des vorigen Jahrhunderts auf dem Netz des Geophysikalischen Zentral-Observatoriums eingeführt und verdrängten allmählich die weniger vollkommenen Barometer der früheren Systeme, welche sich nur auf einigen Stationen bis 1910 erhalten haben.

Zu diesen nicht so vollkommenen, immerhin aber genauen Barometern früherer Systeme gehören:

- 1) Heberbarometer von Kupfer-Krause, Kupfer-Girgenson und Hermann in Holzfassung. Im Jahre 1881 gab es auf den Stationen 16 solcher Barometer, im Jahre 1895 nur 8, im Jahre 1901—1.
- 2) Barometer von Fortin. Im Jahre 1881 waren auf 8 Stationen Barometer dieses Systems in Betrieb, im Jahre 1895 auf 7, im J. 1901 auf 4 und im Jahre 1910 auf 3.
- 3) Barometer von Parrot dienten hauptsächlich auf Stationen in bergigen Rayons zu Beobachtungen. Im Jahre 1881 existierten solche Barometer auf 5 Stationen, im Jahre 1895 auf 6, im Jahre 1901 auf 5 und 1910 auf 3.

Grösstenteils zeitweilig, nur im Verlauf einiger Jahre, wurden auf manchen Stationen Barometer folgender Typen benutzt:

Heberbarometer von Schulze (Jurjew), Krajewitsch (8 Stationen), Brücker (4 Stationen im Kaukasus), Fahlberg (Kiew), Brauer (1 Station), Kapeller (1 St.), Winogradow (1 St.), Sprenger (1 St.), Stempel (1 St.), Brecks (1 St.), Gefäßbarometer mit einer breiten Cisterne des Mechanikers der Universität in Odessa Timtschenko (3 St.), des Mechanikers der Universität in Kasan Tscheparin (3 St.), von Kappeller (1 St.), Albrecht (1 St.), das Gefäßbarometer von Alvergnyat (2 St.) und das Marinebarometer von Pastorelli (1 St.).

Anfang dieses Jahrhunderts kamen einige Gefäßbarometer von Tonello im Südwesten zur Verteilung; 10 Stationen bedienten sich zeitweilig, oder im Verlauf der letzten 10 Jahre der von uns gewählten Periode solcher Barometer.

Из перечня видно, что не только барометры трёх рекомендованных Главной Геофизической Обсерваторией типов, но и почти все другие употреблявшиеся на станциях ее сети барометры были изготовлены хорошими мастерами и могут быть отнесены к достаточно точным инструментам. Правда, нельзя признать вполне удовлетворяющими предъявляемым к станционным барометрам требованиям барометры Краевича, поправки которых, вообще говоря, не отличаются устойчивостью, но я обработал наблюдения по этим барометрам лишь за те периоды, в отношении которых удалось установить постоянство поправки. Не вполне точный барометр Штемпеля наблюдался в Николаевске на Амуре течение 5 лет. Его показания обработаны для сводки, так как средние месячные не возбуждали сомнений.

Относительно поправок барометров необходимо сделать следующие замечания.

При проверке чашечных барометров в Главной Геофизической Обсерватории до декабря 1904 г. определялась лишь средняя поправка, причем предполагалось, что поправка мало меняется в пределах всей шкалы инструмента, однако выяснилось, что в действительности погрешности делений в разных частях шкалы у некоторых экземпляров чашечных барометров различны, причем разности между крайними значениями действительных поправок доходят до 0.5 мм. Отсюда следует, что средняя поправка, определенная в Г. Г. Обсерватории до декабря 1904 г., зависела от давления в дни проверки и могла отличаться на 0.2—0.3 мм от средней поправки к тому же барометру на станции, абсолютная высота которой на несколько десятков или на сотни метров отличается от высоты барометров Обсерватории. С декабря 1904 г. при проверке чашечных барометров определяются особые поправки для различных показаний в пределах шкалы. У сифонных барометров шкалы имеют равные деления и наносятся обычно без чувствительных погрешностей.

Поправки ртутных барометров меняются от следующих причин:

1) Вследствие проникновения воздуха в вакуум поправка меняется в положительном смысле. При этом изменение поправки на большую величину обнаруживается легко при сравнении показаний инструмента с данными для соседних станций. Не говоря о том, что при значительной депрессии вследствие проникновения воздуха в вакуум меняется чувствительность прибора или, другими словами, поправки для различных показаний меняются на неодинаковую величину, обычно, чем больше воздуха попало в вакуум, тем легче может увеличиться его количество. Ввиду указанных обстоятельств я, вообще говоря, не пользовался наблюдениями по таким барометрам, поправки которых, вследствие проникновения воздуха в вакуум, изменились более чем на 1 мм.

2) В отрицательном смысле меняются поправки барометра в случае отклонения его от вертикального положения. В иных случаях зависящие от этой причины погрешности показаний барометров достигали, как было установлено, 0.4—0.5 мм.

3) У сифонных барометров поправки меняются в отрицательном смысле вследствие загрязнения короткого колена их. Ртуть в коротком колене окисляется. При загрязнении короткого колена изменение поправки идет постепенно и достигает в иных случаях 0.5—0.6 мм.

Aus dem Gesagten ist zu ersehen, dass nicht nur die Barometer der drei vom Geophys. Zentral-Observatorium empfohlenen Typen, sondern beinahe alle Barometer, welche auf unserem Stationennetz benutzt wurden, von guten Meistern konstruiert waren und zu genügend genauen Instrumenten gezählt werden können. Freilich genügen die Barometer von Krajewitsch nicht ganz den Ansprüchen, welche an die Stationsbarometer gestellt werden, da sich ihre Korrekturen im allgemeinen nicht durch Beständigkeit auszeichnen; ich habe jedoch die Beobachtungen an diesen Barometern nur für diejenigen Perioden bearbeitet, für welche es mir gelang, die Beständigkeit der Korrekturen festzustellen. In Nikolaewsk am Amur wurden 5 Jahre lang Beobachtungen mit dem nicht ganz genauen Barometer von Stempel gemacht. Seine Angaben wurden aber für die Zusammenstellung bearbeitet, da die Monatsmittel keinen Zweifel erregten.

In Betreff der Korrekturen der Barometer ist Folgendes zu bemerken.

Bei der Prüfung der Gefäßbarometer im Geophysikalischen Zentral-Observatorium wurde bis zum Dezember 1904 nur die mittlere Korrektur bestimmt, wobei angenommen wurde, dass sich die Korrektur in den Grenzen der ganzen Skala des Instruments wenig verändert; es stellte sich jedoch heraus, dass die Fehler der Teilungen in verschiedenen Teilen der Skala bei einigen Exemplaren der Gefäßbarometer tatsächlich verschieden sind, wobei die Differenz zwischen den äussersten Werten der tatsächlichen Korrekturen 0.5 mm erreicht. Daraus ergibt sich, dass eine mittlere Korrektur, welche im Observatorium bis zum Dezember 1904 bestimmt war, von der mittleren Korrektur desselben Barometers auf einer Station, deren Seehöhe sich um einige zehn oder hundert Meter von der Höhe des Barometers des Observatoriums unterschied, um 0.2 bis 0.5 mm abweichen konnte. Vom Dezember 1904 werden bei der Prüfung der Gefäßbarometer besondere Korrekturen für verschiedene Angaben in den Grenzen der Skala bestimmt. Bei den Heberbarometern haben die Skalen eine gleichförmige Teilung und werden gewöhnlich ohne empfindliche Fehler hergestellt.

Änderungen der Korrekturen der Quecksilberbarometer werden durch folgende Ursachen bewirkt.

1) Infolge von Eindringen von Luft ins Vacuum ändert sich die Korrektur im positiven Sinne. Eine grosse Änderung der Korrektur offenbart sich leicht bei einer Vergleichung der Angaben des Instruments mit den Daten für die Nachbarstationen. Abgesehen davon, dass sich die Empfindlichkeit des Instruments bei starker Depression infolge von Eindringen von Luft ins Vacuum verändert, oder, anders gesprochen, die Korrekturen für verschiedene Angaben sich ungleich verändern, vergrössert sich das Quantum der Luft um so leichter, je grösser die Depression bereits ist. In Anbetracht der erwähnten Umstände habe ich mich im allgemeinen der Beobachtungen an solchen Barometern, deren Korrekturen infolge Eindringens von Luft ins Vacuum sich um mehr als 1 mm geändert haben, nicht bedient.

2) In negativem Sinne ändern sich die Korrekturen des Barometers im Falle seiner Abweichung von der vertikalen Lage. Wie festgestellt wurde, erreichten die dadurch verursachten Fehler der Angaben der Barometer 0.4—0.5 mm.

3) Bei den Heberbarometern verändern sich die Korrekturen in negativem Sinne infolge von Verunreinigung ihres kurzen Schenkels; da das Quecksilber im kurzen Schenkel mit der Zeit oxydiert. Bei Verunreinigung des kurzen Barometerrohres wächst allmählich die Korrektur und erreicht in manchen Fällen 0.5—0.6 mm.

4) Поправки у чашечного барометра меняются также в случае, если из его систерны выливается некоторое количество ртути. Такие случаи редки.

Так как, к сожалению, до последнего времени ни Главная Геофизическая Обсерватория, ни краевые Обсерватории не имели возможности достаточно часто инспектировать станции, вследствие чего барометры на местах проверялись в среднем не чаще чем в 5 лет раз, а на иных удаленных от обсерваторий станциях и реже, то нередко случалось, что в промежуток между двумя посещениями станций специалистами обсерваторий поправка барометра успевала измениться на величину, превышающую 0.5 мм. Во всех случаях, когда было констатиrowано при проверке изменение поправок барометров, я стремился по разностям между одновременными годовыми и месячными средними данной станции и ближайших к ней станций установить, во-первых, носит ли изменение поправки характер скачка или же оно шло постепенно, и во-вторых, к какому именно времени оно должно быть отнесено.

При определении поправок для времени между двумя последовательными проверками барометра принимались во внимание все указанные выше обстоятельства, влияющие на изменение поправок.

На точность в определении давления воздуха влияет, между прочим, точность в определении температуры ртути и шкалы барометра. На большинстве станций, в особенности в городах, барометры установлены в таких помещениях, где температура от пола до потолка весьма мало меняется, и в отношении таких станций о чувствительных погрешностях, зависящих от неточности в определении температуры ртути и шкалы барометра, говорить не приходится, но на ряде станций, в особенности на севере, неточности в определении температуры барометра могут быть значительны; установить зависящие от них погрешности средних месячных давления воздуха невозможно. Я мог только при использовании результатов наблюдений принимать во внимание, что на данной станции давление определялось—главным образом, в зимние месяцы—не вполне точно.

Остается еще упомянуть, что на степень точности в определении давления влияют и личные погрешности наблюдателей. Если при инспекции какой-либо станции или же путем сравнения результатов наблюдений этой станции с данными для соседних станций было установлено, что в тот или иной период наблюдения производились недостаточно точно, то данные за это время мною не принимались во внимание. Вообще в весьма редких случаях инспектировавшие станции лица убеждались, что тот или иной наблюдатель отсчитывал барометр с личной погрешностью, превышавшей 0.2 мм.

Не могло оказать чувствительного влияния на месячные средние величины давления и случавшееся на некоторых станциях не вполне аккуратное соблюдение сроков наблюдений. Зависящие от опозданий погрешности, вообще говоря, компенсируются и на средних выводах сказываются весьма мало.

Die Korrekturen des Gefäßbarometers ändern sich in dem Falle, wenn ein gewisses Quantum Quecksilber aus der Cisterne herausfließt. Solche Fälle sind selten.

Da leider weder das Physikalische Zentral-Observatorium, noch die Filial-Observatorien bis jetzt die Möglichkeit hatten die Stationen genügend oft zu inspizieren und infolgedessen die Barometer an Ort und Stelle im Mittel nicht öfter, als alle fünf Jahre einmal verglichen wurden, auf manchen von den Observatorien abgelegenen Stationen aber noch seltener, kam es öfters vor, dass in der Zeit zwischen zwei Inspektionen der Stationen von Spezialisten des Observatoriums die Korrektur des Barometers sich bis zu einem Wert, der 0.5 mm überstieg, änderte. In allen Fällen, wenn bei der Prüfung Veränderungen der Korrekturen der Barometer konstatiert wurden, bemühte ich mich nach den Differenzen zwischen den gleichzeitigen Jahres- und Monatsmitteln der gegebenen Station und der Nachbarstationen festzustellen, erstens, ob die Änderung der Korrektur den Charakter eines Sprunges trägt, oder ob sie allmählich vor sich gegangen ist, und zweitens, auf welche Zeit sie bezogen werden muss.

Bei Feststellung der Korrekturen für den Zeitraum zwischen zwei aufeinanderfolgenden Prüfungen des Barometers wurden alle Umstände, auf welche oben hingewiesen wurde und welche eine Änderung der Korrekturen bewirkten, in Betracht gezogen.

Auf die Genauigkeit der Bestimmung des Luftdrucks ist ausserdem die Genauigkeit der Bestimmung der Temperatur des Quecksilbers und der Skala des Barometers von Einfluss. Die Barometer sind auf den meisten Stationen, besonders in Städten, in solchen Räumlichkeiten aufgestellt, wo sich die Temperatur von der Diele bis zur Lage wenig ändert, und in Betreff solcher Stationen ist über fühlbare Fehler, welche von einer Ungenauigkeit in der Feststellung der Temperatur des Quecksilbers und der Barometerskala abhängig sind, nicht zu reden; auf einer Reihe von Stationen aber können die Ungenauigkeiten in der Temperaturbestimmung besonders im Norden, bedeutend sein; die von ihnen abhängigen Fehler in den Monatsmitteln des Luftdrucks festzustellen, ist unmöglich. Ich konnte bei Benutzung der Beobachtungsergebnisse nur in Betracht ziehen, dass der Luftdruck auf der gegebenen Station—hauptsächlich in den Wintermonaten—nicht ganz genau bestimmt wurde.

Es ist noch zu erwähnen, dass die Genauigkeit der Bestimmung des Luftdrucks von Ablesungsfehlern abhängen kann. Wenn bei der Inspektion einer Station oder durch Vergleichung der Beobachtungsergebnisse dieser Station mit den Daten der Nachbarstationen festgestellt wurde, dass die Beobachtungen in dieser oder jener Periode nicht genügend genau ausgeführt waren, zog ich die Daten dieser Zeitperiode nicht in Betracht. Die Inspektoren konstatierten im allgemeinen in sehr seltenen Fällen, dass Beobachter die Barometer mit einem persönlichen Fehler von mehr als 0.2 mm ablasen.

Das auf einigen Stationen nicht ganz pünktliche Einhalten der Beobachtungstermine konnte auch nicht ohne Einfluss auf die Monatsmittel des Luftdrucks bleiben. Doch im allgemeinen gleichen sich die Fehler, welche durch Verspätung verursacht werden, aus, und beeinflussen die Mittel nur wenig.

II

Увязка результатов наблюдений над давлением воздуха сети СССР с данными для соседних государств

Помещенные в таблицах настоящего труда данные о давлении воздуха по наблюдениям метеорологических станций в соседних государствах приведены, по сколько оказалось возможным, к нормальному барометру Главной Геофизической Обсерватории, с какой целью были использованы опубликованные сравнения главных барометров соответствующих центральных метеорологических учреждений. Даю здесь краткие сведения о принятых мною поправках к показаниям главных барометров отдельных сетей.

Финляндия. Главным барометром Гельсингфорского Метеорологического Института являлся с 1881 по 1903 г. барометр Гиргенсона системы Фортена, а с 1904 по 1910 г. сифонный барометр Вильда-Фуса № 434. С 1887 г. главные барометры ежегодно в разные сроки сверялись с нормальным барометром Зунделя № 3, находившимся в квартире проф. А. Ф. Зунделя (A. F. Sundell) и сверенным самим же изобретателем с нормальным барометром Главной Геофизической Обсерватории при посредстве специально для этой цели конструированного походного барометра ¹⁾. Поправка нормального барометра Зунделя № 3 найдена $= +0.01$ мм. Этот барометр оказался вполне удовлетворяющим требованиям, предъявляемым к нормальным барометрам ²⁾.

Поправка барометра Гиргенсона в 1878 г. была найдена Hellmann'ом $= -0.58$ мм ³⁾; в 1882 г. относительно нормального барометра Обсерватории в Кью, при посредстве барометра Casella, была получена поправка $= -0.59$ мм или, принимая поправку нормального барометра в Кью, согласно, с определением В. Х. Дубинского в 1908 г. $= +0.05$ мм ⁴⁾, $= -0.54$ мм относительно нормального барометра Главной Физической Обсерватории. Зундель указывает, что поправка барометра Гиргенсона менялась вследствие скользящего кольца с нониусом; на этом основании можно допустить, что изменение шло постепенно. Мною приняты к показаниям барометра Гиргенсона следующие поправки: за 1881 и 1882 г. г. $= -0.54$ мм, за 1883 г. $= -0.52$ мм, за 1884 г. $= -0.49$ мм, за 1885 г. $= -0.47$ мм, за 1886 г. $= -0.44$ мм и за 1887 г. $= -0.41$ мм.

¹⁾ A. F. Sundell. Barometervergleichen ausgeführt in den Jahren 1886–1887 an verschiedenen meteorologischen Centralanstalten. Acta Societatis Scientiarum Fennicae. T. XVI. 1887.

²⁾ А. Шенрок. Сопоставление результатов нескольких сравнений нормальных барометров в Европе. Приложение к LXIII т. Записок Академии Наук. № 2. Спб. 1890.

³⁾ G. Hellmann. Vergleichung der Normalbarometer von S.-Petersburg, Dorpat, Helsingfors, Stockholm u. Upsala. Repert. für Meteorologie T. VI, № 8. 1879.

⁴⁾ Рукописный отчет В. Х. Дубинского о его командировке за границу в 1908 г. Отдаю предпочтение определению В. Х. Дубинского перед определением Кистони и Таккини, произведенным в 1882 г., так как это последнее определение основывается на сравнениях при посредстве двух барометров, а не одного и поэтому менее надежно чем определение В. Х. Дубинского. Чувствительного изменения поправки нормального барометра нельзя предположить. Точно также нельзя приписать большой точности и определениям Зунделя, произведенным в 1886 г. и не давшим согласных результатов для нормального барометра в Кью.

II

Der Anschluss der Beobachtungsergebnisse des Luftdrucks des Netzes der USSR an die Werte der Nachbarstaaten

Die in den Tabellen der vorliegenden Arbeit gegebenen Daten über den Luftdruck nach Beobachtungen der meteorologischen Stationen in den Nachbarstaaten sind nach Möglichkeit auf das Normalbarometer des Geophysikalischen Zentral-Observatoriums reduziert. Zu diesem Zwecke wurden die veröffentlichten Vergleichen der Hauptbarometer der entsprechenden meteorologischen Zentralstellen verwertet. Ich gebe hier eine kurze Übersicht der von mir an die Angaben der Hauptbarometer der einzelnen Netze angebrachten Korrekturen.

Finnland. Als Hauptbarometer im Helsingforser Meteorologischen Institut galt in den Jahren von 1881 bis 1903 das Barometer von Girgenson nach dem System Fortin, vom Jahre 1904 bis 1910 aber das Heberbarometer von Wild-Fuess № 434. Vom Jahre 1887 an wurden die Hauptbarometer jährlich zu verschiedenen Zeiten mit dem Normalbarometer von Sundell № 3 verglichen. Dasselbe befand sich in der Wohnung des Prof. A. Sundell und wurde vom Erfinder selbst mit dem Normalbarometer des Physikalischen Zentral-Observatoriums mittels eines für diesen Zweck speziell konstruierten Reisebarometers verglichen ¹⁾. Die Korrektur des Normalbarometers von Sundell № 3 wurde zu $+0.01$ mm bestimmt. Dieses Barometer entsprach vollkommen den Ansprüchen, welche an Normalbarometer gestellt werden ²⁾.

Die Korrektur des Barometers von Girgenson wurde im Jahr 1878 von Hellmann $= -0.58$ mm gefunden ³⁾; in Bezug auf das Normalbarometer in Kew wurde mittelst des Barometers Casella im J. 1882 die Korrektur $= -0.59$ mm erhalten, oder, wenn man die Korrektur des Normalbarometers in Kew in Übereinstimmung mit der Bestimmung W. Dubinsky's im Jahre 1908 $= +0.05$ mm annimmt ⁴⁾, $= -0.54$ mm in Bezug auf das Normal-Barometer des Geophysikalischen Zentral-Observatoriums. Sundell weist darauf hin, dass die Korrektur des Barometers von Girgenson sich infolge von Herabgleiten des Rings mit dem Nonius änderte; daraus kann man schliessen, dass die Änderungen allmählich vor sich gingen. Ich nahm für die Angaben des Barometers von Girgenson folgende Korrekturen an: für die Jahre 1881 und 1882 $= -0.54$ mm, für 1883 $= -0.52$ mm, für 1884 $= -0.49$ mm, für 1885 $= -0.47$ mm, für 1886 $= -0.44$ mm und für 1887 $= -0.41$ mm.

¹⁾ A. F. Sundell. Barometervergleichen ausgeführt in den Jahren 1886–1887 an verschiedenen meteorologischen Centralanstalten. Acta Societatis Scientiarum Fennicae. T. XVI. 1887.

²⁾ A. Schönrock. Zusammenfassung der Resultate wiederholter Vergleichen der Normalbarometer in Europa. Repertorium für Meteorologie. Bd. XIII, № 1. 1889.

³⁾ G. Hellmann. Vergleichung der Normalbarometer von S.-Petersburg, Dorpat, Helsingfors, Stockholm u. Upsala. Repert. für Meteorologie. T. VI, № 8. 1879.

⁴⁾ Handschriftlicher Bericht von W. Dubinsky über seine Abkommandierung ins Ausland im Jahre 1908. Ich ziehe die Bestimmung W. Dubinsky's derjenigen von Chistoni und Tachini, welche im Jahre 1882 ausgeführt wurde, vor, da letztere nicht aus Vergleichen mit Hilfe eines Barometers, sondern durch Vermittlung zweier Barometer abgeleitet und deshalb weniger zuverlässig ist, als die Dubinsky's. Eine merkbare Änderung der Korrektur des Normalbarometers ist nicht zu bemerken. Ebenso kann man den Bestimmungen von Sundell, welche im Jahre 1886 ausgeführt wurden und keine übereinstimmenden Resultate für das Normalbarometer in Kew ergaben, keine grosse Genauigkeit beimessen.

Норвегия. Главным барометром Норвежского Метеорологического Института в Осло (Христиании) служили: с 1866 г. до сент. 1884 г. барометр Negretti и Zambra № 648 системы Фортена, а с октября 1884 г. сифонный барометр Фуса № 214. Из сравнений с барометрами, сверенными с нормальным барометром в Кью, поправка барометра № 648 была определена:

в мае . 1875 + 0.61 мм	в апреле. 1877 г. + 0.64 мм
в сент. . 1875 + 0.59 "	в сент. . 1883 г. + 0.51 "
в марте. 1876 + 0.58 "	в авг. . 1884 г. + 0.55 "

Относительно нормального барометра Гамбургской Морской Обсерватории (Seewarte) поправка в авг. 1884 г. получилась +0.60 мм¹⁾. Принимая поправку норм. барометра в Кью, согласно с определением В. Х. Дубинского в 1908 г. = +0.05 мм (см. сноску на стр. 13) и для нормального барометра Seewarte среднюю из определений Кистони в 1881 г., Зунделя в 1886 г. и П. И. Броунова в 1887 г. = +0.11 мм, т. е. (0.11 + 0.14 + 0.07): 3 мм и отбрасывая результат за сентябрь 1883 г.²⁾, выведенный из сличений одного только барометра, находим поправку барометра Negretti и Zambra № 648 за период с 1875 г. до сент. 1884 г. в среднем = +0.61 мм.

Сравнения с барометром Фуса № 214 с октября 1884 г. по 1893 г. показали, что поправка баром. № 648 в течение этого периода сохраняла свою величину (+0.61 мм) в пределах точности определений.

Барометр № 214 был сравнен в сент. 1884 г. с норм. барометром Seewarte в Гамбурге, в 1886 г. Зунделем (А. F. Sundell) с его нормальным барометром, а затем с норм. баром. Обсерватории в Кью в 1891 г. и 1895 г. Принимая поправку норм. баром. Seewarte = +0.11 мм, норм. бар. в Кью = +0.05 мм и норм. бар. Зунделя = +0.01 мм, получаем поправку баром. № 214 в среднем выводе = +0.12 мм, а именно (+0.11 + 0.07 + 0.19 + 0.12 + 0.09): 5 мм. Такую же величину принимает и Мohn, выводя ее, однако, несколько иным путем³⁾.

Швеция. Главным барометром шведской метеорологической сети с 1873 г. по сентябрь 1894 г. являлся чашечный барометр Pistor-Martin № 579 с широкой систерной, принадлежавший физическому кабинету Шведской Академии Наук. Поправка его относительно нормального барометра Гл. Геоф. Обсерватории была найдена: Hellmann'ом в 1878 г. = -0.09 мм⁴⁾, Кистони в 1881 г. = 0.00 мм⁵⁾, Зунделем в 1886 г. +0.06 мм⁶⁾. На основании этих сравнений с 1881 г. по сент. 1894 г. поправка барометра № 579 принимается Hamberg'ом в его труде о давлении воздуха в Швеции⁷⁾ равной 0.0 мм. Мною

Norwegen. Als Hauptbarometer des Norwegischen Meteorologischen Instituts in Oslo (Christiania) diente vom Jahre 1866 bis zum September 1884 das Barometer von Negretti und Zambra № 648, System Fortin, vom Oktober 1884 aber das Heberbarometer von Fuess № 214. Die Korrektion des Barometers № 648 wurde aus den Vergleichen mit Barometern, welche mit den Normalbarometern in Kew verglichen waren, wie folgt, bestimmt:

Im Mai 1875 + 0.61 mm	Im April 1877 + 0.64 mm
Im Sept. 1875 + 0.59 "	Im Sept. 1883 + 0.51 "
Im März 1876 + 0.58 "	Im Aug. 1884 + 0.55 "

In Bezug auf das Normalbarometer der Seewarte in Hamburg wurde die Korrektion im August 1884 = +0.60 mm erhalten¹⁾. Wenn man die Korrektion des Normalbarometers im Kew in Übereinstimmung mit der Bestimmung W. Dubinsky's = +0.05 mm im Jahre 1908 (siehe die Fussnote auf S. 13) und für das Normalbarometer der Seewarte das Mittel aus den Bestimmungen Chistoni's im Jahre 1881, Sundell's 1886 und P. Brounow's 1887 = +0.11 mm, d. h. (0.11 + 0.14 + 0.07): 3 mm, annimmt und das Resultat vom September 1883, welches aus den Vergleichen bloss mit einem Barometer hergeleitet wurde²⁾, vernachlässigt, so findet man die Korrektion des Barometers von Negretti und Zambra № 648 für die Periode von 1875 bis zum September 1884 im Mittel = +0.61 mm.

Die Vergleichen mit dem Barometer von Fuess № 214 vom Oktober 1884 bis 1893 haben gezeigt, dass die Korrektion des Barometers № 648 im Verlauf dieser Periode ihren Wert (+0.61 mm) in den Grenzen der Beobachtungsfehler behalten hat.

Das Barometer № 214 wurde im September 1884 mit dem Normalbarometer der Seewarte in Hamburg verglichen, im Jahre 1886 von A. Sundell mit seinem Normalbarometer und in den Jahren 1891 und 1895 mit dem Normalbarometer in Kew. Wenn man die Korrektion des Normalbarometers der Seewarte = +0.11 mm, des Normalbarometers in Kew = +0.05 mm und des Normalbarometers von Sundell = +0.01 mm annimmt, erhält man die Korrektion des Barometers № 214 im Mittel gleich = +0.12 mm, nämlich (+0.11 + 0.07 + 0.19 + 0.12 + 0.09): 5 mm. Denselben Wert nimmt auch Mohn an, nur dass er ihn auf anderem Wege herleitet³⁾.

Schweden. Hauptbarometer des Schwedischen meteorologischen Netzes war vom Jahre 1873 bis zum September 1894 das Gefässbarometer Pistor-Martin № 579 mit einer breiten Cisterne, welches dem physikalischen Kabinet der Schwedischen Akademie der Wissenschaften gehörte. Seine Korrektion in Bezug auf das Normalbarometer des Geophysikalischen Zentral-Observatoriums wurde von Hellmann im Jahre 1878 = -0.09 mm⁴⁾, von Chistoni im Jahre 1881 = 0.00 mm⁵⁾ und von Sundell im Jahre 1886 = +0.06 mm⁶⁾ bestimmt. Auf Grund dieser Vergleichen wurde vom Jahre 1881 bis September 1894 incl. die Korrektion des Barometers № 579 von Hamberg in seiner Arbeit über den Luftdruck in Schweden⁷⁾ gleich 0.0 mm angegeben.

¹⁾ H. Mohn. Klima-Tabeller for Norge. II. Lufttryk. Videnskabs-selskabets Skrifter. I. Math.-naturw. Klasse, 1896. № 1. Christiania.

²⁾ A. Шенрок. L. c.

³⁾ H. Mohn. L. c.

⁴⁾ G. Hellmann. L. c.

⁵⁾ Chistoni. Il barometro normale dell'Ufficio Centrale della Meteorologia Italiana. Ser. II, Vol. III, P. I. 1881.

⁶⁾ A. F. Sundell. L. c.

⁷⁾ H. E. Hamberg. La pression atmosphérique moyenne en Suède 1860—1895. Svenska Vetenskaps-Akademiens Handlingar. Bd. 31. № 1. 1898.

¹⁾ H. Mohn. Klima-Tabeller for Norge. II. Lufttryk. Videnskabs-selskabets Skrifter. I. Math.-naturw. Klasse, 1896. № 1. Christiania.

²⁾ A. Schönrock. L. c.

³⁾ H. Mohn. L. c.

⁴⁾ G. Hellmann. L. c.

⁵⁾ Chistoni. Il barometro normale dell'Ufficio Centrale della Meteorologia Italiana. Ser. II, Vol. III, P. I. 1881.

⁶⁾ A. F. Sundell. L. c.

⁷⁾ H. E. Hamberg. La pression atmosphérique moyenne en Suède 1860—1895. Svenska Vetenskaps-Akademiens Handlingar. Bd. 31. № 1. 1898.

принимались отнесенные к этому барометру данные давления воздуха по наблюдениям станций в Швеции без поправок.

С октября 1894 г. по 1906 г. поправки барометров на станциях Шведской сети определялись по отношению к главному барометру Метеорологической Обсерватории в Упсале Pistor-Martin № 578. Поправка этого барометра выводится Hamberg'ом из сравнений с барометром № 579 Стокгольмской Обсерватории, которые дали следующие результаты: в 1877 г. $+0.010$ мм (Rubenson), в 1888 г. 0.000 мм (Hamberg), в 1891—1892 г.г. -0.030 мм (Hamberg), в 1894—1895 г.г. -0.020 мм (Hamberg). Основываясь на этих данных, Hamberg принимает поправку барометра № 578 за 1894 и 1895 г.г. равной 0.0 мм¹⁾, с чем можно согласиться. Подтверждение дали сравнения, произведенные Вестманом (J. Westman) с нормальным барометром Зунделя № 3 в Гельсингфорсе в июле 1902 г.²⁾. Из этих сравнений выведена к барометру Pistor-Martin № 578 относительно нормального барометра Зунделя № 3 поправка 0.00 мм и, следовательно, относительно норм. барометра ГГО $+0.01$ мм. На основании записей сравнений, произведенных В. Х. Дубинским в сентябре 1908 г., мною числена к барометру № 578 тоже поправка $= 0.00$ мм.

С 1907 г. поправки барометров Шведской сети станций определялись относительно барометра Одермана (C. Åderman) № 1 системы Гей-Люссака, установленного в Стокгольме в Центральном Метеорологическом Институте. Про этот барометр в «Observations météorologiques Suédoises» за 1909 г. сообщается на основании многочисленных сличений его как с барометром Pistor-Martin № 579 в Стокгольме, так и с барометром Pistor-Martin № 578 в Упсале, что эти три барометра давали почти тождественные показания (des valeurs a peu près identiques).

Германия. Главным барометром Прусского Метеорологического Института в Берлине с 1881 по 1901 г. считался сифонный барометр Вильда-Фуса № 76, а с 1902 г. по 1910 г. сифонный барометр Вильда-Фуса № 423. Поправку барометра № 76 относительно нормального барометра Главной Геофизической Обсерватории нашли:

Вальдо (F. Waldo)³⁾ в 1883 г. $= -0.04$ мм,
Зундель (A. F. Sundell)⁴⁾ в 1886 г. $= -0.02$ мм.
П. И. Броунов⁵⁾ в 1887 г. $= -0.02$ мм.

А. М. Шенрок⁶⁾ показал, что произведенные в 1883 г. сравнения этого барометра с нормальным барометром Обсерватории в Кью дают не вполне точные результаты. Принимаю за все время поправку барометра № 76 $= -0.03$ мм. Поправка барометра № 423 относительно нор-

номмен. Ich benutzte die auf dieses Barometer reduzierten Daten über den Luftdruck nach den Beobachtungen der Stationen in Schweden ohne Korrekturen.

Vom Oktober 1894 bis 1906 wurden die Korrekturen der Barometer auf den Stationen des Schwedischen Netzes auf das Hauptbarometer des Meteorologischen Observatoriums in Upsala Pistor-Martin № 578 bezogen. Die Korrektur dieses Barometers wurde von Hamberg aus den Vergleichen mit dem Barometer № 579 des Stockholmer Observatoriums hergeleitet, aus denen sich folgende Resultate ergaben: im Jahre 1877 $= +0.010$ mm (Rubenson), im Jahre 1888 $= 0.000$ mm (Hamberg), in den Jahren 1891—1892 $= -0.030$ mm (Hamberg), in den Jahren 1894—1895 $= -0.020$ mm (Hamberg). Auf Grund dieser Daten nimmt Hamberg die Korrektur des Barometers № 578 für die Jahre 1894 und 1895 gleich 0.0 mm an¹⁾, welche man gelten lassen kann. Auch wurde sie durch die Vergleichen, welche J. Westman mit dem Normalbarometer von Sundell № 3 in Helsingfors im Juli 1902²⁾ ausgeführt hat, bestätigt. Aus diesen Vergleichen wurde für das Barometer Pistor-Martin № 578 bezogen auf das Normalbarometer von Sundell № 3 die Korrektur 0.00 mm hergeleitet und folglich in Bezug auf das Normalbarometer des Geophysikalischen Zentral-Observatoriums $= +0.01$ mm. Auf Grund der Vergleichen, welche von W. Dubinsky im September 1908 ausgeführt wurden, habe ich die Korrektur des Barometers № 578 $= 0.00$ mm berechnet.

Vom Jahre 1907 an wurden die Korrekturen der Barometer des Schwedischen Stationennetzes auf das Barometer von C. Ådermann № 1, System Gay-Lussac, welches im Meteorologischen Zentral-Institut in Stockholm aufgestellt ist, bezogen. Die «Observations météorologiques Suedoises» für das Jahr 1909 geben an, dass diese drei Barometer auf Grund zahlreicher Vergleichen, sowohl mit dem Barometer Pistor-Martin № 579 in Stockholm, als auch mit dem Barometer Pistor-Martin № 578 in Upsala, beinahe gleiche Werte aufwiesen (des valeurs a peu près identiques).

Deutschland. Als Hauptbarometer des Preussischen Meteorologischen Instituts in Berlin galt vom Jahre 1881 bis 1901 incl. das Heberbarometer von Wild-Fuess № 76, vom Jahre 1902 aber bis 1910 incl. das Heberbarometer von Wild-Fuess № 423. Die Korrektur des Barometers № 76 in Bezug auf das Normalbarometer des Geophysikalischen Zentral-Observatoriums fanden:

F. Waldo³⁾ im Jahre 1883 $= -0.04$ mm.
A. F. Sundell⁴⁾ im Jahre 1886 $= -0.02$ mm.
P. Brounow⁵⁾ im Jahre 1887 $= -0.02$ mm.

A. Schönrock⁶⁾ zeigte, dass die im Jahre 1883 ausgeführten Vergleichen dieses Barometers mit dem Normalbarometer des Observatoriums in Kew nicht ganz genaue Resultate ergeben. Ich nehme für die ganze Zeit die Korrektur des Barometers № 76 $= -0.03$ mm an. Die Korrektur des Barometers № 423 bezogen auf das Normalbarometer des

¹⁾ H. E. Hamberg. L. c.

²⁾ J. Westman. Comparaison entre les baromètres normaux d'Upsal et d'Helsingfors. Bihang till Svenska Vet.-Akad. Handlingar. B. 28, Afd. I, № 3 1902.

³⁾ F. Waldo. Comparisons of Signal-Service barometers in Europe and the United States. Monthly Weather Review. 1887. Pp. 119—121. Washington.

⁴⁾ A. F. Sundell. L. c.

⁵⁾ P. Brounow. Vergleichen der Normalbarometer einiger der wichtigsten meteorol. Institute Europas. Repert. für Meteorologie. T. XI, № 9.

⁶⁾ A. Шенрок. L. c.

¹⁾ H. E. Hamberg. L. c.

²⁾ J. Westman. Comparaison entre les baromètres normaux d'Upsal et d'Helsingfors. Bihang till Svenska Vet.-Akad. Handlingar. B. 28, Afd. I, № 3. 1902.

³⁾ F. Waldo. Comparisons of Signal-Service barometers in Europe and the United States. Monthly Weather Review. 1887. Pp. 119—121. Washington.

⁴⁾ A. F. Sundell. L. c.

⁵⁾ P. Brounow. Vergleichen der Normalbarometer einiger der wichtigsten meteorol. Institute Europas. Repert. für Meteorologie. T. XI, № 9.

⁶⁾ A. Schönrock. L. c.

мального барометра ГГО определена В. Х. Дубинским ¹⁾ в 1908 г. $= +0.01$ мм.

Австрия. Главным барометром Венского Центрального Метеорологического Института с 1881 по 1891 г. служил сифонный барометр Pistor № 279, а с 1892 г. по 1910 г. барометр работы Капеллера № 1403 системы Фортена. В 1910 и 1911 г.г. барометр № 1403 время от времени сравнивался с нормальным барометром Marek'a Венской Комиссии нормальных мер, поправка которого относительно барометра № 423 в Берлине была определена $= -0.032$ мм и, следовательно, относительно нормальн. бар. Гл. Г. Обс. $= -0.02$ мм ²⁾.

Поправка барометра № 279 была найдена:
в 1881 г. Кистони (Chistoni) ³⁾ $= -0.17$ мм (см. цитиров. статью С. Chistoni),
в 1882 г. Вальдо $= -0.08$ мм (см. цитиров. статью F. Waldo),
в 1886 г. Зунделем $= +0.13$ мм (см. цитиров. статью A. F. Sundell),
в 1887 г. П. И. Броуновым $= +0.11$ мм (см. цитиров. статью П. И. Броунова).

Произведенные сравнения с главным барометром Прусского Метеорологического Института дали в результате следующие поправки к барометру № 1403 относительно нормального барометра Гл. Геофиз. Обсерватории:

в мае 1902 г. $+0.01$ мм (Valentin) ⁴⁾,
осенью 1903 г. $+0.01$ мм (Nedelkovitch) ⁵⁾,
в 1909 г. $+0.32$ мм (Lüdeling) ⁶⁾.

Из сличений с упомянутым нормальным барометром Marek'a в Вене выяснилось, что изменение поправки барометра № 1403 произошло между октябрем 1908 г. и маем 1909 г. С 1906 г. к барометру № 1403 принимали поправку $+0.21$ мм относительно барометра № 423 в Берлине, но об определении этой поправки подробных сведений в литературе не имеется ⁵⁾. По всей вероятности, изменение поправки началось уже в 1906.

На основании приведенных результатов сравнений к главным барометрам Венского Центр. Метеорологического Института приняты следующие поправки:

К барометру № 279 в 1881 г. $= -0.17$ мм, в 1882 г. $= -0.08$ мм, в 1883 г. $= -0.05$ мм, в 1884 г. $= 0.00$ мм, в 1885 г. $= +0.06$ мм, в 1886 г. $= +0.13$ мм, в 1887 г. $= +0.11$ мм, в 1888 г. $= -0.04$ мм, в 1889 г. $= -0.02$ мм, в 1890 г. и 1891 г.г. $= -0.01$ мм.

К барометру № 1403 с 1892 г. до 1902 г. $+0.01$ мм, с 1903 г. по 1905 г. $+0.02$ мм, с 1906 г. по 1908 г. $+0.16$ мм, в 1909 и 1910 г.г. $+0.32$ мм. Впоследствии

Geophysikalischen Zentral-Observatoriums wurde im Jahre 1908 $= +0.01$ мм von W. Dubinsky ¹⁾ bestimmt.

Oesterreich. Als Hauptbarometer der Wiener Meteorologischen Zentralanstalt diente vom Jahre 1881 bis 1891 incl. das Heberbarometer Pistor № 279, vom Jahre 1892 aber bis 1910 das Fortin-Barometer von Kapeller № 1403. In den Jahren 1910 und 1911 wurde das Barometer № 1403 von Zeit zu Zeit mit dem Normalbarometer von Marek der Wiener Kommission für normale Masse verglichen, dessen Korrektur bezogen auf das Barometer № 423 in Berlin $= -0.032$ мм gefunden wurde, und folglich im Bezug auf das Normalbarometer des Geophysikalischen Zentral-Observatoriums $= -0.02$ мм ²⁾.

Die Korrekturen des Barometers № 297 wurde gefunden: im Jahre 1881 von Chistoni ³⁾ $= -0.17$ мм (siehe den zitierten Artikel von C. Chistoni),
im Jahre 1882 von Waldo $= -0.08$ мм (siehe den zitierten Artikel von F. Waldo),
im Jahre 1886 von Sundell $= -0.13$ мм (siehe den zitierten Artikel von Sundell),
im Jahre 1887 von P. Brounow $= +0.11$ мм (siehe den zitierten Artikel von P. Brounow).

Die ausgeführten Vergleichen mit dem Hauptbarometer des Preussischen Meteorologischen Instituts ergaben im Resultat in Bezug auf das Normalbarometer des Geophysikalischen Zentral-Observatoriums folgende Korrekturen des Barometers № 1403:

im Mai des Jahres 1902 $+0.01$ мм (Valentin) ⁴⁾,
im Herbst des Jahres 1903 $+0.02$ мм (Nedelkovitch) ⁵⁾,
im Jahre 1909 $+0.32$ мм (Lüdeling) ⁶⁾.

Es erwies sich aus der Vergleichung mit dem erwähnten Normalbarometer Marek's in Wien, dass die Veränderung der Korrektur des Barometers № 1403 in der Zeit zwischen Oktober 1908 und Mai 1909 stattgefunden hat. Vom Jahre 1906 an wurde für das Barometer № 1403 die Korrektur $+0.21$ мм in Bezug auf das Barometer № 423 in Berlin angenommen, doch giebt es keine genauen Angaben in der Literatur über die Bestimmung dieser Korrektur ⁵⁾. Aller Wahrscheinlichkeit nach hatte eine Änderung der Korrektur schon im Jahre 1906 begonnen.

Auf Grund der angeführten Vergleichungsergebnisse wurden für das Hauptbarometer der Wiener Meteorologischen Zentralanstalt folgende Korrekturen angenommen.

Für das Barometer № 279 im J. 1881 $= -0.17$ мм, 1882 $= -0.08$ мм, 1883 $= -0.05$ мм, 1884 $= 0.00$ мм, 1885 $= +0.06$ мм, 1886 $= +0.13$ мм, 1887 $= +0.11$ мм, 1888 $= -0.04$ мм, 1889 $= -0.02$ мм, 1890 und 1891 $= -0.01$ мм.

Für das Barometer № 1403 vom Jahre 1892 bis 1902 $+0.01$ мм, von 1903 bis 1905 incl. $+0.02$ мм, von 1906 bis 1908 incl. $+0.16$ мм, 1909 und 1910 $+0.32$ мм. Später-

¹⁾ Из рукописного отчета В. Х. Дубинского об его заграничной командировке в 1908 г.

²⁾ W. Schmidt: Vergleich zwischen den Hauptbarometern der meteorologischen Zentralinstitute Wien, Budapest, Belgrad, Sofia, Bukarest, Athen und Rom in den Jahren 1910 u. 1911. Jahrbücher der Kk. Zentral-Anstalt für Meteorologie u. Geodynamik. 1911. Wien.

³⁾ R. Süring. Barometervergleichen der Meteorol. Institute Berlin u. Wien. Meteorol. Zeitschrift. 1904, p. 177.

⁴⁾ R. Süring. L. c.

⁵⁾ Bericht über die Tätigkeit des Preussischen Meteorol. Instituts im J. 1909. См. также: W. Schmidt: Vergleich der Hauptbarometer der Meteorol. Zentralstellen in Wien, Budapest, Belgrad, Sofia, Athen u. Rom. Meteorol. Zeitschrift. 1914, p. 202.

⁶⁾ W. Schmidt. L. c.

¹⁾ Aus dem handschriftlichen Bericht W. Dubinsky's über seine Abkommandierung ins Ausland im J. 1908.

²⁾ W. Schmidt: Vergleich zwischen den Hauptbarometern der meteorologischen Zentralinstitute in Wien, Budapest, Belgrad, Sofia, Bukarest, Athen und Rom in den Jahren 1910 u. 1911. Jahrbücher der Kk. Zentral-Anstalt für Meteorologie u. Geodynamik. 1911. Wien.

³⁾ R. Süring. Barometervergleichen der meteorol. Institute Berlin u. Wien. Meteorol. Zeitschrift. 1904, p. 177.

⁴⁾ R. Süring. L. c.

⁵⁾ Bericht über die Tätigkeit des Preussischen Meteorol. Instituts im J. 1909. Siehe auch W. Schmidt: Vergleich der Hauptbarometer der meteorol. Zentralstellen in Wien, Budapest, Belgrad, Sofia, Athen u. Rom. Meteorol. Zeitschrift, 1914, p. 202.

⁶⁾ W. Schmidt. L. c.

выяснилось, что поправка нормального барометра Marek'a Венского Метеор. Института в промежуток времени с янв. 1911 г. до 1913 г. изменилась на 0.59 мм^1), но так как приведенные выше поправки барометров Pistor № 279 и Kapeller'a № 1403 выведены из сравнений, произведенных до 1911 г., то они изменению не подлежат.

Венгрия. В Центральном Метеорологическом Институте в Будапеште с 1881 г. до 1905 г. главным барометром являлся барометр Tonnelot № 738 системы Фортена, а с 1905 г. сифонный барометр Вильда-Фуса № 524.

В 1884 г. Kostlivy определил поправку барометра № 738 относительно барометра Pistor'a № 279 в Вене, а вместе с тем и относительно норм. барометра Гл. Геоф. Обс. $= +0.21 \text{ мм}$, но Hann ²⁾ считает это определение не вполне точным и принимает поправку барометра № 738 $= 0.0 \text{ мм}$. В 1886 г. поправка барометра № 738 была найдена $= -0.103 \text{ мм}$ относительно барометра Pistor № 279 в Вене и $= +0.03 \text{ мм}$ относительно норм. бар. Гл. Геоф. Обс. В 1893 г. поправку бар. № 738 относительно бар. Pistor № 279 нашли $= -0.05 \text{ мм}$ и, следовательно, относительно норм. баром. Гл. Геоф. Обс. $= -0.03 \text{ мм}$. Обе последние поправки сообщены в труде Рона о давлении воздуха в Венгрии ³⁾.

На основании сравнений В. Шмидта, произведенных в ноябре 1910 г., к сифонному барометру Вильда-Фуса № 524 может быть принята поправка относительно норм. баром. Гл. Геоф. Обсерв. $= -0.09 \text{ мм}^4$).

Из изложенного усматривается, что поправки главных барометров Венгерского Ц. Метеорологического Института были незначительны и допущенные в их определении погрешности не могли отразиться на моих изобарах. Мною приняты опубликованные Венгерским Центр. Метеорологическим Институтом барометрические наблюдения без дополнительных поправок.

В Обсерватории Огиалла (Ogyalla) главным барометром считался барометр Фуса № 42. В 1903 г. после его чистки поправка его относительно барометра № 423 в Берлине была найдена $= -0.012 \text{ мм}$ и, следовательно, относительно норм. баром. Гл. Геоф. Обс. $= 0.00 \text{ мм}$.

Румыния. Главными барометрами Метеорологического Института в Бухаресте являлись: с 1881 г. по 1902 г. сифонный барометр Вильда-Фуса № 211, с 1903 г. той же системы барометр Вильда-Фуса № 383.

Hellmann 2 марта 1884 г. определил поправку барометра № 211 относительно баром. № 76 Прусского Метеорол. Института $= +0.03 \text{ мм}$ или же относительно норм. барометра Гл. Геоф. Обсерватории $= +0.05 \text{ мм}$.

hin erwies es sich, dass die Korrekturen von Marek's Normalbarometer des Wiener Meteorologischen Instituts in der Zeitperiode vom Januar 1911 bis 1913 sich um 0.59 мм verändert hatten ¹⁾, doch, da die oben angeführten Korrekturen des Barometers Pistor № 279 und Kapeller № 1403 aus Vergleichen, welche bis zum Jahre 1911 ausgeführt waren, hergeleitet sind, unterliegen sie keiner Veränderung.

Ungarn. Vom Jahre 1881 bis 1905 diente in der Meteorologischen Zentralanstalt in Budapest als Hauptbarometer das Barometer Tonnelot № 738, System Fortin, vom Jahre 1905 aber das Gefäßsheberbarometer von Wild-Fuess № 524.

Im Jahre 1884 bestimmte Kostlivy die Korrektur des Barometers № 738 in Bezug auf das Barometer von Pistor № 279 in Wien und zugleich in Bezug auf das Normalbarometer des Geophysikalischen Zentral-Observatoriums $= +0.21 \text{ мм}$, Hann ²⁾ jedoch hält diese Bestimmung für nicht ganz genau und nimmt die Korrektur des Barometers № 738 gleich $= 0.0 \text{ мм}$ an. Im Jahre 1886 wurde die Korrektur des Barometers № 738 gleich $= -0.103 \text{ мм}$ in Bezug auf das Barometer von Pistor № 279 in Wien und $= +0.03 \text{ мм}$ in Bezug auf das Normalbarometer des Geophysikalischen Zentral-Observatoriums gefunden. Im Jahre 1893 fand man die Korrektur des Barometers № 738 in Bezug auf das Barometer von Pistor № 279 $= -0.05 \text{ мм}$ und folglich $= -0.03 \text{ мм}$ in Bezug auf das Normalbarometer des Geophysikalischen Zentral-Observatoriums. Die beiden letzten Korrekturen sind in der Arbeit von Róna über den Luftdruck in Ungarn ³⁾ angegeben.

Auf Grund der Vergleichen von W. Schmidt, welche im November 1910 ausgeführt wurden, kann für das Gefäßsheberbarometer von Wild-Fuess № 524 die Korrektur $= -0.09 \text{ мм}$, bezogen auf das Normalbarometer des Geophysikalischen Zentral-Observatoriums ⁴⁾, angenommen werden.

Aus dem Erörterten ist zu ersehen, dass die Korrekturen der Hauptbarometer der Ungarischen Meteorologischen Zentralanstalt unbedeutend waren und die bei ihrer Bestimmung möglichen Fehler meine Isobaren nicht beeinflussen konnten. Ich verwertete die vom Ungarischen Meteorologischen Institut veröffentlichten barometrischen Beobachtungen ohne Ergänzungs-Korrekturen.

Im Observatorium Ogyalla galt das Barometer von Fuess № 42 als Hauptbarometer. Im Jahre 1903 wurde nach seiner Reinigung seine Korrektur in Bezug auf das Barometer № 423 in Berlin gleich $= -0.012 \text{ мм}$ gefunden und folglich $= 0.00 \text{ мм}$ in Bezug auf das Normalbarometer des Geophysikalischen Zentral-Observatoriums.

Rumänien. Hauptbarometer des Meteorologischen Instituts in Bukarest waren: vom Jahre 1881 bis 1902 incl. das Gefäßsheberbarometer von Wild-Fuess № 211, vom Jahre 1903 das Barometer von Wild-Fuess № 383 nach demselben System.

Hellmann hat am 2-ten März 1884 die Korrektur des Barometers № 211, bezogen auf das Barometer № 76 des Preussischen Meteorologischen Instituts, gleich $= +0.03 \text{ мм}$ bestimmt, oder $= +0.05 \text{ мм}$ in Bezug auf das Normalbarometer des Geophysikalischen Zentral-Observatoriums.

¹⁾ A. Schlein. Die Normalbarometer von Wien, Berlin, Budapest, Belgrad, Sofia, Bukarest, Athen, Neapel u. Rom. Meteorol. Zeitschr. 1916, p. p. 278—282.

²⁾ J. Hann. Die Verteilung des Luftdruckes über Mittel-u. Süd-Europa. Wien. 1887.

³⁾ Z. Róna. A légnyomás a Magyar birodalomban 1861—1890 (Luftdruckverhältnisse Ungarns).

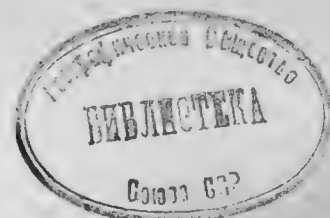
⁴⁾ W. Schmidt, l. c. u. A. Schlein, l. c.

¹⁾ A. Schlein. Die Normalbarometer von Wien, Berlin, Budapest, Belgrad, Sofia, Bukarest, Athen, Neapel u. Rom. Meteorol. Zeitschrift. 1916, pp. 278—282.

²⁾ J. Hann. Die Verteilung des Luftdruckes über Mittel-u. Süd-Europa. Wien. 1887.

³⁾ Z. Róna. A légnyomás a Magyar birodalomban 1861—1890 (Luftdruckverhältnisse Ungarns).

⁴⁾ W. Schmidt, l. c. u. A. Schlein, l. c.



Поправка барометра № 383 была найдена в 1910 г. относительно норм. барометра Marek'a Венского Метеорол. Института $= -0.08 \text{ мм}^1)$ или относительно баром. Гл. Геоф. Обс. $= -0.07 \text{ мм}$.

Мною взяты опубликованные Румынским Метеорологическим Институтом барометрические наблюдения без дополнительных поправок.

Болгария. Главным барометром Болгарского Метеорологического Института в Софии считался барометр Tonnelot № 1152 системы Фортена. Поправка этого барометра найдена в 1896 г. относительно барометра Капеллера № 1403 в Вене $= -0.20 \text{ мм}$ и относительно норм. бар. Гл. Геоф. Обс. $= -0.19 \text{ мм}$; в 1910 г. ее определили относительно барометра Вильда-Фуса № 423 в Берлине $= -0.29 \text{ мм}$ и относительно норм. бар. Гл. Геоф. Обс. $= -0.28 \text{ мм}^2)$.

В изданиях Болгарского Метеорологического Института не сообщается сведений о принятых поправках барометров, но есть основание думать, что показания барометров станций Болгарии приводились к главным барометрам Венского Метеорологического Института.

Япония. Подробных сведений относительно поправок главного барометра Центральной Метеорологической Обсерватории в Токио в изданиях последней не сообщается. Имеется лишь сообщение о том, что барометры Японской сети сверяются с барометром системы Фортена работы Casella, проверенным в Обсерватории в Кью, и что наблюдения над давлением воздуха в Японии относятся к нормальному барометру этой Обсерватории³⁾. Так как время от времени из Лондона получают новые, тоже проверенные в Кью барометры, то можно предположить, что всякие изменения поправки главного барометра Токийской Обсерватории, при проверке барометров на станциях, учитывались. Поправка нормального барометра Обсерватории в Кью относит. норм. барометра Гл. Геоф. Обс., как сообщено выше, принимается мною, согласно с определением В. Х. Дубинского (1908 г.), $= +0.05 \text{ мм}$. Опубликованные в изданиях Японской сети результаты барометрических наблюдений взяты мною без дополнительных поправок.

Цикавей (Китай). Контрольным барометром Цикавейской Обсерватории служил исправленный в 1880 г. в Париже барометр системы Фортена Alvergnyat, поправка которого была определена относительно нормального барометра Реньо Центр. Метеор. Бюро в Париже. К барометру Реньо в Париже Кистони в 1881 г. определил поправку $= -0.04 \text{ мм}^4)$. Мною взяты опубликованные барометрические наблюдения Цикавейской Обсерватории без дополнительной поправки.

В. П. Кёппен в 1890 г. сделал попытку систематизировать результаты сравнений главных барометров центральных метеорологических учреждений Европы⁵⁾, причем пришел к заключению, что существовавшие ранее

Im Jahre 1910 wurde die Korrektur des Barometers № 383 $= -0.08 \text{ мм}$, bezogen auf das Normalbarometer von Marek des Wiener Meteorologischen Instituts, gefunden¹⁾, oder $= -0.07 \text{ мм}$, in Bezug auf das Normalbarometer des Geophysikalischen Zentral-Observatoriums.

Ich nahm die vom Rumänischen Meteorologischen Institut veröffentlichten Luftdruckbeobachtungen ohne Ergänzungs-Korrekturen an.

Bulgarien. Als Hauptbarometer des Bulgarischen Meteorologischen Instituts in Sofia galt das Barometer von Tonnelot № 1152, System Fortin. Im Jahre 1896 wurde die Korrektur dieses Barometers in Bezug auf das Barometer von Kapeller № 1403 in Wien $= -0.20 \text{ мм}$ u. in Bezug auf das Normalbar. des Geophys. Z.-Obs. $= -0.19 \text{ мм}$ gefunden. Im Jahre 1910 wurde sie in Bezug auf das Barometer von Wild-Fuess № 423 in Berlin $= -0.29 \text{ мм}$ bestimmt, also $= -0.28 \text{ мм}^2)$ in Bezug auf das Normalbarometer im Geophys. Zentral-Obs.

In den Publikationen des Bulgarischen Meteorologischen Instituts werden keine Angaben über die angewandten Korrekturen der Barometer gegeben, doch hat man Grund anzunehmen, dass die Ablesungen der Barometer der Stationen in Bulgarien auf das Hauptbarometer des Wiener Meteorologischen Instituts reduziert wurden.

Japan. Genaue Mitteilungen über die Korrekturen des Hauptbarometers des Meteorologischen Zentral-Observatoriums in Tokio wurden in den Veröffentlichungen desselben nicht gegeben. Es wird nur mitgeteilt, dass die Barometer des Japanischen Netzes mit dem Barometer von Casella, System Fortin, welches im Observatorium in Kew geprüft wurde, verglichen werden, und dass sich die Beobachtungen über den Luftdruck in Japan auf das Normalbarometer dieses Observatoriums beziehen³⁾. Da von Zeit zu Zeit neue, auch in Kew geprüfte Barometer aus London erhalten wurden, darf man annehmen, dass bei der Prüfung der Barometer auf den Stationen alle Veränderungen der Korrektur des Hauptbarometers des Observatoriums in Tokio in Betracht gezogen wurden. Die Korrektur des Normalbarometers in Kew in Bezug auf das Normalbarometer des Geophysikalischen Zentral-Observatoriums wurde von mir, wie bereits oben erwähnt, in Übereinstimmung mit den Bestimmungen W. Dubinsky's (1908), $= +0.05 \text{ мм}$ angenommen. Die in den Publikationen des Japanischen Netzes veröffentlichten Resultate der Luftdruckbeobachtungen wurden von mir ohne Ergänzungs-Korrekturen verwertet.

Zi-ka-wei (China). Als Kontrolbarometer des Observatoriums in Zi-ka-wei diente das im Jahre 1880 in Paris reparierte Barometer von Alvergnyat, System Fortin; dessen Korrektur in Bezug auf das Normalbarometer von Regnault im Meteorologischen Zentral-Büro in Paris bestimmt war. Für das Barometer von Regnault in Paris bestimmte Chistoni im Jahre 1881 die Korrektur $= -0.04 \text{ мм}^4)$. Ich nahm die veröffentlichten Luftdruckbeobachtungen des Observatoriums in Zi-ka-wei ohne Ergänzungs-Korrekturen an.

Köppen machte im Jahre 1890 den Versuch, die Resultate der Vergleichen der Hauptbarometer der Zentralstellen Europas zu systematisieren⁵⁾, wobei er zum Schluss gelangte, dass die Standunterschiede, welche früher zwischen den Haupt-

¹⁾ W. Schmidt, l. c. u. A. Schlein, l. c.

²⁾ W. Schmidt, l. c. u. A. Schlein, l. c.

³⁾ K. Nakamura. The Climate of Japan. Tokio. 1893.

⁴⁾ Chistoni, l. c. u. A. M. Шенрок, l. c.

⁵⁾ W. Köppen. Zusammenfassung der Resultate der Barometervergleichen von Waldo, Sundell und Brounow, 1883—87. Meteorologische Zeitschrift. 1890, p. 241.

¹⁾ W. Schmidt, l. c. u. A. Schlein, l. c.

²⁾ W. Schmidt, l. c. u. A. Schlein, l. c.

³⁾ K. Nakamura. The Climate of Japan. Tokio. 1893.

⁴⁾ Chistoni, l. c. u. A. Schönrock, l. c.

⁵⁾ W. Köppen. Zusammenfassung der Resultate der Barometervergleichen von Waldo, Sundell und Brounow, 1883—87. Meteorologische Zeitschrift. 1890, p. 241.

большие расхождения между главными барометрами отдельных метеорологических сетей, за немногими исключениями, в восьмидесятих годах прошлого столетия были устранены. Из поправок относительно нормального барометра Гл. Геофиз. Obs., определенных Вальдо, Зунделем и П. И. Броуновым для 6 главных барометров В. П. Кеппен выводит три средние величины: -0.09 мм (Вальдо), $+0.10$ мм (Зундель) и $+0.06$ мм (Броунов) и высказывает предположение, что эти средние величины представляют собой средние погрешности определений названных ученых. Вычтя полученные величины из найденных поправок, он получил для отдельных барометров средние разности, заключающиеся в пределах от $+0.05$ мм до -0.08 мм, которые он и принимает за истинные поправки относительно условной шкалы, представляющей наименьшие расхождения с нормальными барометрами Гл. Геоф. Obs. и Междунар. Бюро мер и весов в Париже (0.02 мм и 0.01 мм). Мною приняты поправки Вальдо, Зунделя и П. И. Броунова без изменений, но с основным выводом В. П. Кеппена относительно степени сравнимости показаний главных барометров разных сетей за восьмидесятилетие не расходится изложенное мною выше.

Из приведенного обзора главных барометров тех метеорологических сетей, наблюдения которых над давлением воздуха вошли в таблицу А, можно вывести следующие общие заключения. Можно признать, что погрешности в определении поправок главных барометров метеорологических сетей в соседних с СССР государствах в течение периода времени с 1881 г. по 1910 г. незначительны и что, поскольку увязка барометрических данных зависит от точности принимаемых поправок главных барометров, приводимые мною в таблице А данные можно считать увязанными и однородными. Возможные неточности этих поправок в некоторых случаях в пределах ± 0.05 мм не могли повлиять на проведение средних изобар. Хуже обстоит дело с определением поправок барометров на станциях. Не во всех метеорологических летописях соседних государств сообщались достаточно полные сведения об определении поправок барометров, вследствие чего возникали сомнения относительно применения сообщенных поправок; случалось также, что не обнаруживались значительные изменения поправок барометров ни при подготовке материала для летописей, ни при составлении многолетних сводок. Такие изменения мною были установлены, напр., на некоторых станциях шведской сети. Здесь нет возможности привести все подобные случаи, но они будут отмечены в том выпуске «Климата СССР», где будут опубликованы данные за отдельные годы.

барометров einzelner meteorologischer Netze bestanden, in den achtziger Jahren des vorigen Jahrhunderts mit ganz wenigen Ausnahmen beseitigt wurden. Aus den Korrekturen in Bezug auf das Normalbarometer des Geophysikalischen Zentral-Observatoriums, welche von Waldo, Sundell und Brounow für 6 Hauptbarometer bestimmt waren, hat Köppen drei Mittelwerte hergeleitet: -0.09 mm (Waldo), $+0.10$ mm (Sundell) und $+0.06$ mm (Brounow); dabei neigt er zur Annahme, dass diese Mittelwerte mittlere Fehler der Bestimmungen der genannten Gelehrten vorstellen. Indem er die erhaltenen Werte von den gefundenen Korrekturen in Abzug bringt, erhält er für einzelne Barometer Differenzen in den Grenzen von $+0.05$ mm bis -0.08 mm. Diese Differenzen fasst er als wahre Korrekturen gegen die von ihm erhaltene provisorische Skala auf, welche die kleinsten Standunterschiede gegen die Normalbarometer des Geophysikalischen Zentral-Observatoriums und des Büros für Masse und Gewichte in Paris (0.02 mm und 0.01 mm) aufweist. Ich habe zwar die von Köppen angegebenen Ergänzungskorrekturen zu den von Waldo, Sundell und Brounow bestimmten Korrekturen nicht berücksichtigt, jedoch steht das von mir oben Dargelegte in keinem Widerspruch zum Hauptergebnis, zu dem Köppen in Bezug auf die Vergleichbarkeit der Angaben der Hauptbarometer verschiedener Stationsnetze für die achtziger Jahre gelangt.

Auf Grund der angeführten Übersicht der Hauptbarometer der Stationsnetze, deren Beobachtungen über den Luftdruck in der Tabelle A enthalten sind, kann man folgende allgemeine Schlüsse ziehen. Man darf annehmen, dass im Verlauf der Zeitperiode von 1881 bis 1910 incl. die Fehler in der Bestimmung der Korrekturen für die Hauptbarometer der meteorologischen Netze in den Nachbarstaaten der USSR unbedeutend waren und dass, sofern der Anschluss der Luftdruckbeobachtungen von der Zuverlässigkeit der angenommenen Korrekturen der Hauptbarometer abhängt, man die von mir in der Tabelle A angeführten Daten als an einander anschliessend und homogen ansehen darf. Die in einigen Fällen möglichen Ungenauigkeiten in diesen Korrekturen in den Grenzen von ± 0.05 mm können auf die mittleren Isobaren keinen Einfluss haben. Schlimmer steht es mit der Bestimmung der Korrekturen der Barometer auf den Stationen. Nicht in allen meteorologischen Annalen der Nachbarstaaten wurden genügend vollständige Angaben über die Bestimmung der Korrekturen der Stationsbarometer mitgeteilt, infolgedessen in Betreff der Verwertbarkeit der gegebenen Korrekturen einige Zweifel entstanden; es kam auch vor, dass weder bei der Vorbereitung des Materials für die Annalen, noch bei der Zusammenstellung langjähriger Mittelwerte bedeutende Veränderungen der Korrekturen der Barometer entdeckt wurden. Solche Veränderungen wurden von mir z. B. auf einigen Stationen des Schwedischen Netzes festgestellt. Es ist nicht möglich hier alle solche Fälle zu erwähnen; sie werden in der Lieferung des «Klima der USSR», wo die Daten für einzelne Jahre veröffentlicht werden, angeführt.

III

Истинные суточные средние давления воздуха

Как при изучении годового хода давления воздуха, так и при построении средних месячных и годовых изобар до последнего времени пренебрегали приведением средних, выведенных из наблюдений за 3 срока, к истинным суточным средним. Так поступил, в частности, А. А. Тилло в своем труде о давлении воздуха в России, так поступили Р. Р. Бергман и я при подготовке изобар, помещенных в Климатологическом Атласе Главной Физической Обсерватории. Для этого имелись такие основания: во-первых, было весьма мало пунктов, где велись достаточно продолжительное время ежечасные наблюдения над давлением воздуха, и, во-вторых, в средних и высоких широтах, вообще говоря, суточные колебания давления малы, а поэтому и поправки для приведения средних из наблюдений в 3 срока к истинным средним должны быть тоже малы. Впрочем из данных, приведенных А. А. Тилло, вытекает, что эти поправки в Средней Азии в месяцы теплого сезона по наблюдениям в Нукусе за один год достигают 0.2—0.3 мм.

Передо мною стоял вопрос, не накопилось ли за время после появления труда А. А. Тилло и Климатологического Атласа в особенности для юга СССР уже столько новых данных о суточном ходе давления, что по ним можно с достаточной точностью определить поправки для приведения к истинным суточным средним.

Весьма ценный материал представляют собой ежечасные наблюдения Обсерваторий Свердловской и Иркутской с 1887 г. и Тифлисской с 1880 г. по 1908 г., но этих трех пунктов, даже с присоединением к ним тех станций, наблюдения которых относятся к периоду 1841—1875 г. г. и были использованы М. А. Рыкачевым в его труде о суточном ходе давления¹⁾, недостаточно для вывода поправок для всего СССР.

Известно, что значительное число станций нашей метеорологической сети было снабжено барографами, которые на некоторых станциях работали довольно продолжительное время. Но до середины девяностых годов обрабатывались записи этих приборов и то с перерывами лишь на двух—трех обсерваториях, на станциях же 2-го разряда этой кропотливой работой не занимались. Ряд учреждений и лиц, имевших в своем распоряжении записи барографов, мне удалось заинтересовать вычислением по этим записям ежечасных данных. Вычисления их подвергались частично проверке в Гл. Геофизической Обсерватории и выводы из обработанного материала напечатаны в «Летописях». В Слуцкой (Павловской) Обсерватории работал весьма точный ртутный барограф и результаты его записей приведены к барометру, но не так ясен был вопрос относительно результатов записей anerоидных барографов, отличающихся значительной инерцией. О том, с какой точностью по ним определяется суточный ход давления, а вместе с тем и приведение к истинным суточ-

III

Wahre Tagesmittel des Luftdrucks

Bei der Untersuchung des jährlichen Ganges des Luftdrucks, sowie bei der Konstruktion der mittleren Monats- und Jahresisobaren wurde bis jetzt von einer Reduktion der Mittel, die aus Beobachtungen an 3 Terminen hergeleitet waren, auf die wahren täglichen Mittel abgesehen. So verfuhr A. Tillo in seiner Arbeit über den Luftdruck in Russland, diesem Vorgang folgten auch R. Bergmann und ich bei der Vorbereitung der Isobaren, welche im Klimatologischen Atlas des Physikalischen Zentral-Observatoriums veröffentlicht sind. Das hatte folgende Gründe: erstens gab es sehr wenig Punkte, wo stündliche Beobachtungen über den Luftdruck eine genügend lange Zeit ausgeführt waren, und zweitens sind die täglichen Schwankungen des Luftdrucks in den mittleren und hohen Breiten im allgemeinen klein und deshalb werden auch die Korrekturen zur Reduktion der Mittel aus Beobachtungen an drei Terminen auf die wahren Mittel auch klein sein. Übrigens ist aus den Daten, welche A. Tillo anführt, zu ersehen, dass diese Korrekturen nach den Beobachtungen in Nukus in Mittelasien für ein Jahr in den Monaten der warmen Jahreszeit 0.2—0.3 mm erreichen.

Ich stand vor der Frage, ob nicht in der Zeit nach dem Erscheinen der Arbeit von A. Tillo und des Klimatologischen Atlas schon so viele neue Daten über den täglichen Gang des Luftdrucks, im Besonderen für den Süden der USSR, zusammengebracht sind, dass man nach ihnen mit genügender Genauigkeit die Korrekturen zur Reduktion auf die wahren Mittel bestimmen könnte.

Ein sehr wertvolles Material liefern die stündlichen Beobachtungen der Observatorien in Swerdlowsk (Ekaterinburg) und Irkutsk vom Jahre 1887 an und in Tiflis von 1880 bis 1908 incl., doch genügen diese drei Punkte, selbst wenn man noch diejenigen, deren Beobachtungen sich auf die Zeitperiode 1841—1875 beziehen und von M. Rykatschew in seiner Arbeit über den täglichen Gang des Luftdrucks¹⁾ verwertet sind, hinzunimmt, nicht, um die Korrekturen für die ganze USSR abzuleiten.

Es ist bekannt, dass eine bedeutende Anzahl der Stationen unseres meteorologischen Netzes mit Barographen versorgt war, welche auf einigen Stationen recht lange gearbeitet haben. Doch wurden die Registrierungen dieser Apparate bis Mitte der neunziger Jahre nur für zwei, drei Stationen—und das mit Unterbrechungen—bearbeitet, auf Stationen zweiter Ordnung aber befasste man sich nicht mit dieser mühevollen Arbeit. Es gelang mir eine Reihe von Anstalten und Personen, welche über Registrierungen der Barographen verfügten, für die Berechnung der stündlichen Daten aus diesen Aufzeichnungen zu interessieren. Die Berechnung derselben wurde zum Teil einer Kontrolle seitens des Geophysikalischen Zentral-Observatoriums unterzogen und die Ergebnisse des bearbeiteten Materials sind in den Annalen gedruckt. Im Observatorium in Sluzk (Pawlowsk) arbeitete ein sehr genauer Quecksilberbarograph und die Ergebnisse seiner Aufzeichnungen sind auf das Barometer reduziert. Weniger klar war die Frage in Betreff der Ergebnisse der Angaben der Aneroidbarographen, welche sich durch eine

¹⁾ M. Rykatchew. La marche diurne du baromètre en Russie. Repertorium für Meteorologie. T. VI, № 10, 1879.

¹⁾ M. Rykatchew. La marche diurne du baromètre en Russie. Repertorium für Meteorologie. T. VI, № 10, 1879.

ным средним, можно судить по сравнению результатов с ежедневными наблюдениями по ртутным барометрам. Такие сравнения не публиковались. Однако, вполне определенное заключение о возможности использовать результаты записей anerоидных барографов для вычисления поправок можно вывести также из сопоставления поправок, полученных в разных пунктах, под различными широтами, частью на основании ежедневных наблюдений по ртутным барометрам, частью же на основании записей барографов.

В следующей таблице I даются поправки для приведения средних, выведенных из наблюдений в сроки: 7 ч. у., 1 ч. д. и 9 ч. в., к истинным суточным средним отдельно по наблюдениям 1880—1910 г.г. и отдельно за предшествующее время. Станции расположены по убывающей широте. Не приводятся данные для тех станций, для которых обработаны записи барографов не больше чем за один год, а также результаты ежедневных барометрических наблюдений, производившихся не по местному, а по Геттингенскому времени.

Помещенные в этой таблице данные для Тифлиса за два разных периода, из которых один охватывает 20 лет, в большую часть месяцев почти совершенно совпадают: расхождения вообще не превышают 0.04 мм. Расхождения заключаются тоже в пределах до 0.03 мм. между поправками, найденными по записям барографов в Ленинграде и Слуцке. Но старый ряд барометрических наблюдений в Ленинграде для некоторых месяцев дает результаты несогласные с результатами записей барографов Ленинграда и Слуцка. Весьма хорошее согласие оказывается между данными для Новороссийска (за 12 лет) и Мархотского перевала, находящегося в нескольких километрах от Новороссийска, но на 400 м выше (за 10½ лет). Не наблюдается расхождений в годовом ходе поправок на целой группе станций в зоне между 54½° и 44½° широты, причем к этой группе относится и Иркутск с ежедневными барометрическими наблюдениями за 24 года. Вообще, можно отметить, что результаты ежедневных барометрических наблюдений пятидесятих и шестидесятих годов не вполне согласуются с результатами ежедневных наблюдений за время после 1870 г. Из рассмотрения таблицы I можно прийти к заключению, что результаты записей anerоидных барографов, приведенные к ртутным барометрам, хорошо укладываются в общую схему распределения поправок для приведения давления воздуха к истинным суточным средним.

Раньше чем перейти к географическому распределению поправок, привожу в таблице II поправки, полученные для нескольких пунктов в полярной области по ежедневным барометрическим наблюдениям экспедиций.

Приведенные в этой таблице разности для 5 пунктов северного побережья нашего материка и для островов Северного Полярного моря за периоды менее 2 лет по своей величине такого же порядка, как и поправки для северной зоны на материке до 60° широты, но не обнаруживают правильного годового хода; они носят случайный характер и, при округлении до десятых миллиметра,

бedeutende Trägheit auszeichnen. Über die Genauigkeit, mit welcher der tägliche Gang des Luftdrucks bestimmt und die Reduktion auf die wahren täglichen Mittel ausgeführt wird, kann man nur aus einer Vergleichung der Ergebnisse mit den stündlichen Beobachtungen an Quecksilberbarometern schliessen. Solche Vergleichungen wurden nicht veröffentlicht. Doch kann man eine bestimmte Schlussfolgerung über die Verwertbarkeit der Ergebnisse der Aneroidbarographen für die Berechnung der Korrekturen aus einer Vergleichung der Korrekturen ziehen, welche an verschiedenen Punkten, unter verschiedenen Breitengraden, teilweise auf Grund stündlicher Beobachtungen mit Hilfe von Quecksilberbarometern, teilweise aber auf Grund von Angaben der Barographen erhalten wurden.

In der folgenden Tabelle I werden Korrekturen zur Reduktion der Mittel, welche aus den Beobachtungen an den Terminen: 7^h_a, 1^h_p und 9^h_p hergeleitet sind, auf das wahre tägliche Mittel gegeben nach den Beobachtungen einerseits der Jahre 1880—1910, andererseits für die Jahre vor 1880. Die Stationen sind, nach abnehmender Breite geordnet. Die Werte von Stationen, welche bearbeitete Aufzeichnungen der Barographen für nicht mehr als ein Jahr aufweisen, werden nicht angeführt, ebenso die Ergebnisse der stündlichen barometrischen Beobachtungen, welche nicht nach der lokalen, sondern nach Göttingener Zeit gemacht wurden.

Die in dieser Tabelle aufgeführten Daten von Tiflis für zwei verschiedene Perioden, von denen die eine 20 Jahre umfasst, stimmen in den meisten Monaten beinahe vollständig überein: die Differenzen übersteigen überhaupt nicht 0.04 mm. Die Korrekturen, welche nach Angaben der Barographen in Leningrad und Sluzk gefunden wurden, differieren auch nur in den Grenzen von 0.03 mm. Doch ergibt eine ältere Reihe von barometrischen Beobachtungen für einige Monate in Leningrad Werte, welche mit den Resultaten der Angaben der Barographen in Leningrad und Sluzk nicht übereinstimmen. Sehr gut stimmen die Daten für Noworossiysk (12 Jahre) mit den Daten für Marchot (Pass), welcher nur einige Kilometer von Noworossiysk, aber um 400 m höher liegt, überein. In einer ganzen Gruppe von Stationen in der Zone zwischen 54½° und 44½° n. Breite wird im jährlichen Gang der Korrekturen keine Differenz beobachtet, wobei zu dieser Gruppe Irkutsk mit stündlichen barometrischen Beobachtungen für 24 Jahre gehört. Man kann überhaupt bemerken, dass die Ergebnisse der stündlichen barometrischen Beobachtungen der fünfziger und sechziger Jahre mit den Ergebnissen der stündlichen Beobachtungen für die Zeit nach dem Jahre 1870 nicht ganz übereinstimmen. Aus der Betrachtung der Tabelle I kann man schliessen, dass die auf Quecksilberbarometer reduzierten Resultate der Angaben der Aneroidbarographen sich in das allgemeine Schema der räumlichen Verteilung der Korrekturen zur Reduktion auf wahre tägliche Mittel des Luftdrucks gut unterbringen lassen.

Bevor ich zur geographischen Verteilung der Korrekturen übergehe, führe ich in der Tabelle II die Differenzen der Korrekturen an, welche nach stündlichen barometrischen Beobachtungen von Expeditionen für einige Punkte im Polargebiet erhalten sind.

Die in dieser Tabelle angeführten Differenzen für Perioden von weniger als 2 Jahren für 5 Punkte der nördlichen Küste unseres Kontinents und für die Inseln des Nördlichen Eismeres sind ihrem Wert nach derselben Ordnung, wie die Korrekturen für die nördliche Zone bis zum 60. Breitengrade auf dem Kontinent, zeigen aber keinen regelmässigen jährlichen Gang; sie tragen beim Abrunden auf 1/10 Millimeter einen

Разности между истинными суточными средними давления воздуха и средними из наблюдений в сроки 7 ч. у., 1 ч. д. и 9 ч. в.

Differenzen zwischen wahren Tagesmitteln des Luftdrucks und Mitteln aus den Beobachtungen zu den Terminen 7^h a, 1^h p и 9^h p.

НАЗВАНИЯ СТАНЦИЙ	Широта	В. долгота or Ostl. Länge von Greenw.	Абс. высота	Январь	Февраль	Март	Апрель	Май	Июнь	Июль	Август	Сентябрь	Октябрь	Ноябрь	Декабрь	Годы наблюд.	Число лет	НАМЕН DER STATIONEN
Ленинград. По ежечасным наблюд. По ртутному барографу	59° 56' 30"	16'	4.8	+0.02 +0.08	+0.04 +0.04	0.00 -0.01	+0.18 -0.05	0.00 -0.03	0.00 -0.03	-0.01 -0.03	-0.01 -0.01	+0.07 -0.02	+0.02 0.00	-0.03 +0.04	-0.01 +0.05	1856-1862 1870-1875	7 6	Ленинград. Стündl. Beobachtungen. Quecksilber-Barograph
Слуцк (Павловск). По ртутному барографу	59 41	30 29	39.8	+0.08	+0.02	-0.03	-0.05	-0.06	-0.04	-0.03	-0.03	-0.03	+0.01	+0.05	+0.05	1881-1910	30	Sluzk (Pawlowsk). Quecksilber-Barograph.
Свердловск (Екатеринбург). По ежечасным наблюдениям	56 50	60 38	282.3	+0.06	+0.02	-0.02	-0.07	-0.07	-0.07	-0.08	-0.08	-0.05	-0.01	+0.03	+0.05	1887-1910	24	Sswerdlowsk (Ekaterinburg). Stündl. Beobachtungen.
Казань. По барографу Ришара	55 47	49 8	80.9	+0.03	+0.01	-0.03	-0.06	-0.07	-0.05	-0.09	-0.08	-0.08	-0.01	+0.05	+0.07	1891-1895	5	Kasan. Barograph Richard.
Москва. По барографу Ришара	55 46	37 40	156	+0.11	+0.02	-0.03	-0.07	-0.09	-0.06	-0.04	-0.08	-0.07	-0.02	+0.01	+0.06	1893-1910	18	Moskau. Barograph Richard.
Новое Королёво. По барографу Ришара	55 9	30 28	236.1	+0.05	-0.02	-0.09	-0.11	-0.11	-0.02	-0.03	-0.06	-0.06	+0.03	+0.04	+0.06	1897-1902	5 1/2	Nowoe Korolewo. Barograph Richard.
Тула. По барографу Ришара	54 12	37 37	164.2	+0.05	-0.06	-0.05	-0.08	-0.11	-0.08	-0.08	-0.06	-0.08	-0.03	+0.04	+0.04	1902-1903	2	Tula. Barograph Richard.
Барнаул. По ежечасным наблюд.	53 22	83 47	158.1	+0.06	-0.03	-0.06	-0.07	-0.11	-0.05	-0.03	-0.03	-0.03	0.00	-0.02	+0.03	1856-1862	7	Barnaul. Stündl. Beobachtungen.
Иркутск. По ежечасным наблюд.	52 16	104 19	468.2	+0.04	-0.02	-0.09	-0.15	-0.13	-0.12	-0.13	-0.13	-0.11	-0.02	-0.01	+0.05	1887-1902	24	Irkutsk. Stündl. Beobachtungen.
Нерчинский Завод. По ежечасным наблюдениям	51 19	119 37	620	+0.05	+0.01	-0.10	-0.14	-0.13	-0.20	-0.11	-0.12	-0.11	0.00	+0.03	+0.07	1856-1862	7	Nertschinskij Sawod. Stündl. Beobachtungen.
Сагану. По барографу Ришара	50 36	39 43	206.5	+0.07	-0.01	-0.05	-0.10	-0.13	-0.10	-0.13	-0.13	-0.10	-0.03	+0.02	+0.04	1900-1904	4 3/4	Ssaguny. Barograph Richard.
Плоти. По барографу Ришара	47 57	29 10	147	+0.06	-0.02	-0.07	-0.14	-0.14	-0.09	-0.09	-0.11	-0.08	-0.02	+0.02	+0.06	1898-1904	7	Ploti. Barograph Richard
Одесса. Обсерватория. По барографу Ришара	46 26	30 46	42.8	+0.07	+0.02	-0.05	-0.10	-0.11	-0.09	-0.09	-0.11	-0.08	-0.02	+0.01	+0.05	1894-1900	7	Odessa, Observatorium. Barograph Richard.
Харбин. По барографу Ришара	45 45	126 38	153.3	+0.06	+0.03	-0.06	-0.14	-0.13	-0.14	-0.14	-0.14	-0.12	-0.03	+0.05	+0.05	1898-1906	8 1/2	Charbin. Barograph Richard.
Мархотский перевал. По барографу Ришара	44 45	37 49	435.5	+0.08	+0.01	-0.02	-0.10	-0.12	-0.12	-0.10	-0.10	-0.07	-0.04	+0.05	+0.05	1894-1904	10 1/2	Marchot, Pass. Barograph Richard.
Новороссийск. По барографу Ришара	44 44	37 49	37.1	+0.07	+0.01	-0.04	-0.11	-0.13	-0.11	-0.10	-0.13	-0.09	-0.02	+0.03	+0.06	1892-1902 1904	12	Noworossijsk. Barograph Richard.
Ай-Петри. По барографу Ришара	44 28	34 5	1177.5	+0.04	+0.04	-0.04	-0.10	-0.03	-0.08	-0.10	-0.08	-0.06	-0.03	+0.04	+0.03	1880-1918	29	Al-Petri. Barograph Richard.
Тифлис. По ежечасным наблюд.	41 43	44 48	403.8	+0.09 +0.05	+0.02 +0.02	-0.06 -0.07	-0.14 -0.10	-0.13 -0.12	-0.12 -0.12	-0.16 -0.14	-0.17 -0.14	-0.11 -0.09	-0.01 0.00	+0.04 +0.03	+0.08 +0.08	1880-1908 1855-1862	29 8	Tiflis. Stündl. Beobachtungen
Нукус. По ежечасным наблюдениям	42 27	59 37	66	+0.13	-0.05	-0.09	-0.18	-0.22	-0.19	-0.22	-0.27	-0.21	-0.07	0.00	+0.03	1874-1875	1	Nukus. Stündl. Beobachtungen.

Разности между истинными суточными средними давления воздуха и средними из наблюдений в сроки 7 ч. у., 1 ч. д. и 9 ч. в. в северной Полярной области

Differenzen zwischen wahren Tagesmitteln des Luftdrucks und Mitteln aus den Beobachtungen zu den Terminen 7^ha, 1^hp u. 9^hp in der Arktik

НАЗВАНИЯ ПУНКТОВ	Широта	В. долгота от Гринвича Ostl. Länge von Greenw.	Абс. высота Höhe	Январь	Февраль	Март	Апрель	Май	Июнь	Июль	Август	Сентябрь	Октябрь	Ноябрь	Декабрь	Годы наблюд.	Число лет Anzahl der Jahre	НАМЕН DER PUNKTE
Малые Кармакулы (Новая Земля). Ежечасные наблюд. 1)	72° 23'	52° 43'	14.8	— 0.07	+ 0.01	+ 0.03	+ 0.01	0.00	+ 0.06	+ 0.02	+ 0.01	— 0.06	+ 0.02	— 0.01	0.00	0.00 1882—1883	1	Malje Karmakuly (Nowaja Semlja). Stündl. Beobachtungen 1).
Таймырский пролив 2). По ежечасн. наблюд.	76 8	95 4	5.8	— 0.05	+ 0.11	— 0.03	+ 0.01	+ 0.04	— 0.04	+ 0.08	— 0.05	—	0.00	— 0.01	+ 0.01	0.00 1900—1901	1	Meerenge von Taimyr. Stündl. Beobach- tungen 2).
У мыса Вильда (судно "Эклипс"). Барограф Ришара 3)	75 40	91 26	1.0	— 0.01	+ 0.04	— 0.01	+ 0.05	+ 0.05	+ 0.01	— 0.02	—	—	— 0.03	+ 0.09	— 0.05	0.05 1914—1915	3/4	Beim Kap Wild (Schiff "Eklips"). Ba- rograph Richard 3).
Нерпичья губа (о. Котельный). Еже- часные наблюд. 2)	75 22	137 10	2.9	— 0.02	+ 0.01	— 0.05	— 0.07	+ 0.06	— 0.03	0.00	—	—	+ 0.04	— 0.02	— 0.02	0.02 1901—1902	3/4	Bucht Nerpitschja (Insel Kotelnij). Stündl. Beobachtungen 2).
Сагаастырь. Ежечасные наблюд. 4)	73 22	126 36	4.9	+ 0.05	— 0.02	+ 0.04	— 0.03	+ 0.03	+ 0.03	0.00	+ 0.07	— 0.01	0.00	+ 0.02	+ 0.02	0.02 1882—1884	1 3/4	Ssagastyr. Stündl. Beobachtungen 4).

1) Труды Русской Полярной Станции на Новой Земле. Ч. II. (Наблюдениях der Russischen Polarstation auf Nowaja Semlja. T. II). 1886.

2) A. K a m i n s k y. Beiträge zur Klimatologie der Nordküste Asiens. Travaux de la Commission pour l'étude de la République A. S. S. Jakoutie. T. V. 1928.

3) Гидро-метеорологические наблюдения Гидрографических Экспедиций Гл. Гидрограф. Управл. Вып. 2. (Observations hydro-météorologiques des Expéditions Hydrographiques de l'Administration Générale d'Hydrographie). Петроград. 1917.

4) Труды Русской Полярной Станции на устье Лены. Ч. II. (Наблюдениях der Russischen Polarstation an der Lenamündung. T. II). 1886.

не достигают 0.1 мм. Правда, в таблице II встречаются разности в 0.06—0.10 мм, но следует иметь в виду, что каждая такая поправка относится к данному месяцу одного какого-либо года, незначительная же величина общей средней из всех разностей, приведенных в таблице (менее 0.01 мм), говорит за то, что средние для отдельных месяцев не превысят 0.05 мм.

Из таблиц I и II усматривается, что поправки для приведения к истинным суточным средним в северной зоне до 60° ш. ни в один месяц не достигают 0.1 мм. На материке на пространстве всего СССР в месяцы первой половины зимы (XI, XII, I, II) получились поправки положительные, но не достигающие 0.1 мм, в летние месяцы поправки отрицательные, до широты в 56° не достигающие—0.10 мм. К югу от 56° широты поправки летних месяцев в Европейской части Союза почти не меняются до побережья Черного моря; в Тифлисе они достигают—0.16 и—0.17 мм, а в степях Средней Азии, судя по ежечасным наблюдениям в Нукусе за один год, предельные средние разности по числовой величине немного больше—0.2 мм.

Если бы требовалось привести к истинным суточным средним средние месячные для Европейской части СССР, то это было бы возможно сделать, не рискуя допустить ошибку, превышающую 0.1 мм, но с другой стороны поправки на этой территории, не считая Закавказья, не превышают 0.10 мм больше чем на 0.05 мм. Что же касается Закавказья и Средней Азии, то здесь средние поправки могут быть больше, причем крайний предел, возможно, достигает—0.25 мм, но для их определения еще недостаточно данных.

Таким образом, и в настоящее время едва ли можно признать целесообразным приведение средних величин давления для станций в СССР к истинным суточным средним. В прилагаемой к этому труду сводке данных давления помещены не приведенные к истинным суточным средним месячные и годовые средние.

Выше говорилось о средних из наблюдений в сроки 7 ч. у., 1 ч. д. и 9 ч. в. На станциях нашей сети в период 1881—1910 г.г., за весьма редкими и немногочисленными исключениями, наблюдения велись в эти сроки. Но это не относится к станциям в других государствах, помещенным в таблице А. Привожу сведения о том, к каким именно срокам относятся использованные мною наблюдения заграничных станций.

В Финляндии, за немногими исключениями, наблюдения делались в сроки 7 ч. у., 2 ч. д. и 9 ч. в. Вместо 2 ч. д. в 1 ч. д. барометр отсчитывался в Себшер в янв. 1881 г., в Шельшер с июня 1881 г. по дек. 1882 г., в Ганге с 1883 г. по 1887 г. и с 1889 г. по 1899 г.

В Норвегии, за исключением Варде, с 1881 г. по 1910 г. наблюдали в сроки: 8 ч. у., 2 ч. д. и 8 ч. в. с отступлениями до 17 минут от этих сроков. В Варде второе наблюдение приходилось на 1 ч. д.

зачастую Character, erreichen aber nicht 0.1 mm. Freilich kommen in der Tabelle II Differenzen von 0.05—0.10 mm vor, doch muss man bedenken, dass sich eine jede solche Korrektur auf einen gegebenen Monat irgend eines Jahres bezieht; der unbedeutende Wert des allgemeinen Mittels aus allen Differenzen (weniger als 0.01 mm), welche in der Tabelle angeführt sind, weist darauf hin, dass die Mittel für einzelne Jahre 0.05 mm nicht übersteigen.

Aus den Tabellen I und II ist zu ersehen, dass die Korrekturen zur Reduktion auf die wahren täglichen Mittel in der nördlichen Zone bis 60° Breite in keinem Monat 0.1 mm erreichen. Auf dem Kontinent erhält man in den Monaten der ersten Winterhälfte (XI, XII, I, II) auf dem ganzen Territorium der USSR positive Korrekturen, welche jedoch 0.1 mm nicht erreichen; in den Sommermonaten sind die Korrekturen negativ, erreichen aber bis zum 56-ten Breitengrad nicht—0.10 mm. Südlich vom 56. Breitengrad verändern sich die Korrekturen für die Sommermonate im Europäischen Teil der USSR bis an die Küste des Schwarzen Meeres beinahe gar nicht; in Tiflis erreichen sie—0.6 mm und—0.7 mm, in den Steppen Mittelasiens aber, nach den stündlichen Beobachtungen eines Jahres in Nukus zu urteilen, erreichen die äussersten mittleren Differenzen einen Betrag, der etwas grösser ist, als—0.2 mm.

Wenn man die Monatsmittel für den Europäischen Teil der USSR auf die wahren Tagesmittel reduzieren sollte, könnte man das tun ohne Gefahr einen Fehler zuzulassen, welcher 0.1 mm übersteigt, andererseits übersteigen auch die Korrekturen auf diesem Territorium, abgesehen von Transkaukasien, 0.10 mm um nicht mehr als 0.05 mm. Was aber Transkaukasien und Mittelasiens anbetrifft, so können hier die mittleren Korrekturen grösser sein, als der äusserste Grenzwert und möglicherweise—0.25 mm erreichen, doch hat man für ihre Bestimmung nicht genügend Daten.

Aus dem Dargelegten kann man schliessen, dass auch in der gegenwärtigen Zeit eine Reduktion der Mittelwerte des Luftdrucks für die Stationen der USSR auf die wahren täglichen Mittel kaum zweckmässig erscheint. In der dieser Arbeit beigelegten Zusammenstellung der Luftdruckdaten sind monatliche und jährliche Mittel gegeben, welche auf die wahren Tagesmittel nicht reduziert sind.

Oben wurde von Mitteln aus den Beobachtungen an den Terminen 7^h_a, 1^h_p und 9^h_p gesprochen. In den Jahren 1881—1910 wurden auf Stationen unseres Netzes die Beobachtungen, mit äusserst seltenen und unwesentlichen Ausnahmen, an diesen Terminen ausgeführt. Das bezieht sich jedoch nicht auf Stationen der anderen Staaten, welche in der Tabelle A gegeben sind. Ich führe die Termine an, auf welche sich die von mir verwerteten Beobachtungen der ausländischen Stationen beziehen.

In Finnland wurden Beobachtungen mit wenigen Ausnahmen an den Terminen: 7^h_a, 2^h_p und 9^h_p gemacht. Anstatt um 2^h_p wurde das Barometer an folgenden Stationen um 1^h_p abgelesen: in Säbbskär im Januar 1881, in Skälskär von Juni 1881 bis Dezember 1882 incl., in Hangö von 1883 bis 1887 incl. und von 1889 bis 1899.

In Norwegen wurden—mit Ausnahme von Vardö—vom Jahre 1881 bis 1910 incl. Beobachtungen an den Terminen 8^h_a, 2^h_p und 8^h_p mit Abweichungen, die 17 Minuten nicht überstiegen, ausgeführt. In Vardö wurde die zweite Beobachtung um 1^h_p gemacht.

В Швеции были установлены сроки: 8 ч. у., 2 ч. д. и 9 ч. в.

В Германии на большинстве станций с 1881 г. по 1886 г. наблюдали в сроки: 6 ч. у., 2 ч. д. и 9 ч. в., с 1887 г. по 1910 г. в 7 ч. у., 2 ч. д. и 9 ч. в. Для Берлина среднее давление с 1883 г. по 1886 г. вычислялось из наблюдений в 8 ч. у. и 8 ч. в., в Кенигсберге наблюдали в 1882 г. в 7 ч. у., 2 ч. д. и 9 ч. в., как и в Познани с 1885 г. В Курвин с 1881 г. по 1897 г. наблюдения делались в 8 ч. у. и 2 ч. д.

В Австрии с 1881 г. по 1910 г. наблюдали в 7 ч. у., 2 ч. д. и 9 ч. в.

В Венгрии с 1881 г. по 1909 г. были приняты сроки 7 ч. у., 2 ч. д. и 9 ч. в., только в Огиалла с 1886 г. по 1894 г. наблюдали в 7 ч. у., 1 ч. д. и 9 ч. в., в Нийрегь-хазы с 1892 г. по 1900 г. в 8 ч. у., 1 ч. д. и 8 ч. в.

В Румынии были установлены сроки: 8 ч. у., 2 ч. д. и 8 ч. в., только в Бухаресте с 1881 г. по июнь 1884 г. наблюдали в 7 ч. у., 2 ч. д. и 9 ч. в.

В Болгарии наблюдения производились в 7 ч. у., 2 ч. д. и 9 ч. в.

В Японии в 1881 г. и 1882 г. наблюдали в сроки 3 ч. 30 м. у., 9 ч. 30 м. у., 3 ч. 30 м. д. и 9 ч. 30 м. в., с 1883 г. по 1885 г. среднее давление выводилось из наблюдений в сроки 9 ч. 30 м. утра и 3 ч. 30 м. д., с 1886 г. по 1890 г. наблюдения делались в сроки: 2 ч. у., 6 ч. у., 10 ч. у., 2 ч. д., 6 ч. в. и 10 ч. в., с 1891 г. по 1910 г. каждый час.

В Корее среднее давление выводилось из данных для сроков 2 ч. у., 6 ч. у., 10 ч. у., 2 ч. д., 6 ч. в. и 10 ч. в.

В Южной Манчжурии наблюдали с 1909 г. по 1911 г. в сроки 3 ч. у., 7 ч. у., 11 ч. у., 3 ч. д., 7 ч. в. и 11 ч. в., с 1912 г. по 1915 г. в сроки 2 ч. у., 6 ч. у., 10 ч. д., 2 ч. д., 6 ч. в. и 10 ч. в.

В Японской части Сахалина на станции Галкино-Врасское в 1908 г. и 1909 г. были установлены сроки 6 ч. у., 2 ч. д. и 10 ч. в., на этой же станции с 1910 г. по 1915 г. и в Корсаковском посту с 1907 г. по 1915 г. сроки 2 ч. у., 6 ч. у., 10 ч. у., 2 ч. д., 6 ч. в. и 10 ч. в.

В Обсерватории Цикавей наблюдения делались ежедневно.

В таблице III помещены поправки для приведения средних, выведенных из различных комбинаций сроков, принятых на станциях в соседних с СССР государствах, к истинным суточным средним.

Комбинация сроков 7 ч. у., 2 ч. д. и 9 ч. в. на севере и в Средней Европе дает средние величины давления, которые, вообще говоря, отличаются от истинных суточных средних на величины такого же порядка, как и средние, выведенные из наблюдений в 7 ч. у., 1 ч. д. и 9 ч. в.; в Средней Европе комбинация 7 ч. у., 2 ч. д. и 9 ч. в. дает, повидимому, немного более близкие к истинным суточным средним результаты, чем комбинация 7 ч. у., 1 ч. д., 9 ч. в. Комбинация 8 ч. у., 2 ч. д. и 8 ч. в. дает, как и комбинация 8 ч. у., 2 ч. д. и 9 ч. в., отклонения от истинных суточных средних, ни в один месяц не достигающие 0.10 мм. Отклонения, не превышающие 0.05 мм, получаются при комбинации 8 ч. у., 1 ч. д., 8 ч. в. Несколько выделяются по своей величине отклонения, полу-

В Швеции были установлены сроки: 8 ч. у., 2 ч. д. и 9 ч. в.

В Германии на большинстве станций с 1881 г. по 1886 г. наблюдали в сроки: 6 ч. у., 2 ч. д. и 9 ч. в., с 1887 г. по 1910 г. в 7 ч. у., 2 ч. д. и 9 ч. в. Для Берлина среднее давление с 1883 г. по 1886 г. вычислялось из наблюдений в 8 ч. у. и 8 ч. в., в Кенигсберге наблюдали в 1882 г. в 7 ч. у., 2 ч. д. и 9 ч. в., как и в Познани с 1885 г. В Курвин с 1881 г. по 1897 г. наблюдения делались в 8 ч. у. и 2 ч. д.

В Австрии с 1881 г. по 1910 г. наблюдали в 7 ч. у., 2 ч. д. и 9 ч. в.

В Венгрии с 1881 г. по 1909 г. были приняты сроки 7 ч. у., 2 ч. д. и 9 ч. в., только в Огиалла с 1886 г. по 1894 г. наблюдали в 7 ч. у., 1 ч. д. и 9 ч. в., в Нийрегь-хазы с 1892 г. по 1900 г. в 8 ч. у., 1 ч. д. и 8 ч. в.

В Румынии были установлены сроки: 8 ч. у., 2 ч. д. и 8 ч. в., только в Бухаресте с 1881 г. по июнь 1884 г. наблюдали в 7 ч. у., 2 ч. д. и 9 ч. в.

В Болгарии наблюдения производились в 7 ч. у., 2 ч. д. и 9 ч. в.

В Японии в 1881 г. и 1882 г. наблюдали в сроки 3 ч. 30 м. у., 9 ч. 30 м. у., 3 ч. 30 м. д. и 9 ч. 30 м. в., с 1883 г. по 1885 г. среднее давление выводилось из наблюдений в сроки 9 ч. 30 м. утра и 3 ч. 30 м. д., с 1886 г. по 1890 г. наблюдения делались в сроки: 2 ч. у., 6 ч. у., 10 ч. у., 2 ч. д., 6 ч. в. и 10 ч. в., с 1891 г. по 1910 г. каждый час.

В Корее среднее давление выводилось из данных для сроков 2 ч. у., 6 ч. у., 10 ч. у., 2 ч. д., 6 ч. в. и 10 ч. в.

В Южной Манчжурии наблюдали с 1909 г. по 1911 г. в сроки 3 ч. у., 7 ч. у., 11 ч. у., 3 ч. д., 7 ч. в. и 11 ч. в., с 1912 г. по 1915 г. в сроки 2 ч. у., 6 ч. у., 10 ч. д., 2 ч. д., 6 ч. в. и 10 ч. в.

В Японской части Сахалина на станции Галкино-Врасское в 1908 г. и 1909 г. были установлены сроки 6 ч. у., 2 ч. д. и 10 ч. в., на этой же станции с 1910 г. по 1915 г. и в Корсаковском посту с 1907 г. по 1915 г. сроки 2 ч. у., 6 ч. у., 10 ч. у., 2 ч. д., 6 ч. в. и 10 ч. в.

В Обсерватории Цикавей наблюдения делались ежедневно.

В таблице III помещены поправки для приведения средних, выведенных из различных комбинаций сроков, принятых на станциях в соседних с СССР государствах, к истинным суточным средним.

Комбинация сроков 7 ч. у., 2 ч. д. и 9 ч. в. на севере и в Средней Европе дает средние величины давления, которые, вообще говоря, отличаются от истинных суточных средних на величины такого же порядка, как и средние, выведенные из наблюдений в 7 ч. у., 1 ч. д. и 9 ч. в.; в Средней Европе комбинация 7 ч. у., 2 ч. д. и 9 ч. в. дает, повидимому, немного более близкие к истинным суточным средним результаты, чем комбинация 7 ч. у., 1 ч. д., 9 ч. в. Комбинация 8 ч. у., 2 ч. д. и 8 ч. в. дает, как и комбинация 8 ч. у., 2 ч. д. и 9 ч. в., отклонения от истинных суточных средних, ни в один месяц не достигающие 0.10 мм. Отклонения, не превышающие 0.05 мм, получаются при комбинации 8 ч. у., 1 ч. д., 8 ч. в. Несколько выделяются по своей величине отклонения, полу-

In Schweden waren die Termine: 8^h_a, 2^h_p und 9^h_p vorgeschrieben.

In Deutschland wurden vom Jahre 1881 bis 1886 incl. Beobachtungen an folgenden Terminen ausgeführt: um 6^h_a, 2^h_p und 9^h_p; vom Jahre 1887 bis 1910 incl. um 7^h_a, 2^h_p und 9^h_p. Der mittlere Luftdruck für Berlin wurde vom Jahre 1883 bis 1886 incl. nach den Beobachtungen von 8^h_a und 8^h_p berechnet. In Königsberg beobachtete man im Jahre 1882 um 7^h_a, 2^h_p und 9^h_p; ebenso in Posen vom Jahre 1885 an. In Kurwien wurden von 1881 bis 1897 incl. Beobachtungen um 8^h_a und um 2^h_p ausgeführt.

In Österreich beobachtete man vom Jahre 1881 bis 1910 incl. um 7^h_a, 2^h_p und 9^h_p.

In Ungarn wurden von 1881 bis 1909 incl. folgende Termine eingehalten: 7^h_a, 2^h_p und 9^h_p; nur in Ogyalla beobachtete man vom Jahre 1886 bis 1894 incl. um 7^h_a, 1^h_p und 9^h_p; in Nyiregyháza vom Jahre 1892 bis 1900 incl. um 8^h_a, 1^h_p und um 8^h_p.

In Rumänien waren folgende Termine festgesetzt: 8^h_a, 2^h_p und 8^h_p; nur in Bukarest beobachtete man vom Jahre 1881 bis Juni 1884 um 7^h_a, 2^h_p und 9^h_p.

In Bulgarien wurden Beobachtungen um 7^h_a, 2^h_p und 9^h_p ausgeführt.

In Japan beobachtete man in den Jahren 1881 und 1882 an den Terminen 3^h 30^m_a, 9^h 30^m_a, 3^h 30^m_p und 9^h 30^m_p; vom Jahre 1883 bis 1885 incl. wurde der mittlere Luftdruck aus den Beobachtungen an den Terminen 9^h 30^m_a und 3^h 30^m_p abgeleitet; vom Jahre 1886 bis 1890 incl. wurden Beobachtungen an den Terminen: 2^h_a, 6^h_a, 10^h_a, 2^h_p, 6^h_p und 10^h_p ausgeführt; vom Jahre 1891 bis 1910 incl. wurden sie jede Stunde gemacht.

In Korea wurde der mittlere Luftdruck aus den Daten für die Termine 2^h_a, 6^h_a, 10^h_a, 2^h_p, 6^h_p und 10^h_p abgeleitet.

In der Südlichen Mandshurei wurde vom Jahre 1909 bis 1911 incl. an den Terminen: 3^h_a, 7^h_a, 11^h_a, 3^h_p, 7^h_p und 11^h_p beobachtet, vom Jahre 1912 bis 1915 incl. an den Terminen 2^h_a, 6^h_a, 10^h_a, 2^h_p, 6^h_p und 10^h_p.

Im Japanischen Teil von Ssachalin wurden auf der Station Galkino-Wrasskoe in den Jahren 1908 und 1909 folgende Termine eingehalten: 6^h_a, 2^h_p und 10^h_p; auf derselben Station von 1910 bis 1915 incl. und im Korssakowskij Post von 1907 bis 1915 incl. 2^h_a, 6^h_a, 10^h_a, 2^h_p, 6^h_p und 10^h_p.

Im Observatorium Zi-ka-wei wurden stündlich Beobachtungen ausgeführt.

In der Tabelle III sind Korrekturen zur Reduktion der aus verschiedenen Kombinationen der Termine abgeleiteten Mittel auf wahre Tagesmittel angegeben. In dieser Tabelle wurden diejenigen Kombinationen der Termine berücksichtigt, die auf den Stationen in den Nachbarstaaten der USSR eingehalten wurden.

Die Kombination der Termine 7^h_a, 2^h_p und 9^h_p im Norden und in Mitteleuropa gibt mittlere Luftdruckwerte, welche im allgemeinen von den wahren täglichen Mitteln nicht mehr abweichen als die Mittel aus den Terminen 7^h_a, 1^h_p und 9^h_p. In Mitteleuropa ist die Kombination 7^h_a, 2^h_p und 9^h_p augenscheinlich günstiger als die Kombination 7^h_a, 1^h_p und 9^h_p. Die Kombination 8^h_a, 2^h_p, 8^h_p ergibt, ebenso wie die Kombination 8^h_a, 2^h_p und 9^h_p, Abweichungen von den wahren täglichen Mitteln, welche in keinem Monat 0.10 mm erreichen. Abweichungen, welche 0.05 mm nicht übersteigen, erhält man bei der Kombination 8^h_a, 1^h_p und 8^h_p. Die Abweichungen, welche in Berlin für die Kombination 6^h_a, 2^h_p und 9^h_p und besonders für die Kombination 8^h_a und 8^h_p erhalten wurden, treten ihrer Grösse nach etwas hervor.

Поправки для приведения среднего давления воздуха, выведенного из различных комбинаций сроков, к истинным суточным средним
Korrekturen zur Reduktion der bei verschiedenen Kombinationen der Termine abgeleiteten Luftdruckmittel auf wahre Tagesmittel

НАЗВАНИЯ СТАНЦИЙ.	Январь	Февраль	Март	Апрель	Май	Июнь	Июль	Август	Сентябрь	Октябрь	Ноябрь	Декабрь	NAMEN DER STATIONEN.
Гельсингфорс (1844—1847) ¹⁾ . Ист. средн. — $\frac{7 \text{ ч. у.} + 2 \text{ ч. д.} + 9 \text{ ч. в.}}{3}$	+0.02	+0.07	-0.01	-0.01	-0.03	-0.01	0.00	-0.02	-0.04	+0.03	+0.07	+0.08	Helsingfors (1844—1847) ¹⁾ . Wahres Mittel — $\frac{7^{\text{h}} \text{ a} + 2^{\text{h}} \text{ p} + 9^{\text{h}} \text{ p}}{3}$
Ист. средняя — $\frac{7 \text{ ч. у.} + 1 \text{ ч. д.} + 9 \text{ ч. в.}}{3}$	-0.01	+0.05	-0.02	0.00	-0.03	-0.06	-0.02	-0.05	-0.04	+0.01	+0.04	+0.07	Wahres Mittel — $\frac{7^{\text{h}} \text{ a} + 1^{\text{h}} \text{ p} + 9^{\text{h}} \text{ p}}{3}$
Трондхем (1896—1904) ²⁾ . Ист. средн. — $\frac{8 \text{ ч. у.} + 2 \text{ ч. д.} + 8 \text{ ч. в.}}{3}$	-0.01	+0.01	-0.01	-0.01	+0.05	+0.06	+0.05	+0.02	-0.03	0.00	-0.01	+0.01	Trondhjem (1896—1904) ²⁾ . Wahres Mittel — $\frac{8^{\text{h}} \text{ a} + 2^{\text{h}} \text{ p} + 8^{\text{h}} \text{ p}}{3}$
Ист. средняя — $\frac{8 \text{ ч. у.} + 1 \text{ ч. д.} + 8 \text{ ч. в.}}{3}$	0.00	0.00	-0.04	-0.03	+0.03	+0.04	+0.04	+0.01	-0.05	-0.02	-0.04	-0.01	Wahres Mittel — $\frac{8^{\text{h}} \text{ a} + 1^{\text{h}} \text{ p} + 8^{\text{h}} \text{ p}}{3}$
Осло (1893—1903) ³⁾ . Ист. средн. — $\frac{8 \text{ ч. у.} + 2 \text{ ч. д.} + 8 \text{ ч. в.}}{3}$	+0.06	+0.02	-0.01	+0.01	+0.06	+0.08	+0.07	+0.04	0.00	0.00	-0.01	+0.07	Oslo (1893—1903) ³⁾ . Wahres Mittel — $\frac{8^{\text{h}} \text{ a} + 2^{\text{h}} \text{ p} + 8^{\text{h}} \text{ p}}{3}$
Упсала (1906—1910) ³⁾ . Ист. средн. — $\frac{8 \text{ ч. у.} + 2 \text{ ч. д.} + 9 \text{ ч. в.}}{3}$	-0.08	+0.01	-0.03	-0.03	-0.04	-0.03	-0.01	-0.06	-0.03	-0.06	+0.03	0.00	Upsala (1906—1910) ³⁾ . Wahres Mittel — $\frac{8^{\text{h}} \text{ a} + 2^{\text{h}} \text{ p} + 9^{\text{h}} \text{ p}}{3}$
Варшава (1893—1898) ⁴⁾ . Ист. средн. — $\frac{7 \text{ ч. у.} + 1 \text{ ч. д.} + 9 \text{ ч. в.}}{3}$	+0.05	-0.01	-0.04	-0.07	-0.10	-0.08	-0.06	-0.06	-0.06	-0.01	+0.03	+0.04	Warschau (1893—1898) ⁴⁾ . Wahres Mittel — $\frac{7^{\text{h}} \text{ a} + 1^{\text{h}} \text{ p} + 9^{\text{h}} \text{ p}}{3}$
Ист. средняя — $\frac{7 \text{ ч. у.} + 2 \text{ ч. д.} + 9 \text{ ч. в.}}{3}$	+0.06	+0.03	-0.01	-0.03	-0.05	-0.03	-0.02	-0.02	-0.01	+0.02	+0.06	+0.06	Wahres Mittel — $\frac{7^{\text{h}} \text{ a} + 2^{\text{h}} \text{ p} + 9^{\text{h}} \text{ p}}{3}$
Берлин (1884—1903) ⁵⁾ . Ист. средн. — $\frac{6 \text{ ч. у.} + 2 \text{ ч. д.} + 9 \text{ ч. в.}}{3}$	+0.12	+0.10	+0.06	+0.01	-0.01	0.00	+0.02	+0.01	+0.05	+0.08	+0.11	+0.11	Berlin (1884—1903) ⁵⁾ . Wahres Mittel — $\frac{6^{\text{h}} \text{ a} + 2^{\text{h}} \text{ p} + 9^{\text{h}} \text{ p}}{3}$
Ист. средняя — $\frac{8 \text{ ч. у.} + 8 \text{ ч. в.}}{2}$	-0.06	-0.06	-0.12	-0.16	-0.12	-0.06	-0.04	-0.10	-0.13	-0.13	-0.09	-0.05	Wahres Mittel — $\frac{8^{\text{h}} \text{ p} + 8^{\text{h}} \text{ p}}{2}$
Вена (1853—1871) ⁶⁾ . Ист. средн. — $\frac{7 \text{ ч. у.} + 2 \text{ ч. д.} + 9 \text{ ч. в.}}{3}$	+0.10	+0.07	+0.01	-0.01	-0.03	-0.02	-0.01	-0.03	+0.04	+0.07	+0.09	+0.07	Wien (1853—1871) ⁶⁾ . Wahres Mittel — $\frac{7^{\text{h}} \text{ a} + 2^{\text{h}} \text{ p} + 9^{\text{h}} \text{ p}}{3}$
Огдалла (1891—1895) ⁷⁾ . Ист. средн. — $\frac{7 \text{ ч. у.} + 2 \text{ ч. д.} + 9 \text{ ч. в.}}{3}$	+0.08	+0.05	+0.02	-0.04	-0.05	-0.05	-0.01	-0.03	0.00	+0.04	+0.08	+0.11	Ogyalla (1891—1895) ⁷⁾ . Wahres Mittel — $\frac{7^{\text{h}} \text{ a} + 2^{\text{h}} \text{ p} + 9^{\text{h}} \text{ p}}{3}$
Ист. средняя — $\frac{7 \text{ ч. в.} + 1 \text{ ч. д.} + 9 \text{ ч. в.}}{3}$	+0.02	-0.02	-0.07	-0.11	-0.12	-0.11	-0.08	-0.11	-0.09	-0.01	+0.01	+0.05	Wahres Mittel — $\frac{7^{\text{h}} \text{ a} + 1^{\text{h}} \text{ p} + 9^{\text{h}} \text{ p}}{3}$
Бухарест (1885—1887) ⁸⁾ . Ист. средн. — $\frac{7 \text{ ч. у.} + 2 \text{ ч. д.} + 9 \text{ ч. в.}}{3}$	+0.11	+0.05	+0.02	+0.01	-0.06	-0.01	-0.03	-0.02	+0.02	+0.06	+0.07	+0.11	Bukarest (1885—1887) ⁸⁾ . Wahres Mittel — $\frac{7^{\text{h}} \text{ a} + 2^{\text{h}} \text{ p} + 9^{\text{h}} \text{ p}}{3}$
Одесса (1894—1900) ⁷⁾ . Ист. средн. — $\frac{7 \text{ ч. у.} + 2 \text{ ч. д.} + 9 \text{ ч. в.}}{3}$	+0.10	+0.06	-0.01	-0.06	-0.06	-0.05	-0.03	-0.05	-0.02	+0.02	+0.06	+0.08	Odessa (1894—1900) ⁷⁾ . Wahres Mittel — $\frac{7^{\text{h}} \text{ a} + 2^{\text{h}} \text{ p} + 9^{\text{h}} \text{ p}}{3}$
Токио (1886—1890) ⁸⁾ . Ист. средн. — $\frac{3 \text{ ч. у.} + 9 \text{ ч. у.} + 3 \text{ ч. д.} + 9 \text{ ч. в.}}{4}$	-0.09	-0.02	0.00	+0.01	-0.01	-0.01	-0.02	-0.02	-0.03	-0.04	-0.04	-0.08	Tokio (1886—1890) ⁸⁾ . Wahres Mittel — $\frac{3^{\text{h}} \text{ a} + 9^{\text{h}} \text{ a} + 3^{\text{h}} \text{ p} + 9^{\text{h}} \text{ p}}{4}$

¹⁾ M. Rykatchew. La marche diurne du baromètre en Russie. Repert. für Meteorologie, VI. № 10. 1879.

²⁾ B. J. Birkeland. Mitteilungen aus dem Norwegischen Meteorologischen Institut. Die tägliche Periode des Luftdruckes und der Temperatur in Norwegen. Meteorologische Zeitschrift. 1906.

³⁾ Bulletin mensuel de l'Observatoire météorologique de l'Université d'Upsal. 1906—1910.

⁴⁾ W. Gorczyński. Pression atmosphérique en Pologne et en Europe. Warszawa. 1917.

⁵⁾ Börnstein. Der tägliche Gang des Luftdruckes in Berlin. Meteorologische Zeitschrift. 1905.

⁶⁾ J. Hann. Untersuchungen über die tägliche Oscillation des Barometers. 1889.

⁷⁾ Z. Róna. Luftdruckverhältnisse Ungarns. Budapest. 1897.

⁸⁾ Летописи метеорологической Обсерватории Новороссийского Университета в Одессе. (Annales de l'Observatoire Météorologique de l'Université à Odessa). 1894—1900.

⁹⁾ K. Nakamura. The Climate of Japan. 1893.

ценные в Берлине для комбинации 6 ч. у., 2 ч. д., 9 ч. в. и особенно для комбинации 8 ч. у. и 8 ч. в.

Повидимому, любая комбинация из 4 сроков с одинаковыми между ними промежутками дает отклонения, не превышающие 0.10 мм.

Как видно из этого обзора, средние месячные величины давления воздуха, выведенные из наблюдений в установленные в соседних с СССР государствах сроки, и без приведения к истинным суточным средним, могут быть рассматриваемы как совпадающие в пределах ± 0.1 мм. с истинными суточными средними и, поскольку это зависит от комбинации сроков наблюдений, вполне сравнимыми со средними месячными для станций нашей сети, выведенными из наблюдений в сроки 7 ч. у., 1 ч. д. и 9 ч. в.

IV

Средняя изменчивость месячных и годовых средних давления воздуха в СССР

Об устойчивости средних величин давления воздуха можно судить по их средней изменчивости. Мною вычислена средняя изменчивость средних месячных и годовых величин давления по данным за 1881—1910 гг. Полученные результаты помещены в приложенной таблице G (см. стр. 38*).

Для ряда приведенных в таблице G пунктов средняя изменчивость месячных и годовых средних давления дается в цитированном труде Hann'a за другое тридцатилетие (1851—1880). Сопоставляю здесь данные Hann'a с полученными мною.

Augenscheinlich ergibt eine jede Kombination aus 4 Terminen mit gleichen Zwischenzeiten Abweichungen, welche 0.10 mm nicht übersteigen.

Wie aus dieser Übersicht zu ersehen ist, können die Monatsmittel des Luftdrucks, welche aus Beobachtungen an den in den Nachbarstaaten der USSR angenommenen Terminen abgeleitet sind, auch ohne Reduktion auf die wahren täglichen Mittel, als bis auf ± 0.1 mm mit den wahren Tagesmitteln übereinstimmend angesehen werden und, soweit es von den Kombinationen der Termine abhängt, sind sie mit den für die Stationen unseres Netzes aus Beobachtungen an den Terminen 7^h_a, 1^h_p und 9^h_p abgeleiteten Monatsmitteln durchaus vergleichbar und homogen.

IV

Mittlere Veränderlichkeit der Monats- und Jahresmittel des Luftdrucks in der USSR

Die Stabilität der Mittelwerte des Luftdrucks lässt sich nach ihrer mittleren Veränderlichkeit beurteilen. Ich habe die mittlere Veränderlichkeit der Monats- und Jahresmittel des Luftdrucks nach den Daten der Jahre 1881—1910 berechnet. Die erhaltenen Ergebnisse enthält die beigefügte Tabelle G (s. p. 38*).

Die mittlere Veränderlichkeit der Monats- und Jahresmittel für eine Reihe von in der Tabelle G angeführten Punkten wird in der zitierten Arbeit von Hann für eine andere dreissigjährige Periode (1851—1880) gegeben. Ich vergleiche hier die Daten Hann's mit den von mir erhaltenen.

	Январь Januar	Февраль Februar	Март März	Апрель April	Май Mai	Июнь Juni	Июль Juli	Август August	Сентябрь September	Октябрь Oktober	Ноябрь November	Декабрь Dezember	Средн. Mittel	год Jahr	
Ленинград, ГГО															Leningrad G. Zentr.-Obs.
1851—1880...	3.88	4.12	3.15	2.70	1.45	1.38	1.69	1.76	2.21	2.82	4.44	4.41	2.83	1.07	1851—1880
1881—1910...	3.66	4.46	3.93	2.58	1.88	1.51	1.87	1.86	2.84	3.84	3.56	4.38	3.03	0.76	1881—1910
Варшава															Warschau
1851—1880...	3.09	3.27	3.12	1.99	1.35	1.44	1.24	1.28	1.59	2.58	2.76	3.62	2.28	0.63	1851—1880
1881—1910...	3.10	3.82	2.60	1.80	1.59	1.03	1.51	0.96	1.87	2.15	2.97	3.10	2.21	0.43	1881—1910
Тифлис															Tiflis
1851—1880...	1.64	1.87	1.08	1.07	0.87	0.75	0.52	0.72	0.83	1.15	1.56	1.52	1.13	0.39	1851—1880
1881—1910...	1.37	1.95	1.32	0.97	0.90	0.67	0.45	0.51	0.60	0.94	1.00	1.38	1.00	0.27	1881—1910
Барнаул															Barnaul
1851—1880...	2.24	2.53	1.89	1.33	1.25	1.32	1.17	1.31	1.19	1.66	1.90	2.73	1.71	0.68	1851—1880
1881—1910...	1.98	2.21	2.02	1.14	0.98	0.87	0.93	0.91	1.08	1.79	2.20	2.32	1.54	0.50	1881—1910

Hann обратил внимание на то, что для Барнаула по данным 1851—1880 гг. выведена более значительная средняя изменчивость среднего давления, чем бы следовало ожидать по географическому положению и что это по всей вероятности объясняется неполной однородностью ряда наблюдений за указанные годы. Для всех четырех пунктов, для которых взяты мною данные за 1851—1910 гг. у Hann'a, средняя изменчивость среднего давления по дан-

Hann wandte seine Aufmerksamkeit dem Umstande zu, dass für Barnaul nach den Daten der Jahre 1851—1880 eine bedeutendere mittlere Veränderlichkeit des mittleren Luftdrucks sich ergibt, als nach der geographischen Lage desselben zu erwarten war, und dass die Reihe von Beobachtungen für die erwähnten Jahre nicht vollständig homogen war. Für alle vier Punkte, für welche ich die Daten für die Jahre 1851—1880 dem Werke von Hann entnommen

ным 1881—1910 гг. оказывается меньше, чем по данным 1851—1880 гг., причем, безусловно, в меньшей степени могла быть обеспечена однородность наблюдений в период 1851—1880 гг., чем в течение 1881—1910 гг. Очевидно, в известной степени предположение Н а н н'а основательно.

Из сопоставления данных о средней изменчивости среднего давления за два не налегающих один на другой тридцатилетних периода усматривается, что максимумы и минимумы изменчивости в эти периоды на отдельных станциях приходятся, отчасти, не на те же месяцы. Из этого можно заключить, что наблюдений за 30 лет еще недостаточно для определения, напр., особенностей годового хода давления, выражающихся в повышении или падении среднего давления от месяца к месяцу не более чем на 2 миллиметра. Более значительные колебания в годовом ходе давления характеризуются с достаточной определенностью и по данным за 30 лет. К этому вопросу придется вернуться при рассмотрении годового хода давления.

По данным за 1881—1910 гг. наибольшая средняя изменчивость средних давления приходится в Европейской части СССР, на Кавказе, в Средней Азии и юго-восточной Сибири на февраль, в большей части Сибири на декабрь, ноябрь или март, наименьшая средняя изменчивость получается вообще в один из летних месяцев (июнь, июль или август). Повидимому, можно признать характерным некоторое понижение средней изменчивости в январе по сравнению с февралем или декабрем.

Вообще, в зимние месяцы средняя изменчивость среднего давления значительно больше, чем в летние месяцы.

Н а н н¹⁾ показал, что средняя изменчивость среднего давления убывает с широтой. На ряду с влиянием широты, по Н а н н'у, сказывается и влияние расположения океанов и материков. Средняя изменчивость на Европейском материке по Н а н н'у убывает от берегов Атлантического океана по направлению на восток к середине материка. В Альпах в холодные месяцы изменчивость, по мере увеличения высоты над уровнем моря, убывает, в летние месяцы, наоборот, возрастает.

Если нанесем на карты из таблицы G (см. стр. 38*) средний вывод за все 12 месяцев, среднюю изменчивость за февраль, июнь и год, а также вычисленную на основании данных таблицы G и приводимую ниже в таблице IV среднюю изменчивость 1) за зимние месяцы (XII, I и II) и 2) за летние месяцы (VI, VII и VIII), то придем к следующим выводам относительно географического распределения средней изменчивости.

Район, в котором в среднем выводе за все 12 месяцев изменчивость достигает наибольших величин и превышает ± 3.00 мм, охватывает весь север Европейской части СССР на юг до Ленинграда, Нижнего Новгорода и Казани.

Максимальных величин (± 3.28 мм в Каргополе) изменчивость достигает в районе Белого моря. К югу от линии Ленинград—Н. Новгород—Казань изменчивость падает по на-

have, hat sich die mittlere Veränderlichkeit des mittleren Luftdrucks nach den Daten der Jahre 1881—1910 kleiner, als nach den Daten von 1851—1880 erwiesen, wobei die Homogenität der Beobachtungen in der Periode 1851—1880 zweifellos in geringerem Masse gesichert war, als während der Jahre 1881—1910. Augenscheinlich ist die Annahme H a n n's in gewissem Masse begründet.

Aus der Vergleichung der Daten über die mittlere Veränderlichkeit des mittleren Luftdrucks für zwei dreissigjährige Perioden, welche sich nicht decken, ist zu ersehen, dass die Maxima und Minima der Veränderlichkeit in diesen Perioden auf einzelnen Stationen teilweise nicht auf dieselben Monate fallen. Daraus kann man schliessen, dass Beobachtungen für 30 Jahre noch nicht genügen, um z. B. solche Eigentümlichkeiten im jährlichen Gange des Luftdrucks zu bestimmen, welche sich im Steigen und Fallen des mittleren Luftdrucks von Monat zu Monat um nicht mehr als 2 Millimeter äussern. Grössere Schwankungen im jährlichen Gang werden aber mit genügender Bestimmtheit schon nach den Daten für 30 Jahre charakterisiert. Auf diese Frage werde ich bei der Untersuchung des jährlichen Ganges des Luftdrucks zurückkommen.

Die grösste mittlere Veränderlichkeit des mittleren Luftdrucks nach den Daten für die Jahre 1881—1910 fällt im Europäischen Teil der USSR, im Kaukasus, in Mittelasien und im südlichen Sibirien auf den Februar, im grössten Teil Sibiriens auf den Dezember, November oder März; die kleinste mittlere Veränderlichkeit wird im allgemeinen in einem der Sommermonate erhalten (Juni, Juli oder August). Man kann scheinbar eine gewisse Abnahme der mittleren Veränderlichkeit im Januar im Vergleich zum Februar oder Dezember als charakteristisch annehmen.

Im allgemeinen ist die mittlere Veränderlichkeit des mittleren Luftdrucks in den Wintermonaten bedeutend grösser, als in den Sommermonaten.

H a n n¹⁾ zeigte, dass die mittlere Veränderlichkeit des mittleren Luftdrucks mit den Breitengraden abnimmt. Nach seiner Untersuchung macht sich der Einfluss der Verteilung der Ozeane und Kontinente in gleichem Masse, wie der Einfluss der Breite, bemerkbar. Die mittlere Veränderlichkeit auf dem Europäischen Festlande nimmt nach H a n n von den Ufern des Atlantischen Ozeans in der Richtung nach Osten gegen die Mitte des Kontinents ab. In den Alpen nimmt die Veränderlichkeit in den kalten Monaten mit der Zunahme der Seehöhe ab, in den Sommermonaten aber nimmt sie, im Gegenteil, zu.

Wenn wir das Mittel für alle 12 Monate, die mittlere Veränderlichkeit für Februar, Juni und das Jahr, sowie auch die auf Grund der Daten der Tabelle G berechneten und unten in der Tabelle IV angeführten mittleren Veränderlichkeiten 1) für die Wintermonate (XII, I und II), 2) für die Sommermonate (VI, VII und VIII) auf Karten auftragen, so kommen wir zu folgenden Schlussfolgerungen in betreff der geographischen Verteilung der mittleren Veränderlichkeit.

Der Rayon, in welchem die Veränderlichkeit im Mittel für alle 12 Monate die grössten Werte erreicht und ± 3.00 mm übersteigt, umfasst den ganzen Norden des Europäischen Teils der USSR und nach Süden hin bis Leningrad, Nishnij Nowgorod und Kasan.

Die grössten Werte (± 3.28 mm in Kargopol) erreicht die Veränderlichkeit im Rayon des Weissen Meeres. Südlich von der Linie Leningrad—Nishnij Nowgorod—Kasan fällt die

¹⁾ J. H a n n. L. c., стр. 68 и 69.

¹⁾ J. H a n n. L. c., p. 68 и 69.

Средняя изменчивость среднего давления воздуха за зимние и летние месяцы.

Mittlere Veränderlichkeit der Luftdruckmittel für die Winter- und Sommermonate.

1881—1910.

НАЗВАНИЯ ПУНКТОВ	XII, I, II	VI, VII, VIII	НАМЕН DER ORTE	НАЗВАНИЯ ПУНКТОВ	XII, I, II	VI, VII, VIII	НАМЕН DER ORTE
Варде	± 4.09	± 1.81	Vardö.	Севастополь	± 2.21	± 0.73	Ssewasstopol.
Кемь	4.28	1.88	Kem.	Керчь	2.16	0.65	Kertsch.
Ревель	4.08	1.73	Reval.	Владикавказ	1.59	0.55	Wladikawkas.
Ленинград, ГГО	4.17	1.75	Leningrad, Geophys. Z.-Obs.	Астрахань	2.66	0.84	Asstrachan.
Слуцк (Павловск)	4.15	1.72	Sluzk (Pawlowsk)	Сочи	1.61	0.62	Ssotschi.
Валаам	4.21	1.70	Walaam.	Тифлис	1.57	0.54	Tiflis.
Каргополь	4.31	1.87	Kargopol.	Баку	1.97	0.70	Baku.
Либава	3.77	1.51	Libau	Богословск	3.76	1.59	Bogoslowsk.
Рига	3.89	1.52	Riga.	Якутск (1888—1907, 1911—1920)	2.21	1.14	Jakutsk (1888—1907, 1911—1920).
Пернов	3.96	1.62	Pernau.	Свердловск (Екатеринбург)	3.71	1.53	Sswerdlowsk (Ekaterinburg).
Юрьев (Тарту)	4.02	1.63	Jurjew (Tartu).	Томск	2.70	1.07	Tomsk.
Великие Луки	3.93	1.52	Welikie Luki.	Барнаул	2.17	0.90	Barnaul.
Москва, Меж. Инст.	4.12	1.54	Moskau, Feldmesserinst.	Иркутск	1.78	0.79	Irkutsk.
Нижний Новгород	4.41	1.58	Nishnij Nowgorod.	Нерчинский Завод	1.44	0.88	Nertschinskij Sawod.
Казань, Унив.	4.40	1.58	Kasan, Univ.	Николаевск на Амуре (1886—1889, 1901—1915)	1.68	1.17	Nikolaewsk am Amur (1886—1889, 1901—1915).
Вятка, реальн. уч.	4.25	1.70	Wjatka, Realschule.	Алма-Ата (Верный)	1.16	0.61	Alma-Ata (Wernyj).
Варшава	3.34	1.17	Warschau.	Ташкент	1.39	0.53	Taschkent.
Новая Александрия (Пулавы)	3.23	1.05	Nowaja Alexandrija (Pulawy).	Токио	1.19	0.89	Tokio.
Вильно	3.55	1.31	Wilno.	Цикавей	1.16	0.63	Zi-ka-wei.
Пинск	3.30	1.10	Pinsk.				
Горки	3.63	1.37	Gorki.				
Земетчино	4.17	1.35	Semettschino.				
Николаевское (Сарат. губ.)	3.85	1.23	Nikolaewskoe (Gouv. Ssaratow).				
Киев	3.12	1.09	Kiew.				
Дзержинск (Елисаветград)	2.82	0.93	Dershinsk (Elissawetgrad).				
Луганск	2.92	0.91	Lugansk.				
Одесса, Унив.	2.69	0.84	Odessa, Univ.				
Николаев	2.70	0.84	Nikolaew.				

правлению с севера на юг до Черного моря, Кавказа и Каспийского моря. К востоку от Уральского хребта изменчивость падает как в восточном, так и в южном направлениях (Обдорск ± 2.96 мм, Ташкент ± 0.93 мм, Барнаул ± 1.54 мм, Нерчинский Завод ± 1.20 мм, Якутск ± 1.52 мм). Отсюда видно, что наибольшей изменчивостью среднего давления отличается северо-запад нашего материка. В Азиатской части СССР не только юг отличается малой изменчивостью, но и вся Восточная Сибирь вплоть до Тихого океана (Николаевск на Амуре ± 1.46 мм). Такое распределение изменчивости является весьма характерным для северной половины нашего материка и отражает на себе чрезвычайно важные особенности климатического режима. Отмечу, что и средняя изменчивость давления от одного дня к другому носит в своем географическом распределении на территории СССР подобные же черты ¹⁾.

Изменчивость средних годовых давления достигает максимальных величин в районе, представляемом Каргополем (± 0.81 мм), Вяткой (± 0.86 мм), Казанью (± 0.81 мм), Тобольском и Сургутом, где она немного превышает ± 80 мм. Как в Европейской части, так и в Западной Сибири она убывает не только по направлению к югу, но и к северу к берегам моря. В остальном сохраняются характерные особенности, свойственные распределению средней арифметической из данных для отдельных месяцев.

На карте распределения изменчивости среднего давления за февраль выделяется окруженная замкнутой изолинией область максимума с величинами, превышающими ± 4.50 мм (Нижний Новгород 4.91 мм). Положение этой области определяется следующими пунктами: Каргополь, Вятка, Москва, Н. Новгород, Казань, Тамбов. По всем направлениям в стороны от этой области изменчивость среднего давления за февраль убывает и только на северо-западе опять возрастает (Варде ± 4.59 мм). Весьма значительна разница между Восточной и Западной Сибирью (Обдорск ± 4.00 мм, Свердловск ± 4.08 мм, Якутск ± 1.94 мм).

Изменчивость среднего давления за июль наибольшая на северо-востоке Европ. части и северо-западе Азиатской части СССР (Обдорск ± 2.13 мм, Кемь ± 1.96 мм) и оттуда убывает по направлению на юго-запад (Варшава ± 1.51 мм, Керчь ± 0.60 мм, Баку ± 0.65 мм, Барнаул ± 0.93 мм), на юго-восток (Нерчинский Завод ± 0.92 мм) и на восток (Якутск ± 1.29 мм).

На картах средней изменчивости для зимних месяцев (XII, I, II) сохраняется в общем та же картина, какую мы видели на карте февраля, причем в районе максимума изменчивость превышает ± 4.0 мм, (Нижний Новгород ± 4.41 мм). В среднем за три летних месяца (VI, VII, VIII) север Европ. части СССР и северо-запад Азиатской части имеют изменчивость в пределах от ± 1.50 мм до ± 1.88 мм (Кемь), на юге она падает ниже ± 1.00 мм (Керчь ± 0.65 мм, Баку ± 0.70 мм, Барнаул ± 0.90 мм, Нерчинский Завод ± 0.88 мм).

¹⁾ A. Woeikof. La variabilité interdiurne de la pression atmosphérique, principalement en Asie. Mém. Acad. Sciences, VIII série, Cl. Phys.-math. T. XIX, № 6. 1906.

H. Bahr. Die interdiurne Veränderlichkeit des Luftdruckes. Meteorol. Zeitschr. 1911. XI, pp. 497—502.

H. Ficker. Veränderlichkeit des Luftdruckes und der Temperatur in Russland zwischen Eismeer und 37° Nordbreite. Sitzungsberichte d. Akad. der Wissensch. in Wien. Math.-Naturw. Klasse. Abt. IIa, Band 128, Heft 9. 1919.

Veränderlichkeit in der Richtung von Norden nach Süden bis zum Schwarzen Meere, Kaukasus und Kaspischen Meere. Östlich vom Ural nimmt die Veränderlichkeit in östlicher, sowie in südlicher Richtung ab (Obdorsk ± 2.96 мм, Ташкент ± 0.93 мм, Барнаул ± 1.54 мм, Нерчинский Завод ± 1.20 мм, Якутск ± 1.52 мм). Daraus ist zu ersehen, dass sich der Nordwesten unseres Kontinents durch die grösste Veränderlichkeit des mittleren Luftdrucks auszeichnet. Im Asiatischen Teil der USSR weist nicht nur der Süden eine geringe Veränderlichkeit auf, sondern auch ganz Ostsibirien bis zum Stillen Ozean (Nikolaewsk am Amur ± 1.46 мм). Eine solche Verteilung der Veränderlichkeit ist für die nördliche Hälfte unseres Kontinents sehr charakteristisch und deutet auf überaus wichtige Eigentümlichkeiten des klimatologischen Regimes hin. Ich will noch erwähnen, dass auch die mittlere Veränderlichkeit des Luftdrucks von Tag zu Tag in ihrer geographischen Verteilung auf dem Territorium der U. S. S. R. dieselben Züge aufweist ¹⁾.

Die Veränderlichkeit der Jahresmittel des Luftdrucks erreicht ihre grössten Werte in dem Rayon von Kargopol (± 0.81 мм), Wjatka (± 0.86 мм), Kasan (± 0.81 мм), Tobolsk und Ssurgut, wo sie ± 0.80 мм ein wenig übersteigt. Im Europäischen Teil, sowie in Westsibirien nimmt sie nicht nur in der Richtung nach Süden ab, sondern auch nach Norden gegen die Küsten. Im Übrigen bleiben die charakteristischen Eigentümlichkeiten, welche der Verteilung der arithmetischen Mittel aus den Daten für einzelne Monate eigen sind, erhalten.

Auf den Karten der Veränderlichkeit des mittleren Luftdrucks für den Februar tritt ein von einer geschlossenen Isolinie umgebenes Gebiet eines Maximums mit einem Wert, welcher ± 4.50 мм übersteigt, hervor (Nishnij Nowgorod ± 4.91 мм). Die Lage dieses Gebiets wird durch folgende Punkte bestimmt: Kargopol, Wjatka, Moskau, Nishnij Nowgorod, Kasan, Tambow. Die Veränderlichkeit des mittleren Luftdrucks im Februar nimmt von diesem Gebiet nach allen Richtungen hin ab und wächst nur im Nordwesten wieder an (Vardö ± 4.59 мм). Sehr bedeutend ist der Unterschied zwischen Ost- und Westsibirien (Obdorsk ± 4.00 мм, Sswerdlowsk ± 4.08 мм, Jakutsk ± 1.94 мм).

Die Veränderlichkeit des mittleren Luftdrucks des Juli ist im Nordosten des Europäischen Teils und im Nordwesten des Asiatischen Teils der U. S. S. R. (Obdorsk ± 2.13 мм, Кемь ± 1.96 мм) am grössten und nimmt von dort in der Richtung nach Südwesten (Warschau ± 1.51 мм), nach Süden (Kertsch ± 0.60 мм, Баку ± 0.65 мм, Барнаул ± 0.93 мм), nach Südosten (Нерчинский Завод ± 0.92 мм) und nach Osten hin (Якутск ± 1.29 мм) ab.

Auf den Karten der Veränderlichkeit für die Wintermonate (XII, I und II) bleibt im allgemeinen dasselbe Bild, das wir auf den Februarkarten gesehen haben, wobei die Veränderlichkeit im Rayon des Maximums ± 4.0 мм überschreitet (Nishnij Nowgorod ± 4.41 мм); der Norden des Europäischen Teils der U. S. S. R. und der Nordwesten des Asiatischen Teils weisen im Mittel für 3 Sommermonate (VI, VII, VIII) eine Veränderlichkeit in den Grenzen von ± 1.50 мм bis 1.88 мм (Kem) auf; im Süden fällt sie bis unter ± 1.00 мм

Приведенные в таблицах настоящего труда данные позволяют, как видно из изложенного, дополнить схему Hann'a указанием на то, что падение изменчивости среднего давления за отдельные месяцы с запада на восток не останавливается почти до берегов Тихого океана, что является весьма существенной особенностью климатического режима Азиатской части СССР. Кроме того необходимо еще отметить наличие в зимние месяцы области максимальной изменчивости в бассейне верхнего течения Волги, области больших озер Европ. части СССР и в бассейнах рек Сев. Двины, Мезени и Печоры с характерным убыванием изменчивости к Белому и Баренцову морям. Очевидно, этот максимум связан как с особенностями циклонической деятельности зимнего сезона, так и с антициклонами полярного происхождения, и даже наши довольно скудные данные об изменчивости среднего давления могут до некоторой степени пополнить характеристику и облегчить анализ процессов, происходящих в зимний сезон в атмосфере над северной половиной Европ. части страны. Углубление этого чрезвычайно интересного вопроса не входит в задачи настоящего исследования.

Для суждения о том, как меняется изменчивость среднего давления с высотой в горных странах, можно воспользоваться на территории СССР данными за 20 лет (1891—1910) для Кавказа. Привожу в следующей таблице эти данные.

ТАБЛИЦА V.

Средняя изменчивость средних месячных и годовых давления воздуха на Кавказе по наблюдениям 1891—1910 гг.

Mittlere Veränderlichkeit der Monats- und Jahresmittel des Luftdrucks auf dem Kaukasus nach den Beobachtungen für die Jahre 1891—1910.

TABELLE V.

НАЗВАНИЯ ПУНКТОВ	Абсолютная высота в метрах Seehöhe. m	Январь Januar	Февраль Februar	Март März	Апрель April	Май Mai	Июнь Juni	Июль Juli	Август August	Сентябрь September	Октябрь Oktober	Ноябрь November	Декабрь Dezember	Год Jahr	Средняя Mittel I—XII	NAMEN DER ORTE
Баку	—19.9	1.75	1.92	1.72	0.77	1.16	0.86	0.66	0.59	0.75	1.34	1.29	1.66	0.37	1.21	Baku
Сочи	12.2	1.34	1.97	1.06	0.69	1.08	0.74	0.54	0.57	0.88	1.06	1.17	1.16	0.37	1.02	Ssotschi
Тифлис	403.8	1.41	1.65	1.43	0.69	1.00	0.65	0.49	0.52	0.63	1.04	0.92	1.32	0.26	0.98	Tiflis
Буйнакс (Темир-Хан-Шура)	477	1.42	1.81	1.48	0.72	1.10	0.66	0.51	0.64	0.63	1.16	0.35	1.51	0.28	1.08	Buinaks (Temir - Chan-Schura)
Гори	599.9	1.22	1.48	1.24	0.60	0.98	0.66	0.48	0.48	0.58	0.96	0.85	1.20	0.22	0.89	Gori
Владикавказ	690.6	1.22	1.74	1.37	0.68	0.96	0.64	0.52	0.53	0.66	0.96	1.15	1.46	0.26	0.99	Wladikawkas
Кисловодск	821.4	1.13	1.65	1.30	0.74	0.94	0.62	0.44	0.57	0.66	0.83	1.07	1.40	0.27	0.95	Kislowodsk
Коби	1989	0.87	1.62	1.38	0.96	1.00	0.69	0.47	0.48	0.52	0.64	1.06	1.13	0.38	0.90	Kobi
Гудаур	2207	0.96	1.56	1.36	0.86	0.96	0.80	0.45	0.38	0.58	0.60	1.10	1.10	0.30	0.89	Gudaур

Данные этой таблицы нельзя признать строго сравнимыми; часть вошедших в нее пунктов расположена на северном склоне Главного хребта (Коби, Кисловодск, Владикавказ, Буйнакс), Гудаур на южном склоне, Тифлис и

(Kertsch ± 0.65 mm, Baku ± 0.70 mm, Barnaul ± 0.90 mm, Nertschinskij Sawod ± 0.88 mm).

Wie aus dem Dargelegten zu ersehen ist, gestatten die in den Tabellen der vorliegenden Arbeit angeführten Daten das Schema Hann's durch den Hinweis zu vervollständigen, dass die Abnahme der Veränderlichkeit der Luftdruckmittel für einzelne Monate von Westen nach Osten beinahe bis zur Küste des Stillen Ozeans anhält, was eine sehr wesentliche Eigentümlichkeit des klimatologischen Regimes des Asiatischen Teils der U.S.S.R. bedeutet. Ausserdem muss noch das Vorhandensein eines Maximums der Veränderlichkeit in den Wintermonaten im Bassin des Oberlaufs der Wolga, im Gebiet der grossen Seen im Europäischen Teil der U.S.S.R. und in den Bassins der Flüsse Ssewernaja Dwina, Mäsen und Petschora mit der charakteristischen Abnahme der Veränderlichkeit zum Schwarzen und zum Barentsmeer hin erwähnt werden. Dieses Maximum steht augenscheinlich mit den Eigentümlichkeiten der zyklonalen Tätigkeit im Winter, sowie mit den Antizyklonen polaren Ursprungs in Verbindung. Sogar unsere recht unvollständigen Daten über die Veränderlichkeit des mittleren Luftdrucks können bis zu einem gewissen Grade die Charakteristik der Prozesse vervollständigen, welche zur Winterzeit in der Atmosphäre über der nördlichen Hälfte des Europäischen Teils des Landes vor sich gehen, und ihre Analyse erleichtern. Es gehört aber nicht zu den Aufgaben meiner Untersuchung sich mit dieser überaus interessanten Frage eingehender zu beschäftigen.

Um zu beurteilen, wie sich die Veränderlichkeit des mittleren Luftdrucks mit der Höhe in gebirgigen Ländern verändert, kann man sich auf dem Territorium der U.S.S.R. der Daten für 20 Jahre (1891—1910) für den Kaukasus bedienen. Ich führe in folgender Tabelle diese Daten an.

Die Werte dieser Tabelle dürfen nicht als streng vergleichbar betrachtet werden: ein Teil der einbegriffenen Punkte liegt auf dem nördlichen Abhang des Haupt-Bergrückens (Kobi, Kislowodsk, Wladikawkas, Buinaks); Gudaур

Гори в долине к югу от Главного хребта, Сочи на берегу Черного моря, Баку на берегу Каспийского моря. Такими различиями местоположения станций объясняются разные, впрочем несущественные отступления от общего правила, но некоторая закономерность тем не менее сказывается с достаточной определенностью. Как общее правило можно признать, что от уровня моря до высоты 600 м изменчивость убывает; она убывает и до высоты в 2000 м в месяцы зимнего сезона (XII, I, II), а также в месяцы второй половины лета и начала осени (VIII, IX, X).

В апреле изменчивость от уровня моря до высоты 2000 м постепенно, хотя и незначительно возрастает, в марте и июне в начале убывает, а затем с высоты от 400—800 м убывание прекращается и дальше до 2000 м изменчивость несколько возрастает; в мае, июне и ноябре падение изменчивости доходит до высоты 800 м, после чего до 2000 м она возрастает.

По сравнению с Альпами в холодный сезон нет разницы, но возрастание изменчивости с высотой с некоторой высоты (400—800 м) на Кавказе наблюдается в весенний, а не в летний сезон, как в Альпах. Хотя для Кавказа изменчивость была вычислена по данным всего только за 20 лет, судя по хорошему согласию между результатами, полученными для разных склонов, общий вывод едва ли изменится в случае удлинения рядов наблюдений до 30 и более лет.

Нанн, вполне отдававший себе отчет в том, что применение теории вероятности к отклонениям средних величин метеорологических элементов за отдельные годы от многолетних средних допустимо лишь при условии, если эти отклонения могут быть рассматриваемы, как случайные ошибки, все же был склонен допустить, что отклонения средних месячных и средних годовых величин давления от соответствующих «многолетних», по крайней мере, за те относительно не особенно длинные периоды, за которые подвергались разработке данные о давлении, носят случайный характер ¹⁾. В последнее время появилось много работ, в которых указывалось на обнаруженную авторами этих работ периодичность колебаний давления с периодами различной длины, не считая суточной и годовой периодичности. Если и не все устанавливаемые ими периоды реальны, то все же нельзя отрицать наличия данных, говорящих о существовании ритмических колебаний давления с различной длины периодами, не находящихся в связи ни с суточными, ни с годовыми колебаниями. Это обстоятельство вынуждает распространить ограничения в применении теории вероятности и на средние величины давления воздуха. Мною вычислены вероятные погрешности средних месячных и годовых давления за 30 лет лишь с целью ориентировки. Полученным результатам следует придавать условное значение. Исключительно с такой целью привожу для ряда станций вероятные погрешности средних месячных и годовых давления воздуха за 1881—1910 гг., вычисленные по формуле Фехнера. В нижеследующей таблице указано также, за сколько лет нужны наблюдения для получения средних февраля, июня и года с точностью до ± 0.1 мм, при допущении, что отклонения сред-

liegt am südlichen Abhang, Tiflis und Gori im Tal südlich vom Hauptkamm, Sotschi an der Küste des Schwarzen Meeres, Baku an der Küste des Kaspischen Meeres. Durch solche Verschiedenheit der Lage der Stationen lassen sich die verschiedenen, übrigens unwesentlichen Abweichungen von der allgemeinen Regel erklären, doch macht sich eine gewisse Gesetzmässigkeit dennoch mit genügender Bestimmtheit bemerkbar. Es gilt als Regel, dass die Veränderlichkeit vom Meeresniveau bis zu einer Höhe von 600 m abnimmt; sie nimmt auch bis zu einer Höhe von 2000 m in den Wintermonaten (XII, I, II), in den Monaten der zweiten Hälfte des Sommers und zum Herbstanfang (VIII, IX, X) ab.

Im April nimmt die Veränderlichkeit vom Meeresniveau bis zu einer Höhe vom 2000 m allmählich, wenn auch unbedeutend, zu, im März und Juni nimmt sie anfangs ab, von einer Höhe von 400—800 m aber hört die Abnahme auf und weiterhin bis 2000 m wächst die Veränderlichkeit etwas an; in Mai, Juli und November erreicht die Abnahme der Veränderlichkeit die Höhe von 800 m, wonach sie bis 2000 m zunimmt.

In der kalten Jahreszeit besteht im Vergleich mit den Alpen kein Unterschied; von 400—800 m an beobachtet man im Kaukasus eine Zunahme der Veränderlichkeit mit der Höhe im Frühjahr, aber nicht zur Sommerzeit, wie in den Alpen. Obgleich die Veränderlichkeit für den Kaukasus nach den Daten für nur 20 Jahre berechnet ist, wird sich der Gang—nach der guten Übereinstimmung der Ergebnisse, welche für verschiedene Abhänge erhalten wurden, zu urteilen—im Fall einer Verlängerung der Beobachtungsreihen bis 30, oder mehr Jahre, kaum verändern.

Obwohl Hann sich vollständig Rechenschaft darüber gab, dass die Anwendung der Wahrscheinlichkeitsrechnung auf die Abweichungen der Mittelwerte der meteorologischen Elemente für einzelne Jahre von den langjährigen Mitteln nur unter der Bedingung zulässig ist, wenn diese Abweichungen als zufällige Fehler angesehen werden können, war er dennoch geneigt zuzulassen, dass die Abweichungen der Monats- und Jahresmittel des Luftdrucks von den entsprechenden «langjährigen»—wenigstens für jene verhältnismässig nicht sehr langen Perioden, für welche die Daten über den Luftdruck bearbeitet wurden,—einen zufälligen Charakter tragen ¹⁾. In der letzten Zeit sind viele Arbeiten erschienen, in welchen auf die von den Autoren dieser Arbeiten gefundenen Periodizitäten der Schwankungen des Luftdrucks mit Perioden verschiedener Länge, abgesehen von der täglichen und jährlichen Schwankung, hingewiesen wurde. Wenn auch nicht alle von ihnen festgestellten Perioden reell sind, kann man dennoch das Vorhandensein von Tatsachen, welche auf die Existenz rhythmischer Schwankungen des Luftdrucks mit Perioden verschiedener Länge hinweisen, und weder mit den täglichen, noch mit den jährlichen Schwankungen in Verbindung stehen, nicht abstreiten. Dieser Umstand zwingt die Einschränkungen in der Anwendung der Wahrscheinlichkeitsrechnung auch auf Mittelwerte des Luftdrucks auszuweiten. Ich habe die wahrscheinlichen Fehler der Monats- und Jahresmittel des Luftdrucks für 30 Jahre nur zwecks Orientierung berechnet. Den erhaltenen Ergebnissen muss man eine bedingte Bedeutung zumessen. Nur zu diesem Zweck führe ich für eine Reihe von Stationen die nach der Formel von Fechner berechneten wahrscheinlichen Fehler der Monats- und Jahresmittel des Luftdrucks für die Jahre 1881—1910 an. In der unten gege-

¹⁾ J. Hann. L. c., стр. 82 и 83.

¹⁾ J. Hann. L. c., стр. 68 и 69.

них за отдельные годы от соответствующих средних за 30 лет носят случайный характер и не обнаруживают периодических колебаний.

В данной таблице также указано, для скольких лет наблюдений требуется, чтобы средние значения для февраля, июня и года с точностью до ± 0.1 мм были найдены, при предположении, что отклонения от средних значений для отдельных лет от соответствующих средних для 50 лет носят случайный характер и не имеют периодических колебаний.

ТАБЛИЦА VI

TABELLE VI

Вероятные погрешности средних месячных и годовых давления за 1881—1910 гг. и число лет наблюдений для достижения точности в ± 0.1 мм.

Wahrscheinliche Fehler der Monats- und Jahresmittel des Luftdrucks für die Periode 1881—1910 und Zahl der Jahre, die nötig sind für einen wahrscheinlichen Fehler von ± 0.1 mm.

НАЗВАНИЯ ПУНКТОВ	Вероятная погрешность. Wahrscheinlicher Fehler.												Число лет для вер. погр. ± 0.1 мм Zahl der Jahre für wahrscheinl. Fehler ± 0.1 mm			NAMEN DER ORTE		
	Январь Januar	Февраль Februar	Март März	Апрель April	Май Mai	Июнь Juni	Июль Juli	Август August	Сентябрь September	Октябрь Oktober	Ноябрь November	Декабрь Dezember	Год Jahr	Февраль Februar	Июль Juni			
	±	±	±	±	±	±	±	±	±	±	±	±	±	±	±	±		
Кемь	0.64	0.69	0.66	0.43	0.28	0.23	0.30	0.34	0.45	0.56	0.66	0.68	0.11	1428	270	36	Kem	
Ленинград, ГГО	0.57	0.70	0.61	0.40	0.29	0.24	0.29	0.29	0.44	0.60	0.56	0.68	0.12	1470	252	43	Leningrad, Geoph. Z.-Obs.	
Каргополь	0.64	0.71	0.70	0.41	0.32	0.25	0.30	0.33	0.46	0.57	0.67	0.66	0.13	1512	270	51	Kargopol	
Москва, Меж. Инст.	0.60	0.71	0.63	0.35	0.27	0.26	0.23	0.23	0.41	0.51	0.51	0.61	0.10	1512	159	30	Moskau, Feldmesserinst.	
Казань, Универс.	0.69	0.75	0.70	0.38	0.30	0.28	0.26	0.20	0.37	0.48	0.65	0.61	0.13	1688	203	51	Kasan, Univ.	
Пинск	0.47	0.60	0.43	0.27	0.23	0.18	0.17	0.17	0.28	0.36	0.44	0.48	0.07	1080	87	15	Pinsk	
Киев	0.43	0.57	0.42	0.26	0.20	0.18	0.16	0.17	0.26	0.34	0.39	0.46	0.07	975	77	15	Kiew	
Одесса, Универс.	0.37	0.51	0.30	0.24	0.21	0.15	0.14	0.11	0.22	0.24	0.35	0.39	0.07	780	59	15	Odessa, Univ.	
Николаевское (Сарат. губ.)	0.57	0.70	0.57	0.26	0.22	0.25	0.17	0.15	0.28	0.41	0.49	0.53	0.09	1470	87	24	Nikolaewskoe(Gouv Ssar.)	
Астрахань	0.38	0.48	0.37	0.17	0.17	0.19	0.11	0.09	0.16	0.27	0.30	0.38	0.06	691	36	11	Asstrachan	
Владикавказ	0.20	0.32	0.20	0.15	0.13	0.10	0.07	0.08	0.10	0.13	0.18	0.22	0.04	307	15	5	Wladikawkas	
Тифлис	0.21	0.30	0.20	0.15	0.14	0.10	0.07	0.08	0.09	0.15	0.16	0.22	0.04	270	15	5	Tiflis	
Свердловск	0.60	0.64	0.64	0.34	0.31	0.25	0.27	0.20	0.34	0.52	0.62	0.50	0.11	1229	219	36	Sswerdlowsk	
Батум	0.31	0.34	0.32	0.18	0.15	0.14	0.14	0.14	0.17	0.28	0.34	0.36	0.08	347	59	19	Batum	
Иркутск	0.26	0.27	0.25	0.12	0.12	0.12	0.16	0.09	0.15	0.21	0.25	0.30	0.06	219	77	11	Irkutsk	
Нерчинский Завод	0.19	0.25	0.23	0.16	0.16	0.13	0.14	0.14	0.21	0.20	0.21	0.23	0.04	188	59	5	Nertschinskij Sawod	
Ташкент	0.22	0.27	0.20	0.17	0.12	0.10	0.08	0.06	0.09	0.13	0.13	0.17	0.04	219	19	5	Taschkent	
Токио	0.21	0.20	0.17	0.15	0.14	0.13	0.14	0.14	0.12	0.10	0.15	0.15	0.04	120	59	5	Tokio	

Данные этой таблицы, как и средние отклонения, приведенные в таблице G, указывают на относительно малую устойчивость средних за зимние месяцы и значительно большую устойчивость средних за летние месяцы. Промежуточное положение по устойчивости занимают средние весенних и осенних месяцев. Эта табличка, как и таблица G, позволяет вывести заключения о том, какие особенности годового хода давления в отдельных районах, а также какие детали в распределении среднего давления на моих картах изобар можно признать вполне установленными и что может оказаться не вполне реальным. В дальнейшем в соответствующих главах и будут использованы для указанной цели помещенные как в этой табличке, так и в таблице G данные. Обращу здесь лишь внимание на то, что по данным таблицы VI особенно выделяются северная половина Европейской части СССР до широты Москвы и северо-западная часть Сибири, где устойчивость средних величин давления за зимние месяцы относительно мала, а также и устойчивость средних за летние месяцы меньше чем в других районах. Числа второй части таблицы имеют лишь ориентировочное значение, но они с полной определенностью указывают, что точность средних годовых, выведенных из наблюдений за 30 лет, может быть признана вообще достаточной, достаточна также точность летних месяцев для всей территории СССР за исключением севера Европ. части и Северозападной Сибири. При интер-

Die Daten dieser Tabelle, sowie die mittleren Abweichungen, welche in der Tabelle G angeführt sind, weisen auf eine verhältnismässig geringe Stabilität der Mittel der Wintermonate und eine bedeutend grössere Stabilität der Mittel der Sommermonate hin. Die Mittel der Frühjahrs- und Herbstmonate nehmen, was die Stabilität anbetrifft, eine Zwischenstellung ein. Die Tabelle VI, sowie die Tabelle G, gestatten zu entscheiden, welche Eigentümlichkeiten des Jahresganges in einzelnen Rayons und auch welche Details in der Verteilung des mittleren Luftdrucks auf meinen Karten der Isobaren als durchaus festgestellt angesehen werden können und was nicht als völlig erwiesen erscheinen dürfte. Weiterhin werden die Daten der Tabelle VI, sowie der Tabelle G in den entsprechenden Kapiteln zu dem erwähnten Zweck benutzt werden. Ich will hier nur die Aufmerksamkeit darauf lenken, dass die nördliche Hälfte des Europäischen Teils der U. S. S. R. bis zur Breite von Moskau und der nordwestliche Teil Sibiriens, wo die Stabilität der Mittelwerte des Luftdrucks in den Wintermonaten verhältnismässig gering ist und auch die Stabilität der Mittel in den Sommermonaten kleiner ist, als in den anderen Rayons, nach den Daten der Tabelle VI besonders hervortreten. Die Zahlen des zweiten Teils der Tabelle VI sind bloss zu Orientierungszwecken von Bedeutung, weisen aber mit voller Bestimmtheit darauf hin, dass die Genauigkeit der Jahresmittel, welche aus den Beobachtungen für 30 Jahre hergeleitet sind, im allgemeinen als genügend

претации же 30-ти летних средних за зимние месяцы в особенности для севера Европейской части и северо-запада Азии необходимо учитывать пониженную устойчивость этих средних.

V

Приведение коротких рядов наблюдений над давлением воздуха к периоду 1881—1910 гг.

Как уже было отмечено, на территории СССР имеются лишь 33 станции, работавшие в течение всего периода с 1881-го по 1910 г., и, следовательно, наблюдения огромного большинства станций, приводимые в этом труде, относятся только к части указанного периода. С целью получения сравнимых средних месячных и годовых величин давления для возможно большего числа пунктов было необходимо привести, где это возможно, короткие ряды наблюдений к периоду 1881—1910 гг.

Для приведения коротких рядов наблюдений к 30-ти летнему периоду я пользовался методом разностей, следуя при этом Hann'у ¹⁾, применявшему формулу

$$B_N = A_N + \frac{\sum (B_i - A_i)}{n},$$

где A_N означает среднюю величину опорной станции за период, к которому делается приведение (N лет), $B_i - A_i$ — разности между соответствующими данными приводимой станции B и опорной станции A за отдельные годы, всего n лет, за которые имеются наблюдения той и другой станции, B_N средняя величина для станции B , приведенная к периоду в N лет.

Величина средней изменчивости разностей между одновременными средними месячными и годовыми приводимой и опорной станций, соответствующая предельному расстоянию между этими станциями, при котором приведение еще выгодно, определялась из формулы, выведенной Е. С. Рубинштейн ²⁾:

$$V_d^2 = V_B^2 - \frac{2n-1}{2N-1} V_A^2.$$

В этой формуле V_d означает среднюю изменчивость разностей давления станций A и B , n — число лет наблюдений на станции B , N — число лет наблюдений на станции A , при чем $n < N$; V_A и V_B — средняя изменчивость месячных или годовых средних в пункте A и в пункте B .

Для того, чтобы выяснить, какие расхождения между соответствующими средними месячными и годовыми вели-

¹⁾ J. Hann. Die Verteilung des Luftdruckes über Mittel- und Süd-Europa. Dr. A. Penck's Geographische Abhandlungen. Wien. 1887.

²⁾ Е. С. Рубинштейн. Разность средних месячных температур различных станций, как метеорологическая константа. Геофизический Сборник. Т. IV, вып. 2. 1923.

гелен kann; die Genauigkeit der Werte für die Sommermonate für das ganze Territorium der U.S.S.R. mit Ausnahme des Nordens des Europäischen Teils und des nördlichen Sibiriens ist ebenfalls genügend. Bei der Interpretation dreissigjähriger Mittel für die Wintermonate jedoch und besonders für den Norden des Europäischen Teils und den Nordwesten Asiens ist es notwendig die geringere Stabilität dieser Mittel in Betracht zu ziehen.

V

Reduktion kurzer Reihen der Luftdruckbeobachtungen auf die 30-jährige Periode 1881—1910

Wie bereits erwähnt, existieren auf dem Territorium der U.S.S.R. nur 33 Stationen, welche im Laufe der Jahre 1881 bis 1910 inkl. funktioniert haben, und folglich beziehen sich die Beobachtungen des grössten Teils der in dieser Arbeit angeführten Stationen nur auf einen Teil der genannten Periode. Um vergleichbare Monats- und Jahresmittel des Luftdrucks für eine möglichst grosse Zahl von Punkten zu erhalten, musste man, wo es anging, die kurzen Reihen der Beobachtungen auf die Periode 1881—1910 reduzieren.

Ich bediente mich bei der Reduktion kurzer Reihen der Beobachtungen auf die 30-jährige Periode der Methode der Differenzen, wobei ich Hann's Vorgang folgte, der die Formel

$$B_N = A_N + \frac{\sum (B_i - A_i)}{n}$$

benutzte, wo A_N den mittleren Wert der Bezugsstation für eine Periode, für welche die Reduktion ausgeführt wird (N Jahre), bedeutet, $B_i - A_i$ die Differenzen zwischen den entsprechenden Daten der zu reduzierenden Station B und der Bezugsstation A für einzelne Jahre, im Ganzen für n Jahre, für welche Beobachtungen dieser und jener Station vorhanden sind, vorstellen, B_N der auf die Periode von N Jahren reduzierte Mittelwert der Station B ist.

Der Wert der mittleren Veränderlichkeit der Differenzen der gleichzeitigen Monats- und Jahresmittel der zu reduzierenden und der Bezugsstation, die der äussersten Entfernung zwischen diesen Stationen, bei welcher eine Reduktion noch vorteilhaft ist, entspricht, wurde aus folgender Formel, welche von Fräulein E. Rubinstein ²⁾ abgeleitet worden ist, bestimmt:

$$V_d^2 = V_B^2 - \frac{2n-1}{2N-1} V_A^2.$$

In dieser Formel bedeutet V_d die mittlere Veränderlichkeit der Differenzen des Luftdrucks der Stationen A und B , n ist die Zahl der Beobachtungsjahre auf der Station B , N — die Zahl der Beobachtungsjahre auf der Station A , wobei $n < N$, V_A und V_B — die mittlere Veränderlichkeit der Monats- oder Jahresmittel im Punkt A und im Punkt B vorstellt.

Um aufzuklären, welche Differenzen zwischen den entsprechenden Monats- und Jahresmitteln des Luftdrucks bei

¹⁾ J. Hann. Die Verteilung des Luftdruckes über Mittel- und Süd-Europa. Dr. A. Penck's Geographische Abhandlungen. Wien. 1887.

²⁾ Eugénie Rubinstein. Die Differenz der mittleren Monatstemperaturen zweier benachbarter Stationen als eine meteorologische Konstante. Meteorologische Zeitschrift. 1922. Heft 11.

чинами давления, при удовлетворительной точности наблюдений, возможны независимо от расстояния между станциями и от разности их высот над уровнем моря, мною была вычислена для станций, находящихся в тех же городах или вообще отделяемых расстоянием лишь в несколько километров, средняя изменчивость разностей за более или менее продолжительные периоды. Полученные результаты привожу в следующей таблице (см. таблицу VII, на стр. 36).

Данные этой таблицы позволяют высказать соображения общего значения. Оказывается, что при расстоянии между станциями до 30 км влияние расстояния на среднюю изменчивость разностей находится в пределах погрешностей результатов наблюдений и по этому не может быть прослежено. Величина средней изменчивости разностей при малых расстояниях между станциями указывает лишь на степень точности наблюдений отдельных станций. Так средняя изменчивость разностей между данными для Главной Геофизической Обсерватории в Ленинграде и для Слуцка (Павловска) при большем расстоянии несколько не больше средней изменчивости разностей между ГГО и Лесным Институтом при расстоянии на 16 км меньшем.

Средняя изменчивость разностей между данными для университета и земледельческого училища в Казани больше чем для станции университета и Энгельгардтовской Обсерватории, отстоящей от университета на 10 км дальше. В Харькове наименьшая средняя изменчивость разностей получилась между данными для университета и для отстоящих в 15 км Дергачей. Университет и Технологический Институт в Харькове, при меньшем расстоянии (на 12 км), дают большую среднюю изменчивость разностей.

Наиболее значительная средняя изменчивость разностей получилась для двух станций в Феодосии, при разности высот в 248 м, и в районе Ялты, при разности высот в 33,8 м. В какой части повышение изменчивости разностей в этих пунктах может быть отнесено за счет разностей высот, решить трудно.

Из таблицы VII можно заключить, что при удовлетворительной точности наблюдений, при небольшой, до 50 м, разности высот барометров двух станций и при расстоянии между станциями до 30 км, средняя изменчивость разностей в отдельные месяцы не превышает $\pm 0,1$ мм. Этот вывод говорит о том, что, при современной методике и постановке наблюдений над давлением воздуха, достижимая и фактически достигаемая на многих станциях точность результатов, вполне достаточна для поставленных в этом труде задач.

Для суждения о том, с какой точностью может быть сделано приведение к тридцатилетнему периоду при различных расстояниях до опорных станций, а также при различных разностях высот приводимой и опорной станций, дается в таблице VIII (см. стр. 38) средняя изменчивость разностей между соответствующими месячными и годовыми средними давления для 57 пар станций за 1891—1910 гг. Взяв двадцатилетний период, так как станций с непрерывными наблюдениями

генügender Genauigkeit der Beobachtungen, unabhängig von der Entfernung zwischen den Stationen und von der Verschiedenheit ihrer Höhe über dem Meeresniveau möglich sind, habe ich für Stationen, welche sich in denselben Städten befanden, oder überhaupt nur einige Kilometer von einander entfernt waren, die mittlere Veränderlichkeit der Differenzen für mehr oder weniger ausgedehnte Perioden berechnet. Die erhaltenen Ergebnisse führe ich in folgender Tabelle an (s. Tabelle VII, p. 36).

Die Daten dieser Tabelle ermöglichen Schlussfolgerungen allgemeiner Bedeutung. Es ergibt sich, dass bei einer Entfernung zwischen den Stationen bis 30 km, der Einfluss der Entfernung auf die mittlere Veränderlichkeit der Differenzen in die Grenzen der Fehler der Resultate der Beobachtungen fällt und daher bei dem jetzigen Stand der Beobachtungen nicht festgestellt werden kann. Der Wert der mittleren Veränderlichkeit der Differenzen bei geringen Entfernungen zwischen den Stationen weist nur auf den Grad der Genauigkeit der Beobachtungen einzelner Stationen hin. So ist die mittlere Veränderlichkeit der Differenzen zwischen den Daten für das Geophysikalische Zentral-Observatorium in Leningrad und für Sluzk (Pawlowsk) bei einer grösseren Entfernung durchaus nicht grösser, als die mittlere Veränderlichkeit der Differenzen zwischen dem Geophysikalischen Zentral-Observatorium und dem Forstinstitut bei einer um 16 km kleineren Entfernung.

Die mittlere Veränderlichkeit zwischen den Daten für die Universität und die landwirtschaftliche Schule in Kasan ist grösser, als für die Stationen der Universität und des Engelhardtschen Observatoriums, welche um 10 km von der Universität weiter abliegt. In Charkow wurde die kleinste Veränderlichkeit der Differenzen zwischen den Daten der Universität und der 15 km entfernten Dergatschi erhalten. Die Universität und das Technologische Institut in Charkow ergeben bei einer um 12 km kleineren Entfernung eine grössere Veränderlichkeit der Differenzen.

Die bedeutendste mittlere Veränderlichkeit der Differenzen wurde für zwei Stationen in Feodosija bei einer Höhendifferenz von 248 m und im Rayon von Jalta bei einer Höhendifferenz von 33,8 m erhalten. Es ist schwer zu entscheiden, zu welchem Teil die Zunahme der Veränderlichkeit der Differenzen in diesen Punkten den Höhendifferenzen zuzuschreiben ist.

Aus der Tabelle VII kann man schliessen, dass bei genügender Genauigkeit der Beobachtungen und einer nicht grossen Höhendifferenz der Barometer zweier Stationen—bis 50 m—und bei einer Entfernung zwischen den Stationen bis 30 km die Veränderlichkeit der Differenzen in einzelnen Monaten $\pm 0,1$ mm nicht übersteigt. Dieses Ergebnis zeigt, dass die erreichbare und auf vielen Stationen tatsächlich erreichte Genauigkeit der Resultate bei der jetzigen Methodik und dem jetzigen Stand der Beobachtungen des Luftdrucks den in dieser Arbeit gestellten Aufgaben vollkommen genügt.

Um darüber ein Urteil zu gewinnen, mit welcher Genauigkeit die Reduktion auf eine dreissigjährige Periode bei verschiedenen Entfernungen bis zu den Bezugsstationen, sowie bei verschiedenen Höhendifferenzen der zureduzierenden und der Bezugsstation erhalten wird, wird in der Tabelle VIII (s. p. 38) die mittlere Veränderlichkeit der Differenzen zwischen entsprechenden Monats- und Jahresmitteln des Luftdrucks für 57 Paar Stationen für die Jahre 1891—1910 gegeben. Ich habe eine zwanzigjährige

Средняя изменчивость разностей между месячными и годовыми средними атмосферного давления пар близких станций.
Mittlere Veränderlichkeit der Differenzen zwischen Monats- und Jahresmitteln des Luftdrucks für nahe von einander gelegene Stationen.

НАЗВАНИЯ СТАНЦИЙ	Годы Jahre	Расстояние, км. Entfernung, km.	Январь Januar	Февраль Februar	Март März	Апрель April	Май Mai	Июнь Juni	Июль Juli	Август August	Сентябрь September	Октябрь Oktober	Ноябрь November	Декабрь Dezember	Среднее Mittel	Год Jahr	NAMEN DER STATIONEN
Ленинград, ГТО (4,8 м) и Ленинград, Лесн. Инст. (17,4 м)	1887—1892 1894—1908	8	± 0.09	± 0.08	± 0.10	± 0.09	± 0.08	± 0.08	± 0.09	± 0.08	± 0.07	± 0.10	± 0.09	± 0.07	± 0.08	0.08	Leningrad, Geophys. Zentral-Obs. (4,8 m) u. Leningrad, Forstinstitut (17,4 m)
Ленинград, ГТО (4,8 м) и Слуцк (Плавловск) (39,8 м)	1891—1910	24	0.10	0.08	0.08	0.11	0.08	0.06	0.05	0.10	0.08	0.10	0.06	0.09	0.08	0.06	Leningrad, Geophys. Zentral-Obs. (4,8 m) u. Sluzk (39,8 m)
Усть-Двинск (6,9 м) и Рига (12,7 м)	1896—1910	18	0.09	0.11	0.13	0.10	0.11	0.09	0.10	0.08	0.07	0.09	0.11	0.09	0.10	0.08	Ust-Dwinsk (6,9 m) u. Riga (12,7 m)
Москва, Межев. Инст. (164,2 м) и Москва, Сельско-хоз. Академия (165,7 м)	1892—1910	10	0.08	0.09	0.09	0.08	0.07	0.08	0.10	0.11	0.07	0.08	0.09	0.05	0.08	0.06	Moskau, Feldmesserinst. (164,2 m) u. Moskau, Landw. Akademie (165,7 m)
Казань, Землед. учил. (76 м) и Казань, Университет (80,9 м)	1893—1908	8	0.13	0.13	0.21	0.16	0.19	0.14	0.11	0.12	0.12	0.10	0.09	0.14	0.14	0.07	Kasan, landw. Schule (76 m) u. Kasan, Universität (80,9 m)
Казань, Унив. (80,9 м) и Днесь-гаратовская Обсерватория (98,9 м)	1900—1910	18	0.06	0.04	0.08	0.10	0.14	0.07	0.07	0.10	0.11	0.09	0.04	0.06	0.08	0.06	Kasan, Universität (80,9 m) u. Observatorium Engelhardt (98,9 m)
Харьков, Унив. (140,4 м) и Харьков, Технол. Инст. (149,9 м)	1892—1910	3	0.09	0.07	0.08	0.14	0.12	0.10	0.09	0.08	0.08	0.07	0.09	0.09	0.09	0.08	Charkow, Universität (140,4 m) u. Charkow, Technol. Inst. (149,9 m)
Дергачи (123,2 м) и Харьков, Университет (140,4 м)	1892—1905 1907—1910	15	0.11	0.11	0.12	0.11	0.06	0.08	0.08	0.10	0.13	0.10	0.12	0.11	0.10	0.05	Dergatschi (123,2 m) u. Charkow, Universität (140,4 m)
Дергачи (123,2 м) и Харьков, Технол. Инст. (149,9 м)	1892—1905 1907—1910	15	0.11	0.14	0.15	0.18	0.13	0.11	0.12	0.12	0.16	0.14	0.11	0.13	0.13	0.07	Dergatschi (123,2 m) u. Charkow, Technol. Inst. (149,9 m)
Одесса, Обсерватория (42,8 м) и Одесса, Университет (65,3 м)	1895—1903 1905—1906	7	0.08	0.08	0.08	0.08	0.08	0.09	0.11	0.08	0.09	0.06	0.06	0.06	0.08	0.06	Odessa, Observatorium (42,8 m) u. Odessa, Universität (65,3 m)
Ялта (41,0 м) и Магарач (74,8 м)	1894—1910	8	0.19	0.21	0.18	0.18	0.20	0.20	0.13	0.16	0.13	0.22	0.19	0.19	0.18	0.14	Jalta (41,0 m) u. Magaratsch (74,8 m)
Феодосия, порт (4,1 м) и Феодосия, Лесничество (252,4 м)	1902—1910	2	0.16	0.29	0.29	0.12	0.16	0.18	0.13	0.14	0.24	0.23	0.28	0.29	0.21	0.11	Feodosia, Hafen (4,1 m) u. Feodosia, Forstei (252,4 m)

за весь период 1881—1910 г. было бы для указанной цели недостаточно. В таблице VIII показаны также расстояния между сравниваемыми станциями и абсолютные высоты барометров.

С целью облегчить разбор таблицы VIII, привожу табличку, в которой показано, сколько требуется лет наблюдений для того, чтобы вероятная погрешность средней разности давления не превышала ± 0.1 мм, ± 0.2 мм и ± 0.5 мм. В первом ряду показана средняя изменчивость разностей (V_d), а во втором, третьем и четвертом рядах число лет наблюдений для получения средней разности с вероятной ошибкой ± 0.1 мм (n_1), с вероятной ошибкой ± 0.2 мм (n_2) и с вероятной погрешностью ± 0.5 мм (n_5)¹⁾.

V_d	± 0.2 мм	± 0.3 мм	± 0.4 мм	± 0.5 мм	± 0.6 мм	± 0.7 мм	± 0.8 мм
n_1	3	7	12	18	26	36	47
n_2			3	4	6	9	12
V_d	± 0.9 мм	± 1.0 мм	± 1.1 мм	± 1.2 мм	± 1.3 мм	± 1.4 мм	± 1.5 мм
n_1	59	73	89	106	124	144	165
n_2	15	18	22	26	31	36	41
n_5		3	4	4	5	6	7
V_d	± 1.6 мм	± 1.7 мм	± 1.8 мм				
n_1	188	212	237				
n_2	47	53	59				
n_5	7	8	9				

Перехожу к рассмотрению таблицы VIII. Приведенные в ней величины изменчивости разностей могут отличаться от величин, вычисленных по данным за более длинный чем 20-тилетний период, на несколько десятых долей миллиметра, в особенности в зимние месяцы, для которых и изменчивость средних месячных, как мы видели, после достижения продолжительности ряда наблюдений в 60 или несколько более лет, меняется, при дальнейшем удлинении этого ряда, лишь незначительно. Однако, если примем во внимание, что для двадцатилетнего ряда наблюдений при изменчивости разностей в ± 0.5 мм вероятная ошибка оказывается ± 0.01 мм, то станет ясным, что отклонение вычисленной по данным за 20 лет изменчивости разностей от найденной по данным за более продолжительные периоды существенного значения не имеют.

В таблице VIII использованы данные по 69 станциям, из которых составлены приведенные 57 пар пунктов. Эти пары станций распадаются на две группы: к первой группе отнесены 46 пар станций в равнинных и приморских местностях, ко второй группе 11 пар станций в горных районах. Как в первой, так и во второй группе пары станций приведены в порядке возрастающих расстояний между станциями.

Рассматривая первую группу пар станций, убеждаемся, что, вообще говоря, изменчивость разностей в равнинной местности—по крайней мере при расстояниях, не превышающих—600 км, возрастает пропорционально расстоянию. Откладывая по оси абсцисс расстояния между станциями, и по оси ординат среднюю изменчивость раз-

Периоде gewählt, da die Zahl der Stationen mit ununterbrochenen Beobachtungen für die ganze Periode 1881—1910 für den angegebenen Zweck nicht genügen würde. In der Tabelle VIII sind auch die Entfernungen zwischen verglichenen Stationen und ihre Seehöhen angegeben.

Um die Analyse der Tabelle VIII zu erleichtern, führe ich eine kleine Tabelle an, in welcher angegeben ist, wieviele Beobachtungsjahre nötig sind, damit der wahrscheinliche Fehler der mittleren Differenz des Luftdrucks ± 0.1 mm, ± 0.2 mm und ± 0.5 mm nicht übersteigt. In der ersten Reihe ist die mittlere Veränderlichkeit der Differenzen (V_d) angegeben, in der zweiten, dritten und vierten—die Zahl der Beobachtungsjahre, um die mittlere Differenz mit dem wahrscheinlichen Fehler: ± 0.1 mm (n_1), ± 0.2 mm (n_2) und ± 0.5 mm (n_5) zu erhalten¹⁾.

Ich gehe zur Besprechung der Tabelle VIII über. Die in ihr angeführten Werte der Veränderlichkeit der Differenzen können sich von der Veränderlichkeit der nach den Daten für eine mehr als 20-jährige Periode berechneten Differenzen um einige Zehntel Millimeter unterscheiden, besonders in den Wintermonaten, für welche auch die Veränderlichkeit der Monatsmittel, wie wir bereits gesehen, nachdem eine Reihe von Beobachtungen eine Dauer von 60 oder mehr Jahren erreicht hat, sich bei einer weiteren Verlängerung dieser Reihe nur unbedeutend verändert. Wenn wir jedoch in Betracht ziehen, dass der wahrscheinliche Fehler einer zwanzigjährigen Beobachtungsreihe, bei einer Veränderlichkeit der Differenzen ± 0.5 mm, $= \pm 0.01$ mm ist, wird es klar, dass die Abweichung der nach Daten für 20 Jahre berechneten Veränderlichkeit der Differenzen von der nach Daten für längere Perioden gefundenen von keiner wesentlichen Bedeutung ist.

Für die Tabelle VIII habe ich mich der Daten von 69 Stationen bedient, aus welchen die angeführten 57 Paar Punkte gebildet sind. Die Stationenpaare zerfallen in zwei Gruppen: zur ersten Gruppe wurden 46 Stationenpaare in ebenen Gegenden und am Meeresstrande gerechnet und zur zweiten Gruppe 11 Stationenpaare in bergigen Gegenden. Sowohl in der ersten, wie in der zweiten Gruppe, sind die Stationenpaare nach der zunehmenden Entfernung zwischen einzelnen Stationen angeführt.

Wenn wir die erste Gruppe der Stationenpaare betrachten, kommen wir zu der Überzeugung, dass die Veränderlichkeit der Differenzen in ebenen Gegenden im allgemeinen—wenigstens bei Entfernungen nicht über 600 km—der Entfernung proportional zunimmt. Wenn wir auf der Abszissenachse die Entfernung zwischen den Stationen und auf der Ordinatenach-

¹⁾ Для вычисления n_1 служила формула:

$$n_1 = \frac{n}{2n-1} \cdot 100 \cdot (1.1955)^2 \cdot V_d^2,$$

в которой принято $n=20$. Для получения n_2 и n_5 приходилось делить соответственно на 4 и на 25.

¹⁾ Für die Berechnung von n_1 diente die Formel:

$$n_1 = \frac{n}{2n-1} \cdot 100 \cdot (1.1955)^2 \cdot V_d^2,$$

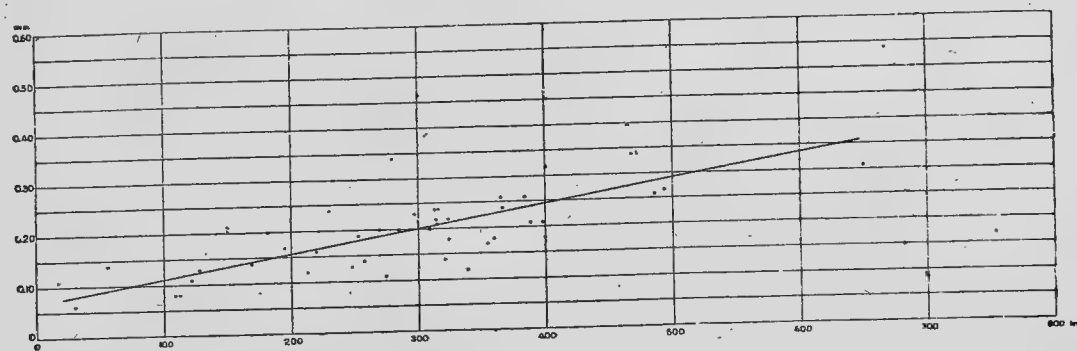
in welcher $n=20$ angenommen ist. Um n_2 und n_5 zu erhalten, musste man entsprechend durch 4 und 25 dividieren.

Средняя изменчивость разностей между средними месячными
Mittlere Veränderlichkeit der Differenzen zwischen korrespondierenden Monats-

№	НАЗВАНИЯ СТАНЦИЙ И ИХ АБСОЛЮТНЫЕ ВЫСОТЫ В МЕТРАХ	Расстояние Entfernung	Разность высот Höhen-Differenz	Январь Januar	Февраль Februar	Март März	Апрель April	Май Mai	Июнь Juni	Июль Juli	Август August	Сентябрь September	Октябрь Oktober	Ноябрь November	Декабрь Dezember	Средняя I—XII	Год Jahr	№	NAMEN DER STATIONEN UND IHRE SEEHÖHEN IN m
1	Ленинград, ГТО (4.8) — Слуцк (39.8)	30	35	0.10	0.08	0.08	0.11	0.08	0.06	0.05	0.10	0.08	0.10	0.06	0.09	0.08	0.06	1	Leningrad, Geoph. Z.-Obs. (4.8) — Sluzk (39.8)
2	Курисово-Покровское (10) — Одесса, Univ. (65.3)	56	55	0.23	0.20	0.20	0.18	0.17	0.21	0.21	0.17	0.23	0.26	0.27	0.27	0.22	0.14	2	Kurissowo-Pokrowskoe (10) — Odessa, Univ. (65.3)
3	Николаев (19.3) — Одесса, Univ. (65.3)	109	46	0.26	0.30	0.19	0.16	0.13	0.14	0.10	0.12	0.15	0.18	0.24	0.30	0.19	0.08	3	Nikolaeu (19.3) — Odessa, Univ. (65.3)
4	Варшава (120.7) — Новая Александрия (148.4)	113	28	0.17	0.24	0.20	0.21	0.18	0.13	0.18	0.10	0.22	0.21	0.19	0.24	0.19	0.08	4	Warschau (120.7) — Nowaja Alexandrija (148.4)
5	Ревель (5.9) — Пернов (9.8)	122	4	0.43	0.54	0.42	0.42	0.30	0.22	0.31	0.27	0.35	0.20	0.40	0.42	0.36	0.11	5	Reval (5.9) — Pernau (9.8)
6	Пернов (9.8) — Юрьев (63.7)	128	54	0.31	0.48	0.42	0.36	0.24	0.20	0.25	0.28	0.36	0.43	0.42	0.40	0.35	0.13	6	Pernau (9.8) — Jurjew (63.7)
7	Ленинград, ГТО (4.8) — Валаам (56.3)	169	32	0.64	0.72	0.44	0.48	0.42	0.33	0.32	0.40	0.37	0.38	0.57	0.52	0.46	0.14	7	Leningrad, Geoph. Z.-Obs. (4.8) — Walaam (56.3)
8	Елабуга (74.1) — Казань, Univ. (80.9)	182	7	0.44	0.55	0.42	0.38	0.40	0.31	0.32	0.40	0.30	0.63	0.56	0.52	0.40	0.20	8	Elabuga (74.1) — Kasan, Univ. (80.9)
9	Либава (5.7) — Рига (12.7)	195	7	0.74	0.88	0.56	0.43	0.28	0.35	0.30	0.32	0.46	0.54	0.67	0.48	0.50	0.17	9	Libau (5.7) — Riga (12.7)
10	Баку (—19.9) — Ленкорань (—18.5)	200	1	0.33	0.49	0.34	0.28	0.33	0.36	0.26	0.18	0.26	0.32	0.33	0.38	0.32	0.25	10	Baku (—19.9) — Lenkoran (—18.5)
11	Терберка (5.3) — Варде (10.0)	213	5	0.48	0.61	0.51	0.35	0.28	0.36	0.37	0.35	0.44	0.53	0.60	0.46	0.44	0.12	11	Terberka (5.3) — Vardö (10.0)
12	Полибино (108.3) — Уфа (173.1)	220	65	0.38	0.46	0.48	0.36	0.32	0.27	0.28	0.32	0.33	0.60	0.33	0.34	0.37	0.16	12	Polibino (108.3) — Ufa (173.1)
13	Великие Луки (104.7) — Горки (206)	230	101	0.76	0.66	0.61	0.64	0.39	0.16	0.67	0.34	0.66	0.50	0.74	0.75	0.59	0.24	13	Welikie Luki (104.7) — Gorki (206)
14	Дзержинск (122.8) — Киев (182.9)	247	60	0.42	0.44	0.54	0.30	0.30	0.31	0.31	0.42	0.50	0.38	0.45	0.40	0.40	0.08	14	Dzershinsk (122.8) — Kiew (182.9)
15	Керчь (3.7) — Севастополь (51.3)	248	20	0.49	0.62	0.52	0.37	0.18	0.22	0.22	0.22	0.32	0.25	0.43	0.44	0.33	0.13	15	Kertsch (3.7) — Sewastopol (51.3)
16	Одесса, Univ. (65.3) — Умань (216.3)	253	151	0.17	0.16	0.62	0.35	0.33	0.48	0.30	0.36	0.56	0.56	0.52	0.50	0.47	0.19	16	Odessa, Univ. (65.3) — Uman (216.3)
17	Вологда (118.9) — Калуга (126)	258	7	0.59	0.88	0.48	0.48	0.33	0.48	0.48	0.52	0.56	0.40	0.65	0.57	0.53	0.14	17	Wologda (118.9) — Kargopol (126)
18	Елатма (139) — Москва, Межев. Инст. (164.2)	270	25	0.66	0.95	0.67	0.68	0.34	0.31	0.40	0.41	0.62	0.66	0.63	0.58	0.58	0.20	18	Elatma (139) — Moskwa, Feldmesserinst. (164.2)
19	Москва, Меж. Инст. (164.2) — Вышний Волочек (167.0)	275	3	0.48	0.78	0.60	0.47	0.38	0.34	0.44	0.48	0.52	0.68	0.56	0.46	0.52	0.11	19	Moskau, Mezh. Inst. (164.2) — Wyschnij Wolotschek (167.0)
20	Великие Луки (104.7) — Вышний Волочек (167.0)	280	62	1.04	1.10	0.94	0.77	0.75	0.48	0.55	0.50	0.66	0.60	0.93	0.94	0.77	0.34	20	Welikie Luki (104.7) — Wyschnij Wolotschek (167.0)
21	Пинск (144) — Вильно (148.0)	285	4	0.82	0.74	0.66	0.60	0.54	0.36	0.62	0.54	0.63	0.52	0.73	0.66	0.62	0.20	21	Pinsk (144) — Wilno (148.0)
22	Дзержинск (122.8) — Лозовая (182.5)	297	60	0.86	0.72	0.56	0.54	0.37	0.39	0.39	0.34	0.50	0.61	0.65	0.70	0.56	0.23	22	Dzershinsk (122.8) — Losowaja (182.5)
23	Томь (77.3) — Свердловск (282.3)	309	205	0.62	0.61	0.49	0.52	0.33	0.35	0.41	0.43	0.53	0.67	0.38	0.61	0.50	0.20	23	Tjumen (77.3) — Swerdlowsk (282.3)
24	Вологда (118.9) — Никольск (149)	313	30	0.81	1.00	0.86	0.66	0.42	0.33	0.44	0.44	0.82	1.00	0.76	0.62	0.67	0.24	24	Wologda (118.9) — Nikolsk (149)
25	Ростов на Д. (48.5) — Лозовая (182.5)	314	134	0.64	0.48	0.54	0.54	0.28	0.44	0.44	0.42	0.46	0.34	0.47	0.62	0.47	0.24	25	Rosstow am Don (48.5) — Losowaja (182.5)
26	Казань, Univ. (80.9) — Вятка, реальн. уч. (180.9)	315	100	0.59	0.89	0.68	0.42	0.36	0.46	0.66	0.48	0.36	0.56	0.64	0.66	0.59	0.22	26	Kasan, Univ. (80.9) — Wjatka, Realschule (180.9)
27	Керчь (3.7) — Ростов на Д. (48.5)	316	45	1.06	1.36	0.92	0.54	0.44	0.32	0.27	0.38	0.66	0.76	0.87	0.93	0.73	0.24	27	Kertsch (3.7) — Rosstow am Don (48.5)
28	Керчь (3.7) — Сочи (12.2)	321	8	1.13	0.93	0.84	0.59	0.43	0.40	0.40	0.45	0.57	0.57	0.97	0.77	0.67	0.12	28	Kertsch (3.7) — Sotschi (12.2)
29	Оренбург (114.1) — Уфа (173.1)	324	59	0.68	0.93	0.85	0.48	0.36	0.39	0.39	0.39	0.50	0.67	0.93	0.56	0.65	0.22	29	Orenburg (114.1) — Ufa (173.1)
30	Богословск (191) — Свердловск (282.3)	324	91	0.74	0.92	0.67	0.52	0.42	0.46	0.62	0.53	0.54	0.73	0.78	0.80	0.64	0.18	30	Bogoslawsk (191) — Swerdlowsk (282.3)
31	Каинск (120.5) — Томск (123.3)	339	3	0.42	0.51	0.46	0.42	0.41	0.48	0.42	0.52	0.47	0.65	0.54	0.56	0.49	0.12	31	Kainsk (120.5) — Tomsk (123.3)
32	Пинск (144) — Киев (182.9)	353	39	0.63	0.82	0.78	0.62	0.43	0.39	0.43	0.44	0.50	0.66	0.77	0.60	0.58	0.17	32	Pinsk (144) — Kiew (182.9)
33	Вологда (118.9) — Вышний Волочек (167.0)	360	48	1.32	1.22	1.04	0.75	0.68	0.56	0.54	0.46	0.54	0.86	1.14	0.85	0.83	0.18	33	Wologda (118.9) — Wyschnij Wolotschek (167.0)
34	Томск (123.3) — Барнаул (181.1)	365	35	1.04	0.98	0.90	0.75	0.47	0.37	0.44	0.46	0.54	0.81	0.86	0.70	0.70	0.26	34	Tomsk (123.3) — Barnaul (181.1)
35	Уфа (173.1) — Свердловск (282.3)	366	109	1.04	0.96	1.13	0.60	0.59	0.93	0.50	0.52	0.52	0.72	0.81	0.86	0.78	0.24	35	Ufa (173.1) — Swerdlowsk (282.3)
36	Варшава (120.7) — Вильно (148.0)	384	27	1.70	1.66	1.36	0.83	0.74	0.69	0.63	0.68	1.04	0.98	1.36	1.36	1.08	0.26	36	Warschau (120.7) — Wilno (148.0)
37	Пермь (163.0) — Вятка, реальн. уч. (180.9)	389	18	0.70	0.83	0.68	0.67	0.43	0.36	0.76	0.67	0.92	1.07	0.88	0.56	0.73	0.21	37	Perm (163.0) — Wjatka, Realschule (180.9)
38	Нижний Новгород (157.9) — Москва, Меж. Инст. (164.2)	398	6	1.17	1.30	0.92	0.84	0.66	0.44	0.57	0.46	0.84	1.14	1.18	0.98	0.87	0.21	38	Nischnij Nowgorod (157.9) — Moskwa, Feldm. (164.2)
39	Земетично (129.6) — Москва, Меж. Инст. (164.2)	400	34	0.69	0.93	0.84	0.69	0.48	0.40	0.67	0.68	0.75	0.88	0.83	0.78	0.72	0.18	39	Semettschino (129.6) — Moskwa, Feldmesserinst. (164.2)
40	Пинск (144) — Горки (206)	401	62	1.64	1.64	1.46	0.98	0.88	0.58	0.76	0.68	1.09	0.88	1.44	1.30	1.12	0.32	40	Pinsk (144) — Gorki (206)
41	Кемь (13) — Мезень (14.0)	468	1	1.32	1.14	1.15	0.96	0.76	0.30	0.63	0.76	0.92	1.24	1.12	0.92	0.95	0.34	41	Kem (13) — Mesen (14.0)
42	Казань, Univ. (80.9) — Земетично (129.6)	486	49	1.46	1.38	1.41	0.99	0.85	0.37	0.86	0.51	0.84	1.33	1.30	1.03	1.04	0.36	42	Kasan, Univ. (80.9) — Semettschino (129.6)
43	Енисейск (81.2) — Томск (123.3)	493	42	0.93	0.90	0.86	0.60	0.67	0.40	0.85	0.51	0.62	0.90	0.78	1.04	0.74	0.27	43	Eniseisk (81.2) — Tomsk (123.3)
44	Ленинград, ГТО (4.8) — Москва, Меж. Инст. (164.2)	650	159	1.04	1.82	1.22	1.21	0.84	0.73	0.87	0.97	1.34	1.72	1.13	1.18	1.18	0.31	44	Leningrad, G. Z.-Obs. (4.8) — Moskwa, Feldm. (164.2)
45	Сургут (48) — Тюмень (77.5)	667	30	1.62	1.30	1.16	1.16	0.88	0.82	0.68	0.97	1.29	1.11	0.98	1.74	1.14	0.54	45	Ssurgut (48) — Tjumen (77.5)
46	Никольск Уссурийский (18) — Хакодате (3.0)	754	15	1.28	0.89	0.71	0.58	0.60	0.84	0.46	0.48	0.75	0.58	0.93	0.68	0.71	0.17	46	Nikolsk Ussurijskij (18) — Hakodate (3.0)
47	Казань (80.9) — Ташкент (479.2)	758	412	1.68	1.35	1.36	1.02	1.02	0.73	0.68	0.66	0.84	1.04	1.06	1.31	1.07	0.16	47	Kasainsk (80.9) — Taschkent (479.2)
48	Коби (198.9) — Гудайр (2207)	11	218	0.28	0.39	0.39	0.24	0.25	0.20	0.19	0.19	0.19	0.21	0.16	0.28	0.25	0.11	48	Kobi (198.9) — Gudaur (2207)
49	Тифлис (403.8) — Гори (599.9)	68	196	0.33	0.29	0.35	0.14	0.16	0.21	0.23	0.26	0.22	0.25	0.24	0.25	0.24	0.13	49	Tiflis (403.8) — Gori (599.9)
50	Тифлис (403.8) — Гудайр (2207)	90	1803	0.62	1.00	0.74	0.65	0.57	0.60	0.30	0.40	0.74	0.72	0.88	0.75	0.68	0.26	50	Tiflis (403.8) — Gudaur (2207)
51	Тифлис (403.8) — Владикавказ (690.6)	145	287	0.46	0.44	0.44	0.30	0.22	0.20	0.24	0.22	0.23	0.34	0.30	0.32	0.30	0.06	51	Tiflis (403.8) — Wladikawkas (690.6)
52	Владикавказ (690.6) — Кисловодск (821.4)	188	131	0.24	0.28	0.30	0.16	0.22	0.11	0.11	0.19	0.21	0.19	0.20	0.21	0.20	0.08	52	Wladikawkas (690.6) — Kislowodsk (821.4)
53	Буйнакс (477) — Владикавказ (690.6)	202	214	0.30	0.30	0.28	0.21	0.24	0.18	0.22	0.17	0.16	0.22	0.26	0.26	0.23	0.14	53	Buinaks (477) — Wladikawkas (690.6)
54	Астрахань (—13.3) — Буйнакс (477)	423	464	1.36	1.09	1.17	0.70	0.56	0.77	0.43	0.65	0.70	0.78	0.86	1.08	0.84	0.23	54	Asstrachan (—13.3) — Buinaks (477)
55	Нерчинский Завод (620) — Чита (683.2)	434	63	0.40	0.84	0.44	0.44	0.44	0.51	0.37	0.44	0.44	0.44	0.58	0.51	0.50	0.20	55	Nertschinskij Sawod (620) — Tschita (683.2)
56	Аулие-Ата (625) — Алма-Ата (775.2)	454	150	0.40	0.28	0.24	0.34	0.24	0.33	0.22	0.36	0.32	0.32	0.48	0.30	0.32	0.18	56	Aulie-Ata (625) — Alma-Ata (775.2)
57	Иркутск (468.2) — Чита (683.2)	628	215	1.00	1.27	0.93	0.59	0.76	0.40	0.76	0.65	0.74	1.16	1.12					

ностей между соответствующими средними годовыми давления, получим систему точек, по которой можно провести линию регрессии (черт. 1). Эта линия выражает сле-

se die mittlere Veränderlichkeit der Differenzen zwischen den entsprechenden Jahresmitteln des Luftdrucks auftragen, erhalten wir ein System von Punkten, nach welchen man die



Черт. 1.

Abb. 1.

дующую зависимость изменчивости разностей между годовыми средними от расстояния между пунктами.

Regressionslinie ziehen kann (Abbildung 1). Diese Linie drückt folgende Abhängigkeit der Veränderlichkeit der Differenzen der Jahresmittel von der Entfernung zwischen den Punkten aus.

$$V_d = 0.065 + 0.00045 d,$$

$$V_d = 0.065 + 0.00045 d,$$

где d означает расстояние в километрах.

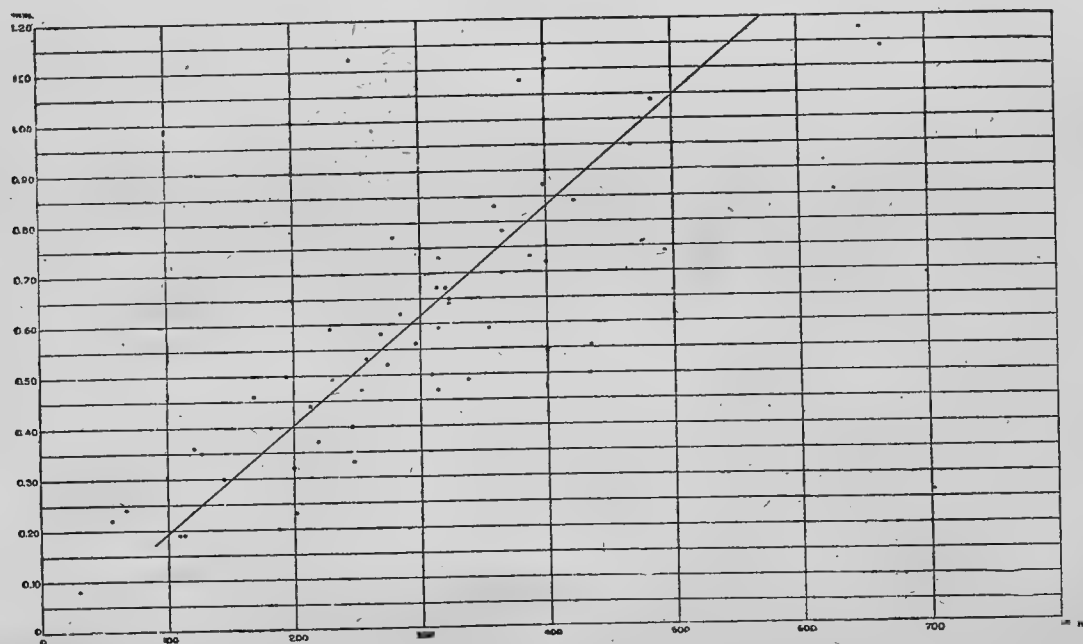
wo d die Entfernung in Kilometern bedeutet.

При $d > 50$ км и ≤ 600 км изменчивость разностей между средними месячными величинами давления в равнинных местностях получается: за январь, согласно чертежа 2,

Bei $d > 50$ km und ≤ 600 km, ergibt die Veränderlichkeit der Differenzen zwischen den Monatsmitteln des Luftdrucks in der Ebene für den Januar der Abbildung 2 entsprechend:

$$V_d = 0.00295 d,$$

$$V_d = 0.00295 d,$$



Черт. 2.

Abb. 2.

за июль, согласно чертежа 3,

für den Juli, der Abbildung 3 entsprechend:

$$V_d = 0.00145 d$$

$$V_d = 0.00145 d$$

и в среднем выводе за все 12 месяцев, согласно чертежа 4,

und im Mittel für alle 12 Monate, der Abbildung 4 entsprechend:

$$V_d = 0.00215 d.$$

$$V_d = 0.00215 d.$$

При разности высот, не превышающей 200 м, в равнинной местности влиянием высот станций на изменчивость разностей можно пренебречь. Расположение точек на поле корреляции позволяет признать вполне отчетливо выраженной зависимость изменчивости разностей от расстоя-

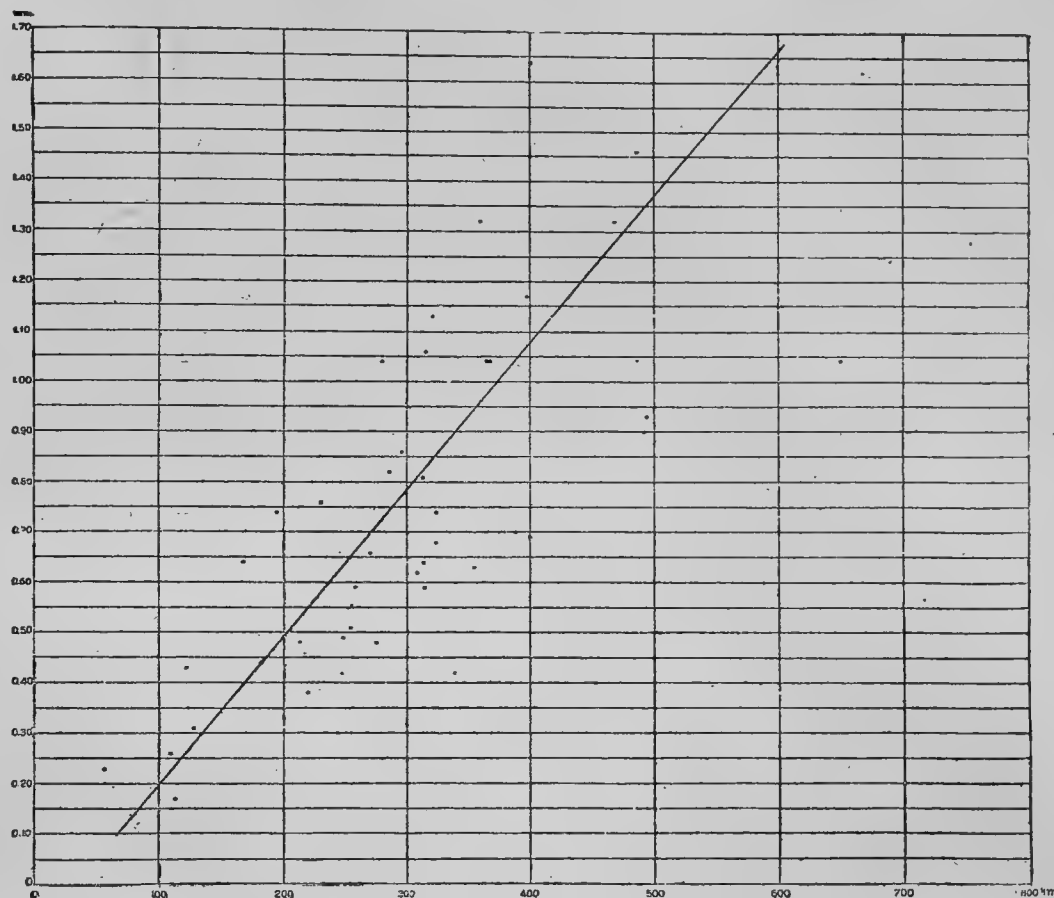
Bei einer Höhendifferenz, welche 200 m nicht übersteigt, kann man in ebenen Gegenden den Einfluss der Höhenlage der Stationen auf die Veränderlichkeit der Differenzen vernachlässigen. Die Verteilung der Punkte im Korrelationsfelde auf den Zeichnungen lässt die sehr deutlich ausgeprägte

ния: изменчивость при расстояниях в пределах от 50 км до 600 км пропорциональна расстоянию.

Кроме зависимости разностей давления от расстояния, повидимому, существует некоторая зависимость от ха-

Abhängigkeit der Veränderlichkeit der Differenzen von der Entfernung zum Vorschein kommen: die Veränderlichkeit ist bei Entfernungen in Grenzen von 50 km bis 600 km der Entfernung proportional.

Ausser der Abhängigkeit der Veränderlichkeit der Differenzen des Luftdrucks von der Entfernung existiert noch,

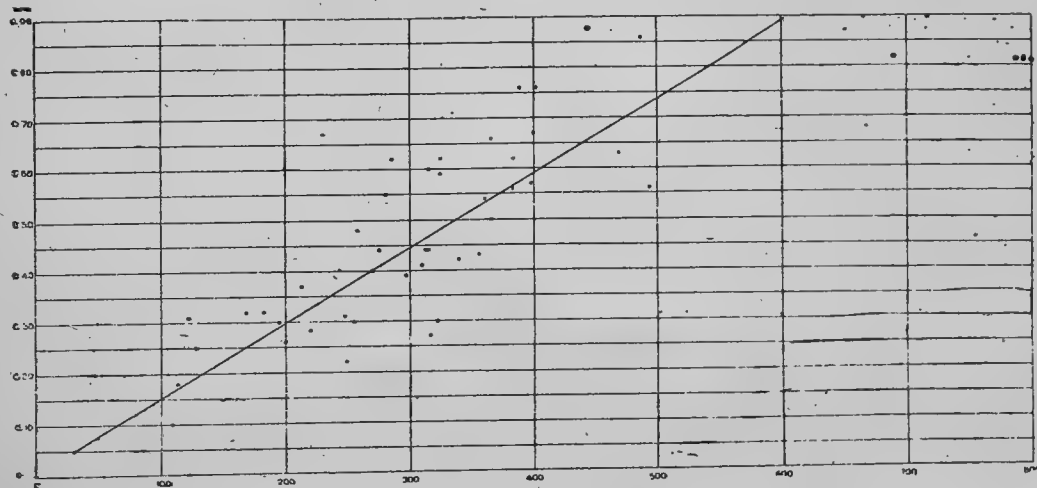


Чер. 3.

Abb. 3.

рактера местности и от изменчивости среднего давления, однако, для выяснения этих зависимостей имеется пока недостаточно данных. Малая изменчивость разностей на побережьях Черного, Азовского, Каспийского и отчасти

wie es scheint, eine gewisse Abhängigkeit von dem Charakter der Gegend und von der Veränderlichkeit des mittleren Luftdrucks; für die Untersuchung dieser Abhängigkeiten gibt es noch nicht genügend Daten. Die geringe Veränderlichkeit an



Чер. 4.

Abb. 4.

Балтийского морей (± 0.19 мм до ± 0.33 мм при расстояниях 100 — 250 км) указывает на умеряющее влияние моря. Уже в небольшом расстоянии от моря наблюдается изменчивость разностей более значительная; она быстро растет с расстоянием (Керчь—Ростов ± 0.73 мм). Имеются указания на то, что изменчивость разностей при расстоянии около 300 км особенно значительна на террито-

den Küsten des Schwarzen, des Asowschen, des Kaspischen und teilweise des Baltischen Meeres (± 0.19 mm bis ± 0.33 mm bei einer Entfernung von 100 — 250 km) weist auf den ausgleichenden Einfluss der Meere hin. In geringer Entfernung vom Meere wird schon eine bedeutende Veränderlichkeit der Differenzen beobachtet; sie nimmt schnell mit der Entfernung zu (Kertsch-Rosstow ± 0.73 mm). Es gibt

ТАБЛИЦА IX

Изменчивость разностей давления (V_d) и изменчивость среднего давления (V_B и V_A).
Veränderlichkeit der Luftdruckdifferenzen (V_d) und Veränderlichkeit des mittleren Luftdruckes (V_B und V_A).

TABELLE IX

№	НАЗВАНИЯ СТАНЦИЙ	Расстояние Entfernung	V_d			V_B		V_A			№	НАМЕН DER STATIONEN
			Maximum	Minimum	Средняя Mittel I—XII	Maximum	Средняя Mittel I—XII	Maximum	Minimum	Средняя Mittel I—XII		
1	Ленинград, ГТО (В) — Слуцк (А)	30	0.11 (IV)	0.05 (VII)	0.08	4.06 (X)	1.55 (VI)	4.04 (XI)	1.56 (VI)	2.85	29	Ленинград, Geoph. Z.-Obs. (В) — Sluzk (А)
2	Курисово-Покровское (В) — Одесса, Univ. (А)	56	0.27 (XI, XII)	0.17 (V, VIII)	0.22	2.52 (II)	0.68 (VIII)	2.54 (II)	0.68 (VIII)	1.65	26	Kurissowo-Pokrowskoe (В) — Odessa, Univ. (А)
3	Николаев (В) — Одесса, Univ. (А)	109	0.30 (II, XII)	0.10 (VII)	0.19	2.52 (II)	0.68 (VIII)	2.54 (II)	0.68 (VIII)	1.65	29	Nikolaew (В) — Odessa, Univ. (А)
4	Варшава (В) — Новая Александрия (А)	113	0.24 (II, XII)	0.10 (VIII)	0.19	3.10 (XI)	0.84 (VIII)	3.04 (XI)	0.80 (VIII)	1.98	29	Warschau (В) — Nowaja Alexandrija (А)
5	Ревель (В) — Пернов (А)	122	0.54 (II)	0.20 (X)	0.36	3.84 (III)	1.44 (VI)	3.74 (XI)	1.42 (VI)	2.61	26	Reval (В) — Pernau (А)
6	Пернов (А) — Юрьев (В)	128	0.48 (II)	0.20 (VI)	0.35	3.84 (III)	1.56 (VI)	3.74 (XI)	1.42 (VI)	2.61	26	Pernau (А) — Jurjew (В)
7	Ленинград, ГТО (А) — Валаам (В)	169	0.72 (II)	0.27 (IX)	0.46	4.34 (XI)	1.57 (VI)	4.06 (XI)	1.55 (VI)	2.86	28	Leningrad, Geoph. Z.-Obs. (А) — Walaam (В)
8	Елабуга (А) — Казань, Univ. (В)	182	0.62 (X)	0.32 (VII, XII)	0.40	4.94 (III)	1.33 (VII)	4.94 (III)	1.27 (VIII)	3.02	26	Elabuga (А) — Kasan, Univ. (В)
9	Либава (А) — Рига (В)	195	0.88 (II)	0.28 (V)	0.50	3.72 (X)	1.20 (VI)	3.67 (XI)	1.31 (VI)	2.48	26	Libau (А) — Riga (В)
10	Баку (В) — Ленкорань (А)	200	0.49 (II)	0.18 (VIII)	0.32	1.92 (II)	0.59 (VIII)	1.87 (II)	0.56 (VIII)	1.18	26	Baku (В) — Lenkoran (А)
11	Терiberka (В) — Варде (А)	213	0.61 (II)	0.28 (V)	0.44	4.68 (III)	1.42 (VI)	4.50 (III)	1.38 (VI)	3.00	29	Teriberka (В) — Vardö (А)
12	Полибино (В) — Уфа (А)	220	0.60 (X)	0.27 (VI)	0.37	4.55 (I)	1.04 (VIII)	4.36 (I)	1.14 (VIII)	2.80	26	Polibino (В) — Ufa (А)
13	Великие Луки (В) — Горки (А)	230	0.76 (II)	0.34 (VIII)	0.59	3.84 (III)	1.42 (VI)	3.42 (III)	1.18 (VII)	2.36	23	Welikie Luki (В) — Gorki (А)
14	Дзержинск (А) — Киев (В)	247	0.54 (III)	0.30 (IV, V)	0.40	2.84 (II)	0.97 (VII)	2.50 (II)	0.87 (VII)	1.78	24	Dzershinsk (А) — Kiev (В)
15	Керчь (А) — Севастополь (В)	248	0.62 (II)	0.18 (V)	0.33	2.40 (II)	0.62 (VIII)	2.18 (II)	0.62 (VII)	1.31	23	Kertsch (А) — Ssewasstopol (В)
16	Одесса, Univ. (А) — Умань (В)	253	0.62 (III)	0.30 (VII)	0.47	2.52 (X)	0.86 (VII)	2.54 (II)	0.68 (VIII)	1.65	18	Odessa, Univ. (А) — Uman (В)
17	Вологда (А) — Каргополь (В)	258	0.88 (II)	0.32 (V)	0.53	4.71 (II)	1.67 (VI)	4.73 (III)	1.72 (VII)	3.08	27	Wologda (А) — Kargopol (В)
18	Ела́тына (В) — Москва, Межевой Инстит. (А)	270	0.95 (II)	0.31 (VI)	0.58	4.52 (II)	1.66 (VI)	4.28 (III)	1.31 (VII)	2.79	24	Elatma (В) — Moskau, Feldmesserinst. (А)
19	Москва, Межевой Инстит. (А) — Вышний Волочек (В)	275	0.78 (II)	0.34 (VI)	0.52	4.14 (II)	1.52 (VI)	4.28 (III)	1.31 (VII)	2.79	26	Moskau, Feldmesserinst. (А) — Wyschnij Wolotschek (В)
20	Великие Луки (А) — Вышний Волочек (В)	280	1.10 (II)	0.48 (VI)	0.77	4.14 (II)	1.52 (VI)	3.84 (III)	1.52 (VII)	2.61	21	Welikie Luki (А) — Wyschnij Wolotschek (В)
21	Пинск (А) — Вильно (В)	285	0.82 (II)	0.36 (VI)	0.62	3.49 (X)	1.12 (VIII)	3.05 (XI)	0.97 (VII)	2.04	24	Pinsk (А) — Wilno (В)
22	Дзержинск (В) — Лозовая (А)	297	0.86 (II)	0.50 (VI)	0.56	2.50 (II)	0.27 (VII)	2.60 (III)	0.79 (VII)	1.75	24	Dzershinsk (В) — Losowaja (А)
23	Тюмень (А) — Свердловск (В)	309	0.67 (X)	0.35 (V)	0.50	4.42 (II)	1.34 (VIII)	4.60 (III)	1.41 (VI)	2.81	25	Tjumen (А) — Sswardlowsk (В)
24	Вологда (А) — Никольск (В)	313	1.00 (II, X)	0.23 (VI)	0.67	5.12 (II)	1.72 (VII)	4.73 (III)	1.72 (VII)	3.08	24	Wologda (А) — Nikolsk (В)
25	Ростов на Д. (А) — Лозовая (В)	314	0.64 (II)	0.28 (V)	0.47	2.60 (II)	0.97 (VII)	2.43 (II)	0.56 (VII)	1.49	18	Rosstow am Don (А) — Losowaja (В)
26	Казань, Univ. (А) — Вятка, реальное учил. (В)	315	0.89 (II)	0.43 (IV)	0.59	5.12 (II)	1.66 (VIII)	4.94 (III)	1.33 (VIII)	3.04	28	Kasan, Univ. (А) — Wjatka, Realschule (В)
27	Керчь (А) — Ростов на Д. (В)	316	1.36 (II)	0.27 (VII)	0.73	2.43 (II)	0.16 (VII)	2.18 (II)	0.69 (VII)	1.31	15	Kertsch (А) — Rosstow am Don (В)
28	Керчь (В) — Сочи (А)	321	1.13 (I)	0.30 (VIII)	0.67	2.18 (II)	0.62 (VII)	1.97 (II)	0.54 (VIII)	1.02	6	Kertsch (В) — Sootschi (А)
29	Оренбург (А) — Уфа (В)	324	0.93 (II, XI)	0.39 (VIII)	0.65	4.36 (I)	1.14 (VIII)	4.10 (I)	0.92 (VIII)	2.52	25	Orenburg (А) — Ufa (В)
30	Богословск (В) — Свердловск (А)	324	0.92 (II)	0.42 (V)	0.64	4.86 (II)	1.40 (VI)	4.42 (III)	1.34 (VIII)	2.83	26	Bogoslowsk (В) — Swardlowsk (А)
31	Каинск (В) — Томск (А)	339	0.65 (X)	0.41 (V)	0.49	3.22 (II)	1.11 (VI)	2.97 (I, III)	0.99 (VI)	1.90	21	Kainsk (В) — Tomsk (А)
32	Пинск (В) — Киев (А)	355	0.82 (II)	0.34 (VIII)	0.58	3.05 (II)	0.97 (VII)	2.84 (III)	0.97 (VII)	1.97	26	Pinsk (В) — Kiev (А)
33	Вологда (В) — Вышний Волочек (А)	360	1.32 (I)	0.46 (VIII)	0.83	4.73 (II)	1.72 (VII)	4.14 (III)	1.52 (VIII)	2.82	19	Wologda (В) — Wyschnij Wolotschek (А)
34	Томск (В) — Барнаул (А)	365	1.04 (I)	0.37 (VI)	0.70	2.97 (I)	0.99 (VI)	2.20 (I, X)	0.87 (IX)	1.52	13	Tomsk (В) — Barnaul (А)
35	Уфа (А) — Свердловск (В)	366	1.13 (III)	0.48 (VIII)	0.78	4.42 (II)	1.34 (VIII)	4.36 (I)	1.14 (VIII)	2.80	27	Ufa (А) — Sswardlowsk (В)
36	Варшава (А) — Вильно (В)	384	1.70 (I)	0.60 (VI)	1.08	3.49 (X)	1.22 (VIII)	3.10 (XI)	0.84 (VIII)	2.03	19	Warschau (А) — Wilno (В)
37	Пермь (А) — Вятка, реальное учил. (В)	389	1.07 (X)	0.43 (V)	0.73	5.12 (II)	1.66 (VIII)	4.90 (III)	1.36 (VIII)	3.02	19	Perm (А) — Wjatka, Realschule (В)
38	Ни́жний Новго́род (В) — Москва, Меж. Инст. (А)	398	1.30 (II)	0.42 (VI)	0.87	4.82 (II)	1.29 (VII)	4.28 (III)	1.31 (VII)	2.79	22	Nishnij Nowgorod (В) — Moskau, Feldmesserinst. (А)
39	Земетчино (А) — Москва, Меж. Инст. (В)	400	0.93 (II)	0.40 (VI)	0.72	4.28 (II)	1.41 (VII)	4.29 (III)	0.88 (VII)	2.67	24	Semetschino (А) — Moskau, Feldmesserinst. (В)
40	Пинск (А) — Горки (В)	401	1.64 (I, II)	0.68 (VI, VIII)	1.12	3.42 (II)	1.38 (VII)	3.05 (XI)	0.97 (VII)	2.04	17	Pinsk (А) — Gorki (В)
41	Кемь (А) — Мезень (В)	468	1.32 (I)	0.52 (VI)	0.95	5.78 (II)	1.32 (VI)	4.52 (III)	1.42 (VI)	3.08	25	Kem (А) — Mesen (В)
42	Казань (В) — Земетчино (А)	486	1.46 (I)	0.51 (VII)	1.04	4.94 (II)	1.33 (VIII)	4.29 (III)	0.88 (VII)	2.67	19	Kasan, Univ. (В) — Semetschino (А)
43	Енисейск (В) — Томск (А)	493	1.04 (XII)	0.45 (VI)	0.74	3.23 (I)	0.86 (VI)	2.97 (I, III)	0.99 (VI)	1.90	17	Enisseisk (В) — Tomsk (А)
44	Ленинград, ГТО (В) — Москва, Меж. Инст. (А)	650	1.82 (II)	0.71 (VI)	1.18	4.06 (X)	1.35 (VI)	4.28 (III)	1.31 (VII)	2.79	16	Leningrad, Geophys. Z.-Obs. (В) — Moskau, Feldmesserinst. (А)
45	Сургут (В) — Тюмень (А)	667	1.74 (XII)	0.68 (VII)	1.14	4.81 (II)	1.44 (VI)	4.60 (III)	1.41 (VI)	2.81	15	Saurgut (В) — Tjumen (А)
46	Никольск Уссурийский (А) — Хокотате (В)	754	1.28 (I)	0.46 (VII)	0.71	1.80 (I)	0.80 (VIII)	1.55 (II)	0.70 (VI, VII)	1.07	3	Nikolsk Ussurijskij (А) — Hakodate (В)

рии, где изменчивость среднего давления велика (бассейн верхнего течения Волги), хотя и здесь встречаются отступления от этого правила. В Сибири изменчивость разностей по направлению с запада на восток убывает (Оренбург—Уфа при расстоянии 324 км = ± 0.65 мм, Богословск—Свердловск—при таком же расстоянии ± 0.64 мм, Тюмень—Свердловск при 309 км = ± 0.50 мм, Каинск—Томск при 339 км = ± 0.49 мм).

Изменчивость разностей для станций Никольск-Уссурийский—Хакодате, при расстоянии 754 км, получилась ± 0.71 мм, тогда как при гораздо меньших расстояниях находим приблизительно такую же изменчивость разностей для станций Томск—Барнаул (365 км), Уфа—Свердловск (366 км), Енисейск—Томск (493 км), Керчь—Ростов (316 км).

Для сравнения привожу вычисленные Hann¹⁾ и мною средние изменчивости разностей для различных расстояний:

Расстояние в км.	Изменчивость разностей среднего давления в мм.	
	В Австрии по Hann'у	В СССР по Каминскому
112	± 0.23	± 0.25
266	± 0.46	± 0.54
490	± 0.68	± 0.91

Расхождение данных изменчивости для СССР с данными для Австрии при расстоянии в 490 км объясняется, по крайней мере, отчасти тем, что Hann взял пары станций с более значительными разностями высот (в среднем 300 м), чем я (в среднем 31 м). С этой оговоркой можно утверждать, что средняя изменчивость разностей среднего давления в Средней Европе приблизительно такая же, как и на территории СССР.

С целью помочь лучше ориентироваться в данных таблицы VIII помещаю таблицу IX (см. стр. 42 и 43), в которой сопоставляются наибольшие и наименьшие величины изменчивости разностей (V_d) с изменчивостью среднего давления приводимой (V_B) и опорной (V_A) станций.

Из таблицы IX вытекает, что даже при расстоянии до 700 км приведение коротких рядов к 30-летнему ряду может быть выгодно, причем, однако, необходима оговорка, что только при небольшом расстоянии между приводимой и опорной станциями приведение выгодно в случае, если наблюдения приводимой продолжались вообще менее 30 лет. При расстояниях более значительных приведение оказывается выгодным при продолжительности наблюдений приводимой станции в каждом отдельном случае лишь меньше некоторого определенного числа лет.

В таблице IX в графе, обозначенной n_{\max} , показано предельное число лет, при котором приведение еще выгодно. При продолжительности наблюдений приводимой станции больше n_{\max} лет приведение невыгодно. При вычислении n_{\max} бралась наибольшая из всех величин V_d за отдельные месяцы.

¹⁾ J. Hann. L. c.

Hinweise darauf, dass die Veränderlichkeit der Differenzen bei einer Entfernung von 300 km auf Territorien, wo die Veränderlichkeit des mittleren Luftdrucks gross ist (das Bassin des Oberlaufs der Wolga), nicht unerheblich ansteigt, obwohl auch hier Abweichungen von der Regel vorkommen. In Sibirien nimmt die Veränderlichkeit der Differenzen in der Richtung von Westen nach Osten ab (Orenburg—Ufa bei einer Entfernung von 324 km = ± 0.65 mm, Bogoslawsk—Swerdlowsk bei gleicher Entfernung ± 0.64 mm, Tjumen—Swerdlowsk bei 309 km = ± 0.50 mm, Kainsk—Tomsch bei 339 km = ± 0.49 mm).

Für die Stationen Nikolsk Ussurijskij—Hakodate wurde bei einer Entfernung von 754 km die Veränderlichkeit der Differenzen ± 0.71 mm erhalten, während man für die Stationen Tomsch—Barnaul (365 km), Ufa—Swerdlowsk (366 km), Enisseisk—Tomsch (493 km), Kertsch—Rosstow (316 km) bei bedeutend kleineren Entfernungen ungefähr dieselbe Veränderlichkeit der Differenzen findet.

Nachstehend werden von Hann¹⁾ und von mir berechnete Mittel der Veränderlichkeit der Differenzen für verschiedene Entfernungen neben einander gestellt.

Entfernung in km	Die Veränderlichkeit der Differenzen des mittleren Luftdrucks in mm	
	In Oesterreich nach Hann	In d. U.S.S.R. nach Kaminsky
112	± 0.23	± 0.25
266	± 0.46	± 0.54
490	± 0.68	± 0.91

Die Abweichung des Ergebnisses für die U.S.S.R. vom entsprechenden Werte für Österreich bei einer Entfernung von 490 km lässt sich wenigstens teilweise dadurch erklären, dass Hann Stationenpaare mit bedeutenderen Höhendifferenzen (im Mittel 300 m) gewählt hat, als ich (im Mittel 31 m). Lässt man das gelten, so ist man zur Behauptung berechtigt, dass die mittlere Veränderlichkeit der Differenzen des mittleren Luftdrucks in Mitteleuropa derjenigen auf dem Territorium der U.S.S.R. nahezu gleich ist.

Um die Orientierung in den Daten der Tabelle VIII zu erleichtern, füge ich die Tabelle IX (s. pp. 42 u. 43) hinzu, in welcher die grössten und kleinsten Werte der Veränderlichkeit der Differenzen (V_d) mit der Veränderlichkeit des mittleren Luftdrucks der zu reduzierenden Station (V_B) und der Bezugsstation (V_A) zusammengestellt werden.

Tabelle IX zeigt, dass eine Reduktion der kurzen Reihen auf die 30-jährige Reihe sogar bei einer Entfernung von 700 km vorteilhaft sein kann, unter Vorbehalt jedoch, dass eine Reduktion nur bei einer geringen Entfernung zwischen der zu reduzierenden und der Bezugsstation von Nutzen ist, wenn die Beobachtungen der zu reduzierenden Station weniger als 30 Jahre lang ausgeführt worden sind. Bei grösseren Entfernungen ist eine Reduktion vorteilhaft nur im Falle einer Beobachtungsdauer, welche durchaus kürzer sein muss, als eine bestimmte Anzahl von Jahren.

In der Tabelle IX ist in der Rubrik, welche mit n_{\max} bezeichnet ist, die grösste Anzahl der Jahre angegeben, bei welcher eine Reduktion noch vorteilhaft ist. Bei einer Beobachtungsdauer der zu reduzierenden Station von mehr als n_{\max} Jahren ist eine Reduktion nicht mehr vorteilhaft. Bei der Berechnung von n_{\max} wurde der grösste aller Werte V_d für einzelne Monate genommen.

¹⁾ J. Hann. L. c.

Данные таблицы IX могут служить хорошей иллюстрацией к выводу Е. С. Рубинштейн¹⁾ о зависимости n_{\max} от соотношения V_d с V_B и V_A . Так как V_d — при расстояниях, не превышающих 400 км, вообще говоря, меняется мало, то n_{\max} зависит, главным образом, от изменчивости среднего давления приводимой и опорной станций. При относительно малой изменчивости давления на побережье Черного и Азовского морей, там приведение оказывается выгодным лишь при небольшом числе лет наблюдений. То же можно сказать относительно Средней и Восточной Сибири. На севере Европ. части Союза выгодно приведение даже 25-летних рядов при расстоянии около 500 км между станциями.

Имея данные об изменчивости среднего давления для разных районов Союза, а также разности между месячными средними давления соседних станций, было нетрудно в каждом отдельном случае решать вопрос о выгоде приведения.

Хотя для суждения о влиянии абсолютной высоты, а также разности высот на изменчивость разностей между месячными средними давления соседних станций у нас имеется мало данных, все же некоторые заключения и по этому вопросу можно сделать на основании данных для второй группы станций в таблице IX.

Для суждения о том, в какой мере сказывается на разностях среднего месячного давления абсолютная высота станций, может служить следующая табличка, в которой приводятся данные для пар станций, отстоящих одна от другой не больше чем на 202 км, причем разности высот не достигают 300 м.

Абсолютная высота в м: Seehöhe in m:	404—600 404—691 477—691 691—821 1989—2207				
Изменчивость разностей в среднем за все 12 мес. в мм: Veränderlichkeit der Differenzen im Mittel für 12 Monate in mm:	0.24	0.30	0.23	0.20	0.25

Из этой таблички видно, что при расстояниях между станциями до 200 км и разностях высот до 300 м изменчивость разностей между месячными средними давления с высотой меняется весьма мало, по крайней мере, до высоты около 2000 м.

Сопоставим еще данные об изменчивости разностей (средней из 12 мес.), располагая пары станций по разностям высот.

Разность высот в м: Höhendifferenz in m:	131	196	214	218	287	1803
Средняя изменчивость Mittlere Veränderlichk.:	0.20	0.24	0.23	0.25	0.30	0.68

С возрастанием разности высот станций изменчивость разностей давления возрастает медленно и лишь при превышении одной станции над другой в 1800 м. достигает в 3 раза большей величины, чем при разности высот около 100 м.

Die Daten der Tabelle IX dürfen als gute Illustration zu der Schlussfolgerung von Fräul. E. Rubinstein¹⁾ über die Abhängigkeit von n_{\max} von dem Verhältnis zwischen V_d , V_B und V_A dienen. Da V_d bei Entfernungen, welche 400 km nicht übersteigen, sich im allgemeinen wenig ändert, hängt n_{\max} hauptsächlich von der Veränderlichkeit des mittleren Luftdrucks der zu reduzierenden und der Bezugsstation ab. Bei der verhältnismässig geringen Veränderlichkeit des Luftdrucks an der Küste des Schwarzen und des Asowschen Meeres erweist sich eine Reduktion nur bei einer kleinen Zahl von Beobachtungsjahren vorteilhaft. In Betreff Mittel- und Ostsibiriens kann man dasselbe sagen. Im Norden des Europäischen Teils der U. S. S. R. ist sogar die Reduktion einer 25-jährigen Reihe bei einer Entfernung gegen 500 km zwischen den Stationen vorteilhaft.

Da wir im Besitz von Daten über die Veränderlichkeit des mittleren Luftdrucks für verschiedene Rayons der U. S. S. R., sowie der Differenzen zwischen Monatsmitteln des Luftdrucks der Nachbarstationen waren, war es nicht schwer in jedem einzelnen Falle die Frage über Vorteil und Nachteil einer Reduktion zu entscheiden.

Obwohl wir für ein Urteil über den Einfluss der Seehöhe, sowie der Höhendifferenz auf die Veränderlichkeit der Differenzen zwischen den Monatsmitteln des Luftdrucks der Nachbarstationen wenig Daten besitzen, lassen sich dennoch auch in Bezug auf diese Frage auf Grund von Daten für die zweite Gruppe der Stationen in der Tabelle IX einige Schlussfolgerungen ziehen.

Um zu zeigen, in welchem Masse die Seehöhe der Stationen die Differenzen der Monatsmittel des Luftdrucks beeinflusst, kann folgende Tabelle dienen, in welcher Daten für solche Stationenpaare angeführt werden, welche um nicht mehr als 202 km von einander entfernt sind, wobei die Höhendifferenz 300 m nicht erreicht.

Aus dieser Tabelle ist zu ersehen, dass die Veränderlichkeit der Differenzen der Monatsmittel des Luftdrucks bei Entfernungen bis 200 km zwischen den Stationen und einer Höhendifferenz bis 300 m wenig von der Seehöhe abhängt, wenigstens bis zu einer Höhe von 2000 m.

Vergleichen wir noch die Daten über die Veränderlichkeit der Differenzen (das Mittel von 12 Monaten), indem wir die Stationen nach der Höhendifferenz ordnen.

Mit dem Anwachsen der Höhendifferenz der Stationen nimmt die Veränderlichkeit der Differenzen des Luftdrucks langsam zu und erreicht nur, wenn eine Station um 1800 m höher liegt, als die andere, einen 3 mal grösseren Wert, als bei einer Höhendifferenz gegen 100 m.

¹⁾ Евр. Рубинштейн. Л. с.

¹⁾ Eugenie Rubinstein. L. c.

Рассмотренные данные убеждают в том, что и в горных странах вполне возможно приведение коротких рядов наблюдений над давлением к более длинным периодам, на что указал и Hann, основываясь на данных для Альп ¹⁾.

Вполне понятно при этом, что приведение должно давать лучшие результаты, если высота опорной станции меньше высоты приводимой станции.

Изменчивость разностей обнаруживает также, как и изменчивость средних месячных давления, годовой ход, но при этом амплитуда годовых колебаний изменчивости разностей значительно меньше амплитуды изменчивости средних месячных. Отношение максимума к минимуму изменчивости разностей тоже меньше, чем отношение максимума к минимуму изменчивости средних месячных давления. Наибольшая изменчивость разностей приходится на один из зимних месяцев, большей частью на февраль или январь, минимум на один из месяцев теплого сезона, большей частью на июнь, затем идут май, август и июль.

Для детального изучения особенностей годового хода изменчивости разностей в моем распоряжении недостаточно данных.

Проф. В. Горчинский ²⁾ вычислил коэффициенты корреляции между средними месячными величинами давления воздуха с одной стороны Варшавы и с другой стороны 50 пунктов, расположенных в расстоянии от нее до 10.000 км, в том числе 9 пунктов на территории СССР. Кроме того, он дает коэффициенты корреляции относительно 9 обсерваторий и станций в разных странах, но для меньшего числа пунктов, чем относительно Варшавы; в числе этих 9 станций Москва и Свердловск. На основании приведенных им данных он приходит к следующим выводам.

В зимнее полугодие коррелятивная зависимость в ходе давления воздуха более тесная и сказывается на больших расстояниях, чем в летнее полугодие. Коэффициент корреляции не ниже 0.90 получается в декабре, январе и феврале на расстояниях от 350 до 900 км, в июне, июле и августе на расстояниях от 125 до 350 км; коэффициент корреляции не ниже 0.60 найден в зимние месяцы для пунктов, отстоящих в 900—1900 км от Варшавы, в летние же месяцы для пунктов в 800—1500 км. Любопытно, что коэффициент корреляции относительно Варшавы для Барнаула получается почти во все месяцы отрицательный, хотя и незначительный (заключается в пределах от -0.16 до $+0.25$), а для Нерчинского Завода положительный (от 0.03 до 0.34). Смысл найденного годового хода коэффициента корреляции ясен. Преобладающие в зимнее полугодие типы барического рельефа имеют, вообще говоря, гораздо большее территориальное распространение, а вместе с тем изменения давления воздуха в определенном направлении охватывают большие пространства зимой, чем летом.

В следующей таблице X привожу коэффициенты корреляции, вычисленные мною для 20 пар станций в пределах СССР по данным за 1881—1910 г.г. Пары станций приводятся в порядке возрастающего расстояния. В скобках при названиях станций показаны абсолютные высоты барометров, выраженные в метрах.

¹⁾ J. Hann. L. c., стр. 88.

²⁾ W. Gorczyński. Pression atmosphérique en Pologne et en Europe. Стр. 169 и 177.

Die betrachteten Daten führen zur Überzeugung, dass eine Reduktion der kurzen Reihen der Beobachtungen über den Luftdruck auf längere Perioden auch in bergigen Gegenden durchaus möglich ist, worauf Hann auf Grund von Daten für die Alpen ¹⁾ hingewiesen hat. Dabei ist es ganz verständlich, dass eine Reduktion bessere Resultate ergeben muss, wenn die Höhe der Bezugsstation kleiner ist, als die Höhe der zu reduzierenden Station.

Die Veränderlichkeit der Differenzen zeigt, wie auch die Veränderlichkeit der Monatsmittel des Luftdrucks, einen deutlich ausgeprägten jährlichen Gang, wobei die Amplitude der Jahresschwankung der Veränderlichkeit der Differenzen aber bedeutend kleiner ist, als die Amplitude der Veränderlichkeit der Monatsmittel. Das Verhältnis des Maximums zum Minimum der Veränderlichkeit der Differenzen ist ebenfalls kleiner, als das Verhältnis des Maximums zum Minimum der Veränderlichkeit der Monatsmittel des Luftdrucks. Die grösste Veränderlichkeit der Differenzen fällt auf einen der Wintermonate, meistens auf den Januar oder Februar, das Minimum—auf einen Monat der warmen Jahreszeit, meistens auf den Juni, dann folgen Mai, August und Juli.

Für ein detailliertes Studium der Eigentümlichkeiten des jährlichen Ganges der Veränderlichkeit der Differenzen stehen mir nicht genügend Daten zur Verfügung.

Professor W. Gorczyński ²⁾ hat die Korrelationskoeffizienten zwischen Monatsmitteln des Luftdrucks für Warschau einerseits und für 50—bis 10.000 km von diesem Ort entfernte Punkte andererseits berechnet, darunter für 9 Punkte auf dem Territorium der USSR. Ausserdem gibt er die Korrelationskoeffizienten in Bezug auf 9 Observatorien und Stationen in verschiedenen Ländern, jedoch für eine geringere Zahl von Punkten, als in Bezug auf Warschau; zu diesen 9 Stationen gehören Moskau und Sswerdlowsk (Ekatеринбург). Auf Grund der von ihm angeführten Daten kommt er zu folgenden Schlussfolgerungen.

Im Winterhalbjahr ist die Korrelation im Gang des Luftdrucks enger und macht sich auf grösseren Entfernungen bemerkbar, als im Sommerhalbjahr. Einen Korrelationskoeffizienten nicht unter 0.90 erhält man im Dezember, Januar und Februar bei einer Entfernung von 350 bis 900 km, im Juni, Juli und August—bei einer Entfernung von 125 bis 350 km; ein Korrelationskoeffizient nicht unter 0.60 wurde in den Wintermonaten für Punkte, die 900 bis 1900 km von Warschau entfernt sind, gefunden, in den Sommermonaten aber für Punkte in 800 bis 1500 km Entfernung. Es ist interessant, dass man beinahe in allen Monaten einen negativen, wenn auch unbedeutenden (von -0.16 bis $+0.25$) Korrelationskoeffizienten bezüglich Warschau für Barnaul erhält, für Nertschinskij Sawod aber einen positiven (von 0.03 bis 0.34). Der erhaltene jährliche Gang des Korrelationskoeffizienten ist nicht schwer zu erklären. Die im Winterhalbjahr vorwiegenden Typen des barischen Reliefs haben im allgemeinen eine viel grössere räumliche Ausdehnung und somit erstrecken sich Veränderungen des Luftdrucks im gleichen Sinne im Winter auf grösseres Territorium, als im Sommer.

In folgender Tabelle X führe ich Korrelationskoeffizienten für 20 Stationenpaare im Bereich der USSR, die nach Daten für die Jahre 1881—1910 berechnet sind, an. Die Stationenpaare sind nach der Entfernung zwischen den Stationen geordnet. Neben den Namen der Stationen sind die Seehöhen der Barometer, in Metern ausgedrückt, in Klammern angegeben.

¹⁾ J. Hann. L. c., p. 88.

²⁾ W. Gorczyński. Pression atmosphérique en Pologne et en Europe. Pp. 169 и 177.

Коэффициенты корреляции между средним месячным и средним годовым давлением воздуха пар станций за 1881—1910 гг.

Korrelationskoeffizient zwischen Monats- und Jahresmitteln des Luftdrucks je zweier Stationen für die Jahre 1881—1910.

НАЗВАНИЯ СТАНЦИЙ И АБСОЛЮТНЫЕ ВЫСОТЫ БАРОМЕТРОВ В МЕТРАХ	Расстояние	Январь	Февраль	Март	Апрель	Май	Июнь	Июль	Август	Сентябрь	Октябрь	Ноябрь	Декабрь	Год	НАМЕН DER STATIONEN UND SEEHÖHEN DER BAROMETER (METER)
Ленинград (4.8) — Слуцк (39.8)	30	0.999	1.000	0.999	0.999	0.999	0.998	0.999	0.999	1.000	1.000	1.000	1.000	0.993	Ленинград (4.8) — Слуцк (39.8)
Тифлис (403.8) — Владикавказ (690.6)	145	0.941	0.969	0.962	0.935	0.954	0.950	0.788	0.885	0.933	0.972	0.966	0.959	0.899	Тифлис (403.8) — Владикавказ (690.6)
Ленинград (4.8) — Валаам (36.3)	169	0.988	0.989	0.992	0.982	0.972	0.974	0.985	0.980	0.993	0.994	0.991	0.992	0.975	Ленинград (4.8) — Валаам (36.3)
Великие Луки (104.7) — Горки (206)	230	0.983	0.986	0.989	0.961	0.959	0.960	0.931	0.977	0.978	0.980	0.973	0.984	0.938	Великие Луки (104.7) — Горки (206)
Киев (182.9) — Дзержинск (122.8)	247	0.988	0.990	0.981	0.997	0.961	0.950	0.938	0.933	0.966	0.987	0.989	0.991	0.972	Киев (182.9) — Дзержинск (122.8)
Керчь (3.7) — Севастополь (23.2)	248	0.956	0.978	0.956	0.973	0.977	0.942	0.921	0.909	0.960	0.975	0.971	0.958	0.946	Керчь (3.7) — Севастополь (23.2)
Казань (80.9) — Вятка (180.9)	315	0.988	0.988	0.991	0.979	0.966	0.944	0.951	0.944	0.980	0.982	0.987	0.977	0.973	Казань (80.9) — Вятка (180.9)
Керчь (3.7) — Сочи (12.2)	321	0.823	0.936	0.877	0.887	0.932	0.846	0.830	0.753	0.892	0.870	0.864	0.844	0.876	Керчь (3.7) — Сочи (12.2)
Богословск (191) — Свердловск (282.3)	324	0.981	0.979	0.985	0.980	0.979	0.940	0.946	0.944	0.962	0.967	0.985	0.962	0.959	Богословск (191) — Свердловск (282.3)
Томск (123.3) — Барнаул (158.1)	365	0.949	0.942	0.955	0.822	0.930	0.908	0.892	0.837	0.934	0.980	0.973	0.933	0.896	Томск (123.3) — Барнаул (158.1)
Варшава (120.7) — Вильно (148.0)	384	0.867	0.909	0.912	0.883	0.878	0.865	0.907	0.911	0.872	0.902	0.901	0.911	0.843	Варшава (120.7) — Вильно (148.0)
Земетчино (129.6) — Москва (164.2)	400	0.980	0.983	0.983	0.951	0.899	0.931	0.894	0.932	0.851	0.955	0.972	0.977	0.925	Земетчино (129.6) — Москва (164.2)
Казань (80.9) — Земетчино (129.6)	486	0.960	0.958	0.967	0.926	0.914	0.920	0.910	0.894	0.931	0.936	0.968	0.964	0.946	Казань (80.9) — Земетчино (129.6)
Томск (123.3) — Енисейск (81.2)	493	0.964	0.928	0.957	0.870	0.868	0.869	0.894	0.916	0.842	0.953	0.952	0.904	0.872	Томск (123.3) — Енисейск (81.2)
Ставрополь (577.1) — Астрахань (—13.3)	500	0.806	0.878	0.885	0.791	0.759	0.768	0.488	0.582	0.470	0.815	0.810	0.901	0.426	Ставрополь (577.1) — Астрахань (—13.3)
Ленинград (4.8) — Москва (164.2)	650	0.948	0.942	0.954	0.862	0.906	0.841	0.871	0.797	0.910	0.888	0.941	0.948	0.891	Ленинград (4.8) — Москва (164.2)
Москва (164.2) — Киев (182.9)	700	0.680	0.782	0.891	0.704	0.381	0.739	0.433	0.756	0.713	0.857	0.659	0.859	0.619	Москва (164.2) — Киев (182.9)
Казалинск (66.6) — Ташкент (479.2)	758	0.802	0.825	0.820	0.761	0.500	0.639	0.423	0.682	0.478	0.787	0.792	0.878	0.790	Казалинск (66.6) — Ташкент (479.2)
Ленинград (4.8) — Киев (182.9)	1000	0.679	0.740	0.851	0.555	0.448	0.501	0.347	0.505	0.700	0.816	0.640	0.824	0.630	Ленинград (4.8) — Киев (182.9)
Барнаул (158.1) — Москва (164.2)	3000	0.723	0.943	0.497	0.158	0.287	0.079	0.295	0.100	—0.163	0.429	0.545	0.871	0.214	Барнаул (158.1) — Москва (164.2)

Оказывается, что при расстоянии между коррелируемыми станциями до 500 км годовой ход коэффициента корреляции слабо выражен: разница между максимальной и минимальной величинами в огромном большинстве случаев не достигает 0.1 и лишь в исключительных случаях превышает 0.15. При расстояниях не меньше 500 км разница между максимальной и минимальной величинами коэффициента корреляции возрастает в зависимости от расстояния.

Такой же годовой ход найден Горчинским и для коэффициента корреляции между колебаниями средних месячных температур ¹⁾.

Выше мы видели, что изменчивость разностей среднего месячного давления имеет, вообще говоря, такой же годовой ход, как и коэффициент корреляции: летом она меньше, зимой больше, тогда как можно было бы ожидать, что ход ее будет обратный по сравнению с ходом коэффициента корреляции. То же установлено и в отношении годового хода разностей средних месячных температур ²⁾.

Привожу в следующей табличке среднюю квадратичную погрешность ($\sigma_d = \sqrt{\frac{\sum \Delta^2}{n}}$) разностей среднего месячного давления для четырех пар станций, расстояния между которыми больше 350 км.

НАЗВАНИЯ СТАНЦИЙ И АБСОЛЮТНЫЕ ВЫСОТЫ БАРОМЕТРОВ (В СКОБКАХ)	Расстояние Entfernung	Январь Januar	Февраль Februar	Март März	Апрель April	Май Mai	Июнь Juni	Июль Juli	Август August	Сентябрь September	Октябрь Oktober	Ноябрь November	Декабрь Dezember	NAMEN DER STATIONEN UND SEEHÖHEN DER BAROMETER (IN KLAMMERN)
Томск (123.3) — Барнаул (158.1) . . .	365	1.22	1.12	1.07	0.97	0.60	0.50	0.62	0.72	0.71	0.73	0.94	1.27	Tomsk (123.3) — Barnaul (158.1)
Земетчино (129.6) — Москва (164.2) . .	400	0.94	1.11	0.96	0.90	0.71	0.71	0.81	0.73	0.90	1.10	0.95	1.04	Semettschino (129.6) — Moskau (164.2)
Ленинград (4.8) — Москва (164.2) . . .	650	1.48	1.95	1.55	1.59	0.95	1.12	1.13	1.40	1.39	2.04	1.49	1.65	Leningrad (4.8) — Moskau (164.2)
Москва (164.2) — Киев (182.9)	700	3.41	3.60	2.59	2.03	2.03	1.50	1.72	1.23	2.19	2.00	3.07	2.59	Moskau (164.2) — Kiew (182.9)

Несоответствие годового хода средней квадратичной погрешности разностей с ходом коэффициента корреляции еще резче выражено, чем несоответствие хода средней изменчивости разностей и хода коэффициента корреляции. Причина кажущегося противоречия заключается, очевидно, в том, что зимой с одной стороны градиенты среднего давления больше, чем летом, и с этим связаны и более значительные средние отклонения разностей среднего месячного давления; с другой же стороны как положительные, так и отрицательные аномалии давления, вообще говоря, зимой захватывают гораздо более обширные пространства, чем летом, что и находит отражение в годовом ходе коэффициента корреляции.

Е. С. Кузнецов ³⁾ вывел следующую зависимость между коэффициентом корреляции r и средней квадратичной погрешностью разностей σ_d :

$$\sigma_d^2 = \sigma_y^2 \left(1 - 2kr \frac{\sigma_x}{\sigma_y} + k^2 \frac{\sigma_x^2}{\sigma_y^2} \right).$$

σ_d равно σ_y , т. е. погрешность средней разности равна

Es erweist sich, dass bei einer Entfernung bis 500 km zwischen den korrelierten Stationen der jährliche Gang des Koeffizienten schwach ausgedrückt ist: die Differenz zwischen dem maximalen und dem minimalen Wert erreicht grösstenteils nicht 0.1 und übersteigt nur in Ausnahmefällen 0.15. Bei Entfernungen nicht unter 500 km steigt die Differenz zwischen dem maximalen und dem minimalen Wert mit der Entfernung.

Ein gleicher jährlicher Gang wurde von Gorczyński auch für den Korrelationskoeffizienten zwischen den Schwankungen der Monatsmittel der Temperatur gefunden ¹⁾.

Oben sahen wir, dass die Veränderlichkeit der Differenzen des mittleren monatlichen Luftdrucks im allgemeinen den gleichen jährlichen Gang aufweist, wie der Korrelationskoeffizient: im Sommer ist sie geringer, im Winter grösser, obwohl man erwarten könnte, dass ihr Gang dem Gang des Koeffizienten entgegengesetzt sein müsste. Dasselbe wurde auch in betreff des jährlichen Ganges der Differenzen der Monatsmittel der Temperatur festgestellt ²⁾.

In folgender Tabelle führe ich den mittleren quadratischen Fehler der Differenzen der Monatsmittel des Luftdrucks ($\sigma_d = \sqrt{\frac{\sum \Delta^2}{n}}$) für 4 Stationenpaare, die nicht über 350 km von einander entfernt sind, an.

Die Abweichung des jährlichen Ganges des mittleren quadratischen Fehlers der Differenzen von dem Gange des Korrelationskoeffizienten tritt noch schärfer hervor, als die Abweichung des Ganges der mittleren Veränderlichkeit der Differenzen. Der Grund dieses scheinbaren Widerspruchs besteht offenbar darin, dass die Gradienten des mittleren Luftdrucks im Winter einerseits grösser sind, als im Sommer, was bedeutendere mittlere Abweichungen der Differenzen der Monatsmittel des Luftdrucks zur Folge hat, andererseits die positiven, sowie die negativen Anomalien des Luftdrucks im allgemeinen im Winter sich auf bedeutend umfangreichere Flächen, als im Sommer erstrecken, was auch im jährlichen Gange des Korrelationskoeffizienten sich offenbart.

Е. С. Кузнецов ³⁾ hat folgende Abhängigkeit zwischen dem Korrelationskoeffizienten r und dem mittleren quadratischen Fehler der Differenzen σ_d hergeleitet:

$$\sigma_d^2 = \sigma_y^2 \left(1 - 2kr \frac{\sigma_x}{\sigma_y} + k^2 \frac{\sigma_x^2}{\sigma_y^2} \right).$$

σ_d ist gleich σ_y , d. h. der Fehler der mittleren Differenz ist

¹⁾ W. Gorczyński. L. c. Str. 179.

²⁾ Е. Рубинштейн. L. c.

³⁾ Е. С. Кузнецов. Глава „Осадки“ (часть методологическая) в труде Р. Э. Давида и Е. С. Кузнецова „Климат Нижнего Поволжья“, ч. 1-я. Труды Нижне-Волжского Областного Метеорологического Бюро. Саратов. 1927.

¹⁾ W. Gorczyński. L. c. P. 179.

²⁾ E. Rubinstein. L. c.

³⁾ E. S. Kusnezow. Das Kapitel über Niederschlag (methodischer Teil) in der Arbeit von R. E. Dawid und E. S. Kusnezow „Das Klima im Gebiet des Unterlaufs der Wolga“. T. I. Arbeiten des Meteorologischen Büros des Gebiets der Untern Wolga. Ssaratow. 1927 (russisch).

Сравнение двух критериев для оценки степени однородности рядов наблюдений.

Vergleich zweier Kriterien zur Feststellung der Homogenität zweier Beobachtungsreihen.

НАЗВАНИЯ СТАНЦИЙ И АБСОЛЮТНЫЕ ВЫСОТЫ (В СКОБКАХ)	Расстояние Entfernung	Январь Januar	Февраль Februar	Март März	Апрель April	Май Mai	Июнь Juni	Июль Juli	Август August	Сентябрь September	Октябрь Oktober	Ноябрь November	Декабрь Dezember	Год Jahr	НАМЕН DER STATIONEN U. SEEHÖHEN DER BAROMETER (IN KLAMMERN)
Томск (123.3) — Барнаул (158.1)	365	0.949	0.942	0.955	0.822	0.930	0.908	0.892	0.837	0.914	0.980	0.973	0.933	0.896	Tomsk (123.3) — Barnaul (158.1)
г — по данным наблюд.		0.657	0.561	0.627	0.608	0.635	0.567	0.602	0.641	0.663	0.610	0.630	0.603	0.619	г — nach Beobachtungen
г — предельное		1.04	0.97	0.90	0.78	0.45	0.40	0.47	0.56	0.55	0.61	0.78	1.04	0.29	г — minim.
V _d		1.98	2.21	2.02	1.14	0.98	0.87	0.93	0.91	1.08	1.79	2.20	2.32	0.50	V _d
V _B															V _B
Москва (164.2) — Семетсчино (129.6)	400	0.980	0.983	0.983	0.951	0.899	0.931	0.894	0.932	0.851	0.955	0.972	0.977	0.925	Moskau (164.2) — Semettschino (129.6)
г — по данным наблюд.		0.502	0.484	0.526	0.552	0.530	0.500	0.573	0.618	0.560	0.528	0.510	0.538	0.500	г — nach Beobachtungen
г — предельное		0.76	0.91	0.78	0.76	0.58	0.55	0.69	0.62	0.74	0.94	0.78	0.86	0.24	г — minim.
V _d		3.99	4.81	3.98	1.92	1.52	1.73	1.19	1.12	2.29	2.87	3.31	3.71	0.68	V _d
V _B															V _B
Ленинград (4.8) — Москва (164.2)	650	0.948	0.942	0.954	0.862	0.906	0.841	0.871	0.797	0.910	0.888	0.941	0.948	0.891	Leningrad (4.8) — Moskau (164.2)
г — по данным наблюд.		0.478	0.496	0.512	0.553	0.544	0.444	0.616	0.618	0.542	0.598	0.540	0.542	0.556	г — nach Beobachtungen
г — предельное		1.20	1.57	1.33	1.26	0.78	0.84	0.87	1.09	1.17	1.83	1.09	1.20	0.31	г — minim.
V _d		3.84	4.58	4.06	2.23	1.73	1.70	1.46	1.46	2.62	3.25	3.29	3.96	0.67	V _d
V _B															V _B
Киев (182.9) — Москва (164.2)	700	0.680	0.782	0.891	0.704	0.381	0.739	0.433	0.756	0.713	0.857	0.659	0.859	0.619	Kiew (182.9) — Moskau (164.2)
г — по данным наблюд.		0.704	0.642	0.768	0.624	0.699	0.722	0.746	0.692	0.795	0.726	0.683	0.672	0.736	г — nach Beobachtungen
г — предельное		2.66	2.89	2.17	1.68	1.55	1.09	1.41	1.02	1.87	1.67	2.59	2.04	0.53	г — minim.
V _d		3.84	4.58	4.06	2.23	1.73	1.70	1.46	1.46	2.62	3.25	3.29	3.96	0.67	V _d
V _B															V _B

погрешности не приведенной средней величины приводимого ряда, когда $r = \frac{k}{2} \cdot \frac{\sigma_x}{\sigma_y}$. Таким образом, при $r > \frac{k}{2} \cdot \frac{\sigma_x}{\sigma_y}$ получается $\sigma_d > \sigma_x$ и, следовательно, приведение короткого ряда к длинному увеличивает точность средней величины. В нашем случае, имея дело с давлением воздуха, можно, при небольших разностях абсолютных высот станций, $k = \frac{\sum Y_i}{\sum X_i}$ принять = 1.00.

В таблице XI (стр. 49) привожу для тех же четырех пар станций, для которых выше дано σ_d , предельную величину коэффициента корреляции $= \frac{k}{2} \cdot \frac{\sigma_x}{\sigma_y}$ при значениях r , выше которых приведение короткого ряда уточняет результат. Здесь же помещены и вычисленные по данным наблюдений величины r . Кроме того даются V_d , т. е. средняя изменчивость разностей для каждой пары станций и V_B — средняя изменчивость средних приводимой станции.

Так как очевидно, что точность приведения будет больше, если приводится ряд, обладающий меньшей изменчивостью, к ряду с большей изменчивостью, то в табличке даны предельные величины r при предположении, что приводиться будут данные станций с большей изменчивостью. При расстоянии между приводимой и опорной станциями до 400 км предельная величина коэффициента корреляции меньше 0.7, а при расстоянии в 700 км (Киев — Москва) она для ряда месяцев колеблется от 0.7 до 0.8.

Предельные величины r не обнаруживают правильного годового хода. Из приведенной таблички усматривается, что в летние месяцы, при расстояниях, превышающих 400 км, коэффициент корреляции по наблюдаемым данным меньше, чем в зимние, но в то же время наименьшие величины r , при которых приведение увеличивает точность месячных средних давления, в летние месяцы больше, чем в зимние. Следовательно, приведение средних за летние месяцы в меньшей степени увеличивает точность результатов, чем в зимние. К такому же выводу приводит и сопоставление V_d с V_B , т. е. средней изменчивости разностей со средней изменчивостью ряда приводимой станции. В летние месяцы точность средних месячных при одинаковой продолжительности рядов наблюдений больше, чем в зимние месяцы, но приведение к длинным периодам, по мере увеличения расстояния между приводимой и опорной станциями, становится все менее выгодным. На примере Киев-Москва видим, что и при расстоянии между станциями в 700 км приведение короткого ряда к длинному периоду может не достигать цели не только в летние, но и в зимние месяцы.

дем Fehler des nicht reduzierten mittleren Wertes der zu reduzierenden Reihe gleich, wenn $r = \frac{k}{2} \cdot \frac{\sigma_x}{\sigma_y}$. Wenn $r > \frac{k}{2} \cdot \frac{\sigma_x}{\sigma_y}$, erhält man $\sigma_d > \sigma_y$ und folglich wird durch die Reduktion der kurzen auf eine längere Reihe grössere Genauigkeit des mittleren Wertes erzielt. In unserem Falle können wir, da wir es mit dem Luftdruck zu tun haben, bei geringen Differenzen der Seehöhen der Stationen $k = \frac{\sum Y_i}{\sum X_i} = 1.00$ annehmen.

In der Tabelle XI (S. 49) führe ich für dieselben 4 Stationspaare, für welche oben σ_d gegeben ist, die Grenzwerte der Korrelationskoeffizienten für Werte von r an, bei deren Überschreitung die Reduktion der kurzen Reihe genauere Resultate ergibt. Hier sind auch die nach den Daten der Beobachtungen berechneten Werte r angeführt. Ausserdem wird V_d gegeben d. h. die mittlere Veränderlichkeit der Differenzen für jedes Stationenpaar und V_B — die mittlere Veränderlichkeit der Mittel der zu reduzierenden Station.

Da offenbar die Genauigkeit einer Reduktion grösser sein wird, wenn eine Reihe mit einer kleineren Veränderlichkeit auf eine Reihe mit einer grösseren Veränderlichkeit reduziert wird, sind in der Tabelle XI die Grenzwerte von r angegeben, unter der Voraussetzung, dass die Daten von Stationen mit grösserer Veränderlichkeit auf Reihen mit geringerer Veränderlichkeit reduziert werden. Bei einer Entfernung zwischen einer zu reduzierenden und einer Bezugsstation bis 400 km ist der grösste Wert des Korrelationskoeffizienten unter 0.7, bei einer Entfernung von 700 km aber (Kiew-Moskau) schwankt er für eine Reihe von Monaten von 0.7 bis 0.8.

Die Grenzwerte von r weisen keinen regelmässigen jährlichen Gang auf. Aus der angeführten Tabelle ist zu ersehen, dass bei Entfernungen, welche 400 km übersteigen, der nach den beobachteten Daten berechnete Korrelationskoeffizient in den Sommermonaten geringer ist, als im Winter, gleichzeitig aber ist der Grenzwert des r , bei welchem eine Reduktion die Genauigkeit der Monatsmittel des Luftdrucks vergrössert, in den Sommermonaten grösser als in den Wintermonaten. Folglich vergrössert eine Reduktion der Mittel in den Sommermonaten in geringerem Maasse die Genauigkeit der Resultate, als im Winter. Zu derselben Schlussfolgerung führt eine Vergleichung von V_d mit V_B , d. h. der mittleren Veränderlichkeit der Differenzen mit der mittleren Veränderlichkeit einer Reihe der zu reduzierenden Station. In den Sommermonaten ist die Genauigkeit der Monatsmittel bei gleicher Dauer der Beobachtungsreihen grösser, als in den Wintermonaten, doch wird die Reduktion auf lange Perioden mit wachsender Entfernung zwischen der zu reduzierenden und der Bezugsstation weniger vorteilhaft. Wie man aus dem Beispiel Kiew-Moskau ersieht, kann auch bei einer Entfernung von 700 km zwischen den Stationen die Reduktion einer kurzen Reihe auf eine lange Periode nicht nur in den Sommermonaten, sondern auch im Winter ihren Zweck nicht immer erreichen.

VI

Приведение давления воздуха к уровню моря

Карты распределения приведенного к уровню моря среднего месячного и годового давления воздуха строятся главным образом с целью получения правильного представления о циркуляции в нижнем слое атмосферы на такой высоте над поверхностью земли, где влияние рельефа и местных топографических условий в узком толковании не является решающим в отношении направления ветра. Предложено называть определяемый таким образом ветер «геострофическим». Возможно было бы и нахождение скорости его по средним изобарам, если бы градиенты, представляемые средними изобарами, соответствовали средним барометрическим градиентам над данной территорией, что имело бы место лишь в том случае, если бы действительный градиент постоянно был направлен в одну и ту же сторону и скорость ветра совершенно не зависела от вертикальной циркуляции. Однако, как известно, ни то ни другое условие не выполнено. Средние изобары утрачивают свое значение там, где они не отражают преобладающих над данной местностью воздушных течений свободных от влияния местных топографических условий.

Особенности рельефа и топографические условия вообще вызывают циркуляцию с суточной периодичностью—горные и долинны ветры, бризы. По существу дела изобары, построенные по средним суточным величинам давления, не должны отражать циркуляции с суточной периодичностью: они должны нам дать представление о преобладающих ветрах, исключая ветры с суточной периодичностью. Ввиду этого мною сделана попытка построить по наблюдениям, а не только схематически, карты распределения преобладающего направления ветра для СССР после исключения бризов. Эти карты наложены на карты средних изобар в прилагаемом к настоящей монографии атласе; подробнее о них будет сказано в части труда, посвященной направлению ветра.

Из изложенного видно, какие цели должно преследовать приведение среднего давления к уровню моря. Оно должно переносить направление барометрических градиентов, от которых зависит направление геострофического ветра, не зависящего от местного рельефа и местных географических условий, на уровень океана. Если эта цель для данной территории не достигается, построение средних изобар на уровне океана для нее теряет смысл и во всяком случае нуждается в оговорках.

Нет необходимости доказывать, что искажение направления градиента, приведением к уровню моря, может зависеть лишь в малой степени от неточности барометрической формулы, если она берется в том виде, как ее дает, напр. Рюльман, а не в упрощенном виде.

При значительных высотах станций над уровнем моря, превышающих 500 м, приведением искажается направление градиента, главным образом, вследствие неточности в определении средней температуры и отчасти средней абсолютной влажности и поэтому главное внимание и должно быть направлено на уточнение соответствующих аргументов, входящих в барометрическую формулу. Из работ,

VI

Reduktion des Luftdruckes auf das Meeresniveau

Die Karten der auf das Meeresniveau reduzierten Monats- und Jahresmittel des Luftdrucks haben zum Zweck eine richtige Vorstellung über die Zirkulation in der unteren Schicht der Atmosphäre zu geben und zwar in einer Höhe über der Erdoberfläche, wo der Einfluss des Reliefs und der lokalen topographischen Bedingungen im engeren Sinne auf die Windrichtung zurücktritt. Der so aufgefasste Wind wird als „geostrophischer“ bezeichnet. Seine Geschwindigkeit liesse sich nach den mittleren Isobaren bestimmen, wenn die nach denselben abgelesenen Gradienten den mittleren Gradienten auf dem gegebenen Territorium entsprechen würden, was aber nur in dem Falle zutreffen würde, wenn der wahre Gradient beständig dieselbe Richtung hätte und die Windgeschwindigkeit von der vertikalen Zirkulation absolut unabhängig wäre. Indes, wie bekannt, ist weder die eine noch die andere Bedingung erfüllt. Die mittleren Isobaren verlieren ihre Bedeutung dort, wo sie mit den über dem gegebenen Terrain vorherrschenden, vom Einfluss lokaler topographischer Bedingungen freien Luftströmungen nicht im Einklang sind.

Die Eigentümlichkeiten des Reliefs und topographischer Bedingungen überhaupt bringen eine Zirkulation mit täglicher Periode zu stande—Berg und Talwinde, Brisen. Die Isobaren, die nach den Tagesmitteln des Luftdrucks konstruiert sind, können, wie sich von selbst versteht, keine Hinweise auf die Zirkulation mit einer täglichen Periode enthalten: sie sollen bloss eine Vorstellung über die vorherrschenden Winde geben, mit Ausschluss der Winde mit täglicher Periode. Es schien daher geboten einen Versuch zu machen Karten der Verteilung der vorherrschenden Windrichtung für USSR mit Ausschluss von Brisen nach Beobachtungen und nicht nur schematisch zu konstruieren. Die so erhaltene Windverteilung ist auf den Karten der mittleren Isobaren abgebildet, die in dem dieser Arbeit beigelegten Atlas enthalten sind. Genaueres darüber wird in dem der Windrichtung gewidmeten Teil dieser Arbeit mitgeteilt.

Aus dem Gesagten ist zu ersehen, was die Reduktion des mittleren Luftdrucks auf das Meeresniveau bezwecken soll. Sie soll die Richtung der Luftdruckgradienten, von welchen die Richtung des geostrophischen Windes abhängt, d. h. des Windes, der vom lokalen Relief und von lokalen geographischen Bedingungen unabhängig ist, auf das Meeresniveau übertragen. Wenn dieses Ziel für das gegebene Territorium nicht erreicht wird, verliert die Konstruktion der mittleren Isobaren auf dem Meeresniveau für dasselbe jeden Sinn, oder zum wenigsten sind in solchem Falle wesentliche Einschränkungen notwendig.

Es bedarf keines Beweises, dass eine Entstellung der Richtung des Gradienten durch die Reduktion auf das Meeresniveau nur im geringen Maasse von einer Ungenauigkeit der barometrischen Formel abhängen kann, etwa in der Form, wie sie von Rühlmann gegeben ist, und, wenn keine vereinfachte Formel benutzt wird.

Bei bedeutenden Seehöhen der Stationen (über 500 m) wird die Richtung des Gradienten hauptsächlich durch eine Ungenauigkeit in der Bestimmung der mittleren Temperatur und teilweise der absoluten Feuchtigkeit abgelenkt und deshalb muss das grösste Gewicht auf die Exaktheit der entsprechenden Argumente, die in die barometrische Formel eingehen, gelegt werden. Unter allen dieser Frage gewid-

посвященных этому вопросу, занимают первое место исследования Hann'a по определению вертикальных температурных градиентов и изыскания Bigelow по определению действительных барометрических градиентов в горных районах.

Раньше чем перейти к выводам названных ученых, скажу несколько слов о том, по какому пути надлежало бы идти к разрешению задачи в том виде, как она формулирована выше.

Для того, чтобы можно было судить, действительно ли приведение давления к уровню моря отвечает требованию о сохранении направления градиента, имеющего место непосредственно над горным массивом, необходимо установление этого градиента. Простейший случай будем иметь, если поверхность горного массива не имеет впадин и препятствий, задерживающих отток воздуха, охлажденного вследствие лучеиспускания, или нагретого вследствие действия солнечной радиации, а также приток воздуха со стороны. В этом случае, имея станцию на вершине или на открытом склоне горного массива, было бы достаточно сделать приведение данных для станций у подножья массива к высоте станции на самом массиве, опираясь при вычислении средней температуры и абсолютной влажности на градиенты в свободной атмосфере. Задача осложняется в том случае, если на поверхности горного массива имеются впадины и станция, давление которой требуется привести к уровню моря, лежит в одной из таких вогнутостей рельефа. В таком случае для определения барометрического градиента, от которого зависит направление геострофического ветра, необходимо сделать приведение к уровню, находящемуся выше главнейших преград для движения воздуха над массивом, притом привести к этому уровню следует как данные верхней станции, так и данные станций у основания массива, опираясь на действительные вертикальные градиенты температуры и абсолютной влажности в свободной атмосфере, а не у поверхности земли.

В своем большом труде о давлении воздуха в Северной Америке, Frank H. Bigelow¹⁾ посвящает обширную главу вопросу о приведении давления к уровню моря и подробно останавливается на приведении данных для возвышенностей, в особенности для плато. Он дает разбор исследований по этому вопросу Ferrel'a, Hazen'a и Morril'a и пытается найти решение, которое бы обеспечило в каждом отдельном случае, при приведении давления, учет температурного градиента, соответствующего свободной атмосфере в районе возвышенности. Наибольшее затруднение, как видно из сказанного выше, встречается в случае, если станция находится на плато. Изолированные хребты в гораздо меньшей степени нарушают правильность изменения температуры с высотой, чем плато. Феррель определял поправки на рельеф и принимал для отдельных месяцев одни и те же поправки для всей территории Соединенных Штатов. Против такой унификации поправок Bigelow возражает и не без основания. Он считает необходимым точное определение индивидуальных поправок для станций, расположенных на возвышенностях к западу от долины Миссисипи. Что же касается поправок, найденных Hazen'ом и Morril'ем, то Bigelow, тоже вполне

метен Arbeiten sind von grundlegender Bedeutung Hann's Untersuchungen über die Bestimmung der vertikalen Temperatur-Gradienten und Bigelow's Untersuchungen über die Bestimmung der wahren barometrischen Gradienten in Berg-gegenden.

Bevor wir zu den Schlussfolgerungen der genannten Gelehrten übergehen, möchte ich kurz angeben, welcher Weg, nach meiner Ansicht, einzuschlagen sei, um die Aufgabe in dem Sinne zu lösen, wie sie oben formuliert ist.

Um darüber urteilen zu können, ob eine Reduktion des Luftdruckes auf das Meeresniveau tatsächlich der Forderung entspricht, dass die Richtung des Gradienten, welcher unmittelbar über einem Bergmassiv herrscht, auf das Meeresniveau übertragen werde, muss dieser Gradient festgestellt werden. Der einfachste Fall wäre, wenn die Oberfläche des Bergmassivs keine Vertiefungen und Hindernisse aufweisen würde, die den Abfluss der infolge der Ausstrahlung abgekühlten oder infolge der Insolation erwärmten Luft und den Zufluss der Luft von aussen hemmen würden. Wenn wir eine Station auf einem Gipfel oder auf einem freien Abhang eines Bergmassivs haben, genügt es die Daten für die Stationen am Fusse des Massivs auf die Höhe der Station auf dem Massiv selbst zu reduzieren, wobei man sich bei der Berechnung der mittleren Temperatur und der absoluten Feuchtigkeit auf die Gradienten in der freien Atmosphäre zu stützen hat. Diese Aufgabe wird in dem Falle erschwert, wenn die Oberfläche des Bergmassivs Vertiefungen aufweist und die Station, deren Luftdruck auf das Meeresniveau reduziert werden soll, in einer solchen Vertiefung des Reliefs liegt. In solchem Falle ist es für die Bestimmung des Druckgradienten, von welchem die Richtung des geostrophischen Windes abhängt, erforderlich, eine Reduktion auf dasjenige Niveau auszuführen, welches sich über den hauptsächlichsten Hindernissen der Luftzirkulation über dem Massiv befindet. Dabei sollen auf dieses Niveau sowohl Daten der oberen Station, als auch die der Stationen am Fusse des Massivs mit Benutzung der wahren vertikalen Gradienten der Temperatur und der absoluten Feuchtigkeit in der freien Atmosphäre und nicht an der Erdoberfläche reduziert werden.

In seiner grossen Arbeit über den Luftdruck in Nord-Amerika widmet Frank H. Bigelow¹⁾ ein umfangreiches Kapitel der Frage über die Reduktion des Luftdrucks auf das Meeresniveau und hält sich ausführlich bei der Reduktion der Daten für Gebirge, insbesondere für Plateaus auf. Er analysiert die einschlägigen Untersuchungen von Ferrel, Hazen und Morril und versucht eine Lösung zu finden, welche in jedem einzelnen Falle bei einer Reduktion des Luftdruckes die Berücksichtigung des Temperaturgradienten in der freien Atmosphäre im Rayon des Gebirges sicherstellen würde. Wie aus dem oben Erörterten zu ersehen ist, stellen sich die grössten Schwierigkeiten in dem Falle in den Weg, wenn die Station auf einem Plateau liegt. Isolierte Bergrücken stören in viel geringerem Maasse die Regelmässigkeit der Temperaturänderung mit der Höhe, als ein Plateau. Ferrel bestimmte Korrekturen in bezug auf das Relief und nahm für einzelne Monate dieselben Korrekturen für das ganze Territorium der Vereinigten Staaten an. Bigelow verhält sich ablehnend gegen eine solche Unifikation der Korrektur und wohl mit Recht. Er hält eine genaue Bestimmung der individuellen Korrekturen für die Stationen, welche gegen Westen vom Mississippi auf dem Gebirge liegen, für unerlässlich.

¹⁾ F. H. Bigelow. Report on the barometry of the United States, Canada and the West Indies. Report of the Chief of the Weather Bureau. Volume II. Washington. 1902.

¹⁾ F. H. Bigelow. Report on the barometry of the United States, Canada and the West Indies. Report of the Chief of the Weather Bureau. Volume II. Washington. 1902.

основательно, считает их применение слишком сложным. С целью получить вертикальный температурный градиент для отдельных районов Сев.-Америки, в особенности для гористой западной части страны, Bigelow сгруппировал станции по району и по высотным интервалам до 10000 ф. высоты и отнес каждую из полученных им 18 групп к определенному центру. Для районов, представляемых отдельными центрами, были вычерчены кривые падения температуры для каждого месяца, а также составлены таблицы, в которых даны вертикальные градиенты температуры. Для месяцев холодного сезона в горных районах принята во внимание и существующая там инверсия температуры. Для ряда пунктов вычислены — с целью сравнения — градиенты в свободной атмосфере по наблюдениям при помощи шаров зондов и змеев.

Для станций, расположенных на плато, Bigelow вводит предложенные Феррелем поправки на рельеф, но определяет эти поправки для каждой станции особо, пользуясь своими таблицами вертикальных градиентов температуры.

Для горных районов СССР я не мог собрать достаточно наблюдений, чтобы для каждого района установить вертикальные температурные градиенты. Данных о температуре в свободной атмосфере на разных высотах у нас для горных районов имеется весьма мало, в частности, их нет совершенно для Кавказа.

Таким образом, к сожалению, за недостатком аэрологических данных в горных районах СССР, поставленная в начале главы задача еще не может быть точно решена. Мы вынуждены ограничиться приближенным решением ее.

В СССР значительное число метеорологических станций на больших высотах можно встретить лишь на Кавказе; поэтому, с целью несколько осветить затронутый вопрос, воспользуюсь главным образом данными для этого края.

Приведение среднего давления воздуха за летние месяцы обычным способом дает на уровне моря минимум давления в районе Малого Кавказа, в зимние же месяцы в этом районе на уровне моря получается максимум давления. Мною построены для Кавказа изобары также для высот 1000 м и 1500 м. Изобары как на высоте 1000 м, так и 1500 м тоже указывают на наличие на этих высотах над районом Малого Кавказа летом минимума давления, тогда как в районе Главного Кавказского хребта давление повышенное. Зимой же над Малым Кавказом располагается максимум давления. Из этого можно было бы заключить, что изобары на уровне моря в общем правильно отражают характер распределения среднего давления воздуха как зимой, так и летом на плоскогорье Малого Кавказа, а, следовательно, и горизонтальную циркуляцию воздуха на нем. Однако, может возникнуть вопрос, не является ли полученная для нагорья картина распределения приведенного к уровню моря давления результатом искажения изобар вследствие неправильного учета температурного режима в районах метеорологических станций, сильно отличающегося здесь от режима в свободной атмосфере.

Was die von Hazen und Morril abgeleiteten Korrekturen anbetrifft, so findet Bigelow, ebenfalls zutreffend, ihre Anwendung zu kompliziert. Um die vertikalen Temperaturgradienten für einzelne Rayons Nord-Amerikas, insbesondere für den bergigen Teil des Landes, zu erhalten, hat Bigelow die Stationen nach Rayons und nach Höhenintervallen bis 10000 F. Höhe gruppiert und eine jede der von ihm erhaltenen 18 Gruppen auf einen Zentralpunkt bezogen. Für Rayons, deren Vertreter die einzelnen Zentralpunkte sind, wurden Kurven des Temperaturgefälles für jeden Monat gezeichnet und nach ihnen Tabellen zusammengestellt, in denen die vertikalen Temperaturgradienten gegeben waren. Für die Monate der kalten Jahreszeit in Bergrayons wurde die dort herrschende Temperatur-Inversion in Betracht gezogen. Für eine Reihe von Punkten wurden die so erhaltenen Gradienten mit dem Temperaturgefälle in der freien Atmosphäre nach Beobachtungen mit Hilfe von Drachen und Ballons-Sondes zur Kontrolle verglichen.

Die Temperaturmittel der Stationen, die auf Plateaus liegen, reduziert Bigelow nach dem Vorgange von Ferrel auf die Ebene, bestimmt aber dabei für jede einzelne Station besondere Reduktionskorrekturen auf Grund der von ihm berechneten Tabellen des vertikalen Temperaturgefälles.

Für die gebirgigen Rayons der USSR konnten nicht genaue Beobachtungen zusammengetragen werden, um für jeden Rayon vertikale Temperaturgradienten abzuleiten. Wir verfügen bloss über sehr dürftige Temperaturangaben für die freie Atmosphäre in verschiedenen Höhen über gebirgigen Gegenden; solche Angaben fehlen gänzlich für den Kaukasus. Somit kann die eingangs in diesem Kapitel gestellte Aufgabe leider wegen Mangel an aerologischen Daten für gebirgige Gegenden der USSR nicht genau gelöst werden. Wir müssen uns auf eine angenäherte Lösung beschränken.

Eine bedeutendere Anzahl meteorologischer Höhenstationen ist in der USSR nur im Kaukasus zu finden; aus diesem Grunde will ich mich hauptsächlich auf die Daten für dieses Gebirge stützen, indem ich den Versuch mache die oben berührte Frage zu klären.

Die Reduktion des mittleren Luftdrucks für die Sommermonate auf übliche Weise auf das Meeresniveau ergibt ein Minimum des Luftdrucks im Rayon des Kleinen Kaukasus, in den Wintermonaten aber erhält man für dieses Hochland im Meeresniveau ein Maximum des Luftdrucks. Ich habe für den Kaukasus Isobaren auch für die Höhen von 1000 m und 1500 m entworfen. Die Isobaren in einer Höhe von 1000 m, wie auch 1500 m, weisen ebenfalls auf das Vorhandensein im Sommer eines Tiefs in diesen Höhen über dem Kleinen Kaukasus hin, während im Rayon des Kaukasischen Hauptbergrückens ein Hoch lagert. Im Winter sehen wir dagegen über dem Kleinen Kaukasus ein Hoch. Daraus darf man schliessen, dass die Isobaren im Meeresniveau im allgemeinen den Charakter der Verteilung des mittleren Luftdrucks im Winter, wie auch im Sommer auf dem Armenischen Hochlande richtig widerspiegeln und folglich auch die horizontale Zirkulation der Luft auf demselben durch die Isobaren nicht wesentlich entstellt wird. Jedoch kann die Frage aufgeworfen werden, ob das für das Gebirge erhaltene Bild der Verteilung des Luftdrucks im Meeresniveau nicht ein Resultat der fehlerhaften Uebertragung der Isobaren auf das Meeresniveau infolge mangelhafter Schätzung des Temperaturregimes in Rayons meteorologischer Stationen ist, um so mehr, da sich die Temperaturverhältnisse im Gebirge hier nicht unerheblich von denjenigen in der freien Atmosphäre unterscheiden.

Для проверки можно воспользоваться данными о вертикальных температурных градиентах лишь для Средней Европы, так как для Кавказского края таких данных не имеется.

Возьмем данные о вертикальном температурном градиенте для Павии и Мюнхена и приведем наблюдения Ново-Баязета (1963.8 м), Еленовки (1934 м), Джаджур (1837.0 м), Эривани (996.0 м), Гудаура (2207 м), Тифлиса (403.8 м) и Кисловодска (821.4 м) к высоте 2500 м над уровнем моря. Ново-Баязет, Еленовка, Джаджур и Эривань расположены на нагорье, Тифлис в долине Куры, Гудаур на южном склоне Главного Хребта, Кисловодск на северной его стороне. При приведении были взяты следующие температурные градиенты, найденные для свободной атмосферы в районе Альп:

Für die Kontrolle stehen nur für Mitteleuropa Daten über die vertikalen Temperaturgradienten zur Verfügung, für den Kaukasus sind solche Daten nicht vorhanden. Das vertikale Temperaturgefälle habe ich nach den Daten für Pavia und München genommen und mit diesen Gradienten die Beobachtungen von Nowo-Bajaset (1963.8 m), Elenowka (1934 m), Dshadshur (1837.0 m), Eriwan (996.0 m), Gudaур (2207 m), Tiflis (403.8 m) und Kislowodsk (821.4 m) auf die Höhe 2500 m über dem Meeresniveau reduziert. Nowo-Bajaset, Elenowka, Dshadshur und Eriwan liegen auf einer Hochebene, Tiflis im Kuratal, Gudaур auf dem südlichen Abhang des Hauptbergrückens, Kislowodsk auf seiner nördlichen Seite. Bei der Reduktion wurden folgende für die freie Atmosphäre im Rayon der Alpen gefundenen Temperaturgradienten berücksichtigt.

Высота над уровнем моря Seehöhe	Январь Januar	Февраль Februar	Март März	Апрель April	Май Mai	Июнь Juni	Июль Juli	Август August	Сентябрь September	Октябрь Oktober	Ноябрь November	Декабрь Dezember	Год Jahr
Метры Meter													
400—2000	0.3	0.3	0.5	0.6	0.5	0.6	0.5	0.6	0.5	0.5	0.5	0.5	0.4
2000—3000	0.5	0.5	0.6	0.7	0.6	0.6	0.6	0.6	0.6	0.5	0.6	0.6	0.6
3000—4000	0.5	0.6	0.6	0.6	0.6	0.5	0.5	0.5	0.6	0.5	0.6	0.6	0.6

Приведенные к высоте 2500 м средние величины давления воздуха получились следующие:

Für das Niveau von 2500 m ergaben sich folgende reduzierte Luftdruckwerte:

СТАНЦИИ	Январь Januar	Февраль Februar	Март März	Апрель April	Май Mai	Июнь Juni	Июль Juli	Август August	Сентябрь September	Октябрь Oktober	Ноябрь November	Декабрь Dezember	Год Jahr	STATIONEN
	mm	mm	mm	mm	mm	mm	mm	mm	mm	mm	mm	mm	mm	
Ново-Баязет	560.6	561.1	561.3	562.8	565.3	565.9	566.4	567.4	567.5	567.6	564.8	562.6	564.4	Nowo-Bajaset
Еленовка	560.5	560.9	561.0	562.3	565.0	565.6	566.1	567.1	567.4	567.6	564.7	562.5	564.2	Elenowka
Эривань	559.4	560.3	561.3	562.9	566.0	565.8	566.1	567.1	567.5	568.0	564.5	562.2	564.5	Eriwan
Джаджур	559.7	559.8	559.9	561.2	564.1	564.8	565.3	566.4	566.8	566.8	563.8	561.8	563.4	Dshadshur
Тифлис	559.7	560.5	560.8	562.2	565.1	566.1	567.0	567.7	567.7	567.1	563.4	560.8	564.3	Tiflis
Гудаур	560.0	560.5	560.9	562.2	565.1	565.9	566.6	567.6	567.6	567.4	564.3	562.1	564.2	Gudaур
Кисловодск	556.6	557.2	558.2	560.5	564.3	564.9	566.0	566.7	565.8	564.7	560.8	558.3	562.1	Kislowodsk

Годовой ход давления на высоте 2500 м сильно отличается от годового хода на уровне моря: максимум осенью, минимум в январе, но распределение давления в отдельные месяцы на указанной высоте характеризуется в зимние месяцы повышенным давлением над Малым Кавказом и во вторую половину лета пониженным давлением над названным горным массивом. Зимой в долины стекает охлажденный на более или менее значительных высотах воздух с гор и, наоборот, летом наблюдается переливание нагретого над долинами воздуха в сторону гор. Эти процессы, как отмечено выше, сказываются на годовом ходе давления на высотах. Что же касается распределения давления воздуха над горной страной в целом, то там, где долина упирается в нагорье или плато, циркуляция осложняется, так как летнее нагревание и зимнее охлаждение происходят на плато еще более интенсивно чем над долиной.

Der jährliche Gang des Luftdruckes in der Höhe von 2500 m unterscheidet sich sehr wesentlich vom jährlichen Gang im Meeresniveau, das Maximum wird im Herbst erreicht, das Minimum im Januar, doch wird die Luftdruckverteilung in der angegebenen Höhe über dem Armenischen Hochland durch ein Hoch in den Wintermonaten und ein Tief im Hochsommer charakterisiert. Im Winter fließt von der Höhe abgekühlte Luft in die Täler und, andererseits, steigt im Sommer erwärmte Luft von den Tälern in die Höhe entlang den Talhängen. Diese Prozesse machen sich, wie oben erwähnt, im Jahresgang des Luftdrucks in der Höhe bemerkbar. Was aber die Verteilung des Luftdrucks über einer Gebirgsgegend im allgemeinen betrifft, so ist die Zirkulation dort, wo das Tal an eine Hochebene oder ein Plateau grenzt, komplizierter, da die Erwärmung im Sommer und die Abkühlung im Winter auf einem Plateau noch stärker sein kann als über einem Tal.

Приведенные данные и соображения говорят за то, что средние изобары на уровне моря для Кавказа позволяют в общих чертах ориентироваться относительно направления барометрических градиентов на высотах, а вместе с тем и относительно общей циркуляции на горных массивах. Правда, для высоты 2500 м получились в свободной атмосфере, вообще говоря, малые градиенты, но изменения приведенных к этой высоте величин давления по месяцам по своему характеру исключают возможность сильного искажения картины распределения давления, а вместе с тем и направления градиентов.

Нанн, весьма много уделивший внимания изучению вертикальных температурных градиентов в горных странах, в одной из последних своих работ по этому вопросу указывает на то, что к правильному выводу можно прийти лишь, сопоставляя данные для открыто расположенных станций на вершинах или склонах гор с одной стороны и на небольших высотах с другой¹⁾. Сделав такие сопоставления для пар станций, открыто расположенных на разных высотах в горных странах Европы, Северной и Южной Америки, а также Индии, он пришел к выводу, что вертикальный градиент температуры в горных странах в течение года мало меняется и вообще мало отличается от 0.6° на 100 м. К такому же выводу в отношении вертикального температурного градиента зимних месяцев мы приходим на основании данных для степного района Европ. части СССР по наблюдениям станций, расположенных на разных высотах, впрочем не превышающих 300 м¹⁾. Спрашивается, какую величину вертикального температурного градиента следует принять для того, чтобы изобары Кавказа на уровне моря позволяли ориентироваться относительно циркуляции воздуха над этой горной страной.

В нижеследующей таблице XII даются приведенные к уровню моря с различными градиентами температуры средние месячные величины давления для станций, расположенных на различных высотах как на Малом Кавказе так и в долине Куры и на склонах Главного Хребта. Приведение сделано для градиентов от 1.0° до 0.2° , а также, принимая для уровня моря приведенные температуры станций Кюрдамир (8 м), Ново-Николаевка (0 м), Сальяны (17 м), Тифлис (403,8 м), Караязы (305 м) и Налчик (513 м).

Из этой таблицы усматривается, что в январе результат приведения к уровню моря в зависимости от того, какой будет принят вертикальный градиент температуры, может меняться в пределах до 8—9 мм, но направление градиента давления в общем сохраняется то же независимо от принимаемого температурного градиента. Если для уровня моря температура определяется по станциям, расположенным на небольших высотах, то результат приведения давления к уровню моря получается соответствующий приведению с градиентом 0.6° до 0.4° .

В мае в зависимости от температурного градиента результат приведения давления к уровню моря может меняться в пределах до 7 мм, но переходный характер распределения давления сохраняется независимо от того, какой будет принят градиент температуры. В этом месяце

Die angeführten Daten und Betrachtungen sprechen dafür, dass die mittleren Isobaren in Meeresniveau im Kaukasus gestatten, sich über die Richtung der Druckgradienten in der Höhe und zugleich über die allgemeine Zirkulation über den Bergmassiven in grossen Zügen zu orientieren. Freilich wurden für die Höhe von 2500 m in der freien Atmosphäre geringe Gradienten erhalten, doch, nach dem Charakter der Änderung der auf diese Höhe reduzierten Luftdruckmittel von Monat zu Monat zu urteilen, kann von einer wesentlichen Entstellung der Luftdruck-Verteilung und somit auch der Gradienten keine Rede sein.

Hann, der dem Studium der vertikalen Temperatur-Gradienten in Gebirgsgegenden viel Aufmerksamkeit gewidmet hat, weist in einer seiner letzten diese Frage betreffenden Arbeiten darauf hin, dass man nur dann zu einer richtigen Schätzung der bezüglichen Beobachtungsergebnisse gelangen kann, wenn man die Daten für frei liegende Stationen auf Gipfeln oder Bergabhängen einerseits und in geringen Höhen andererseits vergleicht¹⁾. Nachdem er solche Vergleiche für in verschiedenen Höhen frei liegende Stationenpaare in Gebirgsgegenden Europas, Nord- und Süd-Amerikas, wie auch Indiens ausgeführt hatte, kam er zu dem Schlusse, dass sich der vertikale Gradient der Temperatur in gebirgigen Ländern im Laufe des Jahres wenig ändert und sich überhaupt wenig von 0.6° auf 100 m unterscheidet. Zu derselben Schlussfolgerung in betreff des vertikalen Temperatur-Gradienten der Wintermonate gelangen wir auf Grund von Daten für Steppenrayons im Europäischen Teil der USSR nach Beobachtungen von Stationen, die in verschiedenen, jedoch nicht 300 m übersteigenden Höhen liegen¹⁾. Es fragt sich, wie grosses vertikales Temperaturgefälle wäre anzunehmen, damit die Isobaren des Kaukasus im Meeresniveau gestatten, sich in betreff der Luftzirkulation über dieser Gebirgsgegend zu orientieren.

In der unten folgenden Tabelle XII werden auf das Meeresniveau mit verschiedenen Gradienten reduzierte Monatsmittel des Luftdrucks für Stationen gegeben, die in verschiedenen Höhen sowohl auf dem Armenischen Hochlande, als auch in dem Kuratal und auf den Abhängen des Hauptbergrückens liegen. Die Reduktion ist für Gradienten von 1.0° bis 0.2° ausgeführt und ausserdem noch mit Gradienten, die erhalten werden, wenn man für das Meeresniveau die reduzierten Temperaturen der Stationen Kürdamir (8 m), Novo-Nikolaewka (0 m), Ssaljany (17 m), Tiflis (403.8 m), Karajasy (305 m) und Naltschik (513 m) nimmt.

Aus dieser Tabelle ist zu ersehen, dass sich das Resultat der Reduktion auf das Meeresniveau, je nachdem, wie grosses vertikales Temperaturgefälle angenommen wird, im Januar um eine Grösse im Betrage bis 8—9 mm unterscheiden kann, die Richtung des Druckgradienten hängt aber in der Regel vom angenommenen Temperatur-Gradienten nicht ab. Wenn die Temperatur im Meeresniveau nach Stationen, die in unbedeutenden Höhen liegen, bestimmt wird, so wird ein der Reduktion mit dem Gradienten 0.6° bis 0.4° entsprechendes Resultat der Reduktion des Luftdruckes auf das Meeresniveau erhalten.

Im Mai kann sich das Resultat der Reduktion des Luftdruckes auf das Meeresniveau um einen Wert im Betrage bis 7 mm unterscheiden, je nachdem, wie grosses Temperaturgefälle berücksichtigt wird, und dabei kommt doch der Übergangscharakter der Luftdruckverteilung zum Ausdruck,

¹⁾ F. Hann u. R. Süring. Lehrbuch der Meteorologie. 4. Auflage. 1926. Стр. 129.

¹⁾ А. А. Каминский. Климат Воронежской губернии. 1925 г.

¹⁾ J. Hann u. R. Süring. Lehrbuch der Meteorologie. 4. Auflage. 1926. S. 129.

¹⁾ A. Kaminsky. Klima des Gouvernement Woronesh. 1925.

ТАБЛИЦА XII

TABELLE XII

Среднее давление воздуха, приведенное к уровню моря.

Auf das Meeresniveau reduzierter mittlerer Luftdruck.

Падение темп. с высотой на 100 м Vertikales Temperaturgefälle auf 100 m	Ново-Баязет Nowo-Bajaset 1963.8 m	Шуша Schuscha 1365 m	Млеты Mlety 1471 m	Гудаур Gudaur 2207 m	Крестовая Kresstowaja 2388 m	Коби Kobi 1989 m
ЯНВАРЬ—JANUAR	mm	mm	mm	mm	mm	mm
1.0°	766.3	765.4	765.7	762.8	763.6	764.6
0.9°	66.9	65.6	66.0	63.7	64.6	65.3
0.8°	67.6	66.0	66.4	64.5	65.6	66.0
0.7°	68.3	66.3	66.8	65.4	66.7	66.7
0.6°	69.0	66.6	67.2	66.6	67.7	67.4
0.5°	69.7	66.9	67.6	67.1	68.8	68.1
0.4°	70.4	67.2	68.0	68.0	69.8	68.8
0.3°	71.0	67.6	68.4	68.8	70.8	69.5
0.2°	71.8	67.9	68.7	69.7	71.9	70.2
По Кюрдмиру Nach Kürdamir (8 m)	69.8	67.6	67.5	67.9	68.0	—
По Ново-Николаевке Nach Nowo-Nikolaewka (0 m)	69.7	67.6	67.4	67.8	67.9	—
По Сальянам Nach Ssaljany (17 m)	69.6	67.5	67.3	67.7	67.7	—
По Тифлису Nach Tiflis (403.8 m)	—	—	67.2	67.5	67.5	—
По Караязам Nach Karajasy (305 m)	—	—	67.5	68.0	68.0	—
По Нальчику Nach Naltschik (513 m)	—	—	—	—	—	69.2
МАЙ—MAI						
1.0°	758.1	759.5	759.3	758.1	757.0	758.2
0.9°	58.6	59.7	59.6	58.9	57.8	58.8
0.8°	59.2	60.0	59.9	59.7	58.7	59.4
0.7°	59.8	60.3	60.3	60.4	59.6	60.0
0.6°	60.4	60.6	60.6	61.6	60.6	60.6
0.5°	61.0	60.9	60.9	62.0	61.5	61.3
0.4°	61.6	61.2	61.3	62.8	62.4	61.9
0.3°	62.2	61.5	61.6	63.5	63.3	62.5
0.2°	62.8	61.8	62.0	64.4	64.3	63.2
По Кюрдмиру Nach Kürdamir	60.6	60.6	60.2	60.8	—	—
По Ново-Николаевке Nach Nowo-Nikolaewka	60.8	60.7	60.3	61.1	—	—
По Сальянам Nach Ssaljany	60.9	60.8	60.4	61.2	—	—
По Тифлису Nach Tiflis	—	—	60.4	61.2	60.1	—
По Караязам Nach Karajasy	—	—	60.4	61.2	60.1	—
По Нальчику Nach Naltschik	—	—	—	—	—	61.1
ИЮЛЬ—JULI						
1.0°	753.5	755.6	756.0	754.6	753.3	755.0
0.9°	54.0	55.9	56.4	55.3	54.2	55.6
0.8°	54.6	56.2	56.7	56.0	55.0	56.2
0.7°	55.2	56.4	57.0	56.7	55.8	56.8
0.6°	55.7	56.7	57.3	57.8	56.7	57.4
0.5°	56.3	57.0	57.6	58.2	57.6	58.0
0.4°	56.8	57.2	57.9	58.9	58.4	58.5
0.3°	57.4	57.5	58.3	59.7	59.3	59.1
0.2°	58.0	57.8	58.6	60.4	60.2	59.8
По Кюрдмиру Nach Kürdamir	55.7	56.6	56.6	56.7	—	—
По Ново-Николаевке Nach Nowo-Nikolaewka	56.1	56.8	56.9	57.2	—	—
По Сальянам Nach Ssaljany	56.2	56.9	57.0	57.4	—	—
По Тифлису Nach Tiflis	—	—	57.0	57.3	56.2	—
По Караязам Nach Karajasy	—	—	56.9	57.2	56.0	—
По Нальчику Nach Naltschik	—	—	—	—	—	57.7

результат приведения с температурным градиентом, определенным по станциям с небольшими высотами, соответствует по величине приведению с градиентом 0.6° .

В июле характер распределения давления на уровне моря в общем сохраняется тот же, как бы мы ни меняли температурный градиент. Приведение с температурным градиентом, найденным по станциям с небольшими высотами, соответствует приведению с градиентом 0.7° — 0.6° . Результат приведения может меняться в зависимости от величины принимаемого температурного градиента в пределах 7 мм. Существенно важным является то обстоятельство, что во все сезоны, независимо от того, какой берется температурный градиент, характер распределения давления на уровне моря сохраняется и таким образом достигается основная цель построения изобар для уровня моря с нашей точки зрения, изложенной в начале этой главы. Опасение, что вследствие неудачного выбора температурного градиента изобары на уровне моря потеряют всякий смысл, отпадает.

Результаты приведения с температурным градиентом, полученным по станциям, расположенным на небольших высотах, повидимому говорят за то, что, приняв градиент в 0.6° , будем иметь мало искаженные изобары на уровне моря. Так как именно такую величину градиента Нанп нашел для открыто расположенных пар станций, то я на ней и остановился и пользовался ею для всех сезонов при введении данных как по равнинным станциям, так и по станциям в горных районах.

В таблице XIII сопоставлены для ряда станций в Азиатской части СССР и в Манчжурии, расположенных на значительных высотах, результаты приведения среднего месячного давления воздуха к уровню моря с различными вертикальными градиентами температуры.

Нарыnskoe расположено на плато к югу от оз. Иссыкуля, Иркештам на северном склоне Заалайского хребта, Хорог в долине р. Гунт в западной части Памиров, Верхняя Мишиха на северо-западном склоне хребта Хамардабан, обращенном к оз. Байкалу, Хайлар и Мяндухэ в Восточно-Монгольской котловине к западу от Большого Хингана.

Важным обстоятельством, которое выясняется при рассмотрении этой таблицы, является тот факт, что приведение средних месячных давления воздуха к уровню моря для станций в Забайкалье, Восточной Монголии и в Манчжурии лишь в незначительной мере, в особенности в летние месяцы, зависит от того, какой будет принят вертикальный температурный градиент. Ниже более подробно остановлюсь на значении этого факта, здесь же ограничусь лишь указанием на него.

Иркештам и Хорог, расположенные в аналогичных условиях рельефа, увязываются удовлетворительно. Что же касается Нарынского, то в зимний сезон получается тоже удовлетворительная увязка с более южными высокогорными станциями, если температурные градиенты берутся по станциям с небольшими высотами, но в теплый сезон намечается над нагорьем, характеризующим Нарынский, местная депрессия давления воздуха. Реальность этой депрессии пока, за недостатком пунктов с наблюдениями, нельзя с уверенностью установить. На моих картах средних изобар она не обозначена.

гanz abgesehen davon, wie grosses Temperaturgefälle angenommen wird. In diesem Monat entspricht das Resultat der Reduktion mit dem Temperatur-Gradienten, welcher nach Stationen in unbedeutender Höhe bestimmt wurde, dem Wert nach der Reduktion mit dem Gradienten 0.6° .

Im Juli ändert sich der Charakter der Luftdruckverteilung im Meeresniveau im allgemeinen nicht, wie man auch den Temperatur-Gradienten ändert. Die Reduktion mit dem Temperatur-Gradienten, welcher nach Stationen mit geringen Höhen gefunden wurde, entspricht der Reduktion mit dem Gradienten 0.7° — 0.6° . Das Resultat der Reduktion kann zwar je nachdem, welcher Wert des Temperaturgefälles genommen wird, um einen Betrag bis 7 mm variieren. Doch ist von wesentlicher Bedeutung der Umstand, dass in allen Jahreszeiten, unabhängig davon, welcher Temperaturgradient genommen wird, der Charakter der Luftdruckverteilung im Meeresniveau sich nicht ändert und folglich der Hauptzweck der Konstruktion der Isobaren im Meeresniveau von unserem eingangs in diesem Kapitel dargelegten Standpunkt aus erreicht wird. Die Gefahr, dass infolge eines ungünstig gewählten Temperaturgradienten die Isobaren im Meeresniveau jeden Sinn verlieren könnten, ist somit unbegründet.

Die Resultate der Reduktion mit einem Temperatur-Gradienten, der nach Stationen mit kleinen Seehöhen bestimmt wurde, sprechen offenbar dafür, dass die Isobaren im Meeresniveau wenig entstellt werden, wenn das Temperaturgefälle gleich 0.6° genommen wird. Da Hann gerade solchen Gradient für frei liegende Stationenpaare gefunden hat, entschloss ich mich für denselben und reduzierte den Luftdruck für alle Jahreszeiten sowohl für in Ebenen, als auch im Gebirge gelegene Punkte mit diesem Temperaturgefälle.

Die Tabelle XIII enthält für eine Reihe von Stationen im Asiatischen Teil der USSR und in der Mandshurei mit bedeutenden Seehöhen die Resultate der Reduktion der Monatsmittel des Luftdruckes auf das Meeresniveau mit verschiedenen vertikalen Temperatur-Gradienten.

Narynskoe liegt südlich vom See Issykul auf einem Plateau, Irkeschtam auf dem Nordabhang des Saalai-Bergrückens, Chorog im Guntal im westlichen Teil des Pamir, Werchnaja Mischicha auf dem nord-westlichen, dem Baikalsee zugewandten Abhang des Bergrückens Chamardaban, Chailar und Mjanduche im ostmongolischen Kessel westlich vom Grossen Chingan.

Als wichtiges Ergebnis dieser Tabelle erscheint die Begründung der Tatsache, dass die Reduktion der Monatsmittel des Luftdruckes auf das Meeresniveau für die Stationen in Transbaikalien, der westlichen Mongolei und in der Mandshurei nur in unbedeutendem Masse, besonders in den Sommermonaten, davon abhängt, was für ein vertikaler Temperaturgradient angenommen wird. Späterhin werde ich die Bedeutung dieser Tatsache genauer besprechen; hier beschränke ich mich auf die Feststellung derselben.

Irkeschtam und Chorog, deren Lage analog ist, zeigen genügende Übereinstimmung. Was aber Narynskoe betrifft, so ist daselbst die Übereinstimmung im Winter mit südlicheren hochgelegenen Stationen recht gut, wenn die Temperatur-Gradienten nach Stationen mit kleinen Seehöhen genommen werden, doch in der warmen Jahreszeit macht sich über der Hochebene, die durch Narynskoe vertreten wird, ein lokales Tief geltend. Ob dieses Tief tatsächlich existiert, kann wegen Mangel an Beobachtungspunkten zur Zeit nicht sichergestellt werden. Auf den Isobarenkarten ist es nicht angedeutet.

ТАБЛИЦА XIII

TABELLE XIII

Среднее давление воздуха, приведенное к уровню моря
Auf das Meeresniveau reduzierter mittlerer Luftdruck

Падение темп. с высотой на 100 м Vertikales Temperaturgefälle auf 100 m	Нарынское Narynskoe 2031 m	Иркештам Irkeschtam 2850 m	Хорог Chorog 2098 m	Верхняя Мишиха Werchnjaja Mischicha 1290 m	Хайлар Chailar 616 m	Мяндухэ Mjanduche 695 m
ЯНВАРЬ—JANUAR	mm	mm	mm	mm	mm	mm
1.0°	774.8	766.9	771.6	773.7	773.8	772.9
0.9°	75.6	68.4	72.4	74.0	73.9	73.0
0.8°	76.4	69.7	73.2	74.4	74.0	73.1
0.7°	77.1	71.1	74.0	74.7	74.0	73.2
0.6°	77.9	72.6	74.7	75.0	74.1	73.3
0.5°	78.7	74.1	75.5	75.4	74.2	73.4
0.4°	79.5	75.5	76.3	75.7	74.3	73.5
0.3°	80.3	77.0	77.1	76.0	74.4	73.6
0.2°	81.1	78.6	77.9	76.4	74.5	73.8
По Андижану Nach Andishan	78.5	76.6	—	—	—	—
По Намангану Nach Namangan	76.3	76.3	—	—	—	—
По Термезу Nach Termes	—	—	75.3	—	—	—
По Мысовой Nach Myssowaja	—	—	—	75.8	—	—
По Цицикару Nach Zizikar	—	—	—	—	73.3	72.8
МАЙ—MAI						
1.0°	755.0	754.3	756.0	760.7	755.2	755.1
0.9°	55.6	55.5	56.7	61.0	55.3	55.2
0.8°	56.2	56.7	57.3	61.2	55.4	55.2
0.7°	56.8	57.9	58.0	61.5	55.4	55.3
0.6°	57.4	59.2	58.6	61.8	55.5	55.4
0.5°	58.0	60.5	59.3	62.1	55.6	55.5
0.4°	58.7	61.8	59.9	62.3	55.6	55.5
0.3°	59.4	63.0	60.6	62.6	55.7	55.6
0.2°	60.0	64.4	61.3	62.9	55.7	55.7
По Андижану Nach Andishan	57.6	59.6	—	—	—	—
По Намангану Nach Namangan	57.4	59.3	—	—	—	—
По Термезу Nach Termes	—	—	58.8	—	—	—
По Мысовой Nach Myssowaja	—	—	—	62.6	—	—
По Цицикару Nach Zizikar	—	—	—	—	55.4	55.2
ИЮЛЬ—JULI						
1.0°	749.0	749.2	746.2	754.6	752.5	752.1
0.9°	49.6	50.4	46.8	54.8	52.5	52.2
0.8°	50.2	51.6	47.4	55.1	52.6	52.3
0.7°	50.7	52.7	48.0	55.4	52.6	52.3
0.6°	51.3	53.9	48.6	55.6	52.7	52.4
0.5°	51.9	55.2	49.2	55.9	52.8	52.5
0.4°	52.5	56.4	49.9	56.1	52.8	52.5
0.3°	53.2	57.6	50.5	56.4	52.9	52.6
0.2°	53.8	58.8	51.1	56.6	52.9	52.7
По Андижану Nach Andishan	51.7	54.8	—	—	—	—
По Намангану Nach Namangan	51.4	54.4	—	—	—	—
По Термезу Nach Termes	—	—	49.0	—	—	—
По Мысовой Nach Myssowaja	—	—	—	56.8	—	—
По Цицикару Nach Zizikar	—	—	—	—	52.7	52.4

Отмечу еще один вывод, который можно сделать из данных таблицы XIII. Для теплого сезона, вообще говоря, наиболее вероятные величины давления на уровне моря получаются, если берется вертикальный температурный градиент 0.6° , для зимнего же сезона у нас пока недостаточно данных, на основании которых можно было бы определить для Азиатской части вертикальный градиент достаточно надежно. Годовой ход давления в Нарынском по своему характеру относится к типу, свойственному равнинам, на Памирах же и других массивах Южно-Туркестанского горного узла, давление имеет годовой ход обратный равнинному (Памирский Пост, Хорог). Это тоже говорит в пользу существования летом депрессии давления в районе Нарынского, каковая и обозначилась при приведении с градиентом в 0.6° . Зимой, направление барометрического градиента в пределах Казакстана и Туркменистана в общем не меняется в зависимости оттого, какой принимается температурный градиент.

Так как и данные для высокогорных станций в Азиатской части не дают указаний на то, что приведение к уровню моря даже со значительных высот с температурным градиентом в 0.6° искажает направление изобар и барометрических градиентов, то я считал возможным пользоваться этим градиентом для всех районов СССР. Однако же не были приняты во внимание при черчении изобар на уровне моря высокогорные станции, расположенные в районах с весьма сложным рельефом, при том на больших высотах.

Мне остается сказать несколько слов об использовании для приведения давления к уровню моря данных абсолютной влажности воздуха. Влияние абсолютной влажности на результаты приведения значительно меньше чем влияние температуры и поэтому я счел возможным изменение абсолютной влажности с высотой вычислять по предложенной мною формуле: $f_0 = f_h (1 + 0.04 H)$, где f_0 означает абсолютную влажность на уровне моря, f_h — абсолютная влажность на высоте H , причем H выражает высоту в сотнях метров¹⁾. Эта формула дает для пунктов, высота которых больше 1000 м и не превышает 2000 м, результаты, более отвечающие действительным условиям, чем известная формула Hann'a ($\log f_0 = \log f_h + \frac{h}{6300}$).

Средние месячные и средние годовые температуры для станций Азиатской части СССР мне любезно сообщила Е. С. Рубинштейн из неопубликованной еще своей монографии. Для станций в Европ. части Союза средние температуры брались из ее же монографии, вышедшей в 1928 г.²⁾

Давление приводилось к уровню моря по таблицам, вычисленным по формуле Рюльмана и изданным Главной Геофизической Обсерваторией (1915 г.).

Es darf nicht unerwähnt gelassen werden noch ein Ergebnis, das aus der Tabelle XIII folgt. Für die warme Jahreszeit erhält man, im allgemeinen, die wahrscheinlichsten Werte des Luftdrucks im Meeresniveau, wenn man das vertikale Temperaturgefälle gleich 0.6° setzt, für die kalte Jahreszeit aber besitzen wir noch nicht ein ausreichendes Beobachtungsmaterial, um darauf gestützt mit genügender Sicherheit das vertikale Temperaturgefälle für den Asiatischen Teil der USSR bestimmen zu können. Die Kurve des jährlichen Ganges des Luftdrucks in Narynskoe hat eine für Täler typische Form, während auf dem Pamir und auf anderen Gebirgsmassiven des Süd-Turkestanschen Gebirgsknotens der jährliche Gang des Luftdrucks demjenigen der Täler entgegengesetzt ist (Pamirskij Post, Chorog). Dieser Hinweis lässt das Vorhandensein eines Tiefs im Rayon von Narynskoe, welches bei der Reduktion mit dem Gradienten 0.6° zum Vorschein kommt, plausibel erscheinen. Im Gebiet von Kasaksstan und Turkmenistan ändert sich im Winter die Richtung des Gradienten im allgemeinen nicht, wenn man bei der Reduktion auf das Meeresniveau für das vertikale Temperaturgefälle verschiedene Werte setzt.

Da es sich aus dem dargelegten ergibt, dass die Reduktion auf das Meeresniveau im Asiatischen Teil auch bei bedeutender Seehöhe die Form der Isobaren bzw. die Richtung des Gradienten nicht entstellt, wenn das vertikale Temperaturgefälle gleich 0.6° gesetzt wird, entschloss ich mich für alle Gebiete der USSR den angegebenen Betrag des Temperaturgefälles anzunehmen. Dabei schien es doch geraten die Beobachtungen derjenigen Hochstationen, die in Rayons mit sehr kompliziertem Relief in grosser Höhe über dem Meeresniveau gelegen sind, beim Zeichnen der Isobaren für das Meeresniveau nicht zu berücksichtigen.

Es erübrigt noch einige Worte über die Verwertung der Daten der absoluten Feuchtigkeit bei der Reduktion des Luftdrucks auf das Meeresniveau hinzuzufügen. Der Einfluss der absoluten Feuchtigkeit auf die Resultate der Reduktion ist bedeutend geringer, als derjenige der Lufttemperatur und deshalb hielt ich es für möglich die Abnahme der absoluten Feuchtigkeit mit der Höhe nach der von mir vorgeschlagenen einfachen Formel $f_0 = f_h (1 + 0.04 H)$ zu berechnen, wo f_0 die absolute Feuchtigkeit im Meeresniveau, f_h — die absolute Feuchtigkeit in der Höhe H bedeutet, wobei H in Hektametern ausgedrückt wird¹⁾. Diese Formel gibt für Punkte, deren Seehöhe mehr als 1000 m beträgt, 2000 m aber nicht übersteigt, Resultate, die den tatsächlichen Bedingungen mehr entsprechen als die nach der bekannten Formel von Hann gewonnenen ($\log f_0 = \log f_h + \frac{h}{6300}$).

Die Monats- und Jahresmittel der Temperatur für Stationen des Asiatischen Teils der USSR hat mir liebenswürdiger Weise Fräulein E. S. Rubinstein aus ihrer noch nicht veröffentlichten Arbeit mitgeteilt. Für die Stationen im Europäischen Teil der USSR wurden die Temperaturen ebenfalls ihrer im Jahre 1928 erschienenen Arbeit entnommen²⁾.

Die Reduktion des Luftdrucks auf das Meeresniveau, wie auch auf verschiedene Seehöhen wurde mit Hilfe der Tabellen, die nach der Formel Rühlmanns berechnet und vom Physikalischen Zentral-Observatorium herausgegeben sind (1915), ausgeführt.

¹⁾ А. А. Каминский. Климат Воронежской губернии. 1925. См. также записку к Климатологическому Атласу Гл. Физ. Обсерватории (1900).

R. Gumiński. L'humidité de l'air en Pologne. Etudes météorologiques et hydrographiques. Fascicule 3. 1927. Varsovie.

²⁾ Е. С. Рубинштейн. Средние месячные температуры Европейской части СССР. Климат СССР. ч. I вып. 1. 1928.

¹⁾ A. Kaminsky. Klima des Gouvernement Woronesh. 1925. S. auch den Text zum Klima-Atlas des Phys. Zentral-Observatoriums (1900).

R. Gumiński. L'humidité de l'air en Pologne. Etudes météorologiques et hydrographiques. Fascicule 3. 1927. Varsovie.

²⁾ E. Rubinstein. Monatsmittel der Lufttemperatur für den Europäischen Teil der USSR. Klima der USSR. Th. I. Lief. 1. 1928.

Определение абсолютных высот барометров

При построении карт годовых изобар для Климатологического Атласа Главной Физической Обсерватории, я мог воспользоваться наблюдениями всего 246 станций в России, высоты которых над уровнем моря были определены на основании нивелировок, не страдающих существенными неточностями; помещенные же в атласе, приложенном к настоящей монографии, средние годовые изобары СССР опираются на наблюдения 379 станций нашей наблюдательной сети с достаточно точно определенными высотами, не считая станций, принадлежащих к сетям соседних государств. Правда, точность определения высот не для всех этих станций была одинакова, но погрешности на большинстве станций не выходят из пределов ± 0.5 м и только в некоторых районах Азиатской части могут быть несколько больше (до ± 3 м на побережье Ледовитого океана и на северо-востоке Азии), но и такие погрешности не могут исказить чувствительно начертание изобар. Точность изобар в большей степени страдает от полного отсутствия метеорологических станций вообще или станций с точно определенными высотами барометров на обширных пространствах Азиатской части. О том, какими способами я стремился и для таких районов прочертить изобары с возможно большей точностью, будет сообщено ниже.

На приложенной карте показано распределение станций, высоты барометров которых определены посредством связочных нивелировок до берега моря (большей частью до нуля футштока) или до реперов точных нивелировок, связывающих данную местность с морем. На этой карте особыми обозначениями показано, с какими именно нивелировками связаны барометры отдельных станций.

С футштоками или другими реперами у берегов океанов и морей или устьевых частей рек, впадающих в океаны и моря, связаны барометры 85 станций нашей сети. Барометры 81 станции в Европ. части СССР связаны с реперами нивелировок большой точности Военно-Топографического Управления и других ведомств, 40 станций с реперами нивелировок Военно-Топографического Управления в Азиатской части Союза, 119 станций с железными дорогами. Высоты барометров 30 станций измерены над уровнем больших озер, высоты барометров 23 станций найдены по связи с нивелировками рек, высота одной станции (Ай-Петри) определена нивелировкой б. Отдела Земельных улучшений.

Привожу здесь краткие сведения о нивелировках, на которые опираются определения абсолютных высот барометров нашей наблюдательной сети. В помещаемых списках станции обозначены теми же номерами, что и в таблице А Приложения.

А. Определение высот барометров в приморских пунктах

К приморским отношу, кроме станций в портах и вообще в населенных пунктах на берегу моря, также некоторые станции, преимущественно на севере Азии, расположенные у берегов устьевых участков больших рек, откуда хотя и не было произведено нивелировки до моря, но где

Bestimmung der Seehöhen der Barometer

Bei der Konstruktion der Jahresisobaren für den Klimatologischen Atlas des Geophysikalischen Zentral-Observatoriums konnte ich Beobachtungen von nur 246 Stationen in Russland verwerten, deren Höhen über dem Meeresniveau auf Grund von Nivellements, die keine wesentlichen Ungenauigkeiten aufweisen, bestimmt waren; die mittleren Jahresisobaren für die USSR aber, welche in dem dieser Arbeit beigelegten Atlas gegeben sind, stützen sich auf Beobachtungen von 379 Stationen unseres Netzes mit genügend genau bestimmten Höhen und einer Reihe solcher Stationen, die zu den Netzen der Nachbarstaaten gehören. Tatsächlich war die Genauigkeit der Höhenbestimmung nicht für alle diese Stationen gleich, doch überschreiten die Fehler auf den meisten Stationen nicht ± 0.5 m und nur in einzelnen Rayons des Asiatischen Teils können sie etwas grösser sein (bis ± 3 m. an der Küste des Bismeeress und im Nord-Osten Asiens), doch können auch solche Fehler die Isobaren nicht merklich entstellen. Die Genauigkeit der Isobaren leidet grösstenteils unter dem völligen Mangel meteorologischer Stationen oder unter dem Mangel von Stationen mit genau bestimmten Höhen der Barometer auf grossen Strecken des Asiatischen Teils. Auf welche Weise ich versucht habe auch für solche Rayons die Isobaren mit möglichst grosser Genauigkeit zu zeichnen, darauf werde ich weiter unten zu sprechen kommen.

Auf der beigelegten Karte ist die Verteilung der Stationen gegeben, an denen die Höhen der Barometer durch Verbindungsnivellements bis zur Küste (grösstenteils bis zum Nullpunkt des Pegels), oder bis zu den Marken genauer Nivellements, welche die einzelnen Orte mit dem Meere verbinden, bestimmt sind. Auf dieser Karte ist für jede Station angegeben, mit welchem Nivellement ihr Barometer verbunden ist.

Die Barometer von 85 Stationen unseres Netzes sind mit Pegeln oder Höhenmarken an den Küsten der Ozeane und Meere, meist an den Mündungen von Flüssen, welche sich in Ozeane und Meere ergiessen, verbunden. Die Barometer von 81 Stationen im Europäischen Teil der USSR sind mit Nivellements von grosser Genauigkeit der Militär-Topographischen Verwaltung und anderer Ressorts verbunden, 40 Stationen mit Nivellementsmarken der Militär-Topographischen Verwaltung im Asiatischen Teil der USSR, 119 Stationen mit Eisenbahnen. Die Höhen der Barometer von 30 Stationen sind auf das Niveau grosser Seen bezogen, die Höhen der Barometer von 23 Stationen wurden auf Grund des Anschlusses an Nivellements von Flüssen gefunden, die Höhe einer Station (Ai-Petri) wurde durch ein Nivellement der ehem. Sektion für Meliorationsarbeiten bestimmt.

Ich gebe hier einen kurzen Bericht über die Nivellements, auf welchen die Bestimmungen der Seehöhen der Barometer unseres Beobachtungsnetzes basieren. In den unten folgenden Verzeichnissen sind die Stationen mit denselben Nummern bezeichnet, wie in der Tabelle A der Beilage.

A. Höhenbestimmung der Barometer an Küstenpunkten.

Zu den Küstenpunkten rechne ich ausser den Hafenstationen und überhaupt Städten und Ansiedlungen an der Küste, ebenfalls einige Stationen, hauptsächlich im Norden Asiens, welche an grossen Flüssen unweit der Mündungen derselben gelegen sind, wenn sie auch durch kein Nivellement mit dem

падение рек можно считать весьма незначительным. Допускаемые при этом погрешности, вообще говоря, не превышают 1 м. В помещаемом ниже списке приморских станций, такие удаленные от морского берега пункты обозначены звездочкой. Их всего шесть.

Наибольшей точностью отличаются определения высот барометров в портах, где наблюдения над колебаниями уровня моря велись в продолжение многих лет.

В списке станции сгруппированы по морям.

- | | |
|---|--------------------------------|
| I. Баренцево море. | 307. Саки |
| 1. Вайда-Губа | 309. Севастополь |
| 2. Александровск | 310. Форос |
| 3. Кола | 312. Айтоторский маяк |
| 4. Териберка | 313. Ливадия |
| 7. Святоносский маяк | 314. Ялта |
| 19. Малые Кармакулы | 315. Магарач |
| 22. Карские ворота | 316. Судак |
| 23. Югорский Шар | 318. Феодосия, лесничество |
| | 319. Феодосия, порт |
| II. Белое море. | 320. Кыз-Аульский маяк |
| 9. Сосновский маяк | 321. Керчь |
| 6. Ковда | 348. Новороссийск |
| 11. Кемь | 347. Мархотский перевал |
| 12. Соловецкий монастырь | 349. Сочи |
| 14. Жижгинский маяк | 351. Сухум, ботан. сад |
| 13. Жужмуйский маяк | 353. Потти |
| 15. Онега | 354. Батум |
| 17. Архангельск | 346. Трапезунд |
| 16. Зимнегорский маяк | 345. Синоп |
| 18. *Мезень | 344. Буюк-Дере |
| 20. *Оксино и Пустозерск | |
| III. Балтийское море. | V. Азовское море. |
| 29. Ленинград, ГГО | 302. Генический маяк |
| 30. Ленинград, Лесн. Институт | 303. Мариуполь |
| 28. Кронштадт | 304. Перебойный остров |
| 26. Порт Кунда | VI. Сев. Ледов. океан. |
| 25. Ревель | 383. Маре-Сале |
| 24. Балтийский порт и Пакерортский маяк | 384. Диксон |
| 62. Пернов | 385. *Усть-Енисейский порт |
| 60. Усть-Двинск | 388. *Казачье |
| 61. Рига | 390. *Русское Устье |
| 56. Церельский маяк | VII. Тихий океан. |
| 54. Виндава | 396. Ново-Мариинский пост |
| 53. Либава | 497. Петропавловск на Камчатке |
| IV. Черное море. | 441. Никольское (о. Беринг) |
| 292. Аккерман | 404. *Гижигинск (Кушка) |
| 293. Днестровский знак | 403. Охотск |
| 295. Одесса, университет | 495. Пронге |
| 296. Одесса, обсерватория | 525. Жонкиерский маяк |
| 299. Скадовск | 526. Александровский пост |
| 300. Хорлы | 555. Гамовский маяк |
| 306. Тарханкутский маяк | 556. Аскольдский маяк |
| | 557. Поворотный маяк |
| | 560. Пост Ольга |

В. Определение высот барометров по связи с реперами нивелировок большой точности в Европейской части СССР.

На первом месте стоят нивелировки высокой точности Военно-Топографического Управления Главного Штаба. Правда, и эти нивелировки дали кое-где невязки, требовавшие выравнивания. Капитальный труд по составлению сводки результатов нивелировок названного ведомства был напечатан С. Д. Рылке в 1894 г. ¹⁾ В основу выравнивания С. Д. Рылке положено допущение, что средний уровень Балтийского и Черного морей укладываются на одной и той же общей поверхности уровня ²⁾. Результаты нивелировок, произведенных Военно-Топографическим Управлением после 1893 г., были опубликованы

¹⁾ С. Д. Рылке. Каталог высот Русской нивелирной сети с 1871 по 1893 г. СПб. 1894 г.

²⁾ С. Д. Рылке. Средний уровень Балтийского, Черного и Азовского морей. Записки Военно-Топогр. Отдела. Ч. LIII. 1894.

Meere verbunden sind, in dem Falle, wenn das Gefälle der Flüsse als sehr unbedeutend gelten kann. Wir lassen dabei Fehler zu, welche im allgemeinen 1 m nicht übersteigen. Im nachfolgenden Verzeichnis der Küstenstationen sind solche von der Küste abgelegene Punkte mit einem Asterisk bezeichnet. Es sind ihrer nur sechs.

Am genauesten sind die Höhenbestimmungen der Barometer in den Häfen, wo Beobachtungen über Wasserspiegelschwankungen im Laufe von vielen Jahren ausgeführt wurden.

Im Verzeichnis sind die Stationen nach den Meeren geordnet.

- | | |
|--|------------------------------------|
| I. Barents-Meer. | 307. Ssaki |
| 1. Waida-Guba | 309. Ssewastopol |
| 2. Alexandrowsk | 310. Foros |
| 3. Kola | 312. Aitodor, Leuchtturm |
| 4. Teriberka | 313. Liwadija |
| 7. Sswjatoi Noss, Leuchtturm | 314. Jalta |
| 19. Malye Karmakuly | 315. Magaratsch |
| 22. Karskie Worota | 316. Ssudak |
| 23. Jugorskij Schar. | 318. Feodossija, Forstei |
| | 319. Feodossija, Hafen |
| II. Weisses-Meer. | 320. Kys-Aul, Leuchtturm |
| 9. Ssossnowez, Leuchtturm | 321. Kertsch |
| 6. Kowda | 348. Noworossijsk |
| 11. Kem | 347. Marchot, Pass. |
| 12. Ssolowezkij, Kloster | 349. Ssotschi |
| 14. Shishgin, Leuchtturm | 351. Ssuchum, Botan. Garten |
| 13. Shushmui, Leuchtturm | 353. Poti |
| 15. Onega | 354. Batum |
| 17. Archangelsk | 346. Trapezund |
| 16. Simnegorskij, Leuchtturm | 345. Sinope |
| 18. *Mesen | 344. Bujuk-Dere |
| 20. *Oxino und Pusstosersk | V. Asowsches Meer. |
| III. Ostsee. | 302. Genitschesk, Leuchtturm |
| 29. Leningrad, Geophys. Zentral-Obs. | 303. Mariupol |
| 30. Leningrad, Forstinstitut | 304. Pereboinyj, Insel |
| 28. Kronstadt | VI. Nördl. Eismeer. |
| 26. Port Kunda | 383. Mare-Ssale |
| 25. Reval | 384. Dixon |
| 24. Baltisch Port u. Packerort, Leuchtturm | 385. *Ust-Enisseisk, Hafen |
| 62. Pernau | 388. *Kasatschje |
| 60. Ust-Dwinsk | 390. *Russkoe Usstje. |
| 61. Riga | VII. Stiller Ozean. |
| 56. Zere, Leuchtturm | 396. Nowo-Mariinskij Post |
| 54. Windau | 497. Petropawlowsk auf Kamtschatka |
| 53. Libau | 441. Nikolskoe (Insel Behring) |
| IV. Schwarzes Meer. | 404. *Gishiginsk (Kuschka) |
| 292. Akkerman | 403. Ochotsk |
| 293. Dnesstrowskij Snak | 495. Pronge |
| 295. Odessa, Universität | 525. Shonkier, Leuchtturm |
| 296. Odessa, Observatorium | 526. Alexandrowskij Post |
| 299. Sskadowsk | 555. Gamow, Leuchtturm |
| 300. Chorly | 556. Askold, Leuchtturm |
| 306. Tarchankut, Leuchtturm | 557. Poworotnyj, Leuchtturm |
| | 560. Post Olga |

В. Höhenbestimmungen der Barometer durch Anschluss an Präzisionsnivellements im Europäischen Teil der U. S. S. R.

An erster Stelle stehen die Präzisionsnivellements der Militär-Topographischen Verwaltung des Generalstabs. Freilich ergaben auch diese Nivellements einige Ungenauigkeiten, welche ausgeglichen werden mussten. Eine wichtige Arbeit, die eine Zusammenfassung der gesammelten Resultate enthält, wurde von S. D. Rylke ¹⁾ im Jahre 1894 veröffentlicht. Die von S. D. Rylke ausgeführten Ausgleichungen ²⁾ basieren auf der Annahme, dass das mittlere Niveau des Baltischen und des Schwarzen Meeres in ein und derselben Niveaufläche liegen. Die Resultate der Nivellements, welche nach dem Jahre 1893 von der Militär-Topographischen Verwaltung ausgeführt

¹⁾ S. D. Rylke. Katalog der durch russische Nivellements von 1871—1893 bestimmten Höhen. St. Petersburg, 1894 (Russisch).

²⁾ S. D. Rylke. Das mittlere Niveau des Baltischen, Schwarzen u. Asowschen Meeres. Sapiski der Militär-Topogr. Sektion, LIII, 1894 (Russisch).

без выравнивания¹⁾, только для Кавказа издан в 1926 г. Каталог высот, составленный Н. И. Шлепневым²⁾, в котором даются уже выравненные высоты реперов.

Сделанное С. Д. Рыльке допущение вызывает неточности лишь в пределах погрешностей измерений, не имеющие значения при определении высот барометров, и поэтому я пользовался данными его Каталога без всяких изменений.

Н. И. Шлепнев опирается при исправлении и выравнивании результатов нивелировок Военно-Топогр. Управления в Закавказье и в Северо-Кавказском крае на определение высоты нуля мореографа Потийского порта и нуля футштока Восточного мола в Новороссийске над средним уровнем Черного моря.

Им использованы обработанные Винниковым³⁾ наблюдения над колебаниями уровня воды в Поти за 1898—1910 гг. и в Новороссийске за 1907—1912 гг. Невязка для всего нивелирного хода от Батума до Новороссийска получилась в 0.4495 м, при расстоянии между этими пунктами в 2276 км.

Укажу еще на работу Г. С. Максимова о среднем уровне Черного и Азовского морей⁴⁾ и на исследование Г. С. Максимова и С. М. Варзар⁵⁾ об опорной сети точных нивелировок Европейской части СССР. В последней работе даются результаты уравнительных вычислений сети высот, опирающейся на нивелировки Военно-Топогр. Управления Гл. Штаба, опубликованные по 1915 г. Как видно из сравнения абсолютных высот марок узловых пунктов по вычислениям С. Д. Рыльке с одной стороны и по вычислениям Г. С. Максимова и С. М. Варзар с другой, разности в отдельных точках заключаются в пределах ± 0.173 м (Смоленск) и -0.291 м (Бахмач). Необходимо при этом оговорить, что С. Д. Рыльке, при определении среднего уровня Балтийского и Черного морей опирался, правда, всего на 11 пунктов, но с наиболее продолжительными и надежными наблюдениями. Г. С. Ма-

wurden, wurden ohne Ausgleichungen¹⁾ publiziert, nur für den Kaukasus wurde im Jahre 1926 ein Katalog der Höhen herausgegeben, der von N. Schlepnew²⁾ zusammengestellt war und in dem die bereits ausgeglichenen Höhen der Marken gegeben sind.

Die von Rylke gemachte Annahme hat Ungenauigkeiten nur in den Grenzen der Messungsfehler zur Folge, welche bei der Bestimmung der Höhen der Barometer nicht von Bedeutung sind, und daher konnten die Höhenangaben seines Katalogs von mir ohne Korrekturen benutzt werden.

N. J. Schlepnew stützt sich beim Korrigieren und Ausgleichen der Resultate der Nivellements der Militär-Topographischen Verwaltung in Süd- und Nord-Kaukasien auf die Höhenbestimmung des Nullpunkts des Mareographen im Hafen von Poti und des Nullpunkts des Pegels an der östlichen Moole in Noworossijsk über dem mittleren Niveau des Schwarzen Meeres.

Er verwertete die von Winnikow³⁾ bearbeiteten Beobachtungen über die Niveauschwankungen des Wassers in Poti in den Jahren 1898—1910 und in Noworossijsk in den Jahren 1907 bis 1912. Für die ganze Strecke von Batum bis Noworossijsk wurde bei einer Entfernung von 2276 km zwischen diesen Punkten eine Diskordanz von 0.4495 m erhalten.

Ich möchte noch auf die Arbeit G. S. Maximows—über das mittlere Niveau des Schwarzen und des Asowschen Meeres⁴⁾ und die Untersuchung von G. S. Maximow und Frau S. M. Varsar⁵⁾ über das Fundamentalnetz genauer Nivellements im Europäischen Teil der USSR hinweisen. In der zweiten Arbeit werden die Resultate der Ausgleichung des Höhennetzes, welches sich auf die Nivellements der Militär-Topographischen Verwaltung stützt und im Jahre 1915 publiziert wurde, gegeben. Wie die Vergleichung der Seehöhen der Marken der Stützpunkte nach den Berechnungen S. D. Rylkes einerseits und nach den Ausgleichungen von G. S. Maximow und S. M. Varsar andererseits ergibt, schwanken die Differenzen in einzelnen Punkten in den Grenzen von ± 0.173 m (Smolensk) und -0.291 m (Bachmatsch). Man muss dabei in betracht ziehen, dass Rylke bei der Bestimmung des mittleren Niveaus des Baltischen und des Schwarzen Meeres

¹⁾ Материалы для пополнения каталога высот Русской нивелирной сети. Записки Военно-Топогр. Управления Гл. Штаба. Ч. LIX, отд. 2, 1902.

Н. Д. Павлов. Производство точной нивелировки между г. Псковом и ст. Бологое. Записки Военно-Топогр. Управления Гл. Штаба. Ч. LX, отд. 2, 1903.

Быков и Гуреев. Отчет о нивелировке на Апшеронском полуострове 1912 г. Быкова и Гуреева. Зап. Военно-Топогр. Отд. Гл. Управл. Генер. Штаба. Ч. LXIX, отд. II, 1915.

Винников. Геометрическая нивелировка между Черным и Каспийским морями, произведенная на Закавказской ж. дороге в 1904—1910 гг. Там же.

Материалы по нивелировкам, произведенным офицерами Корпуса Военных Топографов с 1897 по 1913 гг. Записки Военно-Топогр. Отд. Гл. Упр. Ген. Штаба. Ч. LXIX, отд. III, 1915.

²⁾ Н. И. Шлепнев. Временный каталог высот марок Кавказской нивелирной сети 1884—1915 гг. и примыкающих к ней нивелирных линий. Издание Военно-Топогр. Упр. Москва, 1926.

³⁾ Винников, Л. с.

⁴⁾ Г. С. Максимов. О среднем уровне Черного и Азовского морей в связи с вопросом об изыскании нуля глубин и высот для морей СССР. Известия Г. Гидролог. Института. 1926. № 19.

⁵⁾ Г. С. Максимов и С. М. Варзар. Опорная сеть точных нивелировок Европейской части СССР. Изв. Г. Гидролог. Инст. 1929. № 25.

¹⁾ Materialien zur Ergänzung des Katalogs des russischen Nivellementsnetzes. Sapiski der Militär-Topogr. Sektion, LIX, Abt. 2, 1902 (Russ.).

N. D. Pawlow. Präzisionsnivellement zwischen Pskow und Bologoe, Sapiski der Militär-Topogr. Sektion, LX, Abt. 2, 1903 (Russisch).

Bykow u. Gureew. Bericht über das Nivellement von 1912 auf der Halbinsel Apscheron. Sapiski der Militär-Topogr. Sektion, LXIX, Abt. 2, 1915 (Russisch).

Winnikow. Geometrisches Nivellement zwischen dem Schwarzen und dem Kaspischen Meere entlang der Transkaukasischen Eisenbahn ausgeführt in den Jahren 1904—1910. Dasselbst (Russisch).

²⁾ N. J. Schlepnew. Vorläufiger Katalog der Höhenmarken des Kaukasischen Nivellementsnetzes von 1884—1915 und der an dasselbe anschliessenden Nivellements. Herausgegeben von der Militär-Topogr. Verwaltung, Moskau, 1926. (Russisch).

³⁾ Winnikow, L. с.

⁴⁾ G. Maximoff. Le niveau moyen des mers Noire et d'Azow et la question du zéro pour les profondeurs et les hauteurs des mers de l'U. R. S. S. Bulletin de l'Institut Hydrologique. No. 19, 1927 (Russisch).

⁵⁾ G. S. Maximoff et S. M. Varsar. Le réseau des repères du nivellement de haute précision de la partie Européenne de U. R. S. S. Bulletin de l'Institut Hydrologique. No. 25, 1929 (Russisch).

Максимов и С. М. Варзар добавили еще несколько опорных пунктов, но при этом должны были довольствоваться для части пунктов наблюдения не вполне равноценными с основными пунктами.

Таблицы с приведенными к уровню моря средними величинами давления воздуха, помещенные в моей монографии, ко времени выхода в свет труда Г. С. Максимова и С. М. Варзар, были уже отпечатаны и уже поэтому я не мог воспользоваться результатами работ названных авторов, но с другой стороны исправление высот согласно их вычислениям почти совершенно не отразилось бы на данных давления, приведенного к уровню моря.

Опубликованные в Записках Военно-Топогр. Отдела материалы по нивелировкам, произведенным с 1893 по 1915 г., были подвергнуты мною упрощенному выравниванию; полученные таким образом высоты марок на отдельных станциях почти не расходятся с принятыми проф. Ю. М. Шокальским при исправлении отметок высот по железнодорожным нивелировкам ¹⁾.

Предпринятая Центральным Управлением Сов. Торгового Флота, под руководством проф. А. В. Вознесенского, разработка наблюдений по футштокам Черноморских портов, даст материал для корректирования данных Н. И. Шлепнева, но так как здесь речь идет о поправках в пределах немногих десятых долей метра, то я счел возможным пользоваться приведенными во «Временном Каталоге» высотами марок и других реперов без изменений.

Кроме нивелировок Военно-Топографического Управления я воспользовался, при определении высот барометров в Европ. части Союза, еще результатами следующих нивелировок высокой точности.

1) Нивелировкой проф. Л. О. Струве ²⁾ по линиям железных дорог Московско-Курской и Южных от марки Военно-Топогр. Управления на станции Коренная Пустынь до репера нивелировки того же Управления на станции Синельниково,

2) Нивелировками «Экспедиции для исследования источников главнейших рек Европейской России», произведенными под общим руководством А. А. Тилло ³⁾. Все эти нивелировки увязаны с нивелировками Военно-Топогр. Управления Главного Штаба,

3) Нивелировкой проф. С. П. Глазенапа, А. В. Вознесенского и Граве от Новгорода до ст. Чудово

¹⁾ Ю. М. Шокальский. Свод нивелировок жел. дорог Европ. части СССР. Вып. I. Издание Упр. внутр. водн. путей. Петроград. 1917. Вып. II. Издание Научно-Техн. Комитета НКПС. Вып. III. Изд. Центр. Научно-Исслед. Управл. НКПС. 1930.

²⁾ Л. С. Струве. Соединение Харькова с русскою нивелирной сетью точною нивелировкой в 1895 и 1899 г. Материалы по гипсометрии Рос. Империи, изданные под ред. Ю. М. Шокальского. СПб. 1902.

³⁾ А. А. Фок. Результаты нивелирных работ в бассейнах верховьев Днепра, Оки, Дона и Красивой Мечи, Сейма, Сызрана, Цны, Савалы и Битюга 1894—1900 г.г. Труды Экспед. для исследования источников главнейших рек Европ. России. Материалы по гипсометрии Росс. Имп. СПб. 1902.

сich freilich nur auf 11 Punkte stützte, dieselben aber die längsten und zuverlässigsten Beobachtungsreihen aufwiesen. G. S. Maximow und S. M. Varsar fügten noch einige Beziehungspunkte hinzu, mussten sich aber hierbei für einen Teil der Punkte mit Beobachtungen begnügen, die den Hauptpunkten nicht ganz gleichwertig sind.

Die Tabellen mit den auf das Meeresniveau reduzierten Luftdruckmitteln, welche in meiner Arbeit veröffentlicht sind, waren zur Zeit der Herausgabe der Arbeit von G. S. Maximow und S. M. Varsar schon gedruckt, aus welchem Grunde ich die Resultate der Arbeit der genannten Autoren nicht berücksichtigen konnte; andererseits wären die Korrekturen der Höhen ihren Rechnungen entsprechend von sehr geringem Einfluss auf die Daten des auf das Meeresniveau reduzierten Luftdrucks gewesen.

Das in den Publikationen der Militär-Topographischen Sektion veröffentlichte Material über die Nivellements, welche in den Jahren 1893—1915 ausgeführt sind, wurde von mir einer vereinfachten Ausgleichung unterworfen; die auf diese Weise erhaltenen Seehöhen der Fixpunkte einzelner Stationen unterscheiden sich beinahe gar nicht von den von Prof. J. M. Schokalsky bei der Korrektur der Höhenangaben für die Eisenbahnstationen angenommenen ¹⁾.

Die von der Zentral-Verwaltung der Ssowet-Handelsflotte unter der Leitung von Prof. A. V. Wosnessensky unternommene Bearbeitung der Wasserstandsbeobachtungen der Häfen des Schwarzen Meeres liefert Material für die Korrektur der Daten von N. Schlepnew; da es sich aber hier um Korrekturen in den Grenzen von einigen Zehnteln eines Meters handelt, hielt ich es für statthaft dem «Provisorischen Katalog» von Schlepnew Höhenangaben für die Marken des Generalstabs und andere Repère ohne irgendwelche Korrekturen zu entnehmen.

Ausser den Nivellements der Militär-Topographischen Verwaltung benützte ich noch bei der Höhenbestimmung der Barometer im Europäischen Teil der USSR die Resultate folgender Präzisions-Nivellements:

1) der von Prof. L. Struve ²⁾ ausgeführten Nivellements entlang der Moskau-Kursker und der Südlichen Eisenbahnlinie von der Höhenmarke der Militär-Topographischen Verwaltung auf der Station Korennaja Pusstyn bis zur Nivellements-marke derselben Verwaltung auf der Station Ssinelnikowo,

2) der Nivellements der Expedition zur Untersuchung der Quellen der Hauptflüsse im Europäischen Russland, die unter der Leitung A. Tillo's ausgeführt sind ³⁾. Alle diese Nivellements stehen mit den Nivellements der Militär-Topographischen Verwaltung des Generalstabs in Verbindung,

3) des von Prof. S. P. Glasenap, A. V. Wosnessensky und Gravé ausgeführten Nivellements von Nowgorod

¹⁾ J. M. Schokalsky. Die Resultate der Eisenbahnnivellements des Europ. Teils d. U. S. S. R. Lief. I. Herausgegeben von der Verwaltung der Binnengewässer. Petrograd. 1917. Lieferung II. Herausgegeben vom Wissenschaftlich-Technischen Komite des Volkskommissariats des Verkehrs. 1926. Lieferung III. Herausgegeben von d. Zentralverwaltung d. Forschungsarbeiten des Volkskommissariats des Verkehrs, 1930 (Russisch).

²⁾ L. Struve. Verbindung von Charkow mit dem russischen Nivellementsnetz durch ein Präzisionsnivellement von 1895 u. 1899. Materialien zur Hypsometrie von Russland, herausgegeben von J. M. Schokalsky. 1902 (Russisch).

³⁾ A. A. Fock. Resultate der Nivellements in den Bassins der Oberläufe der Flüsse Dnepr, Oka, Don, Krassiwaja Metsch, Sseim, Ssysran, Zna, Ssawala und Bitjug in den Jahren 1894—1900. Memoire der Expedition zur Erforschung der Quellen der wichtigsten Flüsse des Europ. Russlands, 1902 (Russisch).

Окт. ж. д. (70 км) и произведенною под руководством А. А. Тилло нивелировкой от устья Невы до Онежского озера ¹⁾).

По связи с перечисленными нивелировками высокой точности определены абсолютные высоты барометров следующих станций:

31. Слуцк (Павловск)	190. Липецк
55. Гольдинген	191. Рязань, ст. ж. д.
59. Радзивиличи	194. Гулынки
63. Игнаино	195. Козлов
64. Двинск	200. Моршанск
65. Юрьев (Тарту)	203. Пенза, учил. садов.
66. Корсовка	204. Пенза, гимназия
67. Псков	210. Сызрань
69. Витебск	212. Безенчук
70. Новое Королево	218. Боровое опытно-лесничество
73. Давыдово	223. Оренбург
74. Веребье	225. Зомбоковицы
77. Вязьма	227. Здолбуново
79. Вышний Волочек	233. Жмеринка
81. Тверь	241. Киев
84. Москва, с.-хоз. академия	248. Дзержинск (Елисаветград)
85. Москва, межевой институт	250. Долинская
127. Влоцлавск	266. Дергачи
129. Лович	267. Харьков, университет
130. Орышев	268. Харьков, техн. инст.
133. Варшава	277. Сагуны
134. Радом	279. Каменская
135. Нов. Александрия (Пулавы)	297. Николаев
140. Белосток	301. Мелитополь
141. Холм	305. Ростов на Дону
142. Брест-Литовск	322. Краснодар (Екатеринодар)
143. Ковно	323. Тихорецкая
144. Понемонь	329. Кисловодск
146. Вильно	330. Ессентуки
149. Минск	331. Железноводск
151. Борисов	332. Пятигорск
158. Нежин	333. Владикавказ
160. Смоленск	355. Кутаис
166. Брянск	356. Тквибули
168. Брянское оп. лесничество	358. Ципа
170. Коренево	360. Боржом
173. Орел	361. Цеми
174. Поньри	362. Гори
175. Курск	366. Тифлис
180. Богородицкое	369. Ганджа (Елисаветполь)
184. Ефремов	370. Кюрдмир
185. Богородицк	374. Джаджур
187. Воронеж	377. Эривань
188. Гремячка	

С. Определение высот барометров по связи с реперами нивелировок Военно-Топографического Управления в Азиатской части СССР.

Нивелировки Военно-Топографического Управления в Азиатской части СССР примыкают к нивелировкам высокой точности в Европейской части Союза, но, вообще говоря, в отношении точности уступают последним. Так как в Азиатской части нивелирные линии пролегают большей частью по линиям железных дорог, то для проверки могли быть использованы и железнодорожные нивелировки. Не исключена возможность накопления погрешностей при весьма больших расстояниях между конечными пунктами (Тавтиманево—Харбин 6153 км, Оренбург—Красноводск 3776 км, Омск—Алма-Ата 1849 км, однако, крайние величины погрешностей для отдельных пунктов не должны превышать по линии от Челябинска до Харбина 2 м, по линии Оренбург—Ташкент тоже 2 м. Такие погрешности не могли отразиться чувствительно на проведении средних изобар, принимая во внимание весьма неравномерную густоту сети метеорологических станций. Впрочем о резких изменениях погрешностей на небольших расстояниях не может быть и речи, так как такие изменения легко обнаруживаются по годовым изобарам. Так изобары указали на накопление погрешностей в Сибирской нивел-

¹⁾ А. А. Тилло. Абсолютная высота озер Ладожского, Онежского и Ильмена. Падение р. Невы, приладожских каналов и рек Свири и Волхова. СПб. 1886.

bis sur Station Tschudowo der Oktober-Eisenbahn (70 km) und des unter Leitung von A. Tillo ausgeführten Nivellements von der Newamündung bis zum Onegasee ¹⁾).

Auf Grund des Anschlusses an die aufgezählten Präzisionsnivelements sind die Seehöhen der Barometer folgender Stationen bestimmt worden:

31. Sluzk (Pawlowsk)	188. Gremjatschka
55. Goldingen	190. Lipezk
59. Radziwilischki	191. Rjasan, Eisenbahnst.
63. Ignalino	194. Gulynki
64. Dwinsk	195. Koslow
65. Jurjew (Tartu)	200. Moschansk
66. Korsowka	203. Pensa, Gartenbauschule
67. Pskow	204. Pensa, Gymnasium
69. Witebsk	210. Ssysran
70. Nowoe Korolewo	212. Besentschuk
73. Dawydowo	218. Borowoe, Forstei
74. Werebje	223. Orenburg
77. Wjasma	225. Sombkowizy
79. Wyschnij Wolotschek	227. Sdolbunowo
81. Twer	233. Shmerinka
84. Moskau, landw. Akademie	241. Kiew
85. Moskau, Feldmesserinst.	248. Dserschinsk (Elissawetgrad)
127. Wlozlawsk	250. Dolinskaja
129. Lowitsch	266. Dergatschi
130. Oryschew	267. Charkow, Universität
133. Warschau	268. Charkow, technol. Inst.
134. Radom	277. Ssaguny
135. Nowaja Alexandria (Pulawy)	279. Kamenskaja
140. Belosstok	297. Nikolaew
141. Cholm	301. Melitopol
142. Brest-Litowsk	305. Rosstow am Don
143. Kowno	322. Krasnodar (Ekaterinodar)
144. Ponemon	323. Tichorezkaja
146. Wilno	329. Kislowodsk
149. Minsk	330. Essentuki
151. Borisow	331. Shelesnowodsk
158. Neshin	333. Wladikawkas
160. Smolensk	355. Kutais
166. Brjansk	356. Tkwiwuli
168. Brjansker Forstei	358. Zipa
170. Korenewo	363. Borshom
173. Orel	361. Zemi
174. Ponyri	362. Gori
175. Kursk	366. Tiflis
180. Bogorodizkoe	369. Gandsha (Elissawetpol)
184. Efmow	370. Kjurdamir
185. Bogorodizk	374. Dshadshur
187. Woronesh	377. Eriwan

С. Bestimmung der Höhen der Barometer auf Grund des Anschlusses an die Nivellements der Militär-Topographischen Verwaltung im Asiatischen Teil der U. S. S. R.

Die Nivellements der Militär-Topographischen Verwaltung im Asiatischen Teil der USSR gehen von Höhenmarken des Präzisionsnivelements im Europäischen Teil der Union aus, doch stehen sie in betreff der Genauigkeit den letzteren nach. Im Asiatischen Teil ziehen sich die Nivellementslinien meistens längs den Eisenbahnlängen, aus welchem Grunde auch die Eisenbahnnivellements zur Vergleichung herangezogen werden konnten. Bei sehr grossen Entfernungen zwischen den Endpunkten ist es nicht ausgeschlossen, dass das Endresultat nicht ganz fehlerlos ausgefallen ist (Tawtimanewo—Charbin 6153 km, Orenburg—Krasnowodsk 3776 km, Omsk—Alma-Ata 1849 km), doch dürften die Grenzwerte der Fehler für einzelne Punkte auf der Linie Tscheljabinsk—Charbin 2 m nicht überschreiten, auf der Linie Orenburg—Taschkent ebenfalls 2 m. Solche Fehler konnten, wenn man die sehr ungleiche Dichte des meteorologischen Stationsnetzes in betracht zieht, nicht fühlbar auf die Genauigkeit der mittleren Isobaren einwirken. Übrigens kann von grossen Änderungen der Fehler auf geringen Entfernungen keine Rede sein, da solche Änderungen in den Jahresisobaren zu Tage treten. So wiesen die Isobaren auf eine Anhäufung von

²⁾ А. А. Тилло. Die Seehöhen der Seen Ladoga, Onega und Ilmen. Das Gefälle der Newa, der Kanäle am Ladoga-See und der Flüsse Swir und Wolchow. St. Petersburg, 1886 (Russisch).

лировке Русского Географического Общества на протяжении около 275 км (от ст. Кимельтей до Иркутска)¹⁾.

Не все результаты Азиатских нивелировок Военно-Топогр. Управления опубликованы и мне пришлось воспользоваться, кроме напечатанных, также некоторыми сообщенными Главной Геофизической Обсерватории неопубликованными данными.

Рассмотрим нивелировки по отдельным линиям.

1. По линии Самаро-Златоустовской ж. д. от ст. Тавтиманево до ст. Челябинск. Абсолютная высота на станциях Тавтиманево определена по связи с маркой Военно-Топогр. Управления на ст. Смышляевка Самаро-Златоустовской ж. д. Таким образом, устанавливается точная связь между марками в Златоусте и Челябинске с нивелирной сетью названного Управления в Европ. части СССР.

2. От Челябинска до ст. Мысовой Забайкальской ж. д. Произведенная по предложению Военно-Топогр. Управления военным топографом Александровым нивелировка по линии Омской, Томской и Забайкальской ж. д. от ст. Челябинск до ст. Мысовая привязана к реперу на ст. Челябинск, абсолютная высота которого определена выше упомянутыми нивелировками от Челябинска до ст. Тавтиманево. На основании этой связи поправка данных нивелировки от Челябинска до Мысовой получилась = -74.98 саж. Результаты нивелировок от Челябинска до Ачинска изданы Военно-Топогр. Управлением частью в статье Ю. А. Шмидта²⁾ частью же в «Материалах» по нивелировкам 1897—1913 г.г.³⁾ В статье Ю. А. Шмидта помещены также результаты связочных нивелировок, имевших целью определение связи между реперами нивелировки Р. Географического Общества 1874—1876 г.г. и железнодорожными нивелировками. В моей цитированной работе даны исправленные отметки высот полотна жел. дор. для станций от Челябинска до Мысовой по нивелировкам названного Управления, но мною еще не могла быть принята во внимание определенная впоследствии высота марки в Челябинске, впрочем мало меняющая приведенные в моей статье результаты. Данными нивелировок Военно-Топограф. Управления от Ачинска до Мысовой я пользовался по предоставленной в распоряжение Главной Физической Обсерватории рукописи военного топографа Александрова.

3. От ст. Мысовой Забайкальской ж. д. до Харбина. Некоторые результаты нивелировки Военно-Топограф. Отдела 6. Иркутского военного округа по этой линии были сообщены названным Отделом для использования при определении абсолютных высот барометров. На протяжении 260 км от ст. Байкал до ст. Мысовой и 612 км от

Fehlern im Sibirischen Nivellement der Russischen Geographischen Gesellschaft auf einer Strecke von ungefähr 275 km (von der Station Kimmeltey bis Irkutsk) hin¹⁾.

Nicht alle Resultate der Asiatischen Nivellements der Militär-Topographischen Verwaltung sind veröffentlicht und ich musste mich ausser den publizierten, auch einiger dem Geophysikalischen Zentral-Observatorium mitgeteilten, nicht veröffentlichten Daten bedienen.

Betrachten wir die Nivellements nach einzelnen Linien.

1. Ssamara-Slatouster Eisenbahn von der Station Tawtimanewo bis zur Station Tscheljabinsk. Die Seehöhe der Station Tawtimanewo ist auf Grund des Anschlusses an die Marke der Militär-Topographischen Verwaltung auf der Station Smyschljaewka der Ssamara-Slatouster Eisenbahn bestimmt. Auf diese Weise ergibt sich genauer Anschluss der Höhenmarken in Slatoust und Tscheljabinsk an das Nivellementsnetz der genannten Verwaltung im Europäischen Teil der USSR.

2. Von Tscheljabinsk bis zur Station Mysso-waja der Transbaikalischen Eisenbahn. Das im Auftrage der Militär-Topographischen Verwaltung vom Militär-Topographen Alexandrow ausgeführte Nivellement entlang der Omsker, Tomscher und Transbaikalischen Eisenbahn von der Station Tscheljabinsk bis zur Station Mysso-waja ist mit der Marke auf der Station Tscheljabinsk, deren Höhe durch das oben erwähnte Nivellement von Tscheljabinsk bis Tawtimanewo bestimmt ist, verbunden. Auf Grund dieser Verbindung ergab sich die Korrektur der Daten des Nivellements von Tscheljabinsk bis Mysso-waja = -74.98 Faden. Die Resultate der Nivellements von Tscheljabinsk bis Atschinsk sind von der Militär-Topographischen Verwaltung in der Arbeit von J. Schmidt²⁾ und teilweise in den «Materialien der Nivellements der Jahre 1897—1913»³⁾ herausgegeben. In der Arbeit von J. Schmidt sind auch die Resultate der Verbindungs-Nivellements, die zwecks Anschlusses der Höhenmarken der Russischen Geographischen Gesellschaft aus den Jahren 1874—1876 an die Eisenbahnnivellements ausgeführt wurden, veröffentlicht. In meiner zitierten Arbeit sind die korrigierten Angaben der Höhen des Eisenbahndammes für die Stationen von Tscheljabinsk bis Mysso-waja nach den Nivellements der genannten Verwaltung gegeben, doch konnte die späterhin bestimmte Höhenangabe in Tscheljabinsk von mir noch nicht in Betracht gezogen werden, welche übrigens die in meinem Artikel ausgeführten Resultate wenig ändert. Ich bediente mich der Nivellementsdaten der Militär-Topographischen Verwaltung nach den dem Geophysikalischen Zentral-Observatorium zur Verfügung gestellten Aufzeichnungen des Militär-Topographen Alexandrow.

3. Von der Station Mysso-waja der Transbaikalischen-Eisenbahn bis Charbin. Einige Resultate des Nivellements der Militär-Topographischen Sektion des Irkutsker Militär-Bezirks längs dieser Linie wurden von der genannten Sektion zur Verwertung bei der Bestimmung der Seehöhen der Barometer mitgeteilt. Auf der Strecke von

¹⁾ А. А. Каминский. Определение абсолютных высот барометров метеорологических станций в Азиатской России. Записки Академии Наук. Т. XII, № 2. 1901.

²⁾ Ю. А. Шмидт. Поверочная нивелировка по линии Сибирской ж. д. на Красноярско—Иркутском участке, произведенная в 1900—1901 г.г. военным топографом Александровым. Зап. Военно-Топогр. Управления. Ч. LXI, отд. II.

³⁾ Материалы по нивелировкам, произведенным офицерами корпуса военных топографов с 1897 по 1913 г.г. Записки Военно-Топогр. Отдела Гл. Управл. Ген. Штаба. Ч. LXIX, отд. III.

¹⁾ A. A. Kaminsky. Bestimmung der Seehöhen der Barometer auf den meteorologischen Stationen im Asiatischen Russland. Sapiski der Akademie der Wiss. T. XII, No. 2. 1901.

²⁾ J. Schmidt. Kontrollnivellement längs der Sibirischen Eisenbahn von Krasnojarsk bis Irkutsk ausgeführt in den Jahren 1900—1901 vom Militärtopographen Alexandrow. Sapiski der Militärtopogr. Verwaltung. T. LXI, Abt. II. (Russisch).

³⁾ Materialien der von Offizieren des Militärtopographischen Corps 1897—1913 ausgeführten Nivellements. Sapiski der Militärtopogr. Sektion des Generalstabs. T. LXIX, Abt. III. (Russisch).

ст. Манчжурия до Турчики имеются лишь односторонние нивелировки (1906 и 1914 г.г.). Нивелировки по линии от Мысовой до Харбина увязаны с упомянутой нивелировкой Александрова, к которой мною принимается поправка $= -74.98$ саж.

Для проверки нивелировки по линии Китайской Восточной ж. д. можно сопоставить для Китайского раз'езда результаты нивелировок, исходящих от Кронштадта, от Владивостока по Уссурийской и Забайк. ж. д. и, наконец, от Владивостока по линии Уссурийской и Китайской Вост. ж. д. При этом получаем следующие отметки:

1) По связи с Кронштадтом, принимая абс. высоту репера в Челябинске $= 108.597$ саж. 273.05 саж.

2) По связи с Владивостоком через Хабаровск и Куэнгу при посредстве железнодорожных нивелировок 274.52 »

3) По связи с Владивостоком через Харбин при посредстве железнодорож. нивелировок 277.33 »

4) На основании железнодорожных нивелировок от Владивостока до Харбина и нивелировок Иркутского Военно-Топогр. Отдела . 273.9 »

На ст. Монгольской, в расстоянии около 70 км от Харбина, отметки высот по связи с Балтийским морем и с Владивостоком совпадают (64.6 саж.). Это обстоятельство говорит за то, что по линии Монгольская—Китайский раз'езд, где наблюдается значительное расхождение между данными нивелировок железнодорожной и Иркутского Военно-Топогр. Отдела, предпочтение надлежит отдать последним, предположив накопление погрешностей в нивелировке Китайской Вост. ж. д. на участке между Хайларом и Хинганом.

Ввиду лишь незначительных расхождений между отметками 2-й и 4-й, принимаю абсолютную высоту полотна ж. д. на Китайском раз'езде $= 273.9$ саж. $= 584.5$ м.

По линии соединительной ветви Забайк. ж. д. до ст. Манчжурии, а также по линии Китайской Вост. ж. д. от ст. Манчжурия до Харбина в отношении тех станций, где высота барометра была определена над полотном жел. дороги, я считал, что репер Иркутского Военно-Топогр. Отдела находится на высоте 1.2 саж. над полотном дороги, если он заложен на пассажирском здании, или на высоте 0.6 саж. над полотном дороги, если он заложен на водоемном здании. Допущенные при этом погрешности не могут превышать в первом случае 0.5 м, во втором 0.2 м.

4. По линии Омской ж. д. от Челябинска до Тюмени нивелировка была произведена военным топографом Александровым в 1912 и 1913 г.г. Результаты этой нивелировки опубликованы ¹⁾. Судя по приведенным к уровню моря данным среднего давления воздуха можно предположить накопление отрицательных погрешностей в этой нивелировке, для конечного пункта в Тюмени достигающее приблизительно 2 м.

¹⁾ Записки Военно-Топогр. Отдела Гл. Штаба. Ч. LXIX.

der Station Baikal bis Myssowaja (260 km) und von der Station Mantschshurija bis Turtschicha (612 km) gibt es nur einseitige Nivellements (1906 und 1914). Die Nivellements längs der Linie von Myssowaja bis Charbin hatten einen Anschluss an das erwähnte Nivellement Alexandrows, für das ich eine Korrektur von $= -74.98$ Faden annehme.

Eine Kontrolle der Nivellements längs der Ost-Chinesischen Eisenbahn erhält man, wenn man für die Station Kitaiskij Rasjesd die Resultate folgender Nivellements vergleicht: a) von Kronstadt bis Kitaiskij Rasjesd; b) von Wladiwostok längs der Ussuri- und Transbaikalischen Eisenbahn und c) von Wladiwostok längs der Ussuri- und der Ost-Chinesischen Eisenbahn. Bei diesem Vergleich ergeben sich folgende Höhenangaben:

1) Auf Grund der Verbindung mit Kronstadt, wenn man die Seehöhe des Repère in Tscheljabinsk $= 108.597$ Faden annimmt 273.05 Faden

2) Auf Grund der Verbindung mit Wladiwostok über Chabarowsk und Kuenga vermittelt der Eisenbahnnivellements 274.52 »

3) Auf Grund der Verbindung mit Wladiwostok über Charbin vermittelt der Eisenbahnnivellements 277.33 »

4) Auf Grund von Eisenbahnnivellements von Wladiwostok bis Charbin und der Nivellements der Irkutsker Militär-Topographischen Sektion 273.9 »

Die Höhenangaben für die Station Mongolskaja (70 km von Charbin), die sich auf Grund der Verbindung mit der Ostsee und mit Wladiwostok ergeben, stimmen vollkommen (64.6 Faden). Dieser Umstand spricht dafür, dass von der Station Mongolskaja bis Kitaiskij Rasjesd, wo die Resultate der Eisenbahnnivellements und des Nivellements der Irkutsker Militär-Topographischen Sektion von einander recht bedeutend abweichen, die letzteren vorgezogen werden müssen und eine Anhäufung von Fehlern in dem Nivellement der Ost-Chinesischen Bahn auf dem Bezirk zwischen Chailar und Chingan höchst wahrscheinlich ist.

In Anbetracht des unbedeutenden Auseinandergehens der 2) und der 4) Höhenangabe, nehme ich die Seehöhe des Eisenbahndammes auf der Station Kitaiskij Rasjesd $= 273.9$ Faden $= 584.5$ m an.

In Bezug auf die Verbindungslinie der Transbaikalischen Eisenbahn bis zur Station Mantschshurija, sowie der Ost-Chinesischen Bahn von Mantschshurija bis Charbin habe ich vorausgesetzt, dass auf den Stationen, wo die Höhe des Barometers über dem Eisenbahndamm bestimmt ist, die Höhenmarke der Irkutsker Militär-Topographischen Verwaltung sich 1.2 Faden über dem Eisenbahndamm befindet, wenn sie auf dem Passagiergebäude befestigt ist, oder $= 0.6$ Faden über dem Eisenbahndamm, wenn sie auf dem Gebäude eines Wasserturms eingefügt ist. Die dabei möglichen Fehler können im ersten Falle 0.5 m, im zweiten Falle 0.2 m nicht übersteigen.

4. Längs der Omsker Eisenbahn von Tscheljabinsk bis Tjumen wurde das Nivellement vom Militär-Topographen Alexandrow in den Jahren 1912 und 1913 ausgeführt. Die Resultate dieses Nivellements sind veröffentlicht ¹⁾. Nach den auf das Meeresniveau reduzierten Daten des mittleren Luftdruckes zu urteilen, darf man in diesem Nivellement eine Anhäufung von negativen Fehlern voraussetzen, welche am Endpunkte in Tjumen ungefähr 2 m erreichen dürfte.

¹⁾ Sapiski der Militär-Topogr. Sektion des Generalstabs T. LXIX.

5. Степные нивелировки Военно-Топогр. Отдела 6. Омского военного Округа¹⁾. Результаты этих нивелировок я пользовался лишь по линиям 1) Семипалатинск—Копал—Алма-Ата (Верный), 2) Семипалатинск—оз. Зайсан и 3) от Илийского выселка по долине р. Или до устья р. Хоргоса. Высота исходной точки этих нивелировок, а именно высота 6-й ступени при входе в Казачий собор в Семипалатинске принята мною на основании связи с железнодорожною нивелировкой по линии Ново-Сибирск—Семипалатинск = 201.41 м (по Ю. А. Шмидту 97.1 саж. или 207.17 м) и в соответствии с этим поправка к данным Ю. А. Шмидта была найдена = -5.76 м. Оценка этим нивелировкам приведена в моей цитированной статье, где указывается, что по перечисленным линиям их погрешности не должны быть значительны.

6. Нивелировка Военно-Топогр. Отдела 6. Туркестанского Военного округа 1) от Красноводска до Ташкента²⁾, 2) от Оренбурга до Ташкента³⁾, и 3) от Ташкента до Маргелана⁴⁾.

Напечатанные в труде И. В. Парийского результаты нивелировки по линии Средне-Азиатской ж. д. от Красноводска до Ташкента отнесены к уровню океана при допущении, что средний уровень Каспийского моря в Красноводске за 1895 г. на 11.8768 саж. ниже среднего уровня Черного моря.

Проф. А. В. Вознесенский⁵⁾ нашел, что средний уровень Каспийского моря в Баку за 75 лет (1851—1925 г.г.) на 11.98 саж. или 25.566 м ниже средн. уровня Черного моря. Средний уровень в Баку за 1895 г. отличается от среднего за 1851—1925 г.г. на +0.177 саж. Допустим, что и в Красноводске отклонение среднего уровня за 1895 г. от среднего за 1851—1925 г.г. было такое же, как и в Баку, тогда получим высоту среднего уровня в Красноводске за 1895 г. = -11.98 саж. + 0.177 саж. = -11.803 саж. Марка на вокзале в Красноводске, по определению И. В. Парийского, на 4.228 саж. выше среднего уровня за 1895 г. и, следовательно, на 7.575 саж. ниже уровня океана. Так как И. В. Парийским высота этой марки принята = -7.650 саж., то поправка к его данным получается +0.075 саж. Эту поправку принимаю к данным И. В. Парийского по всей линии от Красноводска до Ташкента⁶⁾.

5. Steppennivellements der Militär-Topographischen Sektion des Omsker Militär-Bezirks¹⁾. Ich verwertete die Resultate dieser Nivellements nur längs den Linien 1) Ssemipalatinsk—Kopal—Alma-Ata (Wernyj), 2) Ssemipalatinsk—Saissan-See und 3) von Ilijskij Wysselok entlang dem Tal des Flusses Ili bis zur Mündung des Flusses Chörgos. Die Höhe des Ausgangspunktes dieser Nivellements, nämlich die Höhe der 6-ten Stufe beim Eingang in die Kosaken-Kathedrale in Ssemipalatinsk, ist von mir auf Grund des Anschlusses an das Eisenhahnnivellement längs der Linie Nowossibirsk—Ssemipalatinsk gleich 201.41 m (nach J. Schmidt¹⁾ 97.1 Faden oder 207.17 m) angenommen und dementsprechend wurde die Korrektur für die Daten J. Schmidts gleich -5.76 m erhalten. Angaben über die Genauigkeit des Nivellements sind in meiner zitierten Arbeit zu finden, wo darauf hingewiesen wird, dass auf den genannten Linien die Fehler nicht bedeutend sein können.

6. Nivellements der Militär-Topographischen Sektion des Turkestanischen Militär-Bezirks 1) von Krasnowodsk bis Taschkent²⁾, 2) von Orenburg bis Taschkent³⁾ und 3) von Taschkent bis Margelan⁴⁾.

Die in der Arbeit von Parijsky aufgeführten Resultate der Nivellements längs der Mittel-Asiatischen Eisenbahn von Krasnowodsk bis Taschkent sind unter der Annahme, dass das mittlere Niveau des Kaspischen Meeres in Krasnowodsk im Jahre 1895 um 11.8768 Faden niedriger stand, als das mittlere Niveau des Schwarzen Meeres, auf das Meeresniveau reduziert.

Prof. A. V. Wosnessensky⁵⁾ fand, dass das mittlere Niveau des Kaspischen Meeres bei Baku für 75 Jahre (1851—1925) um 11.98 Faden oder 25.566 m unter dem mittleren Niveau des Schwarzen Meeres war. Das mittlere Niveau bei Baku unterschied sich im Jahre 1895 vom Mittel für die Jahre 1851—1925 um +0.177 Faden. Nehmen wir an, dass die Abweichung des mittleren Niveaus für das Jahr 1895 in Krasnowodsk vom Mittel für die Jahre 1851—1925 derjenigen von Baku gleich war, so erhalten wir die Höhe des mittleren Niveaus in Krasnowodsk für das Jahr 1895 = -11.98 Faden + 0.177 Faden = -11.803 Faden. Die Höhenmarke auf dem Bahnhof in Krasnowodsk ist nach der Bestimmung von J. Parijsky um 4.228 Faden höher, als das mittlere Niveau für das Jahr 1895 und folglich um 7.575 F. niedriger als das Meeresniveau. Da die Höhe dieser Marke von J. Parijsky = -7.650 F. angenommen wurde, ist die Korrektur zu seinen Daten gleich +0.075 F. Ich nehme diese Korrektur zu den Daten von J. Parijsky auf der ganzen Linie von Krasnowodsk bis Taschkent an⁶⁾.

¹⁾ Ю. А. Шмидт. Степные нивелировки от Омского репера до г. Верного с ветвью к о. Балхашу и отдельной ветвью от г. Семипалатинска к о. Зайсану. Зап. Военно-Топогр. Отдела Гл. Штаба. Ч. LVI. 1899.

²⁾ И. В. Парийский. Точная нивелировка по Средне-Азиатской казенной ж. д. Зап. Военно-Топогр. Управл. Генер. Штаба. Ч. LXIX, отд. II, 1905.

³⁾ И. В. Парийский. Отчет о точных нивелировках в Туркестане, исполненных в 1900—1907 г.г. Зап. Военно-Топогр. Отдела Гл. Упр. Ген. Штаба. Ч. LXIX, отд. II. 1915.

⁴⁾ Там же.

⁵⁾ А. В. Вознесенский. О новейших данных по изменению уровня Каспийского моря. Известия Центр. Гидрометеорол. Бюро. В. VI. 1926.

⁶⁾ См. замечания по поводу этой связи в книге Н. А. Копылов: Материалы по гипсометрии Казакстана. Из материалов особого Комитета по исследованию союзных и автономных республик. Изд. Академии Наук СССР. 1927.

¹⁾ J. A. Schmidt. Steppennivellements vom Omsker Repère bis Wernyj, mit Abzweigungen nach dem Balchaschsee und von Ssemipalatinsk bis zum Saissansee. Sapiski der Militär-Topographischen Sektion des Generalstabs. T. LVI. 1899. (Russisch).

²⁾ J. W. Parijsky. Präzisionsnivellement längs der Mittel-Asiatischen Kronseisenbahn. Sapiski der Militär-Topogr. Verwaltung d. Generalstabs. T. LXIX. Abt. II. 1905 (Russisch).

³⁾ J. W. Parijsky. Bericht über Präzisionsnivellements in Turkestan in den Jahren 1900—1907. Sapiski der Militär-Topogr. Sektion des Generalstabs. T. LXIX. Abt. II. 1915 (Russisch).

⁴⁾ Dasselbst.

⁵⁾ A. V. Wosnessensky. Neues über die Schwankungen des Wasserstandes im Kaspischen Meer. Nachrichten des Zentralbüros für Hydrometeorologie. Heft VI. 1926.

⁶⁾ S. Besprechung dieses Nivellements in der Arbeit von N. A. Kopylow: Beitrag zur Erforschung der Hypsometrie des Kasakstan. Herausg. von der Akademie der Wissenschaften der USSR. 1927. (Russisch).

Нивелировка по линии Оренбург — Ташкент имеет исходной точкой марку на паровозном здании Ташкентской ж. д. в Оренбурге, высота которой, согласно каталога С. Д. Рылке, принята 44.994 саж. По этой нивелировке высота нуля барометра в Ташкенте получается 223.492 саж. или 476.83 м. С другой же стороны, по нивелировке от Красноводска, высота нуля того же барометра оказалась 224.593 саж. или 479.18 м. Столь значительная невязка (1.10 саж. = 2.35 м) объясняется, по всей вероятности, тем, что нивелировка от Оренбурга до Ташкента велась при неблагоприятных условиях и при том эта линия пройдена большей частью по одному лишь направлению, тогда как нивелировка от Красноводска до Ташкента двухсторонняя.

На сколько можно судить по средним изобарам и по сравнению с данными железнодорожной нивелировки, данные нивелировки В. И. Парийского от Оренбурга до Эмбы не подлежат исправлению. Допускаю, что от Эмбы до Ташкента поправка к данным В. И. Парийского меняется пропорционально расстоянию от 0.00 саж. до +1.10 саж. (+2.35 м). Поправку к данным В. И. Парийского по линии Самарканд — Андижан принимаю ту же, что и для Красноводска (+0.075 саж.).

По связи с нивелировками Военно-Топогр. Управления в Азиатской части СССР определены высоты барометров в следующих пунктах:

409. Свердловск (Екатеринбург)	514. Оловянная
410. Челябинск	515. Манчжурия
413. Тюмень	518. Чжадантунь
415. Курган	546. Харбин
418. Татарская	508. Кокпекты
419. Каинск	509. Усть-Каменногорская ферма
420. Каргатский форпост	532. Аральское море
421. Чулым	533. Казалинск
423. Томск	535. Туркестан
424. Тайга	538. Алма-Ата (Верный)
425. Новосибирск (Кривошеково)	540. Копал
426. Мариинск	541. Борохудзир
429. Красноярск	565. Кизил-Арват
430. Канск	566. Ашхабад (Асхабад)
431. Тайшет	568. Байрам-Али
449. Омск	570. Ленинск-Туркменский (Аму-Дарья)
460. Тулун	572. Самарканд
461. Зима	575. Джизак
462. Усолье	576. Ташкент
464. Иркутск	579. Маргелан
468. Маритуй	580. Андижан
469. Култук	

Д. Нивелировки железных дорог

А. А. Тилло сделал попытку увязать железнодорожные нивелировки с нивелировками Военно-Топографического Отдела Гл. Штаба и составил каталог высот полотна железных дорог у станционных зданий¹⁾. Для ряда узловых станций получились невязки, для устранения которых тогда не имелось достаточно надежных оснований. Со времени выхода в свет труда А. А. Тилло значительно пополнились нивелирные сети как Военно-Топографического Управления, так и железнодорожная и потребовалась переработка гипсометрического материала по железным дорогам. После смерти А. А. Тилло продолжение работ по составлению свода железнодорожных нивелировок перешло к проф. Ю. М. Шокальскому, который напечатал три выпуска «Свода нивелировок», охваты-

¹⁾ А. А. Тилло. Свод нивелировок железных дорог и каталог высот над ур. моря железнодорожных станций. Изд. Минист. Путей Сообщения. 1884.

Das Nivellement längs der Linie Orenburg — Taschkent hat zum Ausgangspunkt die Höhenmarke auf dem Lokomotivgebäude der Taschkenter Eisenbahn in Orenburg, dessen Höhe, nach dem Katalog Rylkes gleich 44.994 F. angenommen ist. Nach diesem Nivellement ist die Höhe des Nullpunkts des Barometers in Taschkent gleich 223.492 F. oder 476.83 m. Andererseits erwies sich die Höhe des Nullpunkts desselben Barometers nach dem Nivellement von Krasnowodsk gleich 224.593 F. oder 479.18 m. Ein so bedeutendes Auseinandergehen (1.10 F. = 2.35 m.) lässt sich aller Wahrscheinlichkeit nach dadurch erklären, dass das Nivellement von Orenburg bis Taschkent unter ungünstigen Bedingungen ausgeführt wurde, wobei diese Linie grösstenteils nur in einer Richtung abgegangen wurde, während das Nivellement von Krasnowodsk bis Taschkent zweiseitig ist.

Soweit man nach den mittleren Isobaren und einer Vergleichung mit den Daten der Eisenbahnnivellements schließen kann, unterliegen die Nivellementsdaten von Parijsky von Orenburg bis Emba keiner Korrektur. Man darf annehmen, dass sich die Korrektur für die Daten von J. Parijsky von Emba bis Taschkent proportional der Entfernung von 0.00 F. bis +1.10 F. (+2.35 m.) ändert. Zu den Daten Parijskys für die Linie Ssamarkand—Andishan nehme ich dieselbe Korrektur an, wie für Krasnowodsk (+0.075 F.).

Auf Grund eines Anschlusses an die Nivellements der Militär-Topographischen Verwaltung im Asiatischen Teil der USSR sind die Barometerhöhen in folgenden Punkten bestimmt:

409. Sswerdlowsk (Ekaterinburg)	514. Olowjannaja
410. Tscheljabinsk	515. Mantschshurija
413. Tjumen	518. Tschshalantun
415. Kurgan	546. Charbin
418. Tatarskaja	508. Kokpekty
419. Kainsk	509. Ust-Kamenogorskaja Ferma
420. Kargatskij Forpost	532. Aralskoe More
421. Tschulym	533. Kasalinsk
423. Tomsk	535. Turkesstan
424. Taiga	538. Alma-Ata (Wernyj)
425. Nowossibirsk (Kriwoschtschokowo)	540. Kopal
426. Mariinsk	541. Borochudsir
429. Krasnojarsk	565. Kisil-Arwat
430. Kansk	566. Aschhabad (Asschabad)
431. Taischet	568. Bairam-Ali
449. Omsk	570. Leninsk-Turkmenskij (Amu-Darja)
460. Tulun	572. Ssamarkand
461. Sima	575. Dshisak
462. Ussolje	576. Taschkent
464. Irkutsk	579. Margelan
468. Maritui	580. Andishan.
469. Kultuk	

Д. Nivellemenets der Eisenbahnen

A. A. Tillo machte den Versuch die Eisenbahnnivellements mit den Nivellements der Militär-Topographischen Sektion des Generalstabs in Einklang zu bringen und stellte einen Katalog der Höhen der Eisenbahndämme bei den Stationsgebäuden zusammen¹⁾. Eine Reihe von Knotenpunkten ergaben ein Auseinandergehen, zu dessen Beseitigung damals noch keine genügende Stütze vorhanden war. Seit dem Erscheinen der Arbeit A. Tillo's haben sich die Nivellementsnetze sowohl der Militär-Topographischen Verwaltung, als auch der Eisenbahnen bedeutend ergänzt und das hypsometrische Material für das Eisenbahnnetz harnte einer Neubearbeitung. Nach dem Tode A. Tillo's übernahm die Fortsetzung der Zusammenstellung des Katalogs der Eisenbahnnivellements Prof. J. Schokalsky, der drei Lieferungen

¹⁾ А. А. Тилло. Каталог der auf Grund der Eisenbahnnivellements bestimmten Seehöhen der Eisenbahnstationen. Herausgegeben vom Verkehrsministerium. 1884 (Russisch).

вающих территорию от западной границы СССР на восток примерно до 40-го меридиана от Гринвича¹⁾. По указаниям и под руководством Ю. М. Шокальского в большом числе пунктов были произведены связочные нивелировки до марок Военно-Топографического Управления. В труде Ю. М. Шокальского приводятся также данные для суждения о пределах точности принятых им поправок профилей железных дорог. Оказывается, что поправки могли быть даны с точностью до 0.3 саж или 0.6 м. При определении высот барометров по связи с железными дорогами, вошедшими в I и II выпуски «Свода нивелировок» Ю. М. Шокальского я пользовался исключительно высотами рельсов жел. дорог, приведенными в этом труде.

Что же касается выпуска III, то он появился в свет, когда таблицы настоящей монографии были уже отпечатаны, и я мог лишь сверить принятые мною высоты рельсов жел. дор. с определенными Ю. М. Шокальским, причем оказалось, что во многих случаях наши данные вполне совпадали; для остальных же пунктов получились лишь незначительные расхождения. Таким образом, можно считать, что нет несогласованности между принятыми мною высотами барометров для западного и для восточного районов Европ. части СССР.

К профилям следующих жел. дорог в Европ. части Союза поправки определены мною.

I. *Мурманская ж. д.* Поправка принята равной 0.0 саж., так как нивелировка этой дороги увязана с нивелировкой Военно-Топогр. Управления на ст. Обухово и доведена до берега Кольского залива.

II. *Северные жел. дор.* Линия Ленинград—Вологда—Вятка. К профилю этой линии по связи с маркою Военно-Топогр. Управления на Октябрьском вокзале в Ленинграде, а также с маркою того же Управления в Самаре и с репером в Архангельске при посредстве нивелировок речных описных партий мною найдены следующие поправки: от Обухова до Вологды = — 0.41 саж. и от Вологды до Вятки = — 1.08 саж.²⁾

Линия Москва—Ярославль. По связи с маркою Военно-Топографического Управления в Москве на Октябрьском вокзале поправка к профилю этой линии найдена = + 3.10 саж. Она контролируется по связи с нивелировкой р. Волги в Ярославле³⁾.

Линия Новки—Иваново-Вознесенск. Поправка к профилю определяется по связи с нивелировкой по линии Москва—Нижний Новгород = + 6.45 саж. Связь с нивелировками Военно-Топограф. Управления при посредстве нивелировок по другим железнодорожным линиям ненадежна⁴⁾.

des Katalogs, welche das Territorium von der westlichen Grenze der USSR nach Osten hin ungefähr bis zum 40. Meridian von Greenwich umfassen, veröffentlichte¹⁾. Im Auftrage von J. M. Schokalsky und unter seiner Leitung wurden an vielen Punkten Verbindungsniwellements bis zu den Höhenmarken der Militär-Topographischen Verwaltung ausgeführt. In der Arbeit von J. Schokalsky werden auch Daten zur Beurteilung der Grenzen der Genauigkeit der von ihm angenommenen Korrekturen der Eisenbahnprofile mitgeteilt. Es erwies sich, dass die Korrekturen mit einer Genauigkeit bis 0.3 F. oder 0.5 m gegeben werden könnten. Bei der Höhenbestimmung der Barometer auf Grund eines Anschlusses an die Eisenbahnen, welche in den Lieferungen I u. II des Katalogs von J. M. Schokalsky berücksichtigt sind, verwertete ich ausschliesslich die im Katalog angeführten Höhen der Schienen der Eisenbahnen.

Was die Lieferung III betrifft, so erschien sie erst, als die Tabellen der vorliegenden Arbeit bereits gedruckt waren, und ich konnte nur die von mir angenommenen Höhen der Schienen der Eisenbahnen mit den von J. M. Schokalsky bestimmten vergleichen, wobei es sich ergab, dass unsere Daten in vielen Fällen übereinstimmten; für die übrigen Punkte ergab sich nur ein geringes Auseinandergehen. Folglich kann man behaupten, dass die von mir angenommenen Höhen der Barometer sowohl für den westlichen als auch für den östlichen Rayon des Europäischen Teils der USSR keine wesentlichen Abweichungen von den Daten des Prof. Schokalsky aufweisen.

Für die Profile folgender Eisenbahnen im Europäischen Teil der USSR sind die Korrekturen von mir bestimmt.

I. *Murmansker Eisenbahn.* Die Korrektur ist gleich 0.0 Faden angenommen, weil das Nivellement dieser Bahn auf der Station Obuchowo (unweit Leningrad) einen Anschluss an das Nivellement der Militärtopographischen Verwaltung hat und andererseits bis zum Ufer der Kolabucht fortgesetzt ist.

II. *Nordbahnen.* Eisenbahnlinie Leningrad—Wologda—Wjatka. Es ergaben sich für das Profil dieser Linie mittelst Anschlusses an die Höhenmarke der Militär-Topographischen Verwaltung auf dem Oktober-Bahnhof in Leningrad, an die Marke derselben Verwaltung in Ssamara und an die Höhenmarke in Archangelsk (der Anschluss an beide letzteren Marken wurde durch Flussniwellements vermittelt) folgende Korrekturen: von Obuchowo bis Wologda = — 0.41 Faden und von Wologda bis Wjatka = — 1.08 Faden²⁾.

Linie Moskau-Jaroslavl. Mittelst Anschlusses an die Höhenmarke der Militär-Topographischen Verwaltung in Moskau wurde eine Korrektur von + 3.10 Faden für das Profil dieser Linie beim Oktober-Bahnhof gefunden. Sie wird durch den Anschluss an das Nivellement der Wolga bei Jaroslavl kontrolliert³⁾.

Linie Nowki—Iwanowo-Wosnessensk. Die Korrektur des Profils erhält man auf Grund des Anschlusses an das Nivellement längs der Linie Moskau—Nishnij-Nowgorod = + 6.45 Faden. Die Beziehung auf die Nivellements der Militär-Topographischen Verwaltung mittelst der Nivellements anderer Eisenbahnlinien ist unzuverlässig⁴⁾.

¹⁾ Ю. М. Шокальский. Л. с.

²⁾ А. А. Каминский. Обзор точных нивелировок, на которые опираются определения абс. высот барометров на метеорологических станциях в России. Летописи Гл. Физ. Обсерватории за 1907 г.

³⁾ А. А. Каминский. Л. с.

⁴⁾ А. А. Каминский. Л. с.

¹⁾ J. M. Schokalsky. L. c.

²⁾ A. Kaminsky. Uebersicht genauer Nivellements, auf die sich die Bestimmung der Seehöhen der Barometer der meteorologischen Stationen in Russland stützt. Annalen des Phys. Zentral-Observatoriums für 1907.

³⁾ A. Kaminsky. L. c.

⁴⁾ A. Kaminsky. L. c.

III. *Пермская жел. дор.* Поправка к профилю линии Пермь—Вятка—Котлас определяется 1) по связи с нивелировками Северных ж. д. в Вятке, 2) по связи с репером Военно-Топогр. Управления в Самаре при посредстве нивелировок описных партий Камы и Волги и 3) по связи в Котласе с нивелировкой описной партии р. Сев. Двины. В среднем выводе для этой линии найдена поправка $+3.85$ саж. ¹⁾

В Свердловске по связи с нивелировкой военного топографа Александрова к профилю Пермской ж. д. выведена поправка $+0.80$ саж. Принимаем, что для промежуточных между Пермью и Свердловском пунктов, поправка меняется от $+3.85$ саж. до $+0.80$ саж. пропорционально расстоянию. Впрочем возможно, что определенная Александровым высота Свердловска метра на 2 меньше действительной.

Поправка к профилю линии Чусовская—Березники, имеющему для ст. Чусовской общую отметку с магистралью, принята мною та же, что и для Чусовской ($+3.08$ саж.). По связи с нивелировкой Камской описной партии в Березниках она оказалась $=+2.5$ саж.

Поправка к профилю Нижнетагильской ветки принята та же, что и к магистрали для Нижне-Тагильска ($+1.67$ саж.).

V. *Октябрьская ж. д.* Линия Бологое—Рыбинск. По связи с маркою Военно-Топогр. Управления на ст. Бологое поправка к профилю этой линии получается $+1.13$ саж. Эта поправка контролируется по связи с нивелировкой Волжской описной партии ²⁾.

VI. *Московско-Нижегородская ж. д.* Поправка к профилю Московско-Нижег. ж. д. определяется по связи с маркою Военно-Топогр. Управления на Октябрьском вокзале в Москве $=+3.57$ саж. Величина эта контролируется по связи с нивелировкой Волжской описной партии ³⁾.

VII. *Самаро-Златоустовская ж. д.* Нивелировка этой дороги по линии Самара—Челябинск увязана с марками Военно-Топограф. Управления на ряде станций, причем обнаружилось весьма близкое согласие результатов обеих нивелировок, в пределах до ± 0.1 саж. ⁴⁾. Отметки профиля этой линии мною взяты без поправок.

К профилю линии Оренбург—Эмба принимаю поправку 0.0 саж. на том основании, что этот профиль контролируется с точностью до ± 0.5 м по связи с нивелировкой Военно-Топограф. Отдела 6. Туркестанского военного округа.

XIII. *Западные ж. д.* Для всех линий этих дорог, кроме Жиздринской ветки, исправленные высоты полотна взяты по труду Ю. М. Шокальского ⁵⁾.

III. *Die Perm-Eisenbahn.* Die Korrektion des Profils der Linie Perm—Wjatka—Kotlas wurde bestimmt 1) auf Grund des Anschlusses an die Nivellements der Nordbahnen in Wjatka, 2) auf Grund des Anschlusses an die Höhenmarke der Militär-Topographischen Verwaltung in Ssamara vermittelst des Nivellements der Flüsse Kama und Wolga und 3) durch Anschluss in Kotlas an das Nivellement der Nördlichen Dwina. Im Mittel hat sich für diese Linie die Korrektion $+3.85$ Faden ergeben ¹⁾.

In Sswerdlowsk wurde durch Anschluss an das Nivellement des Militär-Topographen Alexandrow die Korrektion $+0.80$ Faden für das Profil der Permschen Eisenbahn hergeleitet. Wir nehmen an, dass sich die Korrektion für die zwischen Perm und Sswerdlowsk liegenden Punkte von $+3.85$ Faden proportional der Entfernung ändert. Uebri-gens lassen die Jahresisobaren nicht unwahrscheinlich erscheinen, dass die von Alexandrow bestimmte Höhe für Sswerdlowsk um 2 m kleiner ist, als die tatsächliche.

Für das Profil der Linie Tschussowskaja-Beresniki, die für die Station Tschussowskaja eine gemeinsame Höhenangabe mit der Magistrale hat, wurde von mir dieselbe Korrektion, wie für Tschussowskaja ($+3.08$ Faden) angenommen. Der Anschluss an das Nivellement des Kama-Nivellements in Beresniki ergab die Korrektion $=+2.5$ Faden.

Für das Profil der Nishnetagilskischen Zweigbahn wurde dieselbe Korrektion wie für die Magistrale für Nishne-Tagilsk ($+1.67$ F.) angenommen.

V. *Oktober-Bahn.* Bologoe—Rybinsker Linie. Auf der Station Bologoe ergibt sich auf Grund des Anschlusses an die Höhenmarke der Militär-Topographischen Verwaltung die Korrektion des Profils dieser Linie $=+1.13$ F. Diese Korrektion wird durch das Nivellement der Wolga kontrolliert ²⁾.

VI. *Moskau-Nishnij-Nowgorod-Bahn.* Die Korrektion des Profils dieser Bahn wird auf Grund des Anschlusses an die Höhenmarke der Militär-Topographischen Verwaltung auf dem Oktober-Bahnhof in Moskau $=+3.57$ F. bestimmt. Dieser Wert wird durch das Nivellement der Wolga kontrolliert ³⁾.

VII. *Ssamara-Slatouster Bahn.* Das Nivellement dieser Bahn längs der Linie Ssamara-Tscheljabinsk ist auf einer Reihe von Stationen mit den Marken der Militär-Topographischen Verwaltung verbunden, wobei sich eine sehr nahe Uebereinstimmung der Resultate beider Nivellements (bis ± 0.1 Faden) offenbarte ⁴⁾. Die Angaben des Profils dieser Linie wurden von mir ohne Korrektion verwertet.

Für das Profil der Linie Orenburg—Emba nehme ich die Korrektion 0.0 Faden aus dem Grunde an, weil dieses Profil mit einer Genauigkeit bis ± 0.5 m, durch das Nivellement der Militär-Topographischen Verwaltung des Turkestanischen Militär-Bezirks kontrolliert wird.

XII. *West-Eisenbahnen.* Für alle Linien dieser Bahnen, mit Ausschluss der Shisdra-Zweigbahn, sind die korrigierten Höhen des Eisenbahndammes der Arbeit J. M. Schokalsky's entnommen ⁵⁾.

¹⁾ А. А. Каминский. Л. с.

²⁾ А. А. Каминский. Л. с.

³⁾ А. А. Каминский. Л. с.

⁴⁾ А. А. Каминский. Основания для исправления абс. высот барометров некоторых мет. станций преимущественно в Азиатской России. Летописи Г. Физ. Обсерватории за 1909 г.

⁵⁾ Ю. М. Шокальский. Свод нивелировок ж. д. Европ. Рос-сии. Вып. II.

¹⁾ A. Kaminsky. L. c.

²⁾ A. Kaminsky. L. c.

³⁾ A. Kaminsky. L. c.

⁴⁾ A. Kaminsky. Die Grundlage zur Verbesserung der Seehöhen einiger met. Stationen hauptsächlich im Asiatischen Russland. Annalen des Phys. Zentral-Obs. für 1909 (Russisch).

⁵⁾ J. M. Schokalsky. Katalog der Eisenbahnnivellements des Europäischen Russlands. Lief. II.

Поправка к профилю линии Зикеево — Жиздра (10 км) принята та же, что и к профилю линии Брянск — Льгов для ст. Зикеево (+ 0.76 саж.). Эта последняя линия привязана к маркам Военно-Топографического Управления в Брянске и в Льгове ¹⁾.

XIII. *Московско-Курская ж. д.* Исправленные высоты полотна этой дороги взяты по Ю. М. Шокальскому ²⁾ за исключением линии Тула — Рязань. К профилю последней линии поправка определяется по связи на станции Клеотки (в 47 км от Скопина) с нивелировкой Экспедиции для исследования источников главных рек Европ. России ³⁾ (погр. + 0.25 саж.) и на ст. Еглдаево (в 32 км от Скопина) по связи с маркой Военно-Топогр. Управления (погр. + 0.80 саж.). Для Скопина принята поправка + 0.6 саж. ⁴⁾.

XIV. *Рязано-Уральская ж. д.* Увязка отдельных линий этой дороги с нивелировками Военно-Топогр. Управления рассматривается в моей статье, помещенной в Летописях Гл. Физической Обсерватории за 1907 г. ⁵⁾. Высота барометра в Уильском определена точной нивелировкой Экспедиции Рязано-Уральской ж. д. от Уральска до Кунграда, произведенной под руководством С. Н. Никитина ⁶⁾. Поправка к этой нивелировке, принятая С. Н. Никитиным, по связи с маркой Военно-Топогр. Управления в Козлове, увеличена на + 0.07 саж. Нивелировки Ряз.-Уральской ж. д. по отдельным линиям удовлетворительно увязываются как между собою, так и с нивелировками Волжской описной партии, Экспедиции для исследования источников главных рек Европ. России ⁷⁾ и железных дорог, примыкающих к Рязано-Уральской дороге.

XV. *Московско-Казанская ж. д.* К профилю линии Вернадовка — Заметчино поправка определяется по связи с маркой Военно-Топографического Управления в Вернадовке, отстоящей от Заметчина в 28 км ⁸⁾.

XVI. *Юго-Западные ж. д.* Поправки к профилям отдельных линий Юго-Зап. ж. д. даны в моей статье в Летописях Г. Физич. Обсерватории за 1907 г. ⁹⁾. Нивелировки названных дорог увязаны в значительном числе пунктов с нивелировками Военно-Топогр. Управления и удовлетворительно контролируются.

XVII. *Южные ж. д.* Данные для Южн. ж. д. взяты по Ю. М. Шокальскому ¹⁰⁾ за исключением линии Белгород — Купянск. Поправки к профилю этой послед-

Для профилей линий Сикеево — Жиздра (10 км) и для профилей линий Брянск — Льгов для ст. Зикеево (+ 0.76 F.) приняты. Последняя линия привязана к маркам Военно-Топографического Управления в Брянске и в Льгове ¹⁾.

XIII. *Moskau-Kursker Bahn.* Die korrigierten Höhen des Eisenbahndammes dieser Linie sind nach J. M. Schokalsky ²⁾, mit Ausnahme der Linie Tula-Rjaschsk, genommen. Die Korrektur des Profils der letzteren Linie wird für die Station Kleotki (47 km, von Sskopin entfernt) auf Grund des Anschlusses an das Nivellement der Expedition zwecks Untersuchung der Quellen der Haupt-Flüsse im Europäischen Russland ³⁾ (Korr. + 0.25 F.) bestimmt und für die Station Egoldaevo (32 km von Sskopin entfernt) auf Grund des Anschlusses an die Marke der Militär-Topographischen Verwaltung (Korr. + 0.80 F.). Für Sskopin ist die Korrektur + 0.6 F. angenommen ⁴⁾.

XIV. *Rjasan-Uralsker Bahn.* Die Beziehung einzelner Linien dieser Eisenbahn auf die Nivellements der Militär-Topographischen Verwaltung wird in meiner Arbeit, die in den Annalen des Physikalischen Zentral-Observatoriums für das Jahr 1907 erschienen ist ⁵⁾, besprochen. Die Höhe des Barometers in Uilskoe wurde durch ein genaues Nivellement der Expedition der Rjasan-Uralsker Bahn längs der Linie von Uralsk bis Kungrad, welches unter der Leitung von S. Nikitin ⁶⁾ ausgeführt wurde, bestimmt. Die von Nikitin auf Grund des Anschlusses an die Höhenmarke der Militär-Topographischen Verwaltung in Koslow erhaltene Korrektur dieses Nivellements ist von mir um + 0.07 Faden vergrößert worden. Die Nivellements der Rjasan-Uralsker Bahn auf den einzelnen Linien stimmen sowohl untereinander, als auch mit den Nivellements der Wolga, der Expedition zwecks Untersuchung der Quellen der Hauptflüsse im Europäischen Russland ⁷⁾ und der Eisenbahnen, welche sich an die Rjasan-Uralsker Bahn anschliessen, genügend überein.

XV. *Moskau-Kasaner Bahn.* Für das Profil der Linie Wernadowka — Semettschino wurde die Korrektur auf Grund eines Anschlusses an die Marke der Militär-Topographischen Verwaltung in Wernadowka (28 km von Semettschino entfernt) bestimmt ⁸⁾.

XVI. *Südwest-Bahnen.* Die Korrekturen der Profile einzelner Linien der Südwest-Bahnen sind in meiner Arbeit, die in den Annalen des Physikalischen Zentral-Observatoriums für das Jahr 1907 erschienen ist ⁹⁾, angegeben. Die Nivellements der genannten Bahnen sind in einer bedeutenden Anzahl von Punkten mit den Nivellements der Militär-Topographischen Verwaltung verbunden und werden somit genügend kontrolliert.

XVII. *Süd-Bahnen.* Die Daten für die Süd-Bahnen, mit Ausnahme der Linie Belgorod — Kupjansk, sind nach J. M. Schokalsky genommen ¹⁰⁾. Die Korrekturen des

¹⁾ А. А. Каминский. Обзор точных нивелировок, на которые опираются определения абс. высот барометров на мет. станциях в России.

²⁾ Ю. М. Шокальский. Свод нивелировок ж. д. Европ. части СССР. Вып. II и III.

³⁾ А. А. Фок. Л. с.

⁴⁾ А. А. Каминский. Л. с.

⁵⁾ А. А. Каминский. Л. с.

⁶⁾ С. Н. Никитин. Отчеты Экспедиции 1892 г. в Зауральские степи Уральской обл. и Усть-Урт. СПб. 1893.

⁷⁾ А. А. Фок. Л. с.

⁸⁾ А. А. Каминский. Л. с.

⁹⁾ А. А. Каминский. Л. с.

¹⁰⁾ Ю. М. Шокальский. Л. с.

¹⁾ A. Kaminsky. Uebersicht genauer Nivellements, auf die sich die Bestimmungen der Seehöhen der Barometer der meteorol. Stationen in Russland stützen.

²⁾ J. M. Schokalsky. Katalog der Eisenbahnnivellements des Europ. Teils d. USSR. Lief. II u. III.

³⁾ A. A. Fock. L. c.

⁴⁾ A. Kaminsky. L. c.

⁵⁾ A. Kaminsky. L. c.

⁶⁾ S. N. Nikitin. Berichte der Expedition von 1892 nach den jenseits des Uralflusses gelegenen Steppen und dem Usst-Urt. SPb. 1893. (Russisch).

⁷⁾ A. A. Fock. L. c.

⁸⁾ A. A. Kaminsky. L. c.

⁹⁾ A. A. Kaminsky. L. c.

¹⁰⁾ J. M. Schokalsky. L. c.

ней линии определяются по связи с нивелировкой Л. О. Струве в Белгороде ¹⁾ (попр. = — 0.39 саж.) и для ст. Купянск по связи с маркою Военно-Топогр. Отдела на ст. Лиски при посредстве Харьково-Балашовской линии (попр. = — 1.22 саж.) ²⁾. Для промежуточных станций меняем поправку пропорционально расстоянию.

XVIII. *Екатерининская ж. д.* Для этой дороги данные, взяты по Ю. М. Шокальскому ³⁾, которые впрочем не расходятся с вычисленными мною ⁴⁾.

XIX. *Юю-Восточные ж. д.* Поправки к профилям Юго-Вост. ж. д. даны в моей статье в *Летописях Гл. Физ. Обсерватории* за 1907 г. ⁵⁾. Для линии Лиски—Балашов (313 км) поправка меняется от + 0.42 саж. (Лиски) до — 0.35 саж. (Балашов), для линии Грязи—Поворино (236 км) от — 8.5 саж. (Грязи) до — 5.41 саж. (Поворино). На протяжении 102 км от Жердовки до Поворино изменение поправки достигает 1.70 саж. = 2.28 м. Допускаю, что поправка меняется здесь пропорционально расстоянию.

XX. *Донецкие ж. д.* Для линии Лозовая—Константиновка—Ясиноватая (203 км) поправка к профилю заключается в пределах от — 0.15 саж. (Лозовая) до — 0.66 саж. (Ясиноватая). Допускаю, что она меняется пропорционально расстоянию.

Для линии Дебальцево—Луганск (77 км) по связи с марками Военно-Топогр. Управления в Звереве (при посредстве железнодорож. линии Зверев—Дебальцево) и в Криничной (при посредстве линии Криничная—Хацепетовка—Дебальцево) поправка получается = — 0.88 саж. Этой величине отдаю предпочтение перед результатом, полученным по связи на ст. Миллерово, который расходитсся с указанной поправкой на 0.97 саж., так как нивелировка по линии Дебальцево—Луганск там, где она контролируется другими нивелировками, оказывается вполне точной ⁶⁾.

XXI. *Северо-Кавказские ж. д.* Линия Кавказская—Ставрополь. К профилю этой линии принимаю поправку, определенную по связи с маркою Военно-Топогр. Управления на ст. Кавказской = + 0.77 саж. Нивелировка по этой линии проверяется только при помощи средних изобар.

Линия Беслан—Грозный. Поправка к профилю этой линии определяется по связи с маркою Военно-Топогр. Управления на ст. Беслан = + 0.67 саж. Судя по тому, что на участке Беслан—Грозный разности между абсолютными высотами марок названного Управления, заложенными на станционных зданиях, и отметками высот по профилю железной дороги, меняются лишь незначительно, в пределах до 0.3 саж. = 0.6 м, можно принять и для Грозного поправку к профилю ту же, что и для Беслана, а именно + 0.67 саж.

XXII. *Закавказские ж. д.* Так как на всех станциях Закавказских ж. д., за исключением закрытой Сурамской

Профили der letzteren Linie erhält man auf Grund des Anschlusses an das Nivellement von L. Struve in Belgorod ¹⁾ (= — 0.39 Faden) und für die Station Kupjansk auf Grund des Anschlusses an die Marke der Militär-Topographischen Verwaltung auf der Station Liski vermittelt der Linie Charkow—Balaschow (= — 1.22 F.) ²⁾. Ich nehme an, dass die Korrektion für Zwischenstationen sich proportional der Entfernung ändert.

XVIII. *Katharina-Bahn.* Die Daten für diese Bahn sind dem Katalog von J. M. Schokalsky ³⁾ entnommen; sie stimmen übrigens mit den von mir berechneten überein ⁴⁾.

XIX. *Süd-Ost-Bahnen.* Die Korrekturen der Profile der Süd-Ost-Bahnen sind in meiner Arbeit in den *Annalen des Physikalischen Zentral-Observatoriums* für das Jahr 1907 mitgeteilt ⁵⁾. Für die Linie Liski—Balaschow (313 km) ändert sich die Korrektion von + 0.42 Faden (Liski) bis — 0.35 Faden (Balaschow) und für die Linie Grjasi—Poworino (236 km) von — 8.5 Faden (Grjasi) bis — 5.41 Faden (Poworino). Auf der 102 km Strecke von Sherdowka bis Poworino erreicht die Änderung der Korrektion 1.70 Faden = 2.28 m. Ich nehme an, dass die Korrektion hier sich proportional der Entfernung ändert.

XX. *Donez-Bahnen.* Für die Linie Losowaja—Konstantinowka—Jassinowataja (203 km) ändert sich die Korrektion des Profils in den Grenzen von — 0.15 Faden (Losowaja) bis — 0.66 Faden (Jassinowataja) ²⁾. Ich nehme an, dass sie sich proportional der Entfernung ändert.

Für die Linie Debalzewo—Lugansk (77 km) erhält man auf Grund des Anschlusses an die Höhenmarken der Militär-Topographischen Verwaltung in Swerewo (vermittelt der Eisenbahnlinie Swerewo—Debalzewo) und in Krinitschnaja (vermittelt der Linie Krinitschnaja—Chazepetowka—Debalzewo) die Korrektion + 0.88 Faden. Ich gebe diesem Wert den Vorzug vor dem Resultat, das auf Grund des Anschlusses auf der Station Millerowo erhalten wurde und sich von der erwähnten Korrektion um 0.97 Faden unterscheidet, da sich das Nivellement längs der Linie Debalzewo—Lugansk, dort, wo es durch andere Nivellements kontrolliert wird, als genau erweist ⁶⁾.

XXI. *Nord-Kaukasische Bahnen.* Linie Kawkasskaja—Stawropol. Für das Profil dieser Linie nehme ich die auf Grund des Anschlusses an die Höhenmarke der Militär-Topographischen Verwaltung auf der Station Kawkasskaja bestimmte Korrektion = + 0.77 Faden an. Das Nivellement längs dieser Linie wird nur mit Hilfe der mittleren Isobaren kontrolliert.

Linie Beslan—Grosnyj. Die Korrektion des Profils dieser Linie wird auf Grund des Anschlusses an die Marke der Militär-Topographischen Verwaltung auf der Station Beslan = + 0.67 Faden erhalten. Darnach zu urteilen, dass auf der Strecke Beslan—Grosnyj die Differenzen zwischen den Seehöhen der auf Bahnhöfen angebrachten Marken der genannten Verwaltung und den am Eisenbahnprofil abgelesenen Höhen nur unbedeutend variieren (bis 0.3 Faden = 0.6 m) darf man auch für Grosnyj dieselbe Korrektion des Profils wie für Beslan annehmen, nämlich + 0.67 Faden.

XXII. *Süd-Kaukasische Bahnen.* Da auf allen Süd-Kaukasischen Eisenbahnen, mit Ausnahme der sistierten Ssuram

¹⁾ Л. О. Струве. Соединение Харькова с русской нивелирной сетью точной нивелировкой.

²⁾ А. А. Каминский. Л. с.

³⁾ Ю. М. Шокальский. Л. с.

⁴⁾ А. А. Каминский. Л. с.

⁵⁾ А. А. Каминский. Л. с.

⁶⁾ А. А. Каминский. Л. с. Стр. 3.

¹⁾ L. Struve. Verbindung von Charkow mit dem russischen Nivellementsnetz durch ein Präzisionsnivellement.

²⁾ A. A. Kaminsky. L. c.

³⁾ J. M. Schokalsky. L. c.

⁴⁾ A. A. Kaminsky. L. c.

⁵⁾ A. A. Kaminsky. L. c.

⁶⁾ A. A. Kaminsky. L. c.

линии, имеются марки Военно-Топогр. Управления, оказалось возможным высоты барометров по этой линии определить по отношению к этим маркам, правда, на ряде станций с возможной погрешностью в пределах до ± 0.3 м. Высоты барометров, определенные по связи с железнодорожной нивелировкой, нигде не отличаются от высот, найденных по связи с марками Военно-Топогр. Отдела, больше чем на 1 м. Принимая во внимание, что абсол. высоты полотна Закавказских ж. д. меняются в широких пределах, указанное обстоятельство можно признать подтверждением вполне удовлетворительной точности обеих нивелировок. Отметки высот по профилю Сурамской линии мною взяты без поправки.

XXIII. Омская ж. д. Как для линии Челябинск—Новосибирск (1421 км), так и для линии Тайга—Томск (88 км) я мог воспользоваться результатами нивелировки, произведенной по поручению Военно-Топогр. Управления военным топографом Александровым¹⁾. Поправка к результатам этой нивелировки мною принята = -74.98 саж. В тех немногих пунктах, где барометры были связаны не с марками Александрова, а с нивелировкой железной дороги, мною брались отметки полотна и реперов жел. дороги, исправленные относительно результатов нивелировки Александрова.

Нивелировка Алтайской линии Омской жел. дор. (Новосибирск—Семипалатинск 653 км) увязана с нивелировкой Александрова на станции Новосибирск. Для проверки результатов нивелировки по этой линии могут служить определения высоты барометра в Барнауле, по связи с речной нивелировкой, и в Семипалатинске по связи со степной нивелировкой Военно-Топогр. Отдела б. Омского военного округа. В Барнауле по речной нивелировке до ст. Тайга Омской ж. д. получается высота барометра, отличающаяся всего на 0.5 м от найденной по связи с железнодорожной нивелировкой (157.6 м против 158.1 м), в Семипалатинске абсол. высота барометра за 1891—1897 г.г. по железнодорожной нивелировке получилась на 6.2 м меньше чем по степной нивелировке Военно-Топогр. Отдела до Омска (200.6 м против 206.8 м). В 1901 г. мною было указано, что положительная погрешность отметки высоты репера Военно-Топографического Отдела в Семипалатинске достигает приблизительно $3\frac{1}{2}$ саж. или 7 м²⁾. При черчении средних изобар для Климатологического Атласа Гл. Физ. Обсерватории мною была взята высота барометра в Семипалатинске, уменьшенная на 7 м.

¹⁾ А. А. Каминский. Определение абс. высот барометров метеоролог. станций в Азиатской России.

А. А. Каминский. Обзор точных нивелировок, на которые опираются определения абс. высот барометров на метеоролог. станциях в России. Летописи Гл. Физ. Обсерватории за 1907 г.

А. А. Каминский. Основания для исправления абс. высот барометров некоторых метеоролог. станций преимущественно в Азиатской России. Летописи Гл. Физ. Обсерватории за 1909 г.

Ю. А. Шмидт. Поверочная нивелировка по линии Сибирской жел. дор. на Красноярско-Иркутском участке, произведенная в 1900—1901 г.г. военным топографом Александровым. Зап. Военно-Топогр. Управл. Ч. LXI, отд. II.

²⁾ А. А. Каминский. Определение абс. высот барометров метеор. станций в Азиатской России. Стр. 31.

линии, Марки der Militär-Topographischen Verwaltung vorhanden sind, war es möglich die Höhen der Barometer auf dieser Linie durch Anschluss an diese Marken zu bestimmen, wobei freilich auf einigen Stationen der Fehler der Bestimmung der Höhe des Barometers über der Marke bis ± 0.3 m erreichen dürfte. Die Höhen der Barometer, deren Bestimmung auf dem Eisenbahn-Nivellement basiert, unterscheiden sich nirgends mehr als um 1 m von den Höhen, die auf Grund des Anschlusses an die Marken der Militär-Topographischen Verwaltung erhalten sind. Wenn man in betracht zieht, dass die Seehöhe des Eisenbahndammes dieser Bahn in weiten Grenzen variiert, darf der Umstand, auf den ich hingewiesen habe, als Bestätigung der durchaus genügenden Genauigkeit der beiden Nivellements gelten. Die Höhenangaben des Profils der Ssuram-Bahn habe ich ohne Korrektur genommen.

XXIII. Omsker-Eisenbahn. Sowohl für die Linie Tscheljabinsk—Nowossibirsk (1421 km) wie auch für die Linie Taiga—Tomsch (88 km) konnte ich die Resultate des Nivellements verwerten, welches im Auftrag der Militär-Topographischen Verwaltung vom Militär-Topographen Alexandrow ausgeführt wurde¹⁾. Ich nahm die Korrektur der Resultate dieses Nivellements zu -7.98 Faden an. In den wenigen Punkten, wo die Barometer nicht mit den Marken von Alexandrow sondern mit dem Nivellement der Eisenbahn verbunden sind, reduzierte ich die Höhen des Eisenbahndammes und der Repere der Eisenbahn auf die korrigierten Resultate des Nivellements von Alexandrow.

Das Nivellement der Altai-Linie der Omsker Bahn (Nowossibirsk—Ssemipalatinsk 653 km) ist an das Nivellement Alexandrows auf der Station Nowossibirsk angeschlossen. Die Bestimmung der Höhen der Barometer in Barnaul auf Grund des Anschlusses an das Flussnivellement und in Ssemipalatinsk auf Grund der Verbindung mit dem Steppennivellement der Militär-Topographischen Sektion des Omsker Militär-Bezirks können als Kontrolle der Resultate des Nivellements längs dieser Linie dienen. In Barnaul erhält man nach dem Flussnivellement bis zur Station Taiga der Omsker Eisenbahn eine Höhe des Barometers, welche sich nur um 0.5 m von der auf Grund des Anschlusses an das Eisenbahnnivellement gefundenen unterscheidet (157.6 m gegen 158.1 m), in Ssemipalatinsk wurde für die Jahre 1891—1896 nach dem Eisenbahnnivellement eine um 6.2 m geringere Höhe des Barometers erhalten, als nach den Steppennivellements der Militär-Topographischen Sektion bis Omsk (200.6 m, gegen 206.8 m). Im Jahre 1901 wies ich darauf hin, dass der Fehler, der vermittelt des Nivellements der Militär-Topographischen Sektion bestimmten Höhen in Ssemipalatinsk ungefähr $3\frac{1}{2}$ Faden, oder 7 m, betragen müsse²⁾. Ich nahm beim Zeichnen der mittleren Isobaren für den Klimatologischen Atlas des Physikalischen Zentral-Observatoriums die um 7 m herabgesetzte Höhe des Barometers an.

¹⁾ A. Kaminsky. Bestimmung der Seehöhen der meteorologischen Stationen im Asiatischen Russland, 1901.

A. Kaminsky. Uebersicht genauer Nivellements, auf die sich die Bestimmung der Seehöhen der Barometer auf den meteorologischen Stationen in Russland stützt. Ann. des Phys. Zentral-Obs. für 1907 (Russisch).

A. Kaminsky. Die Grundlage zur Verbesserung der Seehöhen der Barometer einiger meteorologischer Stationen hauptsächlich im Asiatischen Russland. Ann. des Phys. Zentral-Obs. für 1909.

J. A. Schmidt. Kontroll-Nivellement längs der Sibirischen Eisenbahn auf dem Bezirk Krasnojarsk—Irkutsk ausgeführt in den Jahren 1900—1901 vom Militär-Topographen Alexandrow. Sapiski der Militär-Topographischen Verwaltung. T. LXI, Abt. II. (Russisch).

²⁾ A. Kaminsky. Bestimmung der Seehöhen der Barometer der meteorologischen Stationen im Asiatischen Russland, P. 31.

Для проверки результата имеется еще нивелировка речной описной партии по Иртышу от Омска до Семипалатинска¹⁾. Эта нивелировка увязана с нивелировкой Александрова в Омске. Приняв поправку к последней нивелировке $= -74.98$ саж., находим высоту барометра в Семипалатинске за 1891—1896 г.г. $= 203.1$ м. Таким образом, полигон Омск—Новосибирск—Семипалатинск—Омск на протяжении 2350 км дал невязку в 2.2 м. Ввиду того, что железнодорожная нивелировка производилась при более благоприятных условиях и покрыла меньшее расстояние чем речная (653 км против 1070 км), отдаю предпочтение железнодорожной нивелировке.

Поправку к профилю линии Алтайская—Бийск (148 км) принимаю ту же, что и для линии Новосибирск—Семипалатинск.

XXIV. *Забайкальская и Уссурийская ж. д.* По связи с нивелировкой военного топографа Александрова к профилю Забайк. ж. д. для ст. Мысовой получается поправка $= -74.77$ саж. (Отметка по профилю 290.90 саж.); для Китайского раз'езда поправка найдена $= -73.90$ саж., принимая абсол. высоту полотна на этом раз'езде $= 273.9$ саж. (см. выше).

При исправлении отметок к профилю участка Мысовая—Китайский раз'езд я предположил, что поправка от Мысовой до Китайского раз'езда меняется пропорционально расстоянию.

Для линии Китайский раз'езд—Стретенск (55 км) принимаю ту же поправку, что и для Китайского раз'езда (-73.90 саж.).

Для определения поправок к профилям участка Забайкальск. ж. д. от ст. Куэнга до ст. Сковородино (782 км) и Уссурийск. ж. д. от ст. Сковородино до Владивостока, имеем 1) связь с Китайским раз'ездом, абсол. высота которого найдена по связи с Балтийским морем и Тихим океаном (см. выше), и со ст. Владивостоком, для которой отметка на профиле Уссурийской ж. д. отнесена к уровню океана и 2) сличение отметок общих точек по профилям отдельных участков как Забайк., так и Уссурийск. ж. д. На указанных основаниях приняты мною следующие поправки к профилям: от Куэнги до Урюма (193 км) $= -9.01$ саж., от Урюма до раз'езда № 18 (235 км) $= -8.30$ саж., от раз'езда № 18 до ст. Ерофей Павлович (157 км) $= -8.10$ саж., от ст. Ерофей Павлович до ст. Керак (243 км) $= -7.89$ саж., от ст. Керак до ст. Агорта (205 км) $= -7.86$ саж., от ст. Агорта до раз'езда № 33 (485 км) $= -7.36$ саж., от раз'езда № 33 до ст. Хабаровск (479 км) $= -4.46$ саж.

Поправка к профилям Уссурийской ж. д. по линиям Хабаровск—Владивосток и Никольск—Уссурийский—Пограничная принята $= 0.00$ саж.

XXV. *Китайская-Восточная ж. д.* Профилями этой дороги я воспользовался для определения высот барометров лишь на участке Харбин—Пограничная (547 км).

¹⁾ Краткое описание исследований р. Иртыша от г. Семипалатинска до г. Омска, произведенных описной партией при Управлении Томского Округа Путей Сообщения в 1901—1904 г.г. Издание отдела статистики и картографии М. П. С. СПб. 1908.

Зур Kontrolle des Resultats kann noch das Flussnivellement längs dem Irtysh von Omsk bis Ssemipalatinsk¹⁾ dienen. Dieses Nivellement steht mit dem Nivellement Alexandrows in Omsk in Verbindung. Wenn wir die Korrektion $= -74.98$ Faden für das letzte Nivellement annehmen, erhalten wir die Höhe des Barometers in Ssemipalatinsk für die Jahre 1891—1896 $= 203.1$ m. Auf diese Weise ergab das Polygon Omsk—Nowossibirsk—Ssemipalatinsk—Omsk auf einer Strecke von 2350 km eine Diskordanz von 2.2 m. In Anbetracht dessen, dass das Eisenbahnnivellement unter günstigeren Bedingungen ausgeführt wurde und eine kleinere Strecke umfasste, als das Flussnivellement (653 km gegen 1070 km) gebe ich dem Eisenbahnnivellement den Vorzug.

Für das Profil der Linie Altaiskaja—Bijsk (148 km) nehme ich dieselbe Korrektion an, wie für die Linie Nowossibirsk—Ssemipalatinsk.

XXIV. *Transbaikalische und Ussuri-Bahn.* Auf Grund des Anschlusses an das Nivellement des Militär-Topographen Alexandrow wurde für das Profil der Transbaikalischen Bahn für die Station Myssowaja die Korrektion $= -74.77$ Faden erhalten (Der Wert nach dem Profil war 290.90 Faden); für die Station Kitaiskij Rasjesd habe ich die Korrektion $= -73.90$ Faden erhalten, indem ich die Seehöhe des Eisenbahndammes auf dieser Station gleich $= 273.9$ Faden (siehe oben) annahm.

Bei der Bestimmung der Korrektionen für das Profil des Bezirks Myssowaja—Kitaiskij Rasjesd setze ich voraus, dass sich die Korrektion von Myssowaja bis zum Kitaiskij Rasjesd der Entfernung proportional ändert.

Für die Linie Kitaiskij Rasjesd—Sretensk (55 km) nehme ich dieselbe Korrektion an, wie für den Kitaiskij Rasjesd (-73.90 Faden).

Für die Bestimmung der Korrektion des Profils des Bezirks der Transbaikalischen-Bahn von der Station Kuenga bis zur Station Skoworodino (782 km) und der Ussuri-Bahn von der Station Skoworodino bis Wladiwostok stehen uns zur Verfügung: 1) die Verbindung mit dem Kitaiskij Rasjesd, dessen Seehöhe auf Grund der Nivellements bis zur Ostsee, dem Stillen Ozean (siehe oben) und bis zur Station Wladiwostok bestimmt ist (die Angaben für die letztere auf dem Profil der Ussuri-Bahn sind auf das Niveau des Ozeans bezogen), und 2) die Vergleichung der Angaben der gemeinsamen Punkte auf den Profilen einzelner Bezirke sowohl der Transbaikalischen, als auch der Ussuri-Bahn. Auf Grund des Gesagten, habe ich folgende Korrektionen der Profile angenommen: von Kuenga bis Urjum (193 km) $= -9.01$ F., von Urjum bis zur Ausweichstelle N 18 (235 km) $= -8.30$ Faden, von der Ausweichstelle N 18 bis zur Station Erofei Pawlowitsch (157 km) $= -8.10$ Faden, von Erofei Pawlowitsch bis Kerak (243 km) $= -7.89$ F., von Kerak bis Agorta (205 km) $= -7.86$ F., von Agorta bis zur Ausweichstelle N 33 (485 km) $= -7.36$ F., von der Ausweichstelle N 33 bis Chabarowsk (479 km) $= -4.46$ F.

Für die Profile der Ussuri-Bahn längs den Linien Chabarowsk—Wladiwostok und Nikolsk—Ussurijskij—Pogranitschnaja wurde die Korrektion $= 0.00$ angenommen.

XXV. *Chinesische Ost-Bahn.* Für die Bestimmung der Höhen der Barometer bediente ich mich der Profile dieser Bahn nur für die Strecke Charbin—Pogranitschnaja (547 km). Für diese

¹⁾ Kurzer Bericht über die Untersuchung des Fl. Irtysh von Ssemipalatinsk bis Omsk ausgeführt von der Expedition für Flussaufnahme bei der Verwaltung des Tomsker Bezirks der Verkehrsstrassen in den Jahren 1901—1904. Herausgegeben von der Sektion der Statistik des Verkehrsministeriums. S. Pb 1908. (Russisch).

Поправки к этим профилям приняты те же, какие указаны в моей цитированной статье об определении высот барометров в Азиатской России ¹⁾.

Станции, абсолютные высоты которых определены по связи с нивелировками железных дорог.

- | | |
|---|--|
| I. Мурманская ж. д. | 201. Уварово |
| 5. Имандра (Хибины). | 205. Николаевское (Сарат. район) |
| II. Северные ж. д. | 206. Пады |
| 43. Вологда | 208. Вольск |
| 87. Бараново | 211. Николаевск |
| 89. Успенская сельскохоз. ферма | 216. Уральск, больница и сельскохоз. школа |
| 90. Ростов Ярославский | 217. Уральск, реальн. училище |
| 97. Иваново-Вознесенск | 283. Рудня Камышинская |
| 98. Шуя | 284. Камышин |
| 109. Вятка, опытная станция | 285. Ахтуба |
| 110. Вятка, реальн. училище. | 287. Верхний Баскунчак |
| III. Пермская ж. д. | 288. Малый Узень |
| 52. Кизел (завод) | 499. Уильское |
| 116. Пермь | XV. Московско-Казанская ж. д. |
| 118. Чусовская | 202. Земетчино |
| 119. Бисер | XVI. Юго-Западные ж. д. |
| 120. Висимо-Шайтанск | 226. Белая Криница |
| 408. Нижне-Тагильск. | 235. Коровинцы |
| IV. Московско-Белор.-Балт. ж. д. | 236. Житомир |
| 71. Великие Луки | 238. Плисково-Андрушевский завод |
| 76. Батищево | 242. Умань |
| 78. Ржев | 247. Алексеевская |
| 80. Старица | 290. Кিশинев |
| 161. Фленово | XVII. Южные ж. д. |
| 163. Рославль | 251. Лубны, сельскохоз. школа |
| V. Октябрьские ж. д. | 252. Лубны, гимназия |
| 75. Боровичи (Полыновка) | 254. Кременчуг |
| 83. Бежецк | 260. Полтава |
| VI. Московско-Нижегородская ж. д. | 261. Сумы |
| 94. Владимир на Клязьме | 269. Лозовая |
| 101. Нижний Новгород | 272. Волчанск |
| VII. Самаро-Златоустовская ж. д. | XIX. Юго-Восточн. ж. д. |
| 122. Златоуст | 197. Хреновской бор |
| 123. Ивановский рудник | 198. Калининский хутор |
| 213. Самара | 281. Урюпинская |
| 214. Кинель | XX. Донецкие ж. д. |
| 219. Полибино | 274. Славянск |
| 220. Аксеновская (Белебеевская) сель-хоз. школа | 276. Луганск |
| 221. Уфа | XXI. Северо-Кавказские ж. д. |
| 502. Эмба. | 326. Ставрополь |
| VIII. Варшаво-Венская ж. д. | 335. Грозный |
| 126. Цехоцинск | XXII. Закавказские ж. д. |
| 128. Петроков | 357. Пони |
| IX. Привислинские ж. д. | XXIII. Омская ж. д. |
| 131. Млава | 414. Старо-Сидорово |
| 137. Люблин. | 454. Барнаул |
| X. Занеманская ж. д. | 455. Бийск |
| 139. Сувалки. | 507. Семипалатинск |
| XI. Полесские ж. д. | XXIV. Забайкальская и Уссурийская ж. д. |
| 147. Пинск | 473. Кабанское |
| XII. Западные ж. д. | 474. Верхнеудинск |
| 150. Мариина Горка | 478. Петровский Завод |
| 152. Мозырь-Калинковичи | 479. Хилок |
| 153. Василевичи | 480. Перевальная |
| 159. Новозыбков | 481. Чита |
| 164. Ельня | 482. Нерчинск |
| 165. Шостенский завод | 483. Стретенск |
| 169. Жиздра | 487. Магдагачи |
| 171. Уютное | 523. Вяземская |
| 176. Калуга | 550. Гродеково |
| 177. Андреевское. | 551. Евгеньевка |
| XIII. Московско-Курская ж. д. | 558. Бикин |
| 179. Скуратово | 559. Муравьев-Амурский |
| 182. Тула | XXV. Китайская Восточная ж. д. |
| 189. Скопин. | 547. Имьянпо |
| XIV. Рязано-Уральская ж. д. | 548. Муданьцзян |
| 196. Тамбов | 549. Тайпинлин. |

¹⁾ А. А. Каминский. Определение абсолютных высот барометров метеоролог. станций в Азиатской России.

Profile sind dieselben Korrekturen angenommen, die in meiner zitierten Arbeit über die Höhenbestimmung der Barometer im Asiatischen Russland angegeben sind ¹⁾.

Stationen, deren Seehöhen auf Grund des Anschlusses an Eisenbahnnivellements bestimmt sind.

- | | |
|---|---|
| I. Murmanker Bahn | 201. Uwarowo |
| 5. Imandra (Chibiny) | 205. Nikolaewskoe (Bezirk Ssaratow) |
| II. Nord-Bahnen | 206. Pady |
| 43. Wologda | 208. Wolsk |
| 87. Baranowo | 211. Nikolaewsk |
| 89. Uspenskaja, landw. Schule | 216. Uralsk, Hospital und landw. Schule |
| 90. Rosstow-Jaroslawschij | 216. Uralsk, Realschule |
| 97. Iwanowo-Wosnessensk | 283. Rudnja Kamyschinskaja |
| 98. Schuja | 284. Kamyschin |
| 109. Wjatka, Versuchsstation | 285. Achtuba |
| 110. Wjatka, Realschule | 287. Werchnij Baskuntschak |
| III. Perm-Bahn | 288. Malyj Usen |
| 52. Kisel (Fabrik) | 499. Uilskoe |
| 116. Perm | XV. Moskau-Kasaner Bahn |
| 118. Tschussowskaja | 202. Semettschino |
| 119. Bisser | XVI. Südwest-Bahnen |
| 120. Wissimo-Schaitansk | 226. Belaja Kriniza |
| 408. Nishne-Tagilsk | 235. Korowinzy |
| IV. Moskau-Weissrussland-Baltische Bahn | 236. Shitomir |
| 71. Welikie Luki | 238. Pliskowo-Andruschewskij Sawod. |
| 76. Batschtschewo | 242. Uman |
| 78. Rshew | 247. Alekseewskaja |
| 80. Sstariza | 290. Kishinew. |
| 161. Flenowo | XVII. Süd-Bahnen |
| 163. Roslawl | 251. Lubny, landw. Schule |
| V. Oktober-Bahn | 252. Lubny, Gymnasium |
| 75. Borowitschi (Polynowka) | 254. Kremenschug |
| 83. Beshezsk | 260. Poltawa |
| VI. Moskau-Nishnij-Nowgorod-Bahn | 261. Ssumy |
| 94. Wladimir an der Kljasma | 269. Losowaja |
| 101. Nishnij Nowgorod | 272. Woltschansk |
| VII. Ssamara-Slatouster Bahn. | XIX. Südost-Bahn |
| 122. Slatoust | 197. Chrenowskoi Bor |
| 123. Iwanowskij Rudnik | 198. Kalinowskij Chutor |
| 213. Ssamara | 281. Urjupinskaja |
| 214. Kinel | XX. Donez-Bahnen |
| 215. Polibino | 274. Slawjansk |
| 220. Axenowskaja (Belebeewskaja) landw. Schule. | 276. Lugansk |
| 221. Ufa | XXI. Nord-Kaukasische Bahnen |
| 502. Emba | 326. Sstawropol |
| VIII. Warschau-Wiener Bahn | 335. Grosnyj |
| 126. Zechozinsk | XXII. Süd-Kaukasische Bahnen |
| 128. Petrokow | 357. Poni |
| IX. Weichsel-Bahnen | XXIII. Omsker-Bahnen |
| 131. Mlawa | 414. Sstaro-Ssidorowo |
| 137. Lublin | 454. Barnaul |
| X. Nieman-Bahn | 455. Bijsk |
| 139. Ssuwalki | 507. Ssemipalatinsk |
| XI. Polessje-Bahnen | XXIV. Transbaikalische und Ussuri-Bahn |
| 147. Pinsk | 473. Kabanskoe |
| XII. West-Bahnen | 474. Werchneudinsk |
| 150. Mariina Gorka | 478. Petrowskij Sawod |
| 152. Mosyr-Kolinkowitschi | 479. Chilok |
| 153. Wassilewitschi | 480. Perewalnaja |
| 159. Nowosybkow | 481. Tschita |
| 164. Elnja | 482. Nertschinsk |
| 165. Schostenskij Sawod | 483. Sstretensk |
| 169. Shisdra | 487. Magdagatschi |
| 171. Ujutnoe | 523. Wjasemskaja |
| 176. Kaluga | 550. Grodekowo |
| 177. Andreewskoe | 551. Ewgenjewka |
| XIII. Moskau-Kursker-Bahn | 558. Bikin |
| 179. Skuratowo | 559. Murawjew Amurskij |
| 182. Tula | XXV. Chinesische Ost-Bahn |
| 189. Skopin | 547. Imjanpo |
| XIV. Rjasan-Uralsker Bahn | 548. Mudandsjan |
| 196. Tambow | 549. Taipinlin |

¹⁾ А. А. Каминский. Bestimmung der Seehöhen der Barometer der meteorol. Stationen des asiat. Russlands.

Е. Определение абсолютных высот барометров по связи с большими озерами и реками

Определения высот барометров по связи с озерами не свободны от некоторой неточности, зависящей от того, что в большинстве случаев не имелось точных данных о среднем уровне или же не была определена высота уровня озера во время производства нивелировки над средним уровнем.

I. *Ладожское озеро*. Абсол. высота среднего уровня воды в Ладожском озере определена на основании точной нивелировки до репера Военно-Топогр. Управления в Колпине, произведенной под руководством А. А. Тилло $= 4.6 \text{ м}^1$).

II. *Онежское озеро*. Абс. высота среднего уровня Онежского озера найдена на основании произведенной под руководством А. А. Тилло нивелировки до Ладожского озера $= 34.6 \text{ м} \pm 0.2 \text{ м}^2$).

III. *Каспийское море*. Принимая высоту нуля футштока в Баку, установленного в 1920 г., по Винникову ³⁾ $= -28.801 \text{ м}$ и высоту среднего уровня Каспийского моря, по данным за 1851—1925 г.г., обработанным А. В. Вознесенским ⁴⁾, над указанным нулем $= 3.28 \text{ м}$, находим абс. высоту среднего уровня в Баку за 1851—1925 г.г. $= -11.98 \text{ саж. или } -25.57 \text{ м}$.

IV. *Байкал*. Отметка уровня меженных вод (приблизительно) оз. Байкала по данным нивелировки военного топографа Александрова 288.00 саж., а поправка к этим данным принята мною (см. выше) $= -74.98 \text{ саж.}$ Абс. высота меженного (летнего) горизонта озера получается 213.02 саж. или 454.50 м ⁵⁾.

V. *Р. Сухона*. Результаты нивелировки Северо-Двинской описной партии от устья р. Вычегды до Белого моря исправлены А. А. Тилло ⁶⁾ при предположении, что меженный горизонт С. Двины у Архангельска находится на одном уровне с ординаром Белого моря. В действительности падение С. Двины от Архангельска до устья едва ли достигает 1 м. Связь с железнодорожными нивелировками дает к установленному А. А. Тилло профилю речной нивелировки следующие поправки: в Котласе (р. С. Двина) $= -0.20 \text{ саж.}$, в Вологде $= -1.4 \text{ саж.}$ (р. Сухона) и $= -1.0 \text{ саж.}$ (р. Вологда). Из сказанного видно, что для участка от Котласа до Вологды поправка к исправленным А. А. Тилло данным речной нивелировки

Е. Bestimmung der Seehöhen der Barometer mittelst Verbindungsnivellements bis zu grossen Seen und Flüssen

Bei der Bestimmung der Höhen der Barometer mittelst Verbindungsnivellements, die von Seen ausgingen, ermangelte es in den meisten Fällen der genauen Daten über das mittlere Niveau der Seen oder es war die jeweilige Höhe des Wasserspiegels während des Nivellements über dem mittleren Niveau nicht bekannt und sind daher die Ergebnisse nicht ganz fehlerfrei.

I. *Der Ladogasee*. Die Seehöhe des mittleren Niveaus des Ladogasees ist durch ein genaues Nivellement bis zur Marke der Militär-Topographischen Verwaltung auf der Eisenbahnstation Kolpino, das unter Leitung von A. A. Tillo ausgeführt wurde, $= 4.6 \text{ m}$ bestimmt ¹⁾.

II. *Onegasee*. Die Seehöhe des mittleren Niveaus des Onegasees wird auf Grund des unter Leitung von A. A. Tillo ausgeführten Nivellements bis zum Ladogasee $= 34.6 \text{ m} \pm 0.2 \text{ m}$ gefunden ²⁾.

III. *Das Kaspische Meer*. Wenn wir die Höhe des Nullpunkts des Pegels in Baku, der im Jahre 1920 aufgestellt war, nach Winnikow ³⁾ $= -28.801 \text{ m}$ setzen und die mittlere Höhe des Wasserspiegels des Kaspischen Meeres nach den von A. V. Wosnessensky ⁴⁾ bearbeiteten Daten für die Jahre 1851—1925 $= 3.28 \text{ m}$ über dem erwähnten Nullpunkte annehmen, erhalten wir die Seehöhe des mittleren Niveaus in Baku für die Jahre 1851—1925 $= -11.98 \text{ Faden oder } -25.57 \text{ m}$.

IV. *Baikalsee*. Die Höhenangabe des Niveaus des Wasserstandes im Baikalsee ist nach dem Nivellement des Militär-topographen Alexandrow gleich 288.00 F. (angenähert); die für die Ergebnisse dieses Nivellements von mir angenommene Korrektur (siehe oben) ist $= -74.98 \text{ Faden}$. Die Seehöhe des sommerlichen Wasserstandes des Sees ergibt sich daraus zu 213.02 Faden oder 454.50 m ⁵⁾.

V. *Der Fluss Ssuchona*. Die Resultate der Nivellements der nördlichen Dwina von der Mündung des Flusses Wytschegda bis zum Weissen Meere sind von A. A. Tillo ⁶⁾ unter der Voraussetzung, dass der Wasserstand der Dwina bei Archangelsk sich im gleichen Niveau mit dem Weissen Meere befindet, korrigiert worden. Tatsächlich erreicht das Gefälle der Dwina von Archangelsk bis zur Mündung kaum 1 m. Der Anschluss an Eisenbahnnivellements ergibt zu dem von A. A. Tillo festgestellten Profil des Flussnivellements folgende Korrekturen: in Kotlas (Nördliche Dwina) $= -0.20 \text{ F.}$ in Wologda $= -1.4 \text{ F.}$ (Ssuchona) und $= -1.0 \text{ F.}$ (Fluss Wologda). Aus dem Gesagten ist zu ersehen, dass auf der Strecke von Kotlas bis Wologda die Korrektur der von A. A. Tillo korrigierten Daten des Flussnivellements sich

¹⁾ А. А. Тилло. Абсолютные высоты озер Ладожского, Онежского и Ильмена.

А. А. Каминский. Обзор точных нивелировок, на которые опираются определения абс. высот барометров на метеорологических станциях в России.

²⁾ А. А. Тилло. Л. с.

А. А. Каминский. Л. с.

³⁾ Н. И. Винников. Геометрическая нивелировка между Черным и Каспийским морями, произведенная по Закавказской ж. д. в 1894—1910 г.г.

⁴⁾ А. В. Вознесенский. О новейших данных по изменению уровня Каспийского моря.

⁵⁾ А. А. Каминский. Л. с.

⁶⁾ А. А. Тилло. Свод нивелировок рек, их падение и каталог абс. высот уровней вод Европейской России. СПб., 1892.

¹⁾ А. А. Тилло. Die Seehöhen des Ladoga-, Onega- und Ilmen-sees.

А. А. Kaminsky. Uebersicht der genauen Nivellements, auf die sich die Bestimmung der Seehöhen der Barometer auf den meteorologischen Stationen in Russland stützt.

²⁾ А. А. Тилло. Л. с.

А. А. Kaminsky. Л. с.

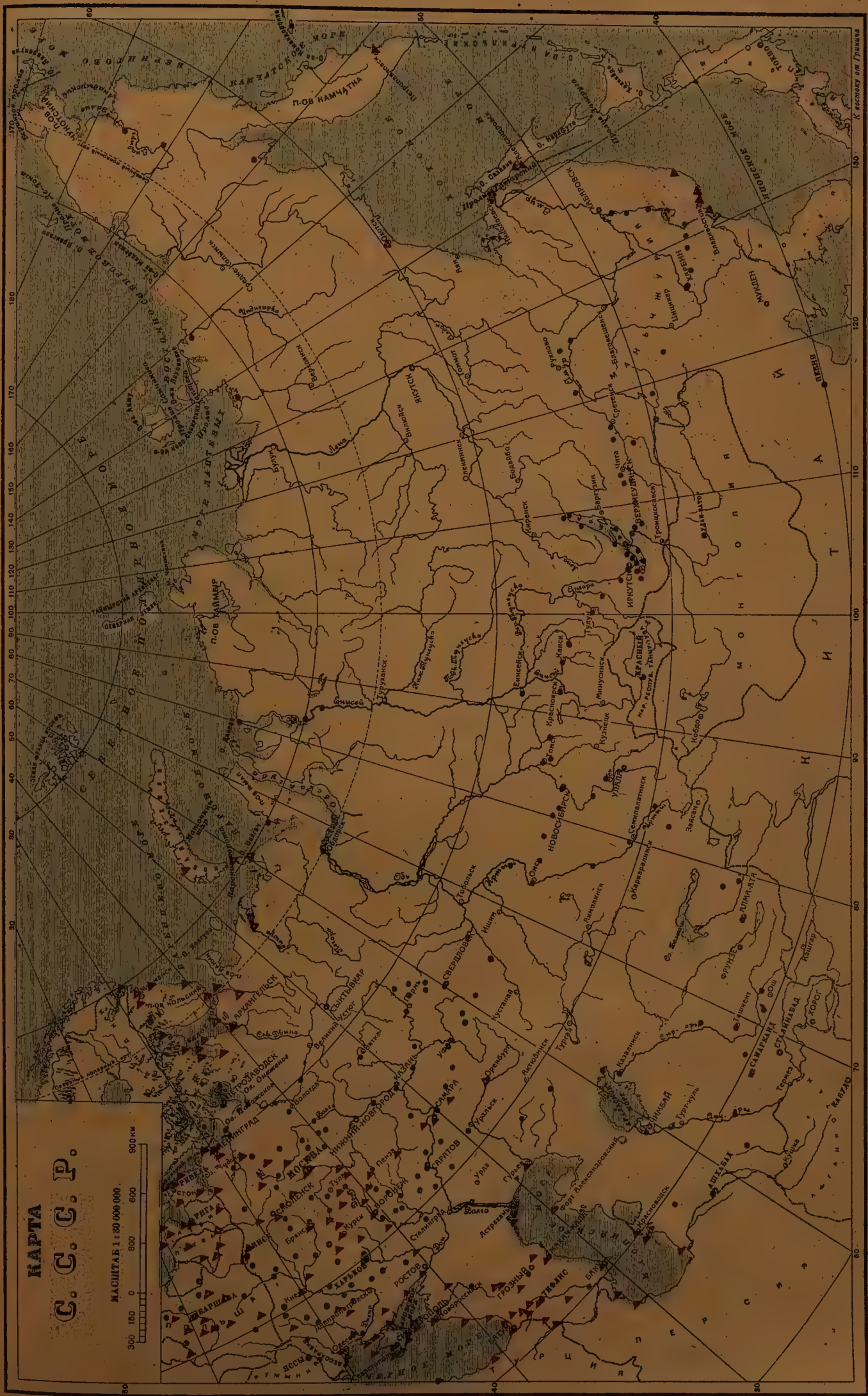
³⁾ N. J. Winnikow. Geometrisches Nivellement zwischen dem Schwarzen und dem Kaspischen Meere längs der Südkaukasischen Eisenbahn ausgeführt in den Jahren 1894—1910.

⁴⁾ A. V. Wosnessensky. Neues über die Schwankungen des Wasserstandes im Kaspischen Meer.

⁵⁾ А. А. Kaminsky. Л. с.

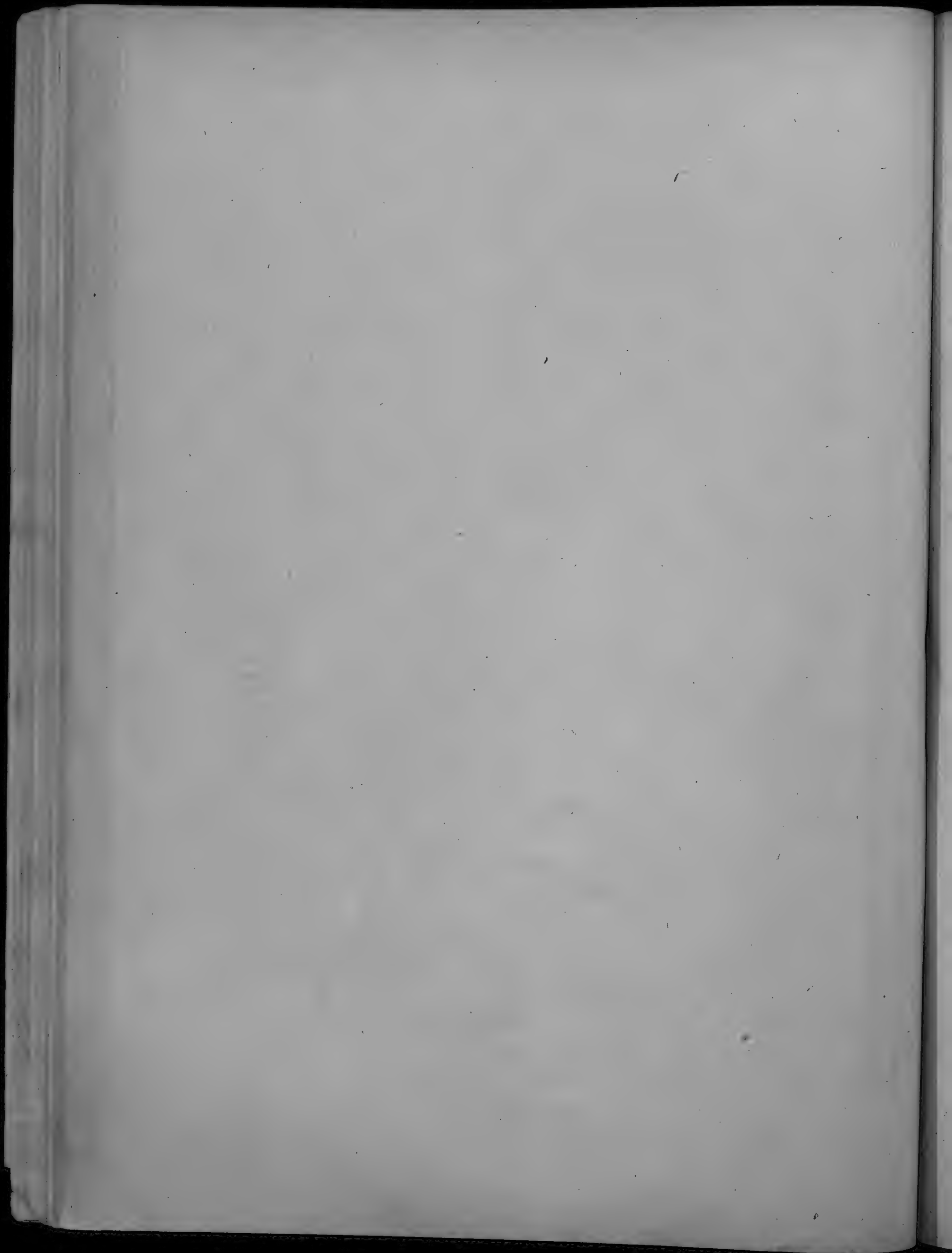
⁶⁾ А. А. Тилло. Zusammenfassung der Flussnivellements, das Gefälle der Flüsse und Seehöhen ihres Wasserstandes im Europ. Russland. SPb. (Russisch). 1892.

РАСПРЕДЕЛЕНИЕ СТАНЦИЙ, ВЫСОТЫ КОТОРЫХ ОПРЕДЕЛЕННЫ ТОЧНЫМИ НИВЕЛИРОВКАМИ.
 VERTEILUNG DER STATIONEN, DEREN HÖHEN DURCH GENAU NIVELLEMENTS BESTIMMT SIND.



▲ СТАНЦИИ, СВЯЗАННЫЕ НИВЕЛИРОВКАМИ СО СРЕДНИМ УРОВНЕМ МОРЯ И РЕПЕРАМИ
 НИВЕЛЛ. ГЛАВНОГО ШТАБА В ЕВРОПЕЙСКОЙ ЧАСТИ СССР
 STATIONEN, DIE MIT HÖHENMARKEN DES GENERALSTABS IM EUROP. TEIL D. USSR VERBUNDEN SIND.
 • СТАНЦИИ, СВЯЗАННЫЕ С НИВЕЛЛ. ГЛАВНОГО ШТАБА В АЗИАТСКОЙ ЧАСТИ СССР.
 STATIONEN, DIE MIT HÖHENMARKEN DES GENERALSTABS IM ASIAT. TEIL D. USSR VERBUNDEN SIND.

• СТАНЦИИ, СВЯЗАННЫЕ С ЖЕЛ. ДОРОГАМИ.
 STATIONEN, DIE MIT EISENBAHNEN VERBUNDEN SIND.
 • СТАНЦИИ, СВЯЗАННЫЕ С ОЗЕРАМИ И РЕКАМИ.
 STATIONEN, DIE MIT SEEN UND FLÜSSEN VERBUNDEN SIND.



меняется в пределах от -0.2 саж. до $+1.4$ саж. Допускаю, что она меняется пропорционально расстоянию¹⁾.

VI. *Р. Вола*. К результатам нивелировки Волжской описной партии от Рыбинска до Енотаевска²⁾ мною приняты на основании связи с железнодорожными нивелировками в ряде пунктов и нивелировками Военно-Топогр. Управления в Самаре и у моста в Батраках следующие поправки:

Рыбинск . . .	+ 3.75 саж.	Мост у Батраков	+ 2.70 саж.
Ярославль . .	+ 3.70 »	Саратов . . .	+ 2.97 »
Нижн. Новгород.	+ 3.20 »	Камышин . . .	+ 2.54 »
Самара . . .	+ 3.16 »	Сталинград . .	+ 2.79 »

На протяжении 2175 км поправка к профилю Волги меняется на 1.2 саж.³⁾.

Вопрос о поправках к профилю Волги от Енотаевска до устья выясняется в труде С. Н. Никитина и В. О. Пашкевича⁴⁾.

VII. *Р. Шексна*. Поправка к данным нивелировки по р. Шексне определяется по связи с нивелировкой Волжской описной партии в Рыбинске ($+3.8$ саж.).

VIII. *Р. Кама*. Поправка к данным нивелировки Камской описной партии получается: по связи с нивелировкой Волжской описной партии у с. Богородского $+3.16$ саж. и по связи с железнодорожной нивелировкой у Перми $+3.18$ саж.

IX. *Р. Днестр*. Данные нивелировки описной партии мною, как и А. А. Тилло⁵⁾, принимались без поправок.

X. *Р. Днепр*. Данные нивелировки описной партии от устья Днепра до Херсона⁶⁾ мною взяты с поправкой А. А. Тилло⁷⁾.

XI. *Р. Дон*. Поправки к данным нивелировки описной партии⁸⁾ определяются $= -0.477$ саж. по связи с маркой Военно-Топограф. Управления в Лисках и $= -0.22$ саж. по связи с рельсами жел. дор. в Калаче (Донской), причем поправка к профилю железнодорожной линии Калач—Лихая Козлово-Воронежско-Ростовской линии определяется по связи с маркой Военно-Топограф. Управления на ст. Лихая.

XII. *Р. Обь*. По определениям скоростей течения 1) р. Оби от Самарова до устья реки Туры и 2) Иртыша от Тюмени до Самарова Г. Ф. Абельс⁹⁾ нашел высоту осеннего уровня р. Оби у Обдорска $= 3.3$ саж. или 7.0 м.

¹⁾ А. А. Каминский. Л. с.

²⁾ Н. А. Богуславский. Волга, как путь сообщения. Сборник Института инженеров путей сообщения. Вып. IX. 1887.

³⁾ А. А. Каминский. Л. с.

⁴⁾ С. Н. Никитин и В. О. Пашкевич. Гипсометрия между Волгой и Уралом. Изв. Р. Геогр. Общ. Т. XXX.

⁵⁾ А. А. Тилло. Л. с.

⁶⁾ Краткое описание исследования р. Днепра от Смоленска до Лимана. Изд. Мин. Пут. Сообщ. 1887.

⁷⁾ А. А. Тилло. Л. с.

⁸⁾ Краткое описание исследований верхней части р. Дона. Изд. Мин. Путей Сообщ. 1901.

⁹⁾ H. Abels. Die Seehöhen der Barometer einiger meteorologischer Stationen in West-Sibirien. Repertorium für Meteorologie. T. XI.

in den Grenzen von -0.2 F. bis -1.4 F. hält. Ich nehme an, dass sie sich der Entfernung proportional ändert¹⁾.

VI. *Wolga*. Für die Resultate des Nivellements der Wolga von Rybinsk bis Enotaewsk²⁾ wurden von mir auf Grund des Anschlusses an die Eisenbahnnivellements in einer Reihe von Punkten, sowie an die Nivellements der Militär-Topographischen Verwaltung in Ssamara und bei der Brücke in Batraki folgende Korrekturen angenommen:

Rybinsk . . .	+ 3.75 Faden	Brücke bei Bat-
Jaroslavl . .	+ 3.70 »	raki . . .
Nishnij Now-		Ssaratow . .
gorod . . .	+ 3.20 »	+ 2.97 »
Ssamara . .	+ 3.16 »	Komyschin . .
		+ 2.54 »
		Stalingrad . .
		+ 2.79 »

Auf einer Strecke von 2175 km ändert sich die Korrektur des Profils der Wolga um 1.2 Fäden³⁾.

Die Frage betreff der Korrekturen des Profils der Wolga von Enotaewsk bis zur Mündung wird in der Arbeit von S. N. Nikitin und W. J. Paschkewitsch erläutert⁴⁾.

VII. *Der Fluss Scheksna*. Die Korrektur der Daten der Nivellements längs dem Flusse Scheksna wird auf Grund des Anschlusses an das Wolga-Nivellement in Rybinsk ($+3.8$ F.) erhalten.

VIII. *Der Fl. Kama*. Die Korrektur für die Daten des Kama-Nivellements ergibt sich auf Grund des Anschlusses an das Nivellement der Wolga bei Bogorodskoe zu $+3.16$ F. und auf Grund des Anschlusses an das Eisenbahnnivellement bei Perm $+3.18$ Faden.

IX. *Der Fl. Dnestr*. Die Resultate des Nivellements wurden von mir, ebenso wie von Tillo⁵⁾, ohne Korrektur angenommen.

X. *Der Fl. Dnepr*. Die Resultate des Nivellements des Dnepr⁶⁾ von der Mündung dieses Flusses bis Cherson wurden von mir mit der Korrektur A. A. Tillo's versehen⁷⁾.

XI. *Der Fl. Don*. Die Korrekturen für die Daten des Nivellements des Don ergaben sich⁸⁾ $= -0.477$ Faden auf Grund des Anschlusses an die Höhenmarke der Militär-Topographischen Verwaltung in Liski und $= -0.22$ F. durch den Anschluss an den Eisenbahndamm in Kalatsch (Donskaja), wobei die Korrektur zum Profil der Linie Kalatsch—Lichaja der Koslow-Woronesh-Rosstow-Eisenbahn durch ein Verbindungsnivellement bis zur Höhenmarke der Militär-Topographischen Verwaltung auf der Station Lichaja bestimmt war.

XII. *Der Fl. Ob*. Nach der Bestimmung der Strömungsgeschwindigkeit⁹⁾ der Ob von Ssamarowo bis zur Mündung des Flusses Tura und 2) des Irtysh von Tjumen bis Ssamarowo fand H. Abels die Höhe des Herbstniveaus des Flusses bei Obdorsk $= 3.3$ F., oder 7.0 m. Die Entfernung von Obdorsk

¹⁾ A. Kaminsky. L. c.

²⁾ N. A. Boguslawsky. Wolga, als Verkehrsweg. «Sbornik» des Instituts der Ingenieure der Wegekommunikation. Lief. IX. 1887. (Russisch).

³⁾ A. Kaminsky. L. c.

⁴⁾ S. N. Nikitin u. W. J. Paschkewitsch. Hypsometrie des Geländes zwischen der Wolga und dem Uralfluss. «Iswestija» der Russ. Geogr. Ges. Bd. XXX.

⁵⁾ A. A. Tillo. L. c.

⁶⁾ Kurzer Bericht über die Untersuchung des Dnepr von Smolensk bis zur Mündung. Herausgegeben vom Ministerium der Wegekommunikation. 1887.

⁷⁾ A. A. Tillo. L. c.

⁸⁾ Kurzer Bericht über die Untersuchungen des Oberlaufs des Don. Herausgegeben vom Minist. der Wegekomm. 1901 (Russisch).

⁹⁾ H. Abels. Die Seehöhen der Barometer einiger meteorologischer Stationen in West-Sibirien. Repertorium für Meteorologie. T. XI.

Расстояние от Обдорска до устья около 360 км. Ошибка этого определения едва-ли выходит из пределов ± 2 м.

XIII. *Р. Иртыш*. Поправки к данным нивелировки описной партии ²⁾ получаются по связи с нивелировкой Военно-Топографическ. Отдела Омского Военного Округа в Омске = — 3.36 саж. или — 7.17 м и по связи с железнодорожною нивелировкой в Семипалатинске = — 8.28 м. Допуская, что от Омска до Семипалатинска поправка к данным описной партии меняется пропорционально расстоянию. Приведенная в таблице А высота барометра в Павлодаре была определена с поправкой лишь по Семипалатинску. Эту высоту следует заменить величиной 126.6 м. Высота Тары определяется с поправкой к нивелировке Иртыша по Омску.

XIV. *Р. Енисей*. Определение падения р. Енисея от Дудинки до устья на протяжении около 500 км возможно лишь по сравнению с другими реками, учитывая при этом весьма медленное течение ее на этом участке. Во всяком случае здесь падение не может превышать падение уровня Волги на участке от Сталинграда до устья (592 км), т. е. 7 саж. или 15 м; оно должно быть меньше, если будут взяты данные для низкого горизонта. Принимая абсол. высоту летнего уровня реки у Дудинки = 12 м. Ошибка этого приближенного определения не может превышать 2 м.

Для определения абс. высоты барометра в Енисейске можно было воспользоваться данными нивелировки Обь-Енисейской описной партии от Красноярска до Енисейска, увязав их с нивелировкой военного топографа Александрова в Красноярске, принимая поправку к данным последней = — 74.98 саж.

XV. *Р. Анадырь*. Весьма важным пунктом при черчении средних изобар является Марково на Анадыре, отстоящее от устья реки по ее течению, приблизительно в 500 км. Учитывая медленное течение реки на этом участке, можно принять абс. высоту летнего уровня реки приблиз. 15 м. Горный инженер Полевой, на основании тщательной барометрической нивелировки, получил такой же результат. Ошибка этого определения едва-ли может превышать 2 м.

XVI. *Р. Амур*. Подробные сведения о нивелировках Управления водными путями Амурского бассейна не опубликованы. Известно лишь, что эти нивелировки увязывались с нивелировками железнодорожными. Я воспользовался данными этих нивелировок лишь для двух пунктов: Черняево и Покровка. Что же касается Николаевска на Амуре, то высота нуля футштока в этом пункте над уровнем моря принята = 0.5 саж. = 1.1 м. Ввиду близости устья (около 25 км) ошибка может быть лишь незначительна.

Станции, абсолютные высоты которых определены по связи с озерами и с речными нивелировками.

I. Ладожское озеро	39. Вознесенье
33. Валаам	40. Вытегра.
II. Онежское озеро	III. Каспийское море
37. Петрозаводск	336. Кизляр
38. Повенец	337. Махач-Кала (Петровск)

²⁾ Краткое описание исследований р. Иртыша от г. Семипалатинска до г. Омска. Изд. Мин. Путей Сообщения. 1908.

bis zur Mündung ist gegen 360 km. Der Fehler dieser Bestimmung überschreitet wohl kaum die Grenzen von ± 2 m.

XIII. *Der Fl. Irtysch*. Für die Höhenangaben nach dem Nivellement des Irtysch ⁴⁾ wird auf Grund des Anschlusses an das Nivellement der Militär-Topographischen Sektion des Omsker Militär-Bezirks in Omsk die Korrektur = — 3.36 F. oder 7.17 m erhalten, und auf Grund des Anschlusses an das Eisenbahnnivellement in Ssemipalatinsk = — 8.28 m. Ich nehme an, dass sich die Korrektur zu den Daten des Irtysch-Nivellements von Omsk bis Ssemipalatinsk proportional der Entfernung ändert. Die in der Tabelle A angeführte Höhe von Pawlodar ist mit einer Korrektur nur nach Ssemipalatinsk bestimmt worden. Diese Höhe muss durch den Wert 126.6 m ersetzt werden. Die Höhe von Tara wird mit einer Korrektur zum Nivellement des Irtysch für Omsk bestimmt.

XIV. *Enissei*. Ein Urteil über das Gefälle des Flusses Enissei von Dudinka bis zur Mündung, auf einer Strecke von c. 500 km, kann man auf Grund eines Vergleichs mit anderen grossen Flüssen gewinnen, wobei die sehr langsame Strömung des Enissei in seinem Unterlauf in Betracht gezogen werden muss. Jedenfalls kann hier das Gefälle nicht stärker sein, als das Gefälle des Wolganiveaus von Sstalingrad bis zur Mündung (592 km), d. h. 7 Faden oder 15 m; es dürfte geringer sein, wenn die Daten für niedrigen Stand des Flusses genommen werden. Ich nehme die Seehöhe des Sommerniveaus des Flusses bei Dudinka = 12 m an. Der Fehler dieser angenäherten Bestimmung kann 2 m nicht überschreiten.

Für die Bestimmung der Seehöhe des Barometers in Enisseisk konnte man sich der Daten des Fluss-Nivellements von Krasnojarsk bis Enisseisk bedienen mit der Korrektur, die sich auf Grund des Anschlusses an das Nivellement des Militärtopographen Alexandrow in Krasnojarsk ergibt, wobei die Höhenangaben des letzteren mit der Korrektur = — 74.98 F. versehen werden.

XV. *Der Fluss Anadyr*. Von grosser Bedeutung für das Zeichnen der mittleren Isobaren ist Markowo am Anadyr, welches ungefähr 500 km von der Mündung des Flusses abliegt. Wenn man die langsame Strömung des Flusses in seinem Unterlauf in Betracht zieht, kann man als Seehöhe des Sommerniveaus des Flusses ungefähr 15 m annehmen. Der Bergingenieur Polewoi erhielt auf Grund genauer barometrischer Nivellements dasselbe Resultat. Der Fehler dieser Bestimmung kann wohl kaum 2 m überschreiten.

XVI. *Amur*. Genaue Angaben über die Nivellements der Verwaltung des Verkehrs zu Wasser im Amurbassin sind nicht veröffentlicht. Es ist nur bekannt, dass diese Nivellements an die Eisenbahnnivellements angeschlossen wurden. Ich bediente mich nur für zwei Punkte der Daten dieser Nivellements, nämlich für Tschernjaewo und Pokrowka. Was Nikolaewsk am Amur anbetrifft, so ist die Höhe des Nullpunktes des Pegels an diesem Orte = 0.5 F. = 1.1 m über dem Meeresniveau angenommen. In Anbetracht der Nähe der Mündung (gegen 25 km) kann der Fehler nur unbedeutend sein.

Stationen, deren Seehöhen vermittelt der Verbindungsnivellements, die von Seen und Flüssen ausgingen, bestimmt sind.

I. Ladogasee	39. Wosnessenje
33. Walaam	40. Wytegra
II. Onegasee	III. Kaspisches Meer
37. Petrosawodsk	336. Kislär
38. Powenez	337. Machatsch-Kala (Petrowsk)

⁴⁾ Kurzer Bericht über die Untersuchungen des Irtysch von Ssemipalatinsk bis Omsk. Herausg. vom Verkehrsmin. 1908. (Russisch).

381. Ленкорань	VII. Р. Шексна
382. Пахлеви (Энзели)	41. Кириллов
528. Гурьев	VIII. Р. Кама
530. Форт Александровский	112. Елабуга
561. Красноводск	113. Сарапул
562. Челекен	IX. Р. Днестр
563. Узун-Ада	234. Сороки
564. Чижишляр	IV. Байкал
436. Котельниковский маяк	X. Р. Днепр
437. Душкочан	298. Херсон
438. Дагарский маяк	XI. Р. Дон
465. Песчаная бухта	282. Усть-Медведицкая
466. Голоустное	XII. Р. Обь
467. Лиственничное	391. Обдорск
470. Переемная	XIII. Р. Иртыш
471. Мысовая	417. Тара
475. Ольхон	450. Павлодар
476. Туркинский маяк	V. Р. Сухона
44. Тотма	XIV. Р. Енисей
VI. Р. Волга	386. Дудинка
96. Кострома	427. Енисейск
105. Козьмодемьянск	XV. Р. Анадырь
106. Энгельгардтовская Обсерватория	395. Марково на Анадыре
108. Казань, университет	XVI. Р. Амур
209. Ульяновск (Симбирск)	485. Покровка
206. Саратов	488. Черняево
340. Астрахань	494. Николаевск на Амуре

381. Lenkoran	VII. Fl. Scheksna
382. Pachlewi (Enseli)	41. Kirillow
528. Gurjew	VIII. Kama
530. Fort Alexandrowskij	112. Elabuga
561. Krasnowodsk	113. Ssarapul
562. Tscheleken	IX. Dnestr
563. Usun-Ada	234. Ssoroki
564. Tschikischljär	IV. Baikal
436. Kotelnikowskij, Leuchtturm	X. Dnepr
437. Duschkatschan	298. Cherson
438. Dagarskij, Leuchtturm	XI. Don
465. Pestschanaja Buchta	282. Usst-Medwedizkaja
466. Goloustnoe	XII. Ob
467. Listwenitschnoe	391. Obdorsk
470. Pereemnaja	XIII. Irtysch
471. Myssowaja	417. Tara
475. Olchon.	450. Pawlodar
476. Turkinskij, Leuchtturm	V. Fl. Ssuchona
44. Totma	XIV. Enissei
VI. Fl. Wolga	386. Dudinka
96. Kosstroma	427. Enissejsk
105. Kosmodemjansk	XV. Fl. Anadyr
106. Engelhardt-Observatorium	395. Markowo am Anadyr
108. Kasan, Universität	XVI. Amur
209. Uljanowsk (Ssimbirsk)	485. Pokrowka
206. Ssaradow	488. Tschernjaewo
340. Asstrachan	494. Nikolaewsk am Amur

Г. Нивелировка б. Отдела Земельных Улучшений от Ялты до метеорологической станции на Ай-Петри.

Ай-Петринская метеорологическая станция связана точной нивелировкой с уровнем Черного моря. Эта нивелировка имеет большое значение ввиду того, что склон Яйлы в этом месте весьма крутой и положение Ай-Петринской станции совершенно открытое. Высота барометра этой станции найдена = 1177.9 м. Эта величина мало отличается от высоты, определенной при производстве триангуляции в районе Яйлы.

VIII

Построение средних изобар

Построенные мною средние годовые изобары для СССР опираются на наблюдения 368 станций нашей сети, высоты которых над уровнем моря определены. Точность определения высот такова, что она безусловно обеспечила бы черчение линий равного среднего давления для равнинных частей страны через 0.5 мм, если бы густота наблюдательной сети была для этого достаточной. Таким образом, главным фактором, характеризующим достижимую точность при черчении изобар, является густота нашей сети станций в разных частях СССР. Отсюда вытекает вывод, что наименьшей точностью отличаются изобары в тех районах, где сеть станций с точно измеренными высотами барометров редка. К таким районам относится прежде всего в Азиатской части СССР и на северо-востоке Европейской части Союза пространство к северу от железных дорог до низовьев рек, впадающих в Ледовитый океан. Очевидно, что на этой весьма обширной территории вполне возможны неточности при черчении изобар. Однако, необходимо указать и на обстоятельства, благодаря которым неточности уменьшаются.

От Уральского хребта до Байкала на картах средних годовых изобар проходит гребень барического рельефа, при чем по данным для имеющихся станций вполне отчетливо определяется направление градиентов как к северу,

Г. Nivellement der Sektion für Landmelioration von Jalta bis zur meteorologischen Station auf dem Ai-Petri.

Die meteorologische Station auf dem Ai-Petri ist durch ein genaues Nivellement mit dem Niveau des Schwarzen Meeres verbunden. Dieses Nivellement ist von grosser Bedeutung, weil der Abhang der Jaila an dieser Stelle sehr steil und die Lage der Station auf dem Ai-Petri ganz offen ist. Für diese Station wurde die Höhe des Barometers = 1177.9 m gefunden. Dieser Wert unterscheidet sich wenig von dem auf Grund der Triangulation bestimmten.

VIII

Konstruktion der mittleren Isobaren

Die von mir entworfenen Karten der mittleren Jahresisobaren für die USSR stützen sich auf Beobachtungen von 368 Stationen unseres Netzes, deren Höhen über dem Meeresniveau bestimmt sind. Die Seehöhen sind im allgemeinen genau genug bestimmt, um das Zeichnen der Isobaren für die ebenen Teile des Landes über 0.5 mm zu ermöglichen, wenn die Dichte des Beobachtungsnetzes für diesen Zweck genügen würde. Demzufolge erscheint die Dichte unseres Stationsnetzes als Hauptfaktor, der die Genauigkeit der Isobaren in verschiedenen Teilen der USSR bestimmt. Daraus lässt sich schliessen, dass die Isobaren in denjenigen Rayons, wo das Stationsnetz mit genau ermittelten Seehöhen der Barometer weitmaschig ist, an Genauigkeit hinter Rayons mit dichtem Stationsnetz zurückstehen. Zu solchen Rayons gehört in erster Linie im Asiatischen Teil und im Nordosten des Europäischen Teils der USSR das Territorium nördlich von den Eisenbahnen bis zum Unterlauf der Flüsse, die ins Eismeer münden. Selbstredend sind auf einem so grossen Territorium Ungenauigkeiten beim Zeichnen der Isobaren unvermeidlich. Es sei jedoch darauf hingewiesen, dass das Zusammenwirken gewisser Umstände die Ungenauigkeiten verringert.

Vom Ural-Gebirge bis zum Baikalsee zieht sich auf den Karten der mittleren Jahresisobaren ein Hochdruckrücken, wobei nach den Daten für die vorhandenen Stationen die Richtung der Gradienten sowohl gegen Norden, als auch

так и к югу от него. Так как годовые изобары зависят главным образом от распределения давления в зимние месяцы, нет никаких оснований предполагать, что между этим гребнем и побережьем Ледовитого океана существует — в среднем за год — полоса пониженного давления, и поэтому можно было бы говорить лишь о сгущении или разрежении изобар, по мере удаления от гребня и по мере приближения к берегу моря.

По годовым изобарам можно было определить высоты ряда пунктов на территории к северу от железных дорог и к северу от Байкала. Так были вычислены высоты: Тобольска, Сургута, Березова, Монастырского (Туруханска), Самарова, Олекминска, Якутска, Верхоянска. Это дало возможность воспользоваться при построении средних изобар за отдельные месяцы некоторым числом станций, разбросанных по территории, где нет пунктов с точно измеренными высотами барометров. Вместе с тем стала возможной проверка вычисленных высот барометров. Если бы ошибки результатов вычислений были значительны, приведенные к уровню моря с вычисленными высотами средние месячные величины давления не укладывались бы удовлетворительно на соответствующие карты изобар. Между тем такой несогласованности не обнаружилось, что говорит за то, что высоты вычислены без особенно чувствительных погрешностей.

А. А. Тилло¹⁾ обратил внимание на то, что грубых ошибок при определении высот по годовым изобарам можно избежать, проверив найденные величины по среднему давлению июня и июля, так как оно распределяется вообще говоря равномерно. Такой контроль несомненно полезен, как и контроль по месячным изобарам вообще. Месячные изобары позволяют проследить процессы усиления и ослабления воздействий моря и суши. В случае, если бы высоты, определенные по годовым изобарам, отличались на значительные величины от истинных абсолютных высот, изобары отдельных месяцев не выявили бы нормального развития этих процессов. Не следует забывать, что для ориентировки относительно сезонных воздействий и в северной половине Азиатской части СССР веки имеются.

Вопрос о том, в какой мере обоснованы и достоверны разные характерные особенности распределения атмосферного давления, станет яснее, если мы рассмотрим конкретные случаи. В виду этого перехожу к рассмотрению оснований для проведения изобар, характеризующих в отдельные месяцы или в среднем за год те или иные существенные особенности режима давления.

На карте годовых изобар область максимума обозначалась отчасти за пределами СССР в Центральной Азии на территории, почти лишенной метеорологических станций, большая часть которой приподнята на высоту не менее 1000 м над уровнем моря. Может возникнуть вопрос, действительно ли максимум давления занимает то положение, какое отведено ему на моей карте. В пользу моего построения изобар можно привести следующие существенные мотивы. Область максимального давления за-

gegen Süden von ihm mit genügender Sicherheit sich ergibt. Da die Jahresisobaren hauptsächlich von der Verteilung des Luftdruckes in den Wintermonaten abhängen, ist kein Grund vorhanden, anzunehmen, dass zwischen diesem Rücken und der Küste des Eismeeres nach den Jahresmitteln eine Furche niedrigen Luftdruckes lagert, und somit kann man nur über Zu- oder Abnahme des Luftdruckgefälles in der Richtung vom Luftdruckmaximum nach der Meeresküste hin reden.

Nach den Jahresisobaren konnte man die Seehöhen einer Reihe von Punkten auf dem Territorium nördlich von den Eisenbahnen und dem Baikalsee bestimmen. Auf diese Weise wurden die Höhen von Tobolsk, Surgut, Beresow, Monastyrskoe (Turuchansk), Ssamarowo, Olekminsk, Jakutsk, Werchojansk bestimmt. Das gestattete bei der Konstruktion der mittleren Monatsisobaren eine Anzahl von Stationen heranzuziehen, die über das Territorium, das keine Punkte mit genau ermittelten Seehöhen der Barometer besitzt, zerstreut sind. Die Verwertung der obengenannten Stationen beim Zeichnen der Monatsisobaren ermöglichte eine Kontrolle der berechneten Seehöhen. Wenn die Fehler ansehnlich wären, würden die mit berechneten Höhen auf das Meeresniveau reduzierten Monatsmittel des Luftdruckes sich nicht befriedigend in die entsprechenden Karten der Isobaren einordnen. In der Tat fallen die mit berechneten Höhen reduzierten Monatsmittel beim Eintragen in die Karten nicht heraus, was dafür spricht, dass die Höhen ohne besonders empfindliche Fehler berechnet sind.

A. Tillo¹⁾ machte darauf aufmerksam, dass man grobe Fehler bei der Bestimmung der Höhen nach den Jahresisobaren vermeiden kann, wenn man zur Kontrolle der erhaltenen Werte die Monatsmittel für den Juni und den Juli heranzieht, weil in den genannten Monaten der mittlere Luftdruck sich gleichmässig verteilt. Eine derartige Kontrolle kann zweifellos von Nutzen sein, wie auch eine Kontrolle nach den Monatsisobaren überhaupt. Die Monatsisobaren gestatten die Prozesse, die von der Zu- oder Abnahme des Einflusses des Meeres oder des Kontinents abhängen, zu verfolgen. Wenn sich die nach Jahresisobaren bestimmten Höhen nicht unerheblich von den wahren Seehöhen unterscheiden würden, würde die Entwicklung dieser Prozesse aus der Änderung der Form der Isobaren von Monat zu Monat nicht zu Tage treten. Man darf nicht vergessen, dass zur Orientierung in betreff der jahreszeitlichen Einflüsse auch in der nördlichen Hälfte des Asiatischen Teils der USSR Hinweise vorhanden sind.

Eine Frage, in wiefern die verschiedenen charakteristischen Eigentümlichkeiten der Luftdruckverteilung begründet und zuverlässig sind, wird uns klarer werden, wenn wir konkrete Fälle betrachten. Deshalb gehe ich zur Besprechung der Grundlagen für das Zeichnen derjenigen Isobaren über, die entweder in einzelnen Monaten oder im Mittel für das Jahr diese oder jene wesentlichen Eigentümlichkeiten des Luftdruckregimes charakterisieren.

Auf der Karte der Jahresisobaren finden wir das Maximum teilweise ausserhalb der USSR im Zentralen Asien auf einem Territorium, welches beinahe keine meteorologischen Stationen aufzuweisen hatte und dessen grösserer Teil auf einer Höhe von nicht unter 1000 m. über dem Meeresniveau liegt. Es ist ganz berechtigt die Frage, ob das Maximum tatsächlich sich dort befindet, wo es durch die Isobaren meiner Karte gekennzeichnet wird. Zu Gunsten meiner Konstruktion der Isobaren kann man folgende wesentliche Gründe

¹⁾ A. Tillo. Répartition géographique de la pression atmosphérique sur le territoire de l'empire de Russie. S. Pétersbourg. 1890.

¹⁾ А. А. Тилло. Распределение атмосферного давления на пространстве Российской Империи и Азиатского материка на основании наблюдений с 1836 по 1885 г. Зап. Русского Географ. Общ. по Общей Географии. Т. XXI — 1890

хватывает часть территории в пределах СССР с небольшими высотами над уровнем моря, не превышающими 200—250 м (район Семипалатинска и Барнаула), с равнинным характером. Высоты барометров ряда станций в этом районе как в пределах максимума давления, так и по соседству с ним, определены с достаточной точностью нивелировками по замкнутым полигонам. Возможность чувствительных погрешностей при приведении давления к уровню моря здесь исключена. Мы имеем достаточно точно определенные высоты барометров по линиям: 1) Семипалатинск—Барнаул—Томск, 2) Семипалатинск—Павлодар—Омск, 3) Семипалатинск—Устькаменогорская ферма—Копал—Алма-Ата. Форма изобар в этом районе должна быть признана вполне обоснованной.

Область максимума давления своей восточной стороной подходит к Байкалу. Здесь в районе юго-западного конца Байкала имеется достаточное число станций с высотами, определенными точными нивелировками (Иркутск, Усолье, Зима, Тулун, Маритуй, Култук, Переемная, Голоустное, Мысовая, Верхнеудинск, Петровский Завод). По месячным изобарам прекрасно прослеживается в этом районе как зарождение и усиление максимума, так и его ослабление и исчезновение. Мы видели выше, что в приведении давления к уровню моря здесь нельзя предположить чувствительных погрешностей. Область максимума с пониженным по сравнению с Семипалатинском давлением выдвинута на запад. Этот выступ прослеживается до Полтавы и Днепропетровска. Он проходит лишь от Акмолинска до южных отрогов Урала по местности, не имеющей станций с точно определенными высотами барометров. Далее он вступает на территорию, пересеченную линиями точных нивелировок и вполне точно обрисовывается изобарами. К востоку от Урала точная нивелировка имеется по линии от Аральского моря (Казалинск) до Оренбурга, затем идет нивелирная линия от Уральска до Уильского, далее сеть нивелировок Рязанско-Уральской жел. дороги и нивелировка вдоль Волги.

Труднее обосновать направление выступа барометрического максимума, идущего от Байкала на северо-восток. Для этой цели мы имеем следующие вехи.

Хорошо прослеживается падение среднего годового давления от Иркутска и Байкала на восток по направлению Забайкальской и Уссурийской жел. дорог; второй разрез, пролегающий по району, освещаемому станциями с точно определенными высотами барометров, направлен от Иркутска и Култука на северо-восток. В этом районе форма изобар точно обрисовывается до северо-восточной оконечности Байкала, а вместе с тем определяется и направление выступа области максимума давления. Среднее годовое давление на побережье Ледовитого океана определяется для ряда пунктов (Русское устье, Казачье, Булун, Диксон, Устьенисейский порт, Дудинка, Обдорск, Марсале, Югорский Шар) с точностью до $\pm 0,5$ мм. На Восточном побережье имеют достаточно точно измеренные высоты станции Ново-Мариинский пост, Гижигинск, Петропавловск на Камчатке, Никольское на о. Беринга, Охотск, Николаевск на Амуре и ряд станций на Сахалине. И на этом побережье среднее годовое давление определяется едва ли с меньшей точностью чем до $\pm 0,5$ мм. Относи-

анführen. Das Gebiet, auf das sich das Maximum des Luftdrucks erstreckt, liegt zum Teil im Bereich der USSR, wo die Höhen über dem Meeresniveau unbedeutend sind und 200—250 m. nicht übersteigen (der Rayon von Ssemipalatinsk, Barnaul). Die Höhen der Barometer einer Reihe von Stationen in diesem Rayon sowohl im Bereich des Maximums, als auch in seiner Nachbarschaft, sind mit genügender Genauigkeit mittelst der Nivellements, die geschlossene Poligone bilden, bestimmt. Hier kann von empfindlichen Fehlern bei der Reduktion des Luftdrucks auf das Meeresniveau nicht die Rede sein. Wir verfügen über genügend genau bestimmte Höhen der Barometer entlang den Linien: 1) Ssemipalatinsk-Barnaul-Tomsk, 2) Ssemipalatinsk-Pawlodar-Omsk, 3) Ssemipalatinsk-Ustkamenogorskaja Ferma-Kopal-Alma-Ata. In diesem Rayon muss die Form der Isobaren als durchaus begründet angenommen werden.

Das Maximum nähert sich mit seiner östlichen Seite dem Baikalsee. Hier im Rayon des süd-westlichen Endes des Baikalsees funktioniert eine genügende Anzahl von Stationen, deren Höhen mittels genauer Nivellements bestimmt sind (Irkutsk, Ussolje, Sima, Tulun, Maritui, Kultuk, Pereemnaja, Goloustnoe, Myssowaja, Werchneudinsk, Petrowskji Sawod). Nach den Monatsisobaren lassen sich hier sowohl das Entstehen und die Entwicklung des Maximums, als auch seine Abschwächung und sein Verschwinden ausgezeichnet verfolgen. Es wurde oben gezeigt, dass man hier bei der Reduktion des Luftdrucks auf das Meeresniveau keine empfindlichen Fehler voraussetzen kann. Das Maximum zieht sich mit abfallendem Druck von Ssemipalatinsk nach West. Diesen Zweig des Maximums kann man bis Poltawa und Dnepropetrowsk verfolgen. Er zieht sich nur von Akmolinsk bis zu den südlichen Vorbergen des Ural über eine Gegend, wo es keine Stationen mit genau bestimmten Höhen der Barometer gibt. Weiterhin betritt er ein Territorium, welches von genauen Nivellements durchkreuzt ist und wo er nach den Isobaren genau verfolgt werden kann. Östlich vom Uralgebirge haben wir ein genaues Nivellement längs der Linie Aralsee (Kasalinsk)—Orenburg, Uralsk ist mit Uilskoe durch ein Nivellement verbunden, das an die Nivellements des Rjasan-Uralsker Eisenbahnnetzes und an das Wolga-Nivellement einen Anschluss hat.

Weniger sicher wird der Zweig des Maximums, der sich vom Baikalsee nach Nord-Ost erstreckt, durch die Isobaren angegeben. Um ihn möglichst genau zu erfassen, haben wir folgende Anhaltspunkte.

Die Abnahme der Jahresmittel des Luftdrucks von Irkutsk und dem Baikalsee nach Osten hin in der Richtung der Transbaikalischen und der Ussuri-Eisenbahn lässt sich gut verfolgen. Denken wir uns eine Linie in der Richtung von Irkutsk und Kultuk nach Nordost, so wird sie ebenfalls einen Rayon, in dem Stationen mit genau bestimmten Höhen vorhanden sind, schneiden. In diesem Rayon wird die Form der Isobaren bis ans nordöstliche Ende des Baikalsees genau wiedergegeben und zugleich wird die Richtung des nordöstlichen Zweigs des Maximums angedeutet. Das Jahresmittel des Luftdrucks lässt sich für eine Reihe von Punkten an der Küste des Eismeeres (Russkoe Ustje, Kasatschje, Bulun, Dixon, Ust-Enisseisk-Port, Dudinka, Obdorsk, Mare-Ssalé, Jugorskij Schar) mit einer Genauigkeit bis $\pm 0,5$ mm bestimmen. An der Ostküste sind mit genügender Genauigkeit die Höhen folgender Stationen bestimmt: Nowo-Mariinskij Post, Gishiginsk, Petropawlowsk auf Kamtschatka, Nikolskoe auf der Insel Behring, Ochotsk, Nikolaewsk am Amur und in einer Reihe von Punkten auf Ssachalin. Die Jahresmittel des Luftdrucks

тельно Маркова на Анадыре можно сказать, что принятая мною высота этого пункта безусловно не больше действительной. Таким образом имеется возможность приблизительно определить изменение среднего годового давления от Маркова на Анадыре до Ново-Мариинского поста. С другой же стороны в первом приближении определяется падение среднего годового давления от Маркова на Анадыре до побережья Ледовитого океана и до Гижигинска.

Можно допустить, что от Якутска по направлению к Охотску, градиент такой же, как от Маркова на Анадыре до Гижигинска. В виду большого температурного градиента между Якутском и Охотском есть полное основание считать, что здесь и градиент давления значителен. Если мы с этим согласимся, то и принятая высота Якутска не встретит возражений.

В июле через Якутск проходит изобара 754 мм. Более высокого среднего давления в этом месяце для Якутска нельзя допустить, так как таково же давление и в районе Байкала, где оно достаточно точно устанавливается. Едва ли оно может быть и значительно ниже 754 мм, так как по разрезу Иркутск — Верхнеудинск — Нерчинск — Благовещенск понижение между изобарами 754 мм около Байкала и в районе Благовещенска наблюдается лишь незначительное, не больше 0.5 мм. Против допущения, что выступ Азорского барометрического максимума не претерпевает разрыва к востоку от Байкала, говорит форма изобар в районе Байкала, где они вполне обоснованы. Из всего сказанного вытекает, что принятая мною высота Якутска не может значительно уклоняться от действительной абсолютной высоты; ошибка не должна превышать 5 м.

Новые годовые изобары на северо-востоке Сибири получили иное начертание, чем в Климатологическом Атласе ГФО. Они указывают на существование связи между северо-восточным выступом Сибирского максимума давления и северо-американским максимумом. Такая связь наметилась еще в труде А. Бэкана¹⁾, она явственно выступает на картах Мона²⁾, на нее указывает и форма изобар над Баренцовым и Карским морями. Наблюдения полярных экспедиций и имеющихся на северо-востоке Сибири постоянных станций не только не противоречат изобарам Мона, но, напротив, в общем хорошо согласуются с ними. Наконец на правильность начертания их указывает и направление преобладающего ветра на отдельных станциях.

Минимум давления над Черным морем и выступ области пониженного давления над Каспийским морем на картах годовых изобар имеют основанием наблюдения на прибрежных станциях, расположенных на небольших высотах.

Второстепенный максимум на карте годовых изобар в районе Карпат опирается на достаточно густую сеть станций в Болгарии, Румынии, Польше и Венгрии, причем

¹⁾ A. Buchan. Report on atmospheric circulation. Report of the scientific results of the voyage of H. M. S. Challenger. 1889.

²⁾ H. Mohn. Scientific results of the Norwegian North Polar Expedition 1893—1896. XVII. Meteorology. London. 1905.

werden auch an dieser Küste wohl kaum eine geringere Genauigkeit als ± 0.5 mm erreichen. Was Markowo am Anadyr betrifft, so ist die von mir angenommene Höhe dieses Punktes zweifellos nicht grösser, als die tatsächliche. Es lässt sich die Änderung des Jahresmittels des Luftdrucks von Markowo am Anadyr bis zum Nowo-Mariinskij Post wenigstens angenähert ermitteln. Andererseits kann man die Abnahme der Jahresmittel des Luftdrucks von Markowo am Anadyr bis zur Küste des Eismeer und bis Gishiginsk schätzen.

Man kann annehmen, dass der Gradient von Jakutsk in der Richtung nach Ochotsk gleich gross ist, wie von Markowo am Anadyr bis Gishiginsk. Mit Rücksicht auf das grösste Temperaturgefälle zwischen Jakutsk und Ochotsk hat man allen Grund anzunehmen, dass hier auch der Gradient des Luftdrucks nicht unansehnlich ist. Lassen wir das gelten, so wird auch die angenommene Höhe von Jakutsk keinen besonderen Zweifel erregen.

Jakutsk kommt im Juli auf der Isobare 754 mm zu liegen. Höher kann in diesem Monat der mittlere Luftdruck für Jakutsk nicht angenommen werden, da im Rayon des Baikalsees, wo die Luftdruckmittel genügende Stütze haben, das Julimittel im Meeresniveau dem für Jakutsk erhaltenen nahezu gleich ist. Er kann auch kaum bedeutend niedriger sein, als 754 mm, da in der Schnittlinie Irkutsk — Werchneudinsk — Nertschinsk — Blagoweschtschensk zwischen den Isobaren 754 mm im Rayon des Baikalsees und im Rayon von Blagoweschtschensk der Luftdruck im Juli bloss eine geringe Abnahme aufweist, nämlich nicht mehr als um 0.5 mm, Gegen die Annahme, dass die Abzweigung des Azorenhochs östlich vom Baikalsee keine Unterbrechung erleidet, spricht die Form der Isobaren im Rayon des Baikalsees, wo diese ebenfalls gut begründet sind. Aus dem Gesagten lässt sich schliessen, dass die von mir angenommene Höhe von Jakutsk nicht wesentlich von der tatsächlichen Seehöhe abweichen kann. Der Fehler dürfte kaum 5 m übersteigen.

Die neuen Jahresisobaren für den Nordosten Sibiriens haben eine andere Gestalt angenommen, als im Klimatologischen Atlas des Physikalischen Zentral-Observatoriums. Sie weisen auf das Vorhandensein einer Verbindung zwischen dem nordöstlichen Zweig des Sibirischen Maximums des Luftdrucks und dem Nordamerikanischen Maximum. Eine solche Verbindung war schon in der Arbeit A. Buchan's¹⁾ angedeutet, sie tritt deutlich in den Karten von H. Mohn²⁾ hervor, auch die Form der Isobaren über dem Barents- und Karischen Meere führt zu der gleichen Annahme. Die Beobachtungen der Pojar-Expeditionen und der ständigen Stationen im Nordosten Sibiriens widersprechen durchaus nicht den Isobaren von Mohn, im Gegenteil, sie stimmen mit denselben im Allgemeinen gut überein. Eine Stütze für die neuen Isobaren finden wir auch in der Richtung des vorherrschenden Windes einzelner Stationen.

Das Minimum des Luftdrucks über dem Schwarzen Meere und die Ausbuchtung des Gebiets niedrigen Luftdrucks über dem Kaspischen Meere auf den Karten der Jahresisobaren stützen sich auf Beobachtungen der Küstenstationen, die in geringer Höhe über den genannten Meeren gelegen sind.

Ein sekundäres Maximum auf der Karte der Jahresisobaren im Rayon der Karpaten stützt sich auf ein genügend dichtes Stationsnetz in Bulgarien, Rumänien, Polen und Ungarn,

¹⁾ A. Buchan. Report on atmospheric circulation. Report of the scientific results of the voyage of H. M. S. Challenger. 1889.

²⁾ H. Mohn. Scientific results of the Norwegian North Polar Expedition 1893—1896. XVII. Meteorology. London. 1905.

высоты взятых мною станций в этом районе не превышают 400 м.

Остается еще сказать несколько слов об искривлении изобар в Западной Сибири с выпуклостью, обращенной к югу. Аналогичную систему изобар мы видим в районе Белого и Баренцова морей. Между этими двумя системами изобары на севере материка выпуклостью обращены к северу. В районе Белого и Баренцова морей изобары опираются на достаточное число станций, менее удовлетворительна сеть станций на северо-западе Сибири. Тем не менее можно признать, что и здесь форма изобар соответствует действительному распределению давления. В районе Обской и Енисейской губы имеется ряд станций, позволяющих довольно надежно проводить здесь изобары (Вайгач, Югорский Шар, Маре-Сале, Обдорск, Диксон, Усть-Енисейский порт, Дудинка). К югу от Тобольска район, примыкающий к Уралу, хорошо освещен станциями с точно определенными высотами барометров и в этом районе изобары представляют изгибы аналогичные изобарам приморской полосы. Таким образом в отношении годовых изобар можно сказать, что грубых погрешностей в их начертании не должно заключаться и что поэтому и погрешности определенных по ним абсолютных высот ряда станций даже в северной части Сибири не могут быть особенно значительны.

Перехожу к рассмотрению изобар за отдельные месяцы. Все, что сказано относительно построения годовых изобар, относится и к изобарам зимних месяцев. Можно относительно этих месяцев добавить лишь указание на местный максимум давления над Малым Кавказом. Об этом максимуме уже говорилось в главе о приведении давления к уровню моря.

В отношении изобар летних месяцев требуется пояснение, касающееся главным образом степени обоснованности существования полосы пониженного давления в июле и августе, протянувшейся вдоль берегов Баренцова и Карского морей, Ледовитого и Тихого океанов. В пределах Европейской части СССР никаких сомнений в достоверности этой полосы не возникает. Вполне надежно устанавливается наличие этой полосы по разрезу на картах июльских и августовских изобар по направлению от Мысовой на юго-восточном берегу Байкала вдоль линии Забайкальской жел. дор. до Хабаровска и далее на восток до Николаевска на Амуре; а также по разрезу от Байкала через Манчжурию до Владивостока. По этим линиям имеется достаточно станций с высотами, определенными нивелировками, образующими замкнутый полигон. В главе о приведении давления к уровню моря выясняется, что в районе между Байкалом и морем, а также в Манчжурии неточности, зависящие от погрешностей в определении вертикальных градиентов температуры, не могут быть значительны.

На северо-западе Сибири, в особенности в августе, полоса пониженного давления прослеживается тоже вполне надежно, она не столь отчетливо обрисовывается на севере Якутии, что конечно, объясняется малым числом станций.

Полосу пониженного давления мы встречаем и на севере Индостана и Индо-Китая¹⁾, причем эта полоса на

вобей die Höhen der von mir gewählten Stationen in diesem Rayon 400 m nicht übersteigen.

Es erübrigt noch einige Worte über die nach Süden ausgebuchteten Isobaren in Westsibirien hinzuzufügen. Ein analoges Isobarensystem sehen wir im Rayon des Weissen- und des Barentsmeeres. Zwischen diesen beiden Systemen zeigen die Isobaren im Norden des Kontinents eine Ausbuchtung nach Norden. Im Rayon des Weissen- und des Barentsmeeres ist das Stationsnetz dicht genug, während es im Nordwesten Sibiriens grosse Lücken aufweist. Trotzdem kann man annehmen, dass auch hier die Form der Isobaren der tatsächlichen Verteilung des Luftdrucks entspricht. Im Rayon der Obbucht und des Enisseibusens gibt es eine Reihe von Stationen, die es gestatten, die Isobaren hier im Ganzen zuverlässig zu konstruieren (Waigatsch, Jugorskiij Schar, Mare Ssale, Obdorsk, Dixon, Ust-Enisseiskij Port, Dudinka). Südlich von Tobolsk liegt ein vom Ural begrenztes Gebiet, wo es an Stationen mit genau bestimmten Höhen der Barometer nicht mangelt. In diesem Gebiet sind die Krümmungen der Isobaren denjenigen des Küstengebietes analog. Wie sich aus dem Dargelegten ergibt, kann man in betreff der Jahresisobaren behaupten, dass sie durch keine groben Fehler entstellt sind und folglich auch die Fehler der nach den Jahresisobaren bestimmten Seehöhen einer Reihe von Stationen sogar im nördlichen Teil Sibiriens nicht bedeutend sein können.

Ich gehe zur Besprechung der Isobaren für einzelne Monate über. Alles, was in betreff der Konstruktion der Jahresisobaren gesagt ist, bezieht sich auch auf die Isobaren der Wintermonate. Man kann nur noch auf ein lokales Maximum, das in den Wintermonaten über dem kleinen Kaukasus lagert, hinweisen. Von diesem Maximum war schon die Rede im Kapitel über die Reduktion des Luftdrucks auf das Meereniveau.

Was die Isobaren der Sommermonate betrifft, so bedarf einer Erläuterung hauptsächlich die Furche niedrigen Druckes, die sich im Juli und August längs der Küste des Barents-, Karischen und Eismeer, wie auch des Stillen Ozeans zieht. Es wäre nachzuweisen, dass diese Furche in dem Beobachtungsmaterial genügende Stütze hat. Im Bereich des Europäischen Teils der USSR bestehen keine Zweifel über die Existenz der Furche. Auf den Karten des Juli und des August finden wir sie wieder längs dem Schnitt in der Richtung der Transbaikalischen Eisenbahn von Mysowaja am süd-östlichen Ufer des Baikalsees nach Ost bis Chabarowsk und weiterhin bis Nikolaewsk am Amur; auch hier wird ihr Vorhandensein durch sichere Angaben bestätigt. Auch der Schnitt vom Baikalsee über die Mandshurei bis Wladiwostok durchquert in den genannten Monaten die Furche. Längs diesen Linien funktionierte eine genügende Zahl Stationen mit durch Nivellements bestimmten Höhen, die ein geschlossenes Polygon bilden. Im Kapitel über die Reduktion auf das Meeresniveau wird klargelegt, dass im Rayon zwischen dem Baikalsee und dem Meere, wie auch in der Mandshurei, Ungenauigkeiten, die von den Fehlern in der Bestimmung des vertikalen Temperaturgefälles abhängen, nicht bedeutend sein können.

Im Nordwesten Sibiriens kommt auf den Isobarenkarten der Sommermonate, besonders des August die Rinne in der Luftdruckverteilung deutlich zum Vorschein. Im Norden Jakutiens ist sie schwerer zu verfolgen, was in der geringen Zahl von Stationen seinen Grund findet.

Ein Gebiet niedrigen Luftdruckes finden wir auch im Norden von Vorderindien und von Hinterindien¹⁾; dieses Tief

¹⁾ См. Climatological Atlas of India, 1906.

¹⁾ Climatological Atlas of India, 1906.

север подымается до Узбекистана, Туркменистана и Таджикистана, где ряд станций вполне надежно фиксирует ее наличие. Изобары проф. Вейкмана¹⁾ показывают, что она господствует и над восточной частью Средиземного моря.

Этими замечаниями и закончу пояснения к построению изобар в прилагаемом атласе. Избегая выделять второстепенные детали и аномалии в распределении среднего давления, существование которых не может быть доказано надежными данными, я стремился выявить основные черты, опираясь на данные, заслуживающие полного доверия и отличающиеся достаточной для указанной цели точностью.

Остается несколько слов сказать о том, в какой мере можно считать построенные изобары отнесенными к периоду 1881—1910 гг.

Как известно, имеются районы, где нет станций, работавших исправно в течение всего этого периода. В таких районах пришлось довольствоваться средними за более короткие периоды, а также приводить короткие ряды наблюдений к другому периоду.

Сообщаю ниже сведения о том, для каких районов пришлось средние величины вычислить за другие периоды вместо 1881—1910 гг.

В пределах Азиатской части СССР непрерывно работали в течение всего периода 1881—1910 гг. лишь следующие станции: Богословск, Свердловск, Томск ($29\frac{3}{4}$ лет), Барнаул, Иркутск ($29\frac{1}{4}$ лет), Нерчинский Завод, Ташкент, Алма-Ата ($29\frac{1}{2}$ л.). Относительно хорошо обставленный опорными станциями район к западу от Среднего и Южного Урала вместе с опорными пунктами на восточном склоне Урала (Богословск, Свердловск) и ближайшими к Уралу станциями средней части Сибири (Томск, Барнаул) обеспечивает вполне удовлетворительное приведение средних величин давления к 30-ти летнему периоду для станций в Западной Сибири тем более, что в разных районах этого края имеются также станции с наблюдениями продолжительностью до 15—25 лет (Обдорск 16 л., Сургут 22 г., Нижне-Тагильск $25\frac{1}{2}$ л., Челябинск 15 л., Ирбит $22\frac{1}{4}$ г., Тюмень $25\frac{3}{4}$ л., Тобольск $18\frac{3}{4}$ л., Благодатка $19\frac{3}{4} + 7\frac{3}{4}$ л., Омск $20\frac{3}{4}$ л.).

Можно считать отнесенным к 30-ти летнему периоду район Средней Азии, где имеются станции с данными за 30 лет в Ташкенте и Алма-Ата ($29\frac{1}{2}$ л.) и где к ним присоединяется ряд станций, наблюдения которых могут быть надежно приведены к 30-ти летнему периоду по станциям в соседних районах (Красноводск, Форт Александровск, Семипалатинск). В этом районе имеются станции с относительно длинными рядами в следующих пунктах: Казалинск ($21\frac{3}{4}$ г.), Кызыл-Орда $18\frac{1}{4}$ л.), Аулие-Ата (24 г.), Самарканд ($26\frac{3}{4}$ л.), Джизак ($24\frac{1}{2}$ г.), Маргелан ($20\frac{1}{2}$ л.), Борохудзир ($16\frac{1}{4}$ л.).

Чрезвычайно важный в климатологическом отношении Приалтайский район увязывается с общей системой изобар благодаря наличию опорных станций в Барнауле и Томске и ряду станций в этом районе с наблюдениями продолжительностью от 14 до 20 лет (Семипалатинск 18 л.,

реicht nach Norden hin bis Usbekistan, Turkmenistan und Tadshikistan, wo sein Vordringen eine Reihe von Stationen sicher zu verfolgen gestattet. Die Isobarenkarten von Prof. L. Weickmann¹⁾ zeigen deutlich, dass es auch den östlichen Teil des Mittelländischen Meeres beherrscht.

Mit diesen Bemerkungen schliesse ich die Erläuterungen zur Konstruktion der Isobaren, die in den beigegebenen Atlas aufgenommen sind. Ich vermied es unwesentliche Details und Anomalien in der Verteilung des mittleren Luftdrucks, die nicht auf sicherem Material beruhen, hervorzuheben, bemühte mich aber die hauptsächlichsten Eigentümlichkeiten der Luftdruckverteilung hervortreten zu lassen, indem ich mich dabei auf durchaus zuverlässiges Material, das sich durch für diesen Zweck genügende Genauigkeit auszeichnet, stützte.

Man darf die Frage nicht umgehen, in wiefern die von mir entworfenen Isobarenkarten als auf die Periode 1881—1910 betrachtet werden können.

Bekanntlich gibt es Gebiete, in denen solche Stationen, die im Laufe dieser ganzen Zeitperiode regelmässig funktioniert haben, fehlen. In solchen Gebieten musste ich mich mit Mittelwerten für kürzere Perioden begnügen, oder aber kurze Beobachtungsreihen auf eine längere Periode reduzieren.

Nachfolgend teile ich mit, für welche Gebiete ich den mittleren Luftdruck für andere Perioden statt 1881—1910 berechnen musste.

Im Bereich des Asiatischen Teils der USSR funktionierten im Laufe der ganzen Periode 1881—1910 nur folgende Stationen ohne Unterbrechung: Bogoslawsk, Sswerdlowsk, Tomsk ($29\frac{3}{4}$ Jahre), Barnaul, Irkutsk ($29\frac{1}{4}$ Jahre), Nertschinskij Sawod, Taschkent, Alma-Ata ($29\frac{1}{2}$ Jahre). Verhältnismässig gut ist mit Bezugsstationen besetzt das Gebiet westlich vom mittleren und südlichen Ural; Bezugsstationen weisen auch auf der östliche Abhang des Ural (Bogoslawsk, Sswerdlowsk) und der mittlere Teil Sibiriens (Tomsk, Barnaul), der nicht allzuweit vom Ural entfernt ist. Diese Bezugsstationen sichern genügend genaue Reduktion der Luftdruckmittel der Stationen Westsibiriens auf die 30-jährige Periode. Wir haben um so mehr Grund dies zu behaupten, da es in verschiedenen Rayons dieses Gebietes ausser besprochenen Stützpunkten, Stationen mit langfristigen Beobachtungen gibt, die sich auf 15—25 Jahre beziehen (Obdorsk 16 Jahre, Ssurgut 22 J., Nishne-Tagilsk $25\frac{1}{2}$ J., Tscheljabinsk 15 J., Irbit $22\frac{1}{4}$ J., Tjumen $25\frac{3}{4}$ J., Tobolsk $18\frac{3}{4}$ J., Blagodotka $19\frac{3}{4} + 7\frac{3}{4}$ J., Omsk $20\frac{3}{4}$ J.).

Man kann auch Mittelasien als auf die Periode von 30 Jahren bezogen betrachten. Hier haben wir die Stationen in Taschkent mit Beobachtungen für 30 Jahre und Alma-Ata, die $29\frac{1}{2}$ Jahre funktioniert hat, dabei können eine Reihe von Stationen genau genug nach den Stützpunkten in Nachbargebieten (Krasnowodsk, Fort Alexandrowsk, Ssemipalatinsk) auf die 30-jährige Periode reduziert werden. In Mittelasien kann man auf folgende Stationen mit verhältnismässig langen Beobachtungsreihen hinweisen: Kasalinsk ($21\frac{3}{4}$ Jahre), Ksyl. Orda ($18\frac{1}{4}$ J.), Aulie-Ata (24 J.), Ssamar-kand ($26\frac{3}{4}$ J.), Dshisak ($24\frac{1}{2}$ J.), Margelan ($20\frac{1}{2}$ J.), Boro-chudsir ($16\frac{1}{4}$ J.).

Das in klimatologischer Hinsicht überaus wichtige Gebiet, das dem Altai vorgelagert ist, wird von Isobaren durchzogen, die in gutem Einklang mit dem Gesamtsystem derselben stehen. Die Isobaren im genannten Gebiet stützen sich auf Bezugsstationen in Barnaul und Tomsk und eine Reihe von

¹⁾ L. Weickmann. Luftdruck und Winde im östlichen Mittelmeergebiet. Zum Klima der Türkei, I. Heft. 1922.

¹⁾ L. Weickmann. Luftdruck und Winde im östlichen Mittelmeergebiet. Zum Klima der Türkei, I. Heft. 1922.

Устькаменогорская ферма 16 л., Минусинск $19\frac{1}{2}$ л., Акмолинск $14\frac{1}{2}$ л., Енисейск $20\frac{1}{4}$ л., Канск $17\frac{1}{4}$ л.). Следующий куст станций группируется вокруг Иркутска как опорного пункта. Здесь мы имеем следующие станции с относительно длинными рядами наблюдений: Лиственичное $15\frac{1}{4}$ л., Верхнеудинск $19\frac{3}{4}$ л., Троицкосавск $19\frac{1}{4}$ л., Киренск $18\frac{3}{4}$ л., Канск $17\frac{1}{4}$ л.

Для восточной части Забайкалья и западной части Амурского района опорным пунктом является Нерчинский Завод. Вспомогательными пунктами можно считать Читу ($20\frac{1}{2}$ л.), Сретенск ($12\frac{1}{4}$ л.), Благовещенск ($19\frac{1}{4}$ л.) и Харбин ($12\frac{1}{2}$ л.).

Для восточной части бассейна Амура и северной части Уссурийского края принимался за опорный пункт Николаевск на Амуре ($27\frac{1}{4}$ л.), вспомогательными пунктами считались Рыковское ($19\frac{1}{2}$ л.) и Хабаровск ($12\frac{1}{2}$ л.).

Южно-Уссурийский район, как и южная часть Сахалина, увязывались с Японской метеорологической сетью (Немуро, Саппоро, Хакодате, Нагасаки, Токио). В Уссурийском крае наиболее длинный ряд наблюдений имеется в Никольске-Уссурийском ($21\frac{1}{2}$ г.). Для контроля я пользовался также данными Цикавейской Обсерватории у Шанхая (30 л.).

Таким образом можно считать изобары в Западной Сибири, Средней Азии и в полосе вдоль линии железной дороги от Урала до Хабаровска и Владивостока, вдоль нижнего течения Амура, а также в районе Татарского пролива отнесенными к периоду 1881—1910 г.

Гораздо хуже обстоит дело в отношении севера Азии от низовья Енисея до побережья Тихого океана. Изобары для этого края надлежит рассматривать как схематические и нельзя считать отнесенными именно к периоду 1881—1910 гг. Наиболее длинными на этой территории представляются ряды наблюдений станций Якутск ($27\frac{3}{4}$ л.), Мархинское близ Якутска ($14\frac{1}{2}$ л.), Верхоянск ($15\frac{3}{4}$ л.), Марково на Анадыре ($13\frac{1}{4}$ л.), Гижигинск ($15\frac{3}{4}$ л.), Охотск (12 л.), Петропавловск на Камчатке ($8\frac{3}{4}$ л.), Самарово (12 л.), Монастырское (8 л.) и Дудинка (8 л.). Изобары для этой территории, не смотря на малое число опорных пунктов и небольшую продолжительность наблюдений в этих пунктах, представляют все же более или менее удовлетворительную схему благодаря тому, что в холодный сезон разница в давлении на севере и на юге этой территории, а также на востоке и в средней ее части весьма велика и погрешности в 1—2 мм не искажают общей картины. Что же касается теплого сезона, то изменчивость давления в пространстве на суше мала и повышение давления по направлению к берегам океанов здесь обнаруживается с полной определенностью даже по наблюдениям за короткие периоды.

Станции в этом Районе с одной Beobachtungsdauer von 14 bis 20 Jahren (Ssemipalatinsk—18 Jahre, Ust-Kamenogorskaja Ferma—16 J., Minussinsk $19\frac{1}{2}$ J., Akmolinsk $14\frac{1}{2}$ J., Enisseisk $20\frac{1}{4}$ J. und Kansk $17\frac{1}{4}$ J.). Die nächste Schaar von Stationen gruppiert sich um Irkutsk als Bezugspunkt. Hier haben wir folgende Stationen mit relativ langen Beobachtungsreihen: Listwenitschnoe $15\frac{1}{4}$ J., Werchneudinsk $19\frac{3}{4}$ J., Troizkossawsk $19\frac{1}{4}$ J., Kirensk— $18\frac{3}{4}$ J., Kansk $17\frac{1}{4}$ J.

Für das östliche Transbaikalien und den westlichen Teil des Amur-Rayons gilt Nertschinskij Sawod als Bezugspunkt. Tschita ($20\frac{1}{2}$ Jahre), Sretensk ($12\frac{1}{4}$ J.), Blagoweschtschensk ($19\frac{1}{4}$ J.) und Charbin ($12\frac{1}{2}$) kann man als Hilfsstationen betrachten.

Für den östlichen Teil des Amurbassins und den nördlichen Teil vom Ussuri-Gebiet wurde Nikolaewsk am Amur ($27\frac{1}{4}$ Jahre) als Bezugspunkt angenommen, Rykowskoe ($19\frac{1}{2}$ J.) und Chabarowsk ($12\frac{1}{2}$ J.) galten als Hilfsstationen.

Der südliche Teil des Ussuri-Gebiets, sowie der südliche Teil von Ssachalin stimmen leidlich gut mit dem japanischen meteorologischen Netz (Nemuro, Sapporo, Hakodate, Nagasaki, Tokio) überein. Im Ussuri-Gebiet weist Nikolsk-Ussurijskij ($21\frac{1}{2}$ Jahre) die längste Beobachtungsreihe auf. Zur Kontrolle dienten auch die Beobachtungen des Observatoriums in Zickawei bei Schanghai (30 J.).

Nach dem Dargelegten können Isobaren in Westsibirien, Mittelasien, auf dem Terrain zu beiden Seiten der Eisenbahn vom Ural bis Chabarowsk und Wladiwostok, längs dem unteren Lauf des Amur, sowie im Rayon der Tatarischen Meerenge als auf die Periode 1881—1910 bezogen gelten.

Bedeutend schlimmer steht es in betreff Nordasiens vom unteren Lauf des Enissei bis zur Küste des Stillen Ozeans. Die Isobaren für diese Gegend müssen als schematisch angesehen werden und dürfen nicht als auf die Periode 1881—1910 bezogen betrachtet werden. Die längsten Beobachtungsreihen auf diesem Territorium haben folgende Stationen geliefert: Jakutsk ($27\frac{3}{4}$ Jahre), Marchinskoe bei Jakutsk ($14\frac{1}{2}$ J.), Werchojansk ($15\frac{3}{4}$ J.), Markowo am Anadyr ($13\frac{1}{4}$ J.), Gishiginsk ($15\frac{3}{4}$ J.), Ochotsk (12 J.), Petropawlowsk auf Kamtschatka ($8\frac{3}{4}$ J.), Ssamarowo (12 J.), Monastyrskoe (8 J.) und Dudinka (8 J.). Ungeachtet der geringen Anzahl von Bezugspunkten und der kurzen Beobachtungsdauer in diesen Punkten, stellen die Isobaren für dieses Territorium ein immerhin mehr oder minder befriedigendes Schema dank dem Umstande dar, dass der Unterschied im Luftdruck in der kalten Jahreszeit im Norden und im Süden dieses Territoriums, sowie auch im Osten und in seinem mittleren Teil sehr gross ist und Fehler von 1—2 mm das allgemeine Bild nicht entstellen können. Was aber die warme Jahreszeit betrifft, so ist die Veränderlichkeit des Luftdrucks im Raum auf den Festlande gering und die Zunahme des Luftdrucks in der Richtung nach der Küste der Ozeane hin tritt hier sogar nach den Beobachtungen für kurze Perioden vollkommen deutlich zum Vorschein.

Изобары на уровне моря

Установленный Бэканом¹⁾ и А. И. Воейковым²⁾ факт, что существует тесная связь между распределением среднего атмосферного давления и преобладающими ветрами, подчеркивает весьма большое значение средних изобар на уровне моря для изучения как общей циркуляции вообще, так и местной циркуляции с годовой периодичностью. При этом достаточно точное выяснение барического рельефа над территорией, составляющей одну шестую всей суши на земном шаре, должно способствовать существенному уточнению наших сведений об общей циркуляции при условии четкой увязки изобар на суше с изобарами на океанах. Изучение распределения среднего давления на территории СССР долго отставало от теоретических исследований по изучению общей циркуляции. Изобары Э. В. Штеллинга (1876) и А. А. Тилло (1890), за неимением достаточного числа опорных пунктов с точно определенными высотами барометров внутри страны, могли строиться лишь на основе теоретических предпосылок, ко времени появления в свет трудов названных исследователей более или менее твердо установленных. При черчении изобар для Сибири как Э. В. Штеллингом, так и А. К. Тилло учитывалась прежде всего зависимость распределения давления от очертаний материка и вместе с тем от распределения температуры. Но уже изобары Бэкана (1889) отражают на себе до некоторой степени те взгляды на общую циркуляцию, какие были развиты в теоретических изысканиях Ферреля. Однако и у Бэкана, как и у Тилло, не имелось достаточно данных наблюдений для обоснования изображенного им барического рельефа внутренней части Азии. Выполненные в девяностых годах гипсометрические работы позволили при черчении изобар для Климатологического Атласа Главной Физической Обсерватории (1900) опираться на более полный и, для части страны, более надежный материал, чем использованный А. А. Тилло. В основном наши изобары дали подтверждение тем предположениям, какие были выдвинуты на основании теоретических изысканий.

В исследованиях, появившихся за границей, наш труд был мало использован, повидимому, главным образом потому, что карты изобар не были сопровождаемы достаточно обстоятельным пояснительным текстом и не было приложено числового материала. В русской специальной литературе изобарам Атласа было уделено больше внимания, при чем делались попытки осветить главнейшие особенности распределения давления на охваченной нашими изобарами территории. А. И. Воейков³⁾ отрицал существование циклонической циркуляции над внутренней частью Азии летом, когда там наблюдается обширная депрессия. Он приписывает особенно большое влияние на распре-

¹⁾ A. Buchan. The Mean Pressure of the Atmosphere and the Prevailing Winds over the globe, for the Months and for the Year. Part II. Trans. of the R. Society of Edinburgh. Vol. XXV. P. II. 1869.

²⁾ A. Woeikof. Discussion and analysis of Prof. Coffin's tables and charts of the globe. Isobars and Isotherms. Journal of the Scottish Meteorological Society, 1871.

³⁾ A. Woeikof. Der Luftdruck und die atmosphärische Circulation in Asien. Meteorol. Zeitschrift. 1900. H. 5. P. 202.

Isobaren im Meeresniveau

Die von Buchan¹⁾ und Woeikof²⁾ festgestellte Tatsache, dass die Verteilung des mittleren Luftdrucks in engem Zusammenhange mit den herrschenden Winden steht, bestätigt, wie ausserordentlich wichtig die mittleren Isobaren im Meeresniveau sowohl für das Studium der allgemeinen Zirkulation, als auch der lokalen Zirkulation mit einer jährlichen Periode sind. Es muss eine genügend genaue Untersuchung des barischen Reliefs auf einem Territorium, welches den sechsten Teil aller Kontinente auf der Erde vorstellt, die Genauigkeit unserer Kenntnisse der allgemeinen Zirkulation wesentlich fördern, vorausgesetzt, dass der Anschluss der Isobaren auf dem Lande an die Isobaren auf den Ozeanen nicht unerheblich entstellt ist. Das Studium der Verteilung des mittleren Luftdrucks auf dem Territorium der USSR blieb lange hinter den theoretischen Untersuchungen der allgemeinen Zirkulation zurück. Die Isobaren von E. Stelling (1876) und A. Tillo (1890) konnten aus Mangel an einer genügenden Anzahl von Stützpunkten mit genau bestimmten Höhen der Barometer im Innern des Landes — nur auf Grund theoretischer Voraussetzungen konstruiert werden, welche zur Zeit des Erscheinens der Arbeiten der genannten Gelehrten mehr oder weniger sicher festgestellt waren. Beim Zeichnen der Isobaren für Sibirien wurde sowohl von E. Stelling, als auch von A. Tillo vor allen Dingen die Abhängigkeit der Verteilung des Luftdrucks von den Konturen des Kontinents und von der Temperaturverteilung in Betracht gezogen. Jene Ansichten über die allgemeine Zirkulation, welche in den theoretischen Untersuchungen von Ferrel entwickelt sind, spiegeln sich erst in den Isobaren von Buchan bis zu einem gewissen Grade wieder. Doch verfügte Buchan, wie auch Tillo, nicht über genügendes Beobachtungsmaterial, welches für das von ihnen dargestellte barische Relief des inneren Teils Asiens genügende Beweiskraft hätte. Die in den neunziger Jahren ausgeführten hypsometrischen Arbeiten gestatteten beim Zeichnen der Isobaren für den Klimatologischen Atlas des Physikalischen Zentral-Observatoriums (1900) sich auf ein umfangreicheres und für einen Teil des Landes zuverlässigeres Material, als das von A. Tillo benutzte, zu stützen. Unsere Isobaren ergaben im Grunde eine Bestätigung jener Annahmen, welche auf Grund theoretischer Untersuchungen gefolgert wurden.

In den im Auslande erschienenen bezüglichlichen Untersuchungen wurde unsere Arbeit wenig verwertet, wohl hauptsächlich, weil die Isobarenkarten nicht von genügend umfassenden Erklärungen und von keinem Zahlenmaterial begleitet wurden. In der russischen speziellen Literatur wurde den Isobaren des Atlases mehr Aufmerksamkeit geschenkt, wobei man sich bemühte die hauptsächlichsten Eigentümlichkeiten der Luftdruckverteilung auf dem von unseren Isobaren umfassten Territorium zu beleuchten. A. Woeikof³⁾ bestritt die Existenz einer zyklonalen Zirkulation über dem Innern Asiens im Sommer in der Saison, wann dort eine grosse Depression beobachtet wird. Er schreibt den dynamischen

¹⁾ A. Buchan. The Mean Pressure of the Atmosphere and the prevailing winds over the Globe for the Year. Part II. Trans. of the R. Society of Edinburgh. Vol. XXV. P. II. 1869.

²⁾ A. Woeikof. Discussion and analysis of Prof. Coffin's tables and charts of the winds of the globe. Isobars and Isotherms. Journal of the Scottish Meteorological Society. 1871.

³⁾ A. Woeikof. Der Luftdruck und die atmosphärische Zirkulation in Asien. Meteorol. Zeitschr. 1900. H. 5, p. 202.

ление среднего давления динамическим процессам и горным массивам. Л. Г. Данилов¹⁾ в большой работе, посвященной центрам действия атмосферы и общей циркуляции над Евразией, пытается выяснить природу так наз. Азиатского зимнего барометрического максимума (антициклона) и приходит к выводу, что нельзя говорить об устойчивом максимуме в смысле его неподвижности. Он на примерах показывает, что область высокого давления над Сибирью зимой отличается пульсацией, а именно, что мы имеем дело с появлением и перемещениями отдельных антициклонов, которые особенно часто следуют по траекториям, пролегающим вдоль гребня барометрического максимума, обрисовываемого средними изобарами. Нужно заметить, что такого взгляда держались многие и раньше, заслуга же Л. Г. Данилова в том, что он примерами подтвердил его. Наличие гребня повышенного давления на территории России и Монголии как в зимний сезон, так и почти во все месяцы теплого сезона он, как и А. И. Воейков, а позднее также П. И. Броунов, объясняет «причинами чисто динамического свойства, крайне тесно связанными с явлениями общей циркуляции атмосферы». Собственно новым являлось лишь указание А. И. Воейкова на значение рельефа. Что же касается динамического происхождения гребня высокого давления, служащего как бы продолжением Азорского барометрического максимума и обнаруживаемого как годовыми изобарами, так и изобарами за отдельные месяцы, то сущность процессов, обуславливающих образование этого гребня, как и вообще колец высокого давления в северном и южном полушариях, была выяснена теоретическими исследованиями Ферреля, Сименса, Меллера, Гельмгольца и др., хотя выводы этих исследований и нуждаются в некоторых коррективах.

Ничего существенно нового в рассуждениях Л. Г. Данилова не заключается. Мы ему обязаны однако тем, что он подчеркнул значение главнейших особенностей барического рельефа, на которые лишь лаконически указывалось в выпущенной отдельно от Климатологического Атласа и поэтому мало читаемой объяснительной записке к Атласу. Но изобары Атласа выявляли и такие особенности режима давления воздуха на территории нашей страны, которым до последнего времени, повидимому, никто не придавал значения, хотя они и проливают свет на происхождение весьма важных свойств климата и служат веками при установлении климатических границ²⁾. Правда, на картах Атласа эти особенности обозначились не с исчерпывающей определенностью и нуждались в уточнении и лишь, как я рассчитываю, вполне отчетливо выявляются на картах, приложенных к настоящей монографии.

Нельзя не упомянуть, что на проработку вопроса о природе зимнего режима давления воздуха на территории СССР и об увязке его с режимом на океанах положил много труда В. О. Аскинази³⁾, пользуясь для этого полумесячными картами изобар и изотерм за отдельные годы. К сожалению, смерть не дала ему закончить этот труд и мы имеем лишь

Процессам и den Bergmassiven einen besonders grossen Einfluss auf die Verteilung des mittleren Luftdrucks zu. L. Danilow¹⁾ bemüht sich in seiner grossen Arbeit, welche er den Aktionszentren der Atmosphäre und der allgemeinen Zirkulation über Eurasien gewidmet hat, das Wesen des sogenannten Asiatischen winterlichen barometrischen Maximums (Antizyklone) zu erklären, und kommt zu dem Resultate, dass man über ein stabiles Maximum im Sinne seiner Unbeweglichkeit nicht reden darf. Er zeigt an Beispielen, dass sich das Gebiet hohen Luftdrucks über Sibirien im Winter durch Pulsationen auszeichnet und wir es folglich mit dem Entstehen und mit Verschiebungen einzelner Antizyklonen zu tun haben, welche sich besonders oft auf Trajektorien fortbewegen, die sich entlang dem Rücken des durch mittlere Isobaren gekennzeichneten Maximums ziehen. Das Vorhandensein eines Luftdruckrückens auf dem Territorium der USSR und der Mongolei sowohl im Winter als auch fast in allen Monaten der warmen Jahreszeit, erklärt Woeikof und späterhin auch P. Brounow durch rein dynamische Einwirkungen, welche im engen Zusammenhange mit der allgemeinen Zirkulation der Atmosphäre stehen. Neu erschien eigentlich nur der Hinweis A. Woeikof's auf die Bedeutung des Reliefs. In Betreff der dynamischen Herkunft des Rückens hohen Luftdrucks, welcher sozusagen als Fortsetzung des Azoren-Maximums erseht und sowohl in den Jahres- als auch in den Monatsisobaren zu Tage tritt, ist das wesentliche der Prozesse, welche die Entstehung dieses Rückens, wie überhaupt der Gürtel hohen Luftdrucks in beiden Halbkugeln bedingen, durch theoretische Untersuchungen von Ferrel, Siemens, Möller, Helmholtz u. a. erklärt und nur die Details der Ergebnisse dieser Untersuchungen unterliegen einer weiteren Diskussion auf Grund neuer Forschungen.

Die Auseinandersetzungen L. Danilow's geben nichts wesentlich Neues. Sein Verdienst besteht aber darin, dass er die Bedeutung der wichtigsten Eigentümlichkeiten der Luftdruckverteilung hervorhob, welche in den als Beilage zum Klimatologischen Atlas erschienenen und deshalb wenig gelesenen Erklärungen zum Atlas nur kurz erwähnt wurden. Die Isobaren des Atlases brachten jedoch auch solche Eigentümlichkeiten des Luftdruckregimes auf dem Territorium unseres Landes zu Tage, denen man bis zur Zeit scheinbar wenig Bedeutung zugemessen hatte, obwohl sie den Ursprung höchst wichtiger Eigenschaften des Klimas beleuchten und bei der Feststellung klimatologischer Grenzen als Stützpunkte dienen²⁾. Diese Eigentümlichkeiten kamen freilich auf den Karten des Atlases nicht mit erschöpfender Klarheit zum Ausdruck, bedurften einer Präzisierung und sind, wie ich meine, klar genug erst auf den Karten, welche der vorliegenden Monographie beigelegt sind, dargestellt.

Ich möchte nicht unerwähnt lassen, dass A. Skinas³⁾ auf die Erforschung der Frage über das Wesen des winterlichen Regimes des Luftdrucks auf dem Territorium der USSR und seiner Beziehung zum Regime auf den Ozeanen viel Mühe verwandt hat, wobei er sich der halbmonatlichen Karten der Isobaren und Isothermen für einzelne Jahre be-

¹⁾ Л. Г. Данилов. Центры действия атмосферы. Одесса, 1902.

²⁾ A. Kaminsky. Windscheiden im Norden von Asien. Ergänzungsheft 201 zu Petermanns Mitteilungen. 1929. P. 36.

А. Каминский. К вопросу о климатических границах в Якутии. Геофизические проблемы Якутии. Материалы Комиссии по изучению Якутской АССР. Вып. 11. 1928.

³⁾ В. О. Аскинази. Метеорологическое Обозрение за 1924 и 1925 гг.

¹⁾ L. G. Danilow. Die Aktionszentren der Atmosphäre. Odessa. 1902. (Russisch).

²⁾ A. Kaminsky. Windscheiden im Norden von Asien. Ergänzungsheft 201 zu Petermanns Mitteilungen. 1929. P. 36.

А. А. Каминский. Zur Frage über Klimagrenzen in Jakutien. Geophysikalische Probleme Jakutiens. Materialien der Kommission zur Erforschung Jakutiens. Lief. 11. 1928 (Russisch mit engl. Resumé).

³⁾ W. O. A. Skinas. Meteorologische Revue für 1924—1925. (russ.)

наброски, какими он сопровождал ряд месячных обзоров погоды. Отмечу в нескольких словах те интересные мысли, какие им при этом высказывались.

Имеется не мало трудов, в которых представлено среднее распределение отдельных климатических элементов по месяцам и за год, при чем указывается и степень устойчивости данных для отдельных пунктов; но в этих трудах, вообще говоря, не дается достаточно полной характеристики устойчивости систем распределения изучаемых элементов на данной территории. Это прежде всего относится к барическому рельефу. Между тем именно разрешение этой задачи обещает осветить ряд важнейших климатологических проблем. В. О. Аскинази, изучая барический рельеф из года в год в течение 7 лет за отдельные месяцы, стремился уследить за развитием происходящих в атмосфере процессов на всем северном полушарии и изучить степень их устойчивости. Широко пользуясь разрезами барического рельефа по меридианам и по параллелям, он шаг за шагом следил за всеми более или менее крупными изменениями, какие происходили в атмосфере на нашем полушарии. При этом он пришел к следующим выводам. Он полагает, что полярный барометрический максимум не является самостоятельным образованием и принадлежит к системе Восточно-Сибирского максимума. Относительно Азиатского максимума зимнего полугодия он держится взгляда, что по структуре своей этот максимум состоит из двух частей: одной — идущей по параллели, вдоль большой оси материка, и другой — в более или менее меридиональном направлении, через Восточную Сибирь. Обе эти части могут составлять одно целое, особенно в самые холодные зимние месяцы, но роль их в атмосферных процессах различна. Первая часть — Средне-Азиатский максимум должен в летнее полугодие замещаться минимумом давления по типу барических минимумов внутренних пространств обширных материков. Для второй части Восточно-Сибирского максимума такое замещение не обязательно. По мере роста нагрева в теплый сезон исчезает материковая часть Восточно-Сибирского максимума, но продолжение его в Ледовитом океане сохраняется на летнее время. Вследствие общей тенденции воздушных масс этого максимума смещаться к западу в сторону северной части Атлантического океана, эта уцелевшая часть Восточно-Сибирского максимума сама смещается к западу.

Утверждение, что Центрально-Азиатский максимум зимнего полугодия замещается в летнее полугодие минимумом давления, позволяет заключить, что В. О. Аскинази не придавал особенного значения гребню повышенного давления в теплый сезон, расходясь по этому вопросу, как с Л. Г. Даниловым, так и с П. И. Броуновым.

Как видно из сказанного, до последнего времени не было твердо установленного взгляда на разные особенности режима давления воздуха на территории СССР. В главе VIII выясняется, в какой мере можно считать представленный на приложенных к моей монографии картах барический рельеф обоснованным. В дальнейшем изложении буду останавливаться лишь на таких особенностях распределения давления, в достоверности которых нет оснований сомневаться.

Перехожу к описанию средних изобар за отдельные месяцы и за год по приложенным картам. Год по харак-

денте. Der Tod verhinderte ihn leider diese Arbeit zu Ende zu führen und wir verfügen nur über Gedankensplitter, die im Gefolge einer Reihe von Monatsübersichten des Wetters erschienen sind. Ich will in Kürze die von ihm ausgesprochenen interessanten Gedanken zusammenfassen.

In vielen Arbeiten wird die mittlere Verteilung einzelner klimatischer Elemente für Monate und für das Jahr dargestellt, wobei auch der Grad der Stabilität der Daten für einzelne Punkte angegeben wird. In diesen Arbeiten wird aber meist die Stabilität der Systeme der Verteilung der einzelnen Elemente auf dem gegebenen Territorium nicht untersucht. Das bezieht sich vor allem auf das barische Relief. Indess verspricht gerade die Lösung dieser Frage eine Reihe wichtiger klimatologischer Probleme zu beleuchten. W. Askinazi bemühte sich durch das Studium des barischen Reliefs von Jahr zu Jahr im Laufe von 7 Jahren für einzelne Monate die Entwicklung der in der Atmosphäre stattfindenden Prozesse auf der ganzen nördlichen Halbkugel zu ergründen und den Grad ihrer Stabilität zu untersuchen. Er zog Schnitte des barischen Reliefs längs der Meridiane und der Parallelkreise und mit Hilfe dieser Schnitte fixierte er alle bedeutenden Änderungen des barischen Reliefs auf unserer Halbkugel. Dabei kam er zu folgenden Schlussfolgerungen. Er betrachtet das polare Hoch nicht als selbständiges Gebilde, sondern als zum System des Ostsibirischen Maximums gehörend. Das Asiatische Maximum des Winter-Halbjahres besteht nach seiner Meinung aus zwei Zweigen: ein Zweig zieht sich entlang dem Parallelkreise, längs der grossen Achse des Kontinents, der andere — in einer mehr oder weniger meridionalen Richtung über Ost-Sibirien. Diese beiden Zweige können — besonders in den kältesten Wintermonaten — ein Ganzes bilden, doch ist ihre Rolle in den atmosphärischen Prozessen verschieden. Der erste Zweig des Zentralasiatischen Maximums muss im Sommer-Halbjahr durch ein typisches Tief ersetzt werden. Für den zweiten Zweig des Ost-Sibirischen Maximums ist ein solcher Ersatz nicht obligatorisch. Der kontinentale Teil des Ost-Sibirischen Maximums verschwindet mit zunehmender Erwärmung in der warmen Jahreszeit, seine Fortsetzung jedoch im Eismeer bleibt für die Sommerzeit erhalten. Infolge der allgemeinen Tendenz der Luftmassen dieses Maximums nach Westen zum nördlichen Teil des Atlantischen Ozeans vorzudringen, verschiebt sich auch der noch nicht aufgelöste Teil des Ost-Sibirischen Maximums selbst nach Westen.

Die Behauptung, dass das Zentralasiatische Hoch des winterlichen Halbjahres im Sommer-Halbjahr durch ein Tief ersetzt wird, wäre so aufzufassen, dass W. Askinazi dem Rücken hohen Luftdrucks in der warmen Jahreszeit keine besondere Bedeutung beimass und folglich die Ansichten von Danilow und Brounow nicht teilte.

Wie es sich aus dem Gesagten ergibt, gab es bis jetzt Nichts Feststehendes in betreff der verschiedenen Eigentümlichkeiten des Luftdruckregimes auf dem Territorium der USSR. Im Kapitel VIII wird auseinandergesetzt, in welchem Masse das barische Relief, wie es auf den meiner Arbeit beifolgenden Karten dargestellt ist, als begründet betrachtet werden kann. Im Nachfolgenden werde ich mich nur bei solchen Eigentümlichkeiten der Luftdruckverteilung aufhalten, die zu bezweifeln kein Grund vorhanden ist.

Ich gehe zur Betrachtung der mittleren Isobaren für einzelne Monate und für das Jahr nach den Karten des Atlases

теру распределения давления на территории СССР можно разделить на два сезона: холодный с сентября по март и теплый с апреля по август. В виду этого начинаю описание карт с сентября.

Сентябрь. На карте за сентябрь над юго-западным концом Байкала к югу от этого водоема появляется максимум давления, очерченный изобарой 764 мм. Повидимому этот максимум вытянут на некоторое расстояние от южной оконечности Байкала к W или к WNW несколько дальше озера Косогола. Второй максимум, очерченный тоже изобарой 764 мм, расположился в районе Карпат. От южной половины Байкала тянется к западу через юг Сибири и север Монголии, а также дальше через Казакстан, южную половину Европейской части СССР в пределы Средней Европы полоса, ограничиваемая с севера и с юга изобарами 763 мм. От этой полосы давление падает к востоку до Японского моря и Татарского пролива, к северо-востоку до Берингова пролива, к северу до низовьев Енисея, до Карского и Баренцова морей, к югу до Индийского океана и Средиземного моря.

От Исландского минимума к северу от Европы и Азии тянется желоб пониженного давления, достигающий Берингова пролива, при чем над Баренцовым и Карским морями давление падает ниже 757 мм, а от устья Хатанги до Берингова пролива ниже 758 мм.

Появление изобары 764 мм над юго-западной частью Байкала является важным симптомом перелома сезона. Этот максимум в сентябре захватывает еще небольшое пространство. Вторым симптомом перелома сезона можно рассматривать смещение желоба пониженного давления с материка к северу на Ледовитый океан.

Октябрь. К юго-западу от Байкала появилась изобара 768 мм, которая протянулась в западном направлении до Семипалатинска и Каркаралинска и образует вытянутый с востока на запад овал, опоясывающий значительную часть Монголии и бассейн верховьев Иртыша. Продолжение этого максимума тянется полосой на запад до Карпат. Изобара 767 мм доходит до низовьев Волги, изобара 766 мм до низовьев Днестра.

Вторая ветвь Азиатского максимума тянется к северо-востоку от Байкала до Чукотского полуострова, при чем давление вдоль оси этой ветви постепенно понижается и к N от Берингова пролива достигает 758 мм.

На севере выступ Исландского минимума протянулся до устьев Оби и Енисея (изобара 755 мм), а также дальше на восток до Новосибирских островов (изобара 757 мм).

На Тихом океане к востоку от Камчатки тоже депрессия (давление 755 мм), которая своей западной стороной надвигается на Охотское море и низовья Амура (760 мм). К E от Байкала до Охотского моря изобары мало уклоняются от меридионального направления.

Депрессия над Черным морем с N и E охвачена изобарой 764 мм.

В пределах Средне-Азиатских владений СССР градиенты давления малы и направлены к S и SW. По югу Закаспийских степей проходит изобара 766 мм.

Ноябрь. В области максимума над Монголией и верховьями Иртыша давление значительно повысилось. Хорошо

über. Das Jahr kann man nach der Luftdruckverteilung auf dem Territorium der USSR in zwei Perioden teilen—eine kalte von September bis März und eine warme—von April bis August. Ich fange die Besprechung der Karten vom September an.

September. Auf der Septemberkarte erscheint über dem südwestlichen Ende des Baikalsees, südlich vom See, ein Maximum des Luftdrucks, welches durch die Isobare 764 mm gekennzeichnet wird. Dieses Hoch scheint vom Süden des Baikalsees gegen W oder WNW etwas weiter als bis zum Kossogol-See vorgelagert zu sein. Das zweite Maximum, welches ebenfalls von einer Isobare 764 mm umgeben ist, liegt im Rayon der Karpaten. Durch die Isobare 763 mm wird von N und von S ein Landstreifen begrenzt, der sich von der südlichen Hälfte des Baikalsees gegen W über den Süden Sibiriens, den Norden der Mongolei und noch weiterhin über die südliche Hälfte des Europäischen Teils der USSR bis nach Mittel-Europa hinzieht. Von diesem Landstreifen fällt der Luftdruck ostwärts bis zum Japanischen Meere und der Tatarischen Meerenge, gegen NE bis zur Behring-Strasse, gegen N bis zum Unterlauf des Enissei, dem Karischen- und dem Barents-Meere, gegen S bis zum Indischen Ozean und dem Mittelländischen Meere.

Vom Isländischen Tief längs dem Norden von Europa und Asien zieht sich bis zur Behring-Strasse eine Furche niedrigen Druckes, wobei der Luftdruck über dem Barents- und dem Karischen Meere bis unter 757 mm fällt, von der Chatan-gamündung bis zur Behring-Strasse aber nur unter 758 mm.

Die Isobare 764 mm über dem südwestlichen Teil des Baikalsees erscheint als wichtiges Symptom der Jahreszeitenwende. Dieses Hoch erstreckt sich im September auf ein umfangreiches Gebiet. Als zweites Symptom der Jahreszeitenwende kann die Verschiebung der Furche niedrigen Druckes vom Kontinent nordwärts auf das Eismeer betrachtet werden.

Oktober. Südwestlich vom Baikalsee ist die Isobare 768 mm erschienen, welche sich in westlicher Richtung bis Ssemipalatinsk und Karkaralinsk erstreckt und ein von E nach W sich hinziehendes Oval bildet, welches einen bedeutenden Teil der Mongolei und das Bassin des Oberlaufes des Irtysch umfasst. Die Fortsetzung dieses Hochs zieht sich als ein Streifen westwärts bis zu den Karpaten. Die Isobare 767 mm schneidet den Unterlauf der Wolga, die Isobare 766 mm reicht bis zum Unterlauf des Dnestr.

Der zweite Zweig des Asiatischen Maximums zieht sich nach NE vom Baikalsee zur Tschuktschen-Halbinsel, wobei der Luftdruck längs der Achse dieses Zweiges allmählich abnimmt und nördlich von der Behring-Strasse 758 mm erreicht.

Im Norden erstreckt sich die Ausbuchtung des Isländischen Tiefs bis zu den Mündungen der Ob und des Enissei (Isobare 755 mm) und auch weiter nach E bis zu den Neu-Sibirischen Inseln (Isobare 757 mm).

Auf dem Stillen Ozean östlich von Kamtschatka findet sich auch eine Depression (Luftdruck 755 mm), welche mit ihrer westlichen Seite das Ochotskische Meer und den Unterlauf des Amur (760 mm) in ihren Bereich zieht. Östlich vom Baikalsee bis zum Ochotskischen Meere weichen die Isobaren wenig von der meridionalen Richtung ab.

Die Depression über dem Schwarzen Meere wird im Norden und im Osten durch die Isobare 764 mm begrenzt.

Im Bereich der Mittelasiatischen Republiken der USSR sind die Gradienten des Luftdrucks gering und nach S und SW gerichtet. Im südlichen Teil der Transkaspischen Steppen zieht sich die Isobare 766 mm.

November. Der Luftdruck ist im Bereich des Maximums über der Mongolei und dem Oberlauf des Irtysch bedeutend

обоснована изобара 773 мм. Западная ветвь максимума в низовьях Волги обозначена изобарой 767 мм, как и в октябре, изобара 766 мм отошла от Карпат до Днепра, но в районе Карпат вторичный максимум, очерченный замкнутой изобарой 766 мм. Между Днепром и Карпатами депрессия, впрочем с давлением, падающим не ниже 765.5 мм, но реальность которой подтверждают данные значительного числа станций. Над Черным морем давление падает ниже 765 мм (до 764.5 мм).

Изобары сгустились над южной половиной Байкала, где они образуют характерные вогнутости к SW, параллельные береговой линии озера, в ноябре еще не замерзающего. Сгустились изобары и в районе верховьев Иртыша. От озера Зайсана к SW давление постепенно понижается и над южной частью Каспийского моря доходит до 766 мм. Сильно сгустились изобары над южной частью Средней и Западной Сибири (здесь градиент около 0.8 мм, тогда как в Средней Азии около 0.2 мм).

Северо-восточная ветвь Азиатского максимума на севере отодвинулась к NW: ось ее проходит через устье Индыгирки, где оставляет материк, направляясь дальше по Ледовитому океану в северо-восточном направлении.

Выступ исландского минимума доходит до Новой Земли с давлением 754 мм, до устьев Лены с давлением 761 мм. К Е от Камчатки давление падает ниже 752 мм, при чем вся Дальневосточная прибрежная полоса от Берингова пролива до Владивостока имеет большие барометрические градиенты (в районе Охотска и Гижигинска прибл. 1.2 мм, в районе Николаевска на Амуре прибл. 1.0 мм). К Е от Байкала до Татарского пролива, также как и в октябре, изобары мало отклоняются от меридионального направления.

Над Балтийским морем с Ботническим заливом, а также над Белым морем изобары имеют выпуклость, обращенную к югу.

Декабрь. Азиатский максимум как к S от Байкала, так и в верховьях Иртыша имеет изобару 774 мм; над Монголией и над Центральной Азией приведенное к уровню моря давление, очевидно, выше 774 мм. Западная ветвь максимума немного усилилась и захватывает Карпаты, при чем изобара 765 мм перебросилась за Карпаты.

Северо-восточная ветвь Азиатского максимума сохраняет тоже положение, что и в ноябре, но давление до берегов Ледовитого океана повысилось: в устье Индыгирки 763 мм, в Верхоянске 768.8 мм (в ноябре 765.3 мм). Изобары 772, 773 и 774 мм огибают Байкал с южной стороны, образуя идущие параллельно берегам его и направленные к SW выступы. Вторичный максимум (выше 767 мм) обозначился над Малым Кавказом.

Выступ Исландского минимума достигает Новой Земли с давлением 756 мм и Новосибирских островов с давлением 762 мм.

Депрессия к востоку от Камчатки в районе Командорских островов имеет изобару 749 мм.

Депрессия над Черным морем имеет замкнутую изобару 764 мм к югу от Крымского полуострова; над Ка-

гестiegen. Die Isobare 773 mm hat eine feste Grundlage. Der westliche Zweig des Maximums wird am Unterlauf der Wolga — ebenso wie im Oktober — durch die Isobare 767 mm gekennzeichnet, die Isobare 766 mm ist von den Karpaten bis zum Dnepr zurückgewichen, aber ein sekundäres Maximum mit der geschlossenen Isobare 766 mm lagert über dem Rayon der Karpaten. Zwischen dem Dnepr und den Karpaten sehen wir eine Depression, in der übrigens der Luftdruck nicht unter 765.5 mm fällt. Diese Depression erstreckt sich auf ein Gebiet, das mit einer bedeutenden Zahl von Stationen besetzt ist, weshalb keine Zweifel an ihrer Existenz entstehen. Über dem Schwarzen Meere fällt der Luftdruck unter 765 mm (bis 764.5 mm).

Über der südlichen Hälfte des Baikalsees sind die Isobaren dicht an einander gerückt und bilden charakteristische, der Uferlinie des Sees, der im November noch nicht zufriert, parallele Ausbuchtungen nach SW. Auch im Rayon des Oberlaufs des Irtysch drängen sich die Isobaren zusammen. Gegen SW vom See Saissan fällt der Luftdruck allmählich und erreicht über dem südlichen Teil des Kaspischen Meeres 766 mm. Die Gradienten sind bedeutend grösser geworden über dem südlichen Teil von Mittel- und Westsibirien (im Mittel etwa 0.8 mm, in Mittel-Asien aber bloß 0.2 mm).

Der nordöstliche Zweig des Asiatischen Hochs hat sich im Norden nach NW verschoben: seine Achse erreicht die Mündung der Indygirka, verlässt hier den Kontinent und zieht sich weiter in nordöstlicher Richtung über das Eismeer.

Die Ausbuchtung des Isländischen Tiefs erreicht Nowaja Semlja mit dem Druck 754 mm, die Mündung der Lena mit dem Druck 761 mm. Östlich von Kamtschatka fällt der Druck unter 752 mm, wobei der ganze Küstenstreifen des Fernen Ostens von der Behring-Strasse bis Wladiwostok grosse Gradienten hat (im Rayon von Ochotsk und Gishiginsk ca. 1.2 mm, im Rayon von Nikolaewsk am Amur ca. 1.0 mm). Östlich vom Baikalsee bis zur Tatarischen Meerenge weichen die Isobaren, ebenso wie im Oktober, von der meridionalen Richtung wenig ab.

Über der Ostsee mit dem Botnischen Busen, sowie über dem Weissen Meere weisen die Isobaren eine Ausbuchtung auf, welche nach Süden gerichtet ist.

Dezember. Das Asiatische Hoch wird sowohl südlich vom Baikalsee, als auch im Oberlauf des Irtysch durch die Isobare 774 mm begrenzt. Man kann annehmen, dass in der Mongolei und über Zentral-Asien der auf das Meeresniveau reduzierte Luftdruck höher ist als 774 mm. Der westliche Zweig des Maximums hat sich etwas verstärkt und erreicht die Karpaten, wobei die Isobare 765 mm die Karpaten auch von W streift.

Der nordöstliche Zweig des Asiatischen Maximums behält dieselbe Lage, wie im November, doch ist der Luftdruck bis zur Küste des Eismeres gestiegen: an der Mündung der Indygirka 763 mm, in Werchojansk 768.8 mm (im November 765.3 mm). Die Isobaren 772, 773 und 774 mm ziehen über den Baikalsee im S, wobei sie Ausbuchtungen bilden, die sich in südwestlicher Richtung seinen Ufern parallel vorschieben. Ein sekundäres Maximum (über 767 mm) ist über dem Kleinen Kaukasus angedeutet.

Die Ausbuchtung des Isländischen Tiefs erreicht Nowaja Semlja mit 756 mm und die Neu-Sibirischen Inseln mit 762 mm.

Die Depression östlich von Kamtschatka im Rayon der Kommandor-Inseln wird durch die Isobare 749 mm gekennzeichnet.

Die Depression über dem Schwarzen Meere wird durch die geschlossene Isobare 764 mm südlich von der Krim

спийским морем депрессия обозначена лишь изгибом изобары 767 мм.

Градиенты наиболее значительны на Дальнем Востоке вдоль берегов Тихого океана, Охотского и Японского морей (в районе Охотска градиент доходит до 2 мм, между Якутском и Охотском от 1½ до 2 мм); не достигающие таких величин, как здесь, но все же значительные градиенты обнаруживаются в южной части Западной Сибири (прибл. 0.8 мм), напротив, малые градиенты в Казакстане, Узбекистане, Таджикистане и Туркменистане.

Январь. В январе в общих чертах сохраняется, такое же распределение давления, как и в декабре, только заметно усиливаются как центральная часть Азиатского максимума, так и его обе ветви. Вокруг центральной части появляется изобара 775 мм. (Усть-Каменогорская ферма 774.3 мм, Мысовая 774.2 мм); западная ветвь в низовьях Волги имеет изобару 768 мм, в низовьях Дона 767 мм; далее к западу идет седловина, за которой в районе Карпат обозначился вторичный максимум с замкнутой изобарой 767 мм.

В области северо-восточной ветви Азиатского максимума давление еще больше повысилось чем в области западной ветви (Русское Устье 765.7 мм, Верхоянск 770.2 мм). Вторичный максимум на Армянском нагорье имеет давление, превышающее 767 мм.

Северо-Атлантическая депрессия захватывает всю прилегающую к берегам Азии часть Ледовитого океана до Новосибирских островов, а также к NE от них (763 мм). К востоку от Камчатки давление повысилось (754 мм).

Депрессия над Черным морем (изобара 765 мм) покрывает весь этот водоем. Над Каспийским морем депрессия отчетливо обозначена направленными к северу выпуклостями изобар 767 и 768 мм.

Над Балтийским и Белым морями сохраняются изгибы изобар, обращенные выпуклостями к югу. Байкал уже не производит такого сильного влияния на распределение давления, как в декабре. В январе этот водоем покрывается льдом.

Градиенты на Дальнем Востоке в январе несколько меньше чем в декабре вследствие повышения давления над прилегающими морями (в районе Охотска прибл. 1.6 мм). Малые градиенты в Казакстане, в Закаспийских степях, а также в Якутии к NE от Байкала.

Февраль. В общих чертах в феврале сохраняется тот же характер распределения давления, какой представлен изобарами января. Давление в Монголии и в районе верховьев Иртыша не изменилось (изобара 775 мм). Немного ослабла западная ветвь Азиатского максимума: низовья Дона пересекаются изобарой 766 мм, изобара 765 мм доходит только до нижнего течения Днепра, далее к западу обозначилась седловина с давлением, падающим до 764.5 мм. В районе Карпат вторичный максимум с замкнутой изобарой 765 мм.

Северо-восточная ветвь Азиатского максимума, наоборот, усилилась, но только на крайнем севере материка (Русское Устье 768.2 мм). Повидимому, на Ледовитом океане к востоку от Новосибирских островов давление высокое, немного выше 767 мм. В области Североатлантической депрессии давление несколько повысилось (но-

гебильте; über dem Kaspischen Meere ist die Depression nur durch die Ausbuchtung der Isobare 767 mm angedeutet.

Die Gradienten sind am grössten im fernen Osten längs der Küste des Stillen Ozeans, des Ochotskischen und des Japanischen Meeres (im Rayon von Ochotsk 2 mm, zwischen Ochotsk und Jakutsk 1½ bis 2 mm); recht bedeutende, wenn auch nicht so grosse Gradienten finden wir im südlichen Teil von West-Sibirien (ungefähr 0.8 mm). Geringe Gradienten sind dagegen charakteristisch für den Kasaksstan, Usbekistan, Tadshikistan und Turkmenistan.

Januar. Im Januar ist die Verteilung des Luftdrucks, im allgemeinen gesprochen, fast die gleiche wie im Dezember, doch verstärken sich sowohl der südliche Teil des Asiatischen Maximums, als auch seine beiden Zweige merklich. Der zentrale Teil befindet sich innerhalb der Isobare 775 mm (Ust-Kamenogorskaja Ferma 774.3 mm, Mysowaja 774.2 mm); der westliche Zweig schneidet den Unterlauf der Wolga mit der Isobare 768 mm, den Unterlauf des Don mit der Isobare 767 mm. Westlich vom Don ist ein Sattel vorgelagert und weiter gegen W im Rayon der Karpaten ist ein sekundäres Maximum durch die geschlossene Isobare 767 mm angedeutet.

Im Bereich des nördlichen Zweiges des Asiatischen Hochs ist der Luftdruck noch mehr gestiegen, als im Bereich des westlichen Zweiges (Russkoje Ustje 765.7 mm, Werchojansk 770.2 mm). Im sekundären Maximum auf dem Armenischen Hochlande steigt der Druck höher als bis 767 mm.

Die Nord-Atlantische Depression überdeckt den ganzen an die Küste Asiens grenzenden Teil des Eismeer bis zu den Neu-Sibirischen Inseln und auch das Territorium gegen NE von ihnen (763 mm). Östlich von Kamtschatka ist der Luftdruck gestiegen (754 mm).

Die Depression über dem Schwarzen Meere (Isobare 765 mm) breitet sich über dieses ganze Wasserbassin aus. Über dem Kaspischen Meere tritt die Depression, die durch nach N gerichtete Ausbuchtungen der Isobaren 767 und 768 mm angedeutet wird, deutlich zum Vorschein.

Über der Ostsee und dem Weissen Meere haben sich die nach S gerichteten Ausbuchtungen der Isobaren erhalten. Der Einfluss des Baikalsees auf die Verteilung des Luftdrucks ist nicht mehr so stark, wie im Dezember. Im Januar bedeckt sich dieses Wasserbassin mit Eis.

Die Gradienten im Fernen Osten sind im Januar infolge des Steigens des Luftdrucks über den angrenzenden Meeren ein wenig kleiner, als im Dezember (im Rayon von Ochotsk ca 1.6 mm), klein sind die Gradienten in Kasaksstan, in den Transkaspischen Steppen und auch in Jakutien nordöstlich vom Baikalsee.

Februar. Der allgemeine Charakter der Verteilung des Luftdrucks im Februar weicht wenig von den Isobaren des Januar ab. Der Luftdruck in der Mongolei und im Rayon des Oberlaufs des Irtysch hat sich nicht geändert (Isobare 775 mm). Der westliche Zweig des Asiatischen Hochs ist etwas abgeflacht. Der Unterlauf des Don wird von der Isobare 766 mm geschnitten. Die Isobare 765 mm reicht nur bis zum Unterlauf des Dnepr, weiterhin nach W schiebt sich zwischen dem Dnepr und den Karpaten ein Sattel (764.5 mm) ein. Im Rayon der Karpaten lagert ein sekundäres Maximum mit geschlossener Isobare 765 mm.

Der nordöstliche Zweig des Asiatischen Maximums hat sich im Gegenteil verstärkt — doch nur über dem äussersten Norden des Kontinents (Russkoje Ustje 768.2 mm.). Auf dem Eismeere östlich von den Neu-Sibirischen Inseln ist der Luftdruck scheinbar hoch, etwas über 767 mm. Im Bereich der Nord-Atlantischen Depression ist der Druck etwas gestiegen

вая Земля 757 мм, Новосибирские острова 766 мм). Вторичный максимум на Армянском нагорье сохранился (больше 767 мм).

Давление в области депрессии к востоку от Камчатки немного понизилось (ниже 753 мм).

Депрессия на Черном море углубилась (изобара 764 мм); тоже можно сказать и о депрессии на Каспийском море, которая обозначена в феврале выступом к северу изобары 766 мм.

Форма изобар (выпуклости, обращенные к югу) на Балтийском и Белом морях сохранилась.

Градиенты на Дальнем Востоке местами несколько уменьшились (в районе Охотска прибл. 1.4 мм). Большие градиенты к востоку от Камчатки на океане и значительно медленнее падение давления на Охотском море. Малые градиенты в Казакстане и в Закаспийских степях, в районе Байкала и по направлению северо-восточной ветви Азиатского максимума от Байкала до Ледовитого океана.

Март. По сравнению с февралем понизилось давление в области как центральной части Азиатского максимума, так и его ветвей западной и северо-восточной. Наиболее высокое давление в верховьях Иртыша (Семипалатинск 772.1 мм), к юго-западу от Байкала немного ниже (Култук 771.2 мм). Западная ветвь максимума достигает Карпат с давлением в 762 мм. Северо-восточная ветвь подходит к берегам Ледовитого океана с давлением 765 мм. Вторичный максимум в районе Малого Кавказа очерчен изобарой 764 мм. К востоку от Байкала, как и в предшествующие зимние месяцы, изобары сохраняют близкое к меридиональному направление.

В области Северо-Атлантической депрессии градиенты немного ослабли: Новую Землю пересекает изобара 758 мм, к *Е* от Новосибирских островов проходит изобара 764 мм.

Депрессия к востоку от Камчатки начала выполняться (давление повысилось до 756 мм).

Депрессия на Черном и на Каспийском морях выражены менее отчетливо чем в феврале.

Особенно больших градиентов нигде не встречается, слабые градиенты, как и в предшествующие месяцы, в Каспийских степях, по направлению северо-восточной ветви Азиатского максимума от Байкала до Ледовитого океана, на севере Азии и на прилегающих к нашему матерiku морях.

Апрель—месяц переходный. Некоторые особенности зимнего характера барического рельефа сохраняются, но в ослабленном виде; подготавливается переход к летнему режиму.

Давление над материком повсеместно понизилось, при чем в пределах Азиатского максимума от Байкала до Алтая падение оказывается больше, чем в области западной ветви этого максимума. Благодаря этому образовался максимум, очерченный изобарой 766 мм в виде замкнутого овала, протянувшегося от верховьев Оби и Иртыша (Барнаул, Семипалатинск) на запад до Оренбурга. В этой части максимум оказывается наиболее устойчивым. Постепенно понижаясь от Оренбурга в западном направлении, давление на западе у границ СССР достигает 761 мм.

Северо-восточная ветвь Азиатского максимума претерпела разрыв: от Байкала (763.5 мм) до Якутска (760.5 мм)

(Новая Земля 757 мм, Ново-Сибирские острова 766 мм). Das sekundäre Maximum auf dem Armenischen Hochlande besteht fort (mehr als 767 mm).

Im Gebiet der Depression östlich von Kamtschatka ist der Druck etwas gefallen (unter 753 mm).

Die Depression auf dem Schwarzen Meere hat sich vertieft (Isobare 764 mm), vertieft hat sich auch die Depression auf dem Kaspischen Meere, die im Februar als Ausbuchtung der Isobare 766 mm nach N zum Vorschein kommt.

Die Form der Isobaren (nach S gerichtete Ausbuchtungen) auf der Ostsee und auf dem Weissen Meere hat sich nicht geändert.

Die Gradienten im Fernen Osten haben sich stellenweise abgeschwächt (im Rayon von Ochotsk ca. 1.4 mm). Grosse Gradienten finden sich östlich von Kamtschatka auf dem Ozean; bedeutend schwächer fällt der Luftdruck auf dem Ochotskischen Meere. Geringe Gradienten findet man im Kasaksstan und in den Transkaspischen Steppen, im Rayon des Baikalsees und im Bereich des nordöstlichen Zweiges des Asiatischen Maximums vom Baikalsee bis zum Eismeer.

März. Im Vergleich mit dem Februar ist der Luftdruck im Bereich sowohl des zentralen Teils des Asiatischen Maximums, als auch seiner Zweige, des westlichen und des nordöstlichen, gesunken. Am höchsten ist der Druck am Oberlauf des Irtysch (Ssemipalatinsk 772.1 mm), südwestlich vom Baikalsee ist er etwas niedriger (Kultuk 771.2 mm). Der westliche Zweig des Maximums erreicht die Karpaten mit dem Druck 762 mm. Der nordöstliche Zweig erreicht die Küste des Eismeres mit dem Druck 765 mm. Das sekundäre Maximum im Rayon des Kleinen Kaukasus ist von der Isobare 764 mm umgeben. Östlich vom Baikal haben die Isobaren, wie in den Wintermonaten, eine von der meridionalen wenig abweichende Richtung behalten.

Im Bereich der Nord-Atlantischen Depression sind die Gradienten abgeschwächt. Nowaja Semlja wird von der Isobare 758 mm geschnitten. Östlich von den Neu-Sibirischen Inseln zieht sich die Isobare 764 mm.

Die Depression östlich von Kamtschatka beginnt sich auszufüllen (bis 756 mm).

Die Depressionen auf dem Schwarzen und auf dem Kaspischen Meere kommen nicht so deutlich zum Vorschein, wie im Februar.

Besonders grosse Gradienten finden sich nirgends, geringe Gradienten lassen sich verfolgen ebenso, wie in den vorhergehenden Monaten, in den Transkaspischen Steppen, im Bereich des nordöstlichen Zweiges des Asiatischen Maximums vom Baikalsee bis zum Eismeer, im Norden Asiens und über den an unseren Kontinent angrenzenden Meeren.

April. Der April ist ein Übergangsmonat. Einige Eigentümlichkeiten des winterlichen Charakters des barischen Reliefs sind noch geblieben, doch ist der Übergang zum Sommer-Regime bereits angedeutet.

Auf dem Kontinent ist der Luftdruck überall gefallen, wobei im Bereich des Asiatischen Maximums vom Baikalsee bis zum Altai die Abnahme sich stärker erweist, als im Bereich des westlichen Zweiges dieses Maximums. Infolgedessen hat sich ein durch die Isobare 766 mm gekennzeichnetes Hoch in Form eines Ovals gebildet, welches sich im Oberlauf der Ob und des Irtysch (Barnaul, Ssemipalatinsk) westwärts bis Orenburg zieht. In diesem Teil erweist sich das Maximum am stabilsten. Von Orenburg in westlicher Richtung, allmählich abnehmend, erreicht der Luftdruck im Westen an den Grenzen der USSR 761 mm.

Der nordöstliche Zweig des Asiatischen Hochs ist zerfallen; vom Baikalsee (763.5 mm) bis Jakutsk (760.5 mm) fällt der

давление падает, далее до Верхоянска (760.8 мм) оно почти не меняется, а затем по направлению на *NE* повышается (Русское Устье 762.2 мм, Марково на Анадыре и Ново-Мариинский пост 762.8 мм). Над Ледовитым океаном к *E* от Новосибирских островов сохраняется максимум давления.

Северо-Атлантический минимум сократился к северу от материка (Новая Земля 761 мм), но в то же время обозначилась полоса пониженного давления, идущая от Карского моря до центральной части Якутии (Верхоянск, Якутск) и сливающаяся с Тихоокеанским (Алеутским) минимумом, находящимся к *E* от Камчатки (ниже 757 мм). Этот же последний минимум дал выступ, захвативший бассейн Амура (Николаевск на Амуре 758.1 мм, Благовещенск 758.7 мм). Таким образом в апреле полоса пониженного давления тянется от Исландского минимума через Баренцево и Карское моря, далее через материк в юго-восточном направлении до Камчатки и наконец от Камчатки в юго-западном направлении через Охотское море надвигается на бассейн Амура и доходит до Восточной Монголии. Эта полоса огибает Сибирский максимум давления с *N*, *E* и *SE*. На Закаспийские степи надвигается область пониженного давления с юга.

На Армянском нагорье вторичный максимум сменился вторичным минимумом.

На Черном море вдоль северных берегов протянулся с *W* на *E* выступ области пониженного давления, указывающий на процесс выполнения депрессии над морем. У южных и юго-восточных берегов Черного моря давление уже выше чем над северо-западной его частью. На Каспийском море пониженное давление над юго-восточной его частью, тогда как вдоль западного берега тянется полоса повышенного давления, образовавшаяся, очевидно, в связи с резким переломом термического режима в районе Кавказа.

Май. В мае уже обнаруживаются характерные особенности летнего режима давления воздуха. По сравнению с апрелем, на материке давление понизилось, на океанах несколько повысилось.

От Семипалатинска на запад до Сталинграда и Москвы тянется максимум давления, очерченный изобарой 762 мм. Этот максимум, по сравнению с апрельским максимумом над Казакстаном, представляется значительно ослабленным (в апреле фигурирует изобара 766 мм), но он выдвинут дальше на запад.

К северу и северо-востоку от Новосибирских островов сохраняется область повышенного давления (763 мм), которая с постепенно понижающимся давлением надвинулась на северо-восток Азиатской части СССР и захватывает район северной части Охотского моря с Камчаткой (759 мм).

Характерная полоса повышенного давления (761 мм) тянется по Черному морю вдоль южного берега и подобная же полоса с повышенным давлением на Каспийском море вдоль его западного берега образует направленный к югу выступ изобары 761 мм.

Только наметившаяся в апреле особенность барического рельефа, свойственного летнему сезону, получает на карте майских изобар уже вполне законченные формы. В мае уже устанавливается связь между Исландским минимумом и Алеутской депрессией через Баренцево (760 мм) и Карское моря (759 мм) и намечается продолжение

Druck; weiterhin bis Werchojansk (760.8 мм) ändert er sich äusserst wenig und schliesslich steigt er in der Richtung nach NE (Russkoe Ustje 762.2 мм, Markowo am Anadyr und Nowo-Mariinskij Post 762.8 мм). Über dem Eismeer östlich von den Neu-Sibirischen Inseln bleibt ein Hoch bestehen.

Das Nord-Atlantische Minimum hat nördlich vom Kontinent an Umfang abgenommen (Nowaja Semlja 761 мм); zu gleicher Zeit hat sich eine Senke des Luftdruckes ausgebildet, die sich vom Karischen Meere bis zum zentralen Teil Jakutiens (Werchojansk, Jakutsk) zieht und bis zum Aleutischen Minimum über dem Stillen Ozean östlich von Kamtschatka (weniger als 757 мм) vordringt. Dieses letztere Minimum entsendet einen Vorsprung, der das Bassin des Amur in seinen Bereich aufnimmt (Nikolaëwsk am Amur 758.1 мм, Blagowestschensk 758.7 мм). Aus dem Obigen ersieht man, dass im April eine Luftdrucksenke sich ausgebildet hat, die sich vom Isländischen Minimum über das Barents- und Karische Meer, dann in südöstlicher Richtung über den Kontinent bis Kamtschatka und endlich in südwestlicher Richtung von Kamtschatka über das Ochotskische Meer und das Bassin des Amur bis zur östlichen Mongolei hinzieht. Diese Luftdrucksenke umgibt das Sibirische Hoch von *N*, *E* und *SE*. Von *S* her hat sich eine Depression auf die Transkaspischen Steppen vorgeschoben.

Auf dem Armenischen Hochplateau hat sich das sekundäre Maximum aufgelöst und ein Tief hat seine Stelle eingenommen.

Über dem Schwarzen Meere zieht sich von *W* nach *E* längs des Nord-Ufers ein Vorsprung einer Depression, der auf den Vorgang der Ausfüllung der Depression über dem Meere hinweist. An der südlichen und südöstlichen Küste des Schwarzen Meeres ist der Druck schon höher, als über seinem nordöstlichen Teil. Über dem südöstlichen Teil des Kaspischen Meeres lagert eine Depression, während längs seinem westlichen Ufer ein Streifen hohen Druckes sich hinzieht, der sich höchstwahrscheinlich infolge des thermischen Regimes im Rayon des Kaukasus gebildet hat.

Mai. Im Mai treten in den Vordergrund schon die charakteristischen Eigentümlichkeiten des Sommerregimes des Luftdrucks. Im Vergleich zum April ist der Druck auf dem Festlande gesunken, auf dem Ozean etwas gestiegen.

Von Semipalatinsk gegen *W* bis Stalingrad und Moskau zieht sich ein Maximum, welches von der Isobare 762 мм umgeben ist. Dieses Hoch erscheint im Vergleich mit dem April-Maximum über Kasaksstan bedeutend abgeschwächt (im April figuriert die Isobare 766 мм), doch hat es sich nach *W* vorgeschoben.

Gegen *N* und *NE* von den Neu-Sibirischen Inseln hat sich das Hoch erhalten (763 мм), welches sich mit einem allmählich abnehmenden Druck nach *NE* des Asiatischen Teils der USSR ausgedehnt hat und auf den Rayon des nördlichen Teils des Ochotskischen Meeres und auf Kamtschatka (759 мм) sich ausbreitet.

Ein ganz eigenartiger Streifen hohen Luftdrucks (761 мм) zieht sich über das Schwarze Meer, entlang dem südlichen Ufer, und ein ähnlicher Streifen mit hohem Luftdruck bildet auf dem Kaspischen Meere längs seinem westlichen Ufer einen nach *S* gerichteten Vorstoss der Isobare 761 мм.

Die im April nur angedeutete Eigentümlichkeit des barischen Reliefs, welche dem Sommerregime eigen ist, erhält auf der Karte der Mai-Isobaren schon vollständig ausgebildete Formen. Im Mai stellt sich schon eine Verbindung zwischen dem Isländischen Minimum und der Aleutischen Depression über das Barents- und das Karische Meer ein und

образовавшейся таким образом полосы пониженного давления по направлению на юго-запад в пределы Китая.

В мае Алеутский минимум оказывается уже отрезанным от материковой полосы пониженного давления упомянутым выступом полярного максимума, но надвигающаяся через Китай и Манчжурию депрессия оформляется и получает дальнейшее развитие.

Вдоль берегов Японского моря и Татарского пролива с SW через Китай и Манчжурию надвинулась широкая полоса пониженного давления (ниже 756 мм), которая, дойдя до границы Якутии, поворачивает на север, причем давление немного повышается. Под широтой Якутска депрессия расширяется и поворачивает к NW.

Рассматриваемую полосу пониженного давления можно проследить на юге и за пределами наших карт. Изобары Климатологического Атласа Индии ¹⁾ хорошо увязываются с нашими изобарами и позволяют проследить депрессию по северу Индокитая и Индостана. Возвращаясь к нашей карте, мы констатируем выступ этой депрессии в виде выпуклых к северу изобар в степях к SE от Аральского моря. В целом описанная депрессия представляет собой находящийся в связи с Исландским минимумом желоб пониженного давления, пролегающий на Европейско-Азиатском материке вдоль берегов Ледовитого океана, Охотского, Японского и Китайского морей, по северу Индокитая и Индостана и надвигающегося на наши Среднеазиатские степи.

Установилась связь между Казакстанским и Азорским максимумами; на восток гребень повышенного давления может быть прослежен до Байкала.

От Казакстанского максимума давление падает в направлении NE, E, SE, SW, W и NW.

Напомню, что в правильности начертания изобар для бассейна Амура нет оснований сомневаться, с другой же стороны допустить, что над Якутией давление миллиметра на 3 выше чем показано и что там нет продолжения депрессии, невозможно, так как этому противоречат данные прибрежных станций, а также изобары для Западной Сибири.

Июнь. На июньской карте уже нет самостоятельного максимума в Казакстане и на юго-востоке Европ. части СССР. Перелом окончательно завершился и связь Сибирского максимума с Азорским максимумом оформилась.

От Азорского максимума тянется выступ, который обозначен выпуклостями изобар, обращенными к востоку. От р. Урала на восток тянется до Байкала полоса повышенного давления; на юге Сибири очерченная изобарой 757 мм. Повышенное давление (757 мм) наблюдается также над Байкалом. Выступ к югу области повышенного давления обрисовывается над западной частью Каспийского моря.

Повысилось давление также и над Ледовитым океаном.

Депрессия вдоль берегов Азии, прослеженная в мае, сохраняется и в июне, получает при этом дальнейшее развитие. Она, как и в мае, надвигается с юго-запада на Манчжурию, затем поворачивает к северу, в Якутии к N от 60° широты дает выступ на E, а главной, направленной к W

¹⁾ Climatological Atlas of India.

eine Fortsetzung der auf diese Weise gebildeten Senke des Luftdrucks in der SW-Richtung nach China hin ist angedeutet.

Im Mai erscheint das Aleutische Tief schon durch den erwähnten Vorstoss des polaren Maximums von der kontinentalen Furche niedrigen Luftdrucks abgeschnitten, die über China und die Mandshurei vordringende Depression nimmt allmählich bestimmte Formen an und fährt fort sich zu entwickeln.

Niedriger Luftdruck (weniger als 756 mm) dringt als eine breite Furche längs den Ufern des Japanischen Meeres und der Tatarischen Meerenge von SW über China und die Mandshurei vor, und wendet sich an der Grenze von Jakutien nach N. In der Breite von Jakutsk breitet sich die Depression aus und wendet sich nach NW.

Über dem Karischen- und dem Barents-Meere stellt sich die Verbindung mit dem Isländischen Minimum ein. Die beschriebene Furche niedrigen Luftdrucks kann man auch im Süden ausserhalb der Grenzen unserer Karten verfolgen. Die Isobaren des Klimatologischen Atlases Indiens ¹⁾ stimmen mit unseren Isobaren gut überein und lassen die Depression im Norden von Hinter- und Vorderindien deutlich zum Vorschein kommen. Wenden wir uns unserer Karte zu, so bemerken wir einen Vorstoss dieser Depression in Form nach Norden konkaver Isobaren in den Steppen südöstlich vom Aralsee. Die beschriebene Depression als ein Ganzes stellt eine mit dem Isländischen Minimum in Verbindung stehende Furche niedrigen Druckes dar, welche sich auf dem Europäischen-Asiatischen Kontinent längs der Ufer des Eismeres, des Ochotskischen, Japanischen und Chinesischen Meeres, dem Norden von Hinter- und Vorderindien zieht und in den Bereich unserer Mittel-Asiatischen Steppen vordringt.

Es hat sich eine Verbindung zwischen dem Kasaksstanschen und dem Azorischen Maximum eingestellt und andererseits lässt sich ein Hochdruckrücken von Kasaksstan ostwärts bis zum Baikalsee verfolgen.

Vom Kasaksstanschen Maximum fällt der Luftdruck in den Richtungen NE, E, SE, SW, W und NW.

Ich wiederhole, dass an der Zuverlässigkeit der Isobaren im Bassin des Amur zu zweifeln kein Grund vorhanden ist, andererseits ist es nicht möglich anzunehmen, dass der Luftdruck über Jakutien um 3 mm niedriger sei, als auf der Karte angegeben ist und dass dort keine Fortsetzung der Depression vorhanden sei, da eine solche Behauptung den Daten der Küstenstationen, wie auch den Isobaren für West-Sibirien widersprechen würde.

Juni. Auf der Junikarte existiert schon kein selbständiges Hoch im Kasaksstan und im Südosten des Europäischen Teils der USSR. Der Umschlag ist abgeschlossen und die Verbindung zwischen dem Sibirischen und dem Azoren-Hoch hat die Form eines Rückens angenommen.

Das Azoren-Maximum gibt einen nach E gerichteten Vorstoss. Vom Fluss Ural zieht sich ein Rücken hohen Druckes bis zum Baikalsee, welcher im Süden Sibiriens von der Isobare 757 mm begleitet wird. Über dem Baikalsee ist der Luftdruck relativ hoch (757 mm). Ein Vorstoss höheren Drucks über dem westlichen Teil des Kaspischen Meeres dringt nach S hin vor.

Auch über dem Eismeere ist der Luftdruck gestiegen.

Die Depression, die im Mai entlang den Ufern Asiens verfolgt werden konnte, behält ihre Lage auch im Juni und zieht sich, wie im Mai, von SW über die Mandshurei, biegt darauf gegen N um, entsendet nördlich vom 60. Breitengrad einen Abstecher nach E und ihr Hauptzweig dringt nach W

¹⁾ Climatological Atlas of India.

ветвью выходит на Карское море в направлении к Земле Франца Иосифа (758 мм).

Через Камчатку проходит изобара 760 мм.

В степях к SE от Аральского моря сохраняется выступ депрессии, расположившейся над севером Индостана.

Июль. В июле выступ Азорского барометрического максимума, направленный на восток, прослеживается до Байкала и покрывает Байкал.

Полоса пониженного давления и в этом месяце тянется через Китай и Манчжурию вдоль берегов Китайского, Японского и Охотского морей сперва на NE, затем на N. На севере в Якутии она делится на две ветви—северозападную и северо-восточную. Дальше северозападная ветвь направляется по северу Западной Сибири и Европейской части СССР, через Балтийское море и Скандинавский полуостров на Атлантический океан. И в этом месяце описанный желоб пониженного давления находится в связи с депрессией на севере Индостана и Индокитая и перебрасывается через горы в степи к юго-востоку от Аральского моря (давление в Керках 752.4 мм, в Турткуле 755.1 мм).

Сравнение с картой за июнь обнаруживает, что полоса пониженного давления с Карского и Баренцова морей снизилась к югу, перейдя на материк.

Гребень области повышенного давления обозначен выступами изобары 760 мм на западе и последовательно изобар 759 мм до 755 мм по направлению на восток. Байкал огибает изобара 755 мм. По Баренцову и Карскому морям, а также к N от Новосибирских островов и по Охотскому морю проходит изобара 759 мм.

Местная вторичная депрессия наблюдается над Армянским нагорьем.

Август. На территории СССР давление, по сравнению с июлем несколько повысилось. Выступ Азорского максимума обрисовывается еще более отчетливо, чем в июле (761 мм на западе и 757 мм в районе Байкала). Полоса пониженного давления сохранила тоже положение, что и в июле, но очерчивается изобарами с более высокими показаниями, чем в июле (ниже 756 мм в Китае и Манчжурии, ниже 757 мм в Якутии и западной Сибири, ниже 758 мм на севере Европ. части СССР, на Ботническом заливе и над Скандинавией).

В степях к SE от Аральского моря давление от 753.7 мм (в Термезе) до 757.4 мм (в Турткуле).

Депрессия на Армянском нагорье сохранилась.

Этим месяцем заканчивается сезон с вполне отчетливо выраженным летним типом распределения давления на территории СССР.

Градиенты весьма малы над Якутией и в Европ. части.

Год. Так как особенно высокое давление на территории СССР наблюдается зимой, то и изобары года обнаруживают наибольшее сходство с изобарами зимних месяцев.

Азиатский максимум, очерченный изобарой 766 мм, тянется от Верхнеудинска вдоль южного берега Байкала, через Монголию до верховьев Иртыша (Семипалатинск 766.1 мм). Изобара 765 мм, захватывающая западную часть Забайкалья, протянулась на запад до Оренбурга. Западная ветвь Азиатского максимума прослеживается

bis zum Karischen Meere und weiter hin nach dem Franz Josephs Land (758 mm) vor.

Kamtschatka wird von der Isobare 760 mm geschnitten.

Die Steppen südöstlich vom Aral-See erreicht die Zunge der Depression, die über dem Norden Vorderindiens lagert.

Juli. Im Juli kann man die Zunge des Azorischen Hochs, die nach Osten hin sich hinzieht, bis zum Baikalsee verfolgen, der auch in ihrem Bereich sich findet.

Die Furche niedrigen Druckes zieht sich auch in diesem Monat über China und die Mandshurei längs der Ufer des Chinesischen, Japanischen und Ochotskischen Meeres erst nach NE und dann nach N. Im Norden Jakutiens teilt sie sich in zwei Zweige—den nordwestlichen und den nordöstlichen. Weiterhin zieht sich der westliche Zweig über den Norden West-Sibiriens und des Europäischen Teils der USSR, über die Ostsee und Skandinavien zum Atlantischen Ozean. Die beschriebene Rinne niedrigen Luftdrucks befindet sich auch in diesem Monat in Verbindung mit der Depression im Norden von Vorder- und Hinterindien und findet eine Fortsetzung jenseits der Gebirge in den Steppen südöstlich von dem Aral-See (Kerki 752.4 mm, Turtkul 755.1 mm).

Stellen wir die Juli- und Juni-Karten nebeneinander, so sehen wir, dass die Furche niedrigen Luftdrucks vom Karischen und vom Barents-Meere sich nach S auf das Festland verschoben hat.

Der Rücken hohen Druckes wird durch Ausbuchtungen der Isobaren 760 mm im Westen gekennzeichnet und in der Richtung nach E hin der Isobaren 759—755 mm. Der Baikalsee wird von der Isobare 755 mm eingefasst. Über das Barents- und das Karische Meer, sowie im Norden von den Neu-Sibirischen Inseln und dem Ochotskischen Meere zieht sich die Isobare 759 mm.

Eine lokale Depression breitet sich über das Armenische Hochland aus.

August. Auf dem Territorium der USSR ist der Luftdruck im Vergleich zum Juli etwas gestiegen. Die Zunge des Azoren-Maximums ist noch deutlicher ausgebildet, als im Juli (761 mm im Westen und 757 mm im Rayon des Baikals). Die Furche niedrigen Luftdrucks hat die Lage, welche sie im Juli einnahm, behalten, doch ist der Druck im Bereich der Furche höher, als im Juli (unter 756 mm in China und der Mandshurei, unter 757 mm in Jakutien und West-Sibirien, unter 758 mm im Norden des Europäischen Teils der USSR, auf dem Botschen Meerbusen und über Skandinavien).

In den Steppen südöstlich vom Aral-See ändert sich der Druck von 753.7 mm (in Termes) bis 757.4 mm (in Turtkul).

Die Depression über dem Armenischen Hochlande ist noch vorhanden.

Dieser Monat schliesst die Saison mit deutlich ausgeprägtem Sommertypus der Verteilung des Luftdruckes auf dem Territorium der USSR ab.

Die Gradienten sind sehr klein über Jakutien und im Europäischen Teil der USSR.

Das Jahr. Da auf dem Territorium der USSR besonders hoher Luftdruck im Winter beobachtet wird, so ist auch die Ähnlichkeit der Jahresisobaren mit den Isobaren der Winter-Monate am grössten.

Das Asiatische Maximum, welches durch die Isobare 766 mm gekennzeichnet wird, zieht sich von Werchneudinsk längs des Südufers des Baikals, über die Mongolei bis zum Oberlauf des Irtysh (Ssemipalatinsk 766.1 mm). Die Isobare 765 mm, welche den westlichen Teil von Transbaikalien durchzieht, erreicht im Westen Orenburg. Der westliche

до низовьев Днепра (763 мм). Над южной частью района Карпат вторичный максимум с изобарой 763 мм.

Северо-восточная ветвь Азиатского максимума протянулась от Байкала (756 мм) до устья Индыгирки (761 мм). Над Ледовитым океаном к востоку от Новосибирских островов обозначилось продолжение северо-восточной ветви Сибирского максимума по направлению к северу Америки.

Выступ Исландского минимума прослеживается через Баренцево (757 мм) и Карское моря (758 мм) до устья Хатанги (759 мм).

Направленный к N выступ области пониженного давления покрывает юго-восточную часть Каспийского моря. Выступ области повышенного давления протянулся к югу вдоль западного берега Каспийского моря. Депрессия (ниже 762 мм) вытянулась над Черным морем, вдоль Кавказского побережья.

Депрессия к востоку от Камчатки подходит к этому полуострову с изобарой 756 мм.

К востоку от Байкала до берегов Охотского и Японского морей изобары мало уклоняются от меридионального направления.

Этим заканчиваю краткий обзор изобар за отдельные месяцы и за год и перехожу к рассмотрению и объяснению главнейших особенностей барического рельефа по средним изобарам.

Начнем с рассмотрения наиболее резко выраженной особенности барического рельефа, а именно с зимнего Азиатского максимума давления. По своему положению он близко соответствует летнему гребню повышенного давления. Вполне естественно предположить, что как летом так и зимой участвует в образовании этого максимума одна и та же причина, что летний гребень повышенного давления зависит исключительно от динамических причин, на которые указывалось выше, зимний только отчасти. Зимой термический режим на материке приобретает доминирующее значение, причем особенно большое влияние оказывают условия рельефа на юге СССР от Алтая до Байкала и в прилегающих областях Монголии. Максимум давления, хотя и не вполне оформившийся, появляется в сентябре над юго-западной оконечностью Байкала, к югу и к западу от нее, в октябре он вполне отчетливо выделяется. Этот район отличается от Северо-западной Монголии тем, что здесь многие долины между горными хребтами приподняты выше над уровнем моря и ширина их незначительна, между тем как в Северо-западной Монголии большое пространство занимает местность с равнинным характером и высотами, большей частью не превышающими 1000 м. С наступлением холодного сезона в северо-восточной гористой части Монголии условия для охлаждения долин особенно благоприятны и поэтому здесь давление и подымается выше чем в других районах полосы, где тянется гребень повышенного давления, обусловленный убыванием нагревания от экватора к полюсу.

Связь между циркуляцией в южной полосе Сибири и в северной полосе Монголии весьма тесная, на что мною указывалось уже ранее на основании изучения прохожде-

Зweig des Asiatischen Maximums kann bis zum Unterlauf des Dnepr (763 mm) verfolgt werden. Über dem südlichen Teil der Karpaten hat sich ein sekundäres Maximum mit der Isobare 763 mm ausgebildet.

Der nordöstliche Zweig des Asiatischen Maximums zieht sich vom Baikalsee (765 mm) bis zur Mündung der Indygirka (761 mm). Über dem Eismeere, östlich von den Neu-Sibirischen Inseln, ist eine Fortsetzung des nordöstlichen Zweiges des Sibirischen Maximums in der Richtung gegen Norden Amerikas angedeutet.

Der Vorstoss des Isländischen Tiefs lässt sich über das Barents- Meer (757 mm) und das Karische Meer (758 mm) bis zur Mündung der Chatanga (759 mm) verfolgen.

Der südöstliche Teil des Kaspischen Meeres wird von einer nach N gerichteten Zunge einer Depression überdeckt. Auf dem Kaspischen Meere strekt sich eine Zunge eines Hochs nach S längs dem westlichen Ufer des genannten Meeres hin. Eine Depression (unter 762 mm) zieht sich über das Schwarze Meer längs der Kaukasischen Küste.

Dort, wo die Depresion östlich von Kamtschatka sich dieser Halbinsel nähert, sehen wir die Isobare 756 mm.

Östlich vom Baikalsee bis zur Küste des Ochotskischen und des Japanischen Meeres weichen die Isobaren wenig von der meridionalen Richtung ab.

Mit dem Obigen schliesse ich die kurze Übersicht der Isobaren für einzelne Monate und für das Jahr und gehe zur Besprechung und Erklärung der Eigentümlichkeiten des barischen Reliefs nach den mittleren Isobaren über.

Beginnen wir mit der am schärfsten ausgeprägten Form des barischen Reliefs, nämlich mit dem Asiatischen Luftdruckmaximum des Winters. Seiner Lage nach weicht es wenig von dem Luftdruckrücken des Sommers ab. Es ist die Annahme vollkommen berechtigt, dass sowohl im Sommer wie auch im Winter bei der Ausbildung dieses Maximums dieselbe Ursache mitwirkt, nämlich dass der Luftdruckrücken im Sommer ausschliesslich dynamisch bedingt ist, worauf bereits oben hingewiesen wurde, während das Wintermaximum nur teilweise seinen Ursprung dieser Ursache verdankt. Im Winter erhält das thermische Regime eine dominierende Bedeutung auf dem Festlande, wobei das Relief im Süden der USSR vom Altai bis zum Baikal und in den angrenzenden Gebieten der Mongolei einen besonders grossen Einfluss ausübt. Ein allerdings noch nicht vollkommen ausgebildetes Hoch erscheint schon im September über dem südwestlichen Ende des Baikals, südlich und westlich von demselben, und tritt im Oktober ganz deutlich zu Tage. Dieses Territorium unterscheidet sich von der nordwestlichen Mongolei dadurch, dass hier viele Täler zwischen den Bergrücken eingebettet sind, grössere Seehöhe erreichen und von geringer Breite sind, während in der nordwestlichen Mongolei grosse Landflächen eine Ebene vorstellen und in der Seehöhe nicht über 1000 m gelegen sind. Mit dem Eintritt der kalten Jahreszeit werden die Bedingungen zu einer Abkühlung der Täler in dem nordöstlichen gebirgigen Teil der Mongolei besonders günstig und daher steigt hier der Druck auch höher als in den anderen Rayons des Landstreifens, in dem der durch die Abnahme der Erwärmung vom Äquator zum Pol bedingte Luftdruckrücken hinzieht.

Es besteht eine nahe Beziehung zwischen der Zirkulation im Süden Sibiriens und in der nördlichen Mongolei, worauf ich auf Grund des Studiums der Antizyklonen- und Zyklonen-

ния антициклонов и циклонов¹⁾ по данному району. Монгольский Алтай играет как климатическая граница в большей степени решающую роль. Весной падение давления идет в части Азиатского максимума, прилегающей к Байкалу, тоже ускоренным темпом; район падения распространяется постепенно к западу и к апрелю оформляется очерченный замкнутыми изобарами максимум над Казакстаном, который сохраняется и в мае. Зависимость Азиатского максимума от условий рельефа таким образом отчетливо выражена как вначале, так и в конце холодного сезона. В Казакстане и к югу от Урала, где условия нагревания почвы солнечной радиацией менее благоприятны чем в Центральной Азии, приподнятой на значительную высоту, зимний максимум давления держится дольше чем над Северной Монголией и Южной окраиной Сибири.

В приложенном Атласе помещены карты изобар на уровне 500 м для полосы от Байкала до Казакстана. В восточной и южной части этой полосы значительное число станций находится на высоте от 400 до 500 м и поэтому приведение давления к высоте 500 м должно отличаться достаточной точностью. Изобары месяцев холодного сезона на высоте 500 м несколько уточняют картину распределения среднего давления по сравнению с уровнем моря: в сентябре на указанной высоте более отчетливо чем на карте для уровня моря отразился процесс образования Азиатского максимума давления, а именно появляется оформившийся максимум к западу от юго-восточной оконечности Байкала, в октябре наблюдается дальнейшее распространение его на запад.

Северо-восточный отрог Азиатского максимума давления в теплый сезон на материке не существует и его образование в холодный сезон должно быть отнесено главным образом на счет термического режима. Но и здесь играют не малую роль как рельеф страны, так и динамические причины.

Территория, по которой пролегает этот отрог барометрического максимума, с востока, юга и запада ограничена горными хребтами и водораздельными возвышенностями и пересечена в разных ее частях горными хребтами, пролегающими преимущественно в широтном направлении. Условия рельефа здесь особенно благоприятны для зимнего охлаждения и действительно мы находим здесь в районе Верхоянска т. н. полюс холода. В последнее время дебатировался вопрос о наличии второго полюса холода в системе верховьев Индигирки, на Оймяконе, значительно южнее Верхоянска. Действительно, средние месячные температуры по наблюдениям в названной впадине за зимы 1929 и 1930 г.г., опубликованные С. В. Обручевым²⁾, оказываются более низкими чем соответствующие средние температуры Верхоянска, но станция на Оймяконе расположена значительно выше Верхоянска, а именно, по барометрическому определению С. В. Обручева, на высоте 658 м над уровнем моря. С. В. Обручев, ссылаясь на проф. А. В. Вознесенского, считает, что приведение средних температур Оймякона

bahnen in diesen Gebieten bereits in einer früheren Arbeit hingewiesen habe¹⁾. Der Mongolische Altai spielt als Klimagrenze eine entscheidende Rolle. Im Frühling vollzieht sich die Abnahme des Druckes in dem dem Baikal anliegenden Teil des Asiatischen Maximums auch früher als westlich davon, das Gebiet der Abnahme rückt allmählich nach Westen vor und zum April entsteht in Folge dessen ein von geschlossenen Isobaren eingefasstes Maximum über Kasaksstan, das auch im Mai sich erhält. Somit ist die Abhängigkeit des Asiatischen Maximums vom Relief sowohl im Anfang wie auch am Ende der Kältesaison deutlich ausgeprägt. In Kasaksstan und südlich vom Ural, wo die Insolation für die Erwärmung des Bodens weniger wirksam ist als in dem hochgelegenen Zentralasien, hält sich das winterliche Luftdruckmaximum länger als über der Nord-Mongolei und dem Süden Sibiriens.

Im beigegebenen Atlas sind Isobaren-Karten für die Seehöhe von 500 m über dem Gebiet, das sich vom Baikal bis Kasaksstan erstreckt, entworfen. Im östlichen und südlichen Teil dieses Gebiets befindet sich eine grössere Anzahl Stationen in einer Höhe von 400—500 m über dem Meeresniveau, weshalb eine Reduktion auf 500 m Seehöhe sich durch genügende Genauigkeit auszeichnen muss. Die Isobaren der Wintermonate in 500 m Seehöhe vervollständigen das Bild der Luftdruckverteilung, das für das Meeresniveau erhalten wurde. Im September tritt in angegebener Höhe deutlicher als auf der Karte für das Meeresniveau der Bildungsprozess des Asiatischen Luftdruckmaximums hervor, nämlich im Westen von dem Südostende des Baikal erscheint im September ein ausgebildetes Hoch, welches im Oktober in westlicher Richtung sich ausdehnt.

Ein nordöstlicher Zweig des Sibirischen Luftdruck-Maximums existiert in der warmen Jahreszeit über dem Festlande nicht und seine Entstehung in der kalten Saison ist hauptsächlich dem thermischen Regime in Rechnung zu stellen, aber auch hier spielen sowohl das Relief wie auch dynamische Prozesse eine bedeutende Rolle.

Das Territorium, über welches sich dieser Zweig des Luftdruck-Maximums hinzieht, wird von Ost, Süd und West von Bergücken und hohen Wasserscheiden umgrenzt und in verschiedenen Teilen von Bergketten, besonders in der Breitenrichtung, durchzogen. Hier ist die Bodengestaltung für die winterliche Abkühlung besonders günstig und wir finden in der Tat hier im Rayon von Werchojansk den sog. „Kältepol“. In letzterer Zeit wurde die Frage über einen zweiten Kältepol am Oimekon im System des Oberlaufs der Indygirka bedeutend südlicher als Werchojansk diskutiert. In der Tat sind die von S. W. Obrutschew publizierten Monatsmittel der Temperatur im genannten Tal für die Winter 1929 und 1930²⁾ niedriger als die entsprechenden Temperaturmittel von Werchojansk, es ist aber die Station am Oimekon bedeutend höher als Werchojansk gelegen und zwar nach einer barometrischen Bestimmung von S. W. Obrutschew in 658 m Seehöhe. S. W. Obrutschew hält zwar, mit einem Hinweis auf Prof. A. V. Wosnessensky, eine Reduktion der Temperaturmittel von Oimekon auf das Meeresniveau für fehlerhaft; doch kann man sich damit nicht einverstanden

¹⁾ А. А. Каминский. Некоторые особенности климата Северо-западной Монголии. Геофизич. Сборник, т. II, вып. 1. 1915 г.

²⁾ М. Головачев. Оймякон—полюс холода. Метеор. Вестник, 1931, № 1.

С. В. Обручев. Верхоянск или Оймякон. Метеор. Вестник, 1928 г., № 11.

¹⁾ A. Kaminsky. Sur quelques particularités du climat de la Mongolie du Nord-Ouest. Petrograd, 1915. Recueil de Geophysique. T. II, fasc. 1.

²⁾ S. Obrutschew. Der neue Kältepol der Jakutischen Republik. Meteorol. Zeitschrift, 1931. Sept. P. 359.

М. Головачев. Оймякон—ein Kältepol. Meteorologitscheskij Westnik, 1931, № 1 (russ).

С. Обручев. Werchojansk oder Oimekon. Meteorolog. Westnik. 1928, № 2. (russ).

к уровню моря было бы ошибкой, но с этим нельзя согласиться. Оказывается, что, приведя средние месячные температуры Оймекона за зимние месяцы к высоте Верхоянска (122 м) при помощи градиента в 0.6° , получим, как видно из следующей таблички, температуры, мало отличающиеся от температур Верхоянска.

Средние месячные температуры.

Средние месячные температуры.												
СТАНЦИЯ	С. широта N. Breite	Восточная долгота östl. Länge	Абсолютн. высота Seehöhe	На высоте станции In der Höhe der Station				На высоте Верхоянска In der Höhe von Werchojansk				STATION
				1929	1930			1929	1930			
				XII	I	II	X	XII	I	II	X	
Верхоянск	67°33'	133°24'	122 m	-44.6°	-45.3°	-43.8°	-16.9°	-44.6°	-45.3°	-43.8°	-16.9°	Werchojansk
Оймекон	63°16'	143°13'	658 m	-46.3	-50.0	-47.5	-19.9	-43.1	-46.2	-44.3	-16.6	Oimekon

explären. Es erweist sich nämlich, dass die Reduktion der Lufttemperaturmittel für die Wintermonate von Oimekon auf die Seehöhe von Werchojansk (122 m) mit Hilfe des Gradienten 0.6° , wie nachstehende Tabelle zeigt, wenig sich von den Temperaturen von Werchojansk unterscheidende Werte ergibt.

Monatsmittel der Lufttemperatur.

Необходимо принять во внимание, что условия для приведения средних температур Оймекона к высоте Верхоянска особенно благоприятны. Оба пункта расположены в долинах, пролегающих между горных хребтов. Можно, не рискуя ошибиться, предположить, что мы имеем дело с одним полюсом холода, район которого однако обширнее, чем принимали раньше.

К сожалению, по словам С. В. Обручева, летние наблюдения Оймекона едва ли заслуживают доверия, к тому же и приведение средних температур Оймекона за летние месяцы к высоте Верхоянска дает результаты, не согласующиеся столь удовлетворительно с данными Верхоянска, как приведенные зимние температуры.

Данные Оймекона, расширяя район особенно сильного зимнего охлаждения не менее чем на 500 км, говорят в тоже время и в пользу термического происхождения северо-восточной ветви Сибирского зимнего максимума давления.

Важное значение имеет климатическая граница, которая обозначена водораздельными хребтами и возвышенностями, отделяющими бассейны рек Енисея и Лены. В зимний сезон до этого водораздела достигает на севере выступ Исландского минимума давления и связанные с ним ветры проникают в Якутию ослабленными, что тоже благоприятствует понижению температуры. Указанная климатическая граница отображена на карте климатов проф. В. П. Кеппена, хотя там она определена на основании лишь данных о средних температурах и о годовом ходе осадков.

На северо-востоке связь с максимумом давления, занимающим восточную часть Полярного бассейна, устанавливается в октябре. В то время, когда разрушается северо-восточный отрог Азиатского зимнего максимума давления, а именно в апреле и мае, на крайнем северо-востоке сохраняется еще повышенное давление в виде выступа полярного максимума. Это указывает на отсутствие устойчивой связи между Полярным и Сибирским максимумами.

Мы стоим перед вопросом, какого происхождения те массы воздуха, которые питают Азиатский максимум давления и его северо-восточный отрог.

Проследивая по ежедневным синоптическим картам для СССР, а также по «Бюллетеню погоды в Дальневосточном крае» (за 1930, 1931 и начало 1932 г.) движение антициклонов в зимние месяцы в пределах Азиатской части Союза, убеждаемся, что наиболее часто посещаемой

Man muss in Betracht ziehen, dass die Bedingungen zur Reduktion der Temperaturmittel vom Oimekon auf die Höhe von Werchojansk besonders günstig sind; beide Punkte liegen nämlich in zwischen Bergrücken ziehenden Tälern. Man kann wohl, ohne fehl zu gehen, voraussetzen, dass wir es mit einem Kältepol zu tun haben, dessen Rayon allerdings grösser ist, als man bisher annahm.

Bedauerlicherweise sind die Sommerbeobachtungen von Oimekon, nach einer Mitteilung von S. W. Obrutschew, unzuverlässig und ergeben ausserdem bei der Reduktion der Sommermittel der Temperatur von Oimekon auf die Höhe von Werchojansk Resultate, die weniger mit den Daten für Werchojansk in Einklang stehen, als die reduzierten Wintertemperaturen.

Indem die Daten von Oimekon den Rayon besonders starker winterlicher Abkühlung um nicht weniger als 500 km erweitern, sprechen sie gleichzeitig zu Gunsten einer thermischen Entstehung des nordöstlichen Zweiges des sibirischen Luftdruckmaximums im Winter.

Von hervorragender Bedeutung ist die Klimagrenze, welche durch Bergrücken und Erhebungen der Wasserscheide zwischen dem Flussgebiet des Enissei und demjenigen der Lena markiert wird. Im Winter dringt im Norden bis zu dieser Wasserscheide eine Ausbuchtung des Isländischen Tiefs vor und die mit ihr in Zusammenhang stehenden Winde gelangen abgeschwächt nach Jakutien, was einem Sinken der Temperatur günstig ist. Die erwähnte Klimagrenze ist auf der Klimakarte von Prof. W. Köppen angegeben, wenigleich sie dort nur auf Grund der Temperaturmittel und des Jahresganges der Niederschläge bestimmt wird.

Im Nordosten stellt sich die Verbindung mit dem den östlichen Teil des Polarbassins einnehmenden Maximum im Oktober her. Zur Zeit, wo der nordöstliche Ausläufer des Asiatischen Luftdruckmaximums des Winters sich auflöst, und zwar im April und Mai, bleibt im äussersten Norden ein Vorstoss des Polarmaximums erhalten, woraus man schliessen kann, dass zwischen dem polaren und dem sibirischen Hoch kein stabiler Zusammenhang besteht.

Wir stehen vor der Frage, welchen Ursprungs die das Asiatische Maximum und seinen nordöstlichen Ausläufer speisenden Luftmassen wohl sein mögen.

Verfolgen wir nach den täglichen Wetterkarten der USSR und nach den «Wetterberichten des Fernen Ostens» (für 1930, 1931 und den Anfang von 1932) die Bewegung der Antizyklo-nen im Asiatischen Teil der Union im Laufe der Wintermonate, so überzeugen wir uns, dass das Trajektorium vom Kari-

траекторией является путь от Карского и Баренцова морей сперва на юго-восток до юга Сибири, а затем на восток до Байкала, после чего, при убывающем давлении, антициклоны движутся в восточном, северо-восточном или южном направлении. Из сказанного можно заключить, что в питании Азиатского максимума принимают участие массы воздуха, притекающие на некоторой высоте с Карского и Баренцова морей, а также с северной части Атлантического океана. Подтверждением этого положения могут служить и результаты пилотных наблюдений Иркутской Обсерватории¹⁾, указывающие на решительное преобладание в холодный сезон NW ветров, начиная с высоты 1000 м (40%).

Нет сомнения, что роль названных водных пространств с успехом учитывается Службой Погоды при постановке прогнозов для Сибири и Дальнего Востока, но далеко не так просто проследить за воздействиями, идущими со стороны Индийского океана, так как Центральная Азия совершенно не обеспечена метеорологическими станциями, дающими телеграфные сообщения о погоде.

В течение лета северного полушария над Индийским океаном скапливается гораздо больше воздуха чем в течение нашей зимы. В июле область высокого давления, опоясанная изобарой 764 мм, значительно обширнее чем в январе, причем юг Африки и Австралии тоже имеют более высокое давление в июле чем в январе. Если примем во внимание, что над Антарктикой годовое колебание давления незначительно и следовательно обмен массами воздуха между Антарктикой и Индийским океаном сохраняет течение всего года в определенных границах равновесие, то станет понятным, что немалые количества воздуха в нашу зиму перебрасываются с Индийского океана на Евразию. В «Бюллетене погоды в Дальневосточном крае» приведен за зимы 1930—31 и 1931—32 гг. целый ряд антициклонов, прошедших над Центральной Азией. Правда, их происхождение, за недостатком наблюдений, не всегда можно установить, но нет сомнения, что притекающие из Индостана на некоторой высоте массы воздуха участвуют в их питании и в повышении давления над Центральной Азией. Аэрологические наблюдения, произведенные на станциях Индостана, подтверждают это предположение.²⁾

В прибрежной полосе, прилегающей к Охотскому морю, Татарскому проливу и отчасти Японскому морю в зимние месяцы горизонтальные градиенты температуры весьма велики, из чего можно заключить, что и градиенты давления в высоких слоях, направленные с моря на сушу, здесь, вообще говоря, значительны. Действительно часто проходят циклоны вдоль указанных берегов, тогда как в Якутии зимой циклоны представляют собой редкое явление.

Е. И. Тихомиров³⁾ указывает на то, что для питания Сибирского максимума имеют весьма большое значение ядра, входящие «с северо-востока Сибири», через

schen und Barents-Meer zuerst nach Südost bis zum Süden Sibiriens, darauf aber nach Ost bis zum Baikal am häufigsten durchzogen wird. Vom Baikal-See bewegen sich die Antizyklogen bei abnehmendem Luftdruck in östlicher, nordöstlicher oder südlicher Richtung weiter. Aus dem Gesagten lässt sich schliessen, dass an der Speisung des Asiatischen Maximums sich Luftmassen beteiligen, die in gewisser Höhe vom Karischen und Barents-Meer, wie auch vom nördlichen Teil des Atlantischen Ozeans zuströmen. Als Stütze dieser Annahme können auch die Ergebnisse der Pilotballonbeobachtungen des Irkutsker Observatoriums¹⁾ dienen, die auf ein in der Höhe von 1000 m beginnendes Vorherrschen der NW-Winde (40%) hinweisen.

Ohne Zweifel wird die Rolle dieser Meere mit Erfolg vom Wetterdienst als Stütze für Prognosen für Sibirien und den Fernen Osten in Betracht gezogen, doch ist es weitaus nicht so einfach den Einfluss des Indischen Ozeans zu verfolgen, da Zentral-Asien ein viel zu spärliches Netz von Stationen, die telegraphische Wetterberichte senden, besitzt.

In Verlauf des Sommers der nördlichen Halbkugel sammelt sich über dem Indischen Ozean bedeutend mehr Luft an, als in unserer Winterzeit. Im Juli ist das von der Isobare 764 mm umfasste Hochdruckgebiet bedeutend grösser als im Januar, wobei der Süden von Afrika und Australien ebenfalls im Juli höheren Druck hat als im Januar. Wenn wir in Betracht ziehen, dass über der Antarktis die Jahreschwankung des Luftdrucks unbedeutend ist und infolgedessen beim Austausch der Luftmassen zwischen der Antarktis und dem Indischen Ozean im Laufe des ganzen Jahres in gewissen Grenzen das Gleichgewicht nicht gestört wird, so wird es verständlich, dass nicht unbedeutende Luftmengen in unserem Winter vom Indischen Ozean nach Eurasien herübergeschafft werden. Im Wetterbulletin des Fernen Ostens wird für die Winter 1930—31 und 1931—32 eine ganze Reihe Antizyklogen, die Zentral-Asien durchzogen, angeführt. Freilich lässt sich ihr Ursprung aus Mangel an Beobachtungen, nicht immer feststellen, jedoch können kaum Zweifel erhoben werden, dass die in gewisser Höhe aus Indien zuströmenden Luftmassen an ihrer Speisung teilhaben und eine Zunahme des Luftdrucks über Zentral-Asien hervorrufen. Auf den Stationen von Indien ausgeführte aerologische Beobachtungen bekräftigen eine derartige Annahme²⁾.

In dem Küstengebiet des Ochotskischen Meeres, der Tatarischen Strasse und teilweise des Japanischen Meeres sind in den Wintermonaten die Horizontalgradienten der Temperatur sehr bedeutend, woraus man schliessen kann, dass auch die vom Lande zum Meere gerichteten Gradienten des Luftdrucks hier, im Allgemeinen, gross sein müssen. In der Tat ziehen die Zyklonen häufig erwähnte Küsten entlang, während sie in Jakutien im Winter zu den seltenen Erscheinungen gehören.

Prof. E. J. Tichomiroff³⁾ weist darauf hin, dass für die Speisung des Sibirischen Maximums die aus dem «Nordosten Sibiriens» über die Tschuktschen-Halbinsel eindringenden

¹⁾ А. В. Вознесенский. Выводы из наблюдений помощью шаров-пилотов, произведенных в Иркутской Магнитно-Метеоролог. Обсерватории с 1913 по 1916 г. Петроград, 1919. Естественные производительные силы России, т. I, ч. 1, вып. 4.

²⁾ W. A. Harwood. The free atmosphere in India. Memoirs of the Indian Meteorological Department. Vol. XXIV, Parts VII and VIII. 1924.

³⁾ Е. И. Тихомиров. О структуре Сибирского максимума. Мет. Вестн., 1932 г. № 3.

¹⁾ A. V. Wosnessensky. Ergebnisse der mit Hilfe von Pilot-Ballons vom Irkutsker Magn. und Met. Observ. in den Jahren 1913—16 ausgeführten Beobachtungen. Die natürl. Produktionskräfte Russlands Bd. I, Teil 1, Lief. 4. Petrograd, 1919 (russ.).

²⁾ W. A. Harwood. The free atmosphere in India. Memoirs of the Indian Meteorological Department. Vol. XXXIV, Parts VII and VIII. 1924.

³⁾ E. J. Tichomiroff. Über die Struktur des Sibirischen Maximums. Meteorol. Westnik, 1932, № 2 (russ.).

Чукотский полуостров. Он ссылается при этом, между прочим, на схему, предложенную Э. С. Лир²⁾, но оговаривает, что на карте Э. С. Лир указываемый им поток направлен не в сторону Сибири, а в сторону Аляски.

Нужно заметить, что синоптические карты Бюро Погоды освещают северо-восток Азиатской части СССР лишь за немного лет и что на многих из этих карт интересующий нас район представлен весьма ограниченным числом станций или не имеет никаких данных о давлении воздуха. Насколько однако можно судить по синоптическим картам и по «Бюллетеням Погоды в Дальневосточном крае», в период образования северо-восточного выступа Азиатского максимума появляются часто антициклоны вдоль берегов Японского, Охотского и Берингова морей, причем в некоторых, но не частых случаях, эти антициклоны надвигаются из полярного бассейна, что соответствует схеме Э. С. Лир, в большинстве же случаев они достигают берега этих морей, придя с северо-запада. Таким образом здесь происходит преимущественно питание области повышенного давления над Якутией не за счет полярных масс воздуха, а за счет притока с морей. В редких случаях, из которых два отмечены Е. И. Тихомировым, антициклон, надвинувшийся на северо-восток с Полярного бассейна, перемещался вдоль берегов Полярного моря на запад. Область наиболее низких температур как в первом так и во втором случае обходилась антициклоном.

Для образования и развития северо-восточной ветви Азиатского максимума имеют особенно большое значение антициклоны, достигшие Байкала по траекториям западной или южной и распространяющиеся от Байкала в направлении на северо-восток. В питании этих антициклонов должны принимать большое участие массы воздуха с восточных морей. Заслуживает внимания, что в зимние месяцы повторяемость преобладающего ветра с суши на Дальневосточном побережье весьма велика, как видно из следующей таблички.

Направление и повторяемость преобладающего ветра (квадрант наибольшей повторяемости ветра)

СТАНЦИИ	Сентябрь September	Октябрь Oktober	Ноябрь November	Декабрь Dezember	Январь Januar	Февраль Februar	Март März	Апрель April	Май Mai	STATIONEN
Гижигинск	N23°E 59%	N21°E 66%	N18°E 64%	N17°E 84%	N15°E 86%	N15°E 82%	N18°E 79%	N26°E 62%	N25°E 56%	Gishiginsk
Охотск	N 5°W 47%	N11°W 83%	N 4°W 92%	N 2°W 95%	N 97%	N 3°W 91%	N 4°W 78%	N46°E 36%	N53°E 50%	Ochotsk
Николаевск на Амуре	N81°W 40%	N71°W 62%	N71°W 81%	N71°W 88%	N69°W 88%	N72°W 78%	N70°W 60%	N77°W 35%	S72°E 60%	Nikolaewsk am Amur

Западная ветвь Азиатского максимума давления находится в связи с Азорским максимумом. В ее оформлении участвуют массы воздуха, притекающие со стороны северных морей как в связи с антициклонами, так и в тылу циклонов.

²⁾ E. Lyr. Materials for synoptical study of Droughts in the East Europe. Журнал Геофизики и Метеорологии, т. VI, № 2, 1929.

Hochdruck-Kerne von sehr grosser Bedeutung sind. Hierbei beruft er sich unter anderem auf das von Fräul. E. S. Lyr²⁾ gegebene Schema, erwähnt aber, dass auf der Karte von Lyr die von ihm angegebene Bahn nicht nach Sibirien, sondern nach Alaska vordringt.

Es wäre zu bemerken, dass die Wetterkarten des Wetterbureaus den Nord-Osten des Asiatischen Teils der USSR erst seit wenigen Jahren beleuchten und dass ferner auf vielen dieser Karten der uns interessierende Rayon nur mit einer äusserst beschränkten Zahl von Stationen bestellt ist oder überhaupt keine Daten über Luftdruck besitzt. Soweit man jedoch nach den Wetterkarten und den «Wetterberichten des Fernen Ostens» urteilen kann, erscheinen in der Ausbildungsperiode des nordöstlichen Vorsprungs des Asiatischen Maximums oft Antizyklone längs den Küsten des Japanischen, Ochotskischen, und Behrings-Meeress, die in einigen, jedoch nicht häufigen Fällen, aus dem Polar-Bassin stammen, was dem Schema von E. S. Lyr entspricht, meistens aber von Nordwesten kommend, diese Küsten erreicht haben. Daraus folgt, dass das Hoch über Jakutien hauptsächlich nicht auf Kosten der polaren Luftmassen, sondern auf Kosten der vom Meere her zufließenden Luft gespeist wird. In seltenen Fällen, von denen zwei von E. J. Tichomiroff angeführt sind, wanderte die vom Polarbecken stammende Antizyklone vom Nordosten entlang den Ufern des Polarmeeres nach Westen. Das Gebiet der niedrigsten Temperaturen wurde sowohl im ersten, wie auch im zweiten Falle von der Antizyklone umgangen.

Für die Bildung wie auch für die Weiterentwicklung des nordöstlichen Zweiges des Asiatischen Maximums sind von ganz besonderer Bedeutung diejenigen Antizyklone, die den Baikal auf der westlichen oder südlichen Bahn erreicht haben und vom Baikal aus in der Richtung nach Nordost ziehen. An der Speisung dieser Antizyklone müssen sich in ausgiebiger Weise Luftmassen von den östlichen Meeren her beteiligen. Es wäre zu beachten, dass in den Wintermonaten die Häufigkeit des vorherrschenden Windes vom Lande her an den Küsten des Fernen Ostens äusserst gross ist, wie nachstehende Tabelle zeigt.

Richtung und Häufigkeit vorherrschender Winde (Quadrant der grössten Häufigkeit des Windes)

Der westliche Zweig des Asiatischen Luftdruck-Maximums steht mit dem Azorischen Maximum in Verbindung. Es wirken bei seiner Bildung auch Luftmassen mit, die von den nördlichen Meeren her sowohl in Zusammenhang mit den Antizyklonen wie auch im Rücken der Zyklonen zuströmen.

²⁾ E. S. Lyr. Materials for synoptical study of Droughts in the East Europe. Journ. of Geophysics and Meteorology, V. VI, № 2, 1929.

Мало освещен вопрос о наличии желоба пониженного давления в летние месяцы на картах средних изобар. Прежде всего возникает вопрос, отражает ли этот желоб процессы, действительно происходящие в широкой приморской полосе, обтекающей материк с севера, с востока и с юга, и не есть ли это результат неправильного применения статистического метода. Нет никакого сомнения, что это опасение отпадает. На севере Индостана и Индокитая в летние месяцы давление падает так низко, что отрицать реальность ложбины здесь невозможно.

В двух районах, а именно на севере Европейской части СССР и в районе к востоку от Байкала до Татарского пролива и Японского моря, можно достаточно надежно произвести проверку по синоптическим картам. Такой проверкой можно будет установить, действительно ли часто по синоптическим картам в отдельные дни давление от берега моря падает приблизительно до полосы, отмеченной на картах средних изобар пониженным давлением, и затем по мере удаления от моря повышается. Проверка произведена за летние месяцы 1926—1930 г.г. За более ранние годы для Дальнего Востока на синоптических картах данных не имеется. В следующей табличке привожу по утренним картам выраженную в процентах от общего числа случаев повторяемость наличия на севере Европейской части СССР и на Дальнем Востоке барического рельефа, отвечающего указанному требованию.

	1926		1927		1928		1929		1930		
	VII	VIII	VII	VIII	VII	VIII	VII	VIII	VII	VIII	
Север Европейской части СССР	55	42	35	29	61	52	52	45	61	48	Der Norden des Europ. Teils d. USSR
Дальний Восток	77	52	58	52	85	65	88	76	72	81	Ferner Osten

Эта табличка может служить безусловным подтверждением реальности существования желоба пониженного давления в указанных районах. Процент случаев, подходящих под вытекающее из нее правило, меньше на севере Европ. части Союза и велик на Дальнем Востоке, где муссон вполне отчетливо выражен.

Для севера Азии синоптические карты не дают необходимого для проверки материала, здесь доступна пока только проверка по среднему распределению направления преобладающего ветра. На картах средних изобар стрелками показаны направление и повторяемость преобладающего ветра, причем под преобладающим ветром подразумевается ветер от квадранта с наибольшей повторяемостью. Расположение стрелок показывает, что действительно во всей приморской полосе на севере и на востоке материка в летние месяцы от морского берега до оси желоба преобладает ветер с моря, по другую же сторону оси желоба ветер с суши. Ось желоба определяет таким образом среднее положение предела проникновения летнего муссона внутрь материка. Здесь спорным является лишь вопрос, можно ли назвать муссоном систему летних ветров на севере, где притекающие с моря массы воздуха не отличаются теми свойствами, как массы воздуха, приносимые муссонами Индийским и Дальневосточным с теплых морей,

Es wurde bisher der Furche niedrigen Luftdruckes in den Sommermonaten, die auf den Karten der mittleren Isobaren zum Vorschein kommt, wenig Aufmerksamkeit geschenkt. Vor allem lässt sich die Frage aufwerfen, ob diese Furche Vorgänge widerspiegelt, die tatsächlich in dem breiten Küstenstreifen Eurasiens im Nord, Ost und Süd stattfinden, oder ob es sich um ein Ergebnis falscher Anwendung der statistischen Methode handelt. Es ist kein Grund vorhanden zu zweifeln, dass letztere Vermutung durchaus haltlos ist. Im Norden von Vorder- und Hinterindien fällt der Luftdruck in den Sommermonaten so stark, dass die Realität einer Furche hier zur Gewissheit wird.

In zwei Rayons, und zwar im Norden des Europäischen Teils der USSR und im Osten vom Baikal bis zur Tatarischen Strasse und dem Japanischen Meere, lässt sich eine genügend zuverlässige Kontrolle nach den Wetterkarten vornehmen. Bei dieser Kontrolle lässt sich feststellen, ob nach den Wetterkarten in der Tat häufig an den einzelnen Tagen der Luftdruck von der Meeresküste ungefähr bis zu der auf den Karten der mittleren Isobaren sich hinziehenden Furche niedrigen Druckes fällt und darauf mit der Entfernung vom Meere ansteigt. Diese Kontrolle wurde für die Sommermonate der Jahre 1926—1930 ausgeführt. Für frühere Jahre fehlen auf den Wetterkarten Angaben für den Fernen Osten. In nachfolgender Tabelle gebe ich nach den Morgenkarten die in Prozentsatz zur Gesamtzahl der Fälle ausgedrückte Häufigkeit der Tage mit dem den erwähnten Anforderungen entsprechenden barischen Relief im Norden des Europäischen Teils der USSR und im Fernen Osten.

Die Tabelle kann entschieden als Bestätigung der Realität einer Existenz einer Furche niedrigen Druckes in angegebenen Gebiete dienen. Der Prozentsatz der Fälle, die von der sich aus der Tabelle ergebenden Regel nicht abweichen, ist geringer im Norden des Europäischen Teils der Union und gross im Fernen Osten, wo der Monsun vollständig deutlich ausgeprägt ist.

Für den Norden Asiens bieten die Wetterkarten kein zur Kontrolle brauchbares Material, hier ist nur eine Prüfung nach der mittleren Verteilung des vorherrschenden Windes möglich. Auf den Karten der mittleren Isobaren im Atlas ist durch Pfeile die Richtung und Häufigkeit des vorherrschenden Windes angegeben, wobei unter «vorherrschendem» Winde der Wind aus dem Quadranten grösster Häufigkeit zu verstehen ist. Die Verteilung der Pfeile zeigt, dass in der Tat in den Sommermonaten im ganzen Küstenstreifen im Norden und Osten des Kontinents, von der Küste bis zur Achse der Furche Wind vom Meere her vorherrscht, auf der anderen Seite dieser Achse aber Landwind. Auf diese Weise bestimmt die Achse der Furche die mittlere Lage der Grenze, bis zu der der Sommer-Monsun landeinwärts vordringt. Strittig könnte die Frage sein, ob man berechtigt ist das System der Sommerwinde im Norden als Monsun anzusprechen, wo ja die vom Meere zuströmenden Luftmassen sich nicht durch die gleichen Eigenschaften auszeichnen, wie diejenigen, die der Mon-

а именно большим содержанием водяного пара и относительно высокой температурой. Во всяком случае и на севере годовая периодичность ветров, отвечающая годовой периодичности в районах Индийского и Дальневосточного муссонов, проявляется вполне определенно и находит отчетливое отражение на картах средних изобар.

Дальневосточные муссоны были впервые изучены А. И. Воейковым¹⁾. Между его данными о распространении муссонов и моими картами нет противоречий, но при построении новых карт были использованы наблюдения для гораздо большего числа станций и в частности имелись наблюдения для Манчжурии. Можно отметить также еще не опубликованные наблюдения, хотя и за короткие периоды, в двух пунктах в районах, где А. И. Воейков склонен был указать предел, до которого достигают летние муссоны. Обе станции были организованы П. К. Козловым.

А. И. Воейков на основании наблюдений Н. М. Пржевальского отмечает²⁾, что летом в В. Монголии с Алашанью и Ордосом и в горах Восточного Нан-Шаня господствуют юго-восточные ветры, но очень слабые, и что в большей части Вост. Туркестана преобладают западные ветры. В настоящее время имеются хотя и за короткое время еще не опубликованные наблюдения станций, организованных П. К. Козловым во время его экспедиций в Монголию и Китай. Одна из этих станций регулярно работала на Алашани в Дын-Юань-Ин'е на высоте 1515 м над уровнем моря с июля 1908 г. до мая 1909 г. Из ее наблюдений могут быть нами использованы данные о повторяемости ветров разных направлений только за июль и август 1908 г. В июле ветер с юга и от восточных румбов дул 22 раза (из 93 сроков), в августе—51 раз.

Вторая станция П. К. Козлова действовала с мая 1900 г. по июль 1901 г. в Цайдаме в селении Хырма Барун-Цзасака на высоте 2860 м над уровнем моря. Здесь мы имеем летом явное преобладание северо-западных ветров, как это видно из следующей таблички.

	1900					1901		
	V	VI	VII	VIII	IX	V	VI	VII
N	2	2	6	6	7	6	10	10
NW	38	31	33	24	18	23	27	22
W	14	4	4	5	10	15	7	11
Остальные румбы Die übrigen Windstriche	7	29	24	26	30	26	26	23

Приведенные данные подтверждают указания А. И. Воейкова и позволяют заключить, что предел распространения летнего муссона, а вместе с тем и ось полосы пониженного давления, проходят между Алашанью и Ордосом с одной стороны и Цайдамом с другой.

¹⁾ А. И. Воейков. Климат области муссонов Восточной Азии. Известия Р. Геогр. Общ. за 1879 г.

²⁾ А. И. Воейков. Метеорологические наблюдения Н. М. Пржевальского. Научные результаты путешествий Н. М. Пржевальского. Издание Р. Геогр. Общ. 1895.

sun Indiens und des Fernen Ostens von den warmen Meeren herrschaft, mit ihrem grossen Feuchtigkeitsgehalt und ihrer relativ hohen Temperatur. Jedenfalls äussert sich auch im Norden die der jährlichen Periodizität des Monsuns Indiens und des Fernen Ostens entsprechende jährliche Periodizität der Winde vollständig scharf und spiegelt sich deutlich auf den Karten der mittleren Isobaren wieder.

Der Monsun des Fernen Ostens ist zuerst von A. J. Wojeikoff¹⁾ untersucht worden. Zwischen seinen Angaben über die Verbreitung des Monsuns und meinen Karten sind keine Widersprüche vorhanden, es wäre dabei nur zu bemerken, dass beim Entwerfen der neuen Karten Beobachtungen von einer weit grösseren Anzahl von Stationen verwertet wurden und, was von besonderer Bedeutung war, dass Beobachtungen aus der Mandshurei vorlägen. Gleichfalls wären auch die noch nicht veröffentlichten Daten für ein Jahr von zwei Stationen in China zu erwähnen und zwar aus einem Rayon, wo nach A. J. Wojeikoff die Grenze, bis zu der der Sommermonsun vordringt, sich befindet. Beide Stationen waren von P. K. Koslow gegründet worden.

Auf Grund der Beobachtungen von N. M. Prshewalsky folgert A. J. Wojeikoff, dass in der östlichen Mongolei mit dem Alaschan und Ordos und in den Gebirgen des östlichen Nan-Schan sehr schwache Südwestwinde vorherrschen und dass im grössten Teil Ost-Turkestans Westwinde prävalieren. Zur Zeit verfügen wir über noch nicht veröffentlichte, freilich kurzfristige Beobachtungen der von P. K. Koslow während seiner Expeditionen in die Mongolei und nach China eingerichteten Stationen. Die eine dieser Stationen funktionierte auf dem Alaschan in Dyn-Juan-In in einer Seehöhe von 1515 m vom Juli 1908 bis zum Mai 1909. Von ihren Beobachtungen können wir hier die Daten über Häufigkeit der Winde verschiedener Richtung nur für Juli und August 1908 verwerthen. Im Juli wehte der Wind aus Süd und von den östlichen Strichen 22 Mal (bei 93 Terminen), im August 15 Mal.

Die zweite Station wurde von P. K. Koslow in Zaidam in der Ansiedelung Chyrma Barun-Tsassak in 2860 m Seehöhe organisiert. Ihre Beobachtungen beziehen sich auf die Periode vom Mai 1900 bis Juni 1901. Hier sehen wir im Sommer ein deutliches Vorherrschen der Nordwestwinde, wie aus nachfolgender Tabelle ersichtlich ist.

Die angeführten Daten bestätigen die Ergebnisse Wojeikoff's und gestatten den Schluss, dass die Grenze des Gebiets des Sommer-Monsuns und somit auch die Achse der Furche niedrigen Druckes zwischen Alaschan und Ordos einerseits und Zaidam anderseits hinzieht.

¹⁾ A. J. Wojeikoff. Das Klima im Gebiet der Monsune Fernen Ostens. Iswestija der Russ. Geogr. Gesellschaft. 1879.

²⁾ A. J. Wojeikoff. Die meteorologischen Beobachtungen N. M. Prshewalsky's. Wissenschaftliche Ergebnisse der Reisen von N. M. Prshewalsky. Herausg. von d. Russ. Geogr. Ges. 1895 (russ.).

Таким образом приходим к выводу, что изображенный на картах средних изобар за летние месяцы желоб пониженного давления на севере, востоке и юге Евразии имеет вполне реальное значение и находится в тесной связи с распределением преобладающих ветров, в частности с муссонами.

Из других особенностей режима давления кроме рассмотренных выделяются периодические изменения форм барического рельефа над горными районами и над обширными внутренними водоемами.

Что касается внутренних водоемов, то прекрасные образцы типов летнего и зимнего барического рельефа над таким водоемом (Адриатическое море) находим у Нанна, давшего и объяснение их. Из наших внутренних водоемов, по характерному расположению средних изобар над ними, выделяется Черное море, над которым в летние месяцы мы имеем второстепенный максимум давления, охваченный замкнутыми изобарами, а в зимние месяцы второстепенный минимум тоже с замкнутыми изобарами. Над Каспийским морем форма изобар и в особенности их выпуклости свидетельствуют об их связи с термическим режимом. Аналогичную, меняющуюся по сезонам форму изобар имеют Балтийское море и Байкал.

Любопытную особенность представляют средние изобары в южной части Черного моря и в западной части Каспийского моря в мае. Вдоль южного берега Черного моря тянется узкая полоса повышенного давления; вдоль западного берега Каспийского моря изобара 761 мм ограничивает узкую полосу повышенного давления, которая образует выдвинутый к югу язык. Такая особенность в распределении давления имеет чисто местное значение и, очевидно, связана с прибрежной циркуляцией такого же характера, как и бризы, но отличающейся от них тем, что она претерпевает течение суток изменения интенсивности, но не меняет своего направления. В переходный весенний период, когда поверхностный слой водоемов оказывается еще по сравнению с сушей слабо нагретым, при спокойном состоянии атмосферы, круглые сутки дует ветер с моря. Указание на наличие такой же прибрежной циркуляции имеется и на восточном побережье Балтийского моря, где в мае преобладает ветер с моря, не согласующийся с общим распределением среднего давления воздуха в данном районе.

Над горными районами и в частности над плоскогорьями приведенные к уровню моря средние изобары зимних месяцев указывают на наличие местных максимумов давления, а изобары летних месяцев на существование местных минимумов давления, но при этом без проверки нельзя утверждать, что в отмеченных случаях барический рельеф действительно отображает циркуляцию над горными массивами. В пределах СССР и в прилегающих районах других стран наши изобары выделяют местные зимние максимумы и летние минимумы на Армянском нагорье в Закавказье и на Карпатах. Другие обширные горные массивы не обставлены достаточным числом метеорологических станций для изучения местных особенностей барического рельефа.

Als Ergebnis der obigen Untersuchung kann angeführt werden, dass die auf den Karten der mittleren Isobaren für die Sommermonate zum Ausdruck gebrachte Furchen niedrigen Luftdrucks im Norden, Osten und Süden Eurasiens reale Bedeutung hat und mit der Verteilung der vorherrschenden Winde, besonders des Monsuns, in engster Beziehung steht.

Aus der Zahl der übrigen Eigentümlichkeiten des barischen Reliefs, ausser den bereits erwähnten, ist weiter die periodische Änderung des barischen Reliefs über Gebirgen, wie auch über Binnenmeeren und grossen Seen zu berücksichtigen.

Was die Binnenmeere betrifft, so finden wir bei Hann für ein solches (Adriatisches Meer) ausgezeichnete Beispiele für Typen barischen Reliefs des Sommers und des Winters, wobei von ihm auch die bezüglichlichen Erklärungen gegeben sind. Unter unseren Binnenmeeren ist das Schwarze Meer besonders zu erwähnen, welches sich durch charakteristische Anordnung der mittleren Isobaren auszeichnet. Über diesem Meere lagert in den Sommermonaten ein sekundäres, von geschlossenen Isobaren umfasstes Luftdruck-Maximum, in den Wintermonaten hingegen ein, auch von geschlossenen Isobaren umgebenes sekundäres Minimum. Über dem Kaspi zeugen die Form und besonders die Ausbuchtungen der Isobaren für die Abhängigkeit der Luftdruckverteilung vom thermischen Regime. Analoge, sich nach der Saison ändernde Isobarenformen haben auch die Ostsee und der Baikalsee.

Eine interessante Form zeigen die mittleren Isobaren im südlichen Teil des Schwarzen Meeres und im westlichen des Kaspi im Mai. Längs dem Südufer des Schwarzen Meeres zieht sich ein schmaler Streifen, in dem der Druck höher ist als in der Umgebung; längs dem Westufer des Kaspi begrenzt die Isobare 761 mm ebenfalls einen schmalen Streifen höheren Druckes, der eine nach Süden vorspringende Zunge bildet. Eine derartige Eigentümlichkeit der Luftdruckverteilung hat rein lokale Bedeutung und steht offenbar im Zusammenhang mit einer den Brisen analogen Zirkulation, die sich jedoch von den Brisen dadurch unterscheidet, dass sie wohl Intensitätsänderungen mit täglicher Periode, jedoch keine periodischen Richtungsänderungen erleidet. Im Frühjahr, wo die obere Wasserschicht der Meere im Vergleich zum Lande noch schwach durchwärmt ist, weht bei ruhigem Zustande der Atmosphäre, Tag und Nacht Seewind. An der Ostküste der Ostsee ist eine ebensolche Küstenzirkulation angedeutet; der im Mai hier vorherrschende Seewind steht mit der mittleren Luftdruckverteilung nicht im Einklang.

Über Gebirgsrayons und besonders über Hochplateaus weisen die auf das Meeresniveau reduzierten mittleren Isobaren der Wintermonate auf lokale Luftdruckmaxima hin, auf den Isobarenkarten der Sommermonate finden wir dagegen daselbst sekundäre Minima, jedoch bedarf es einer Bestätigung auf Grund anderer Tatsachen, ob das barische Relief tatsächlich die Zirkulation über Gebirgsmassiven widerspiegelt. Im Bereich der USSR und in den anliegenden Rayons der Nachbarländer heben sich auf unseren Isobarenkarten sekundäre Maxima im Winter und sekundäre Minima im Sommer im Armenischen Hochlande Transkaukasiens und in den Karpaten ab. Andere grosse Bergmassive sind nicht mit genügender Zahl meteorologischer Stationen bestellt, die das Studium lokaler Eigentümlichkeiten des barischen Reliefs ermöglicht hätten.

Выше мною разобран вопрос, имеют ли средние изобары на уровне моря в Закавказье реальное значение в том смысле, что они отражают циркуляцию над горным массивом. Рассмотренные данные и помещенные в Атлас карты изобар для высот 1000 м и 1500 м над уровнем моря, приводят к заключению, что и изобары на уровне моря позволяют ориентироваться относительно главных особенностей циркуляции над горным массивом. Разумеется, построением средних изобар на уровне моря, а также и на различных высотах над ним далеко не исчерпывается вопрос о циркуляции в горной стране, но для изучения ее требуются систематические наблюдения над воздушными течениями с учетом особенностей рельефа и с применением всех доступных для этой цели методов. К таким исследованиям в наших горных странах без сомнения будет приступлено в ближайшее время, но в этой работе я был вынужден довольствоваться лишь ориентировочными данными.

X

Годовой ход давления воздуха

Прежде всего остановимся на годовом ходе давления на уровне океана, так как рассмотрение годовых колебаний без увязки со средними изобарами не может дать правильного представления о режиме давления. Уже Н а н ¹⁾ обратил внимание на то, что относительно легко поддается объяснению годовой ход давления среди океанов и обширных материков, но большие трудности встречаются при объяснении его в переходных областях, климат которых в равной мере находится в зависимости от влияния океанов и материков. Такие области занимают немалые пространства и в пределах СССР, а поэтому задача этой главы относится к весьма сложным. В прежних трудах, посвященных давлению воздуха на территории Союза, она почти не затрагивалась. Собранный мною материал по изучению давления в СССР позволяет более детально охарактеризовать разные типы годового хода давления на уровне океана и распределение годовых колебаний на территории Союза, но сам по себе тоже не разрешает указанной задачи.

В приложенном Атласе помещены графики годового хода давления на уровне океана, которые облегчают ориентировку относительно разных типов годовых колебаний. В приложении Е показано время наступления максимумов и минимумов годового хода давления по месячным средним, а также годовая амплитуда давления на уровне океана тоже по месячным средним, в таблице F приведены наибольшие и наименьшие месячные и годовые средние величины давления на уровне моря. В нижеследующей таблице даются для станций, являющихся представителями отдельных типов годового хода давления, средние месячные величины, приведенные к уровню моря.

Из приведенных 4 типов годового хода давления один распадается на 3 подтипа и представляется в целом доминирующим.

¹⁾ J. H a n n. Verteilung des Luftdrucks über Mittel- und Süd-Europa. Wien, 1887.

Обен habe ich die Frage untersucht, ob die mittleren Isobaren im Meeresniveau für Transkaukasien reale Bedeutung in dem Sinne haben, dass sie die Zirkulation über Bergmassiven widerspiegeln. Die verarbeiteten Beobachtungsergebnisse und die im Atlas gegebenen Karten der Isobaren für 1000 m und 1500 m über dem Meeresspiegel führen zum Schluss, dass auch Isobaren im Meeresniveau eine Orientierung über die hauptsächlichsten Eigentümlichkeiten der Zirkulation über Gebirgsmassiven gestatten. Selbstverständlich genügt das Entwerfen mittlerer Isobaren für das Meeresniveau und auch für verschiedene Höhen über demselben nicht, um die Frage über Zirkulation im Gebirgsgelände zu lösen, denn zum Studium derselben bedarf es systematischer Beobachtungen über Luftströmungen mit Berücksichtigung der Eigentümlichkeiten des Reliefs und mit Anwendung aller uns zugänglichen bezüglichen Methoden. Ein solches Studium der Zirkulation in unseren Gebirgen wird wohl in nächster Zukunft in Angriff genommen werden, in dieser Arbeit war ich aber genötigt mit einer vorläufigen Orientation über diesen Gegenstand mich zu begnügen.

X

Der Jahresgang des Luftdrucks

Es ist wohl am zweckmässigsten dieses Kapitel mit der Untersuchung des Jahresganges des Luftdrucks im Meeresniveau zu beginnen, da das Studium ohne Anschluss an die mittleren Isobaren keine richtige Vorstellung über das Regime des Luftdrucks ergeben kann. Bereits H a n n ¹⁾ lenkte die Aufmerksamkeit darauf, dass sich der Jahresgang des Luftdrucks über Ozeanen und grossen Kontinenten verhältnismässig leicht erklären lasse, ungleich grössere Schwierigkeiten dagegen für Übergangsgebiete vorlägen, deren Klima in gleichem Masse von den Ozeanen wie auch von den Kontinenten abhängt. Zu solchen Gebieten gehören in der USSR sehr bedeutende Landesteile und daher wird die Aufgabe dieses Kapitels zu einer sehr komplizierten. In früheren, dem Luftdruck auf dem Territorium der Union gewidmeten Arbeiten ist sie kaum berührt worden. Das von mir zwecks Studiums des Luftdrucks in der USSR gesammelte Material gestattet zwar eine mehr detaillierte Schilderung des Jahresganges des Luftdrucks im Meeresniveau und der Verteilung seiner Jahresschwankungen auf dem Territorium der Union, genügt aber zur Lösung der gestellten Aufgabe nicht.

Im beigegebenen Atlas finden sich graphische Tabellen des Jahresganges des Luftdrucks im Meeresniveau, die eine Orientierung über die verschiedenen Typen der Jahresschwankungen erleichtern. In der Beilage E sind die Eintrittszeiten der Maxima und Minima des Jahresganges des Luftdrucks nach Monatsmitteln und auch die Jahresamplituden des Luftdrucks im Meeresniveau, ebenfalls nach Monatsmitteln, gegeben, die Tabelle F enthält Maxima und Minima der Monats- und Jahresmittel des Luftdrucks ebenfalls im Meeresniveau. In der nachstehenden Tabelle sind für die Stationen, die zu den Vertretern der einzelnen Typen des Jahresganges des Luftdrucks gehören, die auf Meeresniveau reduzierten Monatsmittel angeführt.

Einer der angeführten 4 Typen des Jahresganges des Luftdrucks zerfällt in 3 Untertypen und muss als der vorherrschende angesprochen werden.

¹⁾ J. H a n n. Verteilung des Luftdrucks über Mittel- und Süd-Europa. Wien, 1887.

Для I типа является характерной тесная связь с годовым ходом температуры воздуха. Минимум на всех станциях этой группы приходится на июль, максимум на январь (IA и IC) или на февраль (IB).

В феврале наблюдается самое высокое давление в Западной Сибири (IA) и в Казакстане, в январе в средней полосе Европейской части СССР, в Забайкалье, Якутии, Средней Азии и на Кавказе (IB). В подгруппу IC выделены районы, прилегающие к Черному и Каспийскому морям, а также к Татарскому проливу и Японскому морю.

Три перечисленные подгруппы различаются также по величине амплитуды годовых колебаний; наибольшие амплитуды свойственны подтипу IA (25.4 мм в Урге до 14.1 мм в Казалинске), среднее положение занимает подтип IB с амплитудами от 19.0 мм (в Минусинске) до 9.8 мм (в Сургуте); наименьшие величины характерны для подтипа IC (от 15.3 мм в Благовещенске и 6.4 мм в Киеве). Станции, относящиеся к этому подтипу, мало отличаются по приведенному к уровню моря среднему давлению за месяцы май, июнь, июль и август.

С. Д. Грибоедов¹⁾, неудовлетворенный данными, использованными в Климатологическом Атласе 1900 г., решил вычислить «более точные» средние величины для 4 зимних месяцев за 20 лет (1890—1909 г.) и для приведения их к уровню моря воспользоваться определенными им новыми высотами, не указывая однако оснований для сделанных им исправлений. Он получил сильно расходящиеся с данными Атласа результаты, впрочем нуждающиеся еще в проверке.

Главный вывод, к которому он на основании полученных им данных приходит, сводится к тому, что на обширной территории Азиатской части СССР максимум давления на уровне моря наступает в феврале и что это указывает на наибольшее развитие Сибирского антициклона именно в этом месяце.

На основании более продолжительных наблюдений, правда, за более ранние годы, А. А. Тилло²⁾ нашел для той же территории максимум давления на уровне моря в январе. Вычисленные мною тридцатилетние средние (1881—1910) в общем дают ход давления на уровне моря в зимние месяцы более или менее сходный с данными С. Д. Грибоедова.

Чтобы разобраться в вопросе о том, чьим результатам следует отдать предпочтение, обратимся к данным о средней изменчивости давления воздуха в зимние месяцы (XII, I, II), приведенным в таблице IV. В этой таблице даны следующие величины изменчивости зимних месяцев.

Нижний Новгород	+4.41 мм	Богословск	+3.76 мм
Казань	4.40	Свердловск	3.71
Вятка	4.25	Томск	2.70
Земетчино	4.17	Барнаул	2.17

Томск и Барнаул расположены в переходной полосе, для остальных же станций получилась изменчивость большая, не обеспечивающая по данным за 30 лет точности в определении средних месячных давления в пределах до

Для Typus I ist enge Beziehung zum Jahresgang der Lufttemperatur charakteristisch. Das Minimum fällt auf allen Stationen dieser Gruppe auf den Juli, das Maximum auf den Januar (IA. u. IC.) oder auf den Februar (IB).

Im Februar kommt der höchste Luftdruck über Westsibirien (IA) und über Kasaksstan, im Januar über dem mittleren Teil des Europäischen Teils der USSR, Transbaikalien, Jakutien, Mittelasien und dem Kaukasus (IB) zur Beobachtung. Zum Untertypus IC gehören die dem Schwarzen und dem Kaspischen Meere, wie auch der Tatarischen Strasse und dem Japanischen Meere anliegenden Gebiete.

Die 3 angeführten Untertypen unterscheiden sich auch nach dem Betrage der Jahresschwankung; die grösste Amplitude ist dem Untertypus IA (25.4 mm in Urga bis 14.1 mm in Kasalinsk) eigen, ein Zwischenglied bildet Untertypus IB mit einer Amplitude von 19.0 mm (Minussinsk) bis 9.8 mm (Surgut) und die geringsten Werte sind für den Untertypus IC (von 15.3 mm in Blagoweschtschensk bis 6.4 mm in Kiew) charakteristisch. Auf den Stationen dieser Gruppe unterscheiden sich die auf das Meeresniveau reduzierten Luftdruckmittel für Mai, Juni, Juli und August wenig von einander.

S. D. Gribojedov²⁾, den die im Klimatologischen Atlas von 1900 verwerteten Daten nicht befriedigten, hielt es für geraten «genauere» Mittelwerte für 4 Wintermonate aus den Beobachtungen einer 20-jährigen Reihe (1890—1909) zu berechnen und benutzte bei ihrer Reduktion auf das Meeresniveau von ihm neu bestimmte Seehöhen. Leider teilt er nicht mit, worauf sich seine Korrekturen stützen. Er erhielt sehr stark von den Daten des Atlas abweichende Resultate, die allerdings noch einer Kontrolle bedürfen.

Das Hauptergebnis, zu dem er auf Grund der von ihm erhaltenen Daten gelangt, beschränkt sich darauf, dass über dem umfangreichen Territorium des Asiatischen Teils der USSR das Luftdruckmaximum im Meeresniveau sich im Februar einstellt und dass dieser Umstand auf die grösste Entwicklung der Sibirischen Antizyklone gerade in diesem Monate hinweist.

Auf Grund viel längerer Beobachtungsreihen, die freilich sich auf eine ältere Periode beziehen, fand A. A. Tillo²⁾ das Luftdruckmaximum im Meeresniveau über demselben Territorium im Januar. Die von mir berechneten 30-jährigen (1881—1910) Mittel zeigen einen in den Wintermonaten mehr oder weniger mit den Angaben von S. D. Gribojedov übereinstimmenden Gang des Luftdrucks im Meeresniveau.

Um sich darüber klar zu werden, wessen Ergebnissen der Vorzug zu erteilen sei, wenden wir uns den in Tabelle IV für die Wintermonate (XII, I, II) angeführten Daten über die mittlere Veränderlichkeit des Luftdrucks zu. In dieser Tabelle finden sich folgende Werte für die Veränderlichkeit in den Wintermonaten:

Nishnij Nowgorod	+4.41 мм	Bogoslowsk	+3.76 мм
Kasan	4.40	Sswerdlowsk	3.71
Wjatka	4.25	Tomsk	2.70
Semettschino	4.17	Barnaul	2.17

Tomsk und Barnaul liegen in der Übergangszone, für alle übrigen Stationen indessen erhalten wir eine grosse Veränderlichkeit, die nach den Daten für 30 Jahre eine Genauigkeit der Bestimmung der Monatsmittel des Luftdrucks in den

¹⁾ S. Gribojedov. Les cycles périodiques accomplis dans l'activité de l'anticyclone sibérien. Article second. Géographique. Сборник, т. III, вып. 3, 1917.

²⁾ А. А. Тилло. Распределение атмосферного давления на пространстве Российской Империи и Азиатского материка, 1890.

¹⁾ S. Gribojedov. Les cycles périodiques accomplis dans l'activité de l'anticyclone sibérien. Article second. Recueil de Géophysique. T. III, fasc. 3, 1917.

²⁾ A. Tillo. Répartition Géographique de la pression atmosphériques sur la territoire de l'empire de Russie et sur le continent Asiatique. 1890.

ТАБЛИЦА XIV

TABELLE XIV

СТАНЦИИ	Январь Januar	Февраль Februar	Март März	Апрель April	Май Mai	Июнь Juni	Июль Juli	Август August	Сентябрь September	Октябрь Oktober	Ноябрь November	Декабрь Dezember	№	STATIONEN
ТИП I A														TYPUS I A
Нерчинский Завод	774.2	772.8	767.3	759.9	755.8	753.8	753.2	755.5	760.5	764.4	768.3	771.4	484	Nertschinskij Sawod
Урга (Улан-Батор)	77.5	76.7	70.4	62.6	58.2	59.0	52.1	55.6	62.0	67.0	73.7	76.5	513	Urga (Ulan-Bator)
Чита	74.9	74.0	68.4	61.1	57.1	54.1	53.1	55.8	61.2	65.5	69.6	72.6	481	Tschita
Верхнеудинск	77.2	76.5	71.1	64.0	59.9	56.0	54.2	56.9	63.3	67.5	72.1	74.8	474	Werchneudinsk
Казалинск	70.0	69.6	67.8	63.8	61.5	57.6	55.9	58.4	63.0	67.5	69.2	69.5	533	Kasalinsk
Якутск	71.5	70.7	65.4	60.6	57.3	54.7	54.3	56.3	60.0	62.6	66.0	69.6	402	Jakutsk
Булун	67.8	66.8	63.4	60.2	58.3	57.3	56.4	57.7	60.1	59.5	62.9	66.0	387	Bulun
Дудинка	62.8	62.8	61.9	60.6	59.4	55.8	55.7	56.1	56.6	56.2	59.6	61.9	386	Dudinka
ТИП I B														TYPUS I B
Семипалатинск	73.3	73.9	72.1	66.3	61.9	57.4	55.0	57.2	63.0	68.1	72.0	73.3	507	Ssemipalatinsk
Барнаул	72.3	73.0	71.1	66.3	61.8	57.4	55.5	57.5	63.0	67.1	70.6	72.2	454	Barnaul
Минусинск	73.2	73.8	70.8	65.2	61.2	56.7	54.8	57.2	63.1	66.5	70.9	73.0	459	Minussinsk
Томск	70.0	70.8	69.2	65.1	61.0	56.9	55.4	57.1	62.2	64.8	68.0	69.8	423	Tomsk
Енисейск	70.0	71.1	67.9	63.5	60.1	56.1	55.1	57.0	62.0	64.0	67.1	69.4	427	Enisseisk
Акмолинск	71.4	72.0	70.6	66.6	62.0	57.5	55.6	57.7	63.0	66.7	70.0	71.2	448	Akmolinsk
Свердловск	65.8	66.8	66.5	64.7	61.3	57.7	56.7	57.7	60.8	63.6	64.4	66.2	409	Sswerdlowsk
Тобольск	65.1	66.8	66.0	64.1	60.6	57.2	56.0	56.8	60.0	62.1	63.3	65.4	416	Tobolsk
Сургут	64.9	65.8	65.0	63.9	60.5	57.2	56.0	56.6	59.3	60.6	62.1	64.6	399	Ssurgut
Монастырское	64.6	65.8	64.0	62.1	59.1	55.7	54.8	56.6	58.9	58.2	62.4	64.6	393	Monasstyrscoe
Русское Устье	65.7	66.2	65.4	62.2	60.4	56.9	55.8	58.0	59.1	59.7	61.8	63.2	390	Russkoe Usstje
Николаевск на Амуре	62.9	63.2	61.0	58.1	57.1	56.8	55.7	56.2	58.5	56.6	59.2	59.6	494	Nikolaewsk am Amur
Оренбург	69.0	70.0	68.6	66.2	62.8	58.9	57.9	59.5	63.7	67.3	68.0	69.0	223	Orenburg
Казань	65.7	66.6	66.0	64.8	62.1	58.4	57.2	58.6	62.0	65.0	64.6	65.9	108	Kasan
Нижний-Новгород	64.3	64.9	64.2	63.8	61.9	58.3	57.9	58.6	61.9	64.4	63.6	64.4	101	Nishnij-Nowgorod
Охотск	61.8	62.7	62.0	59.6	59.6	59.4	57.0	58.3	58.9	58.8	58.2	58.0	403	Ochotsk
ТИП I C														TYPUS I C
Астрахань	68.0	67.4	65.4	63.0	61.6	58.8	58.1	59.9	63.6	66.9	67.4	67.8	340	Asstrachan
Тифлис	67.5	66.3	63.9	61.8	61.0	58.7	57.4	58.7	62.3	65.9	66.9	67.4	366	Tiflis
Батум	64.7	63.8	62.1	61.1	60.6	59.4	58.1	58.8	61.5	63.4	64.5	64.4	354	Batum
Керчь	65.4	64.2	62.3	61.2	60.9	59.2	58.3	59.6	62.6	64.4	65.2	65.0	321	Kertsch
Одесса, унив.	68.0	64.6	62.4	61.4	61.1	59.6	59.4	61.0	63.7	64.7	65.5	65.2	295	Odessa, Univ.
Киев	65.5	64.5	62.5	61.8	61.3	59.2	59.1	60.6	63.6	64.9	65.1	64.9	241	Kiew
Никольск-Уссурийский	67.5	66.3	63.4	59.9	56.4	55.3	55.2	56.2	60.2	63.4	65.2	66.0	553	Nikolsk-Ussurijskij
Хабаровск	68.4	65.2	62.4	58.6	55.9	55.1	54.8	56.0	59.8	61.6	63.4	64.1	524	Chabarowsk
Благовещенск	69.5	68.0	64.5	58.7	55.6	54.4	54.2	55.4	59.7	63.0	65.4	67.1	519	Blagoweschtschensk
ТИП II														TYPUS II
Петропавловск на Камчатке	54.0	54.4	57.2	57.2	58.9	60.2	58.4	59.6	58.9	56.2	54.1	51.2	497	Petropawlowsk auf Kamtschatka
Шпицберген ¹⁾	54.1	55.0	57.6	59.7	62.5	59.5	59.7	59.3	56.2	56.7	55.2	55.2	—	Spitzbergen ²⁾
Дуч-Гарбор	52.9	52.4	55.1	57.4	59.7	61.5	62.0	59.2	55.9	53.9	51.3	51.3	—	Dutch-Harbor
ТИП III														TYPUS III
Малые Кармакулы	55.7	56.9	57.4	61.0	59.8	58.7	59.2	58.4	56.6	55.2	54.8	56.3	19	Malye Karmakuly
Териберка	54.3	55.2	56.9	60.9	61.4	60.6	58.6	58.4	57.9	57.3	55.0	55.9	4	Teriberka
Кемь	57.6	58.7	59.2	61.5	61.4	60.0	57.9	57.9	59.2	59.3	57.8	58.7	11	Kem
Архангельск	58.5	59.7	60.0	62.0	61.2	59.6	57.8	57.8	59.2	59.7	58.1	59.6	17	Archangelsk
Усть-Цыльма	59.5	60.2	60.9	62.4	60.7	58.5	57.6	57.5	58.3	59.4	58.5	60.5	21	Ust-Zylma
Каргополь	60.7	61.3	61.3	62.4	61.4	59.1	57.8	57.8	60.3	61.5	60.3	61.2	42	Kargopol
Ленинград	60.4	60.8	60.5	61.7	61.3	59.3	57.8	57.8	60.8	61.2	60.3	60.5	29	Leningrad
Усть-Сысольск (Сык- тывкар)	62.5	62.9	63.0	63.1	61.1	58.2	57.1	57.7	60.1	61.9	61.2	63.1	49	Ust-Ssyssolsk (Ssyk-tywkar)
Вологда	62.3	62.7	62.4	62.8	61.6	58.8	57.8	58.0	61.0	62.7	61.7	62.4	43	Wologda
Обдорск	61.6	61.8	61.5	63.3	60.4	58.2	57.4	57.6	57.3	58.2	59.5	61.8	391	Obdorsk
ТИП IV														TYPUS IV
Ново-Мариинский пост	62.2	62.2	63.4	62.8	61.2	60.2	58.6	58.1	58.1	59.2	59.0	59.9	396	Nowo-Mariinskij Post
Токио	62.3	62.2	62.5	61.7	59.2	57.2	57.1	57.9	60.0	62.8	63.4	62.4	661	Tokio

¹⁾ Приведенные для Шпицбергена данные вычислены на основании наблюдений на станции Green Harbour за время с декабря 1911 г. по июнь 1925 г. ($\varphi = 78^\circ 2'$, $\lambda = 14^\circ 14'$ E, $H = 11.4$ м) в сроки 8 ч., 14 ч. и 20 ч. Данные отнесены к главному барометру Норвежской сети станции.

²⁾ Die für Spitzbergen angeführten Daten sind auf Grund der Beobachtungen der Station Green Harbour ($\varphi = 78^\circ 2'$, $\lambda = 14^\circ 14'$ E, $H = 11.4$ m) für die Zeit Dezember 1911 bis Juni 1925 zu den Terminen 8^h, 14^h u. 20^h berechnet und auf das Hauptbarometer des Norwegischen Stationsnetzes bezogen.

± 0.5 мм. Вероятные погрешности 30-ти летних средних за январь и февраль найдены следующие:

	I	II
Казань	± 0.69 мм	± 0.75 мм
Москва	0.60 «	0.71 »
Свердловск	0.60 «	0.64 »

Приведенные данные говорят за то, что по всей вероятности при достаточно продолжительном периоде вполне точных наблюдений средние месячные величины давления за январь и февраль на уровне моря на территории распространения наиболее высокого среднего давления за зимние месяцы сравняются и что во всяком случае между ними может быть лишь весьма незначительная разница. Таким образом подтипы *IA* и *IB* сольются в один.

На примере этих двух подтипов видим, с какой осторожностью нужно относиться к данным о ходе среднего давления за зимние месяцы, желая на этих данных обосновать те или иные теории.

Подтип *IC* отличается от подтипа *IA* тем, что четыре теплых месяца (V—VIII) имеют мало отличающиеся между собою средние месячные величины давления на уровне моря. Этот подтип встречается на побережьях Черного, Азовского, Каспийского и Японского морей, а также Татарского пролива. Если подтипы *IA* и *IB* являются крайним проявлением континентальности годового хода давления, то подтип *IC* представляет собой переходную форму, которая отличается и общими с первыми двумя подтипами особенностями, о которых будет сказано ниже.

К II типу из числа станций нашей сети относятся только Петропавловск на Камчатке и Никольское на острове Беринге. Для сравнения в таблице приведены данные также для Шпицбергена и Дуч-Гарбора. Этот тип в средних широтах северного полушария является характерным для островов среди океанов и берегов материков, непосредственно прилегающих к открытому океану. Он представляет собой почти полный контраст к типу I, материковому. В Петропавловске на Камчатке максимум давления на уровне моря наступает в июне, минимум в декабре. Для Шпицбергена средние вычислены по наблюдениям за 14 лет и возможно, что максимум и минимум оказываются сдвинутыми по причине недостаточной продолжительности периода наблюдений. Дуч-Гарбор лежит на одном из Алеутских островов. Наблюдения этой станции использованы за 1901—1920 г.г. Для иллюстрации II типа даю еще приведенные к 50-ти летнему периоду проф. Горчинским¹⁾ данные для ряда станций, расположенных по берегам Атлантического океана.

Границы до ± 0.5 мм не сходятся. Es ergaben sich folgende wahrscheinliche Fehler der 30-jährigen Mittelwerte für Januar und Februar.

	Januar	Februar
Kasan	± 0.69 мм	± 0.75 мм
Moskau	0.60 «	0.71 »
Sswerdlowssk	0.60 «	0.64 »

Die angeführten Daten sprechen dafür, dass höchstwahrscheinlich nach einer genügend langen einwandfreien Beobachtungsreihe abgeleitete Monatsmittel im Meeresniveau für Januar und Februar im Bereich des Gebiets, wo der Luftdruck besonders hoch ist, sich ausgleichen würden, oder dass in jedem Falle zwischen ihnen nur eine sehr unbedeutende Differenz bestehen dürfte. Auf diese Weise würden die Untertypen *IA* und *IB* mit einander verschmelzen.

Das Beispiel dieser zwei Untertypen zeigt uns, mit welcher Vorsicht man an Angaben über den Gang des mittleren Luftdrucks in den Wintermonaten heranzutreten hat, wenn man durch diese Daten die eine oder die andere Theorie zu begründen wünscht.

Der Untertypus *IC* unterscheidet sich vom Untertypus *IA* dadurch, dass die vier warmen Monate (V—VIII) wenig von einander abweichende Monatsmittel des Luftdrucks im Meeresniveau aufweisen. Diesen Untertypus finden wir in der Küstenzone des Schwarzen und Asowschen, des Kaspischen und Japanischen Meeres, wie auch an der Tatarischen Strasse. Wenn die Untertypen *IA* und *IB* als extremer Ausdruck des Kontinentalcharakters des Jahresgangs des Luftdrucks aufzufassen sind, so bildet der Untertypus *IC* die Übergangsform, die gewisse Eigentümlichkeiten, von denen weiter unten die Rede sein wird, mit den beiden ersten Untertypen gemein hat.

Zum Typus II gehören aus der Zahl der Stationen unseres Netzes nur Petropawlowsk auf Kamtschatka und Nikolskoe auf der Behrings-Insel. Zum Vergleich wird in der Tabelle XIV auch Spitzbergen und Dutch Harbor aufgeführt. Dieser Typus ist in den mittleren Breiten der nördlichen Halbkugel charakteristisch für Inseln mitten im Ozean und für Küsten des Kontinents, die unmittelbar vom Ozean bespült werden, und steht in fast vollem Kontrast zum Typus I, nämlich zum Kontinentaltypus. In Petropawlowsk auf Kamtschatka fällt das Luftdruckmaximum im Meeresniveau auf den Juni, das Minimum auf den Dezember. Für Spitzbergen sind die Mittel aus 14-jährigen Beobachtungen berechnet, wobei die Annahme nicht ausgeschlossen ist, dass sowohl das Maximum wie auch das Minimum infolge zu kurzer Dauer der Beobachtungen verschoben sein dürfte. Dutch Harbor liegt auf einer der Inseln des Aleutenarchpiels. Die Beobachtungen dieser Station beziehen sich auf die Jahre 1901—1920. Zur Illustrierung des Typus II gebe ich nachfolgend die von Prof. W. Gorczyński¹⁾ auf eine 50-jährige Periode reduzierten Daten für eine Reihe an den Küsten des Atlantischen Ozeans gelegener Stationen

	φ	λ	H	I	II	III	IV	V	VI	VII	VIII	IX	X	XI	XII
Thorshavn	62° 2'	— 6° 44'	9 m	752.1	754.8	755.9	759.4	760.5	760.8	758.1	757.4	757.0	755.9	754.5	752.5
Helder	52 58	4 46	—	61.3	61.9	59.9	60.9	61.6	62.0	61.0	60.8	61.7	59.7	60.5	60.9
Brest	48 23	— 4 30	10	62.8	63.3	61.5	61.2	62.0	63.4	63.4	62.9	62.9	60.8	61.6	62.7
Valentia	51 55	— 10 18	7	58.8	60.5	60.0	60.1	60.8	62.0	61.6	61.0	61.0	58.9	60.2	59.8

¹⁾ W. Gorczyński. Pression atmosphérique en Pologne et en Europe. 1917.

¹⁾ L. Gorczyński. Pression atmosphérique en Pologne et en Europe. 1917.

Более выпукло выявлен океанический тип годового хода давления над северной частью Атлантического океана в труде Defant¹⁾, где даны графики годового хода для середины океана под широтами от 10° до 75°. Из этих графиков вытекает, что по середине океана амплитуда годовых колебаний с юга на север возрастает и под широтой около 55° достигает 12 мм. Процесс переливания воздушных масс в теплый сезон с материков на океан и наоборот в холодный сезон с океана на материки отражается весьма явственно в кривых годового хода давления на океанах и на материках.

Остальные типы годового хода являются переходными, но обладают и своими специфическими особенностями.

III тип встречаем на Новой Земле, на Кольском полуострове, на севере и северо-западе Европейской части СССР вообще, в низовьях Оби и в районе Чукотского полуострова. Характерной особенностью этого типа является наступление максимума в апреле и минимума в июле или августе, местами в сентябре. Расположение средних изобар на апрельской карте указывает на существование барометрического максимума над полярным бассейном к северу от Чукотского полуострова. Этот максимум простирается до Гренландии. Температурные градиенты, направленные с материков в сторону полярного бассейна, а местами с моря на сушу, зимой бывают в общем незначительны. Зима в полярном бассейне заканчивается гораздо позже чем на материке и поэтому в весенние месяцы градиенты температуры с суши на море усиливаются, в результате чего и происходит отток воздуха с материка на Полярное море, а вместе с тем и повышение давления над восточной частью Полярного бассейна. На побережье Полярного моря от устья Индыгирки до устья Енисея в апреле полярный максимум давления не надвигается и здесь годовой ход давления отличается особенностями свойственными I типу (Русское Устье, Булун, Дудинка). В северной половине Европейской части Союза и в низовьях Оби среднее давление в апреле повышается и достигает максимума в годовом ходе. Едва ли можно предположить здесь приток масс воздуха со стороны полярных морей, так как вдоль северо-западного и северных берегов Европы тянется выступ Исландского барометрического минимума. Очевидно, повышение давления на рассматриваемой территории происходит за счет разрушающейся западной ветви Азиатского максимума, тем более, что в апреле южная половина Европейской части значительно теплее северной.

IV тип представлен в таблице только двумя станциями, так как побережье Тихого океана и восточных морей обставлено станциями далеко недостаточно. Характерными здесь являются малые годовые колебания давления при весьма незначительных изменениях средних месячных как в холодный так и в теплый сезон. Благодаря малым изменениям от месяца к месяцу нельзя утверждать, что при удлинении периода наблюдений или замене одного периода

Но еще deutlicher ist der ozeanische Typus des Jahresganges des Luftdrucks über dem nördlichen Teil des Atlantischen Ozeans in der Arbeit von A. Defant¹⁾ ausgeprägt, in der graphische Tabellen für den Jahresgang über der Mitte des Atlantischen Ozeans in den Breiten von 10° bis 75° N gegeben sind. Aus diesen graphischen Darstellungen erhellt, dass mitten über dem Ozean die Jahresschwankung vom Süden zum Norden ansteigt und unter dem 55° Breitengrad 12 mm erreicht. Der Transport der Luftmassen in der warmen Jahreszeit von den Kontinenten zum Ozean und umgekehrt in der kalten Jahreszeit vom Ozean auf die Kontinente kommt in den Kurven des Jahresganges des Luftdrucks über den Ozeanen und auf den Kontinenten sehr deutlich zum Ausdruck.

Die übrigen Typen des Jahresganges tragen einen Übergangscharakter, haben jedoch auch ihre spezifischen Eigentümlichkeiten.

Typus III findet sich auf Nowaja-Semlja, auf der Kola-Halbinsel, überhaupt im Norden und Nordwesten des Europäischen Teils der USSR, am Unterlauf der Ob und im Rayon der Tschuktschen-Halbinsel. Seine charakteristische Eigentümlichkeit besteht darin, dass das Maximum im April und das Minimum im Juli oder August, stellenweise im September eintritt. Die Verteilung der mittleren Isobaren auf der April-Karte weist auf das Vorhandensein eines Hochs über dem Polarbecken nördlich von der Tschuktschen-Halbinsel hin. Dieses Maximum reicht bis nach Grönland. Die von den Kontinenten zum Polarbecken und stellenweise vom Meer zum Festlande zur Beobachtung kommenden Temperaturgradienten sind im Winter im allgemeinen unbedeutend. Da im Polarbecken der Winter bedeutend später als auf dem Festland endet, wächst im Frühling der Temperaturgradient vom Kontinent zum Meere und infolgedessen findet ein Abströmen der Luft vom Festlande zum Polarmeer statt, was seinerseits eine Drucksteigerung über dem östlichen Teil des Polarbeckens hervorruft. Von der Mündung der Indygirka bis zur Mündung des Enissei erreicht das Polarmaximum im April nicht die Küste und in Folge dessen zeigt hier der Jahresgang des Luftdrucks den dem Typus I eigenen Charakter (Russkoe Ustje, Bulun, Dudinka). In der nördlichen Hälfte des Europäischen Teils der USSR und am Unterlauf der Ob steigt das Luftdruckmittel im April und erreicht damit sein Maximum im Jahresgange. Hier kann man wohl kaum ein Zuströmen von Luftmassen vom Polarmeer voraussetzen, da ja längs der Nord-West- und Nordküste Europas sich ein Ausläufer des Isländischen Tiefs hinzieht. Offenbar vollzieht sich auf dem erwähnten Territorium ein Druckanstieg auf Kosten des sich auflösenden westlichen Zweiges des Asiatischen Maximums, umsomehr da im April die südliche Hälfte des Europäischen Teils der Union bedeutend wärmer ist, als die nördliche.

Typus IV wird in der Tabelle nur durch zwei Stationen repräsentiert, da die Küsten des Stillen Ozeans und der östlichen Meere nicht genügend Stationen besitzen. Charakteristisch sind hier geringe Jahresschwankungen des Luftdrucks bei unbedeutenden Änderungen der Monatsmittel sowohl in der kalten, wie auch in der warmen Jahreszeit. Infolge der geringen Änderungen von Monat zu Monat kann man nicht behaupten, dass bei einer Verlängerung der Beobachtungspe-

¹⁾ A. Defant. Die Verteilung des Luftdrucks über dem Nord-Atlantischen Ozean und den anliegenden Teilen der Kontinente auf Grund der Beobachtungsergebnisse der 25-jährigen Periode 1881–1905. Denkschriften der Wiener Akademie. Math.-Naturwiss. Klasse. Bd. 93, 1916.

¹⁾ A. Defant. Die Verteilung des Luftdrucks über dem Nord-Atlantischen Ozean und den anliegenden Teilen der Kontinente auf Grund der Beobachtungsergebnisse d. 25-jährigen Periode 1881–1905. Denkschriften d. Wiener Akademie. Math.-Naturwiss. Klasse, Bd. 93, 1916.

другим равной продолжительности максимум и минимум придутся на те же месяцы, как по данным, помещенным в таблице XIV. Рассматриваемый тип можно считать переходным от чисто океанического к материковому.

В следующей таблице помещены данные о нарастании среднего месячного давления от месяца к месяцу.

riode oder beim Ersetzen der einen Periode durch eine andere ihr an Dauer gleiche das Maximum und das Minimum, auf dieselben Monate fallen würden, wie in der Tabelle. Den besprochenen Typus kann man als Übergangstypus vom rein ozeanischen zum kontinentalen Typus ansehen.

In nachstehender Tabelle ist das Anwachsen der Monatsmittel des Luftdrucks im Meeresniveau von Monat zu Monat gegeben.

ТАБЛИЦА XV

TABELLE XV

СТАНЦИИ	IX-VIII	X-IX	XI-X	XII-XI	I-XII	II-I	III-II	IV-III	V-IV	VI-V	VII-VI	VIII-VII	№	STATIONEN
ТИП I A	mm	mm	mm	mm	mm	mm	mm	mm	mm	mm	mm	mm		TYPUS I A
Нерчинский Завод . . .	+5.0	+3.9	+3.9	+3.1	+2.8	-1.4	-5.5	-7.4	-4.1	-2.0	-0.6	+2.3	484	Nertschinskij Sawod
Урга (Улан-Батор) . . .	+6.4	+5.0	+6.7	+2.8	+1.0	-0.8	-6.3	-7.8	-4.4	-4.2	-1.9	+3.5	513	Urga (Ulan-Bator)
Чита	+5.4	+4.3	+4.1	+3.0	+2.3	-0.9	-5.6	-7.3	-4.0	-3.0	-1.0	+2.7	481	Tschita
Верхнеудинск	+6.4	+4.2	+4.6	+2.7	+2.4	-0.7	-5.4	-7.1	-4.1	-3.9	-1.8	+2.7	474	Werchneudinsk
Казалинск	+4.6	+4.5	+1.7	+0.3	+0.5	-0.4	-1.8	-4.0	-2.3	-3.9	-1.7	+2.5	533	Kasalinsk
Якутск	+3.7	+2.6	+3.4	+3.6	+1.9	-0.8	-5.3	-4.8	-3.3	-2.6	-0.4	+2.0	402	Jakutsk
Булун	+2.4	-0.6	+3.4	+3.1	+1.8	-1.0	-3.4	-3.2	-1.9	-1.0	-0.9	+1.3	387	Bulun
Дудинка	+0.5	-0.4	+3.4	+2.3	+0.9	0.0	-0.9	-1.5	-1.2	-3.6	-0.1	+0.4	386	Dudinka
ТИП I B	mm	mm	mm	mm	mm	mm	mm	mm	mm	mm	mm	mm		TYPUS I B
Семипалатинск	+5.8	+5.1	+3.9	+1.3	0.0	+0.6	-1.8	-5.8	-4.4	-4.5	-2.4	+2.2	507	Ssemipalatinsk
Барнаул	+5.5	+4.1	+3.5	+1.6	+0.1	+0.7	-1.9	-4.8	-4.5	-4.4	-1.9	+2.0	454	Barnaul
Минусинск	+5.9	+3.4	+4.4	+3.1	+0.2	+0.6	-3.0	-5.6	-4.0	-4.5	-1.9	+2.4	459	Minussinsk
Томск	+5.1	+2.6	+3.2	+1.8	+0.2	+0.8	-1.6	-4.1	-4.1	-4.1	-1.5	+1.7	423	Tomsk
Енисейск	+5.0	+2.0	+3.1	+2.3	+0.6	+1.1	-3.2	-4.4	-3.4	-4.0	-1.0	+1.9	427	Enisseisk
Акмолинск	+5.3	+3.7	+3.3	+1.2	+0.2	+0.6	-1.4	-4.0	-4.6	-4.5	-1.9	+2.1	448	Akmolinsk
Свердловск	+3.1	+2.8	+0.6	+1.8	-0.4	+1.0	-0.3	-1.8	-3.4	-3.6	-1.0	+1.0	409	Sswerdlowask
Тобольск	+3.2	+2.1	+1.2	+2.1	-0.3	+1.5	-0.6	-1.9	-3.5	-3.4	-1.2	+0.8	416	Tobolsk
Сургут	+2.7	+1.3	+1.5	+2.5	+0.3	+0.9	-0.8	-1.1	-3.4	-3.3	-1.2	+0.6	399	Ssurgut
Монастырское	+2.3	-0.7	+4.2	+2.2	0.0	+1.2	-1.8	-1.9	-3.0	-3.4	-0.9	+1.8	393	Monasstyrscoe
Русское Устье	+1.1	+0.3	+2.4	+1.4	+2.5	+2.5	-1.8	-3.2	-1.8	-3.5	-1.1	+2.2	390	Russkoe Usstje
Николаевск на Амуре . . .	+2.3	+0.1	+0.6	+0.4	-3.3	+0.3	-2.2	-2.9	-1.0	-0.3	-1.8	+1.2	494	Nikolaewsk am Amur
Оренбург	+4.2	+3.6	+0.7	+1.0	0.0	+1.0	-1.4	-2.4	-3.4	-3.9	-1.0	+1.6	223	Orenburg
Казань	+3.4	+3.0	-0.4	+1.3	-0.2	+0.9	-0.6	-1.2	-2.7	-3.7	-0.5	+0.7	108	Kasan
Нижний-Новгород	+3.3	+2.5	-0.4	+0.8	-0.1	+0.6	-0.7	-0.4	-1.9	-2.6	-0.4	+0.7	101	Nishnij-Nowgorod
Охотск	+0.6	-0.1	-0.6	-0.2	+3.8	+0.9	-0.7	-2.4	0.0	-0.2	-2.4	+1.3	403	Ochotsk
ТИП I C	mm	mm	mm	mm	mm	mm	mm	mm	mm	mm	mm	mm		TYPUS I C
Астрахань	+3.7	+3.3	+0.5	+0.4	+0.2	-0.6	-2.0	-2.4	-1.4	-2.8	-0.7	+1.8	340	Asstrachan
Тифлис	+3.6	+3.6	+1.0	-2.5	-0.1	-1.2	-2.4	-2.1	-0.8	-2.3	-1.3	+1.3	366	Tiflis
Батум	+2.7	+1.9	+1.1	-0.1	+0.3	-0.9	-1.7	-1.0	-0.5	-1.3	+0.7	+0.9	354	Batum
Керчь	+3.0	+1.8	+0.8	-0.2	+0.4	-1.2	-1.9	-1.1	-0.3	-1.7	-0.9	+1.4	321	Kertsch
Одесса, унив.	+2.7	+1.0	+0.8	-0.3	+0.8	-1.4	-2.2	-1.0	-0.3	-1.5	-0.2	+1.6	295	Odessa, Univ.
Киев	+3.0	+1.3	+0.2	-0.2	+0.6	-1.0	-2.0	-0.7	-0.5	-2.1	-0.1	+1.5	241	Kiew
Никольск-Уссурийский . . .	+4.0	+3.2	+1.8	+0.8	+1.5	-1.2	-2.9	-3.5	-3.5	-1.1	-0.1	+1.0	553	Nikolsk-Ussurijskij
Хабаровск	+3.8	+1.8	+1.8	+0.7	+2.3	-1.2	-2.8	-3.8	-2.7	-0.8	-0.3	+1.2	524	Chabarowsk
Благовещенск	+4.3	+3.3	+2.4	+1.6	+2.4	-1.5	-3.5	-5.8	-3.1	-1.2	-0.2	+1.2	519	Blagoweschtschensk
ТИП II	mm	mm	mm	mm	mm	mm	mm	mm	mm	mm	mm	mm		TYPUS II
Петропавловск на Камчатке . . .	-0.7	-2.7	-2.1	-2.9	+2.8	+0.4	+2.8	0.0	+1.7	+1.3	-1.8	+1.2	497	Petropawlowsk auf Kamtschatka
Шпицберген	-3.1	+0.5	-1.5	0.0	+1.9	+0.9	+2.6	+2.1	+2.8	-3.0	+0.2	+0.4	—	Spitzbergen
Дуч-Гарбор	-3.3	-2.0	-2.6	0.0	+1.6	-0.5	+2.7	+2.3	+2.3	+1.8	+0.5	-2.8	—	Dutch-Harbor
ТИП III	mm	mm	mm	mm	mm	mm	mm	mm	mm	mm	mm	mm		TYPUS III
Малые Кармакулы	-1.8	-1.4	-0.4	+1.5	-0.6	+1.2	+0.5	+3.6	-1.2	-1.1	+0.5	-0.8	19	Malje Karmakuly
Териберка	-0.5	-0.6	-2.3	-0.9	-1.6	+0.9	+1.7	+3.7	+0.8	-0.8	-2.0	-0.2	4	Teriberka
Кемь	+1.3	+0.1	-1.5	+0.9	-1.1	+1.1	+0.5	+2.3	-0.1	-1.4	-2.1	0.0	11	Kem
Архангельск	+1.4	+0.5	-1.6	+1.5	-1.1	+1.2	+0.3	+2.0	-0.8	-1.6	-1.8	0.0	17	Archangelsk
Усть-Цыльма	+0.8	+1.1	-0.9	+2.0	-1.0	+0.7	+0.7	+1.5	-1.7	-2.2	-0.9	-0.1	21	Ust-Zylma
Каргополь	+2.5	+1.2	-1.2	+0.9	-0.5	+0.6	0.0	+1.1	-1.0	-2.3	-1.3	0.0	42	Kargopol
Ленинград	+3.0	+0.4	-0.9	+0.2	-0.1	+0.4	-0.3	-1.2	-0.4	-2.0	-1.5	0.0	29	Leningrad
Усть-Сысольск (Сыктывкар) . . .	+2.4	+1.8	-0.7	+1.9	-0.6	+0.4	+0.1	+0.1	-2.0	-2.9	-1.1	+0.6	49	Ust-Ssyssolsk (Ssyktywkar)
Вологда	+3.0	+1.7	-1.0	+0.7	-0.1	+0.4	-0.3	+0.4	-1.2	-2.8	-1.0	+0.2	43	Wologda
Обдорск	-0.3	+0.9	+1.3	+2.3	-0.2	+0.2	-0.3	+1.8	-2.9	-2.2	-0.8	+0.2	391	Obdorsk
ТИП IV	mm	mm	mm	mm	mm	mm	mm	mm	mm	mm	mm	mm		TYPUS IV
Ново-Мариинский пост . . .	0.0	+1.1	-0.2	+0.9	+2.3	0.0	+1.2	-0.6	-1.6	-1.0	-1.6	-0.5	396	Nowo-Mariinskij Post
Токио	+2.1	+2.8	+0.6	-1.0	-0.1	-0.1	+0.3	-0.8	-2.5	-2.0	-0.1	+0.8	661	Tokio

Два первых подтипа годового хода давления на уровне моря, как видно из таблицы XV, отличаются тем, что возрастание средних месячных начинается с августа, но наибольшее приращение наблюдается в сентябре; с октября возрастание замедляется и прекращается в январе (подтип *IA*) или в феврале (подтип *IB*). Падение средних месячных продолжается до июля, но наиболее резкое изменение приходится на апрель и только в районе Уральского хребта, в Западной Сибири и в части Казакстана на май. Если годовые колебания давления в районах, представленных подтипами *IA* и *IB*, обусловлены в большей своей части термическим режимом, как мы предположили, то можно ожидать существования тесной связи между годовым ходом давления и температуры. Однако, при рассмотрении данных о ходе нарастания и убывания средних месячных температур для указанных районов, на первый взгляд такой связи не выявляется. Наиболее значительное приращение средней месячной температуры приходится на большей части приведенных в таблице XIV станций на апрель и только в некоторых пунктах побережья Полярного моря на май или июнь, наибольшее понижение наблюдается в ноябре. Таким образом начало падения температуры и начало повышения давления совпадают, но в дальнейшем темп изменений того и другого элемента различен. Необходимо допустить, что не только изменения давления зависят от изменений температуры, что особенно рельефно обнаруживается в августе и сентябре, но что в свою очередь повышение давления (по средним месячным), обусловленное частым прохождением антициклонов, благоприятствует падению температуры.

Для пояснения связи между нарастанием и падением с одной стороны средних месячных давления, с другой стороны температурами воздуха привожу для ряда станций разности между средними температурами каждых двух последовательных месяцев по наблюдениям за 1881—1915.

Wie aus Tabelle XV ersichtlich, zeichnen sich die beiden ersten Untertypen des Jahresganges des Luftdrucks im Meeresniveau dadurch aus, dass das Wachsen der Monatsmittel vom August an beginnt, seinen Höhepunkt jedoch erst im September erreicht, vom Oktober an sich verlangsamt und im Januar (Untertypus *IA*) oder im Februar (Untertypus *IB*) gänzlich aufhört. Die Abnahme der Monatsmittel dauert bis zum Juli, wobei der grösste Betrag der Änderung auf den April und nur im Rayon des Uralgebirges, in Westsibirien und in einem Teil des Kasaksstan auf den Mai fällt. Wenn die Jahresschwankungen des Luftdrucks in den von den Untertypen *IA* und *IB* repräsentierten Rayons zum grössten Teil, wie wir vorausgesetzt haben, durch das thermische Regime bedingt werden, so darf man einen engen Zusammenhang zwischen dem Jahresgang des Luftdrucks und demjenigen der Temperatur erwarten. Die Durchsicht der Daten über das Ansteigen und die Abnahme der Monatsmittel der Temperatur in den erwähnten Rayons bestätigt eine derartige Erwartung auf den ersten Blick allerdings nicht. Der grösste Anstieg der Monatsmittel der Temperatur fällt auf den meisten der in der Tabelle XIV aufgezählten Stationen auf den April und nur in einigen Punkten des polaren Küstengebiets auf den Mai oder Juni, das Minimum wird im November beobachtet. Auf diese Weise stehen der Beginn des Fallens der Temperatur und des Steigens des Luftdrucks mit einander im Einklang, jedoch ist das Tempo der weiteren Änderungen des einen und des andern Elements verschieden. Es erhellt, dass nicht nur die Luftdruckänderung von der Temperaturänderung abhängt, was besonders deutlich im August und September zum Ausdruck kommt, sondern dass auch andererseits der durch häufige Antizyklonen bedingte hohe Luftdruck nach Monatsmitteln ein Sinken der Temperatur begünstigt.

Um die Beziehung zwischen dem Anwachsen und der Abnahme der Monatsmittel des Luftdrucks einerseits und der Temperatur andererseits hervortreten zu lassen, gebe ich in folgender Tabelle für eine Reihe von Stationen Differenzen zwischen Mittelwerten der Temperatur für je zwei aufeinanderfolgende Monate nach den Beobachtungen von 1881—1915.

СТАНЦИИ	IX—VIII	X—IX	XI—X	XII—XI	I—XII	II—I	III—II	IV—III	V—IV	VI—V	VII—VI	VIII—VII	STATIONEN
Нерченский Завод . . .	—6.9	—10.6	—13.7	—10.8	—3.6	+5.5	+10.4	+13.7	+8.7	+6.9	+3.5	—3.1	Nertschinskij Sawod
Урга (Улан-Батор) . . .	—7.2	—8.9	—12.4	—8.1	—2.4	+4.5	+7.9	+12.0	+7.3	+6.6	+2.5	—1.8	Urga (Ulan-Bator)
Якутск	—8.5	—14.0	—20.0	—12.0	—3.5	+8.2	+13.1	+14.3	+13.5	+9.9	+3.5	—4.5	Jakutsk
Дудинка	—7.9	—12.0	—12.5	—4.6	—3.5	+4.4	+2.7	+7.0	+9.6	+10.4	+8.8	—2.4	Dudinka
Барнаул	—6.2	—9.2	—9.9	—6.1	—3.0	+1.2	+6.1	+11.2	+10.0	+6.2	+2.2	—2.5	Barnaul
Свердловск	—5.8	—8.4	—8.2	—5.7	—2.7	+3.1	+5.7	+9.0	+8.3	+4.9	+2.4	—2.6	Sswerdlowsk
Акмолинск	—6.7	—9.4	—9.0	—6.3	—3.4	+0.5	+5.5	+11.9	+11.9	+5.0	+2.5	—2.5	Akmolinsk
Монастырское	—7.6	—11.9	—13.7	—6.7	—0.9	+5.0	+5.9	+7.5	+9.1	+9.6	+7.2	—3.5	Monasstyrskoe
Николаевск на Амуре . .	—4.7	—9.4	—11.9	—10.2	—4.4	+4.7	+7.1	+10.1	+6.2	+7.8	+5.3	—0.6	Nikolaewsk am Amur
Оренбург	—6.7	—8.8	—8.8	—6.4	—4.4	+1.9	+6.0	+11.5	+10.8	+4.9	+2.3	—2.3	Orenburg
Казань	—6.4	—7.6	—7.9	—5.8	—3.3	+2.1	+5.3	+9.7	+9.5	+4.4	+2.5	—2.5	Kasan
Тифлис	—4.9	—5.8	—6.7	—4.3	—2.8	+2.4	+4.2	+4.7	+5.4	+4.1	+3.3	+0.4	Tiflis
Одесса	—5.0	—5.5	—6.7	—4.5	—3.2	+1.5	+4.1	+5.9	+7.3	+4.2	+2.7	—0.8	Odessa
Хабаровск	—6.6	—10.7	—12.8	—10.2	—2.6	+6.1	+8.6	+11.9	+8.0	+7.0	+3.8	—2.5	Chabarowsk
Петропавловск на Камчатке	—2.7	—5.3	—6.4	—5.1	—3.4	—0.2	+4.0	+5.2	+4.2	+4.5	+3.9	+1.3	Petropawlowsk auf Kamtschatka
Малые Кармакулы . . .	—3.7	—5.5	—7.2	—3.8	—1.7	+0.4	+0.1	+4.5	+6.3	+5.8	+5.0	—0.2	Malye Karmakuly
Архангельск	—5.3	—6.6	—6.9	—5.1	—2.3	+0.9	+4.3	+7.0	+6.3	+6.3	+3.8	—2.4	Archangelsk
Вологда	—5.6	—6.6	—6.7	—5.3	—2.5	+1.7	+4.4	+8.0	+8.2	+4.5	+2.8	—2.9	Wologda
Обдорск	—6.0	—10.0	—11.8	—5.2	—3.7	+3.8	+3.8	+7.5	+8.3	+9.3	+6.7	—2.7	Obdorsk
Ново-Мариинский пост . .	—5.7	—8.5	—10.3	—6.4	—1.8	+2.0	+1.4	+5.0	+11.1	+7.8	+6.4	—1.0	Nowo-Mariinskij Post

Весной наибольшее падение среднего давления и наиболее резкое повышение средней температуры приходится на большей части рассматриваемой территории (IA и IB) на тот же месяц, а именно на апрель, только на немногих станциях наибольшее повышение температуры наступает с опозданием в мае или июне.

Подтип IC не отличается от подтипов IA и IB в отношении времени наибольшего нарастания среднего давления (сент.), наибольшее падение давления происходит тоже, как и в районах, представленных подтипами IA и IB, на апрель за исключением района Черного моря, где оно наступает уже в марте. Наибольшее охлаждение наблюдается от октября к ноябрю, но наибольшее повышение средней температуры запаздывает до мая, за исключением Дальнего Востока, где оно наблюдается в апреле. Между побережьем Черного моря и самим морем уже в марте устанавливается значительный температурный градиент, который и сказывается на градиентах давления на разных высотах.

Представленный в таблицах XIV и XV только Петропавловском на Камчатке тип II отличается тем, что среднее месячное давление с сентября до декабря понижается и затем повышается до июня. Наиболее резкое падение температуры приходится на ноябрь, наиболее значительное повышение на июнь. Тип этот не является крайним выражением режима на океане, он соответствует условиям открытых со стороны океана берегов. Как мы увидим ниже, вывод Defant's¹⁾, что годовые колебания давления от середины Атлантического океана до берегов уменьшаются, имеет силу и для Тихого океана, но под берегами океана, очевидно, следует понимать берега открытые со стороны океана. Петропавловск на Камчатке можно считать лежащим на таком берегу.

Тип III характеризуется наиболее значительным обращением среднего месячного давления в апреле, наибольшее падение приходится на весенний или летний месяц. Наибольшее повышение средней месячной температуры приходится тоже на апрель, наибольшее падение наблюдается в октябре или в ноябре.

В отношении как типа III, так и типа IV можно заметить, что особенности этих типов зависят в значительной мере от изменений температурных градиентов, направленных с океана на материк и с материка на океан в разные сезоны. Так как для установления вертикальных температурных градиентов в разные сезоны мы еще не располагаем данными, то я вынужден отказаться от попытки объяснить происхождение второстепенных максимумов и минимумов в годовом ходе давления на уровне моря. Отмечу лишь, что наименее плавный ход кривой годового хода встречается главным образом в районах с малыми амплитудами давления, как север Европ. части СССР, Прибалтийский район, побережье Тихого океана.

На основании данных таблицы E приложения мною построена карта распределения амплитуд годовых колебаний давления воздуха на уровне моря по месячным средним. Эта карта прежде всего дает подтверждение выводу Defant's, о котором выше упомянуто, но в тоже время дополняет этот вывод любопытным указанием на значение внутренних морей и больших озер.

¹⁾ Defant, l. c.

Im Frühling fällt die stärkste Abnahme des mittleren Luftdrucks und das grösste Anwachsen der mittleren Temperatur im grössten Teil des betrachteten Gebiets (IA und IB) auf denselben Monat und zwar auf den April und nur auf wenigen Stationen verspätet sich das Maximum des Anwachsens der Temperatur auf den Mai oder Juni.

Der Untertypus IC weicht in Bezug auf den Eintrittstermin der maximalen Zunahme des Druckes (September) nicht von den Untertypen IA und IB ab, auch fällt das Maximum des Sinkens des Luftdrucks, wie in den durch die Untertypen IA und IB vertretenen Rayons, auf den April, ausgenommen den Rayon des Schwarzen Meeres, wo es schon im März eintritt. Die grösste Abkühlung kommt vom Oktober zum November zur Beobachtung; das höchste Anwachsen des Temperaturmittels verzögert sich jedoch bis zum Mai, mit Ausnahme des Fernen Ostens, wo es bereits im April eintritt. Zwischen der Küste des Schwarzen Meeres und dem Meere selbst stellt sich schon im März ein bedeutender Temperaturgradient ein, der die Luftdruckgradienten in verschiedenen Höhen beeinflusst.

Der Typus II, den in den Tabellen XIV und XV Petropawlowsk auf Kamtschatka allein vertritt, unterscheidet sich dadurch, dass das Monatsmittel des Luftdrucks vom September bis zum Dezember sinkt und darauf bis zum Juni ansteigt; die stärkste Abnahme der Temperatur bringt der November und das grösste Ansteigen der Juni. Dieser Typus ist nicht der extreme Ausdruck des Regimes über dem Ozean, er entspricht den Verhältnissen der zum Ozean hin offenen Küsten. Wie wir weiter unten sehen werden, hat das Ergebnis Defant's¹⁾, dass die Jahresschwankungen des Luftdrucks von der Mitte des Atlantischen Ozeans zu seinen Küsten hin abnehmen, auch für den Stillen Ozean Geltung, jedoch müssen unter «Ozeanküsten» offenbar solche Küsten verstanden werden, die zum Ozean hin offen liegen. Petropawlowsk auf Kamtschatka kann man als an derartiger Küste gelegen betrachten.

Der Typus III wird durch maximalen Anstieg des Monatsmittels des Luftdrucks im April charakterisiert bei einem maximalen Sinken in einem Frühlings- oder Sommermonat. Auch das maximale Ansteigen des Monatsmittels der Temperatur fällt auf den April, das maximale Sinken derselben auf den Oktober oder November.

In Bezug auf Typus III und Typus IV wäre zu bemerken, dass die Eigentümlichkeiten dieser Typen hauptsächlich von den Änderungen der vom Ozean zum Festlande, wie auch vom Festlande zum Ozean in verschiedenen Jahreszeiten gerichteten Temperaturgradienten abhängen. Da wir zur Zeit noch über keine Daten verfügen, die eine Bestimmung der Vertikalgradienten der Temperatur in verschiedenen Jahreszeiten ermöglichen würden, war ich genötigt auf eine Erklärung der sekundären Maxima und Minima im Jahresgange des Luftdrucks im Meeresniveau zu verzichten. Ich will nur darauf hinweisen, dass die Kurve des Jahresganges am wenigsten glatt in den Rayons verläuft, die geringe Amplituden des Luftdrucks besitzen, wie der Norden des Europäischen Teils der USSR, das Ostseegebiet und die Küste des Stillen Ozeans.

Auf Grund der Daten der Tabelle E der Beilage habe ich die Karte der Verteilung der Amplituden der Jahresschwankungen des Luftdrucks im Meeresniveau nach Monatsmitteln entworfen. Diese Karte bestätigt vor allem das oben erwähnte Ergebnis Defant's, doch ergänzt sie ausserdem dieses Ergebnis durch einen interessanten Hinweis auf die Bedeutung der Binnenmeere und grosser Seen.

¹⁾ A. Defant, l. c.

Defant нашел, что наибольшие амплитуды годового колебания давления воздуха во всех широтах на Атлантическом океане приходится на центральную часть этого океана; по мере приближения к берегам материков под данной широтой по обе стороны от максимума величина амплитуды годового хода давления убывает и недалеко от берегов достигает минимума, откуда вглубь материка, по мере возрастания континентальности, снова увеличивается. В пределах Европы только Средиземное море нарушает правильность описанного явления, а именно над этим морем годовое колебание давления меньше чем на побережье и прилегающих материках.¹⁾ Здесь, по указанию Defant'a, отчетливо выражено уменьшение амплитуды, причем минимум занимает район между Сардинией и Сицилией.

Перейдем теперь к рассмотрению построенной мною карты распределения амплитуд давления воздуха на уровне моря (см. приложенный Атлас).

Наибольшие амплитуды встречаем в Центральной Азии как в полосе наибольшего среднего годового давления, так и к югу от нее. Изоамплитуда 20 мм проходит к западу от Большого Хингана, огибает с севера большую часть Забайкалья, пересекает Байкал в южной его части и дальше направляется на запад вдоль Саян, огибает с запада Русский Алтай, к югу от Алтая пролегает вдоль восточных границ Средней Азии. Провести южную границу невозможно как за недостатком наблюдений, так и в виду ненадежности приведения к уровню моря. Наибольшая величина, правда, на основании наблюдений за короткий период, получена для Лякчуна, расположенного ниже уровня океана в Джунгарии.

От очерченной области с наибольшей амплитудой годового хода, по направлению к океанам амплитуда убывает. Наиболее резкое изменение ее наблюдается в полосе вдоль берегов Охотского моря, Татарского пролива и Японского моря, где она достигает от 5 до 7 мм. Менее резкое, но значительное падение можно проследить от Алтая и Саян на северо-запад до Урала (9 мм) и Обской губы (6 мм).

Как уже было указано, из станций нашей сети только две занимают в отношении океана открытое положение—Петропавловск на Камчатке и Никольское на одном из Камандорских островов. Обе эти станции имеют относительно большие амплитуды, соответствующие открытому океану—Петропавловск 9.0 мм, Никольское 11.2 мм. Значительно меньше амплитуда в Токио (6.3 мм), чего по Defant'у и следовало ожидать, так как широта Токио меньше чем широта двух других названных пунктов.

Если обратимся к морям, сообщаящимся с океанами посредством проливов или же отделяемым от них цепями островов, то заметим, что в отношении амплитуды годового хода давления эти моря занимают особое положение. Уже у Defant'a, как выше замечено, находим указание на особенность в распределении амплитуд в районе Средиземного моря. Над Средиземным морем амплитуды меньше чем у открытых к океану берегов материков, а также меньше чем на окружающих названное море частях материков. Такую же особенность мы встречаем на целом ряде других внутренних морей. На побережье Берингова моря в Ново-Мариинском посту амплитуда падает до

Defant konstatierte, dass längs aller Breitenkreise im zentralen Teile des Atlantischen Ozeans ein Maximum der Jahresschwankung des Luftdrucks sich findet. Vom zentralen Teile nach den Küsten hin in gegebener Breite nimmt die Jahresamplitude ab, um nahe der Küste ihr Minimum zu erreichen und im Innern der Kontinente entsprechend der Zunahme der Kontinentalität, wieder anzuwachsen. In Europa stört nur das Mittelmeer die Regelmässigkeit der beschriebenen Erscheinung und zwar ist über diesem Meere die Jahresschwankung geringer als über seinen Küsten und dem anliegenden Festlande¹⁾. Hier ist, nach Defant, eine Abnahme der Amplitude deutlich ausgeprägt, wobei das Minimum den Rayon zwischen Sardinien und Sizilien einnimmt.

Wenden wir uns jetzt der von mir entworfenen Karte der Verteilung der Amplituden der Jahresschwankung des Luftdrucks im Meeresniveau zu (s. beigegebenen Atlas).

Die grössten Amplituden finden sich in Zentral-Asien, sowohl im Gebiet des Maximums des Jahresmittels des Luftdrucks, wie auch südlich davon. Die Isoamplitude 20 mm zieht westlich vom Grossen Chingan, durchquert den nördlichen Teil Transbaikaliens, schneidet den Baikalsee in seinem südlichen Teil, wendet sich weiter nach West längs dem Ssajangebirge, lässt den Russischen Altai im Osten und schlägt dann die Richtung nach Süden längs der Ostgrenze Mittelasiens ein. Ein Fixieren der Südgrenze ist wegen des Mangels an Beobachtungen, wie auch wegen der Unzuverlässigkeit der Reduktion auf das Meeresniveau unmöglich. Der höchste Betrag wurde, freilich auf Grund einer kurzen Beobachtungsreihe, für Ljuktshun gefunden, das in einer Senke unter dem Meeresspiegel in der Dshungarei gelegen ist.

Von dem von der Isoamplitude 20 mm begrenzten Gebiet nimmt die Amplitude in der Richtung zu den Ozeanen ab. Besonders steil vollzieht sich ihre Abnahme in dem Küstenstreifen längs dem Ochotskischen Meere, der Tatarischen Strasse und dem Japanischen Meere, wo sie 5—7 mm erreicht. Eine nicht so extreme, doch auch bedeutende Abnahme lässt sich vom Altai und dem Ssajangebirge nordwestlich bis zum Ural (bis 9 mm) und bis zur Obbucht (6 mm) verfolgen.

Wie schon erwähnt, haben nur zwei Stationen unseres Netzes eine zum Ozean offene Lage—Petropawlowsk und Nikolskoe auf einer der Kommandoren-Inseln. Beide Stationen haben relativ grosse Amplituden, die dem offenen Ozean entsprechen—Petropawlowsk 9.0 mm, Nikolskoe 11.2 mm. Bedeutend geringer ist die Amplitude in Tokio (6.3 mm), was nach Defant auch zu erwarten war, da die geographische Breite von Tokio geringer ist als diejenigen der beiden genannten Stationen.

Wenn wir uns denjenigen Meeren zuwenden, die mit den Ozeanen durch Meerengen verbunden sind oder von ihnen durch Inselketten getrennt werden, so bemerken wir, dass sie in Bezug auf die Amplituden des Jahresganges des Luftdrucks eine besondere Stellung einnehmen. Schon bei Defant, wie oben mitgeteilt wurde, findet sich ein Hinweis auf eine eigenartige Amplitudenverteilung im Rayon des Mittelmeeres. Über dem Mittelmeer ist die Amplitude geringer als über den zum Ozean offenen Festlandsküsten und auch kleiner als über den das Mittelmeer umgürtenden Teilen der Kontinente. Eine gleiche Eigentümlichkeit zeigt auch eine ganze Reihe anderer Binnenmeere. An der Küste des Behrings-Meeres auf

¹⁾ A. Defant, l. c. Стр. 38.

¹⁾ A. Defant, l. c., pag. 38.

5.3 мм, тогда как вглубь материка (Марково на Анадыре 6.8 мм) и в направлении к открытому океану (Никольское 11.2 мм) она возрастает. На Охотском море и в Татарском проливе амплитуда мала (Гижигинск 5.1 мм, Охотск 5.7 мм, Корсаковский пост 3.5 мм, Немуро 4.1 мм). На стороне открытого океана в Петропавловске на Камчатке 9.0 мм.

В северной части Японского моря амплитуда тоже мала, но над южной частью этого моря, как и над Желтым морем повидимому не нарушается правильный ход убывания амплитуды от центральной части материка по направлению к океану, так как в соответствующих широтах на океанах амплитуды значительно меньше чем в более высоких широтах.

Уменьшение амплитуды по сравнению с окружающими частями материка наблюдается на Черном море (над морем 6.0 мм, в окружающих районах от 7 до 8 мм), над Балтийским морем (над морем 3 мм, в окружающих районах до 4—5 мм). Над Карским морем амплитуда падает до 5.5 мм; к югу, северу, востоку, западу она возрастает. В западной части Белого моря амплитуда не превышает 4 мм, а по всем направлениям кроме запада возрастает. Возрастание амплитуды можно проследить и по разным направлениям, исходя от Баренцова моря.

Как видно из приведенного перечня, моря, сообщаемые с океанами посредством проливов или отделяемые от них цепями островов, также, как и Средиземное море, нарушают правильность в изменении амплитуды годового хода давления на уровне моря по направлению от середины океана в сторону материка; над такими морями амплитуды меньше чем над ближайшими частями океана, а также чем над прилегающими частями материка.

Происхождение этой особенности в распределении амплитуд объясняется тем, что стесненное сообщение морей с океанами в сильной степени затрудняет обмен массами воды между морями и океанами, так напр. более или менее обильный приток океанской воды в Балтийское море возможен только через один из проливов при особенно благоприятных для этого условиях. По физическим свойствам воды морей вследствие слабого их обмена с океанской водой сильно отличаются от воды в океане и происходящие в океане гидрологические и гидрометеорологические процессы не могут свободно передаваться в моря, что отражается и на процессах метеорологических над морями. На колебаниях давления, правда, сказывается наличие значительных размеров моря, но процессы, сопровождающие эти явления, оказываются сильно ослабленными по сравнению с открытым океаном.

В таблице F Приложения приведены наибольшие и наименьшие месячные и годовые средние величины давления воздуха на уровне моря за период 1881—1910 г.г.

Разности между самым высоким и самым низким средним годовым давлением за 30 лет в своем распределении

dem Nowo-Mariinskij Post sinkt die Amplitude bis 5.3 mm, während nach dem Innern des Festlands hin (Markowo am Anadyr 6.8 mm) und in der Richtung zum offenen Ozean (Nikolskoe 11.2 mm) sie ansteigt. Über dem Ochotskischen Meere und der Tatarischen Meerenge ist die Amplitude klein (Gishiginsk 5.1 mm, Ochotsk 5.7 mm, Korssakowskij Post 3.5 mm, Nemuro 4.1 mm), am offenen Ozean in Petropawlowsk auf Kamtschatka 9.0 mm.

Im nördlichen Teil des Japanischen Meeres ist die Amplitude ebenfalls gering, aber im südlichen Teil dieses Meeres, wie auch über dem Gelben Meere wird der Charakter der Abnahme der Amplitude vom zentralen Teil des Festlandes zum Ozean scheinbar nicht gestört, da in den entsprechenden Breiten auf dem Ozean die Amplitude bedeutend geringer ist als in den höheren Breiten.

Eine Abnahme der Amplitude im Vergleich mit derjenigen über den anliegenden Festlandsteilen ist auch über dem Schwarzen Meere (über dem Meere 6.0 mm, über den umliegenden Rayons von 7—8 mm) und der Ostsee (über dem Meere 3 mm, über den umliegenden Rayons von 4—5 mm) zu beobachten. Über dem Karischen Meere fällt die Amplitude bis 5.5 mm, steigt jedoch gegen Süden, Norden, Osten und Westen. Im westlichen Teil des Weissen Meeres übersteigt die Amplitude nicht 4 mm, nimmt aber in allen Richtungen, ausser nach West, zu. Ein Anwachsen der Amplitude lässt sich in verschiedenen Richtungen vom Barents- Meer verfolgen.

Aus obiger Aufzählung kann man ersehen, dass Meere, die mit den Ozeanen durch Meerengen kommunizieren oder durch Inselketten von ihnen getrennt sind, ebenso wie das Mittelmeer, eine stetige Abnahme der Amplitude des Jahresganges des Luftdrucks im Meeresniveau von der Mitte des Ozeans zum Festlande hin stören. Über solchen Meeren ist die Amplitude geringer als über den nächsten Ozeanteilen und über dem angrenzenden Festlande.

Die Entstehung dieser Eigentümlichkeit der Verteilung der Amplituden findet ihre Erklärung darin, dass ein Austausch von Wassermassen zwischen Binnenmeer und Ozean dank der beschränkten Kommunikation erschwert wird. So kann ein mehr oder weniger starkes Eindringen von Ozeanwasser in die Ostsee nur bei äusserst günstigen Bedingungen durch eine der Strassen zustande kommen. Nach seinen physikalischen Eigenschaften unterscheidet sich das Wasser der Binnenmeere, infolge des schwachen Austausches mit dem Ozeanwasser, stark von demjenigen im Ozean und die im Ozean sich vollziehenden hydrologischen und hydro-meteorologischen Prozesse können bloss stark gedämpft den Binnenmeeren übermittelt werden, was wiederum die meteorologischen Vorgänge über den Binnenmeeren beeinflusst. Die Luftdruckschwankungen über den Binnenmeeren weichen zwar von denselben in der Umgebung der letzteren ab, doch verlaufen die Prozesse, die diese Erscheinung begleiten, im Vergleich zum offenen Ozean stark abgeschwächt.

In Tabelle F der Beilage sind die grössten und die kleinsten Mittelwerte des Luftdrucks im Meeresniveau für die einzelnen Monate und das Jahr nach Beobachtungen für die Periode 1881—1910 angeführt.

Die Differenzen zwischen den grössten und kleinsten Jahresmitteln des Luftdrucks für 30 Jahre wiederholen in

повторяют ту же картину, какую дает распределение средней изменчивости средних годовых давления. Наибольшие разности получились на северо-востоке и севере Европ. части и на северо-западе Азиатской части СССР (Каргополь 3.9 мм, Богословск 4.1 мм), малые разности на юге Европ. части (Севастополь 1.8 мм), на Кавказе (Тифлис 1.2 мм), в Средней Азии (Ташкент 1.3 мм) и в Приморье.

Что касается разностей между наибольшими и наименьшими месячными средними за тот же период, то наибольшие разности приходится во всей Европ. части Союза, значительной части Кавказа, Западной Сибири, Средней Азии и в Приморье на февраль, в части Кавказа и Казахстана и в Восточной Сибири на март, январь и декабрь. Максимальные разности за февраль получились в Каргополе (33.3 мм) и в Вятке (33.0 мм). К югу и к востоку от района максимума разности убывают (в Севастополе 13.9 мм, во Владивостоке 10.1 мм, в Сочи 9.4 мм, в Алма-Ата и Ташкенте 10.4 мм, в Иркутске 13.1 мм, в Токио 6.7 мм).

Наименьшие разности между максимумами и минимумами из средних месячных давления наблюдаются в один из месяцев с мая по август, причем, за исключением Кавказа и района Черного моря, где минимум преимущественно наступает в августе, нельзя указать обширных районов, в которых наступление минимума совпадало бы по времени. По величине наименьшие разности распределяются также, как и наибольшие: на севере и северо-востоке Европ. части, а также на северо-западе Азиатской части Союза достигаются наибольшие величины (Каргополь 8.6 мм, Богословск 7.9 мм, Свердловск 8.2 мм), на юге Европ. части, в Восточной Сибири и на Дальнем Востоке получаются малые разности (Одесса 3.6 мм, Тифлис 2.4 мм, Ташкент 3.6 мм, Иркутск 3.9 мм, Нерчинский Завод 4.3 мм, Токио 3.3 мм).

Как видно из изложенного, связь между распределением разностей между наибольшими и наименьшими месячными средними давления и средней изменчивостью месячных средних оказывается весьма тесной.

Особенно высокие величины давления за отдельные месяцы только в Восточной Сибири характерны для тех областей, где по изобарам оказывается максимальное среднее давление, в других районах такого совпадения не замечается, как это можно усмотреть из следующей таблички. (См. стр. 115).

Нижегородский край находится и зимой и летом к северу от гребня повышенного давления, однако наиболее высокие средние месячные величины, по приведенной табличке, частью выше, частью лишь немного ниже чем в районе гребня. Тоже можно сказать относительно станций в Уральской области (Богословск, Свердловск). Отсюда видно, что средние месячные величины давления в полосе максимума отличаются большей устойчивостью, чем в прилегающих районах к северу от нее. На это указывает и распределение изменчивости средних месячных.

Таблица F Приложения и таблица XVI дают также некоторый материал для проверки заключения о том, на какой месяц приходится максимум в годовом ходе давления на уровне моря.

ихер Verteilung das Bild, das die Verteilung der mittleren Veränderlichkeit der Jahresmittel des Luftdrucks vorstellt. Die grössten Differenzen ergaben sich im Nordosten und Norden des Europäischen und im Nordwesten des Asiatischen Teils der USSR (Kargopol 3.9 mm, Bogosslowsk 4.1 mm), geringe Differenzen im Süden des Europäischen Teils der Union (Ssewastopol 1.8 mm), im Kaukasus (Tiflis 1.2 mm), in Mittelasien (Taschkent 1.3 mm) und im Küstengebiet des Fernen Ostens.

Was die Differenzen zwischen den Maxima und Minima der Monatsmittel für dieselbe Periode anbelangt, so fallen die grössten Differenzen im ganzen Europäischen Teil der USSR, im grössten Teil des Kaukasus, in Westsibirien, in Mittelasien und im Küstengebiet auf den Februar, in einem Teil des Kaukasus, in Kasaksstan und in Ostsibirien auf den März, den Januar oder den Dezember. Die grössten Differenzen für den Februar ergaben sich in Kargopol (33.3 mm) und Wjatka (33.0 mm). Im Süden und Osten vom Rayon des Maximums nehmen die Differenzen ab (Ssewastopol 13.9 mm, Wladikawkas 10.1 mm, Ssotschi 9.4 mm, Alma-Ata und Taschkent 10.4 mm, Irkutsk 13.1 mm, Tokio 6.7 mm).

Die kleinsten Differenzen zwischen den Maxima und Minima der Monatsmittel des Luftdrucks kommen in einem der Monate vom Mai bis zum August zur Beobachtung, wobei, den Kaukasus und den Rayon des Schwarzen Meeres ausgenommen, wo das Minimum vorwiegend im August eintritt, sich keine grösseren Gebiete finden, in denen der Eintritt des Minimums zeitlich zusammenfällt. Der Grösse nach verteilen sich die kleinsten Differenzen ebenso wie die grössten: im Norden und Nordosten des Europäischen Teils und ebenso im Nordwesten des Asiatischen Teils der Union erhält man die grössten Werte (Kargopol 8.6 mm, Bogoslowsk 7.9 mm, Sswerdlowsk 8.2 mm), im Süden des Europäischen Teils der Union, in Ostsibirien und dem Fernen Osten finden wir kleine Differenzen (Odessa 3.6 mm, Tiflis 2.4 mm, Taschkent 3.6 mm, Irkutsk 3.9 mm, Nertschinskij Sawod 4.3 mm, Tokio 3.3 mm).

Das oben Dargelegte spricht dafür, dass der Zusammenhang zwischen der Verteilung der Differenzen der grössten und der kleinsten Monatsmittel des Luftdrucks und der mittleren Veränderlichkeit der Monatsmittel ein äusserst enger ist.

Besonders hohe Werte der Luftdruckmittel für einzelne Monate wurden bloss in Ostsibirien in solchen Rayons, wo nach den mittleren Isobaren, ein Luftdruckmaximum herrscht, beobachtet, wie aus nachstehender Tabelle ersichtlich ist. (S. Seite 115).

Das Gebiet Nishnij-Nowgorod befindet sich im Winter und Sommer nördlich vom Luftdruckrücken, die höchsten Monatsmittel sind hier jedoch, wie die Tabelle zeigt, teils höher teils ein wenig niedriger als im Rayon des Luftdruckrückens. Dasselbe lässt sich auch von den Stationen des Uralgebets (Bogoslowsk, Sswerdlowsk) sagen. Hieraus folgt, dass in der Zone des Maximums die Monatsmittel des Luftdrucks sich durch grössere Stabilität auszeichnen als in angrenzenden Rayons nördlich von ihr, worauf auch die Verteilung der Veränderlichkeit der Monatsmittel hinweist.

Tabelle F der Beilage und Tabelle XVI enthalten auch einiges Material zur Prüfung des Schlusses darüber, auf welchen Monat das Maximum im Jahresgange des Luftdrucks im Meeresniveau fällt.

ТАБЛИЦА XVI

Наибольшее среднее месячное давление
на уровне моря за 1881—1910 г.г.

TABELLE XVI

Die grössten Monatsmittel des Luftdrucks
im Meeresniveau für die Jahre 1881—1910

СТАНЦИИ	Январь Januar	Февраль Februar	Март März	Апрель April	Май Mai	Июнь Juni	Июль Juli	Август August	Сентябрь September	Октябрь Oktober	Ноябрь November	Декабрь Dezember	STATIONEN
Вятка	776.1	780.8	776.4	771.9	766.8	762.7	761.0	762.0	766.0	770.3	773.4	774.1	Wjatka
Нижний Новгород	774.7	782.0	774.4	770.8	766.7	763.1	762.8	762.5	767.4	771.0	772.8	773.2	Nishnij Nowgorod
Казань	777.4	781.8	776.0	771.2	765.6	763.1	763.2	761.8	767.0	774.3	773.4	774.7	Kasan
Николаевское (в Саратовском районе)	776.4	781.5	775.2	770.2	767.2	762.5	761.9	762.3	767.8	774.9	773.7	775.7	Nikolaewskoe (Distrikt Ssaradow)
Луганск	773.2	776.2	770.4	767.1	764.4	761.5	760.2	762.2	766.5	771.4	771.4	773.8	Lugansk
Астрахань	773.5	776.7	771.0	766.6	764.8	761.1	760.2	761.4	765.9	772.2	771.9	773.1	Asstrachan
Богословск	775.7	777.4	778.1	773.5	766.7	761.5	763.6	761.9	764.7	769.5	772.7	774.6	Bogoslowsk
Свердловск	777.7	778.9	776.7	773.9	766.7	761.3	762.8	761.6	765.2	771.2	773.1	774.8	Sswerdlowsk
Томск	777.2	779.0	775.2	769.6	763.4	759.6	758.3	759.6	766.1	771.4	773.6	778.3	Tomsk
Барнаул	778.9	781.6	777.5	769.5	764.3	759.2	758.1	759.8	765.5	772.1	775.2	778.7	Barnaul
Иркутск	781.6	780.5	777.2	767.1	762.8	760.9	757.2	759.8	766.5	771.7	776.0	780.7	Irkutsk
Нерчинский Завод	778.0	777.7	772.7	762.4	758.9	756.5	755.5	758.5	762.8	768.9	772.6	776.3	Nertschinskij Sawod

Наиболее высокие средние месячные давления по данным за отдельные годы получены, как мы видели, в феврале. Все перечисленные в таблице XVI средние месячные за февраль, за исключением данных для Иркутска и Нерчинского Завода, относятся к 1886 г. и выведены из наблюдений станций, расположенных на территории, на которой по данным за 1881—1910 г. максимум давления приходится на февраль.

Это обстоятельство наводит на мысль, что февральская средняя месячная величина получила перевес над январьской главным образом благодаря величине за 1886 г. Некоторым подкреплением этому мнению может служить и тот факт, что по опубликованным А. А. Тилло¹⁾ средним месячным величинам давления для ряда станций на территории СССР за отдельные годы периода 1836—1885 г.г., правда с значительными пропусками, превышающие 780 мм средние месячные случались весьма редко и особенно редко распространялись на обширную территорию, как это имело место в 1886 г. Годом, приближавшимся к 1886 г. по величине среднего месячного давления одного из зимних месяцев, в Западной Сибири был 1848 г., но в этом году максимум наблюдался не в феврале, а в январе.

В приложенном Атласе помещены также графики годового хода давления, не приведенного к уровню моря. Подобраны в разных районах группы станций, расположенных на разных высотах над уровнем океана. Эти графики показывают, как меняется годовой ход давления с высотой. Характер изменений в зависимости от условий рельефа на разных горных массивах различен.

Начнем с Алтайской (996 м), расположенной на западной стороне Русского Алтая и отделяемой этим горным массивом от котловины, приподнятой на высоту около 1000 м. Здесь максимум приходится на декабрь, минимум на июль. Годовой ход в Семипалатинске у подножия Ал-

¹⁾ А. А. Тилло. Л. с.

Die grössten Monatsmittel des Luftdrucks nach den Daten für die einzelnen Jahre wurden, wie wir gesehen haben, im Februar erreicht. Alle in Tabelle XVI angeführten Monatsmittel für den Februar beziehen sich mit Ausnahme der Daten für Irkutsk und Nertschinskij Sawod auf das Jahr 1886 und sind nach den Beobachtungen der Stationen abgeleitet, welche auf demjenigen Territorium liegen, für das nach den Daten für 1881—1910 das Luftdruckmaximum im Jahresgange auf den Februar fällt.

Dieser Umstand legt den Gedanken nahe, dass der Überschuss des Februarbetrags des Monatsmittels über den Januarbetrag hauptsächlich sich auf dem Werte für 1886 gründet. Diese Ansicht wird einigermaßen auch durch die Tatsache bekräftigt, dass nach den von A. A. Tillo¹⁾ für eine Reihe von Stationen in der USSR veröffentlichten Monatsmitteln des Luftdrucks für einzelne Jahre der Periode 1836—1885 (allerdings mit bedeutenden Lücken) Monatsmittel, die 780 mm übersteigen, sehr selten vorkamen und ganz besonders selten sich über grössere Gebiete verteilten, wie es gerade im Jahre 1886 der Fall war. In Westsibirien nähert sich das Jahr 1848 nach der Grösse des Monatsmittels in einem der Wintermonate am meisten dem Jahre 1886, doch wurde das Maximum in diesem Jahr nicht im Februar, sondern im Januar beobachtet.

Im beigegebenen Atlas sind auch graphische Darstellungen des nicht auf das Meeresniveau reduzierten Jahresganges des Luftdrucks enthalten. Es sind dort Stationsgruppen verschiedener Rayons, die in verschiedenen Seehöhen gelegen sind, zusammengestellt. Diese graphischen Darstellungen zeigen, wie sich der Jahresgang des Luftdrucks mit der Seehöhe ändert. Der Charakter dieser Änderungen ist von den Reliefverhältnissen der verschiedenen Bergmassive abhängig.

Beginnen wir mit der Station Altaiskaja (996 m), die an der Westabdachung des Russischen Altaï liegt und durch denselben von einem bis c. 1000 m Seehöhe erreichenden Kessel getrennt wird. Hier fällt das Maximum auf den Dezember, das Minimum auf den Juli. Der Jahresgang in

¹⁾ А. А. Тилло, л. с.

тая (201 м) отличается большей амплитудой и тем, что максимум в феврале, но этот максимум лишь на несколько десятых выше средней за декабрь. Такой же годовой ход, как в Алтайской, имеют Урумчи (888 м), Улан-Батор (1309 м) и Мяндухэ на Большом Хингане (695 м), что указывает на то, что окруженные горами плоскогория в северной части Центральной Азии в отношении годового хода давления, не приведенного к уровню моря, отличаются от районов, прилегающих к горным массивам, ограничивающим эти плоскогорья, главным образом меньшей амплитудой.

Совершенно иной годовой ход по сравнению со станциями, лежащими на небольшой высоте, наблюдается на Яйле на станции Ай-Петри (1178 м). В Ялте максимум в ноябре, минимум в июле, на Ай-Петри максимум в сентябре и октябре (663.4 мм), минимум в марте (638.5 мм). Здесь высокогорный тип встречается уже на сравнительно небольшой высоте.

Верхняя Мишиха (1290 м) находится на обращенной к юго-восточному берегу Байкала стороне хребта Хамар-Дабан. На берегу Байкала у подножия хребта в Мысовой (475 м) максимум в феврале, минимум в июле. В Верхней Мишихе минимум наступает в июне (650.0 мм), главный же максимум в ноябре (654.4 мм), два вторичных максимума наблюдаются в феврале и в сентябре, причем они отличаются от главного лишь на несколько десятых. Амплитуда значительно меньше в В. Мишихе чем в Мысовой. Аналогичный, как и в В. Мишихе, годовой ход имеет Перевальная (1022 м), расположенная к востоку от Хамар-Дабана.

Ивановский рудник на Урале (856 м) имеет минимум в июле (685.6 мм), главный максимум в апреле (688.7 мм) и вторичный в октябре. В Бирске (151 м) к западу от Урала главный максимум в феврале, вторичный, слабо выраженный, в октябре. Любопытно то, что на горной станции вторичные максимум и минимум выражены отчетливее чем на нижней станции. До известной степени эта особенность проявляется как в системе Алтая, так и на Хамар-Дабане.

На плоскогорьях в пределах Казакстана характер годового хода давления меняется с высотой в общем аналогично изменениям на плоскогорьях Центральной Азии. В Туркестане (217 м) максимум в январе и декабре, минимум в июле, в Алма-Ата (775 м) максимум в ноябре, минимум в июле, в Копале (1237 м), в Караколе (1770 м) и Нарынском (2031 м) главный максимум в ноябре, вторичные в феврале и мае. И в этой группе станций главные максимумы и минимумы в зависимости от высоты не перемещаются во времени, что же касается вторичных максимумов и минимумов, то они с возрастанием высоты над уровнем моря получают постепенно более отчетливое выражение.

В районе Кавказа рассмотрим отдельно две группы станций—одну на Главном Хребте и его предгорьях, другую в Закавказье.

dem am Fusse des Altai gelegenen Ssemipalatinsk (201 м) zeichnet sich durch eine grosse Amplitude aus und durch das Maximum im Februar, das allerdings nur um wenige Zehntel höher ist als das Mittel des Dezember. Einen eben solchen Gang wie Altaiskaja haben auch Urumtschi (888 м), Ulan-Bator (1309 м) und Mjanduche auf dem Grossen Chingan (695 м), was darauf hinweist, dass von Gebirgen umgebene Plateaus des nördlichen Teils Zentralasiens in ihrem nicht auf das Meeresniveau reduzierten Jahresgange des Luftdrucks sich von den Gebieten jenseits der sie umgürtenden Bergmassive hauptsächlich durch eine der Seehöhe entsprechende Amplitude unterscheiden.

Ein vollständig anderer Jahresgang als auf Stationen in kleiner Seehöhe kommt in der Krim auf dem Jaila berg massiv auf der Station Ai-Petri (1178 м) zur Beobachtung. In Jalta fällt das Maximum auf den November, das Minimum auf den Juli, auf Ai-Petri findet man das Maximum im September und Oktober (663.4 мм), das Minimum im März (638.5 мм). Hier trifft man den Hochgebirgstypus bereits in verhältnismässig unbedeutender Höhe.

Werchnjaja Mischicha (1290 м) befindet sich auf dem zum Südostufer des Baikals abfallenden Abhang des Bergrückens Chamar-Daban. Am Ufer des Baikals am Fusse dieses Bergrückens wird in Myssowaja (475 м) das Maximum im Februar, das Minimum im Juli beobachtet. In Werchnjaja Mischicha tritt das Minimum (650.0 мм) im Juni ein, das Hauptmaximum (654.4 мм) dagegen im November, zwei sekundäre Maxima kommen im Februar und im September zur Geltung, doch unterscheiden sie sich nur durch wenige Zehntel vom Hauptmaximum. Die Amplitude der Jahreschwankung ist in Werchnjaja Mischicha bedeutend kleiner als in Myssowaja. Einen Werchnjaja Mischicha analogen Jahresgang weist auch die östlich vom Chamar-Daban gelegene Station Perewalnaja (1022 м) auf.

Iwanowskij Rudnik im Ural (856 м) hat sein Minimum im Juli (685.6 мм), sein Hauptmaximum (688.7 мм) im April und ein sekundäres im Oktober. In Birska (151 м) westlich vom Ural fällt das Hauptmaximum auf den Februar, ein sekundäres, schwach angedeutetes auf den Oktober. Interessant ist es, dass auf einer Hochstation das sekundäre Maximum und das sekundäre Minimum deutlicher zum Ausdruck kommen als auf einer unten gelegenen Station. Recht deutlich ist diese Eigentümlichkeit im System des Altai wie auch auf dem Chamar-Daban ausgeprägt.

Auf den Hochplateaus im Kasaksstan ändert sich der Charakter des Jahresganges des Luftdrucks mit der Höhe ganz analog den Änderungen auf den Hochebenen Zentral-Asiens. Turkesstan (217 м) hat das Maximum im Januar und Dezember, das Minimum im Juli, Alma-Ata (775 м) das Maximum im November, das Minimum im Juli, in Kopal (1237 м), Karakol (1770 м) und Narynskoe (2031 м) werden das Hauptmaximum im November, die sekundären Maxima im Februar und Mai erreicht. Höhenunterschiede werden auch in dieser Stationsgruppe von keiner zeitlichen Verschiebung der Hauptmaxima und Minima begleitet, die sekundären Maxima jedoch kommen mit zunehmender Höhe über dem Meeresspiegel allmählich immer deutlicher zum Ausdruck.

Im Gebiet des Kaukasus betrachten wir getrennt zwei Stationsgruppen—die eine auf dem Hauptkamme und seinen Vorbergen und die andere in Transkaukasien.

У подножия Главного Хребта в Сочи (12 м) максимум в январе, минимум в июле, во Владикавказе (691 м) главный максимум в октябре, вторичный в мае, главный минимум в июле, вторичный в апреле, в Млетах (1471 м) максимум в октябре (642.7 мм), минимум в апреле (637.5 мм), в Коби (1989 м) и Гудауре (2207 м) максимум в октябре, минимум в январе, на Крестовой (2388 м) максимум в сентябре (573.9 мм), минимум в январе (566.6 мм).

В Закавказье в долине Куры в Гандже (442 м) максимум в октябре, минимум в июле. По мере возрастания высоты все более отчетливо выявляется вторичный минимум в апреле, который в Цеми (1116 м) и Абас-Тумане (1256 м) становится главным. В Шуше (1365 м) главный минимум переходит на март. Максимум в октябре, а минимум в марте имеют также Карс (1727 м), Джаджур (1837 м), Ново-Баязет (1954 м). Разница между кривыми годового хода для высоких станций первой и второй группы заключается главным образом в том, что вторичный минимум у второй группы замедляет подъем кривой годового хода от главного минимума к главному максимуму.

В Средней Азии до высоты Самарканда сохраняется тип годового хода свойственный здесь степному району лишь со смещением максимума с января на ноябрь, минимум же остается в июле. На высоте Хорога (2098 м) появляются два вторичных минимума—в январе и апреле, и два вторичных максимума—в марте и мае. В Иркештаме (2850 м) и на Памирском посту (3653 м) кривые годового хода уже резко отличаются от кривой Хорога. Минимум в обоих пунктах в феврале, максимум в Иркештаме в сентябре, на Памирском посту в ноябре. Иркештам расположен в неширокой долине и поэтому наблюдаемый в нем тип годового хода представляется нормальным, что же касается Памирского поста, то, очевидно, окруженное горами плоскогорье, на котором он находится, недостаточно обширно для того, чтобы обеспечить ему равнинный тип годового хода давления. Мало отличающийся от равнинного тип годового хода в Хороге зависит, повидимому, не только от меньшей высоты, но и от особенностей рельефа.

Остается еще отметить годовой ход на Софийском прииске к северу от нижнего течения Амура (891 м). Главный максимум наблюдается здесь в сентябре, вторичный в феврале, главный минимум в мае, вторичный в декабре. На станции в долине Амура, а именно в Хабаровске максимум в январе, минимум в июле.

Можно высказать на основании рассмотрения типов годового хода давления на разных высотах следующие замечания.

Тип годового хода давления, наблюдаемый на равнинах данного района на небольших высотах над уровнем моря, сохраняется и на высоких плоскогорьях, отделяемых от них горами, причем уменьшается лишь амплитуда в зависимости от высоты.

На склонах горных хребтов, а также в сползающих по таким склонам долинах с хорошей вентиляцией тип годового хода давления уже начиная с высоты от 800—1000 м пере-

Am Fusse des Hauptkammes hat Ssotschi (12 m) das Maximum im Januar, das Minimum im Juli, Wladikawkas (691 m) das Hauptmaximum im Oktober, ein sekundäres im Mai, das Hauptminimum im Juli, ein sekundäres im April, Mlety (1471 m) das Maximum im Oktober (642.7 mm), das Minimum im April (637.5 mm), Kobi (1989 m) und Gudaaur (2207 m) das Maximum im Oktober, das Minimum im Januar, Kresstowaja (2388 m) das Maximum im September (573.9 mm), das Minimum im Januar (566.6 mm).

In Transkaukasien im Tale der Kura auf der Station Gandsha (442 m) fällt das Maximum auf den Oktober, das Minimum auf den Juli. Mit der Höhenzunahme tritt immer schärfer ein sekundäres Minimum im April hervor, das in Zemi (1116 m) und in Abas-Tuman (1256 m) zum Hauptminimum wird. In Schuscha (1365 m) geht das Hauptminimum auf den März über. Das Maximum im Oktober und das Minimum im März haben auch Kars (1727 m), Dshadshur (1837 m) und Nowo-Bajaset (1954 m). Der Unterschied zwischen den Kurven des Jahresganges für die Hochstationen der ersten und der zweiten Gruppe besteht hauptsächlich darin, dass das sekundäre Minimum in der zweiten Gruppe den Anstieg der Kurve des Jahresganges vom Hauptminimum zum Hauptmaximum verzögert.

In Mittelasien bis zur Höhe von Ssamarkand erhält sich der der Steppenregion eigene Typus des Jahresganges mit einer Verlagerung des Maximums vom Januar auf den November, wobei das Minimum, wie in der Steppe, im Juli eintritt. In der Höhe von Chorog (2098 m) erscheinen zwei sekundäre Minima im Januar und April, zwei sekundäre Maxima im März und im Mai. In Irkeschtam (2850 m) und im Pamirskij Post (3653 m) unterscheiden sich die Kurven des Jahresganges schon nicht unerheblich von der Kurve für Chorog. Das Minimum fällt auf beiden Stationen auf den Februar, das Maximum in Irkeschtam auf den September, in Pamirskij Post auf den November. Irkeschtam liegt in einem nicht breiten Tale und daher repräsentiert der in ihm zu beobachtende Jahresgang den Normaltypus, was aber den Pamirskij Post anbetrifft, so ist, offenbar, das von Bergen umschlossene Hochplateau, auf dem er sich befindet, nicht umfangreich genug, um ihm den Typus des Jahresganges des Luftdrucks über der Ebene zu sichern. Der sich wenig von dem Typus des Jahresganges über Ebenen unterscheidende Jahresgang in Chorog hängt, augenscheinlich, nicht nur mit der geringeren Höhe, sondern auch mit den Eigentümlichkeiten des Reliefs zusammen.

Es wäre noch der Jahresgang auf dem Ssotijiskij Priisk nördlich vom Unterlauf des Amur (891 m) zu erwähnen. Das Hauptmaximum wird hier im September erreicht, das sekundäre im Februar, das Hauptminimum im Mai, ein sekundäres im Dezember. Auf der Station im Amur-Tale, und zwar in Chabarowsk, findet sich das Maximum im Januar, das Minimum im Juli.

Die Besprechung der verschiedenen Typen des Jahresganges des Luftdrucks in verschiedenen Höhen lässt sich in folgenden Sätzen, die allgemeine Geltung haben, resumieren.

Der über den Ebenen des gegebenen Gebiets in geringen Höhen zu beobachtende Jahresgang des Luftdrucks erhält sich auch über den diesem Gebiet benachbarten, von Bergen umlagerten Hochplateaus, wobei nur die Amplitude mit der Höhe abnimmt.

Auf Abhängen des Bergrückens und auch in von diesen Bergen herabsteigenden gut ventilierten Tälern geht der Typus des Jahresganges des Luftdrucks schon angefangen von

ходит в высокогорный с максимумом осенью и минимумом зимой или весной. При более сложных условиях рельефа в горных районах встречаются переходные типы.

Как общее явление можно отметить, что те незначительные вторичные максимумы и минимумы или намеки на них, какие обнаруживаются на кривой годового хода давления на небольших высотах, по мере возрастания высоты получают более отчетливое выражение и, повидимому, во многих случаях приобретают реальное значение. Правда, мы не можем поручиться, что тот или иной вторичный минимум сохранится, если ряд наблюдений, на основании которого он получился, будет удлинен или сокращен, но за то время, за которое были использованы наблюдения, вообще говоря, может считаться реальным. Если это так, то отсюда вытекало бы заключение, что процессы, вызывающие изменение годового хода с высотой, могут быть связаны с притоком или оттоком воздуха, вообще говоря, лишь в слабой степени, другими словами, что горы мало влияют на общую циркуляцию на значительных высотах над данным районом.

ЗАКЛЮЧЕНИЕ.

Задача этого исследования состояла прежде всего в строгом научном контроле собранного материала по изучению режима давления воздуха на территории СССР, в отсеянии данных не вполне надежных, в установлении степени точности и сравнимости данных, признанных надежными. На эту часть исследования затрачено много труда и времени. На основании проработанного таким образом материала построены карты среднего распределения давления воздуха на уровне моря и сделана попытка охарактеризовать и осветить годовые колебания давления.

Проверка построенных средних изобар там, где это было необходимо, с использованием ежедневных синоптических карт, показала, что средние изобары удовлетворительно отражают характер и частоту динамических процессов над данной территорией и поэтому в свою очередь могут быть использованы для ориентировки при изучении этих процессов. Как средние изобары, так и данные о годовом ходе давления воздуха пополняют наши сведения об общей циркуляции атмосферы, а также и о местной циркуляции. Наложенные на карты изобар карты распределения преобладающего ветра и его повторяемости уточняют данные о циркуляции.

В заключение считаю не лишним подчеркнуть некоторые результаты работы, имеющие значение не только в научном отношении, но и в практическом приложении.

В настоящее время разные отрасли народного хозяйства, в особенности сельское хозяйство и лесоводство, сильно нуждаются в уточнении климатического районирования территории СССР. Правда, карты климатических зон и областей имеются, но они основаны на недостаточно полных данных, так как наша сеть метеорологиче-

ской сети в высокогорных районах недостаточна. В Gebirgstypus mit dem Maximum im Herbst und dem Minimum im Winter oder Frühling über. Kompliziertes Relief der Gebirge bedingt die Bildung von Übergangstypen.

Als eine allgemeine Erscheinung lässt sich konstatieren, dass diejenigen unbedeutenden sekundären Maxima und Minima, die auf der Kurve des Jahresganges des Luftdrucks in geringen Höhen in manchen Gegenden kaum angedeutet sind, mit wachsender Höhe deutlicher hervortreten und offenbar in vielen Fällen reale Bedeutung haben. Allerdings besteht keine Gewissheit darüber, dass dieses oder jenes sekundäre Minimum auch im Falle einer Verlängerung oder Kürzung der verwerteten Beobachtungsreihe, bleiben würde, doch für den Zeitraum, auf den sich die verarbeiteten Beobachtungen beziehen, dürfte es, im allgemeinen gesagt, Realität beanspruchen. Wenn diese Behauptung als verbürgt gelten darf, darf man den Schluss ziehen, dass die Prozesse, die eine Änderung des Jahresganges des Luftdrucks mit der Höhe hervorrufen, nur im geringen Masse mit einem Luftzufluss oder Abfluss in Zusammenhang stehen, mit anderen Worten, dass Gebirge wenig die allgemeine Zirkulation in der Höhe über dem gegebenen Gebiet beeinflussen.

SCHLUSSBETRACHTUNG.

Die Aufgabe dieser Untersuchung bestand vor allem in einer strengen wissenschaftlichen Prüfung des zum Studium des Luftdruckregimes über dem Territorium der USSR zusammengebrachten Materials, in einer Sichtung dieses Materials zwecks seiner Befreiung von unzuverlässigen Beobachtungsergebnissen und im Feststellen des Grades der Genauigkeit und der Homogenität der als zuverlässig erscheinenden Daten. Auf diesen Teil der Untersuchung wurde viel Zeit und Mühe verwandt. Das derartig verarbeitete Material diente zum Entwerfen der Karten der mittleren Verteilung des Luftdrucks in Meeresniveau und zum Studium der Jahreschwankungen des Luftdrucks.

Die Prüfung der entworfenen mittleren Isobaren mit Benutzung, dort wo es notwendig war, der täglichen Wetterkarten hat gezeigt, dass die mittleren Isobaren befriedigend den Charakter und die Häufigkeit der dynamischen Prozesse über dem gegebenen Territorium widerspiegeln und daher ihrerseits zu einer Orientierung beim Studium dieser Vorgänge dienen können. Die mittleren Isobaren ebenso wie Daten über den Jahresgang des Luftdrucks vervollständigen unsere Kenntnisse über die allgemeine Luftzirkulation, wie auch über die lokale Zirkulation. Die auf die Isobaren-Karten aufgetragenen Karten der Verteilung des vorherrschenden Windes und seiner Häufigkeit präzisieren die Darstellung der Zirkulation.

Zum Schluss halte ich es für geraten einige Ergebnisse dieser Arbeit hervorzuheben, die nicht nur in wissenschaftlicher Hinsicht, sondern auch für praktische Zwecke gewisse Bedeutung haben.

Zur Zeit ist für verschiedene Zweige der Volkswirtschaft und besonders der Land- und Forstwirtschaft die Präzisierung der Klimaprovinzen der USSR zum Bedürfnis geworden. Allerdings gibt es Karten der Klimazonen und Gebiete, doch stützen diese sich auf zu dürftiges Material, da ja unser meteorologisches Stationsnetz im nicht geringen Teil der

ских станций на обширных пространствах редка и к тому же рельеф земной поверхности во многих районах изучен далеко не точно.

Лучшим трудом по климатическому районированию поверхности земного шара являются классификация климатов и карта климатов проф. В. П. Кеппена¹⁾.

Автор этих работ, наметивший первоначально районирование на основании биологических данных, продолжал в течение многих лет углубленную проработку климатологического материала с целью установления типов климата, главным образом по климатическим признакам, и постепенно совершенствовал свою схему климатического районирования. Благодаря его чрезвычайно обширному научному кругозору в конечном результате получилась общепризнанная в настоящее время схема. Однако за недостатком наблюдений для обширных районов СССР для нашей страны схема В. П. Кеппена представляет собой районирование, нуждающееся еще в уточнении. Попытка уточнить эту схему для СССР на основании наблюдений большего числа станций, чем было использовано В. П. Кеппеном, сделана проф. А. В. Вознесенским²⁾, однако и карта климатов СССР, составленная последним, не разрешает стоящей перед климатологами задачи по установлению достаточно точных климатических границ, хотя бы для главнейших климатических зон и областей. Так как новые серии наблюдений необходимые для этой цели едва ли удастся использовать в ближайшие годы, то представляется целесообразным попытаться для решения задачи применить другой подход чем обычный и использовать такие признаки, какие пока мало привлекали к себе внимание. Эта попытка, разумеется, не может сколько нибудь поколебать значение прекрасных трудов В. П. Кеппена, она может лишь в некоторых случаях послужить проверкой проведенных на его карте климатических границ, основанных частично на недостаточно точных и продолжительных наблюдениях и на предположениях. С скромные попытки в этом направлении мною уже делались³⁾. Здесь я попытаюсь их объединить, не вдаваясь в подробности, которые отчасти приводятся в третьей из цитируемых работ.

Прежде всего замечу, что, по примеру проф. В. П. Кеппена, я искал признаки для районирования главным образом среди данных, характеризующих в климатическом отношении вегетационный период. Без сомнения условия погоды зимнего сезона тоже имеют значение для растительного мира, но все же решающая роль в процессах установления и смещения границ распространения как отдельных растений, так и растительных сообществ принадлежит теплоту сезону.

¹⁾ W. Köppen. Versuch einer Klassifikation der Klimate, vorzugsweise nach ihren Beziehungen zur Pflanzenwelt. Leipzig. 1901.
W. Köppen. Grundriss der Klimakunde. 2 Aufl. 1931.

W. Köppen und R. Geiger. Klimakarte der Erde. Gotha. 1926.

²⁾ А. В. Вознесенский. Карта климатов СССР. Труды по сельскохозяйственной метеорологии. Вып. XXI, № 1, 1930.

³⁾ А. Каминский. Windscheiden im Norden von Asien. Ergänzungsheft zu Petermanns Mitteilungen 206. 1929.

А. А. Каминский. К вопросу о климатических границах в Якутии. Геофизич. проблемы Якутии. Вып. II Материалов Комис. по изуч. Якутской АССР, 1928 г.

Его же. Климатические области Восточной Европы. Труды по лесному опытному делу в России. 1924 г.

USSR sehr weitmaschig und dazu das Oberflächenrelief in vielen Gebieten durchaus nicht genau genug erforscht ist.

Die hervorragendste Leistung betreffend die Rayonierung nach dem Klima ist die Klassifikation der Klimate und die Klimakarte von Prof. W. Köppen¹⁾.

Dieser hervorragende Gelehrte ging anfangs bei der Aufstellung seiner Klassifikation der Klimate von biologischen Merkmalen aus, setzte aber im Laufe vieler Jahre eine vertiefte Durcharbeitung eines umfangreichen klimatologischen Materials fort zwecks Begrenzung der Klimatypen hauptsächlich auf Grund klimatologischer Merkmale und vervollkommnete allmählich sein Schema der Klimazonen und Gebiete. Dank seinem ausserordentlich reichen Gedankenkreis entstand als Ergebnis das jetzt allgemein anerkannte Schema. Wegen der Unzuverlässigkeit der Beobachtungen in einer Reihe grösserer Gebiete der USSR bedarf das Schema Köppen's für unser Land noch einer ergänzenden Präzisierung. Den Versuch zu einer solchen Präzisierung auf Grund der Beobachtungen einer grösseren Anzahl von Stationen, als die von Köppen benutzte, machte Prof. A. V. Vosnessensky²⁾. Allein auch seine Karte der Klimate der USSR löst nicht die vor den Klimatalogen stehende Aufgabe einer genügend genauen Fixierung der Klimagrenzen wenigstens für die wichtigsten Klimazonen und Gebiete. Da man aber in den nächsten Jahren wohl kaum neue Beobachtungsreihen, die zu diesem Zwecke notwendig sind, wird heranziehen können, so dürfte vielleicht zur Lösung dieser Aufgabe von Nutzen sein, einen anderen Weg als der übliche einzuschlagen und die Verwertung von Merkmalen, denen bisher wenig Beachtung geschenkt wurde, zu versuchen. Ein derartiger Versuch kann selbstverständlich in keiner Weise die Bedeutung der ausgezeichneten Leistung Köppen's irgend wie schmälern, er könnte nur in einigen Fällen zur Kontrolle der auf der Karte angegebenen Klimagrenzen dienen, wo diese Grenzen nicht auf genaue und genügend langfristige Beobachtungen, sondern mehr auf Voraussetzungen sich stützen. Bescheidene Versuche sind in dieser Richtung von mir bereits gemacht worden³⁾. Hier will ich sie bloss zusammenfassen, ohne auf Einzelheiten einzugehen, die zum Teil in der dritten der zitierten Arbeiten dargelegt sind.

Vor allem sei erwähnt, dass auch ich nach Prof. W. Köppen's Vorgang den Vorzug solchen Merkmalen erteilte, die die Vegetationsperiode in klimatischer Hinsicht charakterisieren. Ohne Zweifel hat der Verlauf des Wetters im Winter für die Pflanzenwelt auch seine Bedeutung, doch spielt bei Feststellung und eventueller Verschiebung der Verbreitungsgrenzen der einzelnen Arten, wie auch ganzer Pflanzengemeinschaften die warme Jahreszeit die entscheidende Rolle.

¹⁾ W. Köppen. Versuch einer Klassifikation der Klimate, vorzugsweise nach ihren Beziehungen zur Pflanzenwelt. Leipzig. 1901.
W. Köppen. Grundriss der Klimakunde. 2te Aufl., Berlin u. Leipzig. 1931.

W. Köppen u. R. Geiger. Klimakarte der Erde. Gotha. 1926.

²⁾ А. В. Vosnessensky. Die Klimakarte der USSR. Contributions to agricultural Meteorology. Vol. XXI. Leningrad. 1930 (russ.).

³⁾ А. А. Каминский. Windscheiden im Norden von Asien. Ergänzungsheft zu Petermanns Mitteilungen 206. 1929.

А. А. Каминский. On the climatic boundaries in Yakutia. — Matériaux de la Commission pour l'étude de la République Autonome soviétique socialiste Jakoute. Livr. II. Problèmes géophysiques de la Jakoutie. Leningrad. 1928.

Derselbe. Klimaprovinzen von Ost-Europa verglichen mit der Verbreitung der Wälder. 1924.

А. И. Воейков¹⁾ назвал большой осью материка гребень высокого давления по средним годовым изобарам Евразии. Эту ось он рассматривал как особенно важную климатическую границу. П. И. Броунов²⁾ пытался точнее определить положение этой климатической границы, основываясь на средних изобарах отдельных месяцев. По мотивам, выше изложенным, я отдаю предпочтение при установлении климатической границы положению гребня повышенного давления в теплые месяцы, т. е. смещаю ее, по сравнению с большой осью материка А. И. Воейкова, к северу до широты 47—50° в Европ. части СССР и довожу ее только до Байкала. Эта граница совпадает с ветро-раздельной линией в теплый сезон.

Вторая климатическая граница, устанавливаемая по динамическому признаку, совпадает с ветро-раздельной линией, проходящей в летние месяцы приблизительно по середине полосы пониженного давления, которая в виде выступа Исландского барометрического минимума достигает севера Норвегии и дальше, потеряв связь с этим минимумом, тянется вдоль северных берегов материка до Чукотского полуострова на расстоянии от берега в 300—400 км. На северо-востоке Азиатской части Союза полоса пониженного давления поворачивает к югу и, пролекая вдоль восточных берегов материка, достигает Индокитая³⁾, где поворачивает на запад. В этом направлении она может быть прослежена до Средиземного моря. Подробнее об этой ветро-раздельной линии говорится выше, здесь же ограничусь лишь указанием на нее, как на климатическую границу. Область летнего Дальневосточного муссона простирается именно до этой границы.

Третья климатическая граница, на существование которой указывают изобары и карты ветров, пролекая по водораздельным возвышенностям между бассейнами Енисея и Лены. На севере до этой границы доходит определяющее в бассейне Енисея систему ветров продолжение выступа Исландского барометрического минимума. Переваливая через водораздельные возвышенности, ветры с западной составляющей достигают бассейна Лены ослабленными. К востоку от рассматриваемой границы изменчивость давления и скорость ветра меньше чем под теми же широтами к западу от нее до Урала; относительная влажность, облачность и осадки тоже меньше. Эта климатическая граница указана и на карте В. П. Кеппена, хотя он основывался только на данных о температуре воздуха и об осадках.

Две первые границы объясняют зональность при изменении климата в пространстве, третья граница, обнаруженная другим путем, пролекая в меридиональном направлении. Эти три границы намечают лишь вехи для районирования и не только не выделяют деталей, но не дают представления о влиянии рельефа и высот над уровнем моря на климат, однако они могут способствовать более твердому установлению основных климатических границ.

Некоторым дополнением к предлагаемой схеме может служить построенная мною ранее схема климатического

¹⁾ А. И. Воейков. Климаты земного шара, в особенности России. СПб. 1884.

²⁾ П. И. Броунов. Климатические зональности в связи с почвами и растительностью. Труды по с.-х. метеорологии, вып. XX, 1928.

³⁾ E. Bryzon et P. Carton. Le climat de l'Indochine et les typhons de la mer de Chine. Hanoi. 1930.

Wojeikoff¹⁾ bezeichnete den Hochdruckrücken nach den Isobaren Eurasiens als «grosse Achse des Kontinents» und diese Achse betrachtete er als äusserst wichtige Klimagrenze. Brounow²⁾ versuchte die Lage dieser Grenze auf Grund der mittleren Isobaren der einzelnen Monate genauer zu bestimmen. Auf oben von mir auseinandergesetzten Erwägungen fassend, erteile ich bei der Bestimmung der Klimagrenze dem Hochdruckrücken in den Sommermonaten den Vorzug, d. h. ich verlege die Grenze im Vergleich zu der «grossen Achse des Kontinents» Wojeikoff's im Europäischen Teil der Union nach Norden bis zum 47—50 Breitengrad und ziehe sie nur bis zum Baikalsee. Diese Grenze fällt mit der Windscheide der warmen Jahreszeit zusammen.

Die zweite, auf dynamischer Grundlage festgestellte Klimagrenze stimmt mit der den Sommermonaten eigenen Windscheide überein, die die um Eurasien entlang den Küsten hinziehende Furche niedrigen Drucks halbiert. Diese Furche, wie oben gezeigt wurde, beginnt als Vorsprung des Isländischen Tiefs, erreicht den Norden von Norwegen, um darauf ohne inneren Zusammenhang mit dem Isländischen Tief, längs der Nordküste des Festlandes bis zur Tschuktschen-Halbinsel in einer Entfernung von 300—400 km vom Ufer zu streichen. Im Nordosten des Asiatischen Teils der Union wendet sich die Furche südwärts und erreicht, der Ostküste des Kontinents folgend, Hinterindien³⁾, wo sie nach Westen abbiegt. In dieser Richtung kann sie bis zum Mittelmeer verfolgt werden. Genauere Angaben über diese Windscheide wurden oben gegeben, hier beschränke ich mich nur auf einen Hinweis auf sie als eine Klimagrenze. Das Gebiet des Monsuns des Fernen Ostens reicht gerade bis zu dieser Grenze.

Die dritte Klimagrenze, auf deren Existenz die Isobaren und die Windkarten hindeuten, zieht sich entlang der Höhenzüge, die als Wasserscheide zwischen den Flussgebieten des Enissei und der Lena dienen. Im Norden wird diese Klimagrenze von der das System der Winde im Flussgebiet des Enissei bestimmenden Fortsetzung des Vorsprungs des Isländischen Tiefs erreicht. Die Winde mit einer Westkomponente gelangen, nachdem sie die erwähnte Wasserscheide passiert haben, abgeschwächt in das Flussgebiet der Lena. Im Osten von der Wasserscheide sind die Veränderlichkeit des Luftdrucks und die Windgeschwindigkeit geringer als unter denselben Breiten westlich von der Wasserscheide bis zum Ural; ebenfalls geringer sind auch die relative Feuchtigkeit, die Bewölkung und die Niederschläge. Diese Klimagrenze hat bereits Köppen auf seiner Karte angegeben, indem er dabei sich auf Daten über Temperatur und Niederschläge stützte.

Die beiden ersten Klimagrenzen erklären die zonale Anordnung der Klimaprovinzen, die dritte aber, die auch auf anderem Wege konstatiert wurde, verläuft meridional. Alle diese Klimagrenzen können nur als Richtschnur bei einer Rayonierung dienen, denn sie geben nicht nur gar keine Details, sondern auch keine Vorstellung über den Einfluss des Reliefs und der Höhe über dem Meeresniveau auf das Klima, aber sie können immerhin zur Prüfung der Bestimmung der wichtigsten Klimagrenzen verhelfen.

Als eine Ergänzung zu dem vorgeschlagenen Schema kann das von mir früher entworfene Schema der klimatischen

¹⁾ A. J. Wojeikoff. Die Klimate der Erde. 1891.

²⁾ P. J. Brounow. Klimazonen in ihrer Beziehung zum Boden und der Vegetation. Contributions to Agricultural Meteorology. Vol. XX. Leningrad. 1928 (russ.).

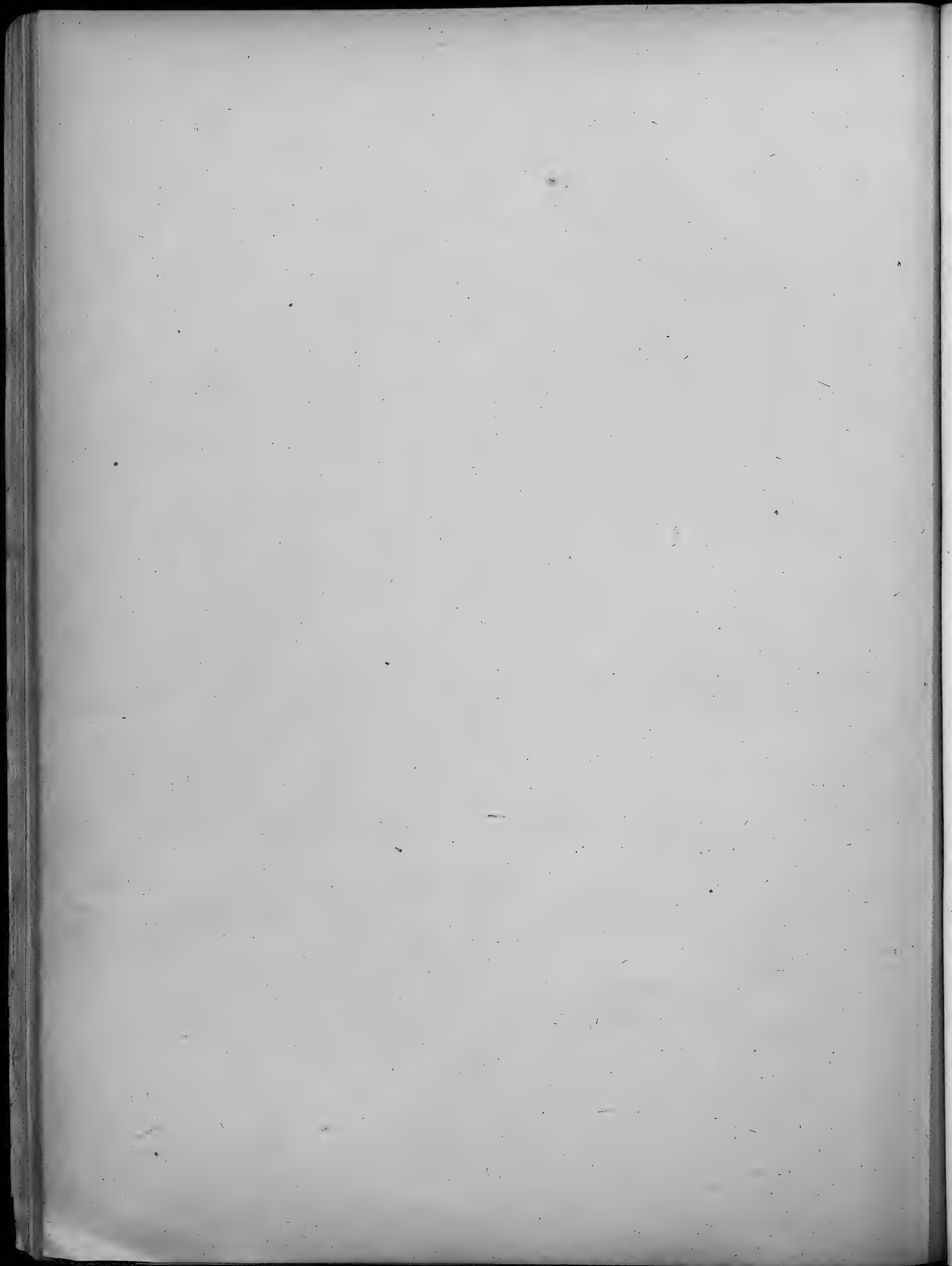
³⁾ E. Bryzon et P. Carton. Le climat de l'Indochine et les typhons de la mer de Chine. Hanoi. 1930.

районирования для Европ. части СССР, опирающаяся на данные о распределении средней температуры и о годовом ходе относительной влажности. Эта схема продолжена мною по данным за 1891—1915 г.г. для Азиатской части Союза. Если проведенные на построенной мною карте климатические границы наложим на схему, опирающуюся на данные о циркуляции, то ряд границ совпадет с границами этой схемы, остальные же границы дополняют схему, не противореча ей. Пополненная таким образом схема, не противореча и карте В. П. Кеппена, облегчает местами детализацию.

Я остановился на описанной эскизной схеме климатического районирования, чтобы показать, что благодаря той тесной связи, какая существует между климатом данного района и средним распределением давления воздуха, и при настоящем развитии климатологии, полезно, при изучении климата, заботиться и о точном построении средних изобар и по ним ориентироваться.

Rayonierung des Europäischen Teils der USSR, das sich auf die Verteilung der mittleren Temperatur und den Jahresgang der relativen Feuchtigkeit stützt, dienen. Dieses Schema ist von mir für den Asiatischen Teil der USSR nach den Daten für 1891—1915 ergänzt. Legt man die von mir auf der Karte gezogenen Grenzen auf das sich auf die Luftzirkulation stützende Schema auf, so deckt sich ein Teil der Grenzen, während die übrigen Grenzen das Schema ergänzen, ohne ihm zu widersprechen. Das auf diese Weise ergänzte Schema, das auch zur Klimakarte Köppen's nicht im Widerspruch steht, erleichtert stellenweise eine Detaillierung.

Ich habe mich bei dem beschriebenen Entwurf des Schema's einer klimatischen Rayonierung aufgehalten, um zu zeigen, dass auch bei gegenwärtigem Stand der Klimatologie in Anbetracht des engen Zusammenhanges zwischen dem Klima eines gegebenen Rayons und der mittleren Luftdruckverteilung, es angezeigt ist, beim Studium des Klimas auch für genaues Entwerfen der mittleren Isobaren zu sorgen und sich nach diesen zu orientieren.



ТАБЛИЦЫ

TABELLEN

ТАБЛИЦА А

TABELLE A

№	НАЗВАНИЯ СТАНЦИЙ	Широта Latitude von Greenwich	Долгота от Гринвича Longitude von Greenwich	Абс. высота Seehöhe (Meter) Число лет набл. Anzahl der Jahre	Годы наблюдений Jahre	На абсолютных высотах станций Auf die Seehöhe der Station bezogen												На уровне моря — im Meeresniveau												№	НАМЕН DER STATIONEN			
						Январь Januar	Февраль Februar	Март März	Апрель April	Май Mai	Июнь Juni	Июль Juli	Август August	Сентябрь September	Октябрь Oktober	Ноябрь November	Декабрь Dezember	Год Jahr	Январь Januar	Февраль Februar	Март März	Апрель April	Май Mai	Июнь Juni	Июль Juli	Август August	Сентябрь September	Октябрь Oktober	Ноябрь November			Декабрь Dezember	Год Jahr	
71	Великая Луна	56°21'	30°31'	104,7	30	1881—1910	752,7	752,5	751,6	752,2	752,2	749,9	749,2	749,0	753,5	752,6	752,5	751,8	762,9	762,7	761,6	761,9	761,6	759,2	758,4	758,9	762,5	763,2	762,5	762,6	761,5	71	Welkie Luni	
72	Новгород	58°31'	31°18'	33,6	19	1881—1888, 1894—1896	58,6	58,6	58,1	59,0	58,6	56,3	55,3	58,7	59,3	58,2	58,2	57,8	61,9	61,9	61,3	62,2	61,7	59,3	58,3	58,3	61,8	62,4	61,4	61,5	60,9	72	Nowgorod	
73	Григорово	58°31'	31°14'	33,6	19	1901—1903, 1906—1910	39,8	39,4	38,9	39,9	40,1	37,8	37,3	40,5	41,2	39,6	39,8	39,3	61,3	62,8	62,0	62,3	61,9	59,2	58,5	58,8	62,4	62,6	62,6	62,6	61,7	73	Grigorowo	
74	Давыдово	56°43'	32°30'	242,5	7	1903—1910	50,6	50,7	50,2	51,4	51,0	48,8	48,0	51,7	50,4	50,4	50,2	62,0	62,0	61,4	62,2	61,9	59,2	58,0	58,3	61,6	62,5	61,5	61,8	61,0	74	Dawydowo		
75	Веребье	58°39'	32°42'	116,2	11	1886—1888	52,5	52,5	52,1	53,0	52,5	50,1	49,2	50,9	52,3	53,4	52,2	52,4	62,3	62,2	61,7	62,3	61,6	59,0	58,0	58,3	61,4	62,7	61,7	62,1	61,1	75	Werobische	
76	Полыновка	58°23'	33°35'	99,9	9	1888—1886	43,3	43,0	42,0	42,6	42,6	40,2	39,7	40,4	43,4	44,3	43,0	43,0	61,9	62,3	62,2	62,2	61,6	58,9	58,3	58,9	62,6	62,9	62,5	62,5	61,9	76	Polynowka	
77	Батинцево	55°12'	33°25'	212,5	11	1900—1910	41,0	40,9	40,1	40,6	40,6	38,2	37,8	38,4	42,4	43,4	42,4	41,0	40,3	64,2	62,7	62,7	62,2	61,8	59,1	58,5	59,2	62,8	64,3	63,7	63,9	62,2	77	Wasma
78	Вазьма	55°13'	34°18'	237,8	10	1894—1904	45,3	45,2	44,2	44,9	44,6	40,2	40,8	41,6	45,3	46,2	45,1	45,2	44,7	61,8	62,8	62,8	62,2	61,6	58,9	58,3	58,9	62,6	62,9	62,5	62,5	61,9	78	Rshew
79	Винный Волочек	55°13'	34°20'	167,0	10	1885—1910	45,9	45,6	44,9	45,6	45,4	42,9	42,5	43,9	47,7	48,4	47,7	46,4	46,5	61,8	62,8	62,8	62,2	61,6	58,9	58,3	58,9	62,6	62,9	62,5	62,5	61,9	79	Wynschnij Wolotschek
80	Старца	55°13'	34°57'	178,6	6	1896—1902, 1904	50,2	50,4	49,8	50,4	49,8	47,2	46,6	48,0	51,4	50,2	50,4	49,5	61,2	63,3	62,5	62,7	61,8	59,0	58,2	58,7	62,2	63,7	62,8	63,3	61,8	80	Starza	
81	Тверь	56°32'	30°36'	112,6	7	1903—1910	49,2	49,4	49,1	49,8	49,2	46,6	45,9	49,0	50,4	48,9	49,1	48,6	61,2	63,3	62,5	62,7	61,8	59,0	58,2	58,7	62,2	63,7	62,8	63,3	61,8	81	Twer	
82	Бескеж	57°47'	36°40'	142,0	16	1891—1908	45,3	45,7	44,9	45,2	44,7	41,9	41,5	48,1	51,4	48,1	47,7	46,8	61,2	63,3	62,5	62,7	61,8	59,0	58,2	58,7	62,2	63,7	62,8	63,3	61,8	82	Beshez	
83	Михайловское (Моск. губ.)	55°25'	37°10'	102,4	19	1889—1892	47,8	48,0	47,3	47,7	47,0	44,4	43,8	47,4	48,8	47,6	47,9	46,8	61,2	63,3	62,5	62,7	61,8	59,0	58,2	58,7	62,2	63,7	62,8	63,3	61,8	83	Michailowskoe (Gouv. Moskau)	
84	Москва, с.-хоз. академия	55°30'	37°33'	165,7	18	1882—1910	48,1	48,3	47,9	47,9	47,2	44,4	43,9	47,6	49,1	47,9	48,2	47,0	61,2	63,3	62,5	62,7	61,8	59,0	58,2	58,7	62,2	63,7	62,8	63,3	61,8	84	Moskau, Landw. Akademie	
85	Москва, лесовод. институт	55°40'	38°13'	164,3	19	1881—1910	52,0	52,3	51,9	52,4	51,4	48,6	48,0	51,2	52,7	51,3	51,9	51,0	61,4	63,7	63,1	63,2	61,9	58,8	58,2	58,6	62,8	63,5	62,4	63,2	61,8	85	Moskau, Feldmesserinstitut	
86	Машин	57°47'	38°18'	116,2	11	1886—1909	40,6	40,4	40,6	40,4	40,6	38,2	37,8	38,4	42,4	43,4	42,4	41,2	44,7	61,8	62,8	62,8	62,2	61,6	58,9	58,3	58,9	62,6	62,9	62,5	62,5	61,9	86	Myschin
87	Бараново	56°25'	38°10'	181,0	16	1881—1902	46,8	47,1	46,6	47,1	46,6	43,8	43,1	46,7	48,4	46,8	46,6	61,2	63,3	62,5	62,7	61,8	59,0	58,2	58,7	62,2	63,7	62,8	63,3	61,8	87	Baranowo		
88	Полыновка	55°12'	33°10'	212,5	11	1892—1910	40,4	40,7	40,4	41,0	40,6	38,2	37,8	38,4	42,4	43,4	42,4	41,2	44,7	61,8	62,8	62,8	62,2	61,6	58,9	58,3	58,9	62,6	62,9	62,5	62,5	61,9	88	Polynowka
89	Успенская с.-хоз. школа	55°13'	34°10'	237,8	10	1896—1902	53,6	54,0	53,4	53,8	53,2	49,6	49,1	51,4	54,1	53,1	53,6	52,4	61,9	64,2	63,4	63,5	61,9	58,8	58,2	58,7	62,2	63,7	62,8	63,3	61,8	89	Ustenskaja, landw. Schule	
90	Ростов Ярославский	57°12'	39°25'	103,5	6	1896—1902	50,4	50,6	50,4	50,8	49,9	47,2	46,6	48,0	51,4	50,2	50,4	49,5	61,2	63,3	62,5	62,7	61,8	59,0	58,2	58,7	62,2	63,7	62,8	63,3	61,8	90	Rostow (Gouv. Jaroslawn)	
91	Романов-Борисоглебск	57°53'	30°31'	104,7	30	1906—1910	51,2	51,5	50,9	51,2	50,4	47,7	47,1	49,3	52,0	50,7	51,2	50,1	61,7	63,9	63,1	63,2	61,9	58,8	58,2	58,6	62,8	63,5	62,4	63,2	61,8	91	Romanow-Borissoglebsk	
92	Михайловское (Яросл. губ.)	57°42'	39°54'	126,4	14	1899—1903	51,2	51,5	50,9	51,2	50,4	47,7	47,1	49,3	52,0	50,7	51,2	50,1	61,7	63,9	63,1	63,2	61,9	58,8	58,2	58,6	62,8	63,5	62,4	63,2	61,8	92	Michailowskoe (Gouv. Jaroslawn)	
93	Вактино	58°10'	30°31'	104,7	30	1881—1910	47,1	47,9	47,7	48,3	47,5	44,7	44,0	46,6	49,1	48,2	49,0	48,8	49,1	61,2	63,3	62,5	62,7	61,8	59,0	58,2	58,7	62,2	63,7	62,8	63,3	61,8	93	Wachtin
94	Владимир на Клязьме	56°08'	40°40'	142,0	16	1891—1908	51,8	52,0	51,4	51,4	50,2	47,0	46,8	49,4	52,4	51,2	51,8	50,3	61,7	66,1	65,3	65,4	64,2	63,1	58,4	58,0	58,6	62,8	63,5	62,4	63,2	61,8	94	Wladimir an der Klyasma
95	Гусевская	55°37'	40°41'	131,3	10	1889—1909	51,2	51,4	51,2	51,4	50,2	47,0	46,8	49,4	52,4	51,2	51,8	50,3	61,7	66,1	65,3	65,4	64,2	63,1	58,4	58,0	58,6	62,8	63,5	62,4	63,2	61,8	95	Gusewskaja
96	Кострома	57°40'	40°40'	142,0	16	1891—1910	51,2	51,4	51,2	51,4	50,2	47,0	46,8	49,4	52,4	51,2	51,8	50,3	61,7	66,1	65,3	65,4	64,2	63,1	58,4	58,0	58,6	62,8	63,5	62,4	63,2	61,8	96	Kostroma
97	Иваново-Вознесенск	57°14'	40°40'	142,0	16	1891—1910	51,2	51,4	51,2	51,4	50,2	47,0	46,8	49,4	52,4	51,2	51,8	50,3	61,7	66,1	65,3	65,4	64,2	63,1	58,4	58,0	58,6	62,8	63,5	62,4	63,2	61,8	97	Iwanowo-Wosnessensk
98	Шуя	56°51'	41°23'	98,5	6	1902—1906, 1908	52,0	52,3	51,9	52,4	51,4	48,6	48,0	51,2	52,7	51,3	51,9	51,0	61,4	63,7	63,1	63,2	61,9	58,8	58,2	58,6	62,8	63,5	62,4	63,2	61,8	98	Schuya	
99	Муром	55°35'	42°4'	118,4	4	1887—1891	52,0	52,3	51,9	52,4	51,4	48,6	48,0	51,2	52,7	51,3	51,9	51,0	61,4	63,7	63,1	63,2	61,9	58,8	58,2	58,6	62,8	63,5	62,4	63,2	61,8	99	Murum	
100	Кинешма	57°27'	42°10'	113,5	13	1891—1896, 1902—1910	52,5	53,0	52,6	52,8	53,3	49,4	48,4	49,9	53,5	53,2	52,7	51,3	61,9	64,3	63,5	63,6	61,9	58,8	58,2	58,7	62,2	63,7	62,8	63,3	61,8	100	Kineshma	
101	Навиг. Новгород	56°20'	44°0'	157,9	27	1881—1910	48,7	49,4	49,0	49,1	47,7	44,4	44,1	47,6	49,7	48,5	49,0	47,7	64,3	64,9	64,2	63,8	61,9	58,8	58,2	58,6	62,8	63,5	62,4	63,2	61,8	101	Nishnij Nowgorod	
102	Колотвин	58°50'	44°17'	146,0	10	1898—1908	48,9	49,6	49,5	50,0	48,5	45,8	45,1	48,0	49,7	48,7	49,4	48,2	61,2	63,3	62,5	62,7	61,8	59,0	58,2	58,7	62,2	63,7	62,8	63,3	61,8	102	Kologriw	
103	Родзественское (Костр. губ.)	58°9'	43°30'	112,8	13	1881—1896	49,7	50,5	50,1	50,5	48,8	45,9	45,3	48,1	50,2	49,4	50,2	48,7	61,2	63,3	62,5													

TABELLE A

№	НАЗВАНИЯ СТАНЦИЙ	Широта Breite	Долгота Longitude	Ас. высота As. Height	Годы наблюдений Jahre	На абсолютных высотах Auf die Seehöhe der Station												На уровне моря - Im Meeresniveau												Jahr	NAMEN DER STATIONEN	
						в метрах																										
						Январь Januar	Февраль Februar	Март März	Апрель April	Май Mai	Июнь Juni	Июль Juli	Август August	Сентябрь September	Октябрь Oktober	Ноябрь November	Декабрь Dezember	Год Jahr	Январь Januar	Февраль Februar	Март März	Апрель April	Май Mai	Июнь Juni	Июль Juli	Август August	Сентябрь September	Октябрь Oktober	Ноябрь November			Декабрь Dezember
141	Холм	51° 8'	23° 29'	188,6	1892-93, 1895-1902, 1904-06, 1909-10	747,3	746,0	744,0	743,8	744,6	741,7	743,6	744,0	746,5	746,7	746,0	745,4	705,4	761,9	761,6	761,0	761,4	760,3	760,1	761,2	761,8	761,7	764,3	761,9	762,6	141	Cholm
142	Брест-Литовск	52° 8'	23° 40'	133,6	1893-1900	749,2	748,0	746,0	745,8	746,6	743,7	745,6	746,0	748,5	748,7	748,0	747,4	707,4	763,9	763,6	763,0	763,4	762,3	762,1	763,2	763,8	763,7	766,3	763,9	764,6	142	Brest-Litowsk
143	Ковно	55° 0'	24° 33'	36,9	1892-1910	59,6	58,8	57,2	57,8	58,2	56,2	58,0	59,0	59,3	59,1	58,7	58,2	62,9	62,2	61,0	61,4	60,8	59,1	59,7	62,7	62,5	63,2	62,0	61,4	143	Kowno	
144	Поневоме	54° 52'	23° 58'	144,4	1902-1906	59,6	58,9	57,3	57,8	58,5	56,7	58,1	59,0	59,3	59,1	58,7	58,2	62,9	62,2	61,0	61,4	60,8	59,1	59,7	62,7	62,5	63,2	62,0	61,4	144	Ponemom	
145	Вердвичи	53° 10'	25° 58'	167,7	1889-1902	48,2	48,4	47,7	48,2	48,5	46,5	48,0	48,1	47,9	47,8	47,0	46,6	64,3	61,4	61,1	61,1	61,1	60,4	61,1	63,2	61,5	62,9	61,0	61,4	145	Berdowitschi	
146	Вилки	53° 41'	25° 18'	148,0	1889-1902, 1884-1910	49,2	48,5	47,7	48,2	48,5	46,7	48,2	48,3	48,0	47,9	47,0	46,6	64,3	61,4	61,1	61,1	61,1	60,4	61,1	63,2	61,5	62,9	61,0	61,4	146	Wilki	
147	Писка	52° 7'	26° 6'	144,2	1881-1910	51,1	50,1	48,2	48,2	48,6	47,1	47,0	48,3	50,0	50,1	49,7	49,1	48,5	64,0	61,1	61,2	61,4	61,4	60,6	61,1	63,5	61,2	61,4	61,8	147	Pinsk	
148	Шерсы	53° 39'	26° 11'	100,3	1903-1910	50,0	49,2	47,5	47,8	48,4	46,8	48,1	49,3	49,5	49,8	48,2	42,4	62,0	64,2	61,0	61,8	61,6	61,9	60,0	61,1	63,2	61,5	61,4	61,8	148	Scherassy	
149	Минск	53° 54'	27° 31'	220,2	1896-1908	49,6	49,4	41,2	42,2	42,2	39,9	41,0	41,5	41,5	41,5	41,5	41,5	64,0	61,1	61,2	61,4	61,4	61,4	61,4	61,4	61,4	61,4	61,4	61,4	149	Minin	
150	Марина Горка	53° 32'	28° 08'	175,1	1881-1910	47,1	46,5	45,1	45,3	45,7	43,9	45,5	46,1	48,2	48,6	47,9	47,6	46,8	61,4	61,4	61,4	61,4	61,4	61,4	61,4	61,4	61,4	61,4	61,4	150	Marina Gorka	
151	Борисов	54° 18'	28° 30'	165,8	1893-1904	48,1	47,5	46,3	46,6	46,8	44,8	44,5	44,5	44,5	44,5	44,5	44,5	61,4	61,4	61,4	61,4	61,4	61,4	61,4	61,4	61,4	61,4	61,4	61,4	151	Borissow	
152	Могилев	53° 20'	29° 12'	8,8	1893-1904, 1898-1910	53,8	52,0	50,2	50,1	50,2	48,2	48,0	48,3	51,1	51,9	51,5	5	64,5	61,4	61,1	61,2	61,5	61,9	61,7	62,3	60,5	61,7	64,8	64,7	64,5	152	Mogilewitschi
153	Василевичи	52° 16'	28° 48'	130,6	1891-1910	51,6	50,8	49,3	49,1	49,2	47,2	47,0	48,0	48,3	47,5	47,5	45,0	45,3	64,4	61,3	61,1	61,8	61,5	61,1	59,3	58,6	60,2	64,1	61,3	61,3	153	Mogilew
154	Могилев	53° 14'	30° 20'	182,4	1886-1890	46,8	45,8	44,9	45,0	45,2	43,3	42,7	43,8	44,0	43,2	44,2	43,3	42,2	60,6	62,1	61,6	61,6	61,2	61,8	59,6	61,2	61,7	61,8	62,3	154	Mogilew	
155	Горы	54° 17'	30° 30'	106,3	1900-1910	44,7	43,7	42,7	43,1	43,1	40,7	41,7	42,7	42,9	42,8	42,8	40,0	40,0	61,4	61,4	61,4	61,4	61,4	61,4	61,4	61,4	61,4	61,4	61,4	61,4	155	Goritschi
156	Довжик	53° 37'	31° 1'	153,3	1900-1910	50,4	49,1	48,2	47,9	47,9	45,8	45,5	46,8	48,2	48,3	47,1	46,2	61,4	62,6	62,6	62,1	61,6	59,1	59,1	58,7	58,8	61,2	64,6	64,2	61,4	156	Dowshik
157	Чериков	53° 34'	31° 23'	106,0	1897-1908	48,6	48,6	48,6	48,6	48,6	44,5	44,2	44,2	44,2	44,2	44,2	44,2	61,4	61,4	61,4	61,4	61,4	61,4	61,4	61,4	61,4	61,4	61,4	61,4	157	Tscherikow	
158	Нежин	51° 3'	31° 13'	127,0	1893-1904, 1906-1908, 1910	51,9	52,2	50,8	50,2	50,2	48,0	48,0	48,0	48,0	48,0	48,0	48,0	48,0	61,4	61,4	61,4	61,4	61,4	61,4	61,4	61,4	61,4	61,4	61,4	61,4	158	Neshin
159	Новоболото	52° 12'	31° 16'	170,0	1891-1910	48,8	48,8	48,8	48,8	48,8	44,5	44,2	44,2	44,2	44,2	44,2	44,2	61,4	61,4	61,4	61,4	61,4	61,4	61,4	61,4	61,4	61,4	61,4	61,4	61,4	159	Nowybolotow
160	Смоленск	54° 47'	32° 4'	211,0	1888-1898, 1910	43,6	43,4	42,4	42,8	42,8	40,5	40,1	40,1	40,1	40,1	40,1	40,1	61,4	61,4	61,4	61,4	61,4	61,4	61,4	61,4	61,4	61,4	61,4	61,4	61,4	160	Smolensk
161	Фленово	54° 40'	32° 18'	108,6	1901-1910	44,4	44,2	43,2	43,6	43,6	41,2	40,8	41,0	41,0	41,0	41,0	41,0	61,4	61,4	61,4	61,4	61,4	61,4	61,4	61,4	61,4	61,4	61,4	61,4	61,4	161	Flenowo
162	Панталово	53° 32'	32° 34'	186,9	1898-1904	46,4	45,8	44,8	45,1	44,9	42,4	41,8	42,1	42,1	42,1	42,1	42,1	61,4	61,4	61,4	61,4	61,4	61,4	61,4	61,4	61,4	61,4	61,4	61,4	61,4	162	Schantalowo
163	Рославль	53° 56'	32° 30'	190,9	1891-1910	45,1	44,8	43,8	44,0	43,9	41,5	41,1	42,1	42,8	41,8	42,7	41,7	41,4	61,4	61,8	61,5	61,5	61,5	61,5	61,5	61,5	61,5	61,5	61,5	61,5	163	Roslavl
164	Ельня	54° 34'	33° 11'	233,0	1901-1904	41,4	41,1	40,4	40,3	40,3	38,0	38,1	38,1	38,1	38,1	38,1	38,1	61,4	61,4	61,4	61,4	61,4	61,4	61,4	61,4	61,4	61,4	61,4	61,4	61,4	164	Elnia
165	Шостенский завод	51° 52'	33° 30'	155,9	1901-1902, 1907-1910	41,4	41,0	40,6	40,2	40,2	38,2	37,9	38,1	38,1	38,1	38,1	38,1	61,4	61,4	61,4	61,4	61,4	61,4	61,4	61,4	61,4	61,4	61,4	61,4	61,4	165	Schostenski Sawod
166	Брянск	51° 33'	34° 22'	194,4	1884-1891	46,3	46,2	45,0	45,0	45,0	42,2	42,0	42,1	42,1	42,1	42,1	42,1	61,4	61,4	61,4	61,4	61,4	61,4	61,4	61,4	61,4	61,4	61,4	61,4	61,4	166	Brjansk
167	Севск	52° 9'	34° 30'	175	1904-1910	48,2	47,7	46,7	46,3	46,2	43,8	43,5	43,5	43,5	43,5	43,5	43,5	61,4	61,4	61,4	61,4	61,4	61,4	61,4	61,4	61,4	61,4	61,4	61,4	61,4	167	Sewsk
168	Богородице-сытнее десничество	53° 34'	34° 37'	187,0	1898-1904	45,6	45,6	45,6	45,6	45,6	43,8	43,8	43,8	43,8	43,8	43,8	43,8	61,4	61,4	61,4	61,4	61,4	61,4	61,4	61,4	61,4	61,4	61,4	61,4	61,4	168	Bogodizichow
169	Жиздра	52° 34'	34° 38'	186,8	1892-1910	46,6	46,3	45,3	45,3	45,3	42,3	42,3	42,3	42,3	42,3	42,3	42,3	61,4	61,4	61,4	61,4	61,4	61,4	61,4	61,4	61,4	61,4	61,4	61,4	61,4	169	Schidra
170	Коренево	52° 44'	34° 54'	195,8	1891-1909	50,1	49,5	48,2	47,8	47,5	45,1	44,8	44,8	44,8	44,8	44,8	44,8	61,4	61,4	61,4	61,4	61,4	61,4	61,4	61,4	61,4	61,4	61,4	61,4	61,4	170	Kornewo
171	Уютное	52° 4	35° 5'	159,2	1901-1910	50,2	49,8	48,7	48,2	47,8	45,4	45,0	45,0	45,0	45,0	45,0	45,0	61,4	61,4	61,4	61,4	61,4	61,4	61,4	61,4	61,4	61,4	61,4	61,4	61,4	171	Ujutnoe
172	Кучеров хутор	51° 31'	35° 25'	207,5	1898-1901, 1903, 1904	45,7	44,9	44,0	43,6	43,5	41,2	40,9	42,1	42,3	42,3	42,3	42,3	61,4	61,4	61,4	61,4	61,4	61,4	61,4	61,4	61,4	61,4	61,4	61,4	61,4	172	Kutscherow Chutor
173	Орел	52° 38'	36° 40'	176,3	1890-1907	47,6	47,5	46,5	46,4	45,8	43,2	43,0	43,0	43,0	43,0	43,0	43,0	61,4	61,4	61,4	61,4	61,4	61,4	61,4	61,4	61,4	61,4	61,4	61,4	61,4	173	Orel
174	Земляничное	54° 26'	33° 24'	206,9	1891-1898	46,4	46,2	45,3	45,3	45,3	42,9	42,9	42,9	42,9	42,9	42,9	42,9	61,4	61,4	61,4	61,4	61,4	61,4	61,4	61,4	61,4	61,4	61,4	61,4	61,4	174	Zemljantschik
175	Курск	51° 41'	36° 12'	235,1	1896-1910	42,7	42,5	41,3	41,1	40,8	38,3	38,1	39,1	39,6	39,6	39,6	39,6	61,4	61,4	61,4	61,4	61,4	61,4	61,4	61,4	61,4	61,4	61,4	61,4	61,4	175	Kursk
176	Калуга	51° 31'	36° 16'	195,1	1888-1904	45,4	45,0	44,7	44,5	44,5	41,9	41,5	42,9	43,0	43,0	43,0	43,0	61,4	61,4	61,4	61,4	61,4	61,4	61,4	61,4	61,4	61,4	61,4	61,4	61,4	176	Kaluga
177	Андреевское	53° 38'	36° 30'	204,3	1907-1910	44,4	44,7	43,8	43,9	43,3	40,7	40,7	40,7	40,7	40,7	40,7	40,7	61,4	61,4	61,4	61,4	61,4	61,4	61,4	61,4	61,4	61,4	61,4	61,4	61,4	177	Andreevskoe
178	Богодухов	52° 42'	36° 31'	202,7	1890-1910	49,0	48,9	48,9	48,9	48,9	46,5	46,5	46,5	46,5	46,5	46,5	46,5	61,4	61,4	61,4	61,4	61,4	61,4	61,4	61,4	61,4	61,4	61,4	61,4	61,4	178	Bogoduchow
179	Скуратово	53° 34'	36° 0'	237,9	1893-1904	39,8	39,8	39,2	39,3	38,8	36,4	36,2	37,1	37,1	37,1																	

ТАБЛИЦА А

№	НАЗВАНИЯ СТАНЦИЙ	Широта Breite	Длина Longitude	Акс. высота Höhe над уровнем моря Seehöhe (Meter) Число лет на- блюдений Anzahl der Jahre	Годы наблюдений Jahre	На абсолютных высотах Auf die Seehöhen der Station bezogen												На уровне моря - Im Meeresniveau												№	НАМЕН DER STATIONEN	
						Январь Januar	Февраль Februar	Март März	Апрель April	Май Mai	Июнь Juni	Июль Juli	Август August	Сентябрь September	Октябрь Oktober	Ноябрь November	Декабрь Dezember	Год Jahr	Январь Januar	Февраль Februar	Март März	Апрель April	Май Mai	Июнь Juni	Июль Juli	Август August	Сентябрь September	Октябрь Oktober	Ноябрь November			Декабрь Dezember
211	Николаевск	52° 0'	48° 48'	437	8	762,8	763,7	765,5	761,1	758,4	754,7	754,3	753,3	762,6	762,1	763,1	760,0	767,2	768,1	766,8	765,2	762,3	758,5	751,1	759,3	763,3	766,7	766,3	767,4	764,1	211	Nikolaewsk
212	Безенчук	52° 09'	49° 29'	460,0	61/2	62,2	63,3	62,4	60,6	57,8	54,1	53,7	54,6	61,8	61,6	62,4	59,4	66,9	67,9	66,9	64,9	61,9	58,1	57,7	58,8	62,8	66,1	66,0	67,0	63,7	212	Besentschuk
213	Самара	53° 11'	50° 53'	104,0	11/2	56,7	57,7	56,6	55,4	52,8	48,7	48,8	53,1	61,4	61,6	60,6	54,1	67,1	68,1	66,7	65,1	62,1	58,2	57,7	59,0	62,7	66,1	66,0	66,9	63,8	213	Samara
214	Томашев Колок	53° 14'	50° 12'	100,0	1910	62,0	62,9	62,4	60,6	58,2	54,1	53,5	54,8	62,2	61,0	62,3	59,4	67,0	67,8	67,2	65,2	62,6	58,4	57,8	59,1	62,7	66,8	66,7	67,2	64,0	214	Kinel
215	Кинель	53° 17'	50° 53'	49,1	4/2	53,7	57,8	56,7	55,1	52,8	49,1	48,5	50,9	58,4	57,2	56,4	53,7	63,8	64,6	61,2	58,1	54,2	50,9	49,3	50,9	62,7	66,8	66,7	67,2	64,0	215	Kinel
216	Уральск, лесничество	51° 43'	50° 53'	107	16/2	64,7	65,3	65,9	62,1	59,4	55,4	54,6	56,4	61,7	61,4	63,4	60,8	67,4	68,4	67,1	65,0	62,2	58,2	57,7	59,3	63,4	66,8	66,9	67,9	64,2	216	Ural'sk, Forstlei
217	Уральск, больница и с.-х. школа	51° 15'	51° 17'	33,2	17/2	64,7	65,3	65,9	62,1	59,4	55,4	54,6	56,4	61,7	61,4	63,4	60,8	67,4	68,4	67,1	65,0	62,2	58,2	57,7	59,3	63,4	66,8	66,9	67,9	64,2	217	Ural'sk, Realschule
218	Уральск, реальное училище	51° 12'	51° 22'	167	15/2	64,2	65,0	65,9	62,4	59,9	55,0	54,5	56,0	61,4	61,4	63,4	60,8	67,4	68,4	67,1	65,0	62,2	58,2	57,7	59,3	63,4	66,8	66,9	67,9	64,2	218	Borowoe, Forstlei
219	Боровое лесничество	52° 32'	52° 32'	82,0	8	59,1	60,2	59,3	57,6	54,8	51,4	50,4	51,8	58,6	58,4	59,4	56,4	67,4	68,4	67,1	65,0	62,2	58,2	57,7	59,3	63,4	66,8	66,9	67,9	64,2	219	Polibino
220	Полбино	53° 44'	53° 36'	108,3	21/2	56,6	57,7	56,9	55,1	52,5	48,9	48,3	49,4	59,9	59,9	59,9	56,9	67,3	68,6	67,5	65,7	62,2	58,4	57,8	59,0	62,7	66,0	66,0	67,0	64,0	220	Polibino
220	Аксеновская (Белебеевская) с.-х. ш.	53° 55'	54° 38'	277,4	81/2	40,0	41,2	40,7	39,9	37,4	34,2	33,6	34,6	40,4	38,5	37,6	36,6	67,5	68,6	67,5	65,7	62,2	58,4	57,8	59,0	62,7	66,0	66,0	67,0	64,0	220	Axenowskaja (Belebeewskaja) landw. Schule
221	Уфа	54° 43'	55° 36'	173,1	211/2	49,8	51,1	50,6	49,3	46,4	43,0	42,4	43,4	49,3	49,3	50,2	47,6	67,2	68,3	67,2	65,4	61,9	58,2	57,4	58,6	62,1	65,5	66,0	67,3	63,8	221	Ufa
222	Дедово	53° 45'	54° 45'	217	4	42,6	44,0	43,1	42,0	39,4	36,0	35,4	36,0	42,6	42,6	43,2	40,6	68,4	69,4	68,1	66,0	62,3	58,4	57,6	58,9	61,1	66,5	67,4	68,5	64,5	222	Dedowo
223	Оренбург	51° 45'	53° 06'	114,1	3/2	37,5	38,6	37,4	36,2	33,6	30,0	29,4	30,0	36,6	36,6	37,2	34,6	67,0	68,0	67,0	65,0	61,0	57,0	56,0	57,0	61,0	65,0	66,0	67,0	63,0	223	Orenburg
224	Загурская	50° 55'	50° 55'	244,4	7	42,2	43,0	42,1	41,0	38,4	35,0	34,4	35,0	42,2	42,2	43,0	40,4	67,4	68,4	67,4	65,4	61,4	57,4	56,4	57,4	61,4	65,4	66,4	67,4	63,4	224	Sagursch
225	Зомбоуш	50° 19'	51° 14'	301,4	19	37,2	37,9	37,4	36,1	33,4	30,0	29,4	30,0	36,6	36,6	37,2	34,6	67,4	68,4	67,4	65,4	61,4	57,4	56,4	57,4	61,4	65,4	66,4	67,4	63,4	225	Sombowitsch
226	Беляя Криница	50° 8'	52° 44'	228,0	15	44,4	45,0	44,5	43,0	40,4	37,0	36,4	37,0	44,4	44,4	45,0	42,4	67,4	68,4	67,4	65,4	61,4	57,4	56,4	57,4	61,4	65,4	66,4	67,4	63,4	226	Beljaia Krinitsa
227	Зомбоуш	50° 19'	51° 14'	301,4	19	37,2	37,9	37,4	36,1	33,4	30,0	29,4	30,0	36,6	36,6	37,2	34,6	67,4	68,4	67,4	65,4	61,4	57,4	56,4	57,4	61,4	65,4	66,4	67,4	63,4	227	Sombowitsch
228	Каменич-Польск	48° 40'	26° 15'	195,7	13/2	45,0	45,0	45,0	44,1	41,4	38,0	37,4	38,0	45,0	45,0	45,6	43,0	67,4	68,4	67,4	65,4	61,4	57,4	56,8	57,8	61,4	65,4	66,4	67,4	63,4	228	Kamenitsch-Podolsk
229	Старо-Константинов	49° 45'	27° 18'	272	10/2	44,0	44,0	44,0	43,0	40,4	37,0	36,4	37,0	44,0	44,0	44,6	42,0	67,4	68,4	67,4	65,4	61,4	57,4	56,8	57,8	61,4	65,4	66,4	67,4	63,4	229	Staro-Konstantinow
230	Гриноуш	48° 17'	28° 12'	232	6	40,4	42,3	40,3	39,1	36,0	33,0	32,4	33,0	40,4	40,4	41,0	38,4	67,4	68,4	67,4	65,4	61,4	57,4	56,8	57,8	61,4	65,4	66,4	67,4	63,4	230	Griunouch
231	Ятлушков	48° 59'	27° 29'	114	7	36,8	37,2	36,8	35,1	32,4	29,0	28,4	29,0	36,8	36,8	37,4	34,8	66,6	67,0	66,6	64,6	61,0	57,4	56,8	57,8	61,4	65,4	66,4	67,4	63,4	231	Jaltuschkow
232	Нижний Ольмелев	48° 58'	27° 40'	174	3/2	49,8	49,8	49,8	48,7	46,1	43,5	42,9	43,5	49,8	49,8	50,4	47,8	67,4	68,4	67,4	65,4	61,4	57,4	56,8	57,8	61,4	65,4	66,4	67,4	63,4	232	Nishnij Olschedaw
233	Жиринская	48° 58'	27° 40'	174	3/2	49,8	49,8	49,8	48,7	46,1	43,5	42,9	43,5	49,8	49,8	50,4	47,8	67,4	68,4	67,4	65,4	61,4	57,4	56,8	57,8	61,4	65,4	66,4	67,4	63,4	233	Smerinka
234	Сороки	48° 58'	27° 40'	174	3/2	49,8	49,8	49,8	48,7	46,1	43,5	42,9	43,5	49,8	49,8	50,4	47,8	67,4	68,4	67,4	65,4	61,4	57,4	56,8	57,8	61,4	65,4	66,4	67,4	63,4	234	Soroki
235	Короницы	50° 28'	59° 28'	218,8	61/2	41,4	41,4	41,4	40,4	37,8	34,2	33,6	34,2	41,4	41,4	42,0	39,4	67,4	68,4	67,4	65,4	61,4	57,4	56,8	57,8	61,4	65,4	66,4	67,4	63,4	235	Korowinitsy
236	Житомир	48° 58'	28° 10'	272	10/2	44,4	44,4	44,4	43,4	40,8	37,4	36,8	37,4	44,4	44,4	45,0	42,4	67,4	68,4	67,4	65,4	61,4	57,4	56,8	57,8	61,4	65,4	66,4	67,4	63,4	236	Shitomir
237	Немиров	48° 58'	28° 10'	272	10/2	44,4	44,4	44,4	43,4	40,8	37,4	36,8	37,4	44,4	44,4	45,0	42,4	67,4	68,4	67,4	65,4	61,4	57,4	56,8	57,8	61,4	65,4	66,4	67,4	63,4	237	Nemirow
238	Плисково-Андрушевский завод	49° 20'	29° 10'	271,9	81/2	40,0	40,0	40,0	39,0	36,4	33,0	32,4	33,0	40,0	40,0	40,6	38,0	66,6	67,0	66,6	64,6	61,0	57,4	56,8	57,8	61,4	65,4	66,4	67,4	63,4	238	Plirowsko-Andruschewskij Sawod
239	Корытнев	50° 19'	29° 10'	176	17/2	48,7	48,7	48,7	47,7	45,1	42,5	41,9	42,5	48,7	48,7	49,3	46,7	67,4	68,4	67,4	65,4	61,4	57,4	56,8	57,8	61,4	65,4	66,4	67,4	63,4	239	Korystschew
240	Плот	47° 57'	29° 10'	147	10	52,5	53,1	52,5	51,4	48,9	46,3	45,7	46,3	52,5	52,5	53,1	50,5	66,7	67,1	66,7	64,7	61,1	57,5	56,9	57,9	61,5	64,9	65,9	66,9	63,9	240	Plot
241	Ивее	50° 27'	50° 30'	182,9	30	47,9	47,9	47,9	46,9	44,3	41,7	41,1	41,7	47,9	47,9	48,5	45,9	67,4	68,4	67,4	65,4	61,4	57,4	56,8	57,8	61,4	65,4	66,4	67,4	63,4	241	Iwee
242	Умаш	49° 48'	30° 13'	216,3	22	45,4	44,4	44,4	43,4	40,8	37,4	36,8	37,4	45,4	45,4	46,0	43,4	67,4	68,4	67,4	65,4	61,4	57,4	56,8	57,8	61,4	65,4	66,4	67,4	63,4	242	Uman
243	Мартыновка	49° 38'	31° 08'	100	12	56,0	56,0	56,0	55,0	52,4	49,0	48,4	49,0	56,0	56,0	56,6	54,0	67,4	68,4	67,4	65,4	61,4	57,4	56,8	57,8	61,4	65,4	66,4	67,4	63,4	243	Martynowka
244	Щадиновка	50° 39'	31° 08'	139	7	52,0	52,1	52,1	51,0	48,4	45,8	45,2	45,8	52,0	52,0	52,6	50,0	67,4	68,4	67,4	65,4	61,4</										

№

НАЗВАНИЯ СТАНЦИЙ

Ширина
Breite

Долгота от Гринича
Longitude
Greenwich

Абс. высота
Höhe (Meter)

Средняя
Stärke

Абс. высота
Höhe (Meter)

Средняя
Stärke

Абс. высота
Höhe (Meter)

Средняя
Stärke

Абс. высота
Höhe (Meter)

Средняя
Stärke

Абс. высота
Höhe (Meter)

Средняя
Stärke

Абс. высота
Höhe (Meter)

Средняя
Stärke

Абс. высота
Höhe (Meter)

Средняя
Stärke

Абс. высота
Höhe (Meter)

Средняя
Stärke

Абс. высота
Höhe (Meter)

Средняя
Stärke

Абс. высота
Höhe (Meter)

Средняя
Stärke

Абс. высота
Höhe (Meter)

Средняя
Stärke

Абс. высота
Höhe (Meter)

Средняя
Stärke

Абс. высота
Höhe (Meter)

Средняя
Stärke

Абс. высота
Höhe (Meter)

Средняя
Stärke

Абс. высота
Höhe (Meter)

Средняя
Stärke

Абс. высота
Höhe (Meter)

Средняя
Stärke

Абс. высота
Höhe (Meter)

Средняя
Stärke

Абс. высота
Höhe (Meter)

Средняя
Stärke

Абс. высота
Höhe (Meter)

Средняя
Stärke

Абс. высота
Höhe (Meter)

Средняя
Stärke

Абс. высота
Höhe (Meter)

Средняя
Stärke

Абс. высота
Höhe (Meter)

Средняя
Stärke

Абс. высота
Höhe (Meter)

Средняя
Stärke

Абс. высота
Höhe (Meter)

Средняя
Stärke

Абс. высота
Höhe (Meter)

Средняя
Stärke

Абс. высота
Höhe (Meter)

Средняя
Stärke

Абс. высота
Höhe (Meter)

Средняя
Stärke

Абс. высота
Höhe (Meter)

Средняя
Stärke

Абс. высота
Höhe (Meter)

Средняя
Stärke

Абс. высота
Höhe (Meter)

Средняя
Stärke

Абс. высота
Höhe (Meter)

Средняя
Stärke

Абс. высота
Höhe (Meter)

Средняя
Stärke

Абс. высота
Höhe (Meter)

Средняя
Stärke

Абс. высота
Höhe (Meter)

Средняя
Stärke

Абс. высота
Höhe (Meter)

Средняя
Stärke

Абс. высота
Höhe (Meter)

Средняя
Stärke

Абс. высота
Höhe (Meter)

Средняя
Stärke

Абс. высота
Höhe (Meter)

Средняя
Stärke

Абс. высота
Höhe (Meter)

Средняя
Stärke

Абс. высота
Höhe (Meter)

Средняя
Stärke

Абс. высота
Höhe (Meter)

Средняя
Stärke

Абс. высота
Höhe (Meter)

Средняя
Stärke

Абс. высота
Höhe (Meter)

Средняя
Stärke

Абс. высота
Höhe (Meter)

Средняя
Stärke

Абс. высота
Höhe (Meter)

Средняя
Stärke

Абс. высота
Höhe (Meter)

Средняя
Stärke

Абс. высота
Höhe (Meter)

Средняя
Stärke

Абс. высота
Höhe (Meter)

Средняя
Stärke

Абс. высота
Höhe (Meter)

Средняя
Stärke

Абс. высота
Höhe (Meter)

Средняя
Stärke

Абс. высота
Höhe (Meter)

Средняя
Stärke

Абс. высота
Höhe (Meter)

Средняя
Stärke

Абс. высота
Höhe (Meter)

Средняя
Stärke

Абс. высота
Höhe (Meter)

Средняя
Stärke

Абс. высота
Höhe (Meter)

Средняя
Stärke

Абс. высота
Höhe (Meter)

Средняя
Stärke

Абс. высота
Höhe (Meter)

Средняя
Stärke

Абс. высота
Höhe (Meter)

Средняя
Stärke

Абс. высота
Höhe (Meter)

Средняя
Stärke

Абс. высота
Höhe (Meter)

Средняя
Stärke

Абс. высота
Höhe (Meter)

Средняя
Stärke

Абс. высота
Höhe (Meter)

Средняя
Stärke

Абс. высота
Höhe (Meter)

Средняя
Stärke

Абс. высота
Höhe (Meter)

Средняя
Stärke

Абс. высота
Höhe (Meter)

Средняя
Stärke

Абс. высота
Höhe (Meter)

Средняя
Stärke

Абс. высота
Höhe (Meter)

Средняя
Stärke

Абс. высота
Höhe (Meter)

Средняя
Stärke

Абс. высота
Höhe (Meter)

Средняя
Stärke

Абс. высота
Höhe (Meter)

Средняя
Stärke

Абс. высота
Höhe (Meter)

Средняя
Stärke

Абс. высота
Höhe (Meter)

Средняя
Stärke

Абс. высота
Höhe (Meter)

Средняя
Stärke

Абс. высота
Höhe (Meter)

Средняя
Stärke

Абс. высота
Höhe (Meter)

Средняя
Stärke

Абс. высота
Höhe (Meter)

Средняя
Stärke

Абс. высота
Höhe (Meter)

Средняя
Stärke

Абс. высота
Höhe (Meter)

Средняя
Stärke

Абс. высота
Höhe (Meter)

Средняя
Stärke

Абс. высота
Höhe (Meter)

Средняя
Stärke

Абс. высота
Höhe (Meter)

Средняя
Stärke

Абс. высота
Höhe (Meter)

Средняя
Stärke

Абс. высота
Höhe (Meter)

Средняя
Stärke

Абс. высота
Höhe (Meter)

Средняя
Stärke

Абс. высота
Höhe (Meter)

Средняя
Stärke

Абс. высота
Höhe (Meter)

Средняя
Stärke

Абс. высота
Höhe (Meter)

Средняя
Stärke

Абс. высота
Höhe (Meter)

Средняя
Stärke

Абс. высота
Höhe (Meter)

Средняя
Stärke

Абс. высота
Höhe (Meter)

Средняя
Stärke

Абс. высота
Höhe (Meter)

Средняя
Stärke

Абс. высота
Höhe (Meter)

Средняя
Stärke

Абс. высота
Höhe (Meter)

Средняя
Stärke

Абс. высота
Höhe (Meter)

Средняя
Stärke

Абс. высота
Höhe (Meter)

Средняя
Stärke

Абс. высота
Höhe (Meter)

Средняя
Stärke

Абс. высота
Höhe (Meter)

Средняя
Stärke

Абс. высота
Höhe (Meter)

Средняя
Stärke

Абс. высота
Höhe (Meter)

Средняя
Stärke

Абс. высота
Höhe (Meter)

Средняя
Stärke

Абс. высота
Höhe (Meter)

Средняя
Stärke

Абс. высота
Höhe (Meter)

Средняя
Stärke

Абс. высота
Höhe (Meter)

Средняя
Stärke

Абс. высота
Höhe (Meter)

Средняя
Stärke

Абс. высота
Höhe (Meter)

Средняя
Stärke

Абс. высота
Höhe (Meter)

Средняя
Stärke

Абс. высота
Höhe (Meter)

Средняя
Stärke

Абс. высота
Höhe (Meter)

Средняя
Stärke

Абс. высота
Höhe (Meter)

Средняя
Stärke

Абс. высота
Höhe (Meter)

Средняя
Stärke

Абс. высота
Höhe (Meter)

Средняя
Stärke

Абс. высота
Höhe (Meter)

Средняя
Stärke

Абс. высота
Höhe (Meter)

Средняя
Stärke

Абс. высота
Höhe (Meter)

Средняя
Stärke

Абс. высота
Höhe (Meter)

Средняя
Stärke

Абс. высота
Höhe (Meter)

Средняя
Stärke

Абс. высота
Höhe (Meter)

Средняя
Stärke

Абс. высота
Höhe (Meter)

Средняя
Stärke

Абс. высота
Höhe (Meter)

Средняя
Stärke

Абс. высота
Höhe (Meter)

Средняя
Stärke

Абс. высота
Höhe (Meter)

Средняя
Stärke

Абс. высота
Höhe (Meter)

Средняя
Stärke

Абс. высота
Höhe (Meter)

Средняя
Stärke

Абс. высота
Höhe (Meter)

Средняя
Stärke

Абс. высота
Höhe (Meter)

Средняя
Stärke

Абс. высота
Höhe (Meter)

Средняя
Stärke

Абс. высота
Höhe (Meter)

Средняя
Stärke

Абс. высота
Höhe (Meter)

Средняя
Stärke

Абс. высота
Höhe (Meter)

Средняя
Stärke

Абс. высота
Höhe (Meter)

Средняя
Stärke

Абс. высота
Höhe (Meter)

Средняя
Stärke

Абс. высота
Höhe (Meter)

Средняя
Stärke

Абс. высота
Höhe (Meter)

Средняя
Stärke

Абс. высота
Höhe (Meter)

Средняя
Stärke

Абс. высота
Höhe (Meter)

Средняя
Stärke

Абс. высота
Höhe (Meter)

Средняя
Stärke

Абс. высота
Höhe (Meter)

Средняя
Stärke

Абс. высота
Höhe (Meter)

Средняя
Stärke

Абс. высота
Höhe (Meter)

Средняя
Stärke

Абс. высота
Höhe (Meter)

Средняя
Stärke

Абс. высота
Höhe (Meter)

Средняя
Stärke

Абс. высота
Höhe (Meter)

Средняя
Stärke

Абс. высота
Höhe (Meter)

Средняя
Stärke

Абс. высота
Höhe (Meter)

Средняя
Stärke

Абс. высота
Höhe (Meter)

Средняя
Stärke

Абс. высота
Höhe (Meter)

Средняя
Stärke

Абс. высота
Höhe (Meter)

Средняя
Stärke

Абс. высота
Höhe (Meter)

Средняя
Stärke

Абс. высота
Höhe (Meter)

Средняя
Stärke

Абс. высота
Höhe (Meter)

Средняя
Stärke

Абс. высота
Höhe (Meter)

Средняя
Stärke

Абс. высота
Höhe (Meter)

Средняя
Stärke

Абс. высота
Höhe (Meter)

Средняя
Stärke

Абс. высота
Höhe (Meter)

Средняя
Stärke

Абс. высота
Höhe (Meter)

Средняя
Stärke

Абс. высота
Höhe (Meter)

Средняя
Stärke

Абс. высота
Höhe (Meter)

Средняя
Stärke

Абс. высота
Höhe (Meter)

Средняя
Stärke

Абс. высота
Höhe (Meter)

Средняя
Stärke

Абс. высота
Höhe (Meter)

Средняя
Stärke

Абс. высота
Höhe (Meter)

Средняя
Stärke

Абс. высота
Höhe (Meter)

Средняя
Stärke

Абс. высота
Höhe (Meter)

Средняя
Stärke

Абс. высота
Höhe (Meter)

Средняя
Stärke

Абс. высота
Höhe (Meter)

Средняя
Stärke

Абс. высота
Höhe (Meter)

Средняя
Stärke

Абс. высота
Höhe (Meter)

Средняя
Stärke

Абс. высота
Höhe (Meter)

Средняя
Stärke

Абс. высота
Höhe (Meter)

Средняя
Stärke

Абс. высота
Höhe (Meter)

Средняя
Stärke

Абс. высота
Höhe (Meter)

Средняя
Stärke

Абс. высота
Höhe (Meter)

Средняя
Stärke

Абс. высота
Höhe (Meter)

Средняя
Stärke

Абс. высота
Höhe (Meter)

Средняя
Stärke

Абс. высота
Höhe (Meter)

Средняя
Stärke

Абс. высота
Höhe (Meter)

Средняя
Stärke

Абс. высота
Höhe (Meter)

Средняя
Stärke

Абс. высота
Höhe (Meter)

Средняя
Stärke

Абс. высота
Höhe (Meter)

Средняя
Stärke

Абс. высота
Höhe (Meter)

Средняя
Stärke

Абс. высота
Höhe (Meter)

Средняя
Stärke

Абс. высота
Höhe (Meter)

Средняя
Stärke

Абс. высота
Höhe (Meter)

Средняя
Stärke

Абс. высота
Höhe (Meter)

Средняя
Stärke

Абс. высота
Höhe (Meter)

Средняя
Stärke

Абс. высота
Höhe (Meter)

Средняя
Stärke

Абс. высота
Höhe (Meter)

Средняя
Stärke

Абс. высота
Höhe (Meter)

Средняя
Stärke

Абс. высота
Höhe (Meter)

Средняя
Stärke

Абс. высота
Höhe (Meter)

Средняя
Stärke

Абс. высота
Höhe (Meter)

Средняя
Stärke

ТАБЛИЦА А

№	НАЗВАНИЯ СТАНЦИЙ	Широта Breite	Долгота от Грин- вича Longitude Greenwich	Абс. высота (метры) Schöhe (Meter)	Анzahl der Jahre	Годы наблюдений Jahre	На абсолютных высотах станций Auf die Seehöhen der Station bezogen												На уровне моря — Im Meeresniveau												№	НАМЕН DER STATIONEN																																																																																																																																																																																																																																																																																																																																																																																																																																																																																																																																																																																																																																																																																																																																																																																																																																																																																																																																																								
							Январь Januar	Февраль Februar	Март März	Апрель April	Май Mai	Июнь Juni	Июль Juli	Август August	Сентябрь September	Октябрь Oktober	Ноябрь November	Декабрь Dezember	Год Jahr	Январь Januar	Февраль Februar	Март März	Апрель April	Май Mai	Июнь Juni	Июль Juli	Август August	Сентябрь September	Октябрь Oktober	Ноябрь November			Декабрь Dezember	Год Jahr																																																																																																																																																																																																																																																																																																																																																																																																																																																																																																																																																																																																																																																																																																																																																																																																																																																																																																																																																						
351	Сухум, ботанический сад	43° 0'	41° 1'	169,7	7	1904—1910	761,7	760,6	758,9	758,0	757,5	756,2	754,9	753,8	752,4	751,5	750,8	750,1	749,8	749,1	748,4	747,7	747,0	746,3	745,6	744,9	744,2	743,5	742,8	742,1	741,4	740,7	352	Сухум, опатное поле	43° 1'	41° 2'	169,7	7	1901—1910	602,3	592,7	571,1	564,3	559,4	547,3	540,9	530,1	520,0	510,0	500,0	490,0	480,0	470,0	460,0	450,0	440,0	430,0	420,0	410,0	400,0	390,0	380,0	370,0	360,0	350,0	340,0	330,0	320,0	310,0	300,0	290,0	280,0	270,0	260,0	250,0	240,0	230,0	220,0	210,0	200,0	190,0	180,0	170,0	160,0	150,0	140,0	130,0	120,0	110,0	100,0	90,0	80,0	70,0	60,0	50,0	40,0	30,0	20,0	10,0	0,0	-10,0	-20,0	-30,0	-40,0	-50,0	-60,0	-70,0	-80,0	-90,0	-100,0	-110,0	-120,0	-130,0	-140,0	-150,0	-160,0	-170,0	-180,0	-190,0	-200,0	-210,0	-220,0	-230,0	-240,0	-250,0	-260,0	-270,0	-280,0	-290,0	-300,0	-310,0	-320,0	-330,0	-340,0	-350,0	-360,0	-370,0	-380,0	-390,0	-400,0	-410,0	-420,0	-430,0	-440,0	-450,0	-460,0	-470,0	-480,0	-490,0	-500,0	-510,0	-520,0	-530,0	-540,0	-550,0	-560,0	-570,0	-580,0	-590,0	-600,0	-610,0	-620,0	-630,0	-640,0	-650,0	-660,0	-670,0	-680,0	-690,0	-700,0	-710,0	-720,0	-730,0	-740,0	-750,0	-760,0	-770,0	-780,0	-790,0	-800,0	-810,0	-820,0	-830,0	-840,0	-850,0	-860,0	-870,0	-880,0	-890,0	-900,0	-910,0	-920,0	-930,0	-940,0	-950,0	-960,0	-970,0	-980,0	-990,0	-1000,0	-1010,0	-1020,0	-1030,0	-1040,0	-1050,0	-1060,0	-1070,0	-1080,0	-1090,0	-1100,0	-1110,0	-1120,0	-1130,0	-1140,0	-1150,0	-1160,0	-1170,0	-1180,0	-1190,0	-1200,0	-1210,0	-1220,0	-1230,0	-1240,0	-1250,0	-1260,0	-1270,0	-1280,0	-1290,0	-1300,0	-1310,0	-1320,0	-1330,0	-1340,0	-1350,0	-1360,0	-1370,0	-1380,0	-1390,0	-1400,0	-1410,0	-1420,0	-1430,0	-1440,0	-1450,0	-1460,0	-1470,0	-1480,0	-1490,0	-1500,0	-1510,0	-1520,0	-1530,0	-1540,0	-1550,0	-1560,0	-1570,0	-1580,0	-1590,0	-1600,0	-1610,0	-1620,0	-1630,0	-1640,0	-1650,0	-1660,0	-1670,0	-1680,0	-1690,0	-1700,0	-1710,0	-1720,0	-1730,0	-1740,0	-1750,0	-1760,0	-1770,0	-1780,0	-1790,0	-1800,0	-1810,0	-1820,0	-1830,0	-1840,0	-1850,0	-1860,0	-1870,0	-1880,0	-1890,0	-1900,0	-1910,0	-1920,0	-1930,0	-1940,0	-1950,0	-1960,0	-1970,0	-1980,0	-1990,0	-2000,0	-2010,0	-2020,0	-2030,0	-2040,0	-2050,0	-2060,0	-2070,0	-2080,0	-2090,0	-2100,0	-2110,0	-2120,0	-2130,0	-2140,0	-2150,0	-2160,0	-2170,0	-2180,0	-2190,0	-2200,0	-2210,0	-2220,0	-2230,0	-2240,0	-2250,0	-2260,0	-2270,0	-2280,0	-2290,0	-2300,0	-2310,0	-2320,0	-2330,0	-2340,0	-2350,0	-2360,0	-2370,0	-2380,0	-2390,0	-2400,0	-2410,0	-2420,0	-2430,0	-2440,0	-2450,0	-2460,0	-2470,0	-2480,0	-2490,0	-2500,0	-2510,0	-2520,0	-2530,0	-2540,0	-2550,0	-2560,0	-2570,0	-2580,0	-2590,0	-2600,0	-2610,0	-2620,0	-2630,0	-2640,0	-2650,0	-2660,0	-2670,0	-2680,0	-2690,0	-2700,0	-2710,0	-2720,0	-2730,0	-2740,0	-2750,0	-2760,0	-2770,0	-2780,0	-2790,0	-2800,0	-2810,0	-2820,0	-2830,0	-2840,0	-2850,0	-2860,0	-2870,0	-2880,0	-2890,0	-2900,0	-2910,0	-2920,0	-2930,0	-2940,0	-2950,0	-2960,0	-2970,0	-2980,0	-2990,0	-3000,0	-3010,0	-3020,0	-3030,0	-3040,0	-3050,0	-3060,0	-3070,0	-3080,0	-3090,0	-3100,0	-3110,0	-3120,0	-3130,0	-3140,0	-3150,0	-3160,0	-3170,0	-3180,0	-3190,0	-3200,0	-3210,0	-3220,0	-3230,0	-3240,0	-3250,0	-3260,0	-3270,0	-3280,0	-3290,0	-3300,0	-3310,0	-3320,0	-3330,0	-3340,0	-3350,0	-3360,0	-3370,0	-3380,0	-3390,0	-3400,0	-3410,0	-3420,0	-3430,0	-3440,0	-3450,0	-3460,0	-3470,0	-3480,0	-3490,0	-3500,0	-3510,0	-3520,0	-3530,0	-3540,0	-3550,0	-3560,0	-3570,0	-3580,0	-3590,0	-3600,0	-3610,0	-3620,0	-3630,0	-3640,0	-3650,0	-3660,0	-3670,0	-3680,0	-3690,0	-3700,0	-3710,0	-3720,0	-3730,0	-3740,0	-3750,0	-3760,0	-3770,0	-3780,0	-3790,0	-3800,0	-3810,0	-3820,0	-3830,0	-3840,0	-3850,0	-3860,0	-3870,0	-3880,0	-3890,0	-3900,0	-3910,0	-3920,0	-3930,0	-3940,0	-3950,0	-3960,0	-3970,0	-3980,0	-3990,0	-4000,0	-4010,0	-4020,0	-4030,0	-4040,0	-4050,0	-4060,0	-4070,0	-4080,0	-4090,0	-4100,0	-4110,0	-4120,0	-4130,0	-4140,0	-4150,0	-4160,0	-4170,0	-4180,0	-4190,0	-4200,0	-4210,0	-4220,0	-4230,0	-4240,0	-4250,0	-4260,0	-4270,0	-4280,0	-4290,0	-4300,0	-4310,0	-4320,0	-4330,0	-4340,0	-4350,0	-4360,0	-4370,0	-4380,0	-4390,0	-4400,0	-4410,0	-4420,0	-4430,0	-4440,0	-4450,0	-4460,0	-4470,0	-4480,0	-4490,0	-4500,0	-4510,0	-4520,0	-4530,0	-4540,0	-4550,0	-4560,0	-4570,0	-4580,0	-4590,0	-4600,0	-4610,0	-4620,0	-4630,0	-4640,0	-4650,0	-4660,0	-4670,0	-4680,0	-4690,0	-4700,0	-4710,0	-4720,0	-4730,0	-4740,0	-4750,0	-4760,0	-4770,0	-4780,0	-4790,0	-4800,0	-4810,0	-4820,0	-4830,0	-4840,0	-4850,0	-4860,0	-4870,0	-4880,0	-4890,0	-4900,0	-4910,0	-4920,0	-4930,0	-4940,0	-4950,0	-4960,0	-4970,0	-4980,0	-4990,0	-5000,0	-5010,0	-5020,0	-5030,0	-5040,0	-5050,0	-5060,0	-5070,0	-5080,0	-5090,0	-5100,0	-5110,0	-5120,0	-5130,0	-5140,0	-5150,0	-5160,0	-5170,0	-5180,0	-5190,0	-5200,0	-5210,0	-5220,0	-5230,0	-5240,0	-5250,0	-5260,0	-5270,0	-5280,0	-5290,0	-5300,0	-5310,0	-5320,0	-5330,0	-5340,0	-5350,0	-5360,0	-5370,0	-5380,0	-5390,0	-5400,0	-5410,0	-5420,0	-5430,0	-5440,0	-5450,0	-5460,0	-5470,0	-5480,0	-5490,0	-5500,0	-5510,0	-5520,0	-5530,0	-5540,0	-5550,0	-5560,0	-5570,0	-5580,0	-5590,0	-5600,0	-5610,0	-5620,0	-5630,0	-5640,0	-5650,0	-5660,0	-5670,0	-5680,0	-5690,0	-5700,0	-5710,0	-5720,0	-5730,0	-5740,0	-5750,0	-5760,0	-5770,0	-5780,0	-5790,0	-5800,0	-5810,0	-5820,0	-5830,0	-5840,0	-5850,0	-5860,0	-5870,0	-5880,0	-5890,0	-5900,0	-5910,0	-5920,0	-5930,0	-5940,0	-5950,0	-5960,0	-5970,0	-5980,0	-5990,0	-6000,0	-6010,0	-6020,0	-6030,0	-6040,0	-6050,0	-6060,0	-6070,0	-6080,0	-6090,0	-6100,0	-6110,0	-6120,0	-6130,0	-6140,0	-6150,0	-6160,0	-6170,0	-6180,0	-6190,0	-6200,0	-6210,0	-6220,0	-6230,0	-6240,0	-6250,0	-6260,0	-6270,0	-6280,0	-6290,0	-6300,0	-6310,0	-6320,0	-6330,0	-6340,0	-6350,0	-6360,0	-6370,0	-6380,0	-6390,0	-6400,0	-6410,0	-6420,0	-6430,0	-6440,0	-6450,0	-6460,0	-6470,0	-6480,0	-6490,0	-6500,0	-6510,0	-6520,0	-6530,0	-6540,0	-6550,0	-6560,0	-6570,0	-6580,0	-6590,0	-6600,0	-6610,0	-6620,0	-6630,0	-6640,0	-6650,0	-6660,0	-6670,0	-6680,0	-6690,0	-6700,0	-6710,0	-6720,0	-6730,0	-6740,0	-6750,0	-6760,0	-6770,0	-6780,0	-6790,0	-6800,0	-6810,0	-6820,0	-6830,0	-6840,0	-6850,0	-6860,0	-6870,0	-6880,0	-6890,0	-6900,0	-6910,0	-6920,0	-6930,0	-6940,0	-6950,0	-6960,0	-6970,0	-6980,0	-6990,0	-7000,0	-7010,0	-7020,0	-7030,0	-7040,0	-7050,0	-7060,0	-7070,0	-7080,0	-7090,0	-7100,0	-7110,0	-7120,0	-7130,0	-7140,0	-7150,0	-7160,0	-7170,0	-7180,0	-7190,0	-7200,0	-7210,0	-7220,0	-7230,0	-7240,0	-7250,0	-7260,0	-7270,0	-7280,0	-7290,0	-7300,0	-7310,0	-7320,0	-7330,0	-7340,0	-7350,0	-7360,0	-7370,0	-7380,0	-7390,0	-7400,0	-7410,0	-7420,0	-7430,0	-7440,0	-7450,0	-7460,0	-7470,0	-7480,0	-7490,0	-7500,0	-7510,0	-7520,0	-7530,0	-7540,0	-7550,0	-7560,0	-7570,0	-7580,0	-7590,0	-7600,0	-7610,0	-7620,0	-7630,0	-7640,0	-7650,0	-7660,0	-7670,0	-7680,0	-7690,0	-7700,0	-7710,0	-7720,0	-7730,0	-7740,0	-7750,0	-7760,0	-7770,0	-7780,0	-7790,0	-7800,0	-7810,0	-7820,0	-7830,0	-7840,0	-7850,0	-7860,0	-7870,0	-7880,0	-7890,0	-7900,0	-7910,0	-7920,0	-7930,0	-7940,0	-7950,0	-7960,0	-7970,0	-7980,0	-7990,0	-8000,0	-8010,0	-8020,0	-8030,0	-8040,0	-8050,0	-8060,0	-8070,0	-8080,0	-8090,0	-8100,0	-8110,0	-8120,0	-8130,0	-8140,0	-8150,0	-8160,0	-8170,0	-8180,0	-8190,0	-8200,0	-8210,0	-8220,0	-8230,0	-8240,0	-8250,0	-8260,0	-8270,0	-8280,0	-8290,0	-8300,0	-8310,0	-8320,0	-8330,0	-8340,0	-8350,0	-8360,0	-8370,0	-8380,0	-8390,0	-8400,0	-8410,0	-8420,0	-8430,0	-8440,0	-8450,0	-8460,0	-8470,0	-8480,0	-8490,0	-8500,0	-8510,0	-8520,0

TABELLE A

№	НАЗВАНИЯ СТАНЦИЙ	Широта Breite	Долгота от Гринича Longitude Gr.	Высота Höhe m	Глубина Tiefe m	Анzahl der Jahre	Годы наблюдений												На абсолютных высотах Auf die Seehöhen der Station bezogen												На уровне моря — Im Meeresniveau												№	НАМЕНЕ СТАЦИОН																																																																																																																																																																																																																																																																																																																																																																																																																																																																																																																																																																																																																																																																																																																																																																																																																																																																																																																																																																																																																																																																																																																																																																																																																																																																																																																																																													
							Jahre												Station												Station																																																																																																																																																																																																																																																																																																																																																																																																																																																																																																																																																																																																																																																																																																																																																																																																																																																																																																																																																																																																																																																																																																																																																																																																																																																																																																																																																																										
							1900	1901	1902	1903	1904	1905	1906	1907	1908	1909	1910	1911	1912	1913	1914	1915	1916	1917	1918	1919	1920	1921	1922	1923	1924	1925	1926	1927	1928	1929	1930	1931	1932	1933	1934	1935	1936	1937	1938	1939	1940	1941	1942	1943	1944	1945	1946	1947	1948	1949	1950	1951	1952	1953	1954	1955	1956	1957	1958	1959	1960	1961	1962	1963	1964	1965	1966	1967	1968	1969	1970	1971	1972	1973	1974	1975	1976	1977	1978	1979	1980	1981	1982	1983	1984	1985	1986	1987	1988	1989	1990	1991	1992	1993	1994	1995	1996	1997	1998	1999	2000	2001	2002	2003	2004	2005	2006	2007	2008	2009	2010	2011	2012	2013	2014	2015	2016	2017	2018	2019	2020	2021	2022	2023	2024	2025	2026	2027	2028	2029	2030	2031	2032	2033	2034	2035	2036	2037	2038	2039	2040	2041	2042	2043	2044	2045	2046	2047	2048	2049	2050	2051	2052	2053	2054	2055	2056	2057	2058	2059	2060	2061	2062	2063	2064	2065	2066	2067	2068	2069	2070	2071	2072	2073	2074	2075	2076	2077	2078	2079	2080	2081	2082	2083	2084	2085	2086	2087	2088	2089	2090	2091	2092	2093	2094	2095	2096	2097	2098	2099	2100	2101	2102	2103	2104	2105	2106	2107	2108	2109	2110	2111	2112	2113	2114	2115	2116	2117	2118	2119	2120	2121	2122	2123	2124	2125	2126	2127	2128	2129	2130	2131	2132	2133	2134	2135	2136	2137	2138	2139	2140	2141	2142	2143	2144	2145	2146	2147	2148	2149	2150	2151	2152	2153	2154	2155	2156	2157	2158	2159	2160	2161	2162	2163	2164	2165	2166	2167	2168	2169	2170	2171	2172	2173	2174	2175	2176	2177	2178	2179	2180	2181	2182	2183	2184	2185	2186	2187	2188	2189	2190	2191	2192	2193	2194	2195	2196	2197	2198	2199	2200	2201	2202	2203	2204	2205	2206	2207	2208	2209	2210	2211	2212	2213	2214	2215	2216	2217	2218	2219	2220	2221	2222	2223	2224	2225	2226	2227	2228	2229	2230	2231	2232	2233	2234	2235	2236	2237	2238	2239	2240	2241	2242	2243	2244	2245	2246	2247	2248	2249	2250	2251	2252	2253	2254	2255	2256	2257	2258	2259	2260	2261	2262	2263	2264	2265	2266	2267	2268	2269	2270	2271	2272	2273	2274	2275	2276	2277	2278	2279	2280	2281	2282	2283	2284	2285	2286	2287	2288	2289	2290	2291	2292	2293	2294	2295	2296	2297	2298	2299	2300	2301	2302	2303	2304	2305	2306	2307	2308	2309	2310	2311	2312	2313	2314	2315	2316	2317	2318	2319	2320	2321	2322	2323	2324	2325	2326	2327	2328	2329	2330	2331	2332	2333	2334	2335	2336	2337	2338	2339	2340	2341	2342	2343	2344	2345	2346	2347	2348	2349	2350	2351	2352	2353	2354	2355	2356	2357	2358	2359	2360	2361	2362	2363	2364	2365	2366	2367	2368	2369	2370	2371	2372	2373	2374	2375	2376	2377	2378	2379	2380	2381	2382	2383	2384	2385	2386	2387	2388	2389	2390	2391	2392	2393	2394	2395	2396	2397	2398	2399	2400	2401	2402	2403	2404	2405	2406	2407	2408	2409	2410	2411	2412	2413	2414	2415	2416	2417	2418	2419	2420	2421	2422	2423	2424	2425	2426	2427	2428	2429	2430	2431	2432	2433	2434	2435	2436	2437	2438	2439	2440	2441	2442	2443	2444	2445	2446	2447	2448	2449	2450	2451	2452	2453	2454	2455	2456	2457	2458	2459	2460	2461	2462	2463	2464	2465	2466	2467	2468	2469	2470	2471	2472	2473	2474	2475	2476	2477	2478	2479	2480	2481	2482	2483	2484	2485	2486	2487	2488	2489	2490	2491	2492	2493	2494	2495	2496	2497	2498	2499	2500	2501	2502	2503	2504	2505	2506	2507	2508	2509	2510	2511	2512	2513	2514	2515	2516	2517	2518	2519	2520	2521	2522	2523	2524	2525	2526	2527	2528	2529	2530	2531	2532	2533	2534	2535	2536	2537	2538	2539	2540	2541	2542	2543	2544	2545	2546	2547	2548	2549	2550	2551	2552	2553	2554	2555	2556	2557	2558	2559	2560	2561	2562	2563	2564	2565	2566	2567	2568	2569	2570	2571	2572	2573	2574	2575	2576	2577	2578	2579	2580	2581	2582	2583	2584	2585	2586	2587	2588	2589	2590	2591	2592	2593	2594	2595	2596	2597	2598	2599	2600	2601	2602	2603	2604	2605	2606	2607	2608	2609	2610	2611	2612	2613	2614	2615	2616	2617	2618	2619	2620	2621	2622	2623	2624	2625	2626	2627	2628	2629	2630	2631	2632	2633	2634	2635	2636	2637	2638	2639	2640	2641	2642	2643	2644	2645	2646	2647	2648	2649	2650	2651	2652	2653	2654	2655	2656	2657	2658	2659	2660	2661	2662	2663	2664	2665	2666	2667	2668	2669	2670	2671	2672	2673	2674	2675	2676	2677	2678	2679	2680	2681	2682	2683	2684	2685	2686	2687	2688	2689	2690	2691	2692	2693	2694	2695	2696	2697	2698	2699	2700	2701	2702	2703	2704	2705	2706	2707	2708	2709	2710	2711	2712	2713	2714	2715	2716	2717	2718	2719	2720	2721	2722	2723	2724	2725	2726	2727	2728	2729	2730	2731	2732	2733	2734	2735	2736	2737	2738	2739	2740	2741	2742	2743	2744	2745	2746	2747	2748	2749	2750	2751	2752	2753	2754	2755	2756	2757	2758	2759	2760	2761	2762	2763	2764	2765	2766	2767	2768	2769	2770	2771	2772	2773	2774	2775	2776	2777	2778	2779	2780	2781	2782	2783	2784	2785	2786	2787	2788	2789	2790	2791	2792	2793	2794	2795	2796	2797	2798	2799	2800	2801	2802	2803	2804	2805	2806	2807	2808	2809	2810	2811	2812	2813	2814	2815	2816	2817	2818	2819	2820	2821	2822	2823	2824	2825	2826	2827	2828	2829	2830	2831	2832	2833	2834	2835	2836	2837	2838	2839	2840	2841	2842	2843	2844	2845	2846	2847	2848	2849	2850	2851	2852	2853	2854	2855	2856	2857	2858	2859	2860	2861	2862	2863	2864	2865	2866	2867	2868	2869	2870	2871	2872	2873	2874	2875	2876	2877	2878	2879	2880	2881	2882	2883	2884	2885	2886	2887	2888	2889	2890	2891	2892	2893	2894	2895	2896	2897	2898	2899	2900	2901	2902	2903	2904	2905	2906	2907	2908	2909	2910	2911	2912	2913	2914	2915	2916	2917	2918	2919	2920	2921	2922	2923	2924	2925	2926	2927	2928	2929	2930	2931	2932	2933	2934	2935	2936	2937	2938	2939	2940	2941	2942	2943	2944	2945	2946	2947	2948	2949	2950	2951	2952	2953	2954	2955	2956	2957	2958	2959	2960	2961	2962	2963	2964	2965	2966	2967	2968	2969	2970	2971	2972	2973	2974	2975	2976	2977	2978	2979	2980	2981	2982	2983	2984	2985	2986	2987	2988	2989	2990	2991	2992	2993	2994	2995	2996	2997	2998	2999	3000	3001	3002	3003	3004	3005	3006	3007	3008	3009	3010	3011	3012	3013	3014	3015	3016	3017	3018	3019	3020	3021	3022	3023	3024	3025	3026	3027	3028	3029	3030	3031	3032	3033	3034	3035	3036	3037	3038	3039	3040	3041	3042	3043	3044	3045	3046	3047	3048	3049	3050	3051	3052	3053	3054	3055	3056	3057	3058	3059	3060	3061	3062	3063	3064	3065	3066	3067	3068	3069	3070	3071	3072	3073	3074	3075	3076	3077	3078	3079	3080	3081	3082	3083	3084	3085	3086	3087	3088	3089	3090	3091	3092	3093	3094	3095	3096	3097	3098	3099	3100	3101	3102	3103	3104	3105	3106	3107	3108	3109	3110	3111	3112	3113	3114	3115	3116	3117	3118	3119	3120	3121	3122	3123	3124	3125	3126	3127	3128	3129	3130	3131	3132	3133	3134	3135	3136	3137	3138	3139	3140	3141	3142	3143	3144	3145	3146	3147	3148	3149	3150	3151	3152	3153	3154	3155	3156	3157	3158	3159	3160	3161	3162	3163	3164	3165	3166	3167	3168	3169	3170	3171	3172	3173	3174	3175	3176	3177	3178	3179	3180	3181	3182	3183	3184	3185	3186	3187	3188	3189	3190	3191	3192	3193	3194	3195	3196	3197	3198	3199	3200	3201	3202	3203	3204	3205	3206	3207	3208	3209	3210	3211	3212	3213	3214	3215	3216	3217	3218	3219	3220	3221	3222	3223	3224	3225	3226	3227	3228	3229	3230	3231	3232	3233	3234	3235	3236	3237	3238	3239	3240	3241	3242	3243	3244	3245	3246

ТАБЛИЦА А

TABELLE A

№	НАЗВАНИЯ СТАНЦИЙ	На абсолютных высотах Auf die Seehöhen der Stationen										На уровне моря — Im Meeresniveau										№	NAMEN DER STATIONEN																																																																																																																																																																																																																																																																																																																																																																																																																																																																																																																																																																																																																																																																																																																																																																																																																																																																																																																																																																																																																																																																																																																																																																																																																																																																																																																																																																																																																																																																																																																			
		Широта Breite	Длина Länge	Абс. высота Greenwich	Абс. высота (Метры) Seehöhe (Meter)	Число лет наблюдений Anzahl der Jahre	Годы наблюдений Jahre																																																																																																																																																																																																																																																																																																																																																																																																																																																																																																																																																																																																																																																																																																																																																																																																																																																																																																																																																																																																																																																																																																																																																																																																																																																																																																																																																																																																																																																																																																																																			
							Январь Januar	Февраль Februar	Март März	Апрель April	Май Mai	Июнь Juni	Июль Juli	Август August	Сентябрь September	Октябрь Oktober	Ноябрь November	Декабрь Dezember	Год Jahr																																																																																																																																																																																																																																																																																																																																																																																																																																																																																																																																																																																																																																																																																																																																																																																																																																																																																																																																																																																																																																																																																																																																																																																																																																																																																																																																																																																																																																																																																																																							

ТАБЛИЦА А

TABELLE A

№	НАЗВАНИЯ СТАНЦИЙ	Широта Latitude	Долгота от Гринвича Longitude from Greenwich	Годы наблюдений Jahre	На абсолютных высотах Auf die Seehöhen der Stationen bezogen												На уровне моря — Im Meeresniveau												№	НАМЕН DER STATIONEN				
					Январь Januar	Февраль Februar	Март März	Апрель April	Май Mai	Июнь Juni	Июль Juli	Август August	Сентябрь September	Октябрь Oktober	Ноябрь November	Декабрь Dezember	Год Jahr	Январь Januar	Февраль Februar	Март März	Апрель April	Май Mai	Июнь Juni	Июль Juli	Август August	Сентябрь September	Октябрь Oktober	Ноябрь November			Декабрь Dezember	Год Jahr		
561	Красноводск	40° 0'	52° 59'	1883—1898, 1900—1902, 1904—1910	768.6	767.8	765.7	763.3	762.2	759.3	757.9	756.6	763.4	767.2	768.0	768.6	764.3	766.7	766.0	763.9	761.6	760.3	757.6	756.3	757.9	761.7	761.4	762.2	766.8	766.3	763.1	561	Krasnowodsk	
562	Челекен	39° 29'	53° 9'	1912—1915	649.6	641.1	622.2	598.8	589.0	561.1	547.7	563.1	601.1	641.1	645.5	651.0	604.4	623.3	682.1	641.6	663.6	681.7	681.7	681.7	681.7	681.7	681.7	681.7	681.7	681.7	681.7	562	Tschelken	
563	Узун-Ада	39° 33'	53° 40'	1891—1895	692.0	678.8	618.4	614.0	619.0	588.7	578.8	594.6	616.1	641.1	678.8	682.1	644.4	666.7	676.0	676.0	676.0	676.0	676.0	676.0	676.0	676.0	676.0	676.0	676.0	676.0	676.0	563	Usun-Ada	
564	Никишар	37° 53'	53° 53'	1911—1915	685.7	679.4	615.5	611.1	622.2	591.7	582.2	598.3	616.1	641.1	678.8	682.1	644.4	666.7	676.0	676.0	676.0	676.0	676.0	676.0	676.0	676.0	676.0	676.0	676.0	676.0	676.0	564	Tschikischjar	
565	Кизил-Арват	39° 17'	59° 10'	1893—1910	584.7	574.4	552.2	526.0	517.4	488.8	476.4	494.4	531.1	570.0	579.0	544.0	540.0	608.0	608.0	608.0	608.0	608.0	608.0	608.0	608.0	608.0	608.0	608.0	608.0	608.0	608.0	565	Kisil-Arvat	
566	Ашхабад (Асхабад)	37° 58'	23° 22'	1892—1905, 1909—1910	465.1	457.7	436.0	412.0	400.0	377.7	365.3	383.3	420.0	457.7	464.4	467.7	426.0	678.8	678.8	678.8	678.8	678.8	678.8	678.8	678.8	678.8	678.8	678.8	678.8	678.8	678.8	566	Aschchabad (Asschabad)	
567	Турткуул (Петро-Александровский)	41° 28'	01° 54'	1894—1905, 1907—1908	595.1	587.4	564.3	541.2	519.9	488.8	471.1	494.4	531.1	570.0	579.0	544.0	540.0	608.0	608.0	608.0	608.0	608.0	608.0	608.0	608.0	608.0	608.0	608.0	608.0	608.0	608.0	567	Turtkuul (Petro-Alexandrowski)	
568	Байрам-Али	37° 40'	02° 51'	1889—1901, 1903—1905, 1908—1910	418.4	408.4	425.3	398.8	388.3	355.3	336.0	360.4	404.4	446.4	458.4	459.4	411.4	686.7	677.7	677.7	677.7	677.7	677.7	677.7	677.7	677.7	677.7	677.7	677.7	677.7	677.7	568	Aschchabad (Asschabad)	
569	Султан-Бенд	37° 01'	02° 22'	1889—1893	452.2	427.0	403.3	377.7	365.3	335.3	316.0	338.3	379.4	423.3	433.3	434.4	388.8	678.8	678.8	678.8	678.8	678.8	678.8	678.8	678.8	678.8	678.8	678.8	678.8	678.8	678.8	569	Sultan-Bend	
570	Ленинск Туркменский (Аму-Дарья)	39° 01'	03° 33'	1895—1904, 1909—1910	403.2	427.0	403.3	377.7	365.3	335.3	316.0	338.3	379.4	423.3	433.3	434.4	388.8	678.8	678.8	678.8	678.8	678.8	678.8	678.8	678.8	678.8	678.8	678.8	678.8	678.8	678.8	570	Leninsk Turkmenskij (Amu-Darja)	
571	Бухара	39° 47'	04° 26'	1890—1894	464.4	454.4	432.0	404.4	379.4	355.3	338.3	379.4	423.3	433.3	434.4	388.8	678.8	678.8	678.8	678.8	678.8	678.8	678.8	678.8	678.8	678.8	678.8	678.8	678.8	678.8	571	Buchara		
572	Самарканд	39° 06'	57° 19'	1881—1904, 1907—1910	464.4	454.4	432.0	404.4	379.4	355.3	338.3	379.4	423.3	433.3	434.4	388.8	678.8	678.8	678.8	678.8	678.8	678.8	678.8	678.8	678.8	678.8	678.8	678.8	678.8	678.8	572	Samarkand		
573	Керки	37° 10'	01° 13'	1900—1904, 1909—1910	466.6	456.6	430.0	400.0	378.6	347.7	323.3	346.0	391.1	426.0	440.0	446.0	409.9	410.0	418.8	438.8	441.1	434.4	439.9	436.6	438.8	436.6	438.8	436.6	438.8	436.6	438.8	573	Kerki	
574	Термез	37° 12'	07° 15'	1900—1909	412.0	406.0	377.7	348.8	333.3	291.1	267.7	288.3	319.4	339.4	339.4	339.4	339.4	339.4	339.4	339.4	339.4	339.4	339.4	339.4	339.4	339.4	339.4	339.4	339.4	339.4	574	Termes		
575	Джизак	40° 07'	50° 38'	1882—1891, 1894—1910	334.4	329.0	308.8	282.2	270.0	253.3	214.4	239.4	279.4	319.4	339.4	339.4	339.4	339.4	339.4	339.4	339.4	339.4	339.4	339.4	339.4	339.4	339.4	339.4	339.4	339.4	339.4	575	Dzhizak	
576	Ташкент	41° 20'	59° 18'	1881—1910	248.8	244.4	224.0	201.1	189.0	165.3	133.3	158.3	198.3	238.3	258.3	258.3	258.3	258.3	258.3	258.3	258.3	258.3	258.3	258.3	258.3	258.3	258.3	258.3	258.3	258.3	258.3	576	Taschkent	
577	Ходжент	41° 20'	59° 18'	1882—1892, 1895—1906	290.0	284.4	263.0	238.0	216.0	178.0	154.0	179.0	219.0	259.0	279.0	279.0	279.0	279.0	279.0	279.0	279.0	279.0	279.0	279.0	279.0	279.0	279.0	279.0	279.0	279.0	279.0	577	Chodshent	
578	Наманган	41° 01'	41° 43'	1898—1906, 1910	296.0	290.0	260.0	232.0	212.0	189.0	164.0	182.0	222.0	262.0	282.0	282.0	282.0	282.0	282.0	282.0	282.0	282.0	282.0	282.0	282.0	282.0	282.0	282.0	282.0	282.0	282.0	578	Namangan	
579	Маргелан	40° 24'	71° 47'	1889—1910	171.1	167.7	142.2	117.0	108.0	97.4	95.1	97.4	115.1	160.0	179.0	179.0	128.0	716.0	700.0	657.7	615.3	596.6	551.3	545.3	545.3	545.3	545.3	545.3	545.3	545.3	545.3	579	Margelan	
580	Андисан	40° 24'	72° 23'	1904—1915	724.0	723.2	720.8	718.0	717.0	715.6	713.1	711.3	709.7	707.2	704.7	702.1	711.3	710.6	709.9	708.2	706.5	704.8	703.1	701.4	699.7	701.4	700.7	699.0	697.3	695.6	693.9	692.2	580	Andishan
581	Иркештам	39° 42'	53° 54'	1896—1898, 1910	540.0	539.6	539.6	540.2	542.8	541.6	543.0	543.0	544.2	543.0	544.0	544.0	544.0	544.0	544.0	544.0	544.0	544.0	544.0	544.0	544.0	544.0	544.0	544.0	544.0	544.0	544.0	581	Irkeschtam	
582	Памирский пост	38° 11'	74° 41'	1896—1904, 1909—1910	489.7	488.3	488.3	489.6	493.2	492.1	492.0	492.0	492.0	492.0	492.0	492.0	492.0	492.0	492.0	492.0	492.0	492.0	492.0	492.0	492.0	492.0	492.0	492.0	492.0	492.0	492.0	582	Pamirskij Post	
583	Хорог	37° 29'	71° 32'	1899—1902	596.6	596.2	596.7	591.8	593.3	593.3	593.3	593.3	593.3	593.3	593.3	593.3	593.3	593.3	593.3	593.3	593.3	593.3	593.3	593.3	593.3	593.3	593.3	593.3	593.3	593.3	593.3	583	Chorog	
584	Нарынское	41° 26'	70° 08'	1902—1910, 1912—1914	597.5	597.5	597.5	597.5	597.5	597.5	597.5	597.5	597.5	597.5	597.5	597.5	597.5	597.5	597.5	597.5	597.5	597.5	597.5	597.5	597.5	597.5	597.5	597.5	597.5	597.5	597.5	584	Narynskoe	
585	Пекин	39° 57'	116° 28'	1881—1884, 1903—1910	727.0	726.6	725.0	723.8	723.2	723.2	723.2	723.2	723.2	723.2	723.2	723.2	723.2	723.2	723.2	723.2	723.2	723.2	723.2	723.2	723.2	723.2	723.2	723.2	723.2	723.2	723.2	585	Peking	
Финляндия																																		
586	Улеоборг	65° 1° 25'	27° 104° 30'	1881—1910	559.9	572.7	574.0	598.0	601.1	587.7	564.4	564.4	582.2	578.8	566.6	570.0	576.0	582.2	584.4	609.9	611.1	596.6	573.7	571.1	592.4	588.8	576.0	580.0	586.6	586.6	586.6	586	Uleaborg (Oulu)	
587	Улькоккала	64° 20'	27° 27'	1891—1910	560.0	573.7	574.0	600.0	603.3	594.4	569.9	587.7	582.2	565.3	569.9	578.8	565.3	578.8	581.1	604.4	608.0	597.7	573.7	573.7	592.4	582.2	576.0	574.0	582.2	582.2	582.2	587	Ulkokkala	
588	Каена	64° 23'	27° 27'	1880—1910	442.0	449.4	452.2	477.7	479.4	467.7	448.4	447.7	466.6	462.2	447.7	451.1	457.7	451.1	457.7	451.1	457.7	451.1	457.7	451.1	457.7	451.1	457.7	451.1	457.7	451.1	457.7	588	Kajana	
589	Ваа (Николайстадт)	63° 51'	24° 37'	1882—1910	555.0	567.7	567.7	590.0	593.3	581.1	558.8	558.8	573.7	578.8	571.1	562.2	561.1	579.4	584.4	606.6	609.9	597.7	574.4	588.8	594.4	587.7	578.8	586.6	589.9	594.4	590.0	589	Waasa (Nikolaistadt)	
590	Куопио	62° 54'	27° 40'	1883—1910	494.4	502.2	502.2	522.2	523.3	508.8	490.0	488.8	512.0	510.0	509.0	508.0	507.0	506.0	505.0	504.0	503.0	502.0	501.0	500.0	500.0	500.0	500.0	500.0	500.0	500.0	500.0	590	Kuopio	
591	Нювекюле	62° 14'	25° 44'	1883—1910	489.0	496.6	496.6	516.6	516.6	503.3	485.5	483.3	508.8	505.3	493.3	494.4	498.8	589.9	596.6	593.3	613.3	610.0	595.3	576.0	571.1	602.2	591.1	593.3	594.4	591.1	591.1	591	Jyväskylä	
592	Вертсиле	62° 10'	33° 3																															

TABELLE A

№	НАЗВАНИЕ СТАНЦИИ	На абсолютных высотах станций Auf die Seehöhen der Station bezogen										На уровне моря — Im Meeresniveau												№	НАМЕН ДЕР СТАЦИОН														
		Годы наблюдений Jahre																																					
		Январь Januar	Февраль Februar	Март März	Апрель April	Май Mai	Июнь Juni	Июль Juli	Август August	Сентябрь September	Октябрь Oktober	Ноябрь November	Декабрь Dezember	Год Jahr	Январь Januar	Февраль Februar	Март März	Апрель April	Май Mai	Июнь Juni	Июль Juli	Август August	Сентябрь September			Октябрь Oktober	Ноябрь November	Декабрь Dezember	Год Jahr										
Широта Breite	Долгота от Гринича Länge von Greenwich	Абс. высота Höhe (Meter)	Число лет на- блюд. (Anzahl der Jahre)																																				
Польша																														Полен									
618	Познань	52° 25'	16° 15'	66,2	207,1	1881—1910	757,8	756,5	754,4	754,5	751,4	751,1	751,7	752,3	757,2	756,2	756,9	756,1	751,8	764,1	762,8	760,6	760,6	761,4	761,3	761,2	762,3	763,1	761,1	762,4	761,0	618	Posen						
619	Величка	49 50	21 25	230	207,1	1881—1910	41,7	40,3	38,1	37,8	38,7	38,7	38,9	39,0	41,2	40,2	40,2	40,2	39,7	40,0	41,9	41,4	41,4	41,4	41,4	41,4	41,4	41,4	41,4	41,4	41,4	619	Wieliczka						
620	Крилица	49 20	25 17	758,8	267,1	1881—1902, 1906—1910	11,1	9,8	7,9	7,8	9,2	9,5	10,1	10,8	12,2	10,8	10,8	10,7	10,7	10,0	65,0	64,5	61,4	61,4	61,4	61,4	61,4	61,4	61,4	61,4	61,4	620	Krynica						
Австрия																														Oesterreich									
624	Вена	48 15	16 22	202,5	30,1	1881—1910	47,2	45,4	42,7	42,0	43,0	43,4	43,7	44,4	45,6	44,8	45,5	45,0	44,4	66,4	64,4	61,4	60,3	61,0	61,2	61,3	61,1	61,3	61,3	61,3	61,3	624	Wien						
Германия																														Deutschland									
625	Мемель	55 43	21 8	102,2	287,1	1881—1883, 1885—1910	60,9	60,3	58,8	59,8	60,4	59,2	58,1	58,1	61,2	60,4	60,4	59,8	59,8	61,9	61,3	59,8	60,8	61,3	60,1	59,0	59,3	61,1	61,1	61,1	61,1	625	Memel						
626	Путбус	54 21	13 28	58,9	30,1	1881—1910	16,8	15,9	13,9	14,8	16,0	15,8	14,8	14,8	16,8	15,4	15,9	15,5	15,5	62,4	61,5	59,4	60,3	61,4	61,1	60,5	59,9	60,8	60,8	60,8	60,8	626	Putbus						
627	Лауэнбург	54 33	19 45	45,1	26,1	1881—1910	14,3	13,6	11,7	11,8	12,8	12,8	12,8	12,8	14,8	13,4	13,4	13,4	13,4	61,4	60,5	59,4	60,3	61,4	61,1	60,5	59,9	60,8	60,8	60,8	60,8	627	Laubenbourg						
628	Кенигсберг	54 43	30 3	6,2	30,1	1881—1910	61,9	61,1	59,3	60,1	60,8	59,7	58,8	58,8	61,9	61,3	60,6	60,5	61,5	61,7	60,1	60,7	61,4	61,1	60,5	59,9	60,8	60,8	60,8	60,8	60,8	628	Königsberg						
629	Шинельбен	53 47	15 40	97,2	14,1	1800—1903	53,8	52,6	50,7	51,3	52,5	52,2	51,1	51,9	5	5	5	5	5	5	5	5	5	5	5	5	5	5	5	5	5	629	Schivelbein						
630	Куршан	53 47	15 40	128,7	13,1	1881—1897	51,8	50,6	48,6	49,2	49,8	48,9	48,9	48,9	51,4	51,1	51,2	50,4	50,3	64,0	61,5	60,7	61,0	61,4	61,4	60,2	59,8	60,4	60,4	60,4	60,4	630	Kurland						
Венгрия																														Ungarn									
631	Берлин	52 30	13 23	48,9	30,1	1881—1910	59,0	57,8	55,6	55,8	56,7	56,8	56,3	56,0	58,4	57,9	57,9	57,2	57,1	61,6	62,4	60,2	60,3	61,1	61,1	60,6	59,9	60,8	61,1	61,1	61,1	631	Berlin						
632	Бромберг	53 8	18 0	44,1	30,1	1881—1910	59,4	58,2	56,1	56,4	57,2	56,6	56,0	56,0	58,4	57,9	57,9	57,2	57,1	61,6	62,4	60,2	60,3	61,1	61,1	60,6	59,9	60,8	61,1	61,1	61,1	632	Bromberg						
633	Бреславль	51 7	17 2	147,0	30,1	1881—1910	59,9	59,4	57,1	57,1	58,1	58,0	57,4	57,4	59,8	59,3	59,3	58,7	58,7	64,9	63,3	60,7	60,1	61,2	61,0	60,6	59,9	60,8	61,1	61,1	61,1	633	Breslau						
Румыния																														Rumänien									
642	Дорогои	47 59	26 23	176	14,1	1804—1909	61,2	58,3	45,6	45,3	45,7	44,6	44,9	46,2	48,3	48,6	49,3	49,1	47,2	67,1	65,0	62,4	61,3	61,3	60,0	60,2	61,6	64,0	64,6	65,8	65,9	612	Dorohoi						
643	Командарешти	47 34	24 17	76,1	14,1	1801—1906	61,2	58,3	45,6	45,3	45,7	44,6	44,9	46,2	48,3	48,6	49,3	49,1	47,2	67,1	65,0	62,4	61,3	61,3	60,0	60,2	61,6	64,0	64,6	65,8	65,9	613	Comandaresti						
644	Панешти-Драгомирешти	46 55	23 0	102	20,1	1886—1900, 1893—1902, 1904—1909	728,4	747,0	744,0	743,9	744,1	743,3	743,4	743,4	743,4	743,4	743,4	743,4	743,4	743,4	743,4	743,4	743,4	743,4	743,4	743,4	743,4	743,4	743,4	743,4	743,4	644	Pancesti-Dracomiesti						
645	Браила	45 16	27 54	721,6	13,1	1881—1909	657,4	747,0	744,0	743,9	744,1	743,3	743,4	743,4	743,4	743,4	743,4	743,4	743,4	743,4	743,4	743,4	743,4	743,4	743,4	743,4	743,4	743,4	743,4	743,4	743,4	645	Sinaia						
646	Ванша	45 16	27 54	721,6	13,1	1881—1909	775,5	752,0	751,9	751,8	751,9	751,9	751,9	751,9	751,9	751,9	751,9	751,9	751,9	751,9	751,9	751,9	751,9	751,9	751,9	751,9	751,9	751,9	751,9	751,9	751,9	646	Sulina						
647	Сулина	45 16	27 54	721,6	13,1	1881—1909	65,5	64,2	61,8	60,7	60,5	59,3	59,0	60,5	61,1	61,1	61,1	61,1	61,1	61,1	61,1	61,1	61,1	61,1	61,1	61,1	61,1	61,1	61,1	61,1	61,1	647	Striharet						
648	Стриарет	44 28	24 12	165,3	13,1	1805—1903, 1905—1909	65,5	64,2	61,8	60,7	60,5	59,3	59,0	60,5	61,1	61,1	61,1	61,1	61,1	61,1	61,1	61,1	61,1	61,1	61,1	61,1	61,1	61,1	61,1	61,1	61,1	648	Bucarest						
649	Бухарест	44 28	24 12	165,3	13,1	1805—1903, 1905—1909	58,3	56,9	54,1	53,0	53,9	52,2	52,2	52,2	54,8	54,1	54,1	54,1	54,1	54,1	54,1	54,1	54,1	54,1	54,1	54,1	54,1	54,1	54,1	54,1	54,1	649	Bucarest						
Болгария																														Bulgarien									
650	Образцов-Тифлич	43 48	26 2	154	11	1899, 1900—1908, 1910	61,4	60,2	47,8	46,5	46,7	46,5	46,3	47,4	49,3	50,2	50,9	50,6	48,6	65,1	64,8	62,0	60,4	60,3	59,7	59,6	60,7	61,1	64,1	61,3	61,3	650	Obrazcows-Tschiflik						
651	Варна	43 12	27 53	33	11	1899—1908, 1910	62,5	61,3	48,8	47,6	47,6	47,6	47,6	47,6	49,3	50,2	50,9	50,6	48,6	65,1	64,8	62,0	60,4	60,3	59,7	59,6	60,7	61,1	64,1	61,3	61,3	651	Varna						
652	София	42 42	23 20	145	22,1	1887—1908, 1910	62,5	61,3	48,8	47,6	47,6	47,6	47,6	47,6	49,3	50,2	50,9	50,6	48,6	65,1	64,8	62,0	60,4	60,3	59,7	59,6	60,7	61,1	64,1	61,3	61,3	652	Sofia						
653	Казанлык	43 37	23 24	37,2	11	1899, 1900—1908, 1910	31,1	30,1	28,0	27,2	27,8	27,7	27,8	28,3	29,7	31,1	31,2	30,6	29,3	64,6	64,7	61,7	60,3	60,2	59,7	59,5	60,1	61,1	64,1	61,3	61,3	653	Kassanlyk						
654	Бургаз	42 29	24 25	117	11	1899—1908, 1910	64,2	63,0	50,6	49,2	49,4	48,4	48,1	48,9	50,9	50,9	50,9	50,9	50,9	50,9	50,9	50,9	50,9	50,9	50,9	50,9	50,9	50,9	50,9	50,9	50,9	654	Burgas						
655	Филиппополь (Пловдив)	42 9	24 45	118	11	1899—1908, 1910	60,8	59,7	47,6	46,2	45,9	45,9	45,9	46,9	49,7	50,3	49,9	48,1	65,7	64,5	61,7	60,3	60,1	59,6	59,3	60,4	61,3	64,3	61,3	61,3	655	Philippopol (Ploewdiw)							
Сеть Японии																														Stationsnetz von Japan									
656	Оттаи (Галкин Врасское)	47 20	142 44	6,6	8	1908—1915	59,7	59,9	59,5	58,4	57,1	56,8	56,3	57,3	59,1	60,1	58,6	57,1	58,3	60,4	60,6	60,1	59,0	57,7	57,4	56,9	57,9	59,7	60,7	59,2	57,7	58,9	656	Otaï (Galkino Wrasskoe)					
657	Оттаи (Корсаковский пост)	46 30	142 40	37,3	9	1907—1915	56,6	56,5	56,2	55,2	54,4	54,0	53,6	54,2	56,0	57,0	55,9	54,0	55,1	60,1	60,2	59,8	59,1	57,8	57,4	56,9	57,9	59,8	60,4	59,4	57,6	58,9	657	Otomari (Korssakowskij Post)					
658	Немуро	45 20	145 33	26,7	20,1	1884—1910	58,6	58,9	57,7	57,1	56,5	55,5	55,1	56,8	58,2	59,4	58,1	55,6	57,6	59,2	59,5	60,6	58,7	57,9	57,6	58,6	60,6	61,3	58,6	58,6	58,1	59,3	658	Nemuro					
659	Саппоро	43 41	141 21	16,9	20,1	1883—1910	58,9	59,1	57,4	56,8	56,5	55,4	55,1	56,8	58,2	59,4	58,1	55,6	57,6	59,2	59,5	60,6	58,7	57,9	57,6	58,6	60,6	61,3	58,6	58,6	58,1	59,3	659	Sapporo					
660	Хакодате	40 40	140 44	3,0	27,1	1883—1910	60,9	60,9	61,4	60,8	58,3	57,0	56,9	57,9	59,9	62,1	60,3	59,9	61,2	61,7	61,1	58,5	57,3	57,2	58,0	60,2	62,6	62,6	60,2	60,2	60,2	660	Hakodate						
661	Токио	35 41	139 45	21,3	29,1	1883—1910	60,3	60,2	61,0	60,8	58,3	57,0	56,9	57,9	59,9	62,1	60,3	59,9	61,2	61,7	61,1	58,5	57,3	57,2	58,0	60,2	62,6	62,6	60,2	60,2	60,2	661	Tokio						
662	Нагасаки	32 44	129 23	57,6	29,1	1881—1910	61,1	60,5	59,0	58,6	56,4	55,1	54,4	56,4	58,6	60,1	58,6	57,1	58,3	60,4	60,6	60,1	59,0	57,7	57,4	56,9	57,9	59,8	60,4	59,4	57,6	58,9	662	Nagasaki					
663	Цусимэ	34 48	125 30	26,7	20,1	1884—1910	62,5	61,3	48,8	47,6	47,6	47,6	47,6	49,3	50,2	50,9	50,6	48,6	65,1	64,8	62,0	60,4	60,3	59,7	59,6	60,7	61,1	64,1	61,3	61,3	653	Tsushima							
664	Мукден	41 48	123 53	45,8	9	1907—1915	65,4	62,1	49,4	44,2	44,0	43,4	42,8	43,4	45,2	46,1	45,1	44,0	45,6	70,4	69,1	65,2	60,0	57,1	54,1	52,8	55,2	62,2	64,2	67,4	68,7	61,9	664	Chang-Chun					
665	Инько	40 40	122 24	3,7	9	1907—1915	70,4	69,3	66,4	61,5	56,8	54,0	53,1	56,0	60,0																								

ТАБЛИЦА В

TABELLE B

Среднее давление воздуха на высоте 500 м над уровнем моря в Азиатской части СССР к югу от 60° сев. широты

Luftdruckmittel in 500 m Seehöhe für den Asiatischen Teil d. U. S. S. R. südlich vom 60. Parallelkreise

1881 — 1910

№	НАЗВАНИЯ СТАНЦИЙ	Абс. вы- сота Seehöhe, m	Январь Januar	Февраль Februar	Март März	Апрель April	Май Mai	Июнь Juni	Июль Juli	Август August	Сентябрь September	Октябрь Oktober	Ноябрь November	Декабрь Dezember	Г о д Jahr	№	NAMEN DER STATIONEN
700 +																	
122	Златоуст	457.8	18.4	19.9	20.2	19.6	17.7	14.9	14.4	15.1	17.5	19.1	18.5	19.2	17.9	122	Slatoust
221	Уфа	173.1	18.0	19.5	19.8	19.6	17.8	15.0	14.7	15.4	17.8	19.6	18.6	18.8	17.9	221	Ufa
409	Свердловск (Екатеринбург)	282.3	16.5	18.2	18.9	18.7	16.8	14.2	13.7	14.2	16.3	17.6	16.7	17.4	16.7	409	Sswerdlowsk (Ekaterinburg)
422	Нарым	*57	16.7	18.5	18.3	17.5	15.2	12.8	12.4	13.3	15.8	16.0	16.3	17.2	16.0	422	Narym
423	Томск	123.3	19.7	21.0	20.8	18.5	16.1	13.4	12.6	13.6	17.4	18.4	19.5	20.1	17.7	423	Tomsk
424	Тайга	260.8	20.0	21.5	20.8	18.5	16.0	13.3	12.5	13.7	17.5	18.6	19.7	20.4	17.8	424	Taiga
429	Красноярск	155.6	21.3	23.3	21.5	18.6	16.5	13.8	12.9	14.3	18.5	19.9	21.0	21.6	18.6	429	Krasnojarsk
430	Канск	207.3	21.6	23.2	21.5	18.5	16.3	13.6	12.8	14.3	18.5	19.9	21.0	21.9	18.6	430	Kansk
432	Николаевский Завод	*349	22.3	23.1	21.1	17.2	15.3	13.1	12.0	13.9	18.2	19.7	21.0	21.8	18.2	432	Nikolaewskij Sawod
434	Омолоевское	*312	21.6	22.5	20.1	16.1	14.2	11.9	11.3	13.2	17.5	19.2	20.4	20.3	17.5	434	Omoloewskoe
436	Котельниковский маяк	461.6	23.2	24.1	21.5	16.9	14.9	12.5	11.7	13.5	17.7	19.8	20.0	21.1	18.1	436	Kotelnikowskij, Leuchtturm
437	Душкочан	457.1	23.1	24.1	21.3	16.5	14.6	12.6	11.6	13.1	17.6	19.1	20.4	21.0	18.0	437	Duschkatschan
438	Дагарский маяк	456.9	23.0	23.3	21.1	16.6	14.6	12.6	11.6	13.4	17.2	19.3	19.7	21.1	17.8	438	Dagarskij, Leuchtturm
439	Тихонозодонский прииск	*687	21.1	22.0	19.3	15.0	13.6	11.3	11.4	13.4	16.7	18.0	19.0	20.4	16.7	439	Tichonosadonskij Priisk
442	Троицк	*177	18.5	20.0	20.5	20.0	18.1	15.3	14.5	15.3	18.0	19.5	19.3	19.3	18.3	442	Troizk
445	Сарымбет	*304	19.7	21.2	21.6	20.4	17.9	15.3	13.9	15.1	18.3	19.7	20.6	20.8	18.7	445	Ssarymbet
447	Атбасар	*285	20.7	21.7	21.7	20.3	18.0	15.0	13.8	15.2	18.6	20.4	21.4	21.3	19.1	447	Atbassar
448	Акмолинск	*347	21.7	22.4	22.2	20.4	18.1	14.6	13.1	14.8	18.7	20.7	22.2	22.2	19.3	448	Akmolinsk
449	Омск	88.4	18.4	20.0	20.7	19.5	17.1	14.3	13.3	13.9	17.2	18.4	19.0	19.0	17.6	449	Omsk
456	Тоуракское	*653	24.2	24.6	23.3	20.4	18.4	14.6	13.2	15.2	19.3	22.1	23.9	25.1	20.3	456	Tourakscoe
459	Минусинск	*246	22.8	23.7	22.3	19.3	16.8	13.7	12.3	14.2	18.6	21.7	22.7	23.2	19.3	459	Minussinsk
460	Тулун	497.2	23.3	24.2	21.9	18.4	16.0	13.5	12.4	14.4	19.0	20.4	22.0	22.9	19.0	460	Tulun
461	Зима	458.9	23.4	24.1	22.2	18.4	15.9	13.6	12.3	14.2	18.9	20.9	22.6	23.2	19.2	461	Sima
462	Усолъе	418.8	23.9	24.5	22.3	18.8	16.0	13.5	12.2	14.2	19.0	21.3	23.1	23.5	19.4	462	Ussolje
463	Жердовская сел.-хоз. школа	*490	23.9	24.2	22.2	18.1	15.4	13.1	11.8	14.0	18.6	20.8	22.6	23.4	19.0	463	Sherdowskaja, landw. Schule
464	Иркутск	468.2	24.1	24.6	22.5	18.5	16.0	13.6	12.2	14.3	19.0	21.1	22.9	23.6	19.4	464	Irkutsk
465	Песчаная Бухта	461.0	23.9	24.2	22.0	17.9	15.6	13.3	11.8	13.9	18.5	20.5	21.9	22.7	18.9	465	Pestschanaja Buchta
466	Голоустное	457.1	24.1	24.4	22.3	18.2	15.9	13.6	12.2	14.2	18.8	20.8	22.2	22.9	19.2	466	Goloustnoe
467	Лиственичное	455.6	24.8	25.3	23.2	19.3	16.9	14.7	13.2	15.1	19.6	21.5	23.2	23.8	20.1	467	Listwentschnoe
468	Маритуй	481.5	24.5	25.0	22.9	18.8	16.4	14.0	12.6	14.6	19.3	21.2	22.8	23.4	19.6	468	Maritui
469	Култук	471.8	24.4	25.0	23.1	19.1	16.8	14.3	12.9	14.8	19.6	21.5	23.2	23.8	19.9	469	Kultuk
470	Переменная	487.0	24.9	25.6	23.2	19.0	16.6	14.2	12.8	14.8	19.3	21.3	22.9	23.3	19.8	470	Pereemnaja
471	Мысовая	475.2	24.3	24.8	22.8	18.4	16.1	13.7	12.3	14.4	18.8	20.9	22.3	23.1	19.4	471	Myssowaja
472	Верхняя Мишиха	*1290	25.6	25.5	22.8	19.6	17.0	14.5	13.0	15.2	20.0	22.0	24.7	23.7	20.1	472	Werchnjaja Mischicha
473	Кабанское	468.2	24.2	24.4	22.3	18.1	15.7	13.4	12.1	14.0	18.6	20.8	22.1	23.0	19.1	473	Kabanskoe
474	Верхнеудинск	509.0	25.5	25.8	22.6	18.1	15.6	13.0	11.8	14.0	18.8	21.2	23.4	24.3	19.5	474	Werchneudinsk
475	Ольхон	459.5	23.8	24.1	21.8	17.6	15.3	13.2	11.9	14.0	18.3	20.2	21.2	22.2	18.6	475	Olchon
476	Туркинский маяк	463.5	23.7	23.9	21.6	17.6	15.3	13.2	11.9	13.9	18.1	19.9	21.0	22.4	18.6	476	Turkinskij, Leuchtturm
477	Баргузин	*486	24.8	24.4	21.5	16.9	14.7	12.6	11.6	13.8	18.2	20.0	21.0	23.4	18.6	477	Bargusin
478	Петровский Завод	802.8	26.2	26.3	22.8	17.7	15.1	12.7	11.5	14.0	18.4	21.2	23.7	24.8	19.4	478	Petrowskij Sawod
479	Хилок	812.4	25.0	24.7	21.3	16.6	13.9	12.0	11.0	13.2	17.6	20.6	22.6	23.1	18.4	479	Chilok
480	Перевальная	1021.6	23.4	23.6	20.4	15.7	13.3	11.6	10.9	13.1	17.1	19.4	21.1	22.2	17.5	480	Perewalnaja
481	Чита	683.2	23.4	23.6	20.2	15.4	12.9	11.3	10.9	13.0	16.9	19.4	21.0	22.0	17.5	481	Tschita
482	Нерчинск	484.6	21.9	22.1	19.0	14.4	11.7	10.5	10.4	12.3	16.0	18.2	19.5	20.5	16.4	482	Nertschinsk
483	Сретенск	450.0	22.4	22.3	19.2	14.5	11.9	11.0	11.0	12.8	16.3	18.5	19.8	20.8	16.7	483	Sretensk
484	Нерчинский Завод	*620	22.2	22.0	18.8	14.2	11.8	11.0	11.0	12.7	16.3	18.2	19.6	20.4	16.5	484	Nertschinskij Sawod
485	Покровка	316.6	19.8	19.7	17.7	14.0	11.7	11.0	11.3	12.1	15.6	17.2	18.0	18.0	15.7	485	Pokrowka
486	Тыган-Уркан	*368	19.1	19.0	17.2	13.8	11.9	11.7	12.3	12.8	15.9	17.1	17.4	17.1	15.4	486	Tygan-Urkan
487	Магдагачи	359.7	18.6	18.4	16.8	13.0	11.3	11.2	11.6	12.4	15.3	16.3	16.3	16.3	14.8	487	Magdagatschi
489	Пикан	*245	17.7	17.4	16.0	12.6	11.0	11.4	11.8	12.4	15.2	15.8	16.0	15.5	14.5	489	Pikan
490	Бомнак	*358	17.6	17.4	15.8	12.4	10.9	11.7	12.0	12.4	15.0	15.3	15.6	15.0	14.3	490	Bomnak
493	Софийский прииск	*891	17.7	16.6	14.1	11.5	10.1	10.6	11.1	11.9	14.5	14.9	15.6	15.6	13.5	493	Sofijskij Priisk
501	Темир	*231	20.6	21.4	21.0	19.8	18.5	16.6	14.8	16.6	19.7	21.8	21.6	21.3	19.4	501	Temir
504	Спасский Завод	*581	23.7	24.3	23.3	20.7	18.4	14.6	13.2	15.0	18.9						

ТАБЛИЦА В

TABELLE B

№	НАЗВАНИЯ СТАНЦИЙ	Абс. вы- сота Seehöhe. m	Январь Januar	Февраль Februar	Март März	Апрель April	Май Mai	Июнь Juni	Июль Juli	Август August	Сентябрь September	Октябрь Oktober	Ноябрь November	Декабрь Dezember	Г о д Jahr	№	NAMEN DER STATIONEN
700 +																	
537	Фрунзе (Пишпек)	*743	23.8	23.3	21.4	19.2	17.7	14.3	11.9	13.9	18.1	23.2	25.1	24.7	19.7	537	Frunse (Pischpek)
538	Алма-Ата (Верный)	775.2	23.7	23.5	21.7	18.8	17.6	14.2	12.0	13.8	18.2	22.6	24.6	24.6	19.6	538	Alma-Ata (Wernyj)
539	Каракол (Пржевальск)	*1770	23.9	24.2	20.7	18.3	18.4	15.4	13.4	15.0	18.5	22.9	25.9	26.4	20.1	539	Karakol (Prshewalsk)
541	Борохудзир	*603	24.9	24.7	22.0	18.6	17.3	14.3	12.3	13.8	18.3	22.9	25.0	25.8	20.0	541	Borochudsir
542	Зайсан	*623	25.7	25.7	23.7	19.8	17.7	14.0	11.9	14.0	18.6	23.1	26.1	27.0	20.5	542	Saissan
543	Урумчи	*888	26.1	26.0	22.6	18.1	16.3	12.4	10.5	13.0	17.2	21.9	25.9	27.2	19.6	543	Urumschi
549	Тайпинлин	560.7	19.9	19.3	17.3	14.8	12.8	11.8	12.5	13.8	17.4	18.6	19.2	18.5	16.3	549	Taipinlin
561	Красноводск	—19.5	20.5	20.1	18.9	17.5	17.6	15.6	14.8	16.3	19.2	21.7	21.4	21.2	18.8	561	Krasnowodsk
565	Кизил-Арват	100.6	21.4	21.0	19.6	17.9	18.0	15.8	14.9	16.4	19.3	22.1	22.1	22.0	19.3	565	Kisil-Arwat
566	Ашхабад (Асхабад)	226.6	21.5	21.1	19.5	17.7	17.7	15.2	14.2	15.9	19.0	22.0	22.2	22.1	19.0	566	Aschchabad (Asschabad)
568	Байрам-Али	238.6	21.9	21.2	19.5	17.4	17.0	14.1	12.4	14.6	18.4	21.0	22.6	22.3	18.6	568	Bairam-Ali
569	Султан-Бенд	*263	21.7	21.4	19.5	17.4	16.7	13.9	12.4	14.4	18.0	21.8	22.3	22.1	18.5	569	Ssultan-Bend
571	Бухара	*240	22.5	22.0	20.2	18.1	17.4	14.2	12.7	14.7	18.7	22.5	23.2	23.1	19.2	571	Buchara
572	Самарканд	719.8	23.1	22.7	20.7	18.6	17.6	14.2	12.4	14.2	18.5	22.6	23.7	23.8	19.3	572	Ssamarkand
573	Керки	*242	23.1	22.5	20.4	19.6	17.1	13.6	11.3	13.4	17.9	22.2	23.2	23.5	18.8	573	Kerki
574	Термез	*302	23.3	22.9	20.4	18.0	16.9	13.1	10.9	12.9	17.5	21.9	23.6	24.1	18.8	574	Termes
575	Джизак	387.4	23.1	22.7	20.9	19.1	17.6	14.1	12.3	14.2	18.5	22.6	23.8	23.6	19.4	575	Dshisak
576	Ташкент	479.2	22.9	22.5	20.6	18.3	17.3	13.8	11.8	13.7	18.1	22.4	23.7	23.5	19.0	576	Taschkent
577	Ходжент	*329	23.3	22.9	20.8	18.4	17.3	13.8	11.6	13.2	17.7	22.2	23.8	23.9	19.1	577	Chodshent
578	Наманган	*437	23.8	23.3	20.5	17.9	17.2	13.8	11.5	13.1	17.2	22.6	24.4	24.7	19.2	578	Namangan
579	Маргелан	577.6	24.2	23.7	20.9	18.2	17.2	13.7	11.5	13.2	17.7	22.6	24.7	24.9	19.4	579	Margelan
580	Андижан	501.6	24.1	23.3	20.9	18.1	17.1	13.7	11.6	13.2	17.6	22.3	24.4	24.6	19.2	580	Andishan

ТАБЛИЦА С

TABELLE C

Среднее давление воздуха на высоте 1000 м над уровнем моря в районе Кавказа

Luftdruckmittel in 1000 m Seehöhe im Rayon des Kaukasus

1881 — 1910

№	НАЗВАНИЯ СТАНЦИЙ	Абс. вы- сота Seeöhe. m	Январь Januar	Февраль Februar	Март März	Апрель April	Май Mai	Июнь Juni	Июль Juli	Август August	Сентябрь September	Октябрь Oktober	Ноябрь November	Декабрь Dezember	Г о д Jahr	№	NAMEN DER STATIONEN
600+																	
326	Ставрополь	577.1	75.3	75.0	74.4	74.8	76.2	75.6	75.6	76.6	78.0	78.8	77.3	76.1	76.1	326	Sstawropol
328	Михайловская Пустынь	*914	75.5	75.2	74.4	74.9	76.3	75.8	75.7	76.6	78.2	79.0	77.9	76.6	76.3	328	Michailowskaja Pusstyn
329	Кисловодск	821.4	75.5	75.1	74.5	74.8	76.2	75.6	75.6	76.6	78.1	79.0	77.6	76.4	76.2	329	Kislowodsk
330	Ессентуки	614.5	75.9	75.6	74.9	75.2	76.6	76.0	75.7	76.8	78.3	79.2	77.8	76.6	76.6	330	Essentuki
331	Железноводск	629.7	75.4	75.0	74.5	74.7	76.1	75.6	75.6	76.7	78.2	79.0	77.5	76.3	76.2	331	Shelesnowodsk
332	Пятигорск	521.2	75.7	75.4	74.9	75.3	76.6	76.0	76.0	77.0	78.4	79.2	77.7	76.5	76.6	332	Pjatigorsk
333	Владикавказ	690.6	76.1	75.7	75.0	75.2	76.4	75.8	75.7	76.8	78.3	79.3	77.9	76.8	76.6	333	Wladikawkas
334	Коби	*1989	77.4	77.2	75.8	75.2	76.3	75.5	75.3	76.4	78.0	79.9	79.0	78.3	76.9	334	Kobi
337	Буйнакс (Темир-Хан-Шура)	*477	76.2	75.7	74.8	75.0	76.2	75.7	75.7	76.9	78.4	79.6	78.2	77.0	76.6	337	Buinaks (Temir-Chan-Schura)
338	Махач-Кала (Петровск)	—8.3	75.6	75.4	74.5	74.6	75.9	75.5	75.6	76.8	78.3	79.3	77.6	76.6	76.4	338	Machatsch-Kala (Petrowsk)
347	Мархотский перевал	435.5	74.1	73.9	73.3	73.9	75.5	75.5	75.2	76.1	77.4	77.8	76.3	74.9	75.4	347	Marchot, Pass
349	Сочи	12.2	76.1	75.3	74.5	74.6	75.5	75.6	75.2	76.1	77.4	78.5	77.5	76.6	76.1	349	Ssotschi
355	Кутаис	154.2	76.5	76.1	75.3	75.2	76.1	76.0	75.6	76.5	78.0	78.9	78.0	76.8	76.7	355	Kutais
356	Тквибули	536.9	77.3	76.4	75.5	75.7	76.7	76.0	75.9	76.7	78.2	79.5	79.0	77.9	77.1	356	Tkwibuli
357	Пони	932.4	77.0	76.6	76.4	75.5	76.3	75.6	75.0	75.9	77.9	80.0	79.1	78.1	77.0	357	Poni
358	Ципа	672.6	77.2	76.9	76.0	76.0	76.8	76.4	76.1	77.0	78.5	80.1	79.2	78.0	77.3	358	Zipa
359	Абас-Туман	*1256	77.7	76.9	75.6	74.9	75.6	75.1	74.4	75.4	77.3	79.4	78.8	78.7	76.7	359	Abas-Tuman
360	Боржом	807.7	77.4	77.1	75.9	75.5	76.5	75.8	75.4	76.4	78.2	79.8	79.2	78.3	77.2	360	Borshom
361	Цеми	1116.5	77.4	76.7	75.5	75.2	76.2	75.8	75.1	76.1	78.1	80.4	79.2	78.4	77.0	361	Zemi
362	Гори	599.9	77.3	77.0	76.1	75.8	76.8	76.0	75.7	76.7	78.4	80.1	79.1	78.2	77.3	362	Gori

ТАБЛИЦА С

TABELLE C

№	НАЗВАНИЯ СТАНЦИЙ	Абс. вы- сота Seehöhe, m	Январь Januar	Февраль Februar	Март März	Апрель April	Май Mai	Июнь Juni	Июль Juli	Август August	Сентябрь September	Октябрь Oktober	Ноябрь November	Декабрь Dezember	Г о д Jahr	№	NAMEN DER STATIONEN
600 +																	
363	Крестовая	*2388	77.3	77.4	75.5	73.4	75.8	74.9	74.5	75.6	77.3	79.2	79.2	78.6	76.6	363	Kresstowaja
364	Гудаур	*2207	77.4	77.4	76.1	75.8	77.1	76.2	75.8	77.0	78.6	80.4	79.3	78.4	77.4	364	Gudaur
365	Млеты	*1471	77.0	76.8	75.8	75.2	76.0	75.5	75.1	76.1	78.0	80.2	78.9	78.3	76.9	365	Mlety
366	Тифлис	403.8	77.3	77.0	76.2	75.9	76.8	75.9	75.6	76.8	78.6	80.1	79.0	78.1	77.3	366	Tiflis
368	Цинондали	*608	77.4	77.1	76.4	75.9	77.0	76.1	75.9	77.0	78.8	80.4	79.4	78.3	77.4	368	Zinondali
369	Ганджа (Елисаветполь)	442.3	77.4	77.0	76.3	75.8	76.8	75.9	75.6	76.8	78.6	80.4	79.1	78.2	77.4	369	Gandscha (Elissawetpol)
372	Ахалкалаки	*1717	78.8	77.5	76.1	75.1	76.0	75.4	74.6	75.6	77.7	79.8	79.3	79.3	77.0	372	Achalkalaki
373	Карс	*1727	78.9	78.4	75.8	74.2	74.5	73.4	72.4	73.4	75.5	78.2	78.4	79.0	76.0	373	Kars
374	Джаджур	1837.0	78.5	77.6	75.6	74.5	75.5	74.5	73.8	74.9	76.9	79.2	78.9	79.4	76.5	374	Dshadshur
375	Ленинакан (Александрополь)	*1507	79.2	78.5	75.6	74.1	74.8	73.7	72.5	73.7	76.0	78.7	78.8	79.1	76.2	375	Leninakan (Alexandropol)
376	Алагез	*1249	79.1	78.1	76.1	74.3	75.4	74.2	72.8	74.1	76.3	79.6	79.3	79.5	76.6	376	Alages
377	Эривань	996.0	79.6	79.0	76.3	74.9	75.7	74.1	72.9	74.0	76.4	79.4	79.4	79.8	76.8	377	Eriwan
378	Еленовка	*1934	79.4	78.9	77.0	75.8	76.7	75.3	74.4	75.4	77.4	80.0	79.7	79.8	77.3	378	Elenowka
379	Новобаязет	1963.8	79.0	78.7	76.9	76.0	77.6	75.4	74.6	75.7	77.9	80.4	79.9	79.8	77.5	379	Nowobajaset
380	Шуша	*1365	77.5	77.3	76.0	75.8	76.6	75.6	75.2	76.5	78.5	80.4	79.3	78.5	77.2	380	Schuscha
381	Ленкорань	—18.5	76.2	77.1	76.1	75.7	76.9	75.9	75.7	76.9	78.7	80.2	79.0	78.0	77.4	381	Lenkoran

ТАБЛИЦА D

TABELLE D

Среднее давление воздуха на высоте 1500 м над уровнем моря в районе Кавказа

Luftdruckmittel in 1500 m Seehöhe im Rayon des Kaukasus

1881 — 1910

№	НАЗВАНИЯ СТАНЦИЙ	Абс. вы- сота Seehöhe, m	Январь Januar	Февраль Februar	Март März	Апрель April	Май Mai	Июнь Juni	Июль Juli	Август August	Сентябрь September	Октябрь Oktober	Ноябрь November	Декабрь Dezember	Год Jahr	№	NAMEN DER STATIONEN
600 +																	
326	Ставрополь	577.1	33.1	33.2	33.2	34.5	36.7	36.7	37.1	37.9	38.5	38.5	36.2	34.5	35.9	326	Sstawropol
328	Михайловская Пустынь	*914	34.2	33.7	33.6	34.9	37.0	37.0	37.2	38.0	39.0	39.0	37.7	35.7	36.4	328	Michailowskaja Pusstyn
329	Кисловодск	821.4	33.5	33.5	33.6	34.7	37.0	36.8	37.2	38.1	38.8	38.9	36.6	34.9	36.1	329	Kislowodsk
333	Владикавказ	690.6	34.0	33.9	34.1	35.1	37.2	37.1	37.4	38.3	39.1	39.3	36.9	35.2	36.5	333	Wladikawkas
334	Коби	*1989	35.9	35.9	35.2	35.3	37.1	36.9	37.0	38.1	39.1	40.2	38.5	37.2	37.1	334	Kobi
337	Буйнакс (Темир-Хан-Шура)	*477	34.2	33.9	33.6	34.6	36.9	37.1	37.6	38.7	39.4	39.6	37.5	35.5	36.6	337	Buinaks (Temir-Chan-Schura)
338	Махач-Кала (Петровск)	—8.3	33.4	33.6	33.2	34.1	36.4	36.7	37.2	38.2	39.0	39.2	36.6	34.9	36.1	338	Machatsch-Kala (Petrowsk)
347	Мархотский перевал	435.5	32.2	32.4	32.3	33.5	35.8	36.4	36.6	37.4	37.9	37.8	35.4	33.4	35.2	347	Marchot, Pass
349	Сочи	12.2	34.8	34.4	34.0	34.4	35.9	36.5	36.5	37.5	38.2	38.8	37.1	35.8	36.2	349	Sotschi
355	Кутаис	154.2	35.3	35.2	34.9	35.4	36.9	37.3	37.2	38.1	39.0	39.4	37.8	36.4	37.0	355	Kutais
356	Тквибули	536.9	36.1	35.5	35.1	35.9	37.4	37.2	37.5	38.4	39.4	40.0	38.8	37.1	37.4	356	Tkwibuli
357	Пони	932.4	35.3	35.2	35.7	35.7	37.2	37.0	36.8	37.7	38.9	40.2	38.4	36.9	37.1	357	Poni
358	Ципа	672.6	35.4	35.4	35.2	36.2	37.7	37.7	37.8	38.8	39.4	40.4	38.3	36.6	37.4	358	Zipa
359	Абас-Туман	*1256	35.8	35.4	34.9	34.9	36.4	36.4	36.2	37.2	38.3	39.6	38.1	37.3	36.8	359	Abas-Tuman
360	Боржом	807.7	35.7	35.6	35.1	35.7	37.4	37.3	37.2	38.2	39.1	40.0	38.4	36.8	37.3	360	Borshom
361	Цеми	1116.5	35.7	35.4	34.8	35.2	37.0	37.1	36.8	37.8	39.2	40.5	38.5	37.1	37.1	361	Zemi
362	Гори	599.9	35.4	35.5	35.5	35.9	37.6	37.5	37.6	38.5	39.5	40.3	38.4	36.8	37.5	362	Gori
363	Крестовая	*2388	35.5	35.8	34.7	34.8	36.6	36.3	36.3	37.3	38.5	39.6	38.3	37.2	36.7	363	Kresstowaja
364	Гудаур	*2207	36.2	36.4	35.7	36.0	37.9	37.7	37.6	38.8	39.8	40.9	39.0	37.6	37.8	364	Gudaur
365	Млеты	*1471	35.3	35.6	35.2	35.2	36.8	36.8	36.8	37.8	39.1	40.5	38.3	37.1	37.0	365	Mlety
367	Караязы	*303	35.2	35.4	35.5	35.9	37.6	37.4	37.5	38.7	39.8	40.3	38.1	36.4	37.4	367	Karajasy
368	Цинондали	*608	35.9	36.0	35.8	36.1	37.9	37.6	37.8	38.8	39.9	40.7	38.9	37.2	37.7	368	Zinondali
369	Ганджа (Елисаветполь)	442.3	35.8	35.7	35.7	35.9	37.7	37.5	37.6	38.8	39.7	40.6	38.5	37.0	37.7	369	Gandscha (Elissawetpol)
372	Ахалкалаки	*1717	37.0	36.3	35.5	35.4	37.0	36.9	36.5	37.6	39.0	40.2	38.8	38.1	37.3	372	Achalkalaki
373	Карс	*1727	36.4	36.3	34.7	34.4	35.7	35.2	34.7	35.7	37.1	38.9	37.9	37.3	36.1	373	Kars
374	Джаджур	1837.0	36.7	36.2	35.0	34.8	36.5	36.1	35.9	37.0	38.4	39.9	38.6	38.1	36.9	374	Dshadshur
375	Ленинакан (Александрополь)	*1507	36.7	36.5	34.8	34.4	35.8	35.4	34.8	35.9	37.5	39.2	38.3	37.5	36.4	375	Leninakan (Alexandropol)
376	Алагез	*1249	36.9	36.4	35.4	34.8	36.6	36.1	35.3	36.6	38.1	40.3	38.9	37.9	37.0	376	Alages
377	Эривань	696.0	37.2	37.3	36.0	35.7	37.3	36.4	35.6	36.7	38.3	40.2	39.1	38.5	37.4	377	Eriwan
378	Еленовка	*1934	38.6	37.4	36.2	36.0	37.6	36.9	36.5	37.5	38.9	40.6	39.4	38.6	37.7	378	Elenowka
379	Новобаязет	1963.8	37.5	37.4	36.4	36.3	37.7	37.1	36.8	37.8	39.3	40.9	39.5	38.7	37.9	379	Nowobajaset
380	Шуша	*1365	36.3	36.3	35.7	36.1	37.7	37.3	37.3	38.5	39.7	40.8	39.0	37.7	37.7	380	Schuscha
381	Ленкорань	—18.5	35.6	35.8	35.3	35.6	37.5	37.3	37.4	38.5	39.6	40.5	38.5	36.9	37.5	381	Lenkoran

ТАБЛИЦА Е

TABELLE E

Годовые колебания давления воздуха на уровне моря по месячным средним
 Jahresschwankung des Luftdrucks im Meeressniveau nach Monatsmitteln
 1881 — 1910

№	НАЗВАНИЯ СТАНЦИЙ	Годовая амплитуда Jahres- schwankung	Максимум Maximum	Минимум Minimum	№	NAMEN DER STATIONEN
Сеть СССР					Stationsnetz der U. S. S. R.	
		mm				
1	Вайда-Губа	8.3	V	I	1	Waida-Guba
2	Александровск	6.9	V	I	2	Alexandrowsk
3	Кола	6.7	V, XII	I, XI	3	Kola
4	Териберка	7.1	V, XII	I, XI	4	Teriberka
5	Имандра (Хибинь)	6.1	V, X, XII	I, VII, VIII, XI	5	Imandra (Chibiny)
6	Ковда	4.8	V, IX, XII	XI, I, VIII	6	Kowda
7	Святоносский маяк	6.2	V, XII	XI, I	7	Swjatoi Noss, Leuchtturm
8	Орловский маяк	5.9	V, XII	XI, I	8	Orlow, Leuchtturm
9	Сосновский маяк	5.2	IV, XII	X, I	9	Ssosnowskij, Leuchtturm
10	Моржовский маяк	5.4	IV, XII	XI, I	10	Morshowskij, Leuchtturm
11	Кемь	3.9	IV, X, XII	I, XI, VII, VIII	11	Kem
12	Соловецкий монастырь	4.0	IV, IX, X, XII	XI, I, VII	12	Ssolowezkij, Kloster
13	Жужмуйский маяк	4.0	IV, IX, X, XII	XI, I, VII	13	Shushmui, Leuchtturm
14	Жижгинский маяк	4.1	IV, X, XII	XI, I, VII, VIII	14	Shishgin, Leuchtturm
15	Онега	4.4	IV, X, XII	VII, XI, I	15	Onega
16	Зимнегорский маяк	4.6	IV, X, XII	XI, I, VIII	16	Simnegorskij, Leuchtturm
17	Архангельск	4.2	IV, X, XII	VII, VIII, XI, I	17	Archangelsk
18	Мезень	4.5	IV, X, XII	XI, I, VII, VIII	18	Mesen
19	Малые Кармакулы	6.2	IV, VII, XII	XI, I, VI	19	Malye Karmakuly
20	Оксино и Пустозерск	5.3	IV, XII, X	XI, IX, I	20	Oxino und Pusstosersk
21	Усть-Цыльма	4.9	IV, XII, X	VIII, XI, I	21	Ust-Zylma
22	Карские ворота	6.5	IV	X	22	Karskie Worota
23	Югорский Шар	6.1	IV	X	23	Jugorskij Schar
24	Балтийский порти Пакерортский маяк	3.4	V, IX, II	VIII, XII, III	24	Baltisch-Port u. -Packerort, Leuchtt.
25	Ревель	3.5	V, IX	VIII, III	25	Reval
26	Порт-Кунда	3.4	V, IX	VIII, III	26	Port-Kunda
27	Халила	3.8	IV, X, XII	VIII, I, XI	27	Halila
28	Кронштадт	3.7	IV, X	VII, VIII, XI	28	Kronstadt
29	Ленинград, Г. Г. О.	3.9	IV, X	VII, VIII, XI	29	Leningrad, Geophys.-Zentral-Obs.
31	Слуцк (Павловск)	3.8	IV, X	VII, VIII, XI	31	Sluzk (Pawlowsk)
32	Коневец	3.9	IV, X	VII, VIII, I	32	Konewez
33	Валаам	3.9	IV, X, XII	VII, VIII, XI, I	33	Walaam
34	Шлиссельбург	3.9	IV, X	VII, VIII, XI	34	Schlüsselburg
35	Новая Ладога	3.9	IV, X	VII, VIII, XI	35	Nowaja Ladoga
36	Сермакса и Свирица	4.0	IV, X	VII, XI	36	Ssermaxa und Swiriza
37	Петрозаводск	4.5	IV, X	VIII, XI	37	Petrosawodsk
38	Повенец	4.2	IV, X	VII, I	38	Powenez
39	Вознесенье	4.2	IV, X	VII, VIII, XI	39	Wosnessenje
40	Вытегра	4.6	IV, X	VII, XI	40	Wytegra
41	Кириллов	4.8	IV, X	VIII, XI	41	Kirillow
42	Каргополь	4.6	IV, X	VII, VIII, XI	42	Kargopol
43	Вологда	5.0	IV, X	VII, XI	43	Wologda
44	Тотьма	5.4	IV, X	VII, XI	44	Totma
45	Шенкурск	5.2	IV, X	VII, XI	45	Schenkursk
46	Никольск	5.9	II	VII	46	Nikolsk
47	Сольвычегодск	5.5	II, X	VII, XI	47	Ssolwyschegodsk
48	Яренск	6.0	IV, X	VII, XI	48	Jarensk
49	Усть-Сысольск	6.0	IV, XII	VII, XI	49	Ust-Ssyssolsk
50	Чердынь	7.1	II	VII	50	Tscherdyn
51	Соликамск	7.7	XII	VII	51	Ssolikamsk
52	Кизел (завод)	8.5	II	VII	52	Kisel (Fabrik)
53	Либава	3.0	IX, V, I	VII, III, XII	53	Libau
54	Виндава	3.0	IX, V	VII, VIII, III	54	Windau
55	Гольдинген	3.2	IX, V	VII, III	55	Goldingen
56	Церельский маяк	3.1	V, IX	VII, VIII, III	56	Zerel, Leuchtturm
57	Мыхуже	3.0	IX, I, V	VII, VIII, III	57	Mychushe
58	Подгай	3.5	I, IX, V	VII, III, XII	58	Podgai
59	Радзивилишки	3.4	IX, X, V	VII, III	59	Radziwilischki
61	Рига	3.5	IX, V	VII, III	61	Riga
62	Пернов	3.2	IX, V	VIII, III	62	Pernau
63	Игнаино	4.4	I	VII	63	Ignalino
64	Двинск	4.6	X	VII	64	Dwinsk
65	Юрьев (Тарту)	3.4	X, IV, V	VII, III	65	Jurjew (Tartu)
66	Корсовка	4.1	I	VII	66	Korssowka
67	Псков	3.9	X	VII	67	Pskow
68	Бусаны	3.7	X	VII, VIII	68	Bussany
70	Новое Королево	5.1	X	VII	70	Nowoe Korolewo
71	Великие Луки	4.8	X	VII	71	Welikie Luki
72	Новгород и Григорово	4.1	X, IV	VII, VIII, III	72	Nowgorod u. Grigorowo
73	Давыдово	5.1	X	VII	73	Dawydowo
74	Веребье	4.5	X	VII	74	Werebje

ТАБЛИЦА Е

TABELLE E

№	НАЗВАНИЯ СТАНЦИЙ	Годовая амплитуда Jahres- schwankung	Максимум Maximum	Минимум Minimum	№	NAMEN DER STATIONEN
		mm				
75	Боровичи и Полюновка	4.7	X	VII	75	Borowitschi u. Polynowka
76	Батищево	5.6	I, X	VII, XI	76	Batitschtschewo
77	Вязьма	5.8	X, I	VII, XI	77	Wjasma
78	Ржев	5.4	I	VII	78	Rshew
79	Вышний Волочек	5.0	X	VII	79	Wyschnij Wolotschek
80	Старица	5.4	X	VII	80	Sstariza
81	Тверь	5.5	X	VII	81	Twer
82	Бежецк	5.2	X	VII	82	Beshezk
83	Михайловское (Моск. губ.)	6.2	II, X	VII, XI	83	Michailowskoe (Gouv. Moskau)
85	Москва, Межевой Институт	6.1	II, X	VII, XI	85	Moskau, Feldmesserinstitut
86	Мышкин	5.5	II, X	VII, XI	86	Myschkin
87	Бараново	5.8	X	VII	87	Baranowo
88	Половинкино	5.5	II	VII	88	Polowinkino
89	Успенская сельско-хоз. школа	6.0	X	VII	89	Usspenskaja, landw. Schule
90	Ростов Ярославский	6.0	II	VII	90	Rosstow (Gouv. Jaroslawl)
91	Романов-Борисоглебск	5.9	X	VII	91	Romanow-Borissoglebsk
92	Михайловское (Яросл. губ.)	5.7	II, X	VII, XI	92	Michailowskoe (Gouv. Jaroslawl)
93	Вахтино	5.6	II, X	VII, XI	93	Wachtino
94	Владимир на Клязьме	6.2	XII, I, II	VII	94	Wladimir an der Kljasma
95	Гусевская	6.6	II	VII	95	Gussewskaja
96	Кострома	5.8	II	VII	96	Kosstroma
97	Иваново-Вознесенск	6.2	II	VII	97	Iwanowo-Wosnessensk
98	Шуя	6.2	II	VII	98	Schuja
99	Муром	7.2	II	VII	99	Murom
100	Кинешма	6.3	II	VII	100	Kineschma
101	Нижний Новгород	7.0	II	VII	101	Nishnij Nowgorod
102	Кологрив	6.0	II	VII	102	Kologriw
103	Рождественское (Костр. губ.)	6.7	II	VII	103	Roshdestwenskoe (Gouv. Kosstroma)
104	Порецкое	8.1	II	VII	104	Porezkoe
105	Козьмодемьянск	7.9	II	VII	105	Kosmodemjansk
106	Энгельгардтовская Обсерватория	8.4	II	VII	106	Engelhardt-Observatorium
108	Казань, университет	8.7	II	VII	108	Kasan, Universität
110	Вятка, реальное училище	7.3	II	VII	110	Wjatka, Realschule
111	Верхосунская ферма	8.0	II	VII	111	Werchossunskaja Ferma
112	Елабуга	9.5	II	VII	112	Elabuga
113	Сарапул	9.8	II	VII	113	Ssarapul
114	Ножовка	9.5	II	VII	114	Noshowka
115	Бирск	10.4	II	VII	115	Birsk
116	Пермь	9.2	II	VII	116	Perm
117	Кунгур	9.8	II	VII	117	Kungur
118	Чусовская	9.7	II	VII	118	Tschussowskaja
119	Бисер	9.3	II	VII	119	Bisser
120	Висимо-Шайтанск	10.0	II	VII	120	Wissimo-Schaitansk
121	Красноуфимск	10.4	II	VII	121	Krasnoufimsk
122	Златоуст	11.2	II	VII	122	Slatoust
123	Ивановский рудник	10.9	II	VII	123	Iwanowskij Rudnik
124	Ревда	10.2	II	VII	124	Rewda
125	Калиш	4.2	I	VII	125	Kalisch
126	Цехоцинск	3.5	I, IX	VII, III	126	Zechozinsk
127	Влоцлавск	3.8	I, IX	VII, III	127	Wlozlawsk
128	Петроков	4.7	I, XI	IV, VI	128	Petrokow
129	Лович	4.2	I	VII	129	Lowitsch
130	Орышев	4.3	I	VII	130	Oryschew
131	Млава	3.8	I	VII	131	Mlawa
132	Новогеоргиевск и Новый Двор	4.2	I	VII	132	Nowogeorgiewsk u. Nowyj Dwor
133	Варшава	4.4	I	VII	133	Warschau
134	Радом	4.6	I	VII	134	Radom
135	Новая Александрия (Пулавы)	4.8	I	VII	135	Nowaja Alexandrija (Pulawy)
136	Собешин	4.7	I	VI, VII	136	Ssobeschin
137	Люблин	4.8	I	VI	137	Lublin
138	Осовец	4.3	I	VII	138	Ossowez
139	Суwalkи	4.1	I	VII	139	Ssuwalki
140	Белосток	4.7	I	VII	140	Belosstok
141	Холм	5.3	I	VII	141	Cholm
142	Брест-Литовск	5.2	I	VII	142	Brest-Litowsk
143	Ковно	3.9	I	VII	143	Kowno
145	Бердовичи	5.2	I	VII	145	Berdowitschi
146	Вильно	4.1	I	VII	146	Wilno
147	Пинск	5.4	I	VII	147	Pinsk
148	Щерсы	5.0	I	VII	148	Schtscherssy
149	Минск	5.2	I	VII	149	Minsk
150	Мариина Горка	5.1	I	VII	150	Mariina Gorka

ТАБЛИЦА Е

TABELLE E

№	НАЗВАНИЯ СТАНЦИЙ	Годовая амплитуда Jahres- schwankung	Максимум Maximum	Минимум Minimum	№	NAMEN DER STATIONEN
		mm				
151	Борисов	5.1	I	VII	151	Borissow
152	Мозырь-Колинковичи	6.0	I	VII	152	Mosyr-Kolinkowitschi
153	Василевичи	5.9	I	VII	153	Wassilewitschi
154	Могилев	5.8	I	VII	154	Mogilew
155	Горки	5.5	I	VII	155	Gorki
156	Довжик	6.4	I	VII	156	Dowshik
157	Чериков	6.0	I	VII	157	Tscherikow
158	Нежин	6.2	I	VII	158	Neshin
159	Новозыбков	6.3	I	VII	159	Nowosybkow
160	Смоленск	5.7	X	VII	160	Smolensk
161	Фленово	5.8	X	VII	161	Flenowo
162	Шанталово	6.5	I	VII	162	Schantalowo
163	Рославль	6.2	X	VII	163	Roslawl
164	Ельня	5.9	X	VII	164	Elnja
165	Шостенский завод	6.8	I	VII	165	Schostenskij Sawod
166	Брянск	6.3	XII, I	VII	166	Brjansk
167	Севск	7.0	X	VII	167	Ssewsk
169	Жиздра	6.3	X	VII	169	Shidra
170	Коренево	7.1	I	VII	170	Korennewo
171	Уютное	6.9	I	VII	171	Ujutnoe
172	Кучеров хутор	7.1	I	VII	172	Kutscherow Chutor
173	Орел	6.8	X	VII	173	Orel
174	Поныри	7.1	X	VII	174	Ponyri
175	Курск	7.1	I	VII	175	Kursk
176	Калуга	6.4	X	VII	176	Kaluga
177	Андреевское	6.5	X	VII	177	Andreewskoe
178	Богодухово	6.9	XII	VII	178	Bogoduchowo
179	Скуратово	6.8	X	VII	179	Skuratowo
180	Богородицкое	7.6	I	VII	180	Bogorodizkoe
181	Шатиловская опытная станция	7.0	X	VII	181	Schatilowskaja, Versuchsstation
182	Тула	6.6	X	VII	182	Tula
183	Ливны	7.7	I	VII	183	Liwny
184	Ефремов	7.0	XII	VII	184	Efremow
185	Богородицк	6.9	I	VII	185	Bogorodizk
186	Нижнедевицк	7.6	I	VII	186	Nishnedewizk
187	Воронеж	7.7	X	VII	187	Woronesh
188	Гремячка	7.1	II	VII	188	Gremjatschka
189	Скопин	7.2	II	VII	189	Sskopin
190	Липецк	7.6	I, II	VII	190	Lipezk
191	Рязань, станция ж. д.	6.7	II	VII	191	Rjasan, Eisenbahnstation
193	Старожилово	6.8	I	VII	193	Sstaroshilowo
195	Козлов	7.6	I, II	VII	195	Koslow
196	Тамбов	8.1	II	VII	196	Tambow
197	Хреновской бор	8.3	II	VII	197	Chrenowskoi Bor
198	Калиновский хутор	8.5	XII, I	VII	198	Kalinowskij Chutor
199	Елатма	7.4	II	VII	199	Elatma
200	Моршанск	7.9	II	VII	200	Morschansk
201	Уварово	8.4	I	VII	201	Uwarowo
202	Земетчино	8.0	II	VII	202	Semettschino
203	Пенза, училище садоводства	8.9	II	VII	203	Pensa, Gartenbauschule
205	Николаевское (Сарат. губ.)	9.2	II	VII	205	Nikolaewskoe (Gouv. Ssaratow)
206	Саратов	9.5	II	VII	206	Ssaratow
207	Пады	8.5	XII	VII	207	Pady
208	Вольск	9.8	II	VII	208	Wolsk
209	Ульяновск (Симбирск)	9.4	II	VII	209	Uljanowsk (Ssimbirska)
210	Сызрань	9.4	II	VII	210	Ssysran
211	Николаевск	10.0	II	VII	211	Nikolaewsk
212	Безенчук	10.2	II	VII	212	Besentschuk
213	Самара и Томашев Колок	10.4	II	VII	213	Ssamara u. Tomaschew Kolok
214	Кинель	10.0	II, X	VII, XI	214	Kinel
215	Уральское лесничество	10.8	II	VII	215	Uralskoe, Forstei
216	Уральск, больница и с.-хоз. школа	11.0	II	VII	216	Uralsk, Hospital und landw. Schule
218	Боровое лесничество	10.8	II	VII	218	Borowoe, Forstei
219	Полибино	10.8	II	VII	219	Polibino
220	Аксеновская (Белебеевская) с.-х. шк.	11.0	II	VII	220	Axenowskaja (Belebeewskaja), landw. Schule
221	Уфа	10.9	II	VII	221	Ufa
222	Дедово	12.0	II	VII	222	Dedowo
223	Оренбург	12.1	II	VII	223	Orenburg
224	Загурже	4.7	I	VI	224	Sagurshe
225	Зомоковицы	5.0	I	VI	225	Sombkowizy
226	Белая Криница	6.2	I	VI	226	Belaja Kriniza
227	Здолбуново	6.1	I	VII	227	Sdolbunowo
228	Каменец-Подольск	6.8	I	VI	228	Kamenez-Podolsk
229	Старо-Константинов	6.6	I	VI, VII	229	Sstaro-Konsstantinow
230	Гриноуцы	6.7	I	VI	230	Grinouzy

ТАБЛИЦА Е

TABELLE E

№	НАЗВАНИЯ СТАНЦИЙ	Годовая амплитуда Jahres- schwankung	Максимум Maximum	Минимум Minimum	№	NAMEN DER STATIONEN
		mm				
231	Ялтушков.	7.1	I	VI, VII	231	Jaltuschkow
232	Нижний Ольчедаев	6.9	I	VI, VII	232	Nishnij Oltshedaew
233	Жмеринка.	6.7	I	VI	233	Shmerinka
234	Сороки	7.1	I	VI	234	Ssoroki
235	Коровинцы	6.8	I	VI	235	Korowinzy
236	Житомир	6.4	I	VI, VII	236	Shitomir
237	Немиров	6.7	I	VII	237	Nemirow
238	Плисково-Андрушевский завод	6.8	I	VI, VII	238	Pliskowo-Andruschewskij Sawod
239	Коростышев.	6.3	I	VII	239	Korostyschew
240	Плоти	6.9	I	VI, VII	240	Ploti
241	Киев.	6.4	I	VII	241	Kiew
242	Умань	7.0	I	VII	242	Uman
243	Мартыновка	6.7	I	VII	243	Martynowka
244	Щастновка	6.5	I	VII	244	Schtschastnowka
245	Златополь	6.9	I	VII	245	Slatopol
246	Згуровка	6.6	I	VII	246	Sgúrowka
247	Алексеевская	6.7	I	VII	247	Alexeewskaja
248	Дзержинск (Елисаветград)	7.1	I	VII	248	Dsershinsk (Elissawetgrad)
249	Сагайдак	7.4	I	VII	249	Ssagaidak
250	Долинская	7.1	I	VII	250	Dolinskaja
252	Лубны, гимназия	7.0	I	VII	252	Lubny, Gymnasium
253	Красный Колядин	7.1	I	VII	253	Krasnyj Koljadin
254	Кременчуг	7.0	I	VII	254	Krementschug
255	Онуфриевка.	7.3	I	VII	255	Onufriewka
256	Ромны	6.9	I	VII	256	Romny
257	Миргород	7.2	I	VII	257	Mirgorod
258	Комиссаровка	7.1	I	VII	258	Komissarowka
259	Дьяково	7.2	I	VII	259	Djatschkowo
260	Полтава	7.1	I	VII	260	Poltawa
261	Сумы	6.7	I	VI, VII	261	Ssumy
262	Тростянец	7.0	I	VII	262	Trosstjanez
263	Днепропетровск (Екатеринослав).	7.7	I	VII	263	Dnepropetrowsk (Ekaterinoslaw)
264	Угрюеды	7.2	I	VII	264	Ugroedy
265	Должик	7.4	I	VII	265	Dolshik
267	Харьков, Университет	7.5	I	VII	267	Charkow, Universität
269	Лозовая	8.0	I	VII	269	Losowaja
270	Асеевка.	7.5	I	VII	270	Asseewka
271	Новотаволжанка	7.9	I	VII	271	Nowotawolshanka
272	Волчанск	7.4	I	VII	272	Woltschansk
273	Казачье	7.4	I	VII	273	Kasatschje
274	Славянск	8.0	I	VII	274	Slawjansk
275	Каменка	8.2	I	VII	275	Kamenka
276	Луганск	8.4	I	VII	276	Lugansk
277	Сагуны	8.0	I	VII	277	Ssaguny
278	Деркульское лесничество, ст. № 1	8.3	I	VII	278	Derkulskoe, Forstei, Station № 1
279	Каменская	8.7	I	VII	279	Kamenskaja
280	Шептуховка	8.7	I	VII	280	Scheptuchowka
281	Урюпинская.	8.6	II	VII	281	Urjupinskaja
282	Усть-Медведицкая	8.6	XII	VII	282	Ust-Medwedizkaja
283	Рудня Камышинская	9.5	I	VII	283	Rudnja Kamyschinskaja
284	Камышин	9.6	II	VII	284	Kamyschin
285	Ахтуба	9.9	I	VII	285	Achtuba
286	Валуйка	9.7	XII	VI, VII	286	Waluika
287	Верхний Баскунчак	9.7	XII	VII	287	Werchnij Baskuntschak
288	Малый Узень	9.8	XII	VII	288	Malyj Usen
289	Телешов	6.5	I	VII	289	Teleschow
290	Кишинев	7.1	I	VI	290	Kischinew
291	Измаил	6.9	I	VII	291	Ismail
292	Аккерман	6.5	I	VI, VII	292	Akkerman
293	Днестровский знак	6.5	I	VII	293	Dnestrowskij Snak
294	Куриново-Покровское	6.9	I	VII	294	Kurissowo-Pokrowskoe
295	Одесса, Университет	6.6	I	VII	295	Odessa, Universität
297	Николаев.	7.0	I	VII	297	Nikolaew
298	Херсон	6.9	I	VII	298	Chersson
299	Скадовск	6.7	I	VII	299	Skadowsk
300	Хорлы	6.8	I	VII	300	Chorly
301	Мелитополь.	7.4	XI	VII	301	Melitopol
302	Генический маяк	6.9	XI	VII	302	Genitschesk, Leuchtturm
303	Мариуполь	8.2	I	VII	303	Mariupol
304	Перебойный остров	8.0	I	VII	304	Pereboinyj Osstrow
305	Ростов на Дону	8.3	I	VII	305	Rosstow am Don
306	Тарханкутский маяк	6.1	I	VII	306	Tarchankut, Leuchtturm
307	Саки	6.7	I	VII	307	Ssaki
308	Симферополь и Тотайкой	6.5	XI	VII	308	Ssimferopol u. Totaikoi
309	Севастополь	6.2	I	VII	309	Ssewasstopol
310	Форос	6.1	I	VII	310	Foros

ТАБЛИЦА Е

TABELLE E

№	НАЗВАНИЯ СТАНЦИЙ	Годовая амплитуда Jahres- schwankung	Максимум Maximum	Минимум Minimum	№	NAMEN DER STATIONEN
311	Ай-Петри	6.3	XI	VII	311	Ai-Petri
312	Айтодорский маяк	6.0	I	VII	312	Aitodor, Leuchtturm
314	Ялта	6.2	XI	VII	314	Jalta
316	Судак	6.4	XI	VII	316	Ssudak
319	Феодосия, порт	6.8	I	VII	319	Feodossija, Hafen
320	Кыз-Аульский маяк	6.7	I	VII	320	Kys-Aul, Leuchtturm
321	Керчь	7.1	I	VII	321	Kertsch
322	Краснодар (Екатеринодар)	7.6	I	VII	322	Krasnodar (Ekaterinodar)
323	Тихорецкая	8.0	I	VII	323	Tichorezkaja
324	Ладожская	8.0	I	VII	324	Ladoshskaja
325	Хуторок	8.1	I	VII	325	Chutorok
326	Ставрополь	8.3	I	VII	326	Sstawropol
327	Майкоп	7.9	I	VII	327	Maikop
328	Михайловская пустынь	6.8	X	VII	328	Michailowskaja Pusstyn
329	Кисловодск	8.1	XI	VII	329	Kislowodsk
330	Ессентуки	9.1	I	VII	330	Essentuki
331	Железноводск	8.6	I	VII	331	Shelesnówodsk
332	Пятигорск	9.0	I	VII	332	Pjatigorsk
333	Владикавказ	9.1	I	VII	333	Wladikawkas
334	Коби	10.0	I	VII	334	Kobi
335	Грозный	9.7	I	VII	335	Grosnyj
336	Кизляр	9.6	I	VII	336	Kislar
337	Буйнакс (Темир-Хан-Шура)	9.4	I	VII	337	Buinaks (Temir-Chan-Schura)
338	Махач-Кала (Петровск)	9.2	I	VII	338	Machatsch-Kala (Petrowsk)
339	Хошеутовский участок	9.9	XII	VII	339	Choscheutowskij Utschasstok
340	Астрахань	9.9	I	VII	340	Asstrachan
342	Бирючья Коса	9.8	I	VII	342	Birjutschja Kossa
344	Буюк-Дере	6.0	I	VII	344	Bujuk-Dere
345	Синоп	6.1	I	VII	345	Sinope
346	Трапезонд	6.4	XI, XII, I	VII	346	Trapezund
348	Новороссийск	6.8	I	VII	348	Noworossijsk
349	Сочи	6.8	I	VII	349	Ssotschi
350	Гагры	6.9	I	VII	350	Gagry
352	Сухум, опытное поле	7.3	I	VII	352	Ssuchum, Versuchsstation
353	Поти	7.1	I	VII	353	Poti
354	Батум	6.6	I	VII	354	Batum
355	Кутаис	7.7	I	VII	355	Kutais
356	Тквибули	8.2	XII	VII	356	Tkwibuli
357	Пони	10.3	XII	VII	357	Poni
358	Ципа	9.1	I	VII	358	Zipa
359	Абас-Туман	11.9	I	VII	359	Abas-Tuman
360	Боржом	10.1	XII, I	VII	360	Borshom
361	Цеми	10.4	XII	VII	361	Zemi
362	Гори	10.1	I	VII	362	Gori
364	Гудаур	8.8	I	VII	364	Gudaaur
365	Млеты	10.3	XII	VII	365	Mlety
366	Тифлис	10.1	I	VII	366	Tiflis
367	Караязы	10.2	I	VII	367	Karajasy
368	Цинондали	9.4	I	VII	368	Zinondali
369	Ганджа (Елисаветполь)	10.5	I	VII	369	Gandsha (Elissawetpol)
370	Кюрдамир	9.8	I	VII	370	Kjurdamir
371	Баку	9.1	I	VII	371	Baku
378	Еленовка	14.1	I	VII	378	Elenowka
379	Ново-Баязет	13.3	I	VII	379	Nowo-Bajaset
380	Шуша	10.0	XII	VII	380	Schuscha
381	Ленкорань	9.6	I	VII	381	Lenkoran
382	Пахлеви (Энзели)	9.6	I	VII	382	Pachlewi (Enseli)
383	Маре-Сале	7.0	IV, I	X, II	383	Mare-Ssale
384	Диксон	5.5	II, III	X	384	Dixon
385	Усть-Енисейский порт	7.8	I	X	385	Ust-Enisseiskij Port
386	Дудинка	7.1	I, II	VII	386	Dudinka
387	Булун	11.4	I	VII	387	Bulun
388	Казачье	11.6	I, II	VII	388	Kasatschje
389	Верхоянск	15.4	I	VII	389	Werchojansk
390	Русское Устье	12.4	II	VII	390	Russkoe Ustje
391	Обдорск	6.0	IV	IX	391	Obdorsk
392	Березов	6.4	IV	VII	392	Beresow
393	Монастырское	11.0	II	VII	393	Monasstyrskoe
394	Верхне-Имбатское	12.4	II	VII	394	Werchne-Imbatskoe
395	Марково на Анадыре	6.8	III	VII	395	Markowo am Anadyr
396	Ново-Мариинский пост	5.3	III	VIII, IX	396	Nowo-Mariinskij Post
397	Богословск	8.3	II	VII	397	Bogoslowsk
398	Самарово	8.7	II	VII	398	Ssamarowo
399	Сургут	9.8	II	VII	399	Ssurgut
400	Олекминск	18.4	I	VII	400	Olekminsk

ТАБЛИЦА Е

TABELLE E

№	НАЗВАНИЯ СТАНЦИЙ	Годовая амплитуда Jahres- schwankung	Максимум Muximum	Минимум Minimum	№	NAMEN DER STATIONEN
		mm				
402	Якутск	17.2	I	VII	402	Jakutsk
403	Охотск	5.7	II	VII	403	Ochotsk
404	Гижигинск (Кушка)	5.1	III, IX	VII, XI	404	Gishiginsk (Kuschka)
405	Верхотурье	8.8	II	VII	405	Werchoturje
406	Благodatka	9.0	II, III	VII	406	Blagodatka
408	Нижне-Тагильск	9.4	II	VII	408	Nishne-Tagilsk
409	Свердловск (Екатеринбург)	10.1	II	VII	409	Sswerdlowsk (Ekaterinburg)
410	Челябинск	11.2	II	VII	410	Tscheljabinsk
411	Ирбит	9.7	II	VII	411	Irbrit
412	Шадринск	10.4	II	VII	412	Schadrinsk
413	Тюмень	10.6	II	VII	413	Tjumen
414	Старо-Сидорово	11.8	II	VII	414	Sstaro-Ssidorowo
415	Курган	12.0	II	VII	415	Kurgan
416	Тобольск	10.6	II	VII	416	Tobolsk
417	Тара	12.9	II	VII	417	Tara
418	Татарская	14.4	II	VII	418	Tatarskaja
419	Каинск	14.6	II	VII	419	Kainsk
420	Каргатский форпост	15.1	II	VII	420	Kargatskij Forpost
421	Чулым	15.6	II	VII	421	Tschulym
422	Нарым	13.0	II	VII	422	Narym
423	Томск	15.4	II	VII	423	Tomsk
424	Тайга	16.0	II	VII	424	Taiga
425	Новосибирск (Кривошеково)	16.1	II	VII	425	Nowossibirsk (Kriwoschtschekowo)
426	Мариинск	15.9	II	VII	426	Mariinsk
427	Енисейск	16.0	II	VII	427	Enisseisk
428	Рыбное	16.9	II	VII	428	Rybnoe
429	Красноярск	17.2	II	VII	429	Krassnojarsk
430	Канск	17.7	II	VII	430	Kansk
431	Тайшет	18.1	II	VII	431	Taischet
432	Николаевский Завод	18.8	I	VII	432	Nikolaewskij Sawod
433	Братский Острог	19.0	II	VII	433	Bratskij Osstrog
434	Омолоевское	19.3	I	VII	434	Omoloewskoe
435	Киренск	17.9	I	VII	435	Kirensk
436	Котельниковский маяк	19.3	II	VII	436	Kotelnikowskij, Leuchtturm
437	Душкочан	20.4	II	VII	437	Duschkatschan
438	Дагарский маяк	19.5	I, II	VII	438	Dagarskij, Leuchtturm
439	Тихоно-Задонский прииск	18.6	II	VII	439	Tichono-Sadonskij Priisk
441	Никольское (О. Беринг)	11.2	VI, VII, I	XII, II, VII	441	Nikolskoe (Insel Behring)
442	Троицк	12.2	II	VII	442	Troizk
443	Кустанайская конюшня	13.0	II	VII	443	Kusstanaiskaja Konjuschnja
444	Уркач	14.4	II	VII	444	Urkatsch
445	Сарымбет	14.0	II	VII	445	Ssarymbet
446	Кокчетав	14.4	II	VII	446	Koktschetaw
447	Атбасар	15.3	II	VII	447	Athassar
448	Акмолинск	16.4	II	VII	448	Akmolinsk
449	Омск	14.0	II	VII	449	Omsk
450	Павлодар	17.1	II	VII	450	Pawlodar
451	Купино	15.1	II	VII	451	Kupino
452	Боровые Озера	17.8	II	VII	452	Borowye Osera.
453	Боровское	17.9	II	VII	453	Borowskoe
454	Барнаул	17.5	II	VII	454	Barnaul
455	Бийск	18.3	II	VII	455	Bijsk
457	Кольчугинское	17.1	II	VII	457	Koltschuginskoe
458	Кузнецк	18.0	II	VII	458	Kusnezsk
459	Минусинск	19.0	II	VII	459	Minussinsk
460	Тулун	19.1	II	VII	460	Tulun
461	Зима	19.7	I	VII	461	Sima
462	Усолъе	20.2	I, II	VII	462	Ussolje
463	Жердовская сельско-хоз. школа	20.6	I	VII	463	Sherdowskaja, landw. Schule
464	Иркутск	19.6	I, II	VII	464	Irkutsk
465	Песчаная бухта	18.6	I, II	VII	465	Pesstschanaja Buchta
466	Голоустное	18.8	I	VII	466	Goloustnoe
467	Лиственичное	18.1	II	VII	467	Listwenitschnoe
468	Маритуй	18.8	II	VII	468	Maritui
469	Култук	18.4	II	VII	469	Kultuk
470	Переменная	19.6	II	VII	470	Pereemnaja
471	Мысовая	18.9	II	VII	471	Myssowaja
472	Верхняя Мишиха	19.4	I	VII	472	Werchnjaja Mischicha
473	Кабанское	19.8	I	VII	473	Kabanskoe
474	Верхнеудинск	23.0	I	VII	474	Werchneudinsk
475	Ольхон	18.7	I	VII	475	Olchon
476	Туркинский маяк	18.7	II	VII	476	Turkinskij, Leuchtturm
477	Баргузин	22.5	I	VII	477	Bargusin
478	Петровский Завод	23.8	I	VII	478	Petrowskij Sawod
479	Хилок	22.7	I	VII	479	Chilok

ТАБЛИЦА Е

TABELLE E

№	НАЗВАНИЯ СТАНЦИЙ	Годовая амплитуда Jahres- schwankung	Максимум Muximum	Минимум Minimum	№	NAMEN DER STATIONEN
		mm				
481	Чита	21.8	I	VII	481	Tschita
482	Нерчинск	21.9	I	VII	482	Nertschinsk
483	Сретенск	22.2	I	VII	493	Sretensk
484	Нерчинский Завод	21.0	I	VII	484	Nertschinskij Sawod
485	Покровка	19.0	I	VII	485	Pokrowka
486	Тыган-Уркан	15.7	I	VI, VII	486	Tygan-Urkan
487	Магдагачи	16.1	I	VII	497	Magdagatschi
488	Черняево	15.6	I	VII	488	Tschernjaewo
489	Пикан	15.5	I	VII	489	Pikan
490	Бомнак	15.3	I	VII	490	Bomnak
491	Мазаново	14.8	I	VII	491	Masanowo
492	Гош	15.3	I	VII	492	Gosch
494	Николаевск на Амуре	8.2	II	VII	494	Nikolaewsk-am Amur
495	Пронге	7.1	II	VII	495	Pronge
497	Петропавловск на Камчатке	9.0	VI, VIII	XII, VII	497	Petropawlowsk auf Kamtschatka
498	Джамбейты	10.9	II	VII	498	Dshambeity
499	Уильское	12.7	II	VII	499	Uilskoe
500	Актюбинск	13.1	II	VII	500	Aktjubinsk
501	Темир	13.5	II	VII	501	Temir
502	Эмба	13.5	II	VII	502	Emba
503	Тургай	14.6	II	VII	503	Turgai
504	Спасский завод	17.7	II	VII	504	Sspasskij Sawod
505	Каркаралинск	17.5	XII	VII	505	Karkaralinsk
506	Бельагачское зимовье	19.1	II	VII	506	Belagatschskoe Simowje
507	Семипалатинск	18.9	II	VII	507	Ssemipalatiñsk
509	Усть-Каменогорская ферма	20.1	XII	VII	509	Ust-Kamenogorskaja Ferma
511	Алтайская	21.3	XII	VII	511	Altaiskaja
512	Троицкосавск	23.1	I	VII	512	Troizkossawsk
513	Урга (Улан-Батор)	25.4	I	VII	513	Urga (Ulan-Bator)
514	Оловянная	21.8	I	VII	514	Olowjannaja
515	Манчжурия	21.2	I	VII	515	Mantschshurija
516	Хайлар	21.1	I	VII	516	Chailar
518	Чжалантунь	17.0	I	VII	518	Tschshalantun
519	Благовещенск	15.3	I	VII	519	Blagoweschtschensk
520	Михайловское (Амурской губ.)	15.7	I	VII	520	Michailowskoe (gouv. Amur)
521	Тарбогатай	15.5	I	VI, VII	521	Tarbogatai
522	Екатерино-Никольск	13.3	I	VII	522	Ekaterino-Nikolsk
523	Вяземская	12.1	I	VI	523	Wjasemskaja
524	Хабаровск	11.6	I	VII	524	Chabarowsk
525	Жонкиерский маяк	6.7	II	VII	525	Shonkier, Leuchtturm
526	Александровский пост	6.3	I	VII	526	Alexandrowskij Post
527	Рыковское	6.1	I, II	VII	527	Rykowskoe
528	Гурьев	11.0	I	VII	528	Gurjew
529	Тюб-Караганский маяк	9.8	I	VII	529	Tjub-Karaganskij, Leuchtturm
530	Форт-Александровский	9.5	I	VII	530	Fort-Alexandrowskij
531	Кизыл-Джар	13.6	I	VII	531	Kisyl-Dshar
532	Аральское Море	14.2	I	VII	532	Aralskoe More
533	Казалинск	14.1	I	VII	533	Kasalinsk
534	Кзыл-Орда (Перовск)	15.1	I	VII	534	Ksyl-Orda (Perowsk)
535	Туркестан	16.6	I	VII	535	Turkesstan
536	Аулие-Ата	16.9	XII	VII	536	Aulie-Ata
537	Фрунзе (Пишпек)	17.8	XII	VII	537	Frunse (Pischpek)
538	Алма-Ата (Верный)	18.0	XII	VII	538	Alma-Ata (Wernyj)
541	Борохудзир	19.2	XII	VII	541	Borochudsir
542	Зайсан	22.6	XII	VII	542	Saissan
543	Урумчи	23.5	XII	VII	543	Urumtschi
544	Лукчун	27.4	XII	VII	544	Ljuktschun
545	Цицикар	16.9	I	VII	545	Zizikar
546	Харбин	16.7	I	VII	546	Charbin
549	Тайпинлин	14.6	I	VI, VII	549	Taipinlin
550	Гродеково	13.1	I	VII	550	Grodekowo
551	Евгеньевка	13.0	I	VI	551	Ewgenjewka
552	Анучино	12.9	I	VI	552	Anutschino
553	Никольск Уссурийский	12.3	I	VII	553	Nikolsk Ussurijskij
554	Владивосток	10.9	I	VI, VII	554	Wladiwosstok
555	Гамовский маяк	10.9	I	VI, VII	555	Gamow, Leuchtturm
556	Аскольдский маяк	9.9	I	VI	556	Askow, Leuchtturm
557	Поворотный маяк	9.0	I	VII	557	Poworotnyj, Leuchtturm
558	Бикин	12.4	I	VI	558	Bikin
559	Муравьев-Амурский	12.9	I	VI	559	Murawjew Amurskij
560	Пост Ольга	7.9	I	VI	560	Post Olga
561	Красноводск	10.6	XII	VII	561	Krasnowodsk
562	Челекен	10.6	XII	VII	562	Tscheleken
563	Узун-Ада	11.2	I	VII	563	Usun-Ada

ТАБЛИЦА Е

TABELLE E

№	НАЗВАНИЯ СТАНЦИЙ	Годовая амплитуда Jahres- schwankung	Максимум Maximum	Минимум Minimum	№	NAMEN DER STATIONEN
		mm				
564	Чикишляр	9.8	I	VII	564	Tschikischljär
565	Кизил-Арват	12.0	I	VII	565	Kisil-Arwat
566	Ашхабад (Асхабад)	12.4	I	VII	566	Aschhabad (Asschabad)
567	Турткуль (Петро-Александровск)	13.5	I	VII	567	Turtkul (Petro-Alexandrowsk)
568	Байрам-Али	14.8	I	VII	468	Bairam-Ali
569	Султан-Бенд	14.4	I	VII	569	Ssultan-Bend
570	Ленинск Туркменский (Аму-Дарья)	15.2	I	VII	570	Leninsk Turkmenskij (Amu-Darja)
571	Бухара	15.3	I	VII	571	Buchara
572	Самарканд	15.6	XII	VII	572	Ssamarkand
573	Керки	16.8	I	VII	573	Kerki
574	Термез	18.2	XII	VII	574	Termes
575	Джизак	16.4	I	VII	575	Dshisak
576	Ташкент	16.4	XII, I	VII	576	Taschkent
577	Ходжент	17.4	XII, I	VII	577	Chodshent
578	Наманган	18.2	XII	VII	578	Namangan
579	Маргелан	18.5	XII, I	VII	579	Margelan
580	Андижан	18.1	I	VII	580	Andishan
585	Пекин	18.1	I	VII	585	Peking
Финляндия					Finland	
586	Улеаборг	4.2	V, IX	I, VIII	586	Uleåborg (Oulu)
587	Улькочалла	4.3	V, IX	I, VIII	587	Ulkokalla
588	Каяна	3.7	IV, IX	VII, VIII, I	588	Kajana
589	Ваза (Николайштадт)	4.1	V, IX	VIII, I	589	Wasa (Nikolaistadt)
590	Куопио	3.9	IV, IX, X	VIII, I	590	Kuopio
591	Ювескюле	3.8	IV, IX	VIII, I	591	Jyväskylä
592	Вертсиле	3.9	IV, X	VII, VIII, I	592	Wärtsilä
593	Себшер	3.8	V, IX	VIII, I	593	Säbbskär
594	Таммерфорс	3.7	IV, V, IX	VIII, I	594	Tammerfors
595	Сулкава	3.9	IV, X	VII, VIII, I	595	Sulkawa
596	Шельшер	3.8	V, IX	VIII, XII	596	Skälskär
597	Мариенгамн	3.8	V, IX	VIII, XII	597	Marienhamn
598	Уте	3.7	V, IX	VIII, XII	598	Utö
599	Або	3.7	V, IX	VIII, XII	599	Åbo
600	Ганге, город	3.6	V, IX	VIII, XII	600	Hangö (Hanko), Stadt
601	Гельсингфорс	3.6	V, IX	VIII, I	601	Helsingfors
602	Выборг	3.9	IV, X	VIII, I	602	Wiborg
Швеция					Schweden	
603	Каресуандо	6.0	V, XII	I, XI	603	Karesuando
604	Гапаранда	4.8	V, IX, XII	I, VIII, XI	604	Haparanda
605	Стенселе	4.2	V, IX	VIII, I	605	Stensele
606	Умео	4.1	V, IX	VIII, I	606	Umeå
607	Гернезанд	4.3	V, IX	VIII, I	607	Hernösand
608	Карлстад	3.6	V, IX	VIII, III	608	Karlstad
609	Упсала	3.7	V, IX	VIII, III	609	Upsala
610	Стокгольм	3.6	V, IX	VIII, III	610	Stockholm
611	Висби	3.2	V, IX	VIII, III	611	Visby
612	Кристианстад	2.8	IX, I, V	VIII, XII, III	612	Kristianstadt
Норвегия					Norwegen	
613	Варде	8.6	V	I	613	Vardö
614	Бодё	8.0	V, IX	I, VIII	614	Bodö
615	Христиансунд	6.1	VI, IX	I, VIII	615	Christiansund
616	Осло (Христиания)	3.6	V, IX	VIII, III	616	Oslo (Christiania)
617	Мандаль	3.1	V, IX, II	VIII, XII, III	617	Mandal
Польша					Polen	
618	Познань	4.1	I, IX	VI, XII	618	Posen
619	Величка	5.0	I, IX	IV, X	619	Wieliczka
620	Криница	5.9	I	VI	620	Krynica
621	Лвов	5.5	I	VI	621	Lwow (Lemberg)
622	Злочов	5.9	I	VI	622	Zloczow
623	Тарнополь	6.5	I	VI	623	Tarnopol

ТАБЛИЦА Е

TABELLE E

№	НАЗВАНИЯ СТАНЦИЙ	Годовая амплитуда Jahres- schwankung	Максимум Maximum	Минимум Minimum	№	NAMEN DER STATIONEN
					Оестерreich	
624	Австрия Вена	mm 6.1	I	IV	624	Wien
					Deutschland	
625	Мемель	3.1	IX, I, V	VII, XII, III	625	Memel
626	Путбус	3.0	I, V, IX	III, VII, VIII, XII	626	Putbus
627	Лауенбург	2.8	I, V, IX	III, VII, XI	627	Lauenburg
628	Кенигсберг	3.1	I, V, IX	III, VII, XII	628	Königsberg
629	Шивельбейн	3.3	I, IX	III, XII	629	Schivelbein
630	Курвин	4.2	I	VII	630	Kurwien
631	Берлин	3.4	I, IX	III, X	631	Berlin
632	Бромберг	3.7	I	VII	632	Bromberg
633	Бреславль	4.4	I	IV	633	Breslau
					Ungarn	
634	Унгвар	6.3	I	IV	634	Ungvar
635	Огиалла	6.4	I	IV	635	Ogyalla
636	Будапешт	6.5	I	IV	636	Budapest
637	Нийрегихаза	6.5	I	IV	637	Nyiregyháza
638	Шегед	6.6	I	IV	638	Szeged
639	Марос-Вазархели	7.3	I	IV	639	Maros-Vasarhely
640	Шашварос	7.3	I	IV	640	Szaszvaros
641	Нагишебен (Германштадт)	6.9	I	VI	641	Nagyszeben (Hermannstadt)
					Rumänien	
642	Дорогои	7.1	I	VI	642	Dorohoi
643	Комендерешти	6.9	I	VI, VII	643	Comandaresti
644	Паниешти-Драгомирешти	6.9	I	VI, VII	644	Pancesti-Dragomiresci
645	Синая	6.3	I	VI	645	Sinaia
646	Браила	6.9	I	VII	646	Braila
647	Сулина	6.5	I	VII	647	Sulina
648	Стрихарет	6.6	I	VI, VII	648	Striharet
649	Бухарест	6.9	I	VII	649	Bucarest
					Bulgarien	
650	Образцов-Чиflik	6.5	I	VII	650	Obraszow-Tschiflik
651	Варна	6.1	I	VII	651	Varna
652	София	6.9	I	VII	652	Sofia
653	Казанлык	6.3	I	VII	653	Kasanlyk
654	Бургаз	6.2	I	VII	654	Burgas
655	Филиппополь (Пловдив)	6.2	I	VII	655	Philippopoli (Plowdiw)
					Stationsnetz von Japan	
656	Отиаи (Галкино-Врасское)	3.8	X, II	VII, XII	656	Otai (Galkino-Wrasskoe)
657	Отомари (Корсаковский Пост)	3.5	X, II	VII, XII	657	Otomari (Korssakowskij Post)
658	Немуро	4.1	X, IV	VII, XII	658	Nemuro
659	Саппоро	5.6	X, III	VII, XII	659	Sapporo
660	Хакодате	5.4	X, III	VII, XII	660	Hakodate
661	Токио	6.3	XI	VII	661	Tokio
662	Нагасакки	10.4	XII	VII	662	Nagasaki
663	Чан-чунь	17.6	I	VII	663	Chang-Chun
664	Мукден	17.6	I	VII	664	Mukden
665	Инкоу	17.4	I	VII	665	Inkow
666	Гензан	11.7	I	VII	666	Gensan
667	Чемульпо (Цинзен)	13.4	XII, I	VII	667	Chemulpo (Zinsen)
668	Сеул (Кейцью)	13.6	XII	VII	668	Söul (Keizyö)
669	Фусан (Хузан)	10.8	XII, I	VII	669	Fusan (Husan)
					China	
670	Цикавей	16.2	XII	VII	670	Zi-ka-wei

ТАБЛИЦА F

TABELLE F

Наибольшие и наименьшие месячные и годовые средние величины давления воздуха на уровне моря.

Die höchsten und die niedrigsten Monats- und Jahresmittel des Luftdrucks im Meeresniveau.
1881—1910

№	Названия станций		I	II	III	IV	V	VI	VII	VIII	IX	X	XI	XII	Год Jahr	№	Namen der Stationen
11	Кемь	Maximum	767.9 1897	773.8 1886	770.7 1904	769.4 1883	765.7 1895	763.4 1889	763.2 1885	764.6 1884	765.8 1881	768.6 1882	767.9 1907	770.4 1899	760.6 1897	11	Kem
		Minimum	751.0 1884	742.4 1903	750.0 1882	753.6 1893	758.4 1891	755.9 1904	752.6 1909	752.2 1903	751.7 1893	750.5 1890	746.7 1901	748.9 1898	757.1 1887		
		Разность Differenz	16.9	31.4	20.7	15.8	7.3	7.5	10.6	12.4	14.1	18.1	21.2	21.5	3.5		
29	Ленинград, ГГО .	Maximum	767.9 1893	776.6 1886	772.7 1904	769.2 1894	766.5 1895	762.3 1901	762.6 1885	762.7 1884	767.7 1904	769.9 1882	769.2 1907	770.2 1889	761.8 1886	29	Leningrad, Geoph. Zentral-Obs.
		Minimum	752.2 1902	748.1 1903	748.0 1906	756.8 1899	757.6 1884	755.4 1904	752.6 1909	752.8 1903	752.6 1893	752.3 1890	750.0 1901	750.3 1898	758.3 1899		
		Разность Differenz	15.7	28.5	24.7	12.4	8.9	6.9	10.0	9.9	15.1	17.6	19.2	19.9	3.5		
33	Валаам	Maximum	768.3 1893	776.3 1886	772.8 1904	770.0 1894	766.6 1895	762.9 1889	762.7 1885	763.2 1884	767.1 1904	769.6 1882	769.2 1907	769.6 1899	761.5 1889	33	Walaam
		Minimum	751.8 1902	746.4 1903	748.1 1906	756.5 1893	758.0 1907	755.2 1904	752.5 1909	752.3 1903	752.4 1893	752.0 1890	748.5 1901	749.4 1898	758.3 1899		
		Разность Differenz	16.5	29.9	24.7	13.5	8.6	7.7	10.2	10.9	14.7	17.6	20.7	20.2	3.2		
42	Каргополь . . .	Maximum	770.8 1893	778.6 1886	774.2 1904	769.7 1894	765.7 1897	763.0 1901	763.8 1885	762.3 1898	766.5 1904	768.6 1882	771.3 1907	772.1 1899	762.3 1889	42	Kargopol
		Minimum	752.9 1902	745.3 1903	749.1 1906	754.4 1893	757.1 1907	754.0 1904	752.1 1909	753.4 1903	753.5 1893	752.6 1890	748.0 1901	750.1 1898	758.4 1893		
		Разность Differenz	17.9	33.3	25.1	15.3	8.6	9.0	11.7	8.9	13.0	16.0	23.3	22.0	3.9		
53	Либава	Maximum	766.5 1887	771.9 1886	769.0 1904	765.7 1894	765.4 1895	762.9 1908	762.8 1885	764.2 1884	767.8 1904	770.4 1908	767.9 1892	770.7 1889	761.9 1886	53	Libau
		Minimum	754.6 1902	750.7 1889	751.5 1906	753.9 1903	758.0 1902	756.8 1894	754.8 1888	755.0 1903	754.9 1893	755.2 1905	754.7 1910	753.8 1886	759.5 1899		
		Разность Differenz	11.9	21.2	17.5	11.8	7.4	6.1	8.0	9.2	12.9	15.2	13.2	16.9	2.4		
65	Юрьев (Тарту) .	Maximum	766.6 1893	775.1 1886	771.8 1904	768.0 1894	766.1 1895	762.5 1905	762.3 1901, 1895	763.3 1884	768.0 1904	769.7 1882	768.6 1907	771.3 1889	762.0 1886	65	Jurjew (Tartu)
		Minimum	753.0 1902	751.1 1903	749.0 1906	755.3 1903	757.9 1902	755.3 1894	753.1 1909	753.5 1903	753.1 1893	753.1 1890	752.7 1901	751.9 1898	758.8 1893		
		Разность Differenz	13.6	24.0	22.8	12.7	8.2	7.2	9.2	9.8	14.9	16.6	15.9	19.4	3.2		
71	Великие Луки .	Maximum	769.1 1889	777.0 1886	772.5 1904	768.8 1894	765.5 1893	762.4 1901	762.4 1899	764.4 1898	768.8 1904	770.4 1882	770.1 1907	773.1 1889	763.1 1886	71	Welikie Luki
		Minimum	754.2 1902	751.9 1903	750.7 1906	756.8 1903	758.4 1884	754.2 1894	754.8 1909	755.7 1881	755.8 1893	756.0 1890	754.5 1901	754.0 1898	759.9 1899		
		Разность Differenz	14.9	25.1	21.8	12.0	7.1	8.2	7.6	8.7	13.0	14.4	15.6	19.1	3.2		
85	Москва, Межевой Институт . .	Maximum	773.2 1891	780.5 1886	773.6 1904	770.6 1894	766.2 1889	763.1 1901	762.7 1885	763.7 1898	768.7 1904	771.5 1901	771.9 1907	773.9 1889	763.8 1886	85	Moskau, Feldmes- serinst.
		Minimum	755.8 1902	751.7 1903	751.2 1906	757.8 1909	758.0 1884	754.0 1894	755.1 1888	755.4 1908	755.6 1894	757.7 1890	754.7 1901	755.2 1898	760.6 1893		
		Разность Differenz	17.4	28.8	22.4	12.8	8.2	9.1	7.6	8.3	13.1	13.8	17.2	18.7	3.2		
101	Нижний Новгород	Maximum	774.7 1891, 1893	782.0 1886	774.4 1904	770.8 1894	766.7 1889	763.1 1901	762.8 1885	762.5 1898	767.4 1904	771.0 1901	772.8 1907	773.2 1889	764.3 1889	101	Nishnij Nowgorod
		Minimum	756.2 1902	749.1 1903	752.0 1906	756.4 1893	757.0 1884	753.6 1894	754.8 1905	755.0 1908	754.7 1894	757.6 1890	753.6 1901	754.8 1898	760.6 1902		
		Разность Differenz	18.5	32.9	22.4	14.4	9.7	9.5	8.0	7.5	12.7	13.4	19.2	18.4	3.7		
108	Казань, Универс.	Maximum	777.4 1900	781.8 1886	776.0 1904	771.2 1904	765.6 1893	763.1 1901	763.2 1885	761.8 1898	767.0 1909	774.3 1901	773.4 1907	774.7 1889	765.2 1889	108	Kasan, Universität
		Minimum	758.4 1902	750.7 1903	754.2 1906	757.2 1893	757.6 1908	753.3 1894	754.8 1905	755.3 1908	755.6 1894	759.5 1890	755.2 1901	756.7 1898	761.4 1888, 1902		
		Разность Differenz	19.0	31.0	21.8	14.0	8.0	9.8	8.4	6.5	11.4	14.8	18.2	18.0	3.8		

ТАБЛИЦА F

TABELLE F

№	Названия станций		I	II	III	IV	V	VI	VII	VIII	IX	X	XI	XII	Год Jahr	№	Namen der Stationen
110	Вятка, реальное учил.	Maximum	776.1 1900	780.8 1886	776.4 1904	771.9 1883	766.8 1897	762.7 1901	761.0 1899	762.0 1896	766.0 1909	770.3 1909	773.4 1907	774.1 1899	764.0 1889	110	Wjatka, Realschule
		Minimum	756.7 1882	747.8 1903	752.7 1906	755.5 1893	756.4 1907	753.6 1904	753.2 1901	754.8 1908	754.7 1894	758.4 1894	752.3 1901	753.7 1898	760.1 1888, 1902		
		Разность Differenz	19.4	33.0	23.7	16.4	10.4	9.1	7.8	7.2	11.3	11.9	21.1	20.4	3.9		
133	Варшава	Maximum	771.5 1882	773.0 1891	766.5 1904	764.5 1906	765.1 1909	762.6 1897	762.7 1887	764.4 1898	766.6 1904	770.3 1908	769.8 1892	771.3 1889	763.0 1908	133	Warschau
		Minimum	755.7 1895	752.5 1889	753.9 1888	754.8 1903	758.0 1897	757.5 1894	756.6 1888	757.8 1882	758.5 1899	757.9 1885	755.8 1910	755.9 1901	760.7 1910		
		Разность Differenz	15.8	20.5	12.6	9.7	7.1	5.1	6.1	6.6	8.1	12.4	14.0	15.4	2.3		
146	Вильно	Maximum	768.1 1885, 1889	773.4 1886	769.7 1904	766.4 1894	765.4 1909	762.1 1897	762.2 1887	764.7 1898	768.0 1904	770.6 1908	769.4 1892	772.6 1889	762.7 1881	146	Wilno
		Minimum	756.2 1902	751.7 1889	753.1 1906	755.2 1903	758.6 1902	755.4 1894	755.9 1909	757.1 1903	757.2 1893	757.4 1890	757.1 1909	756.2 1901	760.6 1899		
		Разность Differenz	11.9	21.7	16.6	11.2	6.8	6.7	6.3	7.6	10.8	13.2	12.3	16.4	2.1		
147	Пинск	Maximum	770.3 1882	772.7 1886	769.0 1904	766.5 1886	764.9 1909	762.2 1908	762.7 1887	764.9 1898	767.6 1904	770.7 1908	769.9 1892	772.6 1889	763.3 1881	147	Pinsk
		Minimum	757.5 1895	753.3 1889	755.3 1906	756.4 1903	757.7 1897	756.0 1894	756.7 1910	759.1 1908	759.6 1893, 1899	759.3 1885	758.0 1910	757.6 1901	761.4 1803, 1895		
		Разность Differenz	12.8	19.4	13.7	10.1	7.2	6.2	6.0	5.8	8.0	11.4	11.9	15.0	1.9		
155	Горки	Maximum	770.0 1889	777.0 1886	771.5 1904	768.2 1894	765.3 1895	762.2 1901	762.2 1899	764.6 1898	768.5 1904	770.2 1908	769.9 1907	773.5 1889	763.6 1886	155	Gorki
		Minimum	756.0 1902	753.1 1889	752.9 1906	757.9 1903	758.6 1883	754.0 1894	755.8 1888	756.7 1908	758.2 1893	758.2 1890	756.8 1901	757.0 1904	760.8 1899		
		Разность Differenz	14.0	23.9	18.6	10.3	6.7	8.2	6.4	7.9	10.3	12.0	13.1	16.5	2.8		
202	Земетчино	Maximum	775.6 1891	781.5 1886	773.0 1904	770.6 1894	766.6 1889	763.2 1901	762.5 1885	762.7 1900	768.6 1904	773.9 1901	772.3 1907	774.8 1903	764.6 1889	202	Semettschino
		Minimum	758.5 1902	752.8 1903	754.1 1906	758.0 1893	758.8 1884	753.5 1894	755.0 1888	756.4 1881, 1908	756.4 1894	760.0 1890, 1903	757.3 1901	758.2 1898	761.4 1893		
		Разность Differenz	17.1	28.7	18.9	12.6	7.8	9.7	7.5	6.3	12.2	13.9	15.0	16.6	3.2		
205	Николаевское (Сарат. губ.) . . .	Maximum	776.4 1891	781.5 1886	775.2 1905	770.2 1894	767.2 1889	762.5 1901	761.9 1885	762.3 1900	767.8 1904	774.9 1901	773.7 1883	775.7 1903	765.6 1889	205	Nikolaewskoe (Gouv. Ssaradow)
		Minimum	761.7 1908	756.0 1903	756.6 1906	760.0 1893	759.7 1884, 1904	754.2 1894	755.5 1888	757.0 1886	758.2 1894	760.8 1903	759.5 1901	760.5 1904	762.6 1893, 1888		
		Разность Differenz	14.7	25.5	18.6	10.2	7.5	8.3	6.4	5.3	9.6	14.1	14.2	15.2	3.0		
241	Киев	Maximum	771.0 1889	774.0 1886	769.3 1904	767.6 1886	763.6 1905, 1895, 1909	761.5 1895	761.9 1887	764.1 1898	767.3 1903	770.0 1908	771.0 1894	773.1 1889	763.8 1886	241	Kiew
		Minimum	759.2 1895	754.0 1889	755.7 1906	757.3 1889	758.0 1897	755.7 1894	756.2 1910	758.0 1882	760.5 1893	760.1 1905	758.8 1909	758.9 1887	761.6 1906		
		Разность Differenz	11.8	20.0	13.6	10.3	5.6	5.8	5.7	6.1	6.8	9.9	12.2	14.2	2.2		
248	Дзержинск (Ели- саветград)	Maximum	771.4 1885	772.4 1886	768.2 1903	767.1 1886	763.4 1905	761.7 1908	761.2 1887	763.1 1898	766.9 1888, 1903	769.5 1908	771.0 1894	773.0 1889	763.8 1891	248	Dsershinsk (Elissawetgrad)
		Minimum	759.6 1895	755.2 1889	757.1 1906	757.6 1889	757.6 1897	756.4 1894, 1886	755.9 1910	758.5 1882	760.6 1887	760.4 1905	759.1 1909	759.5 1887	761.9 1906, 1895		
		Разность Differenz	11.8	17.2	11.1	9.5	5.8	5.3	5.3	4.6	6.3	9.1	11.9	13.5	1.9		
276	Луганск	Maximum	773.2 1889	776.2 1886	770.4 1903	767.1 1886	764.4 1893	761.5 1895	760.2 1885	762.2 1900	766.5 1904	771.4 1901	771.4 1894	773.8 1889	764.6 1891	276	Lugansk
		Minimum	762.7 1881, 1902	757.8 1889	758.0 1906	758.6 1888	759.8 1883, 1906	756.2 1894	756.4 1906	758.6 1882	761.1 1894	761.9 1905	760.1 1909	761.2 1887	762.5 1906		
		Разность Differenz	10.5	18.4	12.4	8.5	4.6	5.3	3.8	3.6	5.4	9.5	11.3	12.6	2.1		

ТАБЛИЦА F

TABELLE F

№	Названия станций		I	II	III	IV	V	VI	VII	VIII	IX	X	XI	XII	Год Jahr	№	Namen der Stationen
295	Одесса, Универс.	Maximum	771.4 1882	772.2 1891	767.0 1903	766.0 1886	763.6 1884	762.0 1895	761.6 1887	762.8 1907, 1898	766.6 1903	768.8 1908	770.4 1894	772.1 1889	763.9 1891	295	Odessa, Universität
		Minimum	758.4 1895	755.3 1889	758.1 1895	757.4 1889	757.2 1897	756.7 1886	756.4 1910	759.2 1882	760.4 1887	760.4 1905	759.2 1909	759.9 1887	761.8 1910, 1909		
		Разность Differenz	13.0	16.9	8.9	8.6	6.4	5.3	5.2	3.6	6.2	8.4	11.2	12.2	2.1		
309	Севастополь . .	Maximum	769.6 1882	769.9 1887	765.2 1903	763.9 1886	763.6 1908	761.6 1895	760.3 1887	761.5 1907	765.2 1902	766.4 1908	769.0 1897	769.5 1881, 1889	762.7 1891	309	Ssewasstopol
		Minimum	759.6 1895	756.0 1889	757.7 1895	757.3 1888	757.2 1906	756.7 1903	756.2 1882	757.9 1882, 1901	758.9 1887	760.1 1905	758.7 1909	759.0 1906	760.9 1909		
		Разность Differenz	10.0	13.9	7.5	6.6	6.4	4.9	4.1	3.6	6.3	6.3	10.3	10.5	1.8		
321	Керчь	Maximum	769.6 1894, 1904	770.0 1891	766.6 1903	764.5 1886	763.8 1908	761.4 1904	760.0 1887	761.4 1907	765.2 1902	767.3 1908	768.6 1894	769.6 1889	763.3 1891	321	Kertsch
		Minimum	761.6 1895	757.1 1889	758.1 1895	758.1 1888	757.7 1906	756.6 1886	756.3 1906	757.5 1901	759.9 1909	761.0 1905	759.5 1909	760.7 1906	761.4 1906		
		Разность Differenz	8.0	12.9	8.5	6.4	6.1	4.8	3.7	3.9	5.3	6.3	9.1	8.9	1.9		
326	Ставрополь . .	Maximum	770.7 1889	770.6 1886	768.2 1903	764.5 1886	763.6 1908	761.2 1895	759.6 1895	760.8 1907	765.3 1902	768.6 1896	769.6 1894	770.9 1889	763.7 1898	326	Sstawropol
		Minimum	763.1 1892	759.8 1889	758.8 1895	759.5 1884	758.4 1906	757.3 1886	756.6 1910	757.7 1901	760.8 1909	761.9 1905	761.4 1909	763.3 1904	762.2 1906		
		Разность Differenz	7.6	10.8	9.4	5.0	5.2	3.9	3.0	3.1	4.5	6.7	8.2	7.6	1.5		
333	Владикавказ . .	Maximum	771.8 1889	770.7 1887	768.4 1903	764.4 1904	763.4 1908	760.8 1904	759.4 1887	760.9 1907	765.0 1903	768.7 1896	769.4 1894	771.6 1889	763.7 1891, 1886	333	Wladikawkas
		Minimum	764.0 1892, 1881	760.6 1889	758.5 1895	757.6 1888	758.4 1897	757.5 1886	756.5 1910	758.0 1901, 1882	760.6 1909	762.3 1905	762.0 1909	763.9 1895	762.3 1895		
		Разность Differenz	7.8	10.1	9.9	6.8	5.0	3.3	2.9	2.9	4.4	6.4	7.4	7.7	1.4		
340	Астрахань . . .	Maximum	773.5 1889	776.7 1886	771.0 1905	766.6 1904	764.8 1889	761.1 1895	760.2 1882	761.4 1900	765.9 1888	772.2 1901	771.9 1883	773.1 1889	764.8 1886	340	Asstrachan
		Minimum	769.5 1892	762.1 1889	759.8 1895	760.1 1888	759.7 1892	756.1 1886	756.2 1890	758.0 1885	760.9 1893	762.8 1903	763.4 1909	764.0 1900, 1902, 1904	762.9 1892		
		Разность Differenz	10.0	14.6	11.2	6.5	5.1	5.0	4.0	3.4	5.0	9.4	8.5	9.1	1.9		
349	Сочи	Maximum	769.0 1882	768.6 1887	765.4 1903	763.7 1886	763.4 1908	761.0 1881, 1904	759.4 1887	760.0 1896	763.6 1900	766.0 1896	767.9 1898	768.2 1889	762.6 1891	349	Ssotschi
		Minimum	760.1 1893	759.2 1895	758.6 1895	758.4 1888	758.0 1906	757.7 1903	756.4 1882	757.3 1901	759.4 1909	761.5 1905	760.8 1909	761.2 1895	761.1 1892		
		Разность Differenz	8.9	9.4	6.8	5.3	5.4	3.3	3.0	2.7	4.2	4.5	7.1	7.0	1.5		
366	Тифлис	Maximum	771.3 1889	771.2 1886	768.3 1903	764.2 1898	763.2 1908	760.5 1904	758.7 1894	759.7 1890	764.4 1888	769.7 1896	769.8 1898	771.1 1889	763.7 1886, 1891	366	Tiflis
		Minimum	763.7 1896	761.6 1899	758.5 1895	759.2 1881	758.6 1906	757.1 1886	756.1 1910	757.3 1901	760.4 1893	762.7 1905	763.7 1909	764.3 1895	762.5 1895, 1899		
		Разность Differenz	7.6	9.6	9.8	5.0	4.6	3.4	2.6	2.4	4.0	7.0	6.1	6.8	1.2		
371	Баку	Maximum	770.4 1889	771.6 1886	768.9 1903	765.0 1898	763.6 1908	760.6 1891, 1904	758.9 1895	760.4 1890	764.7 1888	769.6 1896	769.4 1898	771.6 1889	763.8 1889, 1891	371	Baku
		Minimum	762.9 1892	761.5 1889	758.4 1895	759.5 1881	758.5 1906	757.0 1886	756.2 1910	757.7 1885	760.1 1893	762.7 1905	762.2 1909	763.1 1892, 1895	762.2 1893		
		Разность Differenz	7.5	10.1	10.5	5.5	5.1	3.6	2.7	2.7	4.6	6.9	7.2	8.5	1.6		

ТАБЛИЦА F

TABELLE F

№	Названия станций		I	II	III	IV	V	VI	VII	VIII	IX	X	XI	XII	Год Jahr	№	Namen der Stationen
381	Ленкорань	Maximum	770.9 1889	770.6 1902	768.8 1903	765.1 1898	763.0 1909	761.0 1904	759.0 1895	760.2 1890	764.6 1888	769.1 1901	769.5 1898	771.0 1889	764.0 1891	381	Lenkoran
		Minimum	763.4 1910	761.8 1895, 1899	758.4 1895	759.3 1881	759.1 1910	755.6 1897	756.1 1898, 1906 1910	757.3 1885	760.4 1893	762.0 1905	762.3 1909	763.6 1904	762.1 1906		
		Разность Differenz	7.5	8.8	10.4	5.8	3.9	5.4	2.9	2.9	4.2	7.1	7.2	7.4	1.9		
397	Богословск	Maximum	775.7 1900	777.4 1886	778.1 1898	773.5 1883	766.7 1897	761.5 1903	763.6 1885	761.9 1887	764.7 1898	769.5 1901	772.7 1907	774.6 1882	764.0 1889	397	Bogoslowsk
		Minimum	754.5 1898	751.2 1882	755.7 1882	756.4 1893	754.4 1907	755.0 1885	752.2 1909	754.0 1892	755.0 1886	755.8 1894	753.4 1901	754.0 1885	759.9 1894		
		Разность Differenz	21.2	26.2	22.4	17.1	12.3	6.5	11.4	7.9	9.7	13.7	19.3	20.6	4.1		
409	Свердловск (Ека- теринбург)	Maximum	777.7 1900	778.9 1886	776.7 1904	773.9 1883	766.7 1897	761.3 1903, 1907	762.8 1885	761.6 1896	765.2 1887, 1909	771.2 1901	773.1 1910	774.8 1882	764.7 1889	409	Sswerdlowsk (Ekaterinburg)
		Minimum	758.4 1898	753.5 1903	757.8 1906	758.5 1893	755.8 1908	754.4 1889, 1894	752.4 1900	753.4 1892	756.1 1886	758.1 1910	755.7 1901	757.2 1898	761.1 1902		
		Разность Differenz	19.3	25.4	18.9	15.4	10.9	6.9	10.4	8.2	9.1	13.1	17.4	17.6	3.6		
423	Томск	Maximum	777.2 1900	779.0 1886	775.2 1881, 1909	769.6 1883	763.4 1901	759.6 1887	758.3 1907	759.6 1899	766.1 1889	771.4 1899	773.6 1907	778.3 1882	765.6 1892	423	Tomsk
		Minimum	763.2 1905	764.4 1887	764.6 1902	762.1 1887	757.1 1907	754.8 1896	752.9 1900, 1908	754.5 1897	758.0 1881	759.0 1891	761.5 1896	762.8 1885	762.5 1887		
		Разность Differenz	14.0	14.6	10.6	7.5	6.3	4.8	5.4	5.1	8.1	12.4	12.1	15.5	3.1		
454	Барнаул	Maximum	778.9 1900	781.6 1886	777.5 1909	769.5 1883	764.3 1909	759.2 1900, 1907	758.1 1907	759.8 1899	765.5 1889	772.1 1899	775.2 1889	778.7 1882	766.8 1892	454	Barnaul
		Minimum	766.9 1905	768.0 1887	767.1 1888	763.5 1887	759.4 1907	755.1 1896	753.0 1900	755.2 1892	759.4 1881	762.1 1891	765.4 1896	767.4 1905	764.3 1887		
		Разность Differenz	12.0	13.6	10.4	6.0	4.9	4.1	5.1	4.6	6.1	10.0	9.8	11.3	2.5		
464	Иркутск	Maximum	781.6 1889	780.5 1901	777.2 1881	767.1 1900	762.8 1909	760.9 1900	757.2 1895	759.8 1899	766.5 1889	771.7 1899	776.0 1906	780.7 1882	766.9 1892	464	Irkutsk
		Minimum	768.5 1905	769.2 1890, 1912	765.1 1902	762.9 1888	758.4 1891, 1890	754.8 1906	752.5 1908	755.9 1904	761.8 1903	763.8 1907	766.4 1887	768.0 1890	764.3 1887		
		Разность Differenz	13.1	11.3	12.1	4.2	4.4	6.1	4.7	3.9	4.7	7.9	9.6	12.7	2.6		
484	Нерчинский Завод	Maximum	778.0 1889, 1908	777.7 1882	772.7 1881	762.4 1906	758.9 1893	756.5 1900	755.5 1885	758.5 1886	762.8 1895	768.9 1894	772.6 1891	776.3 1901	763.7 1893	484	Nertschinskij Sawod
		Minimum	768.1 1905	768.6 1909	762.2 1902	757.8 1886	753.5 1891	751.2 1910	751.2 1910	752.6 1907	757.7 1887	761.6 1905	764.6 1900	762.7 1885	761.9 1885		
		Разность Differenz	9.9	9.1	10.5	4.6	5.4	5.3	4.3	5.9	5.1	7.3	8.0	13.6	1.8		
538	Алма-Ата (Вер- ный)	Maximum	775.5 1900	776.5 1901, 1886	773.0 1890	766.0 1903	764.1 1887	758.1 1891, 1908	755.6 1904	757.8 1887	763.2 1887	770.1 1904	775.8 1889	776.0 1910	765.2 1891	538	Alma-Ata (Wernyj)
		Minimum	766.4 1896	766.7 1899	762.6 1895	757.2 1881	758.9 1904	754.0 1893	751.7 1890	752.8 1885	758.3 1893	765.2 1898, 1913	767.1 1909	768.2 1902	762.5 1893		
		Разность Differenz	9.1	9.8	10.4	8.8	5.2	4.1	3.9	5.0	4.9	4.9	8.7	7.8	2.7		
576	Ташкент	Maximum	773.6 1900	774.6 1886	768.7 1903	764.4 1898	762.2 1889	757.3 1908	754.8 1885	756.4 1890	764.0 1888	769.3 1896	772.0 1898	773.9 1910	763.5 1898	576	Taschkent
		Minimum	764.9 1896	764.2 1899	759.8 1895	757.5 1881	758.0 1885	753.7 1889, 1893, 1902	750.6 1890	753.8 1885	758.1 1893	763.8 1905	766.1 1909	766.9 1904, 1902	762.2 1893		
		Разность Differenz	8.7	10.4	8.9	6.9	4.2	3.6	4.2	2.6	5.9	5.5	5.9	7.0	1.3		

ТАБЛИЦА F

TABELLE F

№	Названия станций		I	II	III	IV	V	VI	VII	VIII	IX	X	XI	XII	Год Jahr	№	Namen der Stationen
661	Токио	Maximum	764.5 1897	765.1 1883	766.1 1905	763.9 1896	760.9 1896	758.9 1900	759.6 1909	760.0 1882	762.1 1893	764.2 1900	765.6 1902	764.9 1891	761.5 1904	661	Tokio
		Minimum	758.0 1881	758.4 1901	759.7 1887	759.0 1887	757.0 1891	754.4 1888	754.9 1906	754.8 1890	758.3 1902	760.9 1890	760.7 1908	760.1 1883	760.1 1910		
		Разность Differenz	6.5	6.7	6.4	4.9	3.9	4.5	4.7	5.2	3.8	3.3	4.9	4.8	1.4		
670	Цикавей	Maximum	772.0 1889	777.5 1899	769.7 1881	763.8 1898	760.1 1881	756.6 1893	755.7 1909	756.0 1891	761.2 1899	766.3 1899	769.7 1882, 1906	772.4 1897	762.9 1884, 86, 93, 1900	670	Zi-ka-wei
		Minimum	765.2 1905	764.3 1898	763.7 1902	760.3 1888	757.1 1900	753.7 1906	751.2 1899	753.2 1910	757.6 1909	762.8 1891	765.6 1896	766.0 1890	761.9 1888		
		Разность Differenz	6.8	13.2	6.0	3.5	3.0	2.9	4.5	2.8	3.6	3.5	4.1	6.4	1.0		

ТАБЛИЦА G

TABELLE G

Средняя изменчивость месячных и годовых средних давления воздуха по наблюдениям за 1881—1910 гг.

Mittlere Veränderlichkeit der Monats-und Jahresmittel des Luftdrucks nach den Beobachtungen von 1881—1910

№	Названия станций	Абс. высота метры Seehöhe Meter	I	II	III	IV	V	VI	VII	VIII	IX	X	XI	XII	Год Jahr	Средняя Mittel I—XII	№	Namen der Stationen
11	Кемь	13	4.11	4.40	4.24	2.74	1.78	1.50	1.96	2.19	2.88	3.60	4.26	4.34	0.73	3.17	11	Kem
25	Ревель	5.9	3.36	4.57	3.67	2.46	1.80	1.45	1.94	1.80	2.76	3.79	3.21	4.30	0.73	2.93	25	Reval
29	Ленинград, ГГО	4.8	3.66	4.46	3.93	2.58	1.88	1.51	1.87	1.86	2.84	3.84	3.56	4.38	0.76	3.03	29	Leningrad, Geophys. Zentr.-Obs.
31	Слуцк (Павловск)	39.8	3.65	4.45	3.94	2.54	1.88	1.49	1.85	1.83	2.85	3.76	3.55	4.35	0.75	3.01	31	Sluzk (Pawlowsk)
33	Валаам	36.3	3.90	4.37	4.09	2.70	2.03	1.40	1.77	1.94	2.86	3.78	3.85	4.37	0.77	3.09	33	Walaam
42	Каргополь	126	4.14	4.54	4.48	2.61	2.03	1.58	1.93	2.09	2.95	3.67	4.29	4.24	0.81	3.21	42	Kargopol
53	Либава	5.7	3.37	4.22	3.26	2.19	1.68	1.23	1.82	1.48	2.24	3.28	3.20	3.77	0.59	2.64	53	Libau
61	Рига	12.7	3.41	4.30	3.41	2.19	1.70	1.33	1.71	1.51	2.38	3.42	3.18	3.97	0.65	2.71	61	Riga
62	Пернов	9.8	3.37	4.39	3.56	2.32	1.70	1.37	1.85	1.63	2.58	3.67	3.15	4.12	0.69	2.81	62	Pernau
65	Юрьев (Тарту)	63.7	3.41	4.47	3.69	2.39	1.73	1.45	1.80	1.65	2.67	3.71	3.25	4.19	0.72	2.87	65	Jurjew (Tartu)
71	Великие Луки	104.7	3.50	4.32	3.74	2.20	1.57	1.49	1.59	1.47	2.56	3.38	3.09	3.97	0.66	2.74	71	Welikie Luki
85	Москва, Межевой Инст.	164.2	3.84	4.58	4.06	2.23	1.73	1.70	1.46	1.46	2.62	3.25	3.29	3.93	0.67	2.85	85	Moskau, Feldmesserinstitut
101	Нижний Новгород	157.9	4.37	4.91	4.33	2.25	1.92	1.87	1.48	1.39	2.49	3.15	3.88	3.95	0.76	3.00	101	Nishnij Nowgorod
108	Казань, Университет	80.9	4.45	4.81	4.48	2.42	1.93	1.83	1.64	1.28	2.36	3.09	4.17	3.93	0.81	3.03	108	Kasan, Universität
110	Вятка, реальное учил.	180.9	4.29	4.62	4.56	2.55	2.02	1.80	1.79	1.52	2.35	3.10	4.39	3.85	0.86	3.07	110	Wjatka, Realschule
133	Варшава	120.7	3.10	3.82	2.60	1.80	1.59	1.03	1.51	0.96	1.87	2.15	2.97	3.10	0.43	2.21	133	Warschau
135	Нов. Александрия (Пулавы)	148.4	3.03	3.69	2.50	1.75	1.59	1.05	1.16	0.93	1.83	2.00	2.93	2.97	0.44	2.12	135	Nowaja Alexandrija (Pulawy)
146	Вильно	148.0	3.19	3.99	2.95	1.96	1.47	1.20	1.45	1.28	2.06	2.85	3.04	3.48	0.50	2.41	146	Wilno
147	Пинск	144	3.01	3.84	2.74	1.72	1.47	1.14	1.07	1.10	1.82	2.34	2.80	3.05	0.44	2.17	147	Pinsk
155	Горки	206	3.14	4.21	3.32	1.87	1.37	1.42	1.30	1.39	2.18	2.90	2.84	3.55	0.53	2.46	155	Gorki
202	Земетчино	129.6	3.99	4.81	3.98	1.92	1.52	1.73	1.19	1.12	2.29	2.87	3.31	3.71	0.68	2.70	202	Semettschino
205	Николаевское, Сарат. губ.	193.0	3.67	4.47	3.65	1.70	1.39	1.62	1.09	0.97	1.82	2.61	3.14	3.41	0.56	2.46	205	Nikolaewskoe (Gouv. Ssaradow)
241	Киев	182.9	2.76	3.66	2.68	1.65	1.30	1.19	1.01	1.07	1.65	2.20	2.50	2.94	0.45	2.05	241	Kiew
248	Дзержинск (Елисаветград)	122.8	2.43	3.37	2.34	1.55	1.32	1.07	0.83	0.90	1.47	1.87	2.31	2.67	0.42	1.84	248	Dserzhinsk (Elissawetgrad)
276	Луганск	44.4	2.50	3.43	2.53	1.45	1.05	1.07	0.77	0.89	1.38	1.86	2.22	2.82	0.41	1.83	276	Lugansk
295	Одесса, Университет	65.3	2.35	3.25	1.93	1.57	1.36	0.94	0.87	0.70	1.38	1.56	2.25	2.48	0.44	1.72	295	Odessa, Universität
297	Николаев	19.3	2.31	3.25	2.00	1.56	1.31	0.93	0.85	0.73	1.39	1.62	2.25	2.53	0.42	1.73	297	Nikolaew
309	Севастополь	23.2	1.87	2.88	1.44	1.36	1.12	0.84	0.74	0.62	1.21	1.25	1.80	1.87	0.39	1.42	309	Ssewasstopol
321	Керчь	3.7	1.86	2.69	1.52	1.26	1.30	0.77	0.60	0.57	1.13	1.21	1.71	1.92	0.36	1.38	321	Kertsch
333	Владикавказ	690.6	1.29	2.05	1.32	0.98	0.82	0.66	0.47	0.51	0.63	0.86	1.14	1.44	0.26	1.01	333	Wladikawkas
340	Астрахань	13.3	2.41	3.10	2.35	1.12	1.10	1.21	0.71	0.60	1.03	1.74	1.90	2.46	0.42	1.64	340	Asstrachan
349	Сочи	12.2	1.34	2.24	1.04	1.05	0.94	0.79	0.59	0.47	0.87	0.94	1.15	1.26	0.34	1.57	349	Ssotschi
366	Тифлис	403.8	1.37	1.95	1.32	0.97	0.90	0.67	0.45	0.51	0.60	0.94	1.00	1.38	0.27	1.00	366	Tiflis
371	Баку	19.9	1.79	2.38	1.65	1.10	1.03	0.85	0.65	0.61	0.72	1.23	1.35	1.75	0.35	1.26	371	Baku
397	Богословск	191	3.97	4.09	4.32	2.20	1.95	1.42	1.83	1.51	2.19	3.09	4.37	3.23	0.75	2.85	397	Bogoslowsk
402	Якутск (1888-1907, 1911-20)	102	2.07	1.94	1.94	1.48	1.09	0.93	1.29	1.19	1.15	1.03	1.56	2.63	0.43	1.52	402	Jakutsk (1888-1907, 1911-1920)
409	Свердловск	282.3	3.83	4.08	4.13	2.17	1.98	1.59	1.73	1.28	2.18	3.33	3.99	3.23	0.73	2.79	409	Sswerdlowsk
423	Томск	123.3	2.71	2.71	2.79	1.20	1.26	1.01	1.09	1.12	1.39	2.17	2.79	2.67	0.64	1.91	423	Tomsk
454	Барнаул	158.1	1.98	2.21	2.02	1.14	0.98	0.87	0.93	0.91	1.08	1.79	2.20	2.32	0.50	1.54	454	Barnaul
464	Иркутск	468.2	1.67	1.72	1.60	0.79	0.77	0.80	1.00	0.58	0.98	1.36	1.60	1.94	0.40	1.23	464	Irkutsk
484	Нерчинский Завод	620	1.24	1.61	1.46	1.05	1.02	0.81	0.92	0.90	1.35	1.30	1.33	1.46	0.29	1.20	484	Nertschinskij Sawod
494	Николаевск на Амуре (1886—1899, 1901—1915)	16.1	1.49	2.04	1.62	1.64	1.34	1.17	1.20	1.13	1.25	1.36	1.78	1.51	0.37	1.46	494	Nikolaewsk am Amur (1886—1889, 1901—1915)
538	Алма-Ата (Верный)	775.2	1.01	1.39	1.26	1.02	0.63	0.64	0.58	0.61	0.72	0.73	1.07	1.07	0.38	0.89	538	Alma-Ata (Wernyj)
576	Ташкент	479.2	1.39	1.71	1.29	1.09	0.77	0.67	0.50	0.41	0.60	0.81	0.86	1.07	0.24	0.93	576	Taschkent
661	Токио	21.3	1.33	1.28	1.11	0.99	0.91	0.86	0.88	0.93	0.80	0.64	0.97	0.96	0.23	0.97	661	Tokio
670	Цикавей	7	0.96	1.42	0.83	0.75	0.70	0.61	0.72	0.57	0.64	0.71	0.85	1.11	0.24	0.82	670	Zi-ka-wei

Алфавитный указатель станций

Цифры при названиях станций представляют собой порядковые номера, которыми станции обозначены в таблицах А, В, С, D, E, F и G. Широта, долгота и абсолютная высота каждой станции помещены в таблице А. В той же таблице сообщено, за какие годы использованы в этом труде наблюдения отдельных станций.

Названия станций	№	Названия станций	№	Названия станций	№	Названия станций	№
Абас-Туман	359	Большерецк	496	Вяземская	523	Елисаветополь (Ганджа) . .	369
Ай-Петри	311	Бомнак	490	Вязьма	77	Ельня	164
Айтодорский маяк	312	Боржом	360	Вятка, опытная станция . .	109	Енисейск	427
Аккерман	292	Борисов	151	Вятка, реальное училище .	110	Ессентуки	330
Акмолинск	448	Боровичи и Польшовка . .	75			Ефремов	184
Аксеновская (Белебеевская)		Боровое лесничество . . .	218	Гагры	350		
с.-х. школа	220	Боровское	453	Галкино-Врасское (Оттаи) .	656	Железноводск	331
Актюбинск	500	Боровые Озера	452	Гамовский маяк	555	Жердовская с.-хоз. школа .	463
Алагез	376	Борохундзир	541	Ганге	600	Жижгинский маяк	14
Александровск	2	Браила	646	Ганджа (Елисаветполь) . .	369	Жиздра	169
Александровский Пост . .	526	Братский Острог	433	Гапаранда	604	Житомир	236
Александрополь (Ленина-		Бреславль	633	Гельсингфорс	601	Жонкиерский маяк	525
кан)	375	Брест-Литовск	142	Гензан	666	Жужмуйский маяк	13
Алексеевская	247	Бромберг	632	Генический маяк	302		
Алма-Ата (Верный)	538	Брянск	166	Германштадт (Нагишебен) .	641	Загурже	224
Алтайская	511	Брянское лесничество . .	168	Гернезанд	607	Зайсан	542
Аму-Дарья (Ленинск Турк-		Будапешт	636	Гижигинск (Кушка)	404	Згуровка	246
менский)	570	Буйнак (Темир-Хан-Шура)	337	Голоустное	466	Здолбуново	227
Андижан	580	Булун	387	Гольдинген	55	Земетчино	202
Андреевское	177	Бургаз	654	Гори	362	Зима	461
Анучино	552	Бусаны	68	Горки	155	Зимнегорский маяк	16
Аральское Море	532	Бухара	571	Гош	492	Златополь	245
Архангельск	17	Бухарест	649	Гремячка	188	Златоуст	122
Асеевка	270	Буюк-Дере	344	Григорово и Новгород . . .	72	Злочов	622
Аскольдский маяк	556			Гриноуцы	230	Зомбоковицы	225
Астрахань	340	Ваза (Николайштадт) . . .	589	Гродеково	550	Зырянский рудник	510
Асхабад (Ашхабад)	566	Вайда-Губа	1	Грозный	335		
Атбасар	447	Валаам	33	Гудуар	364	Иваново-Вознесенск	97
Аулие-Ата	536	Валуйка	286	Гулынки	194	Ивановский рудник	123
Ахалкалаки	372	Варде	613	Гурьев	528	Игнаино	63
Ахтуба	285	Варна	651	Гусевская	95	Измаил	291
Ашхабад (Асхабад)	566	Варшава	133			Имандра (Хибины)	5
		Василевичи	153	Давыдово	73	Имяньпо	547
Байрам-Али	568	Вахтино	93	Дагарский маяк	438	Инкоу	665
Баку	371	Великие Луки	71	Двинск	64	Ирбит	411
Балтийский порт и Паккер-		Величка	619	Дедово	222	Иркештам	581
ортский маяк	24	Вена	624	Дергачи	266	Иркутск	464
Бараново	87	Веребье	74	Деркульское леснич., ст. №1.	278		
Баргузин	477	Верный (Алма Ата)	538	Джаджур	374	Кабанское	473
Барнаул	454	Версице	592	Джамбейты	498	Казалинск	533
Батищево	76	Верхне-Имбатское	394	Джизак	575	Казанлык	653
Батум	354	Верхнеудинск	474	Дзержинск (Елисаветград)	248	Казань, земл. учил.	107
Бежецк	82	Верхний Баскунчак	287	Диксон	384	Казань, Университет	108
Безенчук	212	Верхняя Мишиха	472	Днепропетровск (Екатери-		Казачье (Курской губ.) . . .	273
Бекмухамедова ставка . .	343	Верхосунская ферма . . .	111	нослав).	263	Казачье (Устьянск)	388
Белая Криница	226	Верхотурье	405	Днепровский знак	293	Каинск	419
Белосток	140	Верхоянск	389	Довжик	156	Калиновский хутор	198
Бельгагачское зимовье . .	506	Вильно	146	Должик	265	Калиш	125
Бердовичи	145	Виндава	54	Долинская	250	Калуга	176
Березов	392	Висби	611	Дорогои	642	Каменец-Подольск	228
Берлин	631	Висимо-Шайтанск	120	Дудинка	386	Каменка	275
Бийск	455	Витебск	69	Душканчан	437	Каменская	279
Бикин	558	Владивосток	554	Дьячково	259	Камышин	284
Бирск	115	Владикавказ	333			Канск	430
Бирючья Коса	342	Владимир на Клязьме . . .	94	Евгеньевка	551	Каракол (Пржевальск) . . .	539
Бисер	119	Влоцлавск	127	Екатеринбург (Свердловск)	409	Караязы	367
Благовещенск	519	Вознесенье	39	Екатеринодар (Краснодар)	322	Каргатский форпост	420
Благодатка	406	Вологда	43	Екатерино-Никольск	522	Каргополь	42
Благодать	407	Волчанск	272	Екатеринослав (Днепропе-		Каресуандо	603
Богородуново	178	Вольск	208	тровск).	263	Каркаралинск	505
Богородицк	185	Воронеж	187	Елабуга	112	Карлстад	608
Богородицкое	180	Выборг	602	Елатьма	199	Карс	373
Богословск	397	Вытегра	40	Еленовка	378	Карские ворота	22
Бодэ	614	Вышний Волочек	79	Елисаветград (Дзержинск)	248	Каяна	588

Названия станций	№	Названия станций	№	Названия станций	№	Названия станций	№
Кейцыо (Сеул)	668	Лубны, сел.-хоз. школа . . .	251	Новогеоргиевск и Новый		Пронге	495
Кемь	11	Луганск	276	Двор	132	Псков	67
Кенигсберг	528	Львов	621	Новое Королево	70	Пустозерск и Оксино . . .	20
Керки	573	Люблин	137	Новозыбков	159	Путбус	626
Керчь	321	Люкчун	544	Ново-Мариинский пост . .	396	Пятигорск	332
Кзыл-Орда (Перовск) . . .	534			Новороссийск	348		
Киев	241	Магарач	315	Новосибирск (Кривошеково)	425	Радзивиличи	59
Кизел (завод)	52	Магдагачи	487	Новотаволжанка	271	Радом	134
Кизил-Арват	565	Мазаново	491	Новый Двор и Новогеор-		Ревда	124
Кизляр	336	Майкоп	327	гиевск	132	Ревель	25
Кизыл-Джар	531	Малые Кармакулы	19	Ножовка	114	Ржев	78
Кинель	214	Малый Узень	288			Рига	61
Кинешма	100	Мандаль	617	Обдорск	391	Рождественское (Костр. г.)	103
Киренск	435	Манчжури	515	Обо	599	Романов-Борисоглебск . .	91
Кириллов	41	Маргелан	579	Образцов-Чифлик	650	Ромны	256
Кисловодск	329	Маре-Сале	383	Огиалла	635	Рославль	163
Кишинев	290	Мариенгамн	597	Одесса, Обсерватория . . .	296	Ростов на Дону	305
Ключевское	440	Мариинск	426	Одесса, Университет . . .	295	Ростов Ярославский	90
Коби	334	Маритуй	468	Оксино и Пустозерск . . .	20	Рудня Камышинская	283
Ковда	6	Маринуполь	303	Олекминск	400	Русское Устье	390
Ковно	143	Марково на Анадыре	395	Оловянная	514	Рыбное	428
Козлов	195	Марос-Вазархели	639	Ольхон	475	Рыковское	527
Козьмодемьянск	105	Мартыновка	243	Омское	434	Рязань, станция ж. д. . . .	191
Кокпекты	508	Мархинское	401	Омск	449	Рязань, учит. семинария . .	192
Кокчетав	446	Мархотский перевал	347	Онега	15		
Кола	3	Махач-Кала (Петровск) . . .	338	Онуфриевка	255	Сагайдак	249
Кологрив	102	Меганомский маяк	317	Оранжевый промысел . . .	341	Сагуны	277
Кольчугинское	457	Мезень	18	Орел	173	Саки	307
Комендершти	643	Мелитополь	301	Оренбург	223	Самара и Томашев Колок . .	213
Комиссаровка	258	Мемель	625	Орловский маяк	8	Самарканд	572
Коневец	32	Минск	149	Орышев	130	Самарово	398
Копал	540	Минусинск	459	Осло (Христиания)	616	Саппоро	659
Коренево	170	Миргород	257	Осовец	138	Сарапул	113
Коровинцы	235	Михайловская пустынь . . .	328	Отиаи (Галкино-Врасское) .	656	Саратов	206
Коростышев	239	Михайловское (Амурской г.)	520	Оттомари (Корсаковский Пост)	657	Сарымбет	445
Корсаковский Пост (Ото-		Михайловское (Моск. губ.)	83	Охотск	403	Свердловск (Екатеринбург)	409
мари)	657	Михайловское (Яросл. губ.)	92			Свирица и Сермакса	36
Корсовка	66	Млава	131	Павловск (Слуцк)	31	Святоносский маяк	7
Кострома	96	Млеты	365	Павлодар	450	Себшер	593
Котельниковский маяк . . .	436	Могилев	154	Пады	207	Севастополь	309
Красноводск	561	Мозырь-Колыновичи	152	Пакерортский маяк и Бал-		Севск	167
Краснодар (Екатеринодар) .	322	Монастырское	393	тийский порт	24	Семипалатинск	507
Красноуфимск	121	Моржовский маяк	9	Памирский пост	582	Сермакса и Свирица	36
Красноярск	429	Моршанск	200	Панешти-Драгомирешти . .	644	Сеул (Кейцыо)	668
Красный Колядин	253	Москва, Межевой Институт	85	Пахлеви (Энзели)	382	Симбирск (Ульяновск) . . .	209
Кременчуг	254	Москва, Сельско-Хозяйст-		Пекин	585	Симферополь и Тотайкой . .	308
Крестовая	363	венная Академия	84	Пенза, гимназия	204	Синая	645
Кривошеково (Ново-Си-		Мукден	664	Пенза, учил. садоводства .	203	Синоп	345
бирск)	425	Муданьзян	548	Перебойный остров	304	Скадовск	299
Криница	620	Муравьев-Амурский	559	Перевальная	480	Скопин	189
Кристианзунд	615	Муром	99	Перемная	470	Скуратово	179
Кронштадт	28	Мысовая	471	Пермь	116	Славянск	274
Кузнецк	458	Мыхуже	57	Пернов	62	Слуцк (Павловск)	31
Култук	469	Мышкин	86	Перовск (Кзыл-Орда) . . .	534	Смоленск	160
Кунгур	117	Мяндухэ	517	Песчаная Бухта	465	Собешин	136
Куопио	590			Петро - Александровск		Соликамск	51
Купино	451	Нагасаки	662	(Турткуль)	567	Соловецкий монастырь . .	12
Курвин	630	Нагишибен (Германштадт) . .	641	Петровск (Махач-Кала) . . .	338	Сольвычегодск	47
Курган	415	Наманган	578	Петровский Завод	478	Сороки	234
Курисово-Покровское	294	Нарым	422	Петрозаводск	37	Сосновский маяк	9
Курск	175	Нарынское	584	Петроков	128	Софийский прииск	493
Кустанайская конюшня . . .	443	Нежин	158	Петропавловск на Камчатке	497	София	652
Кутаис	355	Немиров	237	Пикан	489	Сочи	349
Кучеров хутор	172	Немуро	658	Пинск	147	Спасский Завод	504
Кушка (Гижигинск)	404	Нерчинск	482	Пишпек (Фрунзе)	537	Сретенск	483
Кыз-Аульский маяк	320	Нерчинский Завод	484	Плисково-Андрюшевск. зав.	238	Ставрополь	326
Курдамир	370	Нижедевицк	186	Пловдив (Филиппополь) . .	655	Старица	80
		Нижне-Тагильск	408	Плоти	240	Старожилово	193
Ладожская	324	Нижний Новгород	101	Повенец	38	Старо-Константинов	229
Лауенбург	627	Нижний Ольчедаев	232	Поворотный маяк	557	Старо-Сидорово	414
Ленинкан (Александрополь)	375	Нийригхаз	637	Подгай	58	Стенселе	605
Ленинград, Главн. Геофиз.		Николаев	297	Познань	618	Стокгольм	610
Обсерватория	29	Николаевск	211	Покровка	485	Стрихарет	648
Ленинград, Лесной Инст.	30	Николаевск на Амуре	494	Полибино	219	Суваики	139
Ленинск Туркменский (Аму-		Николаевский Завод	432	Половинкино	88	Судак	316
Дарья)	570	Николаевское (Сарат. губ.)	205	Полтава	260	Сулина	647
Ленкорань	381	Николайстадт (Ваза)	589	Полыновка и Боровичи . .	75	Сулкава	595
Либава	53	Никольск	46	Понемонь	144	Султан-Бенд	569
Ливадия	313	Никольск Уссурийский	553	Пони	357	Сумы	261
Ливны	183	Никольское (о. Беринг) . . .	441	Поньри	174	Сургут	399
Липецк	190	Нов. Александрия (Пулавы)	135	Порецкое	104	Сухум, ботан. сад	351
Листвничное	467	Новая Ладога	35	Пост Ольга	560	Сухум, опытное поле	352
Лович	129	Новгород и Григорово	72	Порт-Кунда	26	Сызрань	210
Лозовая	269	Ново-Баязет	379	Поти	353		
Лубны, гимназия	252			Пржевальск (Каракол) . . .	539		

Названия станций	№	Названия станций	№	Названия станций	№	Названия станций	№
Тайга	424	Тыган-Уркан	486	Фленово	161	Чердынъ	50
Тайпиндин	549	Тюб-Караганский маяк	529	Форос	310	Чериков	157
Тайшет	431	Тюмень	413	Форт Александровский	530	Черняево	488
Тамбов	196	Уварово	201	Фрунзе (Пишпек)	537	Чжалантунъ	518
Таммерфорс	594	Угроеды	264	Фузан (Хузан)	669	Чижишляр	564
Тара	417	Узун-Ада	563	Хабаровск	524	Чита	481
Тарбогатай	521	Уильское	499	Хайлар	516	Чулым	421
Тарнополь	623	Улан-Батор (Урга)	513	Хакодате	660	Чусовская	118
Тарханкутский маяк	306	Улеаборг	586	Халила	27	Шадринск	412
Татарская	418	Улькокалла	587	Харбин	546	Шанталово	162
Ташкент	576	Ульяновск (Симбирск)	209	Харьков, Технол. Инст.	268	Шатиловская оп. станция	181
Тверь	81	Умань	242	Харьков, Университет	267	Шашварос	640
Телешев	289	Умео	606	Херсон	298	Шегед	638
Темир	501	Унгвар	634	Хибины (Имандра)	5	Шельшер	596
Темир-Хан-Шура (Буйнакс)	337	Упсала	609	Хилок	479	Шенкурск	45
Териберка	4	Уральск, больница и сел. хоз. школа	216	Ходжент	577	Шептуховка	280
Термез	574	Уральск, реальное учил.	217	Холм	141	Шивельбейн	629
Тифлис	366	Уральское лесничество	215	Хорлы	300	Шлиссельбург	34
Тихоно-Задонский прииск	439	Урга (Улан-Батор)	513	Хорог	583	Шостенский завод	165
Тихорецкая	323	Уркач	444	Хошеутровский участок	339	Шуша	380
Тквибули	356	Урумчи	543	Хреновской бор.	197	Шуя	98
Тобольск	416	Урюпинская	281	Христиания (Осло)	616	Щастновка	244
Токио	661	Усолье	462	Хузан (Фузан)	669	Щерсы	148
Томашев-Колок и Самара	213	Успенская с.-хоз. школа	89	Хуторок	325	Эмба	502
Томск	423	Усть-Двинск	60	Цеми	361	Энгельгардтовская Обсерв.	106
Тотайкой и Симферополь	308	Усть-Енисейский порт	385	Церельский маяк	56	Энзели (Пахлеви)	382
Тотьма	44	Усть-Каменогорская ферма	509	Цикавей	670	Эривань	377
Тоуракское	456	Усть-Медведицкая	282	Цинзен (Чемульпо)	667	Ювескюле	591
Трапезонд	346	Усть-Сысольск	49	Цинндали	368	Югорский Шар	23
Троицк	442	Усть-Цильма	21	Ципа	358	Юрьев (Тарту)	65
Троицкосавск	512	Уте	598	Цицикар	545	Якутск	402
Тростянец	262	Уфа	221	Чан-Чунь	663	Ялта	314
Тула	182	Уютное	171	Челекен	562	Ялтушков	231
Тулун	460	Феодосия, лесничество	318	Челябинск	410	Яренск	48
Тургай	503	Феодосия, порт	319	Чемульпо (Цинзен)	667		
Туркестан	535	Филиппополь (Пловдив)	655				
Туркинский маяк	476						
Турткуль (Петро-Александровск)	567						

Alphabetisches Verzeichnis der Stationen

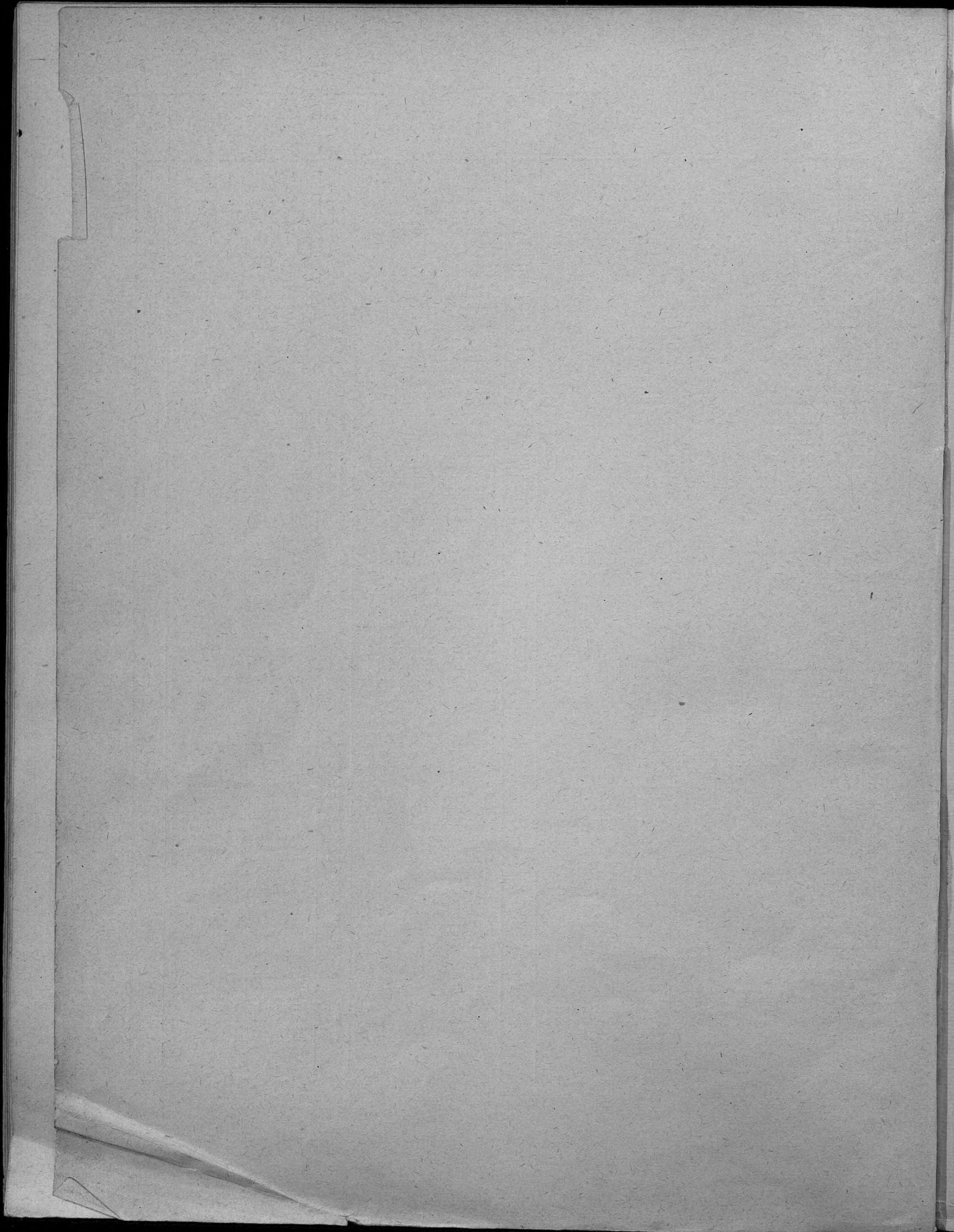
Im nachfolgenden Verzeichnis wird angegeben, unter welchen Nummern die Stationen in den Tabellen A, B, C, D, E, F und G zu suchen sind. Die Koordinaten jeder Station sind in der Tabelle A angegeben. In derselben Tabelle wird auch mitgeteilt, für welche Jahre die Beobachtungen der einzelnen Stationen in dieser Arbeit berücksichtigt wurden.

Namen der Stationen	№	Namen der Stationen	№	Namen der Stationen	№	Namen der Stationen	№
Abas-Tuman	359	Aralskoe More	532	Bekmuchamedowa-Sstawka	343	Brjansk	166
Äbo	599	Archangelsk	17	Belagatschkoe-Simowje	506	Brjanskoe, Forstei	168
Achalkalaki	372	Aschchabad (Asschabad)	566	Belaja Kriniza	226	Bromberg	632
Achtuba	285	Askold, Leuchtturm	556	Belosstok	140	Bodö	614
Äi-Petri	311	Asschabad (Aschchabad)	566	Berdowitschi	145	Bogoduchowo	178
Aitodor, Leuchtturm	312	Asseewka	270	Beresow	392	Bogorodizk	185
Akkerman	292	Asstrachan	340	Berlin	631	Bogorodizkoe	180
Akmolinsk	448	Atbassar	447	Besentschuk	212	Bogoslowsk	397
Aktjubinsk	500	Aulie-Ata	536	Beshezk	82	Bolscherezk	496
Alages	376	Axenowskaja (Belebeewskaja), landw. Schule	220	Bijsk	455	Bomnak	490
Alexandropol (Leninakan)	375	Bairam-Ali	568	Bikin	558	Borissow	151
Alexandrowsk	2	Baku	371	Birjutschja Kossa	342	Borochudsir	541
Alexandrowskij Post	526	Baltisch-Port u. Packerort, Leuchtt.	24	Birsk	115	Borowitschi u. Polynowka	75
Alexeewskaja	247	Baranowo	87	Bisser	119	Borowoe, Forstei	218
Alma-Ata (Werny)	538	Bargusin	477	Blagodat	407	Borowskoe	453
Altaiskaja	511	Barnaul	454	Blagodatka	406	Borowye Osera	452
Amu-Darja (Leninsk Turk-menskij)	570	Batischtschewo	76	Blagoweschtschensk	519	Borshom	360
Andishan	580	Batum	354	Braila	646	Buchara	571
Andreewskoe	177			Bratskij Ossstrog	433	Bucharest	649
Anutschino	552			Breslau	633	Budapest	636
				Brest-Litowsk	142	Buinaks (Temir-Chan-Schura)	337

Namen der Stationen	№	Namen der Stationen	№	Namen der Stationen	№	Namen der Stationen	№
Bujuk-Dere	344	Gorki	155	Kologriw	102	Maros-Vasarhely	639
Bulun	387	Gosch	492	Koltshuginskoe	457	Masanowo	491
Burgas	654	Gremjatschka	188	Komissarowka	258	Martynowka	243
Bussany	68	Grigorowo u. Nowgorod	72	Konewez	32	Meganom, Leuchtturm	317
Chabarowsk	524	Grinouzy	230	Kopal	540	Melitopol	301
Chailar	516	Grodekowo	550	Korenowo	170	Memel	625
Chang-Chun	663	Grosnyj	335	Korostyschew	239	Mesen	18
Charbin	546	Gudaur	364	Korowinzy	235	Michailowskaja Pusstyn	328
Charkow, Technolog. Instit.	268	Gulynki	194	Korssakowskij Post (Oto- mari)	657	Michailowskoe (Gouv. Amur)	520
Charkow, Universität	267	Gurjew	528	Korssowka	66	Michailowskoe (Gouv. Jaro- slaw)	92
Chemulpo (Zinsen)	667	Gussewskaja	95	Koslow	195	Michailowskoe (Gouv. Mo- skau)	83
Chersson	298	Hakodate	660	Kosmodemjansk	105	Minsk	149
Chibiny (Imandra)	5	Halila	27	Kostroma	96	Minussinsk	459
Chilok	479	Hangö, Stadt	600	Kotelnikowskij, Leuchtturm	436	Mirgorod	257
Chodshent	577	Haparanda	604	Kowda	6	Mjanduche	517
Cholm	141	Helsingfors	601	Kowno	143	Mlawka	131
Chorly	300	Hermannstadt (Nagyszeben)	641	Königsberg	628	Mlety	365
Chorog	583	Hernösand	667	Krasnodar (Ekaterinodar)	322	Mogilew	154
Choscheutowskij Utschasstok	339	Husan (Fusan)	669	Krasnojarsk	429	Monasstyrscoe	393
Chrenowskoi Bor	197	Ignalino	63	Krasnoufinsk	121	Morschansk	200
Christiania (Oslo)	616	Imandra (Chibiny)	5	Krasnowodsk	561	Morshowskij, Leuchtturm	10
Christiansund	615	Imjanpo	547	Krasnyj Kolladin	253	Moskau, Feldmesserinstitut	85
Chutorok	325	Inkow	665	Kremenschug	254	Moskau, Landw. Akademie	84
Comandaresti	643	Irbat	411	Kresstowaja	363	Mosyr-Kolinkowitschi	152
Dagarskij, Leuchtturm	438	Irkeschtam	581	Kristianstad	612	Mudandsjan	548
Dawydowo	73	Irkutsk	464	Kriwoschtschekowo	425	Mukden	664
Dedowo	222	Ismail	291	Kronstadt	28	Murawjew Amurskij	559
Dergatschi	266	Iwanowo-Wosnessensk	97	Krynica	620	Murom	99
Derkulskoe, Forstei, Stat. № 1	278	Jakutsk	402	Ksyl-Orda (Perowsk)	534	Mychushe	57
Dixon	384	Jalta	314	Kuopio	590	Myschkin	86
Djatschkowo	259	Jaltuschkow	231	Kultuk	469	Myssowaja	471
Dnepropetrowsk (Ekaterino- slaw)	263	Jarensk	48	Kungur	117	Nagasaki	662
Dnestrowskij Snak	293	Jugorskij Schar	23	Kupino	451	Nagyszeben (Hermannstadt)	641
Dolinskaja	250	Jurjew (Tartu)	65	Kurgan	415	Namangan	578
Dolshik	265	Jyväskylä	591	Kurissowo-Pokrowskoe	294	Narym	422
Dorohoi	642	Kabanskoe	473	Kursk	175	Narynskoe	584
Dowshik	156	Kainsk	419	Kurwien	630	Nemirow	237
Dsershinsk (Elissawetgrad)	248	Kajana	588	Kuschka (Gishiginsk)	404	Nemuro	658
Dshadshur	374	Kalinowskij Chutor	198	Kusnezsk	458	Nertschinsk	482
Dshambeity	498	Kalisch	125	Kusstanaiskaja Konjuschnja	443	Nertschinskij Sawod	484
Dshisak	575	Kaluga	176	Kutais	355	Nertschinskij Sawod	484
Dudinka	386	Kamenez-Podolsk	228	Kutscherow Chutor	172	Neshin	158
Duschkatschan	437	Kamenka	275	Kys-Aul, Leuchtturm	320	Nikolaew	297
Dwinsk	64	Kamenskaja	279	Ladoshszkaja	324	Nikolaewsk	211
Efremow	184	Kamyschin	279	Lauenburg	627	Nikolaewsk am Amur	494
Ekaterinodar (Krasnodar)	322	Kansk	284	Lemberg	621	Nikolaewskij Sawod	432
Ekaterino-Nikolsk	522	Karajasy	430	Leninakan (Alexandropol)	375	Nikolaewskoe (Gouv. Ssarat.)	205
Ekaterinoslaw (Dneprope- trowsk)	263	Karakol (Prshewalsk)	367	Leningrad, Forst-Institut	30	Nikolaistad (Wasa)	589
Elabuga	112	Karesuando	539	Leningrad, Geophys. Zentral- Observatorium	29	Nikolsk	46
Elatma	199	Kargatskij Forpost	603	Leninsk Turkmenskij (Amu- Darja)	570	Nikolskoe (Insel Behring)	441
Elenowka	378	Kargopol	420	Libau	53	Nikolsk Ussurijskij	553
Elissawetgrad (Dsershinsk)	248	Karkaralinsk	42	Lipezk	53	Nishnedewizk	186
Elissawetpol (Gandsha)	369	Karlstad	505	Listwenitschnoe	190	Nishne-Tagilsk	408
Elnja	164	Kars	608	Liwadija	467	Nishnij-Nowgorod	101
Emba	502	Karskie Worota	373	Liwny	313	Nishnij Oltschedaew	232
Engelhardt-Observatorium	106	Kasalinsk	22	Losowaja	183	Noshowka	114
Enisseisk	427	Kasan, landw. Schule	533	Lowitsch	269	Nowaja Alexandrija (Pulawy)	135
Ensli (Pachlewi)	382	Kasan, Universität	107	Lublin	129	Nowaja Ladoga	35
Eriwan	377	Kasanlyk	108	Lubny, Gymnasium	137	Nowgorod u. Grigorowo	72
Essentuki	330	Kasatschje (Gouv. Kursk)	653	Lubny, landw. Schule	252	Nowo-Bajaset	379
Ewgenjewka	551	Kasatschje (Ust-Jansk)	273	Lugansk	251	Nowoe Korolewo	70
Feodossija, Hafen	319	Keizyo (Soul)	388	Luktschun	276	Nowogeorgiewsk u. Nowyj Dwor	132
Feodossija, Forstei	318	Kerki	668	Machatsch-Kala (Pétrowsk)	544	Nowo-Mariinskij Post	396
Flenowo	161	Kertsch	573	Magaratsch	338	Noworossijsk	348
Foros	310	Kiew	321	Magdagatschi	315	Nowossibirsk (Kriwosch- tschekowo)	425
Fort Alexandrowskij	530	Kinel	241	Maikop	487	Nowotawolshanka	271
Frunse (Pischpek)	537	Kineschma	100	Malye Karmakuly	327	Nowyj Dwor u. Nowogeor- giewsk	132
Fusan (Husan)	669	Kirensk	435	Malyj Usen	19	Nyiregyháza	637
Gagry	350	Kirillow	41	Mandal	288	Obdorsk	391
Galkino-Wrasskoe (Otiai)	656	Kischinew	290	Mandshurija	617	Obraszow-Tschiflik	650
Gamow, Leuchtturm	555	Kisel (Fabrik)	52	Marchinskoe	515	Ochotsk	403
Gandsha (Elissawetpol)	369	Kisil-Arwat	565	Marchot, Pass	401	Odessa, Observatorium	296
Genitschesk, Leuchtturm	302	Kislar	336	Mare-Ssale	347	Odessa, Universität	295
Gensan	666	Kislowodsk	329	Margelan	383	Ogyalla	635
Gishiginsk (Kuschka)	404	Kisyl-Dshar	531	Marienharn	579	Olchon	475
Goldingen	55	Kjurdamir	370	Mariina Gorka	597	Olekminsk	400
Goloustnoe	466	Kobi	334	Mariinsk	150	Olowjannaja	514
Gori	362	Kljutschewskoe	440	Maritui	426	Omoloewskoe	434
		Kokpekty	508	Mariupol	468	Omsk	449
		Koktschetaw	446	Markowo am Anadyr	395	Onega	15
		Kola	3				

Namen der Stationen	№	Namen der Stationen	№	Namen der Stationen	№	Namen der Stationen	№
Onufriewka	255	Roshdestwenskoe (Gouv. Kostroma)	103	Sstaroshilowo	193	Ulan-Bator (Urga)	513
Oranshereinyj Promysel	341	Rosstow am Don	305	Sstaro-Ssidorowo	414	Uleåborg	586
Orel	173	Rosstow (Gouv. Jaroslawl)	90	Sstawropol	326	Uljanowsk (Ssimbirska)	209
Orenburg	223	Rshew	78	Ssuchum, botan. Garten	351	Ulkokala	587
Orlow, Leuchtturm	8	Rudnja Kamyschinskaja	283	Ssuchum, Versuchsstation	352	Uman	242
Oryschew	130	Russkoe Ustje	390	Ssudak	316	Umeå	606
Oslo (Christiania)	616	Rybnoe	428	Ssultan-Bend	569	Ungvar	634
Ossowez	138	Rykowskoe	527	Ssumy	261	Upsala	609
Otiari (Galkino-Wrasskoe)	656	Sagurshe	224	Ssurgut	399	Uralsk, Hospital und landw. Schule	216
Otomari (Korssakowskij Post)	657	Saissan	542	Ssuwalki	139	Uralsk, Realschule	217
Oxino und Pusstosersk	20	Sapporo	659	Sswerdlowsk (Ekaterinburg)	409	Uralskoe, Forstei	215
Pachlewski (Enseli)	382	Säbbskär	593	Stensele	605	Urga (Ulan-Bator)	513
Packerort, Leuchtturm u. Baltisch-Port	24	Schadrinsk	412	Stockholm	610	Urjupinskaja	281
Pady	207	Schantalowo	162	Striharet	648	Urkatsch	444
Pamirskij Post	582	Schatilowskaja, Versuchsst.	181	Sulina	647	Urumtschi	543
Pancesti-Drahomiresti	644	Schenkursk	45	Sulkawa	595	Usspenskaja, landw. Schule	89
Pawlodar	450	Scheptuchowka	280	Swiriza u. Ssermaxa	36	Ussolje	462
Pawlowsk (Sluzk)	31	Schivelbein	629	Swjatoi Noss, Leuchtturm	7	Ust-Dwinsk	60
Peking	585	Schlüsselburg	34	Syrjanowskij Rudnik	510	Ust-Enisseiskij Port	385
Pensa, Gartenbauschule	203	Schostenskij Sawod	165	Szaszvaros	640	Ust-Kamenogorskaja Ferma	509
Pensa, Gymnasium	204	Schtschastnowka	244	Szeged	638	Ust-Medwedizkaja	282
Pereboinyj Osstrow	304	Schtscherssy	148	Taiga	424	Ust-Ssyssolsk	49
Pereemnaja	470	Schuja	98	Taipinlin	549	Ust-Zylma	21
Perewalnaja	480	Schuscha	380	Taischet	431	Usua-Ada	563
Pern	116	Sdolbunowo	227	Tambow	196	Uwarowo	201
Pernau	62	Semettschino	202	Tammerfors	594	Varna	651
Petrowsk (Ksyt-Orda)	534	Sgurowka	246	Tara	417	Vardö	613
Pestschanaja Buchta	465	Shelesnowodsk	331	Tarbogatai	521	Visby	611
Petro-Alexandrowsk (Tur- tkul)	567	Shidra	169	Tarchankut, Leuchtturm	306	Wachtino	93
Petrokow	128	Shishgin, Leuchtturm	14	Tarnopol	623	Waida-Guba	1
Petropawlowsk auf Kamt- schatka	497	Shitomir	236	Taschkent	576	Walaam	33
Petrosawodsk	37	Shmerinka	233	Tatarskaja	418	Waluika	286
Petrowsk (Machatsch- kala)	338	Shonkier, Leuchtturm	525	Temir	501	Warschau	133
Petrowskij Sawod	478	Shordowskaja, landw. Schule	463	Tamir - Chan - Schura (Bui- naks)	337	Wasa (Nikolaistadt)	589
Philippopoli (Plowdiw)	655	Shushmuj, Leuchtturm	13	Teriberka	4	Wassilewitschi	153
Pikan	489	Sima	461	Termes	574	Wärtsilä	592
Pinsk	147	Simnegorskij, Leuchtturm	16	Tichono-Sadonskij Priisk	439	Welikie Luki	71
Pischpek (Frunse)	537	Sinaia	645	Tichorezkaja	323	Wolsk	208
Pjatigorsk	332	Sinope	345	Tiflis	366	Werchne-Imbatskoe	394
Pliskowo - Andruschewskij Sawod	238	Skadowsk	299	Tjub-Karaganskij, Leucht- turm	529	Werchneudinsk	474
Ploti	240	Skälskär	596	Tjumen	413	Werchnij Baskuntschak	287
Plowdiw (Philippopoli)	655	Skopin	189	Tkwibuli	356	Werchnjaja Mischicha	472
Podgai	58	Skuratowa	179	Tobolsk	416	Werchojansk	389
Pokrowka	485	Slatopol	245	Tokio	661	Werchossunskaja Ferma	111
Polibino	219	Slatoust	122	Tomaschew Kolok und Ssamara	213	Werchoturje	405
Polowinkino	88	Slawjansk	274	Tomsch	423	Werebje	74
Poltawa	260	Sluzk (Pawlowsk)	31	Totaiko u. Ssimferopol	308	Wernyj (Alma-Ata)	538
Polynowka u. Borowitschi	75	Smolensk	160	Totma	44	Wiborg	602
Ponemon	144	Sofia	652	Tourakskoe	456	Wieliczka	619
Poni	357	Sombkowizy	225	Trapezund	346	Wien	624
Ponyri	174	Söl (Keizyô)	668	Troizk	442	Wilno	146
Porezkoe	104	Spasskij Sawod	504	Troizkossawsk	512	Windau	54
Post Olga	560	Sretensk	483	Trosstjanecz	262	Wissimo-Schaitansk	120
Port-Kunda	26	Ssagaidak	249	Tscheljabinsk	410	Witebsk	69
Posen	618	Ssaguny	277	Tscheleken	562	Wjasma	77
Poti	353	Ssaki	307	Tscherdyn	50	Wjasemskaja	523
Powenez	38	Ssamara u. Tomaschew Kolok	213	Tscherikow	157	Wjatka, Realschule	110
Poworotnyj, Leuchtturm	557	Ssamarkand	572	Tschernjaewo	488	Wjatka, Versuchsstation	109
Pronge	495	Ssamarowo	398	Tschernischlar	564	Wladikawkas	333
Prshewalsk (Karakol)	539	Ssarapul	113	Tschikischlar	481	Wladimir an der Kljasma	94
Pskow	67	Ssaradow	206	Tschita	481	Wladiwostok	554
Pusstosersk u. Oxino	20	Ssarymbet	445	Tschshalantun	518	Wlozlawsk	127
Putbus	626	Ssemipalatinsk	507	Tschulym	421	Wologda	43
Radom	134	Ssermaxa und Swiriza	36	Tschussowskaja	118	Woltschansk	272
Radziwilischki	59	Ssewasstopol	309	Tula	182	Woronesh	187
Reval	25	Ssewsk	167	Tulun	460	Wosnessenje	39
Rewda	124	Ssimbirska (Uljanowsk)	209	Turgai	503	Wyschnij Wolotschek	79
Rjasan, Eisenbahnstation	191	Ssimferopol u. Totaiko	308	Turkesstan	535	Wytegra	40
Rjasan, Lehrerseminar	192	Ssobeschin	136	Turkinskij, Leuchtturm	476	Zechozinsk	126
Romanow-Borissoglebsk	91	Ssofijskij Priisk	493	Turtkul (Petro - Alexan- drowsk)	567	Zemi	361
Romny	256	Ssolikamsk	51	Twer	81	Zerel, Leuchtturm	56
Roslawl	163	Ssolowezkij, Kloster	12	Tygan-Urkan	486	Zi-ka-wei	670
		Ssoruski	234	Ufa	221	Zinondali	368
		Ssosnowskij, Leuchtturm	9	Ugroedy	264	Zinsen (Chemulpo)	667
		Ssotschi	349	Ulskoe	499	Zipa	358
		Sstariza	80	Ujutnoe	171	Zizikar	545
		Sstaro-Konsstantinow	229			Zloczow	622







Цена с атласом 30 руб.

Проект
1953 г.